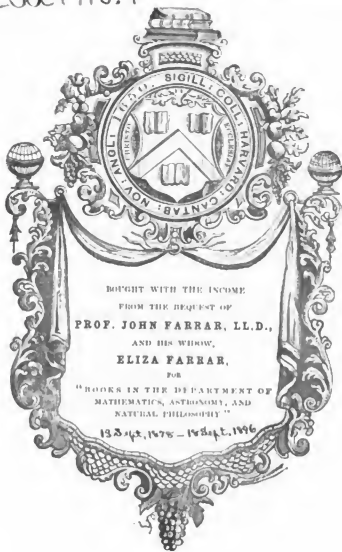


HN JJXZ H

LSoc 1718.4

Ac. Dec. 1896



NEUESTE
SCHRIFTEN
DER
NATURFORSCHENDEN GESELLSCHAFT
IN
DANZIG.

SECHSTEN BANDES ERSTES HEFT.



^{C^o}
DANZIG.
AUF KOSTEN DER NATURFORSCHENDEN GESELLSCHAFT.
1858.

~~48.26~~

747 ¹⁸⁷⁸/₉

LSoc 1718.4

1878, Sep 13



Farrar funds.

Untersuchungen

über

**eine Methode zur Berechnung der planetarischen
Störungen**

von

C. T. Anger.

—♦♦♦♦♦—

Danzig.

1858.

§ 1.

Die Acta Petrop. für das Jahr 1779, Th. II. enthalten eine Abhandlung *Euler's*, welche den Titel führt: „*Cautiones necessariae in determinatione motus planetarum observandae*“, in welcher die Störungen nicht der Elemente, sondern der rechtwinkligen Coordinaten eines Planeten untersucht werden. *Euler* untersucht die gegenseitigen Störungen zweier Planeten, worauf er für Jupiter und Saturn ein Rechnungs-Beispiel hinzufügt. Der Zweck dieses Aufsatzes ist, die *Euler'sche* Methode darzulegen in der Weise wie sie ursprünglich gegeben wurde, sie darauf auf ihren einfachsten Ausdruck zurückzuführen und endlich diejenigen Bemerkungen folgen zu lassen, welche sich auf die Anwendbarkeit dieser Methode zur Berechnung der speciellen Störungen beziehen. Um aber diesem Aufsatz eine nicht zu grosse Ausdehnung zu geben, werde ich die Masse des gestörten Planeten gleich Null setzen, und die Bahn des störenden Planeten als gegeben annehmen, in welcher Form die Aufgabe für die Berechnung der Störungen der kleinen Planeten in Anwendung kommt.

§ 2.

Bezeichnet man die rechtwinkligen Coordinaten des gestörten Planeten durch x, y, z des störenden durch x', y', z' , und setzt man

$$r^2 = x^2 + y^2 + z^2$$

$$r'^2 = x'^2 + y'^2 + z'^2$$

$$\rho^2 = (x' - x)^2 + (y' - y)^2 + (z' - z)^2;$$

so werden, wenn man, wie jetzt gewöhnlich, durch k die *Gauss'sche* Constante bezeichnet, die Gleichungen von welchen *Euler* ausgeht:

$$\left. \begin{aligned} \frac{1}{k^3} \cdot \frac{d^3 x}{dt^3} &= -\frac{x}{r^3} + \frac{m(x' - x)}{e^3} - \frac{m x'}{r'^3} \\ \frac{1}{k^3} \cdot \frac{d^3 y}{dt^3} &= -\frac{y}{r^3} + \frac{m(y' - y)}{e^3} - \frac{m y'}{r'^3} \\ \frac{1}{k^3} \cdot \frac{d^3 z}{dt^3} &= -\frac{z}{r^3} + \frac{m(z' - z)}{e^3} - \frac{m z'}{r'^3} \end{aligned} \right\} \dots\dots\dots (1)$$

wo t die Zeit, m die Masse des störenden Planeten bedeutet, und der Mittelpunkt der Sonne zum Anfangspunkte der Coordinaten angenommen ist. Setzt man nun

$$\begin{aligned} x &= x_0 + A_1 t + A_2 t^2 + A_3 t^3 + \dots & x' &= x'_0 + a_1 t + a_2 t^2 + a_3 t^3 + \dots \\ y &= y_0 + B_1 t + B_2 t^2 + B_3 t^3 + \dots & y' &= y'_0 + b_1 t + b_2 t^2 + b_3 t^3 + \dots \\ z &= z_0 + C_1 t + C_2 t^2 + C_3 t^3 + \dots & z' &= z'_0 + c_1 t + c_2 t^2 + c_3 t^3 + \dots \end{aligned}$$

so wird

$$\frac{d^3 x}{dt^3} = 2 A_2 + 6 A_3 t + \dots$$

$$\frac{d^3 y}{dt^3} = 2 B_2 + 6 B_3 t + \dots$$

$$\frac{d^3 z}{dt^3} = 2 C_2 + 6 C_3 t + \dots$$

Wenn man diese Ausdrücke für die auf der linken Seite in (1) befindlichen Glieder, auf der rechten Seite aber, wo keine Differenzialquotienten vorkommen, die für $x, y, z; x', y', z'$ angenommenen Ausdrücke setzt, so kann man auf diese Weise die noch unbekannten Coefficienten in x, y, z bestimmen, während die in x', y', z' vorkommenden als bekannt angesehen sind. Wenn man, wie *Euler* annimmt, nicht über die dritte Potenz von t hinausgeht, so kann man da dann auf der linken Seite die Zeit t nicht zu einer höhern als zur ersten Potenz vorkommt, auch auf der rechten Seite die höhern Potenzen vernachlässigen, so dass es genügt, darin zu setzen

$$\begin{aligned} x &= x_0 + A_1 t; \quad y = y_0 + B_1 t; \quad z = z_0 + C_1 t, \\ \text{und } x' &= x'_0 + a_1 t; \quad y' = y'_0 + b_1 t; \quad z' = z'_0 + c_1 t. \end{aligned}$$

§ 3.

Setzt man nun

$$r^2_0 = x^2_0 + y^2_0 + z^2_0$$

$$r'^2_0 = x'^2_0 + y'^2_0 + z'^2_0$$

$$\varrho^2_0 = (x'_0 - x_0)^2 + (y'_0 - y_0)^2 + (z'_0 - z_0)^2$$

$$f = x_0 A_1 + y_0 B_1 + z_0 C_1$$

$$g = x'_0 a_1 + y'_0 b_1 + z'_0 c_1$$

$$h = (x'_0 - x_0)(a_1 - A_1) + (y'_0 - y_0)(b_1 - B_1) + (z'_0 - z_0)(c_1 - C_1)$$

und noch, der Kürze wegen,

$$x'_0 - x_0 = \xi; y'_0 - y_0 = \eta; z'_0 - z_0 = \vartheta$$

$$a_1 - A_1 = \xi_1; b_1 - B_1 = \eta_1; c_1 - C_1 = \vartheta_1$$

wodurch

$$h = \xi \cdot \xi_1 + \eta \cdot \eta_1 + \vartheta \cdot \vartheta_1$$

wird, so ergibt sich

$$r^2 = r_0^2 + 2f \cdot t$$

$$r'^2 = r_0'^2 + 2g \cdot t$$

$$\varrho^2 = \varrho_0^2 + 2h \cdot t$$

und, da nur die dritten Potenzen dieser Distanzen in den Nennern in (1) vorkommen, mit Übergehung der die erste Potenz von t übersteigenden,

$$\frac{1}{r^3} = \frac{1}{r_0^3} - \frac{3f}{r_0^5} t; \frac{1}{r'^3} = \frac{1}{r_0'^3} - \frac{3g}{r_0'^5} t; \frac{1}{\varrho^3} = \frac{1}{\varrho_0^3} - \frac{3h}{\varrho_0^5} t$$

woraus man erhält:

$$\frac{x}{r^3} = \frac{x_0}{r_0^3} + \left(\frac{A_1}{r_0^3} - \frac{3x_0 f}{r_0^5} \right) t$$

$$\frac{y}{r^3} = \frac{y_0}{r_0^3} + \left(\frac{B_1}{r_0^3} - \frac{3y_0 f}{r_0^5} \right) t$$

$$\frac{z}{r^3} = \frac{z_0}{r_0^3} + \left(\frac{C_1}{r_0^3} - \frac{3z_0 f}{r_0^5} \right) t$$

$$\frac{x'}{r'^3} = \frac{x'_0}{r_0'^3} + \left(\frac{a_1}{r_0'^3} - \frac{3x'_0 g}{r_0'^5} \right) t$$

$$\frac{y'}{r'^3} = \frac{y'_0}{r_0'^3} + \left(\frac{b_1}{r_0'^3} - \frac{3y'_0 g}{r_0'^5} \right) t$$

$$\frac{z'}{r'^3} = \frac{z'_0}{r_0'^3} + \left(\frac{c_1}{r_0'^3} - \frac{3z'_0 g}{r_0'^5} \right) t$$

$$\frac{x-x'}{\varrho^3} = \frac{\xi}{\varrho_0^3} + \left(\frac{\xi_1}{\varrho_0^3} - \frac{3\xi h}{\varrho_0^5} \right) t$$

$$\frac{y'-y}{\varrho^3} = \frac{\eta}{\varrho_0^3} + \left(\frac{\eta_1}{\varrho_0^3} - \frac{3\eta h}{\varrho_0^5} \right) t$$

$$\frac{z'-z}{\varrho^3} = \frac{\vartheta}{\varrho_0^3} + \left(\frac{\vartheta_1}{\varrho_0^3} - \frac{3\vartheta h}{\varrho_0^5} \right) t.$$

§ 4.

Wenn man diese Werthe in die Gleichungen (1) hineinsetzt, so ergibt sich

$$\left. \begin{aligned} 2 A_2 &= -\frac{k^3 x_0}{r_0^3} + \frac{m k^2 \xi}{\varrho_0^3} - \frac{m k^2 x'_0}{r_0'^3} \\ 2 B_2 &= -\frac{k^3 y_0}{r_0^3} + \frac{m k^2 \eta}{\varrho_0^3} - \frac{m k^2 y'_0}{r_0'^3} \\ 2 C_2 &= -\frac{k^3 z_0}{r_0^3} + \frac{m k^2 \vartheta}{\varrho_0^3} - \frac{m k^2 z'_0}{r_0'^3} \end{aligned} \right\} \dots\dots\dots (2)$$

$$\left. \begin{aligned} 6 A_3 &= -k^2 \left(\frac{A_1}{r_0^3} - \frac{3 x_0 f}{r_0^3} \right) + m k^2 \left(\frac{\xi_1}{\varrho_0^3} - \frac{3 \xi h}{\varrho_0^3} \right) - m k^2 \left(\frac{a_1}{r_0'^3} - \frac{3 x'_0 g}{r_0'^3} \right) \\ 6 B_3 &= -k^2 \left(\frac{B_1}{r_0^3} - \frac{3 y_0 f}{r_0^3} \right) + m k^2 \left(\frac{\eta_1}{\varrho_0^3} - \frac{3 \eta h}{\varrho_0^3} \right) - m k^2 \left(\frac{b_1}{r_0'^3} - \frac{3 y'_0 g}{r_0'^3} \right) \\ 6 C_3 &= -k^2 \left(\frac{C_1}{r_0^3} - \frac{3 z_0 f}{r_0^3} \right) + m k^2 \left(\frac{\vartheta_1}{\varrho_0^3} - \frac{3 \vartheta h}{\varrho_0^3} \right) - m k^2 \left(\frac{c_1}{r_0'^3} - \frac{3 z'_0 g}{r_0'^3} \right) \end{aligned} \right\} \dots\dots\dots (3)$$

Die Werthe von A_1 , B_1 , C_1 werden so angenommen wie sie aus der rein elliptischen Bahn des gestörten Planeten hervorgehen. Die Coefficienten A_2 , B_2 , C_2 und A_3 , B_3 , C_3 , welche *Euler* giebt, sind zu gross und müssen die drei ersten mit 2, die drei letzten mit 6 dividirt werden.

§ 5.

Nachdem ich im Vorhergehenden das Wesentliche der *Euler'schen* Störungs-Methode angegeben habe, bemerke ich, dass dieselbe sich durch folgende Betrachtung auf ihren einfachsten Ausdruck bringen lässt. Die Gleichungen (1) geben unmittelbar die zweiten Differenzialquotienten der gestörten Coordinaten in Beziehung auf die Zeit t . Setzt man in diese Gleichungen $t = 0$, so ergibt sich nach dem *Maclaurin'schen* Satze

$$\left. \begin{aligned} A_2 &= \frac{1}{1.2} \cdot \frac{d^2 x}{dt^2} \\ B_2 &= \frac{1}{1.2} \cdot \frac{d^2 y}{dt^2} \\ C_2 &= \frac{1}{1.2} \cdot \frac{d^2 z}{dt^2} \end{aligned} \right\} \text{für } t = 0.$$

Die Annahme $t = 0$ ist aber keine andere als die, dass man in Stelle von $x, y, z; x', y', z'; r, r', \varrho$ die Werthe $x_0, y_0, z_0; x'_0, y'_0, z'_0; r_0, r'_0, \varrho_0$ setzt, wodurch unmittelbar ohne alle Rechnung die Gleichungen (2) entstehen. Wenn man die Gleichungen (1) in Beziehung auf t differenziirt, und dann in die dadurch erhaltenen dritten Differenzialquo-

tienten der Coordinaten $t = 0$ setzt, d. h. für die allgemeinen Werthe der rechts erscheinenden Grössen, die mit 0 versehenen, welche für $t = 0$ gelten, annimmt, so ergeben sich sogleich

$$\left. \begin{aligned} A_3 &= \frac{1}{1.2.3} \cdot \frac{d^3 x}{dt^3} \\ B_3 &= \frac{1}{1.2.3} \cdot \frac{d^3 y}{dt^3} \\ C_3 &= \frac{1}{1.2.3} \cdot \frac{d^3 z}{dt^3} \end{aligned} \right\} \text{für } t = 0$$

und man bekommt die Gleichungen (3) u. s. w., so dass die *Euler'sche* Methode in nichts anderem, als in einer einfachen Anwendung des *Maclaurin'schen* Satzes besteht, indem zugleich vorausgesetzt wird, dass die Werthe von $\frac{dx}{dt}$, $\frac{dy}{dt}$, $\frac{dz}{dt}$ in der gestörten und ungestörten Bahn, für $t = 0$ mit einander übereinstimmen. Während also bei andern Methoden eine Integration der Gleichungen (1) durch mechanische Quadraturen herbeigeführt wird, gelangt man nach der *Euler'schen* durch fortgesetzte Differenzirungen zum Ziel.

§ 6.

Es ist nicht nöthig in $A_2, B_2, C_2; A_3, B_3, C_3$ die Glieder, welche von der Masse des störenden Planeten unabhängig sind, zu berechnen, denn lässt man die von der Masse abhängigen weg, so erhält man die Coordinaten des gestörten Planeten unter Voraussetzung einer rein elliptischen Bahn; diese ergeben sich aber aus der Ephemeride, welche man sich zu Anfang berechnen wird. Die Aufgabe reducirt sich hiernach darauf: die in der Ephemeride enthaltenen Zahlen durch die von der Masse des störenden Planeten abhängigen Glieder zu verbessern. Diese Ephemeride wird zugleich dazu dienen, die Werthe von A_1, B_1, C_1 , welche auch in $\xi_1, \eta_1, \vartheta_1$ eingehen, durch Interpolation zu berechnen. Die Rechnung bestünde also darin, allen in der Ephemeride für ein bestimmtes, nicht zu grosses, Zeitintervall vorläufig berechneten Werthen der Coordinaten, welche wir durch x, y, z , bezeichnen wollen, resp. Glieder von der Form $\lambda t^2, \lambda' t^3; \mu t^2, \mu' t^3; \nu t^2, \nu' t^3$ hinzuzufügen, wo

$$\begin{aligned} \lambda &= \frac{1}{2} m k^2 \left(\frac{\xi}{e^3_0} - \frac{x'_0}{r'^3_0} \right) \\ \lambda' &= \frac{1}{6} m k^2 \left\{ \left(\frac{\xi_1}{e^3_0} - \frac{3\xi\lambda}{e^3_0} \right) - \left(\frac{a_1}{r'^3_0} - \frac{3x'_0 g}{r'^3_0} \right) \right\} \end{aligned}$$

$$\begin{aligned}\mu &= \frac{1}{2} m k^2 \left(\frac{\eta}{\varrho^3_0} - \frac{y'_0}{r^3_0} \right) \\ \mu' &= \frac{1}{2} m k^2 \left\{ \left(\frac{\eta_1}{\varrho^3_0} - \frac{3\eta h}{\varrho^5_0} \right) - \left(\frac{b_1}{r^3_0} - \frac{3y'_0 g}{r^5_0} \right) \right\} \\ \nu &= \frac{1}{2} m k^2 \left(\frac{\vartheta}{\varrho^3_0} - \frac{z'_0}{r^3_0} \right) \\ \nu' &= \frac{1}{2} m k^2 \left\{ \left(\frac{\vartheta_1}{\varrho^3_0} - \frac{3\vartheta h}{\varrho^5_0} \right) - \left(\frac{c_1}{r^3_0} - \frac{3z'_0 g}{r^5_0} \right) \right\}.\end{aligned}$$

Bezeichnet man die von den Störungen afficirten Coordinaten für dieselbe Zeit t durch $(x_t), (y_t), (z_t)$, so ist

$$\begin{aligned}(x_t) &= x_i + \lambda t^2 + \lambda' t^3 \\ (y_t) &= y_i + \mu t^2 + \mu' t^3 \\ (z_t) &= z_i + \nu t^2 + \nu' t^3\end{aligned}$$

und man erhält die drei Geschwindigkeiten der gestörten Coordinaten für die Zeit t :

$$\begin{aligned}\frac{d(x_t)}{dt} &= \frac{dx_i}{dt} + 2\lambda t + 3\lambda' t^2 \\ \frac{d(y_t)}{dt} &= \frac{dy_i}{dt} + 2\mu t + 3\mu' t^2 \\ \frac{d(z_t)}{dt} &= \frac{dz_i}{dt} + 2\nu t + 3\nu' t^2\end{aligned}$$

wo die Werthe der Differenzialquotienten der ungestörten Coordinaten dieselben sind, welche man schon früher aus der Ephemeride berechnet hatte.

Es wird darauf ankommen, die in den Coefficienten $\lambda, \dots, \mu, \dots, \nu, \dots$ enthaltenen Grössen ξ, η, ϑ u. s. w. von Zeit zu Zeit zu variiren, indem man mit den für die Zeit $t = 0$ geltenden Werthen den Anfang macht, und neue zum Grunde legt, wenn ihre Beibehaltung bedenklich scheint. Man wird also die Störungen für den Verlauf einer gewissen Zeit bestimmen, die Elemente nach diesen verbessern, mit den verbesserten Elementen eine neue Ephemeride berechnen und dann von einer neuen Epoche an, welche mit dem Schlusse der ersten beginnt, für eine gewisse fernere Zeit die Störungen bestimmen.

§ 7.

Wenn wir, der gemachten Voraussetzung gemäss, die Elemente des störenden Planeten als keiner Verbesserung bedürftig ansehen, so ergibt die Betrachtung der Gleichungen

chungen (2) und (3) eine wie es scheint sehr wesentliche Abkürzung der anzustellenden Rechnung. Setzt man nämlich $m = 0$, so erhält man

$$x_i = x_0 + A_1 t - \frac{1}{1.2} k^2 \frac{x_0}{r_0^3} \cdot t^2 - \frac{1}{1.2.3} k^2 \left(\frac{A_1}{r_0^3} - \frac{3x_0 f}{r_0^5} \right) t^3 + \dots$$

$$y_i = y_0 + B_1 t - \frac{1}{1.2} k^2 \frac{y_0}{r_0^3} \cdot t^2 - \frac{1}{1.2.3} k^2 \left(\frac{B_1}{r_0^3} - \frac{3y_0 f}{r_0^5} \right) t^3 + \dots$$

$$z_i = z_0 + C_1 t - \frac{1}{1.2} k^2 \frac{z_0}{r_0^3} \cdot t^2 - \frac{1}{1.2.3} k^2 \left(\frac{C_1}{r_0^3} - \frac{3z_0 f}{r_0^5} \right) t^3 + \dots$$

und wenn man die Werthe von x' , y' , z' , welche für dieselbe Zeit t gelten, durch x'_i , y'_i , z'_i bezeichnet, so muss auch

$$x'_i = x'_0 + a_1 t - \frac{1}{1.2} k^2 \frac{x'_0}{r_0^3} \cdot t^2 - \frac{1}{1.2.3} k^2 \left(\frac{a_1}{r_0^3} - \frac{3x'_0 g}{r_0^5} \right) t^3 + \dots$$

$$y'_i = y'_0 + b_1 t - \frac{1}{1.2} k^2 \frac{y'_0}{r_0^3} \cdot t^2 - \frac{1}{1.2.3} k^2 \left(\frac{b_1}{r_0^3} - \frac{3y'_0 g}{r_0^5} \right) t^3 + \dots$$

$$z'_i = z'_0 + c_1 t - \frac{1}{1.2} k^2 \frac{z'_0}{r_0^3} \cdot t^2 - \frac{1}{1.2.3} k^2 \left(\frac{c_1}{r_0^3} - \frac{3z'_0 g}{r_0^5} \right) t^3 + \dots$$

sein, es ist also

$$\left. \begin{aligned} (x_i) - x_i &= (x'_i - x'_0 - a_1 t) m + \frac{mk^2}{1.2} \cdot \frac{\xi}{e_0^3} t^2 + \frac{mk^2}{1.2.3} \cdot \left(\frac{\xi_1}{e_0^3} - \frac{3\xi h}{e_0^5} \right) t^3 + \dots \\ (y_i) - y_i &= (y'_i - y'_0 - b_1 t) m + \frac{mk^2}{1.2} \cdot \frac{\eta}{e_0^3} t^2 + \frac{mk^2}{1.2.3} \cdot \left(\frac{\eta_1}{e_0^3} - \frac{3\eta h}{e_0^5} \right) t^3 + \dots \\ (z_i) - z_i &= (z'_i - z'_0 - c_1 t) m + \frac{mk^2}{1.2} \cdot \frac{\phi}{e_0^3} t^2 + \frac{mk^2}{1.2.3} \cdot \left(\frac{\phi_1}{e_0^3} - \frac{3\phi h}{e_0^5} \right) t^3 + \dots \end{aligned} \right\} (4)$$

§ 8.

Nach diesen Formeln (4) wurde ein numerisches Beispiel berechnet um die *Euler'sche* Methode mit der bekannten durch mechanische Quadraturen zu vergleichen; es ist dasselbe Beispiel, welches Herr Professor *Encke* gewählt hat, als er zuerst seine Störungs-Methode erläuterte und bezieht sich auf die durch Jupiter gestörten rechtwinkligen Coordinaten der *Vesta*. Mit einer so zuverlässigen Controlle versehen, durfte man erwarten ein sicheres Urtheil über die Anwendung der *Euler'schen* Methode zu erhalten.

Bezeichnet man die Störungen der rechtwinkligen Coordinaten durch ein vorgesetztes Δ , so ergeben sich, die Masse des Jupiter $= \frac{1}{1053.924}$ angenommen, für die Epoche: 1853 September 11 und eine Zeiteinheit von 21 Tagen, in Einheiten der siebenten Decimale:

$$\Delta x = (x'_i - x'_0 - 0.15681 \dots t) \{3.97719\} + \{9.86484\} t^2 + \{0.24292\} t^3$$

$$\Delta y = (y'_i - y'_0 + 0.00221 \dots t) \{3.97719\} - \{1.03041\} t^2 + \{8.67315\} t^3$$

$$\Delta z = (z'_i - z'_0 + 0.0035466 t) \{3.97719\} - \{8.62053\} t^2 + \{8.16632\} t^3$$

wo die in den eckigen Klammern stehenden Zahlen Logarithmen sind.

Die Rechnung nach diesen Formeln gab für die ersten zwölf Zeilen folgende Werthe denen der Vergleichung wegen, die *Encke'schen* Werthe zur Seite gesetzt sind.

| <i>O^h</i> mittl. Par. Zt. | Δx | | Δy | | Δz | |
|--------------------------------------|--------------|--------------|--------------|--------------|--------------|--------------|
| | <i>Euler</i> | <i>Encke</i> | <i>Euler</i> | <i>Encke</i> | <i>Euler</i> | <i>Encke</i> |
| 1853 Sept. 11 | 0.0 | 0.0 | 0.0 | 00 | 0.0 | 0.0 |
| Octb. 2 | + 2.2 | + 2.2 | + 11.5 | + 11.7 | — 0.2 | — 0.2 |
| „ 23 | 8.8 | 8.7 | 46.2 | 46.7 | 0.7 | 0.7 |
| Nov. 13 | 19.4 | 18.5 | 104.1 | 105.0 | 1.6 | 1.5 |
| Decb. 4 | 33.6 | 30.9 | 184.9 | 186.9 | 3.0 | 2.8 |
| „ 25 | 51.2 | 44.7 | 288.5 | 291.8 | 4.9 | 4.4 |
| 1854 Jan. 15 | 71.7 | 58.4 | 414.4 | 419.5 | 7.4 | 6.3 |
| Febr. 5 | 95.1 | 70.8 | 562.6 | 568.2 | 10.6 | 8.3 |
| „ 26 | 120.8 | 80.4 | 732.6 | 736.7 | 14.5 | 10.5 |
| März 19 | 148.4 | 87.2 | 924.3 | 921.8 | 19.1 | 12.9 |
| April 9 | 177.7 | 90.4 | 1136.6 | 1120.8 | 24.5 | 15.4 |
| „ 30 | 208.3 | 92.9 | 1369.7 | 1329.4 | 30.8 | 18.3 |
| Mai 21 | + 239.9 | + 96.2 | + 1622.8 | + 1543.8 | — 38.0 | — 21.9 |

Man sieht dass hier, etwa bis December 4, beide Reihen gut übereinstimmen, dann aber entfernen sich dieselben immer mehr, besonders die für Δx , und weichen bald höchst bedeutend von einander ab. Wollte man also die *Euler'sche* Methode dem gegenwärtigen Standpunkte der praktischen Astronomie entsprechend wirklich benutzen, so würde sie höchstens auf Kometen, wenn deren Sichtbarkeit nicht über 2 Monate hinausgeht, eine Anwendung finden können, wodurch ihr Gebrauch eine grosse Einschränkung erlitt.

§ 9.

Als ich in No. 991 der astronomischen Nachrichten einen Aufsatz über die *Euler-*

sche Methode veröffentlichte, lag mir ein numerisches Beispiel noch nicht vor, welches später durch einen der jüngern ausgezeichneten Astronomen auf meine Bitte mit dankenswerther Bereitwilligkeit berechnet wurde. Es kam nun darauf an, den theoretischen Grund der übermässig starken Abweichung von dem richtigen Resultate zu ermitteln. Ein tieferes Eingehen in den Gegenstand liess mich nach einiger Zeit erkennen, dass die Methode selbst bis zu der ersten Potenz der Masse des störenden Körpers nicht vollständig ist, sondern dass noch ein Glied der betreffenden Differenzialgleichungen hinzukommen muss. Dieses Glied ist es durch dessen Vernachlässigung jene Abweichungen entstehen. Nachdem ich den wahren Grund erkannt hatte, gab ich ihn in No. 1069 in einem Nachtrage zu dem frühern Aufsätze vorläufig an. Die folgenden Betrachtungen werden diesen Gegenstand wie ich glaube zum vollständigen Abschlusse bringen. Wenn auch das praktische Bedürfniss nicht erheischt, eine der bekannten neueren mit so ausgezeichnetem Erfolge benutzten Methoden durch eine alte zu ersetzen, so dürfte dennoch in theoretischer Hinsicht die Verfolgung des von *Euler* eingeschlagenen Weges nicht ganz ohne Interesse sein.

§ 10.

Die Gleichungen (4) lassen sich in eine sehr einfache Form bringen, wenn man die für die Zeit t geltenden Coordinaten eines Planeten einführt, welcher als der Anziehung des störenden allein unterworfen gedacht wird. Nimmt man den Mittelpunkt des störenden Planeten zum Anfangspunkte der Coordinaten und die Coordinaten-Ebenen mit den durch die Sonne gelegten parallelen, so werden die Gleichungen (4) folgende:

$$\left. \begin{aligned} (x_i) - x_i &= (x'_i - x'_0 - a_1 t) m - (\xi_i - \xi - \xi_1 t) m \\ (y_i) - y_i &= (y'_i - y'_0 - b_1 t) m - (\eta_i - \eta - \eta_1 t) m \\ (z_i) - z_i &= (z'_i - z'_0 - c_1 t) m - (\vartheta_i - \vartheta - \vartheta_1 t) m \end{aligned} \right\} \dots (5)$$

wo $\xi_i, \eta_i, \vartheta_i$ jene neue Coordinaten sind.

Diese Gleichungen erhält man aber auch direkt aus den Gleichungen (1). Dieselben lassen sich annähernd auf folgende Weise schreiben:

$$\left. \begin{aligned} \frac{d^2(x_i)}{dt^2} &= \frac{d^2 x_i}{dt^2} + m \cdot \frac{d^2 x'_i}{dt^2} - m \cdot \frac{d^2 \xi_i}{dt^2} \\ \frac{d^2(y_i)}{dt^2} &= \frac{d^2 y_i}{dt^2} + m \cdot \frac{d^2 y'_i}{dt^2} - m \cdot \frac{d^2 \eta_i}{dt^2} \\ \frac{d^2(z_i)}{dt^2} &= \frac{d^2 z_i}{dt^2} + m \cdot \frac{d^2 z'_i}{dt^2} - m \cdot \frac{d^2 \vartheta_i}{dt^2} \end{aligned} \right\} \dots (6)$$

und wenn man hier auf beiden Seiten zweimal hintereinander integrirt, so ergeben sich mit Einführung der erforderlichen Constanten, die Gleichungen (5).

§ 11.

Hiernach lässt sich nun die Genauigkeit der Methode leicht beurtheilen, denn die Gleichungen (5) gelten nur mit derselben Annäherung mit welcher die Gleichungen (6) gelten, die noch nicht bis auf die erste Potenz der Masse des störenden Planeten richtig sind. Bis zu diesem Grade der Genauigkeit ist nämlich:

$$\left. \begin{aligned} \frac{d^2(x_i)}{dt^2} &= \frac{d^2x_i}{dt^2} + m \frac{d^2x'_i}{dt^2} - m \frac{d^2\xi_i}{dt^2} - k^2 \left(\frac{(x_i)}{(r)^3} - \frac{x_i}{r^3} \right) \\ \frac{d^2(y_i)}{dt^2} &= \frac{d^2y_i}{dt^2} + m \frac{d^2y'_i}{dt^2} - m \frac{d^2\eta_i}{dt^2} - k^2 \left(\frac{(y_i)}{(r)^3} - \frac{y_i}{r^3} \right) \\ \frac{d^2(z_i)}{dt^2} &= \frac{d^2z_i}{dt^2} + m \frac{d^2z'_i}{dt^2} - m \frac{d^2\vartheta_i}{dt^2} - k^2 \left(\frac{(z_i)}{(r)^3} - \frac{z_i}{r^3} \right) \end{aligned} \right\} \dots\dots (7)$$

und man erhält aus diesen Gleichungen durch zweimalige Integration, bis auf die erste Potenz der Masse genau:

$$\left. \begin{aligned} (x_i) - x_i &= (x'_i - x'_0 - a_1 t) m - (\xi_i - \xi_0 - \xi_1 t) m - k^2 \iint \left(\frac{(x_i)}{(r)^3} - \frac{x_i}{r^3} \right) dt^2 \\ (y_i) - y_i &= (y'_i - y'_0 - b_1 t) m - (\eta_i - \eta_0 - \eta_1 t) m - k^2 \iint \left(\frac{(y_i)}{(r)^3} - \frac{y_i}{r^3} \right) dt^2 \\ (z_i) - z_i &= (z'_i - z'_0 - c_1 t) m - (\vartheta_i - \vartheta_0 - \vartheta_1 t) m - k^2 \iint \left(\frac{(z_i)}{(r)^3} - \frac{z_i}{r^3} \right) dt^2 \end{aligned} \right\} \dots\dots (8)$$

Die Doppel-Integrale auf der rechten Seite des Gleichheitszeichens in diesen Gleichungen (8) sind es durch welche die Gleichungen (5) müssen vervollständigt werden und deren Auslassung bei einer Anwendung auf die Bahn eines der kleinen Planeten einen bedeutenden Einfluss nach sich ziehen kann. Wenn die Nichtaufnahme dieser dritten Glieder auch nicht immer eine so beträchtliche Abweichung vom richtigen Resultate fürchten lässt, wie sich bei der Vesta im obigen Falle herausstellt, so wird doch die Vernachlässigung dieser Glieder bei dem gegenwärtigen Standpunkte der beobachtenden und rechnenden Astronomie keineswegs gestattet sein.

§ 12.

Betrachtet man die Differenzialgleichungen (7), so zeigt sich, dass eine fortgesetzte directe Entwicklung der Functionen nach Potenzen der Zeit hier ebensowenig mög-

lich ist, als eine directe Anwendung von mechanischen Quadraturen, da auf der rechten Seite des Gleichheitszeichens die unbekannten Grössen noch selbst vorkommen, indem der zweite Differenzialquotient dieselben involvirt.

Wenn man der bequemen Übersicht wegen in gewöhnlicher Weise die Störungen der Coordinaten durch ξ, η, ζ bezeichnet und jetzt unter x, y, z die Coordinaten für den Fall der rein elliptischen Bewegung versteht, so wie unter r und ϱ die von diesen in bekannter Weise abhängigen Grössen, so ist, bis auf die erste Potenz der Masse genau:

$$\left. \begin{aligned} \frac{d^2 \xi}{dt^2} &= -\frac{k^2}{r^3} \left(\xi - 3 \frac{x}{r} \delta r \right) + \frac{m k^2 (x' - x)}{\varrho^3} - \frac{m k^2 x'}{r^3} \\ \frac{d^2 \eta}{dt^2} &= -\frac{k^2}{r^3} \left(\eta - 3 \frac{y}{r} \delta r \right) + \frac{m k^2 (y' - y)}{\varrho^3} - \frac{m k^2 y'}{r^3} \\ \frac{d^2 \zeta}{dt^2} &= -\frac{k^2}{r^3} \left(\zeta - 3 \frac{z}{r} \delta r \right) + \frac{m k^2 (z' - z)}{\varrho^3} - \frac{m k^2 z'}{r^3} \end{aligned} \right\} \dots \dots (9)$$

wo bekanntlich

$$\delta r = \frac{x}{r} \xi + \frac{y}{r} \eta + \frac{z}{r} \zeta.$$

Da für $t = 0$ die Grössen ξ, η, ζ und ebenso die ersten Differenzialquotienten derselben in Beziehung auf die Zeit, verschwinden, so machen sich jene Grössen erst in den Coefficienten von t^3 in der nach den Potenzen von t fortschreitenden Reihe bemerkbar; allein da sie selbst unbekannt sind, so muss hier die directe Entwicklung unterbrochen werden, und eine indirecte Methode zur Bestimmung dieses und der folgenden Coefficienten eintreten. Bei der Complication des vierten und der folgenden Differenzialquotienten, scheint das nun anzuwendende Näherungs-Verfahren bequem, wenn man die Reihen-Entwicklung nur bis zu dem Gliede fortsetzt, bis zu welchem sie direct zu machen ist, also bis t^3 inclusive, — den daraus hervorgehenden Theil des Betrages der Störungen ermittelt, und dann von dem ersten Gliede auf der rechten Seite des Gleichheitszeichens in den Gleichungen (9), besonders Rechnung trägt, welches, da die Störungen dann bereits näherungsweise bekannt sind, durch mechanische Quadraturen gesehen kann.

§ 13.

Die beiden ersten Glieder auf der rechten Seite des Gleichheitszeichens in (8) geben zu einer besondern Betrachtung Gelegenheit. Da nämlich

$$\begin{aligned}\xi &= x' - x_0; \eta = y'_0 - y_0; \vartheta = z'_0 - z_0 \\ \xi_1 &= a_1 - A_1; \eta_1 = b_1 - B_1; \vartheta_1 = c_1 - C_1\end{aligned}$$

für $t = 0$ bekannt sind, so sind auch die Elemente einer idealen Bahn, welche man von dem gestörten Planeten um den störenden als Centralkörper beschrieben sich denken kann, zu ermitteln, und aus diesen die für die Zeit t geltenden Coordinaten ξ, η, ϑ . Für die wirkliche Anwendung wird es wohl immer bequem sein das zweite Glied nach den Formeln

$$\begin{aligned}-(\xi - \xi_1 - \xi_1 t) &= \frac{mk^2}{1.2} \frac{\xi}{v_o^3} t^2 + \frac{mk^2}{1.2.3} \left(\frac{\xi_1}{v_o^3} - \frac{3\xi h}{v_o^5} \right) t^3 \\ -(\eta - \eta_1 - \eta_1 t) &= \frac{mk^2}{1.2} \frac{\eta}{v_o^3} t^2 + \frac{mk^2}{1.2.3} \left(\frac{\eta_1}{v_o^3} - \frac{3\eta h}{v_o^5} \right) t^3 \\ -(\vartheta - \vartheta_1 - \vartheta_1 t) &= \frac{mk^2}{1.2} \frac{\vartheta}{v_o^3} t^2 + \frac{mk^2}{1.2.3} \left(\frac{\vartheta_1}{v_o^3} - \frac{3\vartheta h}{v_o^5} \right) t^3\end{aligned}$$

zu berechnen, wie auch in dem obigen Beispiel für Vesta geschehen, allein die Denkbareit einer directen Bestimmung aller Glieder mit Ausnahme der drei Doppel-Integrale in (8) kann nicht geleugnet werden.

Die Einführung der Bahn, welche ich eine ideale genannt habe, hat für den ersten Augenblick etwas Befremdendes. Indessen ist bekannt, dass schon *Laplace* als er den Kometen von 1770 durch *Burchhardt* neu berechnen liess, diejenige Bahn in Betracht zog, welche dieser Komet um den Jupiter als Centralkörper beschrieb, als er in seine Anziehungs-Sphäre eintrat. Auch dort wurden die Elemente der relativen Bahn um den störenden Planeten berechnet aus den Coordinaten und den Differenzialquotienten derselben für eine bestimmte Epoche. Wenn die Beobachtungen, wie bei den meisten Kometen nur einen kurzen Zeitraum umfassen, so werden wie bereits § 8 angedeutet wurde, die letzten Glieder auf der rechten Seite des Gleichheitszeichens in den Gleichungen (8) in der Regel nur einen geringen Einfluss ausüben, und das Störungs-Problem in Bezug auf Kometen würde dann näherungsweise als durch endliche Ausdrücke lösbar zu betrachten sein.

§ 14.

In Bezug auf das obige Beispiel lasse ich der Vollständigkeit wegen die Coordinaten des Jupiter und der Vesta, welche bei der Berechnung benutzt wurden, hier folgen:

| θ^h mittl. Pariser Zeit. | Jupiter | | | Vesta | | |
|------------------------------------|----------|----------|------------|-----------|-----------|------------|
| | x' | y' | z' | x | y | z |
| 1853 Aug. 21 | -0,47772 | -5,24040 | +0,0286615 | -0,770942 | +2,399441 | +0,0276551 |
| Sept. 11 | 0,32108 | 5,24498 | 0,0251270 | 0,970769 | 2,310666 | 0,0545297 |
| Octob. 2 | 0,16415 | 5,24484 | 0,0215697 | 1,162556 | 2,202766 | 0,0800523 |
| " 23 | -0,00707 | 5,23997 | 0,0173930 | 1,344539 | 2,076303 | 0,1066919 |
| Nov. 13 | +0,15002 | 5,23033 | 0,0143999 | 1,514964 | 1,932002 | 0,1315140 |
| Dec. 4 | +0,30697 | -5,21593 | +0,0107937 | -1,672090 | +1,770754 | +0,1551812 |
| " 25 | 0,46363 | 5,19675 | 0,0071777 | 1,814206 | 1,599622 | 0,1771552 |
| 1854 Jan. 15 | 0,61986 | 5,17280 | +0,0035554 | 1,939647 | 1,401855 | 0,1980979 |
| Febr. 5 | 0,77552 | 5,14406 | -0,0000705 | 2,046820 | 1,196893 | 0,2168744 |
| " 26 | 0,93047 | 5,11056 | 0,0036965 | 2,134212 | 0,980377 | 0,2335548 |
| März 19 | +1,08454 | -5,07229 | -0,0073187 | -2,300435 | +1,754147 | +0,2479180 |
| April 9 | 1,23759 | 5,02929 | 0,0100339 | 2,244238 | 0,520215 | 0,2597551 |
| " 30 | 1,38948 | 4,98155 | 0,0145388 | 2,264557 | 0,280910 | 0,2688737 |
| Mai 21 | 1,54006 | 4,92911 | 0,0181301 | 2,260534 | +0,038568 | 0,2751019 |
| Juni 11 | 1,68918 | 4,87200 | 0,0217042 | 2,231555 | -0,201189 | 0,2782940 |
| Juli 2 | +1,83670 | -4,81025 | -0,0252577 | -2,177332 | -0,444622 | +0,2783349 |
| " 23 | 1,98245 | 4,74390 | 0,0287870 | 2,097894 | 0,679884 | 0,2751460 |
| Aug. 13 | 2,12630 | 4,67299 | 0,0322885 | 1,993426 | 0,907031 | 0,2686896 |
| Sept. 3 | 2,26809 | 4,59758 | 0,0357589 | 1,864836 | 1,123221 | 0,2589734 |
| " 24 | 2,40768 | 4,51773 | 0,0391946 | 1,713184 | 1,325485 | 0,2490542 |
| Octb. 15 | +2,54494 | -4,43346 | -0,0425922 | -1,539985 | -1,511095 | +0,2300401 |
| Nov. 5 | 2,67972 | 4,34485 | 0,0459483 | 1,347143 | 1,677361 | 0,2110914 |
| " 26 | 2,81186 | 4,25199 | 0,0492591 | 1,136922 | 1,822013 | 0,1894198 |
| Decb. 7 | 2,94122 | 4,15495 | 0,0525213 | 0,911925 | 1,942970 | 0,1652852 |
| 1855 Jan. 7 | 3,06766 | 4,05379 | 0,0557314 | 0,675014 | 2,038544 | 0,1389916 |
| " 28 | +3,19106 | -3,91861 | -0,0588860 | -0,429274 | -2,107457 | +0,1108892 |
| Febr. 18 | 3,31127 | 3,83947 | 0,0619821 | -0,177932 | 2,148875 | 0,0813219 |
| März 11 | 3,42819 | 3,72648 | 0,0650166 | +0,075723 | 2,162418 | 0,0507082 |
| April 1 | 3,54164 | 3,60976 | 0,0679852 | 0,328411 | 2,148466 | +0,0194420 |
| " 22 | 3,65150 | 3,48941 | 0,0708848 | 0,576935 | 2,106634 | -0,0120720 |
| Mai 13 | +3,75767 | -3,36551 | -0,0737128 | +0,818253 | -2,038753 | -0,0434362 |
| Juni 3 | 3,86003 | 3,23818 | 0,0764664 | 1,049525 | 1,945819 | 0,0742678 |
| " 24 | 3,95845 | 3,10754 | 0,0791413 | 1,268168 | 1,829447 | 0,1042064 |
| Juli 15 | 4,05281 | 2,97373 | 0,0817355 | 1,471883 | 1,691520 | 0,1329188 |
| Aug. 5 | 4,14301 | 2,83687 | 0,0842456 | 1,658674 | 1,534127 | 0,1601034 |
| " 26 | +4,22894 | -2,69708 | -0,0866680 | +1,826866 | -1,359516 | -0,1854932 |
| Sept. 16 | 4,31050 | 2,55451 | 0,0890024 | 1,975094 | 1,170033 | 0,2088563 |
| Octb. 7 | 4,38758 | 2,40030 | 0,0912138 | 2,102304 | 0,968087 | 0,2299973 |
| " 28 | 4,46010 | 2,26155 | 0,0933897 | 2,207731 | 0,756008 | 0,2487558 |

Über
den Hemmungsprozess in der Antherenbildung

VON

H. Gieswald, Dr. phil.

Im Allgemeinen beruht die richtige Erkenntniß einer Sache auf der Kenntniß ihrer Vollen-
dung und ihrer Entstehung, besonders jedoch auch in der Beobachtung der in der Mitte liegenden
Zwischestufen. Eine solche Zwischenstufe ist in der Entwicklung der Anthere das in der Meta-
morphose begriffene Staubblatt, das nicht seine Vollendung, weder als Blumenblatt, noch als
Staubblatt, erreicht. Es dürfte daher nicht uninteressant erscheinen, dieses Übergangsstadium,
diesen Hemmungsprozess in der Antherenbildung, näher zu untersuchen, zumal er
uns über manche Erscheinungen, die in der normalen Form schwer zu deuten sind, Aufschluss
geben wird.

Vor allen Dingen wird aber bei diesen Untersuchungen eine Kenntniß der normalen An-
therenentwicklung vorausgesetzt und eine Bekanntschaft mit den verschiedenen Ansichten der
Beobachter verlangt werden. Es soll daher eine Zusammenstellung der bei den folgenden
Beobachtungen berücksichtigten Schriften vorausgeschickt, und somit nicht etwa Anspruch auf
eine vollständige Aufzählung aller darüber geschriebenen Arbeiten gemacht werden.

Wir können uns nicht mit den über Zellentheorie im Allgemeinen erschienenen Schriften
beschäftigen, da sie uns zu weit führen würden, zumal die Ansichten speciell über die Pollen-
zelle und ihre Entwicklung sehr verschieden und die Anzahl der darüber gelieferten wissen-
schaftlichen Schriften keine geringe ist. Wir gehen deshalb über die Ansichten eines *Hooke*
(*Mikrographia* 1667) und *Malpighi* (*Anatomia plantarum* 1675—1679), welche die Zellen zuerst
als geschlossenen Schlauch (utricleus) betrachteten, oder eines *Greve* (*Anatomic des plantes*.
Leide 1685), der die Zellen mit Bläschen, ähnlich dem Bierschaume, vergleicht, oder des
C. Fr. Wolff (*Theoria generationis. Halae* 1774), der die Zellen für hohle Räume einer homo-
genen Masse hält — wir gehen über diese Ansichten hinweg, indem wir die weiteren Entwick-
lungen, die aus den Beobachtungen hervorgehen, als bekannt voraussetzen und wenden uns
speciell zu den Untersuchungen über die Pollenzellen. —

Wenn Nägeli (Zur Entwicklungsgeschichte des Pollen. Zürich 1842) *Koelreuter (Versuche und Beobachtungen über das Geschlecht der Pflanzen. Leipzig 1761)* als den ersten bezeichnet, der, durch die Beobachtung geleitet, dass beim Anschwellen der Pollenkörner im Wasser an bestimmten Stellen kegelförmige Answüchse hervortreten, vermuthete, dass das Pollenkorn aus 2 Häuten bestehe, so möchte ich die bereits 1737 in Leipzig erschienene Dissertation von *Ludwig et Haase: „De sexu plantarum“* der erwähnten vorausschieken, weil sich in ihr ganz interessante Beobachtungen über die Geschlechter der Pflanzen früher vorfinden. — 1790 tritt *Gleichen* mit: *Microscop-Untersuchungen der Zeugungstheile der Pflanzen. Nürnberg*, auf, der die Pollenzelle genau untersucht und nur eine Membran (exine Fritsche) erkennt. — In demselben Jahre erscheint auch *Göthe's: Metamorphose der Pflanzen. Gotha 1790*, in der, wie bekannt, das Blatt als das Wesentliche der Pflanze hingestellt wird, eine Ansicht, die wohl noch jetzt gilt, für und gegen die aber schon häufig gesprochen und die in der neuesten Zeit durch *Daniel Müller* in Upsala (*Bot. Zeitung 1856*) bekämpft wird, da seiner Ansicht nach die Knospe die Stelle des Blattes einnehmen soll. — 1793 trat *Ch. K. Sprengel* mit guten Beobachtungen auf, und veröffentlichte: *das entdeckte Geheimniss der Natur im Bau und in der Befruchtung der Blumen, Berlin*. Ihm folgte *Medicus: Beiträge zur Pflanzen-Anatomic, 1799*, und *J. Senebier* mit seiner *Physiologie végétale. Genève 1800*, in der, trotz vieler guten Beobachtungen, doch eigenthümliche Ansichten über den Pollen vorkommen, die insofern mit den Ansprüchen *Billard's, Hedwig's (De fibrae vegetabilis et animalis ortu 1789)* und *Du Hamel's* übereinstimmen, als der Staub an dünnen, zerreisslichen Fäden hängend gedacht wird. — Sehr gründlich sind die Beobachtungen der Spiralfaserzellen im Allgemeinen, und namentlich in den Antheren, wenn auch in der Deutung ihres Nutzens, ähnlich wie es *Comparetti* und *Carolo* machen, zu weit gegangen wird, somit den Ansichten *Geoffroy's*, die in den Nachrichten der Akademie, 1711, enthalten sind, gehuldigt wird. — *Th. v. Sponssauer* trat mit seinen *chemischen Untersuchungen über die Vegetation* auf und eröffnete rühmlichst eine Bahn, die später noch vielfach betreten wurde. 1806 veröffentlichte *L. C. Treviranus* seine Arbeit: *Vom inneren Bau der Gewächse. Göttingen*, ein Jahr nach ihm *K. A. Rudolphi: Anatomie der Pflanzen*, in demselben Jahre publicirte auch *D. H. F. Link: Grundlehren der Anatomie und Physiologie der Pflanzen*, 1811 *Treviranus: die Beiträge zur Pflanzenphysiologie* und 1812 *J. J. P. Moldenhauer* seine: *Beiträge zur Anatomie der Pflanzen. Kiel*. — *D. G. Kieser* stellte in: *Memoire sur l'organisation des plantes*, die in Harlem 1812, und in: *Grundzüge der Anatomie der Pflanzen*, die in Jena 1815 erschienen, seine eigenthümlichen Ansichten über den Bau der Zelle auf, und 1816 veröffentlichte *P. Keith: A system of physiological botany. London*. Im Jahre 1820 erscheint von *A. Henschel* eine Schrift: *Von der Sexualität der Pflanzen*, der im Jahre 1828 von demselben Verfasser einige neue Beobachtungen, als: *Nachricht von einigen der Bestäubung der Pflanzen betreffenden Versuchen* hinzugefügt werden. Mittlerweile sind 1821 von *Autenrieth: De discrimine sexuali plantarum*, 1822 von *Treviranus: Die Lehre vom Geschlechte der Pflanzen*, erschienen, und 1824 ist von *Anici* eine Arbeit veröffentlicht, in der wohl zum erstenmale die Pollenschläuche an *Portulacca oleracea*

aufgefunden sind. Amici nahm eine äussere mehr oder weniger dicke Haut, die glatt oder mit Warzen bedeckt ist, und eine innere dünne durchscheinende Membran an. Seine Entdeckungen bestätigte Adolphe Brongniart durch seine Untersuchungen, die er auch an andern Pflanzen anstellte (*Mémoire d. l. Génér. et le Dév. de l'Embr. d. l. vég. phan.* 1827). Über den Inhalt der Pflanzenzelle erschien 1828 von Meyen und im folgenden Jahre die berühmte Arbeit Robert Brown's: *Microscopical observations on the particles contained in the pollen of plants.* 1829, der sich 1832: *Observations on the organs and mode of fecundation in Orchideae and Asclepiadeae.* London, anschloss, und in welchem wohl zuerst dem Zellkerne (nucleus) die gebührende Aufmerksamkeit geschenkt wurde, so dass diese Untersuchungen die Basis für spätere (*Schleiden in Müllers Archiv.* 1838) bildeten. In den Jahren von 1830 bis 1839 erschienen von Meyen: *Phytotomie.* Berlin 1830, dann: *Neues System der Pflanzenphysiologie und: Über die Secretionsorgane der Pflanzen.* 1830 wurde die Arbeit des Purkinji: *De cellulis antherarum fibrosis.* Vratisl., veröffentlicht. — 1832 erschien *De Candolle: Physiologie végétale*, die später von Roeper in's Deutsche übersetzt wurde, und im darauffolgenden Jahre: *Fritsche: De plantarum polline.* Berl. 1833. In dieser Arbeit wies der Beobachter nach, dass die Ansicht der Physiologen, welche den Inhalt der Pollenzelle für Spermatozoen gehalten, eine falsche gewesen und dass nur Amylumkörnchen mit Molecularbewegung, gemischt mit Öltröpfchen und Schleim, vorhanden seien. Er erkannte nicht nur die Intine und Exine, sondern auch die bisweilen vorkommenden 4 Häute: Intine und Exintine, Intexine und Exine. — In demselben Jahre erschien von de Mirbel: *Recherche sur le Marchantia*, in der er auf die Mutterzellen und Tochterzellen, die in den Antheren vorkommen, ohne ihnen gerade diese erst später eingeführten Namen zu geben, aufmerksam machte. Er hat die von Adolphe Brongniart veröffentlichten Untersuchungen über die masse pollinique zu Grunde gelegt. 1834 tritt Hugo v. Mohl mit seinen Untersuchungen: *Über den Bau und die Formen der Pollenkörner*, auf, 1835 Treviranus mit der *Physiologie der Gewächse*, und in demselben Jahre erscheint auch wiederum von Mirbel unter dem Titel: *Ex. crit. d'un passage du Mém. de Mr. H. Mohl*, eine Abhandlung, in der er auf die Ähnlichkeit der Spore und des Pollenkornes aufmerksam macht. 1837 erscheint: *Physiologie végétale par Raspail*, in demselben Jahre: *Globules sortant du stygmate du Pacokia Cretica* par M. Wydler und auch eine Abhandlung von Schleiden in *Wiegmanns Archiv*, die durch gemeinschaftliche Untersuchungen mit Vogel, als: *Entwicklung des Pollen in der Leguminosenblüthe* erweitert in den *Actis. Acad. C. L.* von 1838 enthalten ist. — Endlicher trat 1838 mit einer Arbeit: *Neue Theorie der Pflanzenzeugung auf und Kützing* veröffentlichte in der *Linnaea* 1841 einen Aufsatz, in dem zuerst wohl der Primordialschlauch erkannt, aber die später von Mohl ihm zuertheilte eigenthümliche Eigenschaft übersehen ist, so dass er als Amylidzelle beschrieben wird. Im folgenden Jahre veröffentlicht Nägeli: *Zur Entwicklungsgeschichte des Pollens bei den Phanerogamen.* Zürich 1842, eine 36 Seiten lange Schrift, in der namentlich die damals neuesten Untersuchungen Meyens in dessen Physiologie nochmals geprüft werden und den dort complicirten Darstellungen eine bessere Übersicht gegeben wird. Auch Th. Hartig tritt 1842 mit einer neuen Theorie der

Befruchtung auf. 1843 erscheint von Karsten: *De cella vitali*, eine Abhandlung, die insofern interessant ist, als der Verfasser die seit R. Brown und andern älteren Botanikern feststehenden Thatsachen darin angreift und u. a. dem Zellkerne jene ihm zur Zellenbildung als nothwendig anerkannte Existenz bestreitet. Dieser Ansicht wird ebenfalls von Hartig: *Beiträge zur Entwicklungsgeschichte der Pflanzenzelle. Bot. Zeitung 1855*, gehuldigt.— Auch der Primordialschlauch (Schleimschicht) wird von Karsten erkannt, jedoch für eine secundäre Zelle insofern gehalten, als er behauptet, die Schleimschicht schiebe sich, nachdem die Membran entstanden, zwischen Inhalt und Membran ein.— Auch Hartig erkennt in der 1844 erschienenen Schrift: *Das Leben der Pflanzenzelle*, den Primordialschlauch in den Zellen saftiger Früchte, nennt ihn aber Ptychode,—eine Benennung, die er jetzt noch beibehalten,—versteht aber bei den Holzzellen unter demselben Namen eine ganz andere, aus Zellstoff bestehende Membran, die innerste Verdickungsschicht der Zellwand, so dass dadurch in die Ptychode-Theorie Verwirrungen hereingebracht werden. Diese Wirren beseitigt Mohl durch eine in die *botanische Zeitung von 1844* eingesandte Abhandlung, in der er zuerst seine gründlichen Untersuchungen über den Primordialschlauch veröffentlicht.— Bekanntlich sind die Resultate dieser Beobachtung in der neuesten Zeit durch Pringsheim angegriffen, der die Umwandlung des Primordialschlauches in die Zellwand gesehen zu haben glaubt. In Folge dieses Angriffes ist von Hugo v. Mohl eine Entgegnung in der *Bot. Zeitung von 1855* enthalten. Im Jahre 1844 erscheint auch von Unger: *Über merismatische Zellbildung bei der Entwicklung des Pollens*, gleichzeitig beginnt die Herausgabe der von Nägeli und Schleiden redigirten Zeitschrift für Botanik.— 1846 macht Unger seine Grundzüge der Anatomie und Physiologie der Pflanzen bekannt, und in demselben Jahre J. B. Barisch: *Observationes phytotomicae. Halae.*— 1850 erscheint von H. Schacht: *Die Entwicklungsgeschichte des Pflanzen-Embryo*, in der sorgfältige Untersuchungen namentlich auch über den Primordialschlauch angestellt sind; ebenso Mulder: *physiologische Chemie*, und eine neue, verbesserte Auflage von Schleiden's *Grundzüge der Botanik.*— 1851 erscheint von Mohl: *Grundzüge der Anatomie der vegetabilischen Zelle*, eine Arbeit, in der namentlich dem Zellkerne, der aus dem Protoplasma hervorgeht, so wie dem Protoplasma und dem Cytoblastema, besondere Aufmerksamkeit geschenkt wird. Auch Alexander Braun weist in der „*Verjüngung in der Natur*“, Leipzig, 1851, die Richtigkeit der von Mohl beobachteten Thatsache nach, dass der Primordialschlauch in allen Fällen früher, als die eigentliche Zellmembran entstehe.— 1852 erscheinen: *Die Pflanzenzelle* von H. Schacht und in der *Bot. Zeitung* Aufsätze von W. Hofmeister: *Zur Entwicklungsgeschichte der Zosteren*, von H. Karsten: *Entwicklung der Lorantheen*. In der *Linnæa*: *Ein kleiner Beitrag zur Entwicklungsgeschichte des Pollen* von H. Gienwald, der *Bot. Zeitung von 1853* erscheint von Mohl: *Über die Zusammensetzung der Zellmembran aus Fasern*, 1854 von Hartig: *Über die Function des Zellkernes*, und R. Neumann: *Über Antherae anticae und posticae und deren Übergänge in einander*; eine Arbeit, in der der Verfasser den Ansichten R. Brown's, H. v. Moll's, Röper's und Schleiden's beistimmt. 1855 erscheinen Hartig: *Beiträge zur Entwicklungsgeschichte der Pflanzenzelle*, Mohl: *Über den Primordial-*

schlauch und über den Bau des Chlorophyll's. In dem letzteren Aufsatze wendet sich Mohl gegen die Theorie, welche die Bläschenatur des Chlorophylls — wie sie von Nägeli, später von Göppert, Cohn und Hofmeister (Untersuchungen höherer Cryptogamen) aufgestellt — vertheidigt. Auch mit der von Mulder aufgestellten chemischen Theorie ist Mohl nicht einverstanden. Zu erwähnen ist noch die in den Actis. Academ. Caesar. Leopoldino-Carolinae pars 25 im Jahre 1855 erschienene Abhandlung von Th. Gümbel: *Ueber das Spreite Korn und das Pollenkorn*, in der der Verfasser die Nothwendigkeit erklärt, einen morphologisch wie physiologisch begründeteren andern Ausdruck an die Stelle von „Spaltöffnungen“ zu setzen. Er hat Anfangs den Namen „Kornzelle“ (Flora 1854 Nro. 7) gewählt, dann aber die Bezeichnung „Spreite Korn“, „Thallophyse“ für geeigneter gehalten, so dass dieser Ausdruck für „Stomata“, „Hautdrüsenzellen“ (Nägeli), „glandes corticales (Saussure), „glandes epidermoidales“ (de la Metheirie) gilt. — Der schon früher erwähnte: *Versuch zu einer Berichtigung der Metamorphosenlehre* erschien 1856 von Daniel Müller. — Diese angeführten Arbeiten sind den folgenden Beobachtungen im Allgemeinen zum Grunde gelegt und vorkommende Citate auf sie bezogen. —

Die Umwandlung der Staubblätter in Blumenblätter, durch welche die gefüllten Blüten erzeugt werden, ist häufig von den Morphologen beobachtet, und die äusserlich wahrnehmbaren Erscheinungen sind vielfach gedeutet worden — Agardh und Endlicher betrachten das Staubblatt als ein Axenorgan und die Staubfäden für einen Ast, der in einer gewissen Höhe zwei opponirte Blätter trägt, welche sich mit Kelch- und Blumenblättern kreuzen, mit ihrer Mittelrippe an den Ast (filamentum) angewachsen sind und sich, wie Agardh behauptet, mit ihrer lamina seitwärts und einwärts angebogen haben, um die Antheren-loculamenta zu bilden. Nach Endlicher dagegen rollen sie sich zu demselben Zwecke nach aussen um, und wachsen mit ihren Rändern an ihre eigene Mittelrippe an. — Decandolle glaubt, der Staubfaden sei ein Blatt, dessen Ränder sich gegen die Mittelrippe hin umschlagen, so dass auf diese Weise die Antherenfächer gebildet würden; er glaubt ferner, dass wenn die Antheren in Carpelle übergehen, die Pollenkörner sich in ovula verwandeln. — Ernst Meyer, Röper, Schleiden, Mohl und mit ihnen einige andere lassen die beiden Antheren durch Anschwellung der Seitenhälften des in die Anthere verwandelten Blattes entstehen; demnach sind ihrer Ansicht nach

die Loculamente als Anshöhlungen im Blattparenchym, das mit veränderten Parenchymzellen (Pollenzellen) gefüllt ist, zu betrachten, und die Suturen der Antheren entsprechen den Blatträndern. *Hugo v. Mohl* zweifelt, ob die Ansicht, dass die Nath der Anthere dem Blattrande entspreche, in allen Fällen richtig und führt dagegen an, dass bei der gefüllten Blüthe von *Rosa*, *Papaver* und *Nigella* die vordern und hintern Antherenloculamente nicht so einander gegenüber liegen, dass die ersteren auf der obern, die letzteren auf der untern Fläche sich befinden, sondern dass beide auf der obern Fläche sich bilden, und zwar zwei nahe der Mittelrippe des Blattes, zwei andere, oben freilich weiter davon entfernt, unten jedoch mit einander verbunden.

Die folgenden an Antheren-Missbildungen angestellten Untersuchungen werden uns schliesslich Resultate liefern, die uns zu einer bestimmten Deutung führen werden. Da aber die äussere Form durch die Anordnung und Entwicklung der im Innern angelegten Zellen bedingt wird, wollen wir die einzelnen Zellen, wie sie im normalen Zustande auftreten, näher in's Auge fassen, und dann die dabei auftretenden Hemmnungserscheinungen in ihrem Ursprunge, und die Folgen ihrer Einwirkungen auf die Pollenzellen zu ermitteln suchen.

Die Mutterzellen.

Bevor wir zu der Entwicklung der Zellen übergehen, sei es gestattet, eine kurze Beschreibung der äusserlich wahrnehmbaren Umwandlungen der Anthere voranzuschicken. Dabei sei gleichzeitig bemerkt, dass die Untersuchungen an Knospen von 2^{mm}, und an Antheren von 0,25^{mm} Durchmesser, theils um die normale Form, theils um die Metamorphose schon in diesen ersten Stadien der Entwicklung zu untersuchen, angestellt wurden. — Bei dem ersten Beginnen der Umwandlung wird die sonst mit einer kleinen Rückenfurche versehene Anthere nur an der Basis ganz abgeflacht, die Mitte und die Spitze zeigen durchaus keine wahrnehmbaren Veränderungen. Erst später breitet sich die Basis des Connectivums in eine Fläche allmählig aus und stellt bald die Mittelrippe einer kleinen Blattfläche dar. Das Filamentum breitet sich ebenfalls, wenn es pfriemförmig ist, allmählig aus und zeigt das Bestreben, die Breite des unten erweiterten Mittelbandes anzunehmen. Die vier Loculamente erscheinen an der Spitze dicht aneinander gelagert, an der Basis jedoch von einander getrennt und nach dem Rande der grüngelbten Blattfläche hingeschoben (Fig. 1). Während nun das Connectivum

sich immer mehr ausdehnt und die Blattfläche immer grösser erscheint, bildet sich das, bisher nur in der Anlage bestehende Gefässbündel des *Connectivum*s allmählig ganz und gar aus, und man beobachtet kleine Nebengefässbündel (später Blattrippen), die von der Mittelrippe, dem Gefässbündel des *Connectivum*s, aus jederseits in die Blattfläche hinein oder ihr resp. parallel laufen. Man sieht deutlich, dass die Umwandlung entweder durch Dehnung der seitlichen *Connectivum*-Zellen auf Kosten der hinteren oder der vorderen zwei *Loculamente* geschehen, oder die Verwandlung gleichmässig in Bezug auf alle vier Fächer fortgeschritten ist. — In beiden Fällen hat also die Umwandlung von vorneherein konstant zwei Richtungen eingeschlagen; einmal nämlich hat sich die Blattfläche stets zuerst an der Basis entwickelt, und die Metamorphose ist dann langsam nach der Spitze hin fortgeschritten (eine Thatsache, die durch das Erscheinen der gelb gefärbten *rudera* der *thecae* an der Spitze der Blattfläche bestätigt wird Fig. 2, 3, 4, 5), gleichzeitig hat dann aber auch eine Veränderung des Zellgewebes vom Gefässbündel des *Connectivum*s aus, links und rechts nach den Blatträndern hin, stattgefunden. — Dieses sind die im Allgemeinen äusserlich wahrnehmbaren Umänderungen, die, wie es auch später die anatomischen Untersuchungen bestätigen werden, insofern auf einem Hemmungsprozesse in der Zellenentwicklung beruhen, als die Fortbildung der höheren modificirten Parenchymzellen (die Pollenzellen), die der Anlage nach vorhanden, durch die Bildung von Blattparenchymzellen gehindert wird. — Es ist also selbstverständlich hier statt des Staubblattes mit einem differenzirten Zellenstrange, den Pollenzellen, ein Blumenblatt ohne jenen Zellenstrang, aber mit modificirten Parenchymzellen angelegt, und die eben vorhin beschriebenen Erscheinungen erhalten daher rückwärts ihre Deutung: die Pollenzellen sind an den Spitzen der Blätter entwickelt, dann tritt aber die fernere Entwicklung nur mehr dem Rande näher auf. Dadurch erscheint der übrige Theil des Blattes, in dem nur Parenchymzellen sind, als Blattfläche, natürlich mit kleinen Blattrippen durchzogen, und es hat also thatsächlich das Entgegengesetzte von der äusserlich wahrnehmbaren Erscheinung stattgefunden, weil die Bildung der modificirten Parenchymzellen von der Spitze nach der Basis, von dem Rande nach der Mittelrippe hin, vorgeschritten ist. Somit hat sich nicht das Blatt, d. h. die Parenchymzelle, auf Kosten der Pollenzelle, sondern umgekehrt die letztere durch Umwandlung der ersteren gebildet. — Dasselbe findet auch statt, wenn das metamorphosirte Staubblatt nicht nur eine Fläche, sondern mehrere Blattflächen zeigt (Fig. 6 bis 15), oder gespalten erscheint, und in diesen Fällen ergab die bei weitem grösste Zahl der

Beobachtungen, dass die Anthereunath dem Blattrande entspricht. Nur in seltenen Fällen (*Fig. 12 und 14*) wurden Ausnahmen, von denen später die Rede sein soll, beobachtet. —

Diesen äusseren mannigfachen Formverschiedenheiten analog sehen wir auch auf Querschnitten von metamorphosirten Staubblättern die verschiedenartigsten Zellen der Form und dem Inhalte nach. Das Chlorophyll, welches den Hauptbestandtheil der Zelle im Allgemeinen bildet, wird entweder garnicht verändert, und Querschnitte zeigen überall homogene Zellen, so dass sich ein vollständiges Blatt entwickelt, oder die Umwandlung geht vollständig vor sich, und dann bildet sich die normale Anthere, oder es geschieht endlich eine theilweise Verwandlung des Chlorophylls, an der nur einige Zellen Theil nehmen, und wir erblicken die zu untersuchende Übergangsform zwischen dem normalen Blatte und dem normalen Staubblatte. Betrachten wir, ehe die einzelne Zelle näher untersucht wird, etwa auf sechs schematisch von der Basis nach der Spitze des Blattes gelegten Schnitten im Allgemeinen die Zellen, so sehen wir:

- I. an der Basis des metamorphosirten Blattes ein bereits ausgebildetes Gefässbündel (im normalen Zustande nur die Anlage zum Gefässe), unlagert von fast homogenen, sich bis zum Rande erstreckenden Zellen, die hier und dort kleine Gefässbündel verrathen.
- II. Etwas höher zeigt der Querschnitt nicht mehr vollständig gleichgebildete Zellen, sondern näher dem Rande liegen mehre dem Inhalte nach vom andern Gewebe verschiedene Zellen, wie es scheint modificirte Parenchymzellen, ähnlich den Centralzellen (Urmutterzellen) des Pollen;
- III. Der nächst höher gelegene Schnitt zeigt am Rande Pollenmutterzellen, mehr dem Gefässbündel zu dagegen Zellenräume, deren Inhalt aus umgewandeltem Chlorophyll, ähnlich wie die Centralzellen, bestehen.
- IV. Ein höher gelegter Schnitt zeigt die dem Rande genäherten, in Theilung begriffenen Mutterzellen und seitlich von ihnen modificirte Parenchymzellen verschiedener Art.
- V. Mehr der Spitze zu ist die Theilung der Mutterzellen vor sich gegangen, und der die Pollenzelle producirende Cytoblast ist zu erkennen.
- VI. Ein Schnitt durch die Spitze zeigt vollständig entwickelte Pollenzellen.

Es ist klar, dass diese an der Spitze gelegenen Zellen, die in dem zweiten bis sechsten Querschnitte erwähnten Stufen der Entwicklung durchlaufen haben, aber es zeigt sich

häufig, dass die auf diesen Querschnitten beschriebenen Zellen sich nicht weiter entwickeln, sondern bis zu einem bestimmten Stadium entwickelt, in ihrer fernern Ausbildung gehemmt bleiben. Diese Erscheinung documentirt sich äußerlich durch eine grünlich-gelbe Farbe, während die normalen Pollenzellen vollständig entwickelt gelb erscheinen. —

Zwischen den Zellgeweben der normal gebauten Anthere und den in der Metamorphose begriffenen macht sich von vorneherein ein Unterschied sofort bemerkbar. Vor allem gewinnen bei der normalen Bildung die Centralzellen und mit ihnen später die Mutterzellen und die Pollenzellen die Oberhand und dehnen sich auf Kosten der peripherischen Zellen, von denen bekanntlich mehrere Reihen resorbirt werden, und der Connectivzellen aus. Dagegen bleiben die Centralzellen, und mit ihnen die Mutterzellen des in der Metamorphose begriffenen Blattes mehr zusammengedrückt und werden weniger ausgebildet, theils weil auch die Resorption der sie umgebenden Zellen nicht stattfindet. Diese Hemmung kann nur dadurch erklärt werden, dass die Parenchymzellen schon der Anlage nach das Übergewicht erlangt haben, und durch den Stoffwechsel bedingt die Ernährung, und somit auch die Ausbildung der Pollenmutterzelle im Allgemeinen eine andere, als es im normalen Zustande wird. Während bei der Anthere das Zellgewebe sich schon in der Anlage in fünf centrale, senkrechte Zellenreihen differenzirt und z. B. ein Staubbeutel von 0,25" Durchmesser bereits ein feinkörniges Granulum in einzelnen Zellen (den Urmutterzellen) zeigt, Fig. 16, verschwindet bei den in der Metamorphose begriffenen Beuteln dieser Unterschied des Zelleninhaltes oftmals ganz, und man erblickt, wie schon in I. bemerkt, an der Basis gewöhnlich homogene Zellen, die das Gefäßbündel umgeben. Alle diese Zellen sind mit Chlorophyll gefüllt und zeigen nicht, wie im normalen Zustande, die Bildung von Zellen in Zellen. Dieser Mangel der Erzeugung entsteht aber meiner Meinung nach durch den Mangel an Cytoblasten, und dieser wieder durch die chemische und physikalische Beschaffenheit des Zelleninhaltes. Es ist somit wohl einleuchtend, dass der Hemmungsprozess durch die überwiegende Bildung von Chlorophyll in allen Theilen der Pflanze, namentlich auch, wie es sonst nicht geschieht, in den Staubblättern — die sonst in ihren Central-Pollenzellen eine protoplasmatische Substanz produciren — eingeleitet wird. — Die von Mohl über das Chlorophyll angestellten Untersuchungen kann man, wenn die bereits modificirten Parenchymzellen, die mit einem Cytoblasten versehen sind, untersucht werden, nur bestätigen. Über die Ansicht Nägelis, gegen die freilich Mohl auftritt, erhält man durch

diese Untersuchungen kein Urtheil, weil das Object ein Studium des anatomischen Baues nicht gut zulässt. — Bekanntlich hält Nägeli das Chlorophyll ähnlich dem Zellkerne und dem Amylum für ein Bläschengebilde, das nicht etwa als eine Vacuole, sondern als eine Zelle mit einer eigenthümlichen Membran und einem der Veränderung unterliegenden Inhalte betrachtet werden muss. — Wenn nun hier auch nicht der anatomische Bau studirt werden kann, so muss man doch die von Mohl bei *Anthoceros* gemachten Beobachtungen: „der Farbestoff, das Chlorophyll nämlich, sei an eine den Zellkern umhüllende Protoplasmanasse gebunden“, bestätigen, denn diese Wahrnehmung kann man machen, so oft sich der Untersuchung modificirte Parenchymzellen, bei denen das Chlorophyll sich noch nicht vollständig umgewandelt zeigt, darbieten. Ebenso bestätigen sich die von Mohl bei *Zygnema* wahrgenommenen Erscheinungen, nach denen das Chlorophyll in der Zelle eine peripherische Schicht, vom Zellkerne entfernt, bildet. Stets erscheinen die Chlorophyllkörner an der innern Seite des Primordialschlauches angeheftet. — Es dürfte ausserdem aus den hier auftretenden Erscheinungen hervorgehen, dass das Chlorophyll eine dem Protoplasma verwandte Substanz ist, da die Umwandlung des Blattgrüns in protoplasmatische Bläschengebilde hier direct, ohne vorher in Amylum übergegangen zu sein, vor sich geht. — Dadurch wird allerdings ein Widerspruch gegen Mulder erhoben, der zu beweisen sucht, dass die Bildung der grünen, aus Wachs und Farbestoff bestehenden Substanz der Chlorophyllkörner mit einer von aussen nach innen vorschreitenden Umwandlung und dem endlichen Verschwinden der Amylunkörner verbunden sei. — Seiner Ansicht nach soll in dieser Umwandlung des Amylums in Wachs eine reichliche Ausscheidung von Sauerstoff begründet sein, und es sollen die Pflanzen nicht darum Sauerstoff aushauchen, weil sie grün sind, sondern weil sie grün werden, indem sie unter dem Einflusse des Lichtes beständig neuen Farbestoff und das mit demselben verbundene Wachs aus Amylum bilden. — Reagentien zeigen wohl nie Amylunkörner bei dem Umwandlungsprozesse des Chlorophylls in Protoplasma und Cytoblastema, jenen schleimig flüssigen und körnig conculirten Massen, und somit dürfte, ebensowenig wie zu der Rückbildung des Blattgrün in Kernbläschengebilde eine Bildung von Stärke nöthig ist, auch umgekehrt bei der Umwandlung des Zelleninhaltes zu Chlorophyll eine Amylumbildung unnöthig sein. Häufig wird bei vielen Zellen, die eben in ihrer Entwicklung dann auch gehemmt werden, nicht vollständig das Chlorophyll in Granulum umgewandelt, und es tritt dann dieselbe Erscheinung ein, welche Mohl bei *Anthoceros* beobachtet hat, indem er anführt, dass bei dieser Pflanze die Protoplasma-

masse, welche bei allen Pflanzen den nucleus umhüllt, zu einer besondern Entwicklung gelangt, und dass mit ihr der grüne Farbestoff verbunden ist. — Mohl hat nicht durch die Beobachtung feststellen können, ob das Chlorophyll auch die Substanz des nucleus durchdringt. Meinen Untersuchungen nach ist es in dem vorliegenden Falle nie vorgekommen, sondern wenn auch die sonst mit spiegelglatter Oberfläche versehenen Kernbläschengebilde häufig weniger glänzend, weil sie weniger lichtbrechend, erscheinen und der Cytoblast durch sie verdeckt wird, so ist letzterer selbst, als Bläschengebilde im Sinne Mohl's, ungefärbt aufgetreten. Man wird leicht einsehen, welche wichtige Rolle bei dem metamorphosirten Staubblatte das Chlorophyll spielt, denn je nach seiner vollständigen oder unvollständigen Umwandlung in Protoplasma, sei es in den frühesten Stadien der Entwicklung oder in spätern, wird die Zelle getheilt werden und Pollenzellen produciren, oder mehr oder weniger ungetheilt bleiben und dann eine verschiedene Mittelstufe zwischen Blattzelle und Pollenzelle einnehmen. Somit beruht meiner Ansicht nach im Wesentlichen der Hemmungsprozess in dem Beharren des Chlorophylls in seiner ursprünglichen Zusammensetzung, die Bildung der Pollenzellen des metamorphosirten Staubblattes in der vollständigen Umwandlung des Blattgrüns in protoplasmatische und cytoblastematische Substanzen. —

In allen Fällen, in welchen, durch die Umwandlung des Chlorophylls veranlasst, die Centralzellen und Mutterzellen productionsfähig erscheinen, tritt auch ein nucleus auf, der gleichzeitig Cytoblast und nicht nur, wie Hartig annimmt, Metacard ist. Ihn umgiebt ein Primordialschlauch, der, wenn mehrere Cytoblasten erscheinen, um sie herum eingefaltet ist, so dass die Tochterzellen Producte des Primordialschlanches sind, die durch die Einschnürung desselben aber nur unter Mitwirkung der Cytoblasten entstanden sind. Sollten diese bei der Bildung gleichgültig sein, wie Hartig es annimmt, so ist nicht die Thatsache zu begreifen, dass der nucleus immer in dem lumen der Zelle liegt und nicht auch ausgeschlossen erscheint. Bei den abortirenden Cytoblasten (Fig. 17), wie sie Nägeli nennt, ergiebt das Resultat der Beobachtungen umgekehrt, dass nucleii vorhanden sind, um welche keine Membran, keine Einschnürung wahrzunehmen ist, so dass statt der regelmässigen ausgebildeten vier Zellen alsdann nur drei oder weniger erscheinen. — Diese abortirenden nucleii nimmt man in dem metamorphosirten Zustande häufiger als im normalen wahr, allein auch hier bestätigt sich das eben Gesagte, und es scheint, dass an dieser Erscheinung die mangelhafte Umwandlung des ursprünglichen Zelleninhaltes Schuld ist. Überhaupt stellt sich immer mehr, wie man es hier sehen kann,

heraus, dass der Zelleninhalt bei der Bildung neuer Zellen nicht die ihm früher zugeheilte passive Rolle spielt, sondern er im Gegentheil einen vorzugsweise thätigen Antheil nimmt. Nicht die Zellenwand, wie es früher Mirbel und Meyen behaupteten, durchfurcht den Zellenraum, sondern der Inhalt, höchstens mit Hülfe der Wandung, schnürt sich ab und bewirkt Veränderungen, die nicht als eine mechanische Folge der Umwandlung der Zellenmembran, sondern als ein Erzeugniß des Inhaltes angesehen werden müssen. — Hat sich das Protoplasma nur in geringem Grade erzeugt, so fehlt der sonst Mutter- und Tochterzellen producirende Cytoblast ganz und gar, und es bildet sich keine neue Zelle, sondern bei der Sprengung der Zelle tritt das Granulum unregelmässig herans. Hieraus geht offenbar hervor, dass nicht nur im Allgemeinen durch Concentration eines Theiles des Protoplasma der Zellkern sich bildet, sondern dass auch eine bestimmte Menge dieses Inhaltes vorhanden sein muss, um überhaupt bildungsfähig zu sein, ja mir scheint es sogar nöthig, dass Protoplasma- und Cytoblastema-Bläschen vorhanden sein müssen, die ich in diesem Falle nicht unterscheiden konnte, um productiv zu sein. Wie der nucleus sich aus dem Inhalte bildet, habe ich nicht beobachten können und scheinen die Ansichten Hartig's über diesen Punkt mehr aus der Phantasie, als aus reellen Beobachtungen, hervorgegangen zu sein. — Der Primordialschlauch ist zwar unter obwaltenden Umständen zu unterscheiden, zeigt aber nicht, wie im normalen Zustande, eine körnige Beschaffenheit seiner Oberfläche und liegt, überhaupt nicht so dehnungsfähig wie sonst, der Zellenwandung, von der er schwer zu trennen, dicht an. — Anders verhält es sich in den Fällen, in welchen die protoplasmatische Bildung so weit fortgeschritten, dass ein nucleus entstanden ist. Er liegt immer innerhalb des Primordialschlanches und zeigt nucleoli, so dass nach meinen Beobachtungen die Deutungen Hofmeisters: die nucleoli seien secundäre Producte des primären nucleus, in Frage gestellt und den entgegengesetzten Ansichten Schacht's und andern beigetreten wird. Reagentien, wie Jod und Schwefelsäure, zeigen häufig einen Mangel an Stickstoff im Zelleninhalte und im Primordialschlauche an. In diesem Falle ist die fernere Entwicklung der Zelle eine nicht so lebhaft, wie sie es bei einem reichlich mit Stickstoff versehenen Inhalte ist. Der primäre laterale Kern wird bisweilen nicht verflüchtigt, so dass der secundäre centrale nucleus häufig verkümmert erscheint, oder garnicht erzeugt und somit auch keine weitere Theilung wahrgenommen wird. In dieser Beziehung dürfte Hartig wohl Recht haben, wenn er den nucleus als Metacard insofern betrachtet, als er durch seine Auflösung zur Ernährung der Zelle beiträgt. Wenigstens ergiebt die Beobachtung, dass,

wenn eine Auflösung oder Verflüchtigung des Cytoblasten stattfindet, eine rege Lebens-
thätigkeit der Zelle nicht abgesprochen werden kann. — Bei der stickstoffarmen Zelle
geht ferner die Verdickung der Zellenwände, die durch Anlagerungen neuer Schichten
an die innere Zellwand unter Mitwirkung der Zellenmembran und des Primordial-
schlauches bewirkt wird, nur langsam vor sich. Diese Anlagerungen, welche oft schichten-
weise erscheinen, zeigen dann nicht jene gallertartige, das Licht röthlich brechende
Beschaffenheit, sondern erscheinen unelastisch und grün gefärbt, weil, wie schon früher
erwähnt, jedenfalls Chlorophyll zwischen oder in dem Primordialschlauche und der
Protoplasma-Substanz gelagert ist. — Dass unter diesen Umständen die Beschaffenheit
der Zellenmembran sehr verschieden erscheint, gewöhnlich dünn und unelastisch, wäh-
rend sie im normalen Zustande verdickt und sehr elastisch ist, lässt sich somit wohl ein-
sehen. — Vor allen Dingen wird man die Wichtigkeit des Zelleninhaltes, als des
primären Gebildes, beachten müssen; aus ihm bildet sich der Cytoblast, der nicht
nur, wie Wimmel meint, bei der Theilung des Zelleninhaltes eine grosse Rolle zu spie-
len scheint, sondern gemeinschaftlich mit dem Primordialschlauche als das Vehikel der
Zellenbildung angesehen werden muss. Als ein Product des Zelleninhaltes ist das secun-
däre Gebilde „der Primordialschlauch“ und als tertiäres das die Bildung der neuen
Zelle beschliessende Glied „die Membran“ zu betrachten. — Der lebensfähige Cyto-
blast attrahirt das Congulum und bald zeigt die körnige Beschaffenheit der umgebenden
Schicht, dass sich die Schleimschicht (Nägeli), der Beobachtung nach ohne mit einer
Membran umgeben zu sein, gebildet habe. — Bringt man Salpetersäure hinzu, so wird
die Zelle aufgebläht, zersprengt und das Granulum gruppenweise zerstreut. Aus dieser
gruppenweisen Zertheilung des Inhaltes möchte ich auf die, bereits an einigen Stellen
vor sich gegangene, Membranbildung schliessen und den Beobachtungen nach annehmen,
dass die Membran theilweise entstehe, zuerst und am Deutlichsten in der Nähe des
Cytoblasten, dessen Lage übrigens für die Zellenbildung ganz gleichgültig erscheint,
auftrete und dann in ihren einzelnen Stücken, die sich nach der Menge des anliegenden
Granulum bald stärker bald schwächer entwickelt, mit einander verwachse. — Dass die
Membran nicht überall von gleicher Dicke am Anfange ihrer Bildung erscheint, kann
man namentlich auch an den in der Bildung gehemmten Zellen beobachten. —

Die Tochterzellen (Spezialmutterzellen).

Je häufiger genaue Untersuchungen über die Tochterzellen angestellt sind, um so verschiedenartigere Resultate sind aus den Beobachtungen hervorgegangen. — Während Nägeli behauptet, die Spezialmutterzellen entstünden nicht direct um einen Cytoblasten, sondern um den ganzen körnigen Inhalt, in dessen Mitte ein freier Cytoblast liege, indem sie aus der gummihaltigen Flüssigkeit conguliren, greift Wimmel, und zwar ganz mit Recht, diese Deutung Nägeli's an und leugnet ganz und gar das Vorhandensein der Tochterzellen, indem er sie nur als gallertartige Producte der Mutterzellen betrachtet wissen will und somit eine Behauptung wiederholt, die bekanntlich Schleiden schon früher aufgestellt hat. — Die Deutung Nägeli's ist unrichtig, weil nie, namentlich nicht bei der Pollenbildung, ohne Cytoblast, sondern allein um den körnigen Inhalt, Zellen entstehen. Er war zu diesem Resultate durch seine nicht genauen Beobachtungen gelangt, nach welchen höchst selten der Cytoblast ein parietaler, sondern immer ein centraler ist. — Schon früher — und die jetzigen Beobachtungen bestätigen es — habe ich nachgewiesen, dass stets ein wandständiger nucleus vorhanden ist, wenn das in reichlichem Maasse vorhandene körnige Granulum ihn schwer erkennen lässt, und dass nach einiger Zeit, in welcher auch der Inhalt durchsichtiger geworden, der Cytoblast in der Mitte liegt. — Meiner Meinung nach jedoch ist der Cytoblast, er liege, wo er wolle, der Erzeuger der Pollenzelle und nicht der Spezialmutterzelle. — Gegen Wimmels sehr sorgfältige Beobachtungen muss ich bemerken, dass es inconsequent erscheint, wenn er ohne Weiteres die Tochterzellenbildung leugnet und doch zugesteht, dass die Spezialmutterzellen eine Membran zeigen, die sich gegen Reagentien, wie z. B. Kali, ebenso wie die Membran der Mutterzellen und Pollenzellen verhält. — Obwohl ich nun auch der Ansicht Schleiden's und Wimmel's bin, glaube ich doch, und zwar gerade aus den, bei den in der Bildung gehemmten Zellen gemachten Beobachtungen eine andere Deutung den wahrzunehmenden Erscheinungen geben zu müssen. — Von der Thatsache ausgehend, dass, wie eben vorhin erwähnt, bei der Zelle der Inhalt das primäre, der Primordialschlauch, der diesem normal zusammengesetzten Inhalte entsprechend, zur Faltung und Abschnürung (endogene Zellenbildung) bestimmt ist, das secundäre ist, lehrt die Beobachtung nicht nur, dass die Membran das tertiäre Gebilde ist, sondern dass, ehe sie sich bildet, durch die verschiedenartige Lebensthätigkeit des Primordialschlauches, unter Mitwirkung des

granulösen Inhaltes und des nucleus Schichten abgelagert werden, von denen namentlich die nach der Mutterzellenwand hin abgelagerte zur membranartigen Schicht verdichtet wird, während die nach innen hin gelegenen mehr gelatinös bleiben und die innerste zur Membran der von den Cytoblasten gebildeten Pollenzelle wird (Fig. 19). — Ganz ähnlich hat Pringsheim bei den Oedogonien die mit Chlorophyll durchsetzten Anlagerungen in den Zellen als von dem Primordialschlauche ausgehend und durch ihn gebildet gedeutet. Man kann somit Pringsheim, wenn auch vielleicht nur in diesem Falle Recht geben, wenn er den Primordialschlauch als eine aus dem übrigen Protoplasma ausgeschiedene Schleimschicht betrachtet, die nur durch die Einwirkung der Reagentien entstehe, welche die Erhärtung der Schicht veranlasse und das täuschende Aussehen einer Membran erhalte. Hier bei den fertig gebildeten Tochterzellen ist man wenigstens nicht im Stande, den Primordialschlauch von der Zellwand, wie es sonst bei zwei glatten Härten der Fall ist, zu trennen. — Allerdings wird man aber auf der andern Seite doch gegen die allgemeine Deutung Pringsheim's einwenden müssen, dass der freie Primordialschlauch als ein organisirtes Umhüllungsorgan betrachtet werden müsse, das freilich meiner Ansicht nach sehr modificirt und mit verschiedenen Functionen begabt auftritt. — Nicht immer sehen wir die Schleimschichten regelmässig an einander gelagert, sondern häufig bilden sich auch anastomosirende Fäden (Fig. 18) aus dem Protoplasma unter Mitwirkung des Primordialschlaches, denn sie verlaufen nicht, wie Wimmel angiebt, in den Primordialschlauch, sondern in die Wandung, wenigstens in die zarten zur Wandung gehörigen Schichten. — Auch Nägeli hat sie beobachtet und als abortirende Mutterzellen beschrieben. Jedoch nennt er sie spiralig und porös verholzt, was meiner Ansicht nach ein Irrthum zu sein scheint, indem er die allerdings etwas härtere Zellenmembran, durch welche die anastomosirenden Fäden durchsicheren, bezeichnet (Fig. 18 A). — Mit der Annahme Pringsheim's, dass der Primordialschlauch sich vollständig in die Zellwandung umwandle, könnte man hier insofern einverstanden sein, als man annehme, dass er sich vollständig contrahire und nur nach der Mutterzellenwandung hin, jedoch nicht gleichzeitig nach innen Schichten absondere, so dass er, im innern Zellenlumen liegend, sich einschnüre und Membran der sich bildenden Pollenzelle werde. Es lässt sich aber diese Deutung nur immer schwer aufstellen und kann eben so richtig als falsch sein, da die Beobachtung über den Verbleib des Primordialschlaches nichts ergibt. Soviel ist gewiss, dass die Tochterzellen nicht von der Wand der Mutterzellen zu trennen sind, und wie es mir scheint liegt der Grund dieser Erscheinung darin, dass

die Membran der Tochterzelle, da sie nur durch Verhärtung einer und zwar der nach aussen hin abgesonderten Schicht des Primordialschlauches entstanden ist, mit der nach aussen hin gelegenen Schicht zusammenhängt und somit unzertrennlich ist. — Durch diese Deutung lässt es sich auch erklären, dass der Primordialschlauch durch Reagentien bei der Schichtenablagerung nicht zu erkennen ist, während die Membran, welche vor der Sprengung der Zelle und dem Heraustreten des Inhaltes wohl erkannt wird, nach dem Austritte weder bei dem Inhalte noch bei den zurückgebliebenen Mutterzellen erscheint. — Durch das Produciren der Schichten ist gewissermassen der Primordialschlauch in die Ablagerung aufgegangen und daher verschwunden; eine Membran ist somit nicht producirt, sondern da nur die Verdichtungsstellen durch Reagentien dunkler gefärbt werden, kann man nur von einer membranartigen Schicht sprechen, die, sobald der Inhalt herausgetreten ist, verschwindet, weil die Verdichtung aufgehört hat. — Wenn Wimmel mit Schleiden die schichtenweisen Ablagerungen in den Mutterzellen und Specialmutterzellen durch Ausdehnung der Pollenzelle entstehen lässt, so ist diese Deutung wohl schwer zu begreifen, da sie ein stossweises, periodisches Wachsen voraussetzt, bei dem jedesmal eine neue Gallerteauflagerung condensirt werden muss. Jedenfalls hat Wimmel Recht, wenn er, wie es auch die Zeichnung lehrt, angiebt, die vermeintlichen Specialmutterzellen Nägeli's seien nicht immer geschlossen, sondern treten als unvollständige Ringe heraus; darüber geben namentlich die gehemmten Zellen Aufschluss (19 C), indem sie den Mangel an Productionskraft sowohl des Primordialschlauches wie des Inhaltes nachweisen, da beide nicht die Schicht gleichmässig ringsherum, sondern unregelmässig und nur theilweise zu produciren im Stande sind. Auch die von Nägeli beobachteten dunkeln Linien, die er als Scheidewände betrachtet, lassen sich ebenso nur durch Condensirung der vom Primordialschlauche gebildeten Schichten, die da, wo sie an einander liegen, stärker markirt sind, erklären. Häufig erblickt man — jedoch immer nur, wenn nuclei vorhanden sind — Ablagerungen in den Mutterzellen, ohne dass sich vollständige Einschnürungen zeigen. Die Ablagerungen sind homogen und lassen nicht Unterschiede erkennen, aus denen man schliessen könnte, dass die Schichtungen zusammengesetzt und theils Erzeugnisse der Membran, theils des Primordialschlauches seien. Da die Membran durch Kali gefärbt wird und auch sonst die durch sie erzeugten Schichten mit gefärbt werden, hier jedoch ein wesentlicher Unterschied in der Färbung wahrzunehmen ist, so halte ich die Schichten für ein Erzeugniss des Primordialschlauches sowohl aus chemischen, und weil sie auf dieselbe Weise das reflectirte

Licht durchlassen, auch aus physikalischen Gründen. Ich bin deshalb der Ansicht, dass hier, wo eine Mehrung der Zellen durch Abscheidung zu Tochterzellen stattfindet, vermittelst des nucleus eine Abschnürung des Primordialschlauches hervorgerufen wird, an der auch die nach der Membran hin abgelagerten Schichten theilnehmen, ohne dass die starre Zellwandung sich in's Zellenlumen in die erweiterten Einfaltungen der Ablagerungsschichten hineinstreckt. Überhaupt scheint die Zellwand nicht weiter productionsfähig, da auch sonst die in der Bildung gehemmten Mutterzellen, bei welchen eine normal gebaute Wandung stets vorhanden, productiv sein müssten. Ebenso wenig ist auch der Primordialschlauch allein, wie es hier scheint, zur Erzeugung geeignet, denn auch er ist normalmässig vorhanden, durch Alkohol von der Zellwand ablöslich, aber unfähig Ablagerungen, die sich später abschnüren könnten, zu erzeugen. — Gleiches ist auch wohl schon von Nägeli bei den Siphoneen und Conferven beobachtet und von Mohl gegen die Ansicht Hartig's behauptet worden. — Es treten in diesen in der Bildung gehemmten Zellen auch häufig zwei primäre Cytoblasten, ganz analog den in der normalen Bildung bei den Monocotyledonen vorkommenden, auf, die sich durch den Primordialschlauch hier aber nicht, wie es sonst der Fall, vollständig abschnüren, sondern nur eine kleine Einschnürung bilden. Auf diesem Punkte der Entwicklung bleiben sie dann stehen, indem die secundären nuclei, die sonst auch eine secundäre Abschnürung des Primordialschlauches und auch bisweilen eine Verflüchtigung der zuerstentstandenen Cytoblasten bedingen, sich nicht ausbilden (Fig. 20). Wenn somit schon vorlin angeführt wurde, dass die Verflüchtigung der Cytoblasten auf ein reges Productionsvermögen der Zelle schliessen lasse, so giebt zu dieser Behauptung eine andere, in den Mutterzellen auftretende Erscheinung noch mehr Anlass. Es ist dieses das schwer zu erklärende Auftreten bläschenartiger Gebilde (Fig. 21), die in normal gebauten Mutterzellen, sobald sie einige Zeit hindurch in Wasser gelegen, erscheinen. Nägeli und Schleiden haben schon früher diese Bläschen als transitorischen Zellenbildungsprozess beschrieben und auch in der neuesten Zeit sind sie von Hofmeister und Sanio — von letzterem bei der Sporenentwicklung von *Equisetum palustre* — beobachtet worden. Dass man es nicht mit Vacuolen, die durch Eindringen von Wasser entstanden, zu thun hat, ist vollständig richtig, denn sie zerplatzen nicht, sobald sie aus der gesprengten Mutterzelle hervortreten; dagegen möchte ich sie als grössere protoplasmatische Kugeln mit körniger Oberfläche versehen, in die Wasser gedrungen, betrachten, wie sie unter andern Umständen auftretend von Alex. Braun — in den Berichten der Berliner Akademie der

Wissenschaften, Mai 1852 — beschrieben worden sind. Ich sehe mich deshalb zu dieser Deutung genöthigt, weil in den gehemmten Zellen nie diese Bläschen auftreten und eben wohl nur aus dem Grunde, weil hier die Protoplasma-Masse, die wie ich früher dargethan zu haben glaube, durch Umwandlung des Chlorophyll entstanden ist, nicht die normale Beschaffenheit wie in den productiven Mutterzellen erreicht hat. — Man wird somit, durch das Vorhergehende geleitet, die Beobachtungen Ungers zu würdigen wissen, wenn auch die Deutung keine richtige zu sein scheint. Er sagt (Merismatische Zellenbildung): „Es entstehen in der Mutterzelle zarte Streifen, welche durchsichtige Streifen sind und die Körnermassen in mehre Parthien sondern. Diese Wände werden durch Wasser aufgelöst, sind also von Gummi. Bald verdicken sich die Wände und werden fest. Der erste Ansatz zur wahren Membran geschieht von den Wänden aus, dem Mittelpunkte zu. Es krystallisiren vorspringende Leisten und von diesen krystallisirt die Haut nach innen zu, so dass ein stufenweiser Fortgang stattfindet.“ — Man erkennt wohl hierin das wahre Verhalten des Primordialschlauches, der von der Wand nach innen zu sich abschnürt. — Ebenso sind die Beobachtungen Mirbel's und Meyen's: „Scheidewände wüchsen vom Rande aus in die Mutterzellen hinein“, anzufassen und als Einstülpungen des Primordialschlauches und der durch ihn erzeugten Ablagerungen zu betrachten.

Die Pollenzellen.

Über die Pollenzellen lässt sich im Allgemeinen insofern nichts Neues sagen, als, wenn sie überhaupt erzeugt werden, sie normal gebildet sind und in den meisten Fällen wenigstens Cytoblasten besitzen und Pollenschläuche zu treiben im Stande sind, wie man es ersehen kann, wenn sie in eine Zuckerlösung oder in den aus der Blüthe von *Hoya carnosa* bereiteten Saft gelegt werden. Die heraustretende Fovilla zeigt die auch im normalen Zustande vorkommenden Substanzen, wie Schleim, Öltröpfchen und Amylum und auch die viscinartige Masse, welche beim Hinaustreten sich zusammenballt, gerinnt und die Bläschen- und die mit ihnen verwandten Gebilde wie mit einem dünnen Netze umgibt, scheint in dem nöthigen Grade ausgebildet zu sein. — Dass man die einzelnen kleinen Bläschen für ölartige Substanzen halten muss, zeigt auch hier, selbst wo oft nur die Pollenzelle in der gehemmten Entwicklung auftritt, die Beobachtung, so dass man den schon früher von Senebier aufgestellten Behauptungen, der das be-

fruchtende und das ätherische Fluidum unterschied, beitreten und die Annahme Buliard's, dass der Inhalt ein; „mucilage limpide“ sei, bestreiten muss. —

Wenn diese Entwicklung der Pollenzelle, wie sie eben angegeben, sowohl in der normalen wie in der geheimten Bildung, namentlich bei den Monocotyledonen Tulipa, Narcissus ect., als die am häufigsten vorkommende betrachtet werden muss, so zeigen sich, namentlich bei den in ihrer Entwicklung geheimten Dicotyledonen-Antheren, auffallende Verschiedenheiten. Öffnet man eine metamorphosirte Anthere einiger Cruciferen (ich beobachtete es einige Male an Brassica und Matthiola, Fig. 25), so kann man den ganzen Strang von Pollenzellen, die von einer Spiralfasernschicht umgeben sind, herausziehen. Schon das äussere Ansehen verräth eine Eigenthümlichkeit, wie sie sonst nie wahrzunehmen, indem die Pollenkörner wie mit einem weissen zarten Filzgewebe umgeben, gran-weiss erscheinen. Die genaue Beobachtung zeigt, dass es kleine Filzfäden sind, die aus den Pollenkörnern, ganz analog den Pollenschläuchen, getreten sind. — Lange habe ich diese Bildungen nicht begreifen können, bis Gumbel seine Beobachtungen über das Spreitekorn veröffentlichte. — Es würde zu weit führen und hier überflüssig erscheinen, die interessanten Resultate der Untersuchungen Gumbels anzuführen, deshalb sei nur erwähnt, dass er Gleiches an Paeonia (Fig 15 A. B. und Fig. 22 und 23) beobachtete und dieselben Erscheinungen, wie auch ich sie einmal an derselben Pflanze wahrzunehmen Gelegenheit hatte, vorfand. — Nachdem Gumbel die verschiedenen Entwicklungsstadien des Spreitekornes kennen gelernt, lehrt die weitere Beobachtung, dass die spezifische Weiterentwicklung desselben von dem Orte seines Vorkommens sehr abhängig ist. Gumbel hat nachgewiesen, dass sich Spreitekörner (die Definition des Spreitekornes nach Gumbel ist vorne in der Einleitung gegeben) auch auf innere Wandungen bilden, und somit die nahe Beziehung mit dem Pollenkorne dargethan. Allein ein Gegensatz beider Gebilde tritt lebhaft wieder hervor, indem das Spreitekorn eine Centralzelle ist, von der die Bildung der Oberhautzellen ausquillt, während das Pollenkorn als das Glied einer innern Wandung, deren einzelne Zellen den organischen Verband aufgegeben haben, um eine andere Art von Zellen austreten zu lassen, erscheint. — Wenn man nun auch schon in der normalen Anthere die in der Grösse sehr verschiedenartig gebildeten Pollenkörner beobachten kann, so zeigt ihr Bau nicht jene Differenzen, wie ich sie in den Pollenzellen, die sich in metamorphosirten Staubblättern gebildet, sah. Ich beobachtete namentlich auch in den kleineren Körnern zarte Bläschen, von welchen aus jene vorhin erwähnten Fäden ihren Ursprung nahmen. Gumbel hat

dieselbe Erscheinung an vielen Pollenkörnern, die auf die Oberhaut und die Haare von Pflanzen gefallen waren, wahrgenommen und behauptet, dass sich im Innern des Kornes, sobald es auf die Epidermis gelangt, eine junge Generation von kleineren Sporen entwickle. — Ich habe das Verhalten von Pollenkörnern im Allgemeinen, wenn sie mit der Epidermis der Pflanzen in Berührung kommen, nicht untersucht und glaube, wie es Gümbel zeigt, dass eine solche Degeneration auch bei jedem Pollenkorne vorkommen könne, indess spreche ich hier nur von den von mir beobachteten Fällen bei den metamorphosirten Staubblättern. Hier beobachtete ich in der Anthere selbst jenen Vorgang, wie er sich nach Gümbel sonst wohl nur ausserhalb zeigt, indem diese Fäden, die ich ebenfalls Pollenschwamm oder *Karposma* nennen will, mit einander verfilzt waren und der sonst im normalen Zustande äusserlich gelb gefärbten Antherenepidermis ein mattes grünlich-gelbes Aussehen gaben. — Gümbel hat entschieden Gleiches an *Vicia tricolor* beobachtet. Er legt einen Querschnitt durch die Anthere und findet rechts und links vom Gefässbündel das Parenchym nussig entwickelt, in der Mitte Höhlen, die mit einer eigenen Haut ausgekleidet sind. Es sind dieses meiner Ansicht nach die umgewandelten und früher bereits vielfach besprochenen Zellen, die des verschiedenen, modificirten Chlorophyll-Inhaltes wegen, wie mit einer eigenen Haut ausgekleidet erscheinen; vielleicht auch sind es jene Zellengruppen, die später in Spiralzellen umgewandelt die Räume umgeben, in denen sich, wie Gümbel an *Paeonia* beobachtet, Pollen-Sporen bilden. Dass Gümbel eine ähnliche Erscheinung, wie ich sie an den Cruciferen und auch an *Paeonia* wahrgenommen, ebenfalls an letzterer Pflanze beobachtet hat, dafür scheint Folgendes zu sprechen: Er sagt, pag. 414: „Am Vorderrande des Blattes ist die Blattmasse wulstig aufgetrieben, und als hätte man hier im Kleinen das Bild von grossen, durch innere Brandbildung aufgetriebenen Massen, so sehr gleicht dieses Vorkommen einem brandigen Gebilde“. Auch die Zeichnung Gümbels, die des Vergleiches wegen sich in Fig. 15 B. vorfindet, spricht für meine Deutung und besitzt die grösste Ähnlichkeit mit dem von mir beobachteten metamorphosirten Blatte der *Paeonia*. — Auch die Querschnitte, die Gümbel durch dieses Blatt legt, und die Fig. 22 und 23 wiedergegeben sind, lassen insofern keinen Zweifel über die von mir gegebene Deutung zu, als sie nur zeigen, wie es schon früher durch Beobachtungen nachgewiesen, dass überall im Blattparenchym theils ganze Gruppen, theils einzelne von den Zellen metamorphosirt, die Inhaltsmassen in Cytoblastema verwandelt und somit productionsfähig werden. — Diese Räume, welche der Metamorphose unterliegen, werden

von Gümbel mit „Höhlen“ bezeichnet, und somit unterscheidet er vollständig gebildete Höhlen, also solche Zellen, die vollständig umgewandelt, und unvollständige Höhlen, die in ihrer Weiterentwicklung gehemmt sind. — Was die Entwicklung dieser eigenthümlichen Pollenzellen, Pollen-Sporen nach Gümbel, betrifft, habe ich Unterschiede zwischen der normalen Entwicklung und dieser aus den Mutterzellen nicht auffinden können, und nur die fertig gebildeten Zellen haben Verschiedenheiten wahrnehmen lassen. — Ich will es nicht unterlassen, hier auf eine eigenthümliche Erscheinung aufmerksam zu machen. Nägeli (Entwicklungsgeschichte pag. 20) erwähnt, dass er in den Pollenzellen, ebenfalls wie in den Mutterzellen, einen transitorischen Zellenbildungsprozess auftreten gesehen und widerruft dieses von ihm vielfach besprochene Factum, wahrscheinlich weil ihm bei späteren Untersuchungen diese Erscheinung nicht vorgekommen, in seiner „Zeitschrift“, I. p. 65. — Seine ersten Beobachtungen sind indess meiner Ansicht nach ganz richtig gewesen, denn es treten in der That, und namentlich ist es gerade bei den metamorphosirten Staubblättern häufiger als bei normalen der Fall, Bläschengebilde — ähnlich den bereits früher bei den Mutterzellen besprochenen — in den Pollenzellen auf. Aus diesen Bläschen, die also wenigstens nicht immer wieder verschwinden, entwickeln sich jene Fäden, oder beide stehen miteinander in deutlichem Zusammenhange. Gümbel hat ebenfalls diese Bläschengebilde, wenigstens der Zeichnung nach, deutlich bei *Antirrhinum* wahrgenommen. Wohl mit Recht macht Gümbel auf die verschiedene Grösse der Pollenkörner aufmerksam und behauptet, dass, während nur die grössern Pollenzellen wirkliche Pollenschläuche treiben, die kleinern es nicht thun. Er führt für diese Behauptung eine grosse Anzahl von Belegen an, und die Beobachtung spricht insofern für die von mir wahrgenommene Erscheinung, als gerade bei der Metamorphose sehr wenige grosse Pollenkörner, wohl aber vorwiegend kleine mit Bläschengebilde und somit mit *Karposma* entwickelt werden. An diesen kleinen Pollenzellen gelang es mir nie, wie es sonst im normalen Zustande immer der Fall ist, durch eine Lösung von Jod mit verdünnter Schwefelsäure die Exine und die Intine zu beobachten, sondern es zeigte sich nur eine Membran, wie sie früher von Gleichen — nach dessen nicht richtigen Beobachtungen nur immer eine Haut vorkommen sollte — beschrieben wurde. Bekanntlich erscheint die Pollenzelle erst frei, nachdem die Mutterzellenwandung und der Inhalt der Zelle vollständig resorbirt sind, tritt diese Resorption nicht ein, so erblicken wir Erscheinungen, wie sie bei den *Asclepiadeen* und *Orchideen* auftreten; ist sie nicht vollständig, so erblickt man die aus dem nicht resorbirten Reste

gebildeten Fäden, wie sie die Orchideen wahrnehmen lassen. In den metamorphosirten Antheren findet man bei genauer Beobachtung im Verhältniss häufig nicht resorbirte Mutterzellen, die dann grosse Ähnlichkeit mit den von Nägeli beobachteten, beschriebenen und Fig. 18 A. als verholzte Mutterzellen gezeichneten Zellen besitzen, indem der Inhalt ebenso wie bei diesen, fadenförmig um die Pollenzelle, die sich oft ganz verschiedenartig entwickelt hat, gelagert erscheint. Es lehrt wohl diese Erscheinung auf's Deutlichste, dass nicht Verdickungsschichten, wie Schleiden es annahm, in den Mutterzellen gebildet werden, welche jene fadenförmige Gebilde an *Oenothera* hervorrufen, sondern dass der Inhalt sie erzeugt. — Gerade mitten in den verfilzten Pollenzellen beobachtete ich diese grösseren, nicht resorbirten Mutterzellen, die dann allerdings selbst keine Fäden getrieben hatten, sondern frei eingebettet lagen. —

Das die Mutterzellen umgebende Zellengewebe.

Im normalen Zustande erhält man — wenn oben an der Spitze der Anthere ein Querschnitt gemacht und durch einen unten an der Basis ausgeübten Druck die Mutterzellen herausgetrieben werden — nie einzelne, freie Zellen, sondern man findet einen Zellenstrang, der durch eine zarte Zellschicht dicht umschlossen und somit zusammengehalten wird (Fig. 16 B). Dieser Zellenstrang hat im Allgemeinen die Form eines Kegels und ist schematisch in Fig. 16 A. dargestellt, indem unten die Anzahl der Zellen grösser, als an der Spitze ist. Die einzelnen Zellen dieses Gewebes haben die verschiedenartigsten Formen bei verschiedenen Pflanzen, und will ich hier nicht näher darauf eingehen, da in der einen Abhandlung in der *Linnaea*, pag. 127, ganz speciell darüber berichtet ist. Nur soviel sei hier bemerkt, dass diese Zellschicht, die später resorbirt wird, meistens auch in den metamorphosirten Blättern gebildet wird und im Allgemeinen aus sechseckigen oder polyedrischen Zellen besteht. Später nehmen sie eine mehr ellipsoidische Form an, indem die Wände zarter und dünner werden, und verschwinden bei der Resorption der Mutterzellen gänzlich. — Auf's Neue bestätigt die Beobachtung, dass auch bei den metamorphosirten Staubblättern, wo sich diese Zellen bilden, sie auf's Engste mit den Mutterzellen zusammenhängen, so dass durch sie die Mutterzellen zusammengehalten werden und die Annahme, dass von den Mutterzellen eine klebrige Masse bereitet werde, durch die sie aneinander gekettet würden, über-

flüssig, ja vielleicht ganz falsch ist. Durch einen Querschnitt, den man durch die Anthere legt, werden sie leicht zerrissen, die Zellwände treten dann hervor und haben scheinbar das Aussehen von Spiralfasern, die herumgelagert sind. Irre ich nicht, so hat auch Wimmel dieses so zu sehen geglaubt und in der Zeichnung dargestellt. Mirbel hat dieser Zellschicht in den ersten Stadien ihrer Entwicklung einige Aufmerksamkeit geschenkt, später aber, wie es Text und Abbildungen zeigen, sie nicht weiter beobachtet. Nägeli hat sie ganz übersehen und nur die Entwicklung der folgenden Zellschichten verfolgt. — Auch in diesem Falle kann man die Behauptung wagen: „Die Zellenwände zweier neben einander gelagerter homogenen Zellenreihen stehen in innigerem Zusammenhange, als die Wände nicht homogener Zellen“. Denn insofern haben wir es hier mit homogenen Zellen zu thun, als beide, Mutterzellen und das umgebende Gewebe, transitorische sind und auch beide durch Druck, sowohl im normalen Zustande von den peripherischen Zellschichten, als hier von den Blattparenchymzellen leicht zu trennen sind. Diese die Mutterzellen enge umschliessende Zellschicht ist, wie früher erwähnt, meistens vorhanden, immer wenigstens, wenn die Pollenzellen am Blattrande entwickelt sind, häufig auch, wenn sie in der Mitte des Blattes sich zeigen, also nach Gumbel Höhlen bilden. Ich vermisste sie, wenn nur einzelne Parenchymzellen umgewandelt waren. Auch Gumbel scheint sie der Zeichnung nach im erstern und ebenfalls nicht im letztern Falle gesehen zu haben. Wo sie vorhanden sind, werden sie bisweilen auch resorbiert, so dass die Pollenzelle an Raum gewinnt, wo sie bleiben, hört die Ausdehnung der Zelle auf, da die umliegenden Parenchymzellen nicht resorbiert werden, und es erklärt sich hieraus, dass im Allgemeinen in den innerhalb des Blattes gelegenen Räumen nur kleine Pollenkörner entwickelt werden, die man dann von dem verhärteten Gewebe umgeben, als einen Strang herausziehen kann. Vielleicht liegt gerade in dieser anormalen Bildung des peripherischen Gewebes der Mutterzellen und somit auch in der modificirten Ernährung der Zellen die Umwandlung, die in den kleinern, in den Höhlen gebildeten Pollenzellen, vor sich geht, zumal nicht nur diese Zellschicht, sondern auch die andern darauf folgenden umgewandelt erscheinen. — In der normalen Anthere umgeben zehn Zellenreihen die Mutterzellen, von denen fünf resorbiert werden, so dass, wenn die Pollenkörner vollständig ausgebildet sind und im Begriffe stehen, herauszutreten, dann nur noch die erste und zweite Zellschicht vorhanden sind, selten die dritte erscheint. Die Schichten gruppieren sich nun im Allgemeinen von aussen nach innen in folgender Ordnung:

- | | | |
|-------------------|---|----------------------|
| I. Zellschicht. | a. Epidermisschicht, einreihig, tangential. | |
| II. Zellschicht. | a. radial, zweireihig (auch einreihig). | |
| | b. tangential, zweireihig. | |
| III. Zellschicht. | a. tangential, zweireihig, | } später resorbiert. |
| | b. radial, einreihig, | |
| IV. Zellschicht. | a. tangential, zweireihig, | |

Diese Zellschichten werden durch die Zeichnungen Fig. 29 bis 32 erläutert. — In der zweiten Zellschicht ist es namentlich die Radialschicht, welche die Aufmerksamkeit eines Purkinje und anderer tüchtiger Forscher auf sich zog, denn sie verwandelt sich in die Spiralfaserschicht, die wir später noch genauer betrachten wollen. Diese Anordnung der Schichten, die sich einmal in radialer, dann in tangentialer Richtung vermehren, das Entstehen und Verschwinden der Cytoblasten, Alles lässt auf ein reges Zellenleben schliessen, das sich natürlich auch den Pollenzellen mittheilt (Fig. 30 a. c.), oder auch durch sie hervorgerufen wird. Die Tangentialschicht (Fig. 30 g.) zeichnet sich durch einen stark granulirten Inhalt, durch Reichthum an Stickstoff aus, und ebenso ist es mit den daneben gelagerten Schichten (Fig. 30 d. e.). Charakteristisch ist die Umwandlung der normal gebauten Zellwände der zweiten Schicht in Spiralzellen, die in Fig. 32 b. c. angedeutet sind. Sie geht ungefähr in derselben Zeit vor sich, in der die Resorption der Mutterzellen begonnen hat und das anliegende Gewebe ebenfalls zu verschwinden anfängt, so dass später nur zwei oder drei Schichten (Fig. 31 e. d. g.) ausser der Epidermisschicht auftreten. Dass oft nur eine Schicht, oft mehrere Zellenreihen in Spiralzellen verwandelt werden, will ich als bekannt voraussetzen, und sind von mir früher (Linnaea pag. 136 bis 140) speciell mehrere Pflanzenfamilien in Bezug auf diese Umwandlung untersucht worden, die sich unmittelbar den Beobachtungen Geoffroy's — in den Nachrichten der Akademie 1711 — Du Hamel's, Senebier's, Corolo's, Comparetti's und Purkinje's anschlossen. Die Resultate, welche auch durch die an metamorphosirten Staubblättern angestellten Untersuchungen bestätigt werden, könnte man kurz so zusammenfassen:

1. Die Spiralfasern sind als secundäre Schichten der Zellenmembran zu betrachten.
2. Die Fasern hängen auf's innigste mit der Zellwandung zusammen, so dass sie als verwachsen mit ihr erscheinen, bilden sich aber selten in der Epidermis.
3. Die Spiralfasern sind an keine bestimmte Form gebunden, sondern erscheinen bald ringförmig, bald offen u. s. w., je nach verschiedenen Pflanzen, die ihrerseits bald eine oder mehrere Zellenreihen umwandeln.

4. Innier liegen jedoch die Fasern auf der innern Zellwand und ihre bald stumpfen bald spitzen Enden ragen in die Zellenlumina hinein. —

Bei den metamorphosirten Staubblättern treten nun in Bezug auf die Bildung und Umwandlung der die Pollenzellen umgebenden Zellschichten die mannichfachsten Modificationen auf. Selten habe ich jene regelmässige Lagerung der Schichten, wie sie an den normalen Antheren erscheinen, wahrnehmen können, es war nur einige Male bei Monocotyledonen in den Fällen zu beobachten, in welchen die Pollenzellen nahe dem äussern Blattrande lagen, und auch hier waren die sonst mit Cytoblasten reichlich versehenen Zellen (Fig. 30 a. c.) rudimentär insofern gebildet, als sie kleiner und ohne Cytoblasten erschienen. Sie werden zwar resorbirt, allein da die Pollenzelle sich deshalb nur wenig ausdehnen kann, treten die thecae wenig hervor. Gewöhnlich werden aber die anliegenden Zellen nicht resorbirt, sondern nur zusammengedrückt, so dass sie vollständig verdickt erscheinen. Immer ist dieses der Fall in den Höhlen, namentlich, wenn nur einige Zellen umgewandelt sind, in der Regel beobachtete ich es auch, wenn die Pollenzellen am innern Blattrande gebildet waren (Fig. 15, Fig. 9). Merkwürdigerweise geht aber die Umwandlung der Zellen in Spiralfaserzellen, mit Ausnahme der Fälle, in denen der Pollen in Höhlen gebildet wird, immer vor sich, so dass im Allgemeinen die ganze Zellschicht, welche der zweiten Schicht der normalen Bildung entspricht, also nicht nur die zweireihige radiale, sondern auch die zweireihige tangentielle umgewandelt wird. Die Beobachtung der Verwandlung der Blattparenchymzellen in Spiralfaserzellen lieferte im Wesentlichen keine Unterschiede von der der Antherenzellen in diese Schichten, nur werden die Antherenklappen im Verhältnisse bedeutend gross und öffnen sich so stark, dass die Enden oft fast eine gerade Linie bilden, weil, wie eben erwähnt, die Umwandlung so bedeutend ist, dass selbst Zellen des Connectivums modificirt erscheinen. — Bilden sich in der Mitte des Blattparenchyms Pollenzellen aus, so drücken sie gewöhnlich die zunächst liegenden zusammen, und nur sehr selten verwandelt sich eine Schicht peripherischer Zellen in Spiralfasern, eine Erscheinung, die nicht zu den absonderlichen gehört, da Spiralfaserzellen im Blattparenchym auftreten und auch unter andern Umständen schon früher von Schleiden (Grundzüge 1846 pag. 193) beobachtet wurden. — Wenn es gelungen ist, die Unterschiede zwischen den in der normalen und der metamorphosirten Anthere sich entwickelnden Zellreihen hervorzuheben, wird man die verschiedene Ernährung der Pollenzelle in beiden Fällen erkennen und daraus wohl leicht ersehen, dass vielleicht allein durch den ge-

ringeren Stoffumsatz, der durch die eigenthümliche anormale Zellbildung herbeigeführt wird, die Bildung der Pollenzelle insofern modificirt wird, als sie unentwickelter bleibt und zur Bläschenbildung hinneigt. In den Fällen, in welchen im metamorphosirten Blatte Zellschichten resorbirt werden, findet man häufig grössere Pollenzellen, die Schläuche zu treiben vermögen, in den Höhlen und Randzellen jedoch, in welchen keine Resorbtion stattfindet, sind wohl vorzugsweise nur Pollenzellen mit Bläschengebilden vorhanden. —

Die Epidermiszellen der Anthere.

Während bei der normalen Antherenbildung in der frühesten und auch in der spätern Zeit der Entwicklung in den Epidermiszellen Zellenbildungen in der Art vor sich gehen, dass neue Cytoblasten gebildet werden, die tangential gelagerte Zellen erzeugen, hört bei den metamorphosirten Staubblättern dieses rege Zellenleben schon frühe auf, indem der Zelleninhalt, der sonst aus stickstoffhaltigem Schleim und Öltröpfchen besteht, verändert wird. Es treten Farbebläschen auf, die je nach der verschiedenen Farbe, der Anthere eine bestimmte, oder wenn sie mit einander gemengt erscheinen, eine Misch-Farbe ertheilen. Geht die Pollenbildung in Höhlen vor sich, so erscheint die Epidermis oft farblos, ja bisweilen ist sie ganz vertrocknet, und beweist wohl, zumal wenn die anliegenden Parenchymzellen ebenfalls zerstört sind, dass die Bildung des Karposma's hinderlich, ja vielleicht der Grund der Zerstörung gewesen ist. Neumann (Botanische Zeitung) hat bei seinen Untersuchungen, als er einen Querschnitt durch ein metamorphosirtes Staubblatt legte, der Zeichnung und dem Texte nach dasselbe wahrgenommen, indem er von weissen Zellen, welche die modificirte Anthere bilden, spricht. Es sind dieses die eben erwähnten Epidermis und Parenchymzellen, die nach der Entfernung des Karposma's zurückgeblieben sind. — Fast immer erscheint die Epidermis, wie es im normalen Zustande wohl selten beobachtet wird, mit vielen Spaltöffnungen bedeckt und documentirt dadurch wohl deutlich, dass sie ein Product des Blattes, das sie in dieser Anzahl ebenfalls zeigt, und nicht speciell der Anthere ist. Dadurch wird aber auch die Ansicht Henslow's aus Cambrige, der noch eine ganz für sich bestehende, einfache äussere Membran über den Epidermiszellen beobachtet haben will, widerlegt, indem die Spaltöffnungen nie aus einer Membran, sondern aus Zellen, nach den Untersuchungen Gumbels, auf die ich hier wiederum verweisen muss, hervorgehen

und nach denen auch die von Nägeli beobachteten Hautdrüsen zu deuten sind. — Da wo gewissermassen eine Wucherung der Spiralfaserschichten stattfindet, wird auch die Epidermisschicht mit umgewandelt, so dass den Beobachtungen Schleidens, der auch bei der normalen Bildung diese Erscheinung beobachtet haben will, hier gewiss nicht zu widersprechen ist. In der Regel zeigen dann aber diese Epidermiszellen, wie es sonst gewöhnlich in den anliegenden Oberhautzellen des Blattes der Fall ist, nicht Scheiben aus Chlorophyll, in deren Mitte ein Zellkern mit Amylumkörnern umgeben liegt, sondern einen granulösen, dem der Radialschichten ähnlich aussehenden Inhalt. —

Das Connectivum und die Scheidewände der Anthere.

Während im Allgemeinen in der normalen Antherenbildung die Zellen des Connectivums sich durch eine grüne, vom reichlich abgelagerten Chlorophyll herrührende, Farbe von den, des granulösen Inhaltes wegen, grau erscheinenden Scheidewandzellen unterscheiden, hören diese Unterschiede in den metamorphosirten Blättern ganz auf, da ein gleichmaschiges Gewebe die umgewandelten Zellen umgiebt, und nur selten einige dieser, das Zellengewebe bildende, Maschen, wie es sonst nicht ganz normal ist, in Spiralzellen umgewandelt werden (Fig. 25). Von einer proportionalen Entwicklung der Connectivum-, Scheidewand- und Antherenzellen, so dass die einen sich nicht auf Kosten der andern entwickeln und ausdehnen, ist bei der Metamorphose wohl nie die Rede, sondern es praedominiren immer entweder die ersteren, (Fig. 26. 27. 28.) oder im Verhältnisse die letztern (Fig. 25). Wenn man auch bei der normal entwickelten Anthere Erscheinungen dieser Art, — z. B. bei *Commelina*, wo die Antheren-Loculamenta bedeutend gross, oder bei *Trapacolum*, bei dem die Connectivum-Zellen sehr gross und die Scheidewände sehr breit erscheinen — vorkommen, so gehören sie nicht zu den regulären Bildungen, ähnlich wie die Auswüchse, die vom Connectivum ausgehen, z. B. das rostellum der Orchideen, die Flügel-Fortsätze der Violeen, die Klappe der Asclepiadeen und Apocynen, die federartige Wucherung des Connectivums bei *Oleander* u. s. w. — Bei der Metamorphose ist aber eine Wucherung so zu sagen das Gewöhnliche. Vor allen Dingen scheint aber die Anlage und mit ihr die fernere Bildung des Connectivgefässes insofern von grosser Wichtigkeit zu sein, als sie für die Form, sowohl der normalen Anthere, als auch des metamorphosirten Blattes, massgebend ist.

Bildet sich das Blattparenchym ganz entschieden nach einer Richtung, die Blütenaxe als festen Punkt betrachtet, aus, also wendet es sich der Axe ab, so werden die *antherae posticae* der normalen Form gebildet, oder es erscheint bei der Metamorphose die Bildung von vier Fächern auf der untern Blattseite (Fig. 14 A). wie es Mohl an *Rosa* beobachtet hat und mir nach langem vergeblichen Suchen an dieser Pflanze dieselbe Erscheinung wahrzunehmen geglückt ist. Wendet sich das Blattparenchym der Axe zu, so entstehen anderseits die *antherae anticae*, wie sie in halb normaler, halb metamorphosirter Form bei *Nuphar* auftreten. Entwickelt sich endlich das Parenchym gleichmässig, so dass das Gefässbündel in der Mitte bleibt, so entsteht die am häufigsten vorkommende Form der Anthere, der auch die gewöhnliche Erscheinung bei der Metamorphose insofern entspricht, als auf beiden Blattseiten die Pollenzellen gleichmässig hervortreten, (Fig. 1 bis 13) oder wenn Theilungen in der Blattoberfläche entstanden, in den einzelnen Theilen abgelagert sind. (Fig. 27). — Eine Theilung des Blattes in mehrere einzelne Theile, die am *Connectivum* zusammentreffen, kommt häufig vor und man beobachtet Formen, in welchen ein Blatt mit vier Loculamenten auf derselben Fläche und solche, in denen vier Blätter mit je einem Loculamente (Fig. 10. 11.) und ihre Combinationen vorkommen, also 4 Blätter ohne Bildung von Pollenzellen (Fig. 15. A), vier Blätter, von denen eins 2 Pollenstränge trägt (Fig. 13.) u. s. w. Eigenthümlich ist die Bildung des Pollenstranges in Fig. 9, wo er selbständig, ohne bis zu Ende am Blattrande zu verlaufen, feststeht und durch die sehr verdickten Spiralfaserzellen namentlich gehalten wird. Die nähere Beobachtung lehrt, dass der Blattrand früher bis zur Spitze der Anthere vorhanden war, später aber vertrocknete, so dass sich, wenn auch nicht scharf markirt, ein neuer Rand bildete. — Ich will hier nicht näher auf die Bildung der Antherenformen eingehen, da mein verehrter Freund Neumann in der Botanischen Zeitung genaue Beobachtungen über die vorhin erwähnten Bildungen der Staubblätter und namentlich auch über deren Übergänge, die nicht zu den Seltenheiten gehören, veröffentlicht und Resultate geliefert hat, die um so interessanter sind, als sie den complicirtesten Antherenformen der Cucurbitaceen und ähnlicher durch stichhaltige Deutungen ihren richtigen Platz in der Reihe der verschiedensten Staubblattformen anweisen. —

Kehren wir nun aber zum Anfange zurück, und werfen nochmals einen Blick auf die früher angeführten Deutungen der Antherenbildung, so werden wir, sowohl durch die Entwicklungsgeschichte der normalen Anthere, als auch die des metamorphosirten Staubblattes geleitet, den Ansichten Agardt's und Endlicher's wie auch der des Decandolle

nicht beitreten können. Gerade das metamorphosirte Blatt scheint mit seinen nunmehr wohl hinlänglich betrachteten Bildungen der Pollenzellen den Beweis zu liefern, dass sich die Lamina eines Blattes nicht seitwärts und einwärts umbiegen dürfen, um Antherenloculamente zu erzeugen, ebensowenig wie sie mit ihren Rändern nicht an die Mittelrippe anwachsen dürfen um nach Endlicher und Decandolle Antheren zu erzeugen. Ich will hier nicht viel Worte machen und Schritt vor Schritt die Deutungen dieser Männer widerlegen, sondern glaube, dass der beste Gegenbeweis aus den Consequenzen, welche aus dem Vorhergehenden resultiren, geliefert wird. — Auf der andern Seite aber ergiebt die Untersuchung eine Bestätigung der Ansichten Meyers, Röpers, Schleidens u. s. w. insofern, als die grosse Menge der einzelnen Erscheinungen zeigt, dass die Antherennath dem Blattrande entspricht, und die beiden Antheren durch Anschwellung der Seitenhälften des in die Anthere verwandelten Blattes entstehen, so dass die Loculamente Aushöhlungen im Blattparenchym, gefüllt mit veränderten Parenchymzellen (Pollenzellen), sind. — Dass diese letzte Deutung gerade durch die in der Metamorphose begriffenen Staubblätter bestätigt wird, ist wohl einzusehen und sind im Vorhergehenden so schlagende Beweise dafür geliefert, dass es neuer Argumente nicht mehr bedarf. — Dass aber die Suture der Anthere dem Blattrande entspreche, lehrt die Beobachtung, indem entweder in den Fällen, in welchen jede Blattfläche eine Antherenanschwellung zeigt (Fig. 1 bis 8) keine Suture auf der Blattoberfläche aufzufinden ist, wohl aber die thecae sich dem Blattrande nähern, um dort eine Nath zu erzeugen. (Fig. 1 und Fig. 5). Am deutlichsten zeigen dieses Erscheinungen, wie sie in Fig. 8., Fig. 10, 11 und 12 wiedergegeben sind, ganz eigenthümlich erscheint ein allerdings nur einmal an *Matthiola* beobachteter Fall, der Fig. 15 gezeichnet ist und ein anderer, der durch Fig. 9 darzustellen versucht worden ist. Man sieht hier ein etwas verdicktes Blatt, das auf seinem obern Rande gelblich gefärbte thecae zeigt, die nach unten hin mit einer Reihe, ebenfalls am Rande liegender, ovula in Verbindung stehen. Die Lage und die Anzahl der Antheren einerseits, und das verdickte Blatt andererseits zeigen, dass man es mit einer Missbildung, einer Verwachsung wenigstens zweier Blätter, durch die wahrscheinlich auch die so eigenthümliche Lage der Antheren herbeigeführt ist, zu thun hat. Wenn man dieses Blatt, als carpellum betrachtet, so glaube ich hier einen ganz analogen Fall, wie er von Decandolle beobachtet, vorzuführen, indem dieser die Meinung ausspricht, dass, wenn die Antheren in Carpelle übergehen, die Pollenkörner sich in ovula verwandeln. Dass aber hier, aus Analogien geschlossen, die Antheren sich

am Rande hinziehen würden, ist ganz natürlich, und es muss die Reihe der ovula als Fortsetzung der Pollenstränge betrachtet werden. — Ob eine directe Umwandlung des Pollens vor sich geht und wie die Metamorphose eingeleitet wird, habe ich zu beobachten nicht Gelegenheit gehabt. — Wenn nun v. Mohl in seiner „Dissertation über die Umwandlung von Antheren in Carpelle“ sagt: Es ist mir mehr als zweifelhaft, ob die Ansicht, dass die Nath der Anthere dem Blattraupe entspreche, in allen Fällen richtig ist, so scheint er meiner Ansicht nach das Gesetz im Allgemeinen anzuerkennen, will aber nur auf einzelne Ausnahmefälle aufmerksam machen, und man wird ihm in der That beistimmen müssen, wenn man, wie schon früher erwähnt, die allerdings selten auftretende Erscheinung bei Rosa, (Fig. 14. A), das Analogon zu den antheris posticis beobachtet, oder bei andern Blättern Fig. 12 und Fig. 13 — (bei letzterer ist die eine Blathälfte in drei Lappen getheilt, von denen der eine, ähnlich wie Fig. 12, zwei thecae zeigt) — Ähnliches wahrnimmt. Man wird ihn beipflichten müssen, da, — wie es auch Neumann, der gegen die Ansicht Mohls streitet, nicht deuten kann, — man auf der andern Seite bei Nuphar im normalen Zustande, das Analogon zu den antheris anticis erblickt. — Diese Ausnahmefälle wird man somit immer zugestehen müssen. —

Aus dem Vorhergehenden liesse sich Folgendes zusammenfassen:

1. Das Staubblatt ist ein Blattorgan und wächst als solches durch Zellenbildung.
2. Während im normalen Zustande das Zellgewebe sich in 5 senkrechten Reihen differenzirt, so dass eine zum Connectivum, die andern 4 zu loculis werden, tritt in der gehemmten Bildung eben diese Differenzirung nicht normal auf, sondern geht erst später durch Umwandlung des Zelleninhaltes von Zellenreihen oder einzelner Zellen vor sich.
3. Das differenzirte Zellgewebe der 4 loculi wächst dann im Allgemeinen durch Zellenbildung in seiner ganzen Masse bis zur völligen Ausbildung, bleibt aber bisweilen auch unausgebildet zurück.
4. Im normalen Zustande bilden sich im konisch-cylindrischen Strange (Fig. 16 A.), durch Bildung von Zellen in Zellen, die Mutterzellen (in den Centralzellen); im gehemmten fällt diese bestimmte Form fort, und es bilden sich unregelmässig geformte Schläuche, die mehr oder weniger an die Normalform erinnern.
5. Bei der später productionsfähigen Zelle wird der Inhalt der ursprünglichen Zelle in Cytoblastema- und Protoplasmanmasse verwandelt.

6. Das für die Pollenzelle normale Zellenleben beginnt durch Ablagerung von Schichten, die sich an den nunmehr freier hervortretenden Primordialschlauch ansetzen. —
7. Es beginnt die Abschnürung des Primordialschlauches, mit und vor ihr treten Erscheinungen auf, die auf ein reges Zellenleben schliessen lassen, z. B. transitorische Zellen, Cytoblasten u. s. w.
8. Es bildet sich die Pollenzelle, die immer mehr ausgedehnt, den Inhalt der Mutterzelle comprimirt und sich mit einer später resorbtionsfähigen Schicht des Zelleninhaltes umgiebt, die früher als Spezialmutterzelle beschrieben ist.
9. Es bilden sich zwei verschiedenartige Pollenzellen aus, nämlich solche, die grösser sind und Pollenschläuche treiben und andere, kleinere, die eigenthümliche Bläschengebilde zeigen und dann Filzfäden (Karpasma) entwickeln. —
10. Durch Resorbtion der Mutterzellenwände und des von ihnen umschlossenen Inhaltes wird die Pollenzelle frei.
11. Das die Pollenmasse im normalen Zustande umgebende Zellgewebe vermehrt sich durch Zellenbildung und differenziert sich in mehr Parteen. Im gehemmten Zustande ist nicht immer in den, die Pollenzellen umgebenden, Geweben ein so reges Leben, sondern durch Ausdehnung der Pollenzellen werden die anstossenden Zellen comprimirt, so dass sie an Elasticität verlieren und härter werden. Desshalb
12. tritt auch nicht immer eine Resorbtion des umgebenden, radial und tangential gelagerten und im raschen Zellenbildungsprozesse begriffenen innersten Zellgewebes auf, namentlich nie in der Höhlenbildung.
13. Die mittlere Schicht, die sonst mit Amylum gefüllt, dieses resorbirt und sich in Spiralfasern auflöst, tritt entweder garnicht auf (in den Höhlen), oder es nehmen mehrere Schichten, sogar die des Connectivum, theil und viele Zellschichten werden in Spiralfaserzellen verwandelt.
14. Die Epidermal-Schicht, tangential gelagert, wird selten in Spiralfasern verwandelt, zeigt aber Spaltöffnungen und Hautdrüsen. —

Erläuterung der Abbildungen.

Fig. 1 bis 15. Verschiedene Entwicklungsstufen der Antheren im Verhältnisse zur Blattofläche.

Fig. 1 bis 5. Metamorphosirte Staubblätter von Monocotyledonen, namentlich *Narcissus*, *Galanthus* etc.

a. äusserlich meist gelb gefärbte thecae.

Fig. 6, 7, 8. Blätter von *Papaver* und *Matthiola*.

a. gelbgefärbte thecae.

Fig. 9. Zwei aneinanderliegende Blätter von *Matthiola*.

a. thecae, b. die auf dem Rande der obern Blattofläche c. liegenden thecae ihrer Lage nach allein gezeichnet, — c. der obere Blattrand mit den gelb gefärbten thecis, —

d. ovula an den Rand geheftet

Fig. 10 und 11. Blätter von *Papaver* und *Rosa*.

Fig. 12 und 13. Blätter von *Matthiola*.

Fig. 14. Blatt von *Rosa*.

A. hintere Fläche, a. thecae.

Fig. 15. Blatt von *Matthiola*.

15 A. Blatt von *Paeonia* (nach Gümbel).

15 B. Blatt ebenfalls von *Paeonia* (nach Gümbel).

a. gelblich gefärbte thecae.

Fig. 16. Durchschnitt einer jungen Anthere von *Lilium*, deren Durchmesser 0,25''''. Eine grünlich-schwarze, körnige Zellgewebsmasse in der Mitte. a. die Anlage zum Gefässbündel (Connectivum), b. die Stellen, an welchen später die loculi auftreten, sind feinkörniger und heller.

16 A. Die senkrechte centrale Zellenreihe der Mutterzellen schematisch dargestellt. Unten ist die Anzahl der Zellen grösser als an der Spitze, die Form also konisch-cylindrisch.

16 B. Sechs Mutterzellen aus einer Anthere von 0,50''' Durchmesser sind freigelegt und erscheinen mit einer feinen Zellschicht, die fest in den jüngern Zuständen anhaftet, später resorbiert wird, umgeben (confer. Fig. 29 und Fig. 30 b.).

Fig. 17. Mutterzellen mit 3 Tochterzellen. Die vierte ist und wird nicht ausgebildet, obgleich der Cytoblast mit nucleolis versehen vorhanden ist. Abortirender Cytoblast Nägeli's.

Fig. 18. Mutterzelle. Der Inhalt ist zu anatomosirenden Fäden aufgelöst und daher nicht productiv; er zeigt einen nucleus mit nucleolis.

18 A. Abortirende, spiralig und porös verholzte Mutterzellen von *Citrus aurantium* nach Nägeli, längerer Durchmesser 0,013'''.

Fig. 19. Mutterzellen. Tochterzellen. Pollenzellen.

19 A. von *Althea rosea*.

a. Mutterzellen, b. Spezialmutterzellen, c. Pollenzellen mit Cytoblast.

19 B. von *Cucurbita* mit abgelagerten Schichten,

a. Mutterzellen, b. Spezialmutterzellen, c. Pollenzellen mit Cytoblast zeigen Querscheidewände.

19 C. a. b. Unvollständig gebildete (gehemmte) Tochterzellen, die ringförmig angelegt, jedoch nicht geschlossen sind.

Fig. 20. Mutterzelle mit zwei Cytoblasten, im Hemmungsstadium, die des mangelhaften Granulums wegen den Primordialschlauch nicht einschnüren und deshalb auch keine secundäre Einschnürungen zeigen.

Fig. 21. Mutterzellen mit bläschenartigen Gebilden.

A. und B. vom Verfasser an *Cucurbita* beobachtet.

a. Raum, durch Eindringen von Wasser gebildet, b. Bläschen-Gebilde.

C. von Sanio an *Equisetum palustre* beobachtet.

b. Bläschen-Gebilde, das mit hellerem Granulum als die Umgebung ausgefüllt ist.

Fig. 22. Stellt nach Gümbel einen Theil des Querschnittes dar, der von Fig. 15 A. a., vom Saume genommen ist. a. b. c. sind nach Gümbel Hohlräume, in welchen Blütenstaub unter der Form von Sporen enthalten ist. —

Fig. 23. stellt ebenfalls nach Gümbel einen Durchschnitt der eben erwähnten (wie Gümbel angiebt gleichsam brandigen) Stelle dar. Man sieht einen Raum mit Blütenstaub in Form von Sporen dargestellt.

Fig. 24. Querschnitt eines metamorphosirten Staubblattes.

a. Gefäßbündel, b. Pollenzellen, c. langgestreckte Pollenzellen im Fortsatze gelegen.

Fig. 25. Querschnitt eines zweiten metamorphosirten Blattes im spätern Stadium.

a. Gefäßbündel, b. Pollenzellen, die theilweise langgestreckt erscheinen, c. Farbebläschen, d. Spiralfaserzellen.

Fig. 26. Querschnitt eines metamorphosirten Staubblattes, entsprechend dem Blatte Fig. 2.

a. Gefäßbündel (Mittelrippe), b. langgestreckte Pollenzellen.

Fig. 27. Querschnitt eines metamorphosirten Staubblattes, entsprechend dem Blatte Fig. 10 und 11.

Fig. 28. Querschnitt eines metamorphosirten Staubblattes, entsprechend dem Blatte Fig. 14.

a. Mittelrippe, b. und c. Pollenzellen.

Fig. 29. }

Fig. 30. }

Fig. 31. }

Fig. 32. }

Querschnitte einer normal gebildeten Anthere.

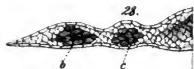
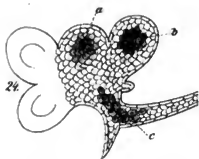
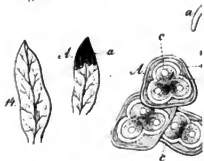
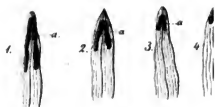
Fig. 29. a. Pollenzellen mit Cytoblasten. — Frühes Stadium in der Entwicklung.

b. peripherisches Gewebe, tangential gelagert.

Fig. 30. a. Pollenzellen. b. Peripherische Tangential-schicht. c. Radial gestreckte Zellschicht mit Cytoblasten. d. und e. Zwei Schichten, die später in Spiralfaserzellen umgewandelt werden. f. Epidermiszellen mit Hautdrüsen. g. Tangentialschicht.

Fig. 31. a. Epidermiszellen mit Farbebläschen. b. und c. Zellschichten, die in Spiralfaserzellen umgewandelt sind. d. Peripherische Tangential-Zellschicht. e. und f. Ort, wo früher radiale Zellschichten lagen (Fig. 30 c.), die jetzt resorbirt sind. Der Raum ist durch Pollen-Mutterzellen ausgefüllt. g. Pollen-Mutterzellen.

Fig. 32. f. Epidermiszellen mit Hautdrüsen. e. d. g. Die drei Zellschichten, analog Fig. 30, vor der Umwandlung. Die andern Schichten sind resorbirt.



H. Gussone ad nat. del.

Beitrag zur Bernsteinflora

von

A. Menge.

Vorwort.

Mehr als vier jahre sind verflossen seit herr geheimrath Goeppert in den Monatsberichten der berliner Academie (Über die Bernsteinflora von Dr. H. R. Goeppert Berl. 1853) eine übersicht der in meiner sammlung von bernsteinen enthaltenen pflanzenreste gab, von denen 163 arten, grösztentheils neue, wissenschaftlich bestimmt werden konnten. Die sammlung ist inzwischen nicht unbedeutend gewachsen und ohne die einzelnen stücke mit vielleicht nicht immer zutreffenden namen hier aufzuzählen, will ich einige wenige derselben beschreiben, wobei ich jedoch die hoffnung nicht aufgebe, dasz Goeppert, der die palaeontologie alljährlich durch so viele gediegene abhandlungen und werke bereichert und fördert, auch einst noch musze für die bearbeitung der bernsteinflora finden werde und dasz dann die hier gegebenen bruchstücke vervollständigt und in das ganze gehörig eingereiht werden können.

Einleitung.

Die palaeontologie der pflanzen ist in mehrfacher beziehung für den menschlichen geist anregend und belehrend. Indem sie uns nach und nach ein bild des ganzen pflanzenreichs aufrollt, zeigt sie uns erstens, dass dieselbe idee der schöpfung, welche sich in der jetzt lebenden pflanzenwelt ausprägt, sich schon in der ersten zeit ihrer entstehung ankündigt, dass jedoch die gattungen und arten jeder grössern erdbildungsperiode nach den einflüssen der erde und des himmels verschieden waren. Die übergangszeit, welche vielleicht noch einen für das licht undurchdringlichen und die erdoberfläche verhüllenden dunstkreis hatte, war der erzeugung von land und luftpflanzen nicht günstig, und beschränkte sich hauptsächlich auf meeresalgen (Fucoiden): desto üppiger und massenhafter schossen diese in der Steinkohlenperiode auf und die erde war damals an einzelnen stellen einem ungeheuren treibhause gleich. Vorzüglich waren es Farn und mit den farn verwandte familien, Stigmarien, Sigillarien, Lepidodendren und Calamiten, welche in überschwenglicher masse wasserreiche buchten und thäler erfüllten. Um diese zeit war noch aller kohlenstoff, der jetzt in den ungeheuren steinkohlengebirgen abgelagert ist, als kohlensäure mit der luft gemengt oder auch an wasser und lockere erde gebunden, das innere erdfeuer verbreitete glühende wärme nach der oberfläche und die heisse luft war mit wasserdämpfen übersättigt. In den folgenden zeitperioden verminderte sich die kohlensäure, die wärme der erde und luft und somit auch die feuchtigkeit der letztern nahmen allmählig ab, und niemals wieder hat die erde eine gleiche pflanzenfülle wie in der steinkohlenzeit hervorgebracht. Aber auch die meisten gattungen und arten konnten unter so veränderten bedingungen des wachstums nicht mehr bestehen, nur wenige gattungen giengen aus einer periode

in die andere über und es entstanden neue formen durch die in die erde gelegte schaffende kraft. Die massenhaftigkeit der wenigen gesellig wachsenden pflanzenarten verschwindet, aber es mehrt sich die zahl und mannigfaltigkeit der gattungen und arten. Die schöpfung begann mit den einfachsten pflanzenformen, den im wasser wachsenden algen, entwickelte dann durch macht der erdwärme riesenhafte gefäszcryptogamen und erhob sich unter der herrschaft des tagesgestirns zur bildung der schönsten und zartesten formen der mono- und dicotyledoneen. Die erdwärme trieb starres holz und saftiges laub, die sonnenstralen lieszen krautartige pflanzen mit zarten blättern, farbigen blumen und süszen früchten sich entfalten. Erst mit der Kreideperiode beginnt die erzeugung von samenpflanzen mit mehrblättriger blumenkrone, steigt dann bedeutend in der Molasseperiode und geht noch wachsend allmählig in die Jetztzeit über. Mit dieser vervielfältigung der formen theilt sich jetzt zugleich die erdoberfläche in besondere vegetationsbezirke, deren jeder seine nur ihm angehörige gattungen und arten hat, während unter dem vorherrschenden einflusse der erdwärme die flora der ganzen erdoberfläche eine gleichmässige war.

Der bernstein gehört wahrscheinlich der jüngsten tertiären zeit an, da in ihm bis jetzt keine einzige pflanze gefunden ist, welche in der miocenen oder eocenen braunkohle vorkommt. Zur pliocenen periode möchte ich auch die erdige braunkohle rechnen, welche an verschiedenen punkten in Preussen vorkommt und die wahrscheinlich die erzeugerin des bernsteins war. Sie enthält Holztheile von pinus, abies, taxus und andern holzartigen pflanzen, aber keine blätter oder blattabdrücke und hin und wieder spuren von bernstein. Die erdige braunkohle findet sich wie der bernstein nur auf secundärer lagerstätte. Die wellen, welche die holz- und blatttheile zerrieben, und endlich sinken lieszen, hielten den ölhaltigen leichtern bernstein noch eine zeitlang schwimmend, bis zuletzt auch dieser zugleich mit feinem thon und schlamme sich absetzte und von spätern grösseren wellen mit sande überschüttet wurde.

Zwei fragen nun scheinen mir für die bernsteinzeit von besonderer wichtigkeit zu sein; erstens, war das clima, als der bernstein sich erzeugte, in den betreffenden gegen den ein tropisches oder doch dem tropischen sich näherndes; und zweitens geht die ähnlichkeit bei einigen eingeschlossenen pflanzen mit den lebenden so weit, dasz wir sie für dieselben erklären können? Ich masze mir nicht an, beide fragen erledigen zu können. da der bernstein über einen groszen theil der erde verbreitet ist und ich nur den preussischen und seine einschlüsse einigermaszen kenne. Was jedoch den letztern an-

betrifft, so sind die in ihm eingeschlossenen pflanzengattungen im allgemeinen und ganzen die noch jetzt in der nördlich gemäßigten zone Europas vorkommenden, einige wenige sind ausgestorben, andere haben ihre nächsten verwandten in andern erdgürteln, kältern oder wärmern, die man vielleicht als nachzügler des groszen ausgewanderten heeres der frühern zeit, die an besonders günstigen orten zurückgeblieben sind, anderntheils als vorposten und hinüberstreifer eines rauhern himmels ansehen kann. Zu den letztern kann man die von Goeppert (bernsteinflora s. 21) angeführte, jetzt dem polarkreise angehörige *Andromeda ericoides*, zu den erstern eine zu den lorbeerartigen pflanzen gehörende art rechnen, die ich weiterhin näher beschreiben will. Ein wärmeres clima lässt sich aus diesen vereinzelt überläufn eben so wenig herleiten, als ein kälteres, aber auch wol nicht eine verbreitung der bernsteinwälder über jene zonen hin, so lange die zahl der hinweisenden pflanzen so klein ist und nicht bernsteinlager selbst in den bezüglichen erdtheilen gefunden werden. Die beantwortung der zweiten frage über gleichheit oder verschiedenheit der arten ist viel schwieriger, da die übereinstimmung in vielen fällen so grosz und die abweichung so gering ist, dasz Goeppert, einer der grösztzn kenner der vorwelt wie der jetzigen pflanzenwelt, keinen anstand genommen hat, hier die identität auszusprechen. Zwei beispiele einer bedeutenden übereinstimmung werden sich unter den gleich zu beschreibenden pflanzen vorfinden, ohne dasz ich jedoch aus diesem zusammentreffen im einzelnen auf völlige gleichheit des ganzen zu schlieszen wage. Vielleicht aber laszen sich jene arten als die grundformen und urbilder der mit ihnen übereinstimmenden jetzigen ansehen und könnte man ihnen dann allenfalls denselben speciesnamen beilegen, sie jedoch noch durch zufügung eines zweiten bestimmungswortes, etwa *protypus* oder *protogaeus*, unterscheiden. Ich meine dabei nicht, dasz alle gattungen und arten aus einer urgattung oder art durch umänderung in einzelnen oder allen theilen hervorgegangen seien, sondern dasz die schöpferische kraft der natur in die pflanzen, wie in die organischen naturkörper überhaupt, ein dem innern wesen derselben entsprechendes streben nach veredlung und vervollkommnung gelegt habe, wie es etwa in dem übergange der wurzelblätter in stengel und blumenblätter ausgesprochen ist, und dasz eine gattung oder art erlösche und aussterbe, wenn das ziel dieses strebens erreicht ist oder was dasselbe ist, unter den obwaltenden äuszern naturbedingungen nicht länger bestehen kann. Das aussterben von thiergattungen, wie des *Dinornis*, *Didus*, der *Rhytina* und der voraussichtliche untergang von *Apteryx*, *Notornis*, *Ibex* und selbst der von einigen oder auch allen

farbigen menschenstämmen scheint mir, wenn gleich durch äusere umstände früher oder später veranlaszt, im plane der schöpfung begründet zu sein. Für das aussterben von pflanzen der jetzzeit finden wir freilich weder im alluvium noch in der geschichte belege, allein die holzigen und hartrindigen gewächse, von denen sich erkennbare überbleibsel in den torfmooren finden, sind für den kurzen zeitraum der geschichte zu zählebig und beschreibungen älterer zeit zu unbestimmt, um folgerungen daraus herleiten zu können. Jene veredelung und verschönerung kann ebensowol mit einer ausdehnung und vergrößerung als einer verfeinerung und vermindering einzelner theile verbunden sein, obgleich wir gewohnt sind das plumpe und ungeheure, elephanten und rhinocerosartige als vorweltlich anzusehen. Die blumenblätter vieler pflanzen sind nicht bloß durch ihre zartheit und farbe sondern auch durch größern umfang von den obern stengel und kelchblättern unterschieden und somit kann die kleinheit mancher vorweltlichen pflanzentheile keinen grund gegen obige annahme abgeben. Wir können uns die schaffende und erhaltende macht des weltalls nicht ohne stets fortdauernde thätigkeit denken; das ziel dieser thätigkeit kann für unsern winzigen planeten, übereinstimmend mit den frühern vorgängen in seiner bildungszeit, nur vervollkommnung jedes einzelwesens wie des groszen ganzen sein, und vervollkommnung ist ohne gleichzeitige formänderung nicht möglich, da das innere mit dem äuszern naturgemäsz stets im einklange steht.

I. *Sphaerophorus moniliformis*. M.

Thallus fruticulosus, ramosus, articulatus, articulis compresso-globosis, ramis apice conicis, furcatis, divergentibus. — Planta minima, crustacea, in forma caespitis apicem surculi *Thuiae occidentalis* obtegens, coloris brunci.

Ein krautartig verästeltes, gegliedertes lager, die glieder zusammengedrückt kugelförmig, die ästchen an der spitze kegelförmig, gabelig und auseinandergehend. Eiu kleines krustenartiges, bräunliches pflänzchen, rasenförmig auf den endblättchen eines kleinen zweiges von *Thuia occidentalis* aufsitzend.

Es ist allerdings sehr fraglich, ob das pflänzchen zu *Sphaerophorus* gerechnet werden kann, da weder diese gattung noch irgend eine andere der flechten, soweit mir bekannt ist, ein gegliedertes lager hat. Sie scheint hier jedoch ihre nächsten verwandten zu haben und da keine apothecien vorhanden sind, habe ich keine neue gattung daraus bilden wollen. Die gliederung ist, soviel sich ersehen lässt, nicht bloß äusserlich und die pflanze somit den algen ähnlich. Die glieder sind perlartig, in den stämmchen und hauptzweigen ziemlich von gleicher größe, an den kegelförmigen endzinken allmähig an größe abnehmend. Die substanz ist offenbar hart und krustenartig und die farbe scheint auch im leben bräunlich gewesen zu sein. Der ganze kleine rasen, der etwas über ein millimeter in der breite hat, bekleidet ringsum zwei offenstehende endblättchen eines *Thuia*zweiges, der *Thuites kleinianus* Goep. (Organ. überreste im bernstein I. 162. tab. V. fig. 6, 7.) oder nach späterer bestimmung (bernsteinflora p. 12.) *Thuia occidentalis* anzugehören scheint. Die kleinen stämmchen liegen meistens der blattfläche an, die endzweige jedoch gehen zinkenartig in die höhe. Wegen dieser art des aufliegens und wachsens habe ich es vorgezogen das pflänzchen zu *sphaerophorus* zu stellen, obgleich es durch seine verästelung auch an *Cornicularia* erinnert. Die zuverlässigkeit in der anreihung vorweltlicher pflanzen an die lebenden geht, meiner ansicht nach, im allgemeinen nicht weiter, als die übereinstimmung der erkennbaren merkmale reicht; einige unsicherheit wird in den meisten fällen noch vorhanden sein, da fast nie eine vollständige pflanze vorliegt. — Nebenbei liegen zerstreute häufchen jener so oft vorkommenden büschelförmigen oder sternförmigen haare, die man einer vorweltlichen eiche zueilt.

II. *Taxoxylum electrocyton*. M.

Truncus teres, strictus, medulla tenui, ligni stratis concentricis densissimis, cortice subcrasso; cellulis parenchymatosi, undique porosis, fibrillis spiralibus instructis; radiis

medullaribus simplicibus, cellulis 1—5 superimpositis, crebris; ductibus succiniferis numerosis. — Stirps longitudinis 70^{mill.}, diametri 12^{mill.}, succino inclusa.

Der stamm drathrund und ganz gerade, das mark dünn, die holzringe kreisförmig, concentrisch und sehr eng; die holzfaseren nach allen seiten porös und im innern mit spiralfasern ausgekleidet; die markstralen einfach, aus 1 bis 5 übereinander liegenden zellen gebildet und häufig. Zahlreiche mit bernstein angefüllte gänge. — Der stamm hat eine länge von 70^{mill.}; im durchmesser (ohne die über 1^{mill.} dicke rinde) 12^{mill.}, und ist von bernstein umflossen.

Das abgebildete stammstück war bis auf seine vortretenden enden von bernstein eingeschlossen, letzterer wurde jedoch durch die neugier eines bernsteinarbeiters gröstentheils abgesprengt, so dass jetzt nur noch ein grösseres schaliges stück, das sich mit auhängender rinde von dem stamme gelöst hat, und sich demselben genau anschliesst, davon übrig ist. Der abgeschlagene bernstein hat beim abspringen zugleich einen theil des holzes mit fortgerissen (Fig. 3. a.). Um die jahresringe deutlicher zu erkennen, sägte ich das stämmchen durch; das holz, obgleich ursprünglich wol sehr hart, war doch stellenweise mürbe und liess sich nur schwer poliren. Auf der geglätteten ebenen fläche sind schon mit bloszem auge, besser jedoch bei einiger vergrösserung, 15 jahresringe deutlich zu unterscheiden, nach dem mark und dem äusseren umfange hin, sind sie jedoch schwer zu erkennen und mögen ihrer etwa 20 auf einem radius von 6 millimetern liegen, so dass mehr als drei auf 1 mill. kommen (Fig. 4. b.). In den jahresringen bemerkt man zahlreiche feine punkte (Fig. 4. c.) fast alle von gleicher grösse, die mit bernsteinfäden oder stäbchen angefüllte gänge sind. Sie liegen meistens auf den durchsetzenden markstralen. Unter dem microscop zeigen sich die um ein solches bernsteinstäbchen liegenden zellen verschoben (Fig. 5. a.), ein beweis, dass die bernsteinflüssigkeit in dem canale auch schon während des lebens einen druck auf das zellgewebe ausgeübt hat und man kann schwerlich den ganzen angefüllten raum als eigentlichen harzkanal ansehen. Im längsschnitte gelingt es wol das bernsteinstäbchen zu erhalten, aber nicht das umliegende zellgewebe. Ausser diesen feinen bernsteintheilchen liegen in dem holze zwischen den jahresringen noch einzelne schelfrige oder schalige, grössere bernsteinstücke (Fig. 3. d. d. und Fig. 4. d.).

Die langgestreckten holzzellen oder gefässe sind bedeutend laug, so dass man selten das zugespitzte ende sieht, und wie queer- und längenschnitte zeugen (Fig. 4. u. 6. a - a') bald enger bald weiter, ohne dass man diese verschiedenheit auf rechnung des alters der schichten schreiben kann. Die mehr nach innen liegenden zellen zeigen sich fast alle spiralförmig gestreift, mit sich kreuzenden fasern weniger die der rinde zunächst liegenden. Die durchkreuzung der fasern rührt von dem durchscheinen der tiefer liegenden windungen her. Die windungen liegen oft eng an einander und berühren einander oder lassen einen zwischeraum zwischen sich, durch den die aufliegende zellenwand sich erkennen lässt, wenn man zufällig eine zelle der länge nach durchschneidet (Fig. 7.). Da die zellhaut stets etwas gelblich gefärbt ist und von abgelagerten stoffen etwas gekörnelt erscheint (Fig. 6. u. 8.), so ist sie leicht von der spiralfaser zu unterscheiden. Sowol auf der den markstralen als der dem äusseren umkreise zugewendeten seite kommen grosse, von einem einfachen oder doppelten hofe eingefasste poren vor. Sie liegen meistens in einfacher (Fig. 6. u. 8. a'), selten in doppelter reihe (Fig. 8. a''), nicht immer in gerader linie, bald einander näher bald entfernter, auch nicht immer gleichgrosz und genau kreisrund. Selbst an den spiralg gestreiften zellen sieht man sowol bei der lebenden *taxus baccata* als bei dieser vorweltlichen art zahlreiche poren, was der gewöhnlichen annahme von

entstehung und bildung der poren zu widersprechen scheint. Die markstrahlen bilden eine einfache reihe von 2 bis 5 übereinander liegenden zellen, doch so dass die dreizahl die häufigere ist, und die funfzahl nicht überschritten wird. Sie enthalten auf dem radialschnitte (Fig. 6. b.) einfache rundliche oder eiförmige poren in zwei etwas ungeordneten horizontalen reihen und bedecken einzeln zu zweien, dreien oder vierten den durchschnitt einer unterliegenden parenchymatösen zelle. Weder in den horizontalen noch in den schrägen durchschnittslinien der wände konnte ich spaltendurchschnitte erkennen, woran offenbar die verwitterung derselben schuld ist, da auf einem horizontalen stammschnitte (Fig. 4. b.) sich die poren zeigen.

Von der lebenden *taxus baccata* unterscheidet sich diese art dadurch, dass bei *baccata* alle holzzellen auf den radialen wie peripherischen schnitten gestreift sind, die faserwindungen unregelmässiger fortgehen und mit der längenachse einen stumpfen oder fast rechten winkel bilden, so dass sie oft ringförmig erscheinen, während sie bei *electrocyta* unter spitzen winkel gegen die achse gerichtet sind. Auch sind bei unserer lebenden art die poren sparsamer, kleiner und meistens elliptisch, rechts oder links gerichtet. An eine identität beider ist daher wol nicht zu denken. Übereinstimmung zeigt sich bei beiden in der form der bald engern bald weitem holzzellen, die bei der fossilen art allerdings weniger angefüllt sind, was jedoch von theilweiser zerstörung des stoffes herrühren kann. Übereinstimmung besteht ferner in der enge der aufeinanderfolgenden jahresringe des holzes. Ich zähle auf einem stücke von *baccata*, das mit dem bernsteinstamme ganz gleichen durchmesser hat, 20 jahresringe und eben so gross war die zahl der bei diesem gefundenen.

Bemerken will ich hier noch, dass sich durchschnitte frischer holztheile, wie auch andere präparate sehr schön aufbewahren lassen, wenn man sie auf einem glastafelchen zuerst mit einer recht dicken lösung von gummi arabicum und dann mit einem glimmerblättchen oder deckgläschen belegt. Ist die lösung gehörig dick, so zeigen sich nach dem eintrocknen durchaus keine luftblasen, das präparat liegt klar da, hält sich unverändert und kann durch auflösung des gummis leicht wieder in seinem ursprünglichen zustande hergestellt werden. Auch bernsteineinschlüsse, die der oberfläche zu nahe liegen, werden durch einige tropfen diesser gummilösung auch ohne deckglas klar und gegen weiteres verderben geschützt.

III. *Camphora protypa*. M.

Perigonium sexpartitum, laciniis oblongis, pagina superiore villosis, inferiore glandulosis; Stamina novem, lacinias subaequantia; sex exteriora filamentis filiformibus, antheris rectangulis planis, basi adnatis, poris quatuor ellipticis interne deliscentibus, valvulis reflexis persistentibus; tria interiora, filamentis supra basin ad latera glandulis duobus instructis, antheris rectangulis poris et valvulis quatuor externe sese aperientibus; staminodia tria clavata. Pistillum unum, staminibus aliquantulum minus, stylo cylindrico, stigmate dilatato obtuso. Pedunculus corolla triplo longior. — Longitudo staminum 2^{mill.}, diameter perigonii expansi 6^{mill.}

Blumenhülle sechstheilig, mit länglichen auf der innenseite zottigen, auf der ausenseite drüsigen blatttheilchen. Neun staubgefässe, fast so lang wie die blumenhülle, die sechs äuszern mit fadenförmigen fäden und länglich viereckigen, flachen, am grunde angewachsenen staubbeuteln, die sich mit vier elliptischen löchern und zurückgeschla-

genen, stehenbleibenden klappen nach innen öffnen, die drei innern staubgefäße oberhalb des grundes an beiden seiten mit einer drüse versehen, mit vierseitigen, mit vier löchern und klappen sich nach auszen öffnenden antheren. Drei kleine keulenförmige fadenkörper (staminodia). Ein einfacher stempel etwas kleiner als die staubgefäße, mit cylindrischem stiel und erweiterter stumpfer narbe. — Ein blumenstiel, dreimal so lang als die blume. — Länge der staubgefäße 2 mill., durchmesser der flach ausgebreiteten blume 6 mill.

Es kann zweifelhaft sein, ob die blüte zu *Camphora* oder zu *Cinnamomum* gerechnet werden mag, da die drei innern knopfförmigen staminodien, die bei *camphora* vorkommen, bei dieser sonst durchaus klar im bernstein liegenden blüte nicht zu sehen sind, allein sie können im grunde des kelchs verborgen sein. Die tiefgehende theilung der hülle scheint mir anzudeuten, dasz hier nicht das ganze perigonium, sondern nur der grund desselben die reife frucht umgeben hat und da auch in allen übrigen theilen grössere übereinstimmung mit *camphora* besteht, habe ich keinen anstand genommen sie dieser gattung zuzuzählen. Leider hab ich mir keine blüte der lebenden *Camphora officinarum* Nees. zur vergleihung verschaffen können und mich mit den oberflächlichen abbildungen der blüthentheile bei Heyne (Arzneigewächse. Berlin 1834. 3. bd. und denen von Otto Berg (Charakteristik der für die arzneikunde und technik wichtigen pflanzen genera. Berlin 1846. tab. 26.), die sehr naturgetreu und genau zu sein scheinen, begnügen müssen. Nach letztern zu urtheilen, ist die übereinstimmung unserer pflanze mit *Camph. off.* sehr gross, und sind die abweichungen nicht bedeutend. Die blatttheile der hülle sind bei der bernsteinaart etwas länglicher und die geraden oder verschieden gebogenen und gekrümmten steifen haare bedecken die innenseite nur bis zur hälfte. (Fig. 12. a.) Die drüsen der unbehaarten äuszern seite geben sich unter dem microscop als runde dunkle punkte zu erkennen. (Fig. 12. b.) Undeutlich sieht man drei hauptnerven durch die blattfläche hindurehgehn (Fig. 10.). Die staubfäden sind unbehaart und scheinen weniger stark zu sein wie die der officiellen art, ebenso die länglich viereckigen staubbeutel kleiner und an den ecken weniger abgerundet (Fig. 10.). Durch vergrößerung erkennt man die randlichen zellen der staubbeutel (Fig. 11.). Die sonderbaren seitendrüsen der drei innern staubgefäße, scheinen mir von je zwei unfruchtbaren staubgefäßen, die mit den fruchtbaren verwachsen sind, herzuführen.

Herr bernsteinhändler Jantzen ist so glücklich gewesen, ein blatt aufzufinden, was, wenn nicht zu der beschriebenen art, doch zu derselben gattung zu gehören scheint und hat mir erlaubt dasselbe abzuzeichnen. Es ist meines wissens das grösste blatt, welches je im bernstein gefunden ist. In der 13ten und 14ten Figur ist dasselbe in natürlicher größe von der untern und obern seite, mit genauem verlauf der nerven, soweit derselbe zu erkennen ist, dargestellt. Das blatt ist gestielt eiförmig, am rande etwas ausgeschweift, netzartig geadert, fast lederartig, auf der obern seite schwach glänzend, auf der untern matt und wie es scheint drüsig. Aus dem mittlern hauptnerv entspringen etwas oberhalb seines eintritts in das blatt zwei starke, nach der spitze hin gehende, jedoch schon ein drittel vor derselben endende, seitennerven, die man gewöhnlich ebenfalls als hauptnerven ansieht (was durch die dreitheilung mancher blätter bei lebenden laurus-arten gerechtfertigt erscheint). Die secundären nerven gehen unter winkeln von 45° bis 50° von den hauptnerven aus, und die ternären und quaternären bilden, so weit sie erkennbar sind, ein netzartiges gewebe mit ungleichen maschen. Alle gefaszbündel treten auf der untern seite stärker aus der blattfläche hervor als auf der obern. Die spitze des blattes fehlt. — Länge des blattes (ohne spitze) 40 mill., grösste breite 25 mill. länge des blattstiels 13 mill.

Die familie der lebenden lorbeerartigen gewächse, die mein stets hoch verehrter lehrer G. Nees von Esenbeck in einer meisterhaften monographie in 45 gattungen mit etwa 400 arten beschrieben hat, lässt sich in zwei grössere abtheilungen bringen, von denen die eine Asien bis zum fünf und vierzigsten grade n. br., die andere Amerika vom fünf und dreissigsten grade s. br. bis zum fünf und dreissigsten gr. n. br. bewohnen. Auch in rücksicht ihrer chemischen und medicinischen bestandtheile lassen sie sich in zwei gruppen ordnen, von denen die eine einen kamferartigen stoff, die andere ein ätherisches, zimmetähnliches öl in blüthen, blättern, rinde oder holz erzeugen. Die *Camphora officinarum* wächst in China und Japan und hat sich über diesen bezirk hinaus nicht verbreitet. Das vorkommen einer nahe verwandten art im bernstein ist daher jedenfalls merkwürdig, wie man sich dasselbe auch erklären mag.

IV. *Calluna primaeva*. M.

Fig. 15 — 17.

Foliolis ovato-triquetris, quadrifariam imbricatis, margine subciliatis. — Longitudo folioli 1 mill., latitudo 0,5 mill. Latitudo surenli 1 mill.

Mit eiförmig-dreieckigen, vierreihig und schuppig über einander liegenden blättchen, die am rande meistens fein gewimpert sind. — Länge eines einzelnen blättchen 1 mill., breite 0,5 mill. Breite des zweiges 1 mill.

Ein kleiner, gebrochener blüthenloser zweig, von 20 mill. länge, liegt in einem ziemlich klaren bernsteinstücke zugleich mit einem langen linienförmigen blatte, welches wahrscheinlich einer andromeda angehört hat, einem acridium, einer podura und mehreren fliegen. Von der lebenden *C. vulgaris* unterscheidet sich dieser pflanzenstengel vorzüglich durch die kleinheit und mehr eiförmige gestalt der blättchen, die bei *vulgaris* mehr länglich und von der seite gesehen fast linienförmig erscheinen. Wenn nun auch in diesen beziehungen bei *vulgaris* oft abweichungen vorkommen, so wag ich doch nicht auf diesen unvollständigen überrest hin die identität beider arten auszusprechen. Die borstigen wimperhärechen am rande fehlen hier zum theil und verlieren sich auch leicht am gemeinen heidekraut.

V. *Erica eridanica*. M.

Fig. 18. A. B. C. D.

Caule tereti erecto, foliis alternis linearibus patentibus, in surenli novellis confertis, in magis provectis ternis distantibus. — Long. folioli 2 mill., lat. 0,5 mill.

Stengel drattrund, aufrecht; blättchen linienförmig, abwechselnd, offenstehend, an jungen zweigen dicht gedrängt, an ältern etwas entfernt und zu dreien stehend. Länge eines blättchens 2 mill., breite 0,5 mill.

In einem klaren bernsteinstücke liegen sechs stengelbruchstücke, die *erica cinerea* und *tetralix* sehr ähnlich sind; wie weit jedoch die ähnlichkeit der ganzen pflanze gehe, kann einestheils wegen mangel der

blüthenheile, andertheils wegen des krustenartigen überzugs, der alle vorhandenen theile umbüllt nicht abgegeben werden. Dieser überzug, der so oft thiere und pflanzen im bernstein bedeckt und unkenntlich macht, rührt meiner meinung nach von zufälliger feuchtigkeit oder von dem ausdringenden safte des lebend hiein-geratenen körpers her.

VI. *Pteropetalum palaeogonum. M.*

Fig. 19 — 21.

Calyx quinquefidus, persistens; laciniis ovatis. Discus carnosus calycis fundum obtogens, quinquepartitus, laciniis obcordatis, in media linea elevatis. Petala quinque oblonga, basi alata, calycis laciniis alterna, duplo longiora. Stamina quinque sub disco in ejus incisuris inserta, filamentis filiformibus, calyce sublongioribus, incurvis, antheris cordatis bilocularibus. Stigma quinque partitum sessile, laciniis lineari-lanceolatis. Longitudo calycis 2,3 ^{mill.}; ejus diameter 3 ^{mill.}; long. petali 3 ^{mill.}; long. pedunculi 9 ^{mill.}

Kelch fünfspaltig stehenbleibend, mit eiförmigen lappen. Im grunde des kelchs eine fleischige fünftheilige scheibe, mit verkehrt-herzförmigen, in der mittellinie erhöhten lappen. Fünf längliche am grunde beiderseits geflügelte blumenblätter, mit den kelchblättern abwechselnd und doppelt so lang als diese. Fünf staubgefäße in den einschnitten der scheibe und unterhalb derselben eingefügt, mit einwärts gebogenen, fadenförmigen fäden, die wenig länger sind als der kelch und herzförmigen zweifächerigen antheren. Eine fünftheilige sitzende narbe mit länglich lanzettförmigen lappen. — Länge des kelchs 2,3 ^{mill.}, durchmesser desselben 3 ^{mill.}, länge eines blumenblatts 3 ^{mill.}, des blumensstiels 9 ^{mill.}

In einem klaren stücke bernstein liegen fünf blüthen mit ihren stielen durcheinander, welche vermuten lassen, dasz die blüthen in einer trugdolde oder dolde standen. Leider sind sie schon grösstentheils vermodert in den bernstein gekommen, so dasz nicht alle theile gleich gut erkannt werden können; namentlich sind die blumenblätter versehrumpft und verdreht, und nur an zweien erkennt man die angegebene gestalt. Sie erscheinen auf beiden seiten punctirt, mit schwach hervortretenden nerven. Der kelch, welcher von allen theilen am deutlichsten ist, hat dünne etwas umgeschlagene ränder und ist auf der auszenseite mit vielen querrunzeln versehen; der blumensiel hat kleine längsfurchen; runzeln und furchen rühren vielleicht vom eintrocknen her. Wegen der sonderbaren blumeblätter und der fünftheiligen narbe, habe ich geglaubt eine neue gattung aus diesen blüthenheilen aufstellen zu dürfen, die bei Evonymus wol ihre nächste verwandtschaft finden möchte.

Erklärung der Figuren.

- Fig. 1. Spitze von *Thuia occidentalis* Goepp. (Thuites Kleinianus Goepp.) mit *Sphaerophorus moniliformis* theilweise besetzt; etwa fünffach vergrößert.
- Fig. 2. Einzelne stämmchen stärker vergrößert.
- Fig. 3. *Taxoxylum electrochyton*. Holzstämmchen in bernstein eingeschlossen in natürlicher größe. *a*. Holz. *b*. Rinde. *c*. In das verwitterte holz eingedrungene masse, aus sandkörnchen, eisenvitriol und erdigen theilen bestehend. *d. d.* Zwei bernsteinschelfern, die zwischen den jahresringen des holzes liegen. *e. e.* Bernstein, welcher den stamm umgiebt, und theilweise abgeschlagen ist.
- Fig. 4. Horizontaler querschnitt des stamms, etwas geglättet, so dasz die jahresringe deutlicher hervortreten. Nat. größe. *a*. Mark klein und nicht sehr deutlich; *b*. Jahresringe gegen 20, von denen 15 deutlich zu erkennen. *c*. Zahlreiche markstralen, welche die jahresringe durchsetzen; *d*. Eine bernsteinschlaube zwischen zwei jahresringen. *e. e.* zahlreiche punctförmige durchschnitte von bernsteinstäbchen im holze liegend.
- Fig. 5. Horizontaler querschnitt bei etwa 200maliger vergrößerung. *aa'* Holzfasern, *a* grössere *a'* kleinere ohne bestimmte ordnung wechselnd. *b*. Durchschnitt der markstralen, in dem hier und da poren sichtbar sind.
- Fig. 6. Ein mit bernstein erfüllter canal *e* neben einem markstralendurchschnitte *b*. Vergrößerung eines der bernsteinpuncte *e* in Fig. 4.
- Fig. 7. Radialer längsschnitt (parallel den markstralen). *aa* Holzfasern spiralförmig gestreift mit poren. *bb* Markstralen mit drei oder vier einfachen zellenreihen übereinander; *b'* bogenförmige verbindung von zwei nahe übereinander liegenden zellenreihen.
- Fig. 8. Einzelne parenchymatöse zellen mit zum theil durchschnittener spiralfaser, so dasz zugleich die zellenwand sichtbar wird.
- Fig. 9. Peripherischer schnitt (parallel den jahresringen) *aa'* holzfasern, theils mit theils ohne spiralförmige streifung und poren. *bb* durchschnitt der markstralen.
- Fig. 10. *Camphoru protypa*, etwa fünffach vergrößert.

- Fig. 11. Dieselbe blüte in horizontaler ausbreitung gedacht und stärker vergrößert, von oben und innen geschn. *aaa* Zipfel der blumenhülle; *bb* die sechs äussern, *b'b'* die drei innern staubgefässe mit seitendrüsen am grunde. *d*. Projection des stempels und der narbe.
- Fig. 12. Eine anthere von der rückenseite geschn.
- Fig. 13. Ein stück eines hüllblatts mit zottigen steifen haaren *aa*, und drüsen *bb*.
- Fig. 14-15. Ein blatt, das dieser gattung und vielleicht derselben art angehört in natürl. gr. Fig. 14 von oben; fig. 15 von unten geschn. An den leeren stellen liess sich der verlauf der gefässe nicht erkennen.
- Fig. 16. Zweig von *Calluna primoera* in natürl. gr.
- Fig. 17. Ein theil desselben vergrößert.
- Fig. 18. Ein einzelnes blättchen.
- Fig. 19. *A-D*. Stengel von *Erica eridanica*. *A*. Spitze eines unfruchtbaren jungen zweiges; *B*. u. *C*. mittelstücke von ältern zweigen, *D*. ein stärkeres incrustirtes zweigstück.
- Fig. 20. *Pteropetalum palaeogonum*, blüte von der seite geschn in nat. gr. *a*. kelch; *b*. einzelnes blumenblatt (die übrigen sind abgefallen) *c*. ein staubgefäss.
- Fig. 21. Der kelch etwas vergrößert.
- Fig. 22. Ein blumenblatt ebenso.
- Fig. 23. Die blüentheile von oben und innen geschn (ohne die blumenblätter) und vergrößert. *aa* die fünf zipfel der sitzenden narbe; *bb* eine das innere des kelchs bedeckende fünftheilige scheibe; *cc* fünf staubgefässe, *dd* die fünf lappen des kelchs.
-

Bemerkungen über die schwedische Eberesche, *Sorbus scandica*. Fries.

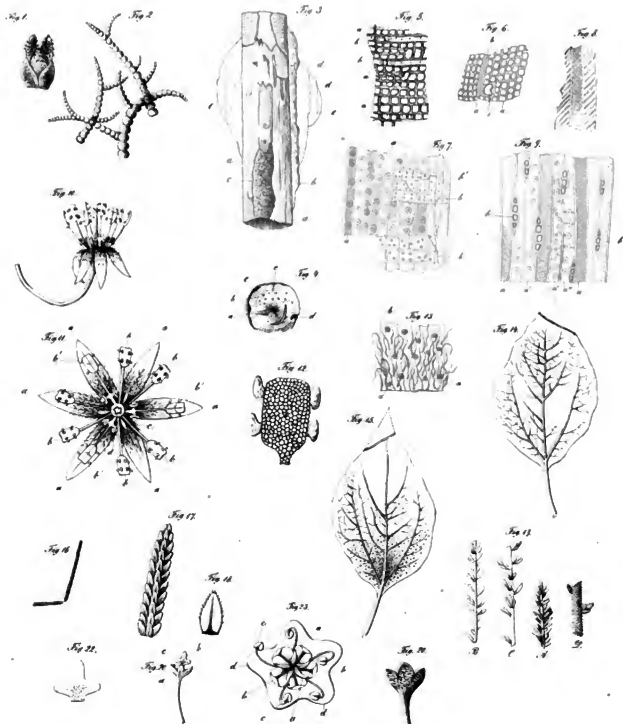
Bei einem sechswöchentlichen aufenthalte am Ostseestrande bei Redlau im jahre 1840 wurde dieser schönlaubige schwedische baum zuerst von mir aufgefunden und zweige desselben nebst einigen andern pflanzen, die damals für Preussen noch nicht als einheimisch nachgewiesen waren, als *Lobelia Dortmanni*, die sich in groszer menge in dem see oberhalb Grosz Katz vorfand und *Polycnemum arvense*, das in groszer zahl die dürren höhen von Steinberg bedeckte, in einer versammlung der Danziger naturforschenden gesellschaft vorgezeigt. Im Jahre 1843 nahm Dr. Klinmann dieselben in seine novita atque defectus florae Gedanensis ¹⁾ auf. Ich fand die pflanze an zwei verschiedenen stellen, zuerst als prachtvollen baum mitten im walde an den Redlauer höhen, und gewisz durch alleiniges wirken der natur ohne zuthun von menschenhand dort aufgegangen, dann in einem etwas verkümmerten jungen bäumchen dicht am rande des baches, der sich bei Redlau ins meer ergieszt, und wahrscheinlich hier angepflanzt. Beide standorte sind nunmehr zu streichen. Das junge bäumchen hat der im Frühling stark anschwellende bach fortgerissen, den gröszern baum der jetzige besitzer von Hoch Redlau mit dem ganzen walde gefällt, wobei keines baums ist geschont worden ²⁾. Es wird daher dem botaniker wie dem naturliebhaber nicht uninteressant sein, wenn ich einen neuen preussischen standort des baumes nachweisen kann. Vor zwei sommern hörte ich, dasz bei Kossy im Carthäuser kreise ein dort unbekannter baum vorkomme und vermutete gleich, dasz es die schwedische eberesche sei, was sich dann durch blätterzweige, die ich mir bringen liesz, bestätigte. Sie steht dort an dem landwege und ist vielleicht aus dem walde eingepflanzt. Jedenfalls eignet sie sich durch ihr dunkles,

¹⁾ Neueste Schriften der naturforschenden Ges. in Danzig. Bd. IV. Hft. 1. Der berühmte verfasser unserer besten flora germanica, hofrath Koch führt Dr. Klinmann als den entdeckter der pflanze für Deutschland an und hat dabei übersehen, dasz Klinmann derselben meinen namen beigefügt hat.

²⁾ Tros, Rutulusve fuat, nullo discrimine agetur. Virg. Aen. 10 v. 108.

auf der untern seite mit weissem filze bedecktes blatt und ihre groszen, rothen beeren eher zum zierbaum an wegen als die gemeine eberesche. Der güte des herrn director Dr. Strehlke verdanke ich reife beeren dieses baums und will die anpflanzung hier bei Danzig damit versuchen. Mein hauptzweck bei dieser mittheilung aber ist noch ein anderer. Ich vermute nämlich, dasz die samen des baums durch drosseln (*turdus viscivorus*, den krammetsvogel oder irgend eine andere art) auf ihren herbstlichen wanderungen aus Schweden zu uns hinüber getragen sind. Die gerade entfernung des preussischen strandes von Gothland beträgt etwa 20, die von Oeland etwa 15 deutsche meilen, die in zwei bis drei stunden im fluge zurückgelegt werden. Verhält sich die sache in dieser art, so wäre der baum für uns als übersiedler anzusehen. Es würden sich dann gewisz noch andere sporadische standpunkte im nördlichen Pommern nachweisen lassen und vielleicht der pommersche landrücken die südliche gränze des vorkommens sein. Daher richte ich an forstbeamte und pflanzenkenner die angelegentliche bitte den vagabunden, wo er sich vorfindet, festzuhalten, aber mit schonung zu behandeln und gelegentlich über seinen aufenthaltssort mittheilung zu machen.

A. Menge.







Anal.

NEUESTE

SCHRIFTEN

DER

NATURFORSCHENDEN GESELLSCHAFT

IN

DANZIG,

Germany

SECHSTEN BANDES ZWEITES UND DRITTES HEFT.

^c DANZIG.

AUF KOSTEN DER NATURFORSCHENDEN GESELLSCHAFT.

1861.

~~48.26~~

1878, Sept. 13.

Forest Fund.

Auflösung
der
KUBISCHEN GLEICHUNGEN
durch
trigonometrische Functionen
des Kreises und der Hyperbel.

Nebst Tafeln für die letztern.

Von

Johann Friedrich Wilhelm

J. F. W. GRONAU,

Oberlehrer an der Realschule zu St. Johann in Danzig.

DANZIG.

1861.

Vorrede.

Als ich meine Abhandlung schon vollendet hatte, kamen mir die „Beiträge zur Auflösung höherer Gleichungen überhaupt und der kubischen Gleichungen insbesondere von Dr. J. P. Kulik, Professor in Prag, 1860“ in die Hände. Da die Auflösung der kubischen Gleichungen darin, wie bei mir, von neuen Tafeln, deren Ursprung auf Lambert zurückgeführt wird, abhängig gemacht ist, so glaubte ich schon, Herr Professor Kulik habe denselben Weg eingeschlagen, den ich betreten habe; allein bald fand ich, dass wir von ganz verschiedenen Gesichtspunkten ausgegangen sind. Nachdem Herr Professor Kulik nämlich gezeigt hat, dass man jede kubische Gleichung auf die Form $z^3 + z = \pm R$ bringen kann, gehen seine Tafeln auf den Fall $z^3 + z = \pm R$ gar nicht ein und für den andern Fall, wenn $z^3 - z = \pm R$ ist, lassen sie uns im Stich, sobald $R > 32,007552$ wird. Man sieht leicht ein, dass Tafeln dieser Art nur im irreducibeln Fall einer Abrundung fähig sind, weshalb auch Lambert's Skizze sich auf diesen beschränkt und nur bis $R = \frac{2}{9} \sqrt[3]{3} = 0,3849002$ geht. Auch kann man durch die über diesen Grenzwert hinaus erweiterten Tafeln Kulik's nur die reellen Wurzeln finden. Wie wenig ihm um die imaginären Wurzeln zu thun ist, kann man pag. 34 seiner Schrift lesen. Dort heisst es: „Die Tafel giebt dann nur die reelle Wurzel zwischen 1,155 und 3,2800, die imaginären Wurzeln hingegen ergeben sich aus den reellen, wenn man sie mit dem Factor $\frac{1}{2} (-1 \pm \sqrt{-3})$ multiplicirt;“ was offenbar falsch ist und nur für reine kubische Gleichungen gilt. Endlich sind seine Tafeln eben nur dienlich, innerhalb der angegebenen Grenzen kubische Gleichungen zu lösen, während der Gebrauch meiner Tafeln, zu denen Lambert gleichfalls den Grundstein gelegt hat, so mannigfaltig und allgemein ist, wie der der cyklisch-trigonometrischen Tafeln. Uebrigens bin ich weit davon entfernt, durch vorstehende Bemerkungen gegen Kulik's Schrift im Ganzen auftreten zu wollen, da der Schwerpunkt der letztern anderswo liegt.

Ich habe ferner mein Bedauern auszusprechen, dass mir nicht während der Berechnung der Beispiele in § 27 und 28 Gudermann's Tafeln zu Gebote standen.

Ich will daher hier noch an zwei Beispielen eine Vergleichung zwischen seinen und meinen Tafeln anstellen und wähle dazu zunächst aus meiner Schrift pag. 34 das 10^{te} Beispiel. Nach seiner Bezeichnung ist $\log \sin k = 3,3708655$, also nach seinen Tafeln Lk oder, wie es auch genannt wird, $k = 8,454852$, und $\log \sin \frac{k}{3} = 0,9213841$, dasselbe Resultat, welches ich pag. 36. Nr. 5 nach meinen Tafeln auch gefunden habe. Da hier aber die Längenzahlen sehr gross sind, so soll man nach seiner Angabe eine noch grössere Genauigkeit erreichen, wenn man bei der Berechnung seine Tafeln für $Lk + \text{Log } v$ zu Hilfe nimmt. Man hat in diesem Falle die Unbekannte aus folgenden Gleichungen zu finden:

$$x = \sqrt[4]{-\frac{4b}{3}} \cdot \text{tg } l \frac{1}{3} Lk, \text{ wo } \text{tg } k = \frac{\sqrt[4]{c}}{\sqrt[4]{(-\frac{b}{3})}}, \quad b = 3f, \quad c = 2g, \quad k = \omega \text{ ist.}$$

Aus $\log \text{tg } k = 3,3708655$ folgt nach der alten Kreiseintheilung $k = 89^{\circ} 58' 32''$, 18682, nach der von Gudermann vorgezogenen Centesimaltheilung $k_1 = 99^{\circ} 97' 28''$, 9717, $v = 2,710283$, ferner $\log v = 0,4330147$, $\text{Log } v = 0,9970532$ und weil $Lk + \text{Log } v = 9,4519048$, so ist $Lk = 8,4548516$, $\frac{1}{3} Lk = 2,8182839$. Demnach ist $\frac{Lk}{3} + \text{Log } v = 9,4507183$, also $\text{Log } v^1 = 6,6324344$, $\log v^1 = 2,8804297$, $v^1 = 759,3285$, $\frac{k}{3} = 92^{\circ} 40' 67''$, 15, $\frac{k}{3} = 83^{\circ} 9' 57''$, 7566, $\log \text{tg } l \frac{1}{3} Lk = \log \text{tg } \frac{k}{3} = 0,9213840$, wie ich pag. 36, Nr. 4 mit Hilfe der Lambert'schen Formeln gleichfalls gefunden habe. Doch halte ich das vorige Resultat für richtiger.

Das zweite Beispiel entnehme ich aus Gudermann's Werk § 92. Es heisst dort: $x^a = 20514x - 1988260$. Da die dieser Aufgabe entsprechende Längenzahl < 2 ist, so ist Gudermann genöthigt, die auflösenden hyperbolischen Formeln in folgende cyklische umzusetzen:

$$x^i = -\frac{\sqrt[4]{\frac{4b}{3}}}{\cos l \frac{1}{3} Lk}, \quad \left\{ \begin{array}{l} x = -\frac{x}{2} \pm \sqrt[4]{b} \cdot \text{tg } l \frac{1}{3} Lk \cdot i, \text{ für } \cos k = \sqrt[4]{\frac{(1+b)^3}{-1-c}}. \end{array} \right.$$

Da $b = + 20514$, $c = - 1988260$ ist, so findet Gudermann: $\log \cos k = 9,7549504 - 10$, $k_1 = 61^{\circ} 48' 24''$, 97, $Lk = 1,1644480$, $l \frac{1}{3} Lk = 24^{\circ} 11' 22''$, 71, $\log \cos l \frac{1}{3} Lk = 9,9680745 - 10$, $\log \text{tg } l \frac{1}{3} Lk = 9,5998497 - 10$,
 $x^i = -178$, $x = 89 + 57 \cdot i$ und $x^{ii} = 89 - 57 \cdot i$.

Gudermann hat also 1) k oder k_1 , 2) Lk , 3) $l \frac{1}{3} Lk$, 4) $\cos \frac{k}{3}$, 5) $\text{tg } \frac{k}{3}$ zu berechnen, bevor er die drei Werthe von x findet.

Ich rechne mit meinen Tafeln so: Setze ich $x = -X$, so habe ich $X^3 = 20514 X + 1988260$ aufzulösen. Da hier $f = 6838$, $g = 994130$ ist, so erhält man $\log \cos z = 0,24505$, $z' = 0,50571$, $\frac{z'}{3} = 0,16857$, $\log \cos \frac{z}{3} = 0,03192$, $\log \sin \frac{z}{3} = 9,59986$, $z' = -177,995$, x und $x' = 88,9975 \pm i \cdot 57,001$. Natürlich würde die Rechnung, mit siebenstelligen Tafeln ausgeführt, genauere Resultate geliefert haben. Ich habe also nur nöthig, mir 1) z' , 2) $\cos \frac{z}{3}$, 3) $\sin \frac{z}{3}$ zu verschaffen, um x zu finden.

Endlich will ich noch in Beziehung auf die § 33 behandelten biquadratischen Gleichungen eine Bemerkung machen. Herr Vallès (Comptes rendus, 5. Juillet 1858,) hebt, den Autoren gegenüber, welche bisher über die Euler'sche Auflösungsmethode geschrieben haben, hervor, dass dieselben sich in Bezug auf die beiden in dem Ausdrucke $\pm u \pm v \pm w$ enthaltenen Systeme von je vier Auflösungen geirrt haben, wenn sie behaupteten, dass man ohne Weiteres das erste System $u + v + w - u - v + w, -u + v - w, u - v - w$ zu wählen habe, wenn b , der Coefficient von x negativ ist, und das zweite System $-u - v - w, -u + v + w, u - v + w, n + v - w$, wenn b positiv ist, und nachdem er gezeigt hat, dass für das Beispiel $x^4 + 24 x^2 \pm 48 x + 52 = 0$, worin $a = 24$, $b = \pm 48$, $c = 52$, $u = \pm 1$, $v = \pm 2 i$, $w = \pm 3 i$ ist, gerade das Gegentheil stattfindet, giebt er folgende Regeln als untrüglich an:

Premier cas, b est positif dans l'équation proposée.

Si alors a est positif, on prendra le système (1).

Si a est négatif, on prendra le système (2), lorsque $\frac{a^2}{4} - c$ sera plus grand que zéro, et le système (1), lorsque au contraire cette quantité sera moindre que zéro.

Deuxième cas, b est négatif dans la proposée.

Si alors a est positif, on doit prendre le système (2).

Si a est négatif, on prendra le système (1) ou le système (2), suivant que la quantité $\frac{a^2}{4} - c$ sera plus grande ou plus petite que zéro.

Dass aber auch diese Regeln nicht ausreichend sind, soll gleichfalls an einem Beispiel gezeigt werden: Es sei $x^4 - 16 x - 12 = 0$, wo $a = 0$, $b = -16$, $\frac{a^2}{4} - c = 12$, $u = \pm 1$, $v = \pm \left(\frac{\sqrt{3}}{2} + i \frac{\sqrt{5}}{2} \right)$, $w = \pm \left(\frac{\sqrt{3}}{2} - i \frac{\sqrt{5}}{2} \right)$ ist. In so fern nun der Fall $a = 0$ in seinen Regeln nicht vorgesehn ist, würde man durch dieselben keinen Aufschluss über das zu wählende System erhalten; in so fern man sich

aber erlauben wollte, Null sowohl als positiv, wie auch als negativ zu betrachten, würde man sowohl das System (1), wie auch das System (2) als Auflösungen der vorgelegten Gleichungen zu nehmen haben, was doch nicht angeht.

Die richtigen Regeln hat übrigens Förstemann schon 1836 in dem Programm des Danziger Gymnasiums bekannt gemacht, wie solches Herr Direktor Strehlke vor einiger Zeit in einer Sitzung der hiesigen naturforschenden Gesellschaft bei Erwähnung von Vallès' Notiz in Erinnerung brachte. Diese Regeln Förstemann's lauten, kurz zusammengefasst, also:

1) Wenn von den drei reellen Wurzeln der kubischen Hilfsgleichung zwei negativ sind, so wählt man das System (1), sofern b positiv ist, und das System (2), wofern b negativ ist.

2) Sind aber die Wurzeln der kubischen Hilfsgleichung anders beschaffen, so findet das Gegentheil statt.

Danzig, im Juni 1861.

Der Verfasser.

Einleitung.

§. 1. Nachdem die Griechen einige geometrische Probleme, welche bei arithmetischer Behandlung auf kubische Gleichungen geführt haben würden, durch Kegelschnitte gelöst hatten, nachdem die Araber von jeder kubischen Gleichung durch die Kegelschnitte auf dem Wege der Construction eine Wurzel gefunden hatten, dauerte es noch lange, bis die Wissenschaft durch Cardan's Formel bereichert wurde. Aber die Freude über diesen Fund war kurz, denn von allen Seiten liessen sich bald Klagen über ihre Mängel vernehmen. Was hat der *Casus irreducibilis* nicht für Anstrengungen hervorgernfen? Weil aber alle Bemühungen, für diesen Fall andre, reelle, geschlossene, arithmetische Ausdrücke zu finden, vergeblich waren, so liess man sich, durch Vieta veranlasst, die Einnischung der cyklischen Trigonometrie gefallen. Aber auch im reducibeln Fall konnten namentlich die Praktiker sich, mit der cardanischen Formel wegen ihrer sehr unlogarithmischen Gestalt nicht befreunden. Sie sahen es daher schon als einen Gewinn an, selbst durch Einführung von zwei Hilfwinkeln den unmittelbaren Gebrauch dieser Formel zu vermeiden, oder durch die neben den Gauss'schen Logarithmentafeln zu gebrauchenden Hilfstafeln von Marth (Astronomische Nachrichten Nr. 1016) die cardanische Formel ganz und gar zu umgehen. Und manche Theoretiker wieder, indem sie die arithmetische Lösung des reducibeln und die trigonometrische des irreducibeln Falles als coordinirt ansahen, wurden durch den Mangel an Einheit bei diesen verschiedenen Lösungsmethoden verletzt und suchten, besonders seitdem man angefangen hatte, das Wesen der negativen und imaginären Grössen zu ergründen, wie Wittstein (Grunert's Archiv 7, 402) und Riecke (Die Rechnung mit Richtungszahlen 1856, pag. 100), die beiden Methoden in einen künstlichen Zusammenhang zu bringen, der aber, weil er künstlich war, für die Praxis unfruchtbar blieb.

§. 2. Auch ich habe mich mit der Erforschung der Natur des Negativen und Imaginären viel beschäftigt und davon in meiner Schrift: „Ueber die Anzahl der Glieder in den Summenformeln der Progressionen 1845“ und in dem Schulprogramm:

„Ueber die allgemeine und volle Giltigkeit mathematischer Formeln, erster Theil, 1857“ Zeugniß abgelegt. Schon in der ersten Schrift habe ich auf den innigen Zusammenhang des Kreises und der gleichseitigen Hyperbel aufmerksam gemacht, noch mehr werde ich nächstens in dem zweiten, geometrischen Theil der andern Schrift, Gelegenheit haben, die Zusammengehörigkeit der beiden Krnven nachzuweisen, was immer noch nöthig zu sein scheint, weil selbst Riecke (pag. 164 gegen Max. Marie) der Ansicht ist, „dass solche Betrachtungen nicht geeignet sind, über das Wesen des Imaginären Licht zu verbreiten.“ Diese von mir behauptete Unzertrennlichkeit der beiden Kegelschnitte ist es nun, worauf die folgende Auflösung der kubischen Gleichungen beruht. Die Einheit der Methode ist im Voraus durch die Einheit der beiden Kurven gewährleistet, und wer da glaubt, dass in praktischer Hinsicht die bekannte cyklich-trigonometrische Auflösung des irreducibeln Falles unübertrefflich ist, wird auch einräumen müssen, dass die hyperbolisch-trigonometrische Auflösung des reducibeln Falles, wie sie auf den folgenden Blättern vorgelegt werden soll, nichts zu wünschen übrig lässt, wenn man im Besitze entsprechender Tafeln ist.

§. 3. Bei diesem Unternehmen bin ich durch bedeutende Vorarbeiten unterstützt worden. Im Jahre 1730 sprach sich Moivre über den Zusammenhang beider Kurven aufs Unzweideutigste aus. (Vergl. *Montucla, Histoire des Mathématiques*, 3, 156.) Der Pater Riccati nannte jene Hyperbel-Coordinationen schon hyperbolischen Cosinus und Sinus. Ferner rieth Lambert (*Histoire de l'Académie Royale des sciences, à Berlin, 1770, pag. 350*), die hyperbolischen Sektoren zur Auflösung des reducibeln Falls der kubischen Gleichungen zu benutzen und gab ein Bruchstück der von mir angekündigten Tafeln, indem er einen gewissen Hilfswinkel (ω) von Grad zu Grad fortschreiten liess.

Aber vor Allem habe ich die sehr gründliche und umfangreiche Arbeit Gudermann's (*Journal für Mathematik von Crelle*, 1830 — 1832) über Potenzialfunctionen in Erinnerung zu bringen. Dasselbst findet sich ansser vielen andern vortrefflichen Sachen nicht bloss eine vollständige Auflösung der kubischen Gleichungen von der Form $x^3 = b x + c$ durch cykliche und hyperbolische Functionen, sondern auch sehr ausgedehnte Tafeln für die letztern, so dass es scheinen könnte, als wäre meine Arbeit überflüssig. Wenn ich dennoch den Muth behalten habe, mit meiner Schrift vor das Publicum zu treten, so liegt der Grund davon in Folgendem. Zunächst ist der Weg, den ich gegangen bin, von dem Gudermann's gänzlich verschieden; während Gudermann § 92 zu dem Schlusse gelangt: „Die cardanische Formel ist somit über-

flüssig“, ist dieselbe bei mir Alles, insofern ich von ihr ausgehe. Ferner beschäftigt sich Gudermann mit den andern Formen der kubischen Gleichungen gar nicht; er überlässt dem Rechner, sie vorerst auf die obige Form zu bringen. Ich glaube aber nicht zu viel zu sagen, wenn ich behaupte, dass diese Reductionen mehr Zeit erfordern als die Auflösung der nicht reducirten Gleichungen nach den von mir § 26, C, D aufgestellten Formeln. Dann möchte der Umstand, dass Gudermann in seine Formeln noch andre Begriffe, wie Längenzahl (Lk) und Longitudinalzahl (lk), gebraucht hat, die Verbreitung seiner Ideen behindert haben, während ich mich der möglichst grössten Einfachheit beflissen habe. Was endlich Gudermann's im Uebrigen sehr verdienstliche Tafeln anbelangt, so wird ihr Gebrauch für den vorliegenden Zweck wenigstens dadurch erschwert, dass sie nicht von Anfang bis zu Ende nach einem und demselben System ausgeführt sind. So lange nämlich das schon erwähnte $\omega < 74^{\circ} 36' 4''$ ist, muss man sich mit den die hyperbolischen und cyklischen Functionen vermittelnden Längenzahlen begnügen; erst von Lk (meinem z) = 2 ab, welches Argument anfänglich um 0,001, später um 0,01 wächst, geben seine Tafeln die allein schnell zum Ziele führenden hyperbolischen Cosinus und Sinus an, und für die letzten Grade des Quadranten soll man dann doch lieber sich seiner Tabellen für $Lk + \text{Log } v$ bedienen, wo v das Complement von k ist. In meinen Tafeln dagegen schreitet jener Lambert'sche Hilfswinkel ω für die ersten und letzten sechs Grade des Quadranten von 10 zu 10 Sekunden und für die übrigen Grade desselben von Minute zu Minute einfach fort.

Erster Theil.

Die Trisektion.

§ 4. Wenn man zwei Linien $AC = x$ und $BC = y$ hat, welche zusammen Fig. 1. $AB = r$ betragen, und die eine von den beiden veränderlichen Linien grösser als r wird, so muss die andere natürlich negativ werden, oder wir müssen sie, absolut genommen, von der einen abziehen. Während nun, so lange in der That $x + y = r$ ist, der gemeinschaftliche Punkt C der beiden Veränderlichen nur auf der beschränkten Strecke zwischen A und B liegen kann, ist seine Lage, sobald $x - y = r$ oder $-x + y = r$ wird, an keine Schranke gebunden, er kann auf der unbegrenzten Linie im ersten Fall u. a. in D , im andern Falle in E sich befinden.

Ebenso wenn es zwei veränderliche Quadrate $CD^2 = x^2$ und $DE^2 = y^2$ giebt, Fig. 2.

die zusammen einem constanten Quadrat $CE^2 = r^2$ gleich sind, wenn also $x^2 + y^2 = r^2$ ist, so kann der durch die Seiten der veränderlichen Quadrate x und y als durch Coordinaten bestimmte Punkt E nur in dem beschränkten Umfange eines Kreises liegen, wobei x und y positiv oder negativ zu nehmen sind. So wie aber das eine Quadrat $x^2 > r^2$ wird, muss das andere hinzu zu fügende veränderliche Quadrat negativ sein, d. h. das andre veränderliche Quadrat, als absolute Grösse aufgefasst, muss von dem ersten veränderlichen Quadrate abgezogen werden, damit man das constante Quadrat r^2 erlange; es muss dann $x^2 - y^2 = r^2$ sein. In dem letztern Falle hört natürlich r auf Hypotenuse zu sein, es wird eine Cathete CB , während die Abscisse $CG = x$ die neue Hypotenuse CH wird und die andere Cathete BH die Grösse der zugehörigen und leicht zu zeichnenden Ordinate $GF = y$ angiebt. Indem dabei die Coordinaten x und y successive positiv oder negativ angenommen werden, kann F alle Punkte der zu beiden Seiten ins Unendliche sich ansehenden krummen Linie durchlaufen, welche man bekanntlich die gleichseitige Hyperbel nennt.

§ 5. Ich werde im Verlaufe der Arbeit sowohl beim Kreise als bei der zugehörigen gleichseitigen Hyperbel das Verhältniss $\frac{x}{r}$ durch ξ und das Verhältniss $\frac{y}{r}$ durch η bezeichnen, so dass die Gleichung des Kreises $\xi^2 + \eta^2 = 1$ und

die Gleichung der zugehörigen Hyperbel $\xi^2 - \eta^2 = 1$ ist.

Bekanntlich werden beim Kreise die Zahlen ξ und η Cosinus und Sinus des Centriwinkels $ECD = C$ oder des zugehörigen mit dem Radius $= 1$ beschriebenen Bogens $z = \frac{\pi}{180} \cdot C$ genannt. Aber es hindert auch nichts, ξ und η den Cosinus und Sinus des entsprechenden Sektors $s = r^2 \cdot \frac{z}{2} = \frac{r^2 \cdot \pi}{360} \cdot C$ zu nennen und zu schreiben:

$$\xi = \cos s = \cos z, \quad \eta = \sin s = \sin z,$$

wobei die letzte Schreibart nicht sagen will, dass ξ und η Functionen des Bogens z sind, sondern des Sektors, dessen Flächeninhalt, abgesehen von dem constanten halben Quadrat des Radius, durch die Länge des Bogens z bedingt wird. — Ebenso nenne ich $\xi = \frac{CG}{r}$ und $\eta = \frac{FG}{r}$ die hyperbolischen Cosinus und Sinus des hyperbolischen Sektors $CBF = S$, welcher von CB , CF und dem Hyperbelbogen BF eingeschlossen ist und schreibe $\xi = \cos S$ und $\eta = \sin S$. Durch die lateinischen kleinen Anfangsbuchstaben der Wörter Cosinus und Sinus soll man an den Kreis, und durch die grossen lateinischen Anfangsbuchstaben der nämlichen Wörter an die Hyperbel erinnert werden. Setzen wir nun, schon der Symmetrie wegen, auch $S = \frac{r^2}{2} \cdot z$, wo z ein

Logarithme ist, über dessen Bedeutung wir bald sprechen werden, so können wir auch schreiben

$$\xi = \cos z \text{ und } \eta = \sin z,$$

was wieder sagen will, ξ und η seien Funktionen eines hyperbolischen Sektors, dessen Fläche, ausser von der constanten Potenz der Hyperbel $\left(\frac{r^2}{2}\right)$ nur von der Grösse eines gewissen Logarithmen abhängt. Bezeichnen wir den Winkel HCB , welcher der schon in § 3 erwähnte Hilfswinkel ist, mit ω , so ist

$$\frac{CH}{CB} = \sec \omega \text{ und } \frac{BH}{CB} = \tan \omega$$

und weil $CH = CG$ und $BH = EG$ ist, so haben wir auch

$$\cos z = \sec \omega \text{ und } \sin z = \tan \omega.$$

A. Die Trisektion des Kreissektors.

§ 6. Natürlich darf ich hier nur andeutend zu Werke gehen.

Aus der Gleichung $\sin v^2 + \cos v^2 = 1$ und aus den Gleichungen:

$$(a) \dots \begin{cases} \sin(v+w) = \sin v \cdot \cos w + \cos v \cdot \sin w \\ \cos(v+w) = \cos v \cdot \cos w - \sin v \cdot \sin w \end{cases}$$

folgt

$$(b) \dots \begin{cases} \sin 2v = 2 \cdot \sin v \cdot \cos v \\ \cos 2v = \cos v^2 - \sin v^2 = 1 - 2 \cdot \sin v^2 = 2 \cdot \cos v^2 - 1 \end{cases}$$

$$(c) \dots \begin{cases} \sin 3v = 3 \cdot \sin v - 4 \cdot \sin v^3 \\ \cos 3v = 4 \cdot \cos v^3 - 3 \cdot \cos v \end{cases}$$

Aus (b) ergibt sich für die Zweitheilung:

$$(d) \dots \begin{cases} \sin\left(\frac{v}{2}\right) = \sqrt{\frac{1 - \cos v}{2}} \\ \cos\left(\frac{v}{2}\right) = \sqrt{\frac{1 + \cos v}{2}} \end{cases}$$

und aus (c) für die Dreitheilung:

$$(e) \dots \begin{cases} \sin\left(\frac{v}{3}\right)^3 = \frac{3}{4} \sin\left(\frac{v}{3}\right) - \frac{\sin v}{4} \\ \cos\left(\frac{v}{3}\right)^3 = \frac{3}{4} \cos\left(\frac{v}{3}\right) + \frac{\cos v}{4} \end{cases}$$

Diese Gleichungen (e) für $\sin\left(\frac{v}{3}\right)$ und $\cos\left(\frac{v}{3}\right)$ werden bekanntlich nicht weiter aufgelöst, sondern das Verlangte durch die cyklisch-trigonometrischen Tafeln gefunden.

Wenn aber $\sin v$ gegeben ist, so ist nicht bloss

$v = v$, sondern unter andern auch $v = 180^\circ - v$ und $v = -(180^\circ + v)$.

Demnach ist $\frac{v}{3} 1) = \frac{v}{3}, 2) = 60^\circ - \frac{v}{3}, 3) = -(60^\circ + \frac{v}{3})$.

$$(f.) \text{ und } \sin\left(\frac{v}{3}\right) = 1) \sin\left(\frac{v}{3}\right), 2) = \sin\left(60^\circ - \frac{v}{3}\right), 3) = -\sin\left(60^\circ + \frac{v}{3}\right), \\ \text{oder } \frac{2}{3} = -\frac{1}{2} \sin\left(\frac{v}{3}\right) \pm \frac{\sqrt{3}}{2} \cos\left(\frac{v}{3}\right).$$

Ebenso wenn $\cos v$ gegeben ist, so kann u. a.

$$v 1) = v, 2) = 360^\circ - v, 3) = 360^\circ + v \text{ sein,}$$

$$\text{also } \frac{v}{3} 1) = \frac{v}{3}, 2) = 120^\circ - \frac{v}{3}, 3) = 120^\circ + \frac{v}{3}.$$

• Weil aber $\cos\left(120^\circ - \frac{v}{3}\right) = -\cos\left(60^\circ + \frac{v}{3}\right)$

und $\cos\left(120^\circ + \frac{v}{3}\right) = -\cos\left(60^\circ - \frac{v}{3}\right)$ ist, so ergeben sich aus dem bekannten $\cos v$ für den $\cos\left(\frac{v}{3}\right)$ folgende drei Werthe: Es ist

$$(g.) \cos\left(\frac{v}{3}\right) = 1) \cos\left(\frac{v}{3}\right), 2) = -\cos\left(60^\circ + \frac{v}{3}\right), 3) = -\cos\left(60^\circ - \frac{v}{3}\right), \\ \text{oder } \frac{2}{3} = -\frac{11}{2} \cos\left(\frac{v}{3}\right) \pm \frac{\sqrt{3}}{2} \sin\left(\frac{v}{3}\right).$$

Dass die andern, hier übergangenen Werthe für v keine neuen Werthe für $\sin\left(\frac{v}{3}\right)$ und $\cos\left(\frac{v}{3}\right)$ liefern, ist bekannt genug.

B. Die Trisektion eines Sektors der gleichseitigen Hyperbel.

Fig. 3. § 7. Aus dem Scheitel A und dem beliebigen [Punkte B der gleichseitigen Hyperbel fälle man auf die Asymptote die Lothe AE ($= CE = \frac{r}{\sqrt{2}} = c$) und BD ($= o$) und nenne die Veränderliche $CD = u$, so folgt bekanntlich (s. Anhang) aus der Gleichung: $u \cdot o = c^2 = \frac{r^2}{2}$, dass der Raum $AEDB$ ($= A$) zwischen der Asymptote, der Hyperbel und den beiden mit der andern Asymptote parallelen Linien, kurz, dass $A = c^2 \text{ Log nat. } \left(\frac{u}{c}\right) = c^2 \cdot \text{Log } \left(\frac{u}{c}\right)$ ist.

Weil aber $\triangle CDB = \triangle ACE$ ist, so ist der hyperbolische Sektor CAB , so ist $S = A$, also

$$S = c^2 \cdot \text{Log } \left(\frac{u}{c}\right)$$

Nun ist, wenn $CG = x$, $BG = y$ gesetzt wird, $x^2 - y^2 = r^2 = 2 c^2$.

Also haben wir: $2 u \cdot o = x^2 - y^2$.

Aber es ist $\operatorname{tg} BCD = \frac{o}{u} = t$ und $\operatorname{tg} ACB = \frac{y}{x} = T$.

Weil nun $\operatorname{tg} (ACB + BCD) = \frac{T+t}{1-Tt} = \frac{u \cdot y + o \cdot x}{u \cdot x - o \cdot y}$, und $ACB + BCD = 45^\circ$ sind, so ist $u \cdot y + o \cdot x = u \cdot x - o \cdot y$, oder $o = u \cdot \frac{x-y}{x+y}$
und $2u^2 \cdot \frac{x-y}{x+y} = (x-y) \cdot (x+y)$.

Also ist $2u^2 = (x+y)^2$, $u = \frac{x+y}{\sqrt{2}}$, $\frac{u}{c} = \frac{x+y}{r}$
und $S = \frac{r^2}{2} \cdot \operatorname{Log} \frac{x+y}{r} = \frac{r^2}{2} \cdot \operatorname{Log} (\xi + \eta)$. aber auch $S = \frac{r^2}{2} \operatorname{Log} \left(\frac{1}{\xi - \eta} \right)$.

Setzen wir noch $S = \frac{r^2}{2} \cdot v$, so ist

$$v = \operatorname{Log} (\xi + \eta), \text{ aber auch } v = \operatorname{Log} \left(\frac{1}{\xi - \eta} \right)$$

$$\text{d. h. es ist } \begin{cases} e^v = \xi + \eta = \cos v + \sin v \\ e^{-v} = \xi - \eta = \cos v - \sin v \end{cases} \text{ und } \begin{cases} \cos v = \frac{e^v + e^{-v}}{2} \\ \sin v = \frac{e^v - e^{-v}}{2} \end{cases}$$

wo $e = 2,718281828 \dots$ die Basis der natürlichen oder hyperbolischen Logarithmen ist.

$$\text{Ebenso ist: } \begin{cases} e^w = \cos w + \sin w \\ e^{-w} = \cos w - \sin w \end{cases}$$

$$\text{Gewiss ist auch: } \begin{cases} e^{v+w} = e^v \cdot e^w = \cos(v+w) + \sin(v+w) \\ e^{-(v+w)} = e^{-v} \cdot e^{-w} = \cos(v+w) - \sin(v+w) \end{cases}$$

Nun ist aber:

$$\begin{cases} e^v \cdot e^w = \cos v \cdot \cos w + \sin v \cdot \cos w + \cos v \cdot \sin w + \sin v \cdot \sin w \\ e^{-v} \cdot e^{-w} = \cos v \cdot \cos w - \sin v \cdot \cos w - \cos v \cdot \sin w + \sin v \cdot \sin w \end{cases}$$

Demnach ist:

$$(A.) \begin{cases} \sin(v+w) = \sin v \cdot \cos w + \cos v \cdot \sin w \\ \cos(v+w) = \cos v \cdot \cos w - \sin v \cdot \sin w \end{cases}$$

ferner:

$$(B.) \begin{cases} \sin 2v = 2 \cdot \sin v \cos v \\ \cos 2v = \cos^2 v - \sin^2 v, \text{ und weil } \cos^2 v - \sin^2 v = 1 \text{ ist, auch} \\ \cos 2v = 1 - 2 \cdot \sin^2 v \\ \cos 2v = 2 \cdot \cos^2 v - 1 \end{cases}$$

und auch:

$$(C.) \begin{cases} \sin 3v = 3 \sin v - 4 \sin^3 v \\ \cos 3v = 4 \cos^3 v - 3 \cos v \end{cases}$$

Aus (B.) ergibt sich für die Halbiring eines hyperbolischen Sektors:

$$(D.) \begin{cases} \sin\left(\frac{r}{2}\right) = \sqrt{\frac{\cos r - 1}{2}} \\ \cos\left(\frac{r}{2}\right) = \sqrt{\frac{\cos r + 1}{2}} \end{cases}$$

und, was für uns die Hauptsache ist, aus (C.) für die Dreitheilung desselben:

$$(E.) \begin{cases} \sin\left(\frac{r}{3}\right)^3 = -\frac{3}{4} \cdot \sin\left(\frac{r}{3}\right) + \frac{\sin r}{4} \\ \cos\left(\frac{r}{3}\right)^3 = \frac{3}{4} \cdot \cos\left(\frac{r}{3}\right) + \frac{\cos r}{4} \end{cases}$$

§ 8. Es kommt nun darauf an, auch hier zu einem gegebenen $\sin r$ oder $\cos r$, unter Voraussetzung von hyperbolisch-trigonometrischen Tafeln die verschiedenen Werthe von $\sin\left(\frac{r}{3}\right)$ und $\cos\left(\frac{r}{3}\right)$ zu finden. Zwar sagt Klügel (II. pag. 597.): „Ein hyperbolischer Sinus oder Cosinus gehört nur zu einem einzigen Sektor. Daher haben die Gleichungen (B und C), wenn der vielfache Sektor gegeben wird, nur einen einzigen Werth (für $\sin r$ und $\cos r$)“. Doch wollen wir uns dadurch um so weniger von eigener Untersuchung abhalten lassen, als er selbst sogleich hinzufügt: „oder die Gleichungen (B und C) für $\sin r$ und $\cos r$ haben alle nur eine einzige mögliche Wurzel“.

Es kann allerdings nicht in Abrede gestellt werden, dass $\sin r$ und das damit in Verbindung stehende $\cos r$ nur zu einem einzigen hyperbolischen Sektor, etwa S gehören. Aber man wird auch einräumen müssen, dass $\sin r$ und $\cos r$ sich nicht ändern, wenn zu S noch mehrere zugehörige Kreisflächen addirt oder davon subtrahirt werden; das Zulegen und Wegnehmen muss nur so eingerichtet werden, dass dadurch der hyperbolische Sektor als solcher nicht in seiner Grösse eine Aenderung erleidet, d. h. man kann zu S hinzulegen $\pm 2\pi \cdot \frac{r^2}{2} \cdot i \cdot k$ oder $\pm 2\pi \cdot c^2 \cdot i \cdot k$, wo k irgend eine ganze Zahl bedeutet und $i = \sqrt{-1}$ ist; oder das zu $\sin r$ und $\cos r$ gehörige r ist nicht nur das unmittelbar aus S abzuleitende r , sondern wir können auch noch setzen:

$$r = r \pm 2\pi \cdot i \cdot k$$

Wem diese Schlussart zu gewagt erscheint, der ziehe die Arithmetik heran.

Nach § 7 ist doch r nichts anders als der Logarithme einer Zahl ($\xi + \eta =$) ξ . Wenn aber $\text{Log } \xi = r$ ist, so weiss jeder, dass auch $\text{Log } \xi = r \pm 2\pi \cdot i \cdot k$ ist. Also kann r auch $r \pm 2\pi \cdot i \cdot k$ bedeuten.

Demnach ist $\frac{r}{3}$ nicht nur $= \frac{r}{3}$, sondern auch $= \frac{r}{3} \pm \frac{2\pi}{3} \cdot i \cdot k$, und

$$\sin\left(\frac{r}{3}\right) = \sin\left(\frac{r}{3}\right), \text{ auch } = \sin\left(\frac{r}{3} \pm \frac{2\pi}{3} \cdot i \cdot k\right),$$

$$\cos\left(\frac{r}{3}\right) = \cos\left(\frac{r}{3}\right), \text{ auch } = \cos\left(\frac{r}{3} \pm \frac{2\pi}{3} \cdot i \cdot k\right).$$

Weil nun beim Kreise:

und bei der Hyperbel:

$$\begin{cases} \sin r = \frac{e^{ir} - e^{-ir}}{2i} \\ \cos r = \frac{e^{ir} + e^{-ir}}{2} \end{cases}$$

$$\begin{cases} \sin r = \frac{e^r - e^{-r}}{2} \\ \cos r = \frac{e^r + e^{-r}}{2} \end{cases}$$

ist, so haben wir:

$$\begin{aligned} \sin(ir) &= \frac{e^{ir} - e^{-ir}}{2} = i \cdot \sin r \\ \cos(ir) &= \frac{e^{ir} + e^{-ir}}{2} = \cos r \end{aligned} \quad \left\{ \text{und beiläufig auch } \begin{cases} \sin(ir) = i \cdot \sin r \\ \cos(ir) = \cos r \end{cases} \right.$$

Hieraus und aus den Gleichungen (A) folgt:

$$\begin{aligned} \sin\left(\frac{r}{3} \pm \frac{2\pi}{3} \cdot i \cdot k\right) &= \sin\left(\frac{r}{3}\right) \cdot \cos\left(\frac{2\pi}{3} \cdot k\right) \pm \cos\left(\frac{r}{3}\right) \cdot i \cdot \sin\left(\frac{2\pi}{3} \cdot k\right) \\ &= -\frac{1}{2} \sin\left(\frac{r}{3}\right) \pm i \cdot \frac{\sqrt{3}}{2} \cdot \cos\left(\frac{r}{3}\right) \quad \text{für } k=1; \\ &= -\frac{1}{2} \sin\left(\frac{r}{3}\right) \mp i \cdot \frac{\sqrt{3}}{2} \cdot \cos\left(\frac{r}{3}\right) \quad \text{für } k=2; \\ &= \cos\left(\frac{r}{3}\right) \quad \text{für } k=3. \\ \cos\left(\frac{r}{3} \pm \frac{2\pi}{3} \cdot i \cdot k\right) &= \cos\left(\frac{r}{3}\right) \cdot \cos\left(\frac{2\pi}{3} \cdot k\right) \mp \sin\left(\frac{r}{3}\right) \cdot i \cdot \sin\left(\frac{2\pi}{3} \cdot k\right) \\ &= -\frac{1}{2} \cos\left(\frac{r}{3}\right) \pm i \cdot \frac{\sqrt{3}}{2} \cdot \sin\left(\frac{r}{3}\right) \quad \text{für } k=1; \\ &= -\frac{1}{2} \cos\left(\frac{r}{3}\right) \mp i \cdot \frac{\sqrt{3}}{2} \cdot \sin\left(\frac{r}{3}\right) \quad \text{für } k=2; \\ &= \sin\left(\frac{r}{3}\right) \quad \text{für } k=3. \end{aligned}$$

(Die höhern Werthe für k liefern nichts Neues.)

Ist also $\sin r$ gegeben, so erhält man:

$$\begin{aligned} (F.) \sin\left(\frac{r}{3}\right) 1 &= \sin\left(\frac{r}{3}\right), \frac{2}{3} = -\frac{1}{2} \sin\left(\frac{r}{3}\right) \pm i \cdot \frac{\sqrt{3}}{2} \cdot \cos\left(\frac{r}{3}\right) \text{ oder} \\ &= \begin{cases} 2) \sin\left(i \cdot 60^\circ - \frac{r}{3}\right) \\ 3) -\sin\left(i \cdot 60^\circ + \frac{r}{3}\right) \end{cases} \end{aligned}$$

und ist $\cos r$ gegeben, so findet sich:

$$\begin{aligned} (G.) \cos\left(\frac{r}{3}\right) 1 &= \cos\left(\frac{r}{3}\right), \frac{2}{3} = -\frac{1}{2} \cdot \cos\left(\frac{r}{3}\right) \pm i \cdot \frac{\sqrt{3}}{2} \cdot \sin\left(\frac{r}{3}\right) \text{ oder} \\ &= \frac{2}{3} = \cos\left(i \cdot 60^\circ \pm \frac{r}{3}\right). \end{aligned}$$

§ 9. Wir haben nun anzugeben, wie die in § 8 vorausgesetzten hyperbolisch-trigonometrischen Tafeln anzufertigen sind. So wie wir bei den cyklisch-trigonometrischen Tafeln verlangen, dass für jeden Kreissektor oder für jeden seine Grösse bestimmenden Bogen hauptsächlich der zugehörige Sinus und Cosinus berechnet ist, so müssen auch die neuen Tafeln für jeden hyperbolischen Sektor oder für den seine Grösse bestimmenden Logarithmen den zugehörigen Sinus und Cosinus enthalten. Zu diesem Ende genügen folgende drei schon von Lambert aufgestellten Gleichungen

In § 5 fanden wir: 1) $\xi = \cos z = \sec. \omega$ und 2) $\eta = \sin z = \operatorname{tg.} \omega$.

$$\begin{aligned} \text{Demnach ist } \xi + \eta &= \frac{1 + \sin \omega}{\cos \omega} = \frac{(\cos \frac{1}{2} \omega + \sin \frac{1}{2} \omega)^2}{\cos \frac{1}{2} \omega^2 - \sin \frac{1}{2} \omega^2} = \frac{\cos \frac{1}{2} \omega + \sin \frac{1}{2} \omega}{\cos \frac{1}{2} \omega - \sin \frac{1}{2} \omega} \\ &= \frac{1 + \operatorname{tg.} \frac{1}{2} \omega}{1 - \operatorname{tg.} \frac{1}{2} \omega} = \operatorname{tg.} (45^\circ + \frac{1}{2} \omega). \end{aligned}$$

Nun ist aber nach § 7 der hyperbolische Sektor

$$S = c^2 \operatorname{Log.} (\xi + \eta) = c^2 z,$$

also ist 3) $z = \operatorname{Log.} \operatorname{tg.} (45^\circ + \frac{1}{2} \omega)$

Die anzufertigenden Tafeln werden also vier Rubriken zu enthalten haben. Die erste Rubrik giebt den Hilfswinkel ω , wenigstens von Minute zu Minute fortschreitend. Lambert nennt ihn den transeendenden Winkel. Die zweite Rubrik giebt die von diesem Hilfswinkel abhängigen hyperbolischen Sektoren, ich meine die z 's, die nach der Gleichung 3) zu berechnen sind; es thut der Sache aber keinen Eintrag, wenn man statt der natürlichen Logarithmen (Log) von $\operatorname{tg.} (45^\circ + \frac{1}{2} \omega)$ die Briggischen (\log) benutzt; der hiebei begangene Fehler hebt sich meistens, weil er zweimal nach entgegengesetzter Seite hin gemacht wird; in den seltenen Fällen, wo dies nicht der Fall sein sollte, hat man den in den Tafeln befindlichen

$$\log \operatorname{tg} (45^\circ + \frac{1}{2} \omega)$$

noch durch den Modul des Briggischen Systems $M = 0,43429448$ zu dividiren, um z zu bekommen.

Die dritte Rubrik enthält die nach der Gleichung 1) leicht zu berechnenden

$$\log \cos z = \log \sec \omega = -\log \cos \omega,$$

und die vierte Rubrik gilt zufolge der Gleichung 2)

$$\log \sin z = \log \operatorname{tg} \omega,$$

was aus den gewöhnlichen Tafeln ohne Weiteres zu entnehmen ist.

Lambert will auch noch den von ihm sogenannten gemeinschaftlichen Winkel $FCG = \varphi$ und seine Tangenten in die Tafeln hineingebracht haben. Obgleich

dies für unsere Zwecke nicht nöthig ist, so wollen wir doch im Vorübergehen nicht unbeachtet lassen, dass

$$\operatorname{tg} \varphi = \frac{\eta}{\xi} = \frac{\operatorname{tg} \omega}{\sec \omega} = \sin \omega \text{ ist.}$$

Die Punkte K und I müssen also in gleicher Höhe über der Axe AB liegen und während ω von 0° bis 90° wächst, schreitet φ nur von 0° bis 45° fort.

C. Die Trisektion eines elliptischen Sektors.

§ 10. Da ich nur der Vollständigkeit wegen, nicht des Gebrauchs wegen den elliptischen Sektor und den Sektor der ungleichseitigen Hyperbel in Betrachtung ziehe, so werde ich mich in diesem und dem nächsten § der möglichst grössten Kürze befleissigen.

Seien a und b die Halbaxen der Ellipse, $CB = x$, $DB = y$ und der elliptische Sektor $ADC = \sigma$, so ist bekanntlich: $\left(\frac{x}{a}\right)^2 + \left(\frac{y}{b}\right)^2 = 1$, $y = \frac{b}{a} \sqrt{a^2 - x^2}$ und

$$\sigma = -\frac{a \cdot b}{2} \cdot \int \frac{dx}{\sqrt{a^2 - x^2}}.$$

Beschreibt man um den Mittelpunkt der Ellipse C mit dem Radius a einen Kreis und verlängert die elliptische Ordinate BD bis E und nennt den mit dem Radius $= 1$ beschriebenen concentrischen Bogen, welcher dem Kreisbogen AE entspricht,

$$z, \text{ so ist } dz = -\frac{d \cdot \cos z}{\sin z} = -\frac{d \cdot \left(\frac{x}{a}\right)}{\sqrt{1 - \left(\frac{x}{a}\right)^2}} = -\frac{dx}{\sqrt{a^2 - x^2}} \text{ und}$$

$$z = -\int \frac{dx}{\sqrt{a^2 - x^2}}, \text{ also } \sigma = \frac{a \cdot b}{2} \cdot z$$

$$\begin{aligned} \text{Es ist aber auch: } -\int \frac{dx}{\sqrt{a^2 - x^2}} &= -\int \frac{i \, dx}{i \cdot \sqrt{a^2 - x^2}} = -i \int \frac{dx}{\sqrt{x^2 - a^2}} \\ &= i \operatorname{Log} (x - \sqrt{x^2 - a^2}) = i \operatorname{Log} (x - i \sqrt{a^2 - x^2}) \\ &= i \operatorname{Log} \left(x - i \cdot \frac{a}{b} \cdot y \right) \end{aligned}$$

$$\text{also } \sigma = \frac{a \cdot b}{2} \cdot \operatorname{Log} \left(x - i \cdot \frac{a}{b} \cdot y \right) + \text{Const.}$$

Da $\sigma = 0$ wird für $x = a$, so ist $\text{Const} = -\frac{a \cdot b}{2} \cdot i \operatorname{Log} a$.

Mithin ist $\sigma = \frac{a \cdot b}{2} \cdot i \cdot \operatorname{Log} \left(\frac{x}{a} - i \cdot \frac{y}{b} \right) = \frac{a \cdot b}{2} \cdot i \cdot \operatorname{Log} (\xi - i \cdot \eta)$, wo $\xi = \frac{x}{a}$ und $\eta = \frac{y}{b}$.

Weil aber $\xi^2 + \eta^2 = (\xi + i\eta) \cdot (\xi - i\eta) = 1$, so ist auch

$$\sigma = \frac{a \cdot b}{2} i \cdot \text{Log} \left(\frac{1}{\xi + i\eta} \right) = -\frac{a \cdot b}{2} i \cdot \text{Log} (\xi + i\eta).$$

Demnach ist $z = i \cdot \text{Log} (\xi - i\eta)$, aber auch $z = -i \text{Log} (\xi + i\eta)$; oder
 $i z = -\text{Log} (\xi - i\eta)$ und auch $i z = \text{Log} (\xi + i\eta)$.

$$\begin{aligned} \text{d. h. } e^{i z} &= \xi + i\eta = xos z + i \cdot \sigma iv z \\ e^{-i z} &= \xi - i\eta = xos z - i \cdot \sigma iv z \end{aligned}$$

Ich beabsichtige nämlich auch bei der Ellipse und der damit in Zusammenhang stehenden ungleichseitigen Hyperbel die Verhältnisszahlen ξ und η Cosinus und Sinus zu nennen, werde aber hier der Unterscheidung wegen die Wörter Cosinus und Sinus mit griechischen Buchstaben schreiben, und zwar in Beziehung auf die elliptischen Sektoren, deren Grösse von dem Kreisbogen z abhängt, mit kleinen Anfangsbuchstaben und im nächsten § für die Sektoren der ungleichseitigen Hyperbel mit grossen Anfangsbuchstaben.

$$\begin{aligned} \text{So wäre denn } xos z &= \frac{e^{i z} + e^{-i z}}{2} \\ \sigma iv z &= \frac{e^{i z} - e^{-i z}}{2 i} \end{aligned}$$

Aber ich hätte auch oben sagen können:

$$-\int \frac{dx}{\sqrt{a^2 - x^2}} = -\int \frac{dx}{i \sqrt{x^2 - a^2}} = -\int \frac{i \cdot dx}{i \sqrt{x^2 - a^2}} = +i \int \frac{dx}{\sqrt{x^2 - a^2}}.$$

Dies hätte auf

$$\begin{aligned} xos z &= \frac{e^{i z} + e^{-i z}}{2} \\ \sigma iv z &= -\frac{e^{i z} - e^{-i z}}{2 i} \end{aligned} \text{ geführt.}$$

Diese doppelten Ausdrücke für $\sigma iv z$ bestätigen, was der blosse Anblick der Figur lehrt, dass zu jedem Cosinus $\frac{CB}{a}$ zwei absolut gleiche, aber an Zeichen entgegengesetzte Sinus $\left(\frac{BD}{b} \text{ und } \frac{BG}{b}\right)$ gehören. Ich werde indessen auf den zweiten Ausdruck für $\sigma iv z$ weiter keine Rücksicht nehmen.

Indem man nun ähnlich, wie in § 7 zu Werke geht, findet man:

$$(a) \begin{cases} \sigma iv (v + w) = \sigma iv r xos w + xos v \sigma iv w \\ xos (v + w) = xos v xos w - \sigma iv v \sigma iv w. \end{cases}$$

Ferner ist, weil $xos z^2 + \sigma iv z^2 = 1$ ist,

$$(b) \begin{cases} \sigma iv 2 v = 2 \sigma iv v xos v \\ xos 2 v = xos v^2 - \sigma iv v^2 = 1 - 2 \sigma iv v^2 = 2 xos v^2 - 1; \text{ und auch:} \end{cases}$$

$$(\gamma) \begin{cases} \sigma_{iv} 3 v = 3 \sigma_{iv} v - 4 \sigma_{iv} v^3 \\ \chi \sigma \sigma 3 v = 4 \chi \sigma \sigma v^3 - 3 \chi \sigma \sigma v, \end{cases}$$

woraus sich Gleichungen (δ und ϵ) für die Halbierung und Dreitheilung der elliptischen Sektoren ergeben, die gänzlich den Gleichungen (d und e) in § 6 für die Kreistheilung entsprechen und daher übergangen werden können.

D. Die Trisektion eines Sektors der ungleichseitigen Hyperbel.

§ 11. Seien a und b die beiden Halbachsen der Hyperbel und x und y die Coordinaten vom Mittelpunkt gerechnet, so ist $\left(\frac{x}{a}\right)^2 - \left(\frac{y}{b}\right)^2 = 1$ und $y = \frac{b}{a} \sqrt{x^2 - a^2}$. Bezeichnen wir nun den zu betrachtenden Sektor mit Σ , so ist

$$\Sigma = \frac{a b}{2} \int \frac{dx}{\sqrt{x^2 - a^2}} = -\frac{a b}{2} \text{Log.} (x - \sqrt{x^2 - a^2}) + \text{Const.} = \frac{a b}{2} \text{Log.} a,$$

also $\Sigma = -\frac{a b}{2} \text{Log.} (\xi - \eta)$, wenn wieder $\xi = \frac{x}{a}$ und $\eta = \frac{y}{b}$ gesetzt wird, aber

auch $\Sigma = \frac{a b}{2} \text{Log.} (\xi + \eta)$, weil $\xi^2 - \eta^2 = (\xi - \eta) \cdot (\xi + \eta) = 1$ ist.

Wir nehmen noch $\Sigma = \frac{a b}{2} \cdot z$ an, so ist:

$$1) z = \text{Log.} (\xi + \eta); 2) -z = \text{Log.} (\xi - \eta).$$

$$\text{oder } \begin{cases} e^z = \xi + \eta = \text{Kos } z + \Sigma_{iv} z \\ e^{-z} = \xi - \eta = \text{Kos } z - \Sigma_{iv} z \end{cases} \quad \text{und} \quad \begin{cases} \text{Kos } z = \frac{e^z + e^{-z}}{2} \\ \Sigma_{iv} z = \frac{e^z - e^{-z}}{2} \end{cases}.$$

Von hier aus ist es leicht, weiter zu finden, dass

$$(A) \begin{cases} \Sigma_{iv} (v + w) = \Sigma_{iv} v \text{Kos } w + \text{Kos } v \Sigma_{iv} w \\ \text{Kos } (v + w) = \text{Kos } v \text{Kos } w + \Sigma_{iv} v \Sigma_{iv} w \text{ ist,} \end{cases}$$

und weil $\text{Kos } z^2 - \Sigma_{iv} z^2 = 1$, dass auch

$$(B) \begin{cases} \Sigma_{iv} 2 v = 2 \Sigma_{iv} v \text{Kos } v \\ \text{Kos } 2 v = \text{Kos } v^2 + \Sigma_{iv} v^2 = 1 + 2 \Sigma_{iv} v^2 = 2 \text{Kos } v^2 - 1, \text{ und} \end{cases}$$

$$(C) \begin{cases} \Sigma_{iv} 3 v = 3 \Sigma_{iv} v + 4 \Sigma_{iv} v^3 \\ \text{Kos } 3 v = 4 \text{Kos } v^3 - 3 \text{Kos } v \text{ ist.} \end{cases}$$

Zweiter Theil.

Kubikwurzelausziehung aus Binomien.

A. Aus complexen Zahlen.

§ 12. Es sei $\sqrt[3]{K + iL} = m + ni$, wo K, L, m, n reelle Grössen sind, dann ist auch $\sqrt[3]{K - iL} = m - ni$, wie schon Bombelli gezeigt hat.

Aus jeder dieser Gleichungen folgt weiter, dass

$$\left. \begin{aligned} K &= m^3 - 3m \cdot n^2 \\ L &= 3m^2 \cdot n - n^3 \end{aligned} \right\}, \text{ oder } \left. \begin{aligned} K &= 4m^3 - 3\epsilon \cdot m \\ L &= 3\epsilon \cdot n - 4n^3 \end{aligned} \right\} \text{ weil } m^2 + n^2 = \sqrt[3]{K^2 + L^2} = \epsilon \text{ ist.}$$

Nun ist beim Kreise (§ 6, c.):

$$\left\{ \begin{aligned} \cos z &= 4 \cos\left(\frac{z}{3}\right)^3 - 3 \cos\left(\frac{z}{3}\right) \\ \sin z &= 3 \sin\left(\frac{z}{3}\right) - 4 \sin\left(\frac{z}{3}\right)^3 \end{aligned} \right.$$

Deswegen setze man $m = ru$ und $n = \rho v$, dann gehen die Gleichungen für m und n in folgende über:

$$\left\{ \begin{aligned} \frac{K}{r^3} &= 4u^3 - 3 \cdot \frac{\epsilon}{r^3} \cdot u \\ \frac{L}{\rho^3} &= 3 \cdot \frac{\epsilon}{\rho^3} \cdot v - 4 \cdot v^3 \end{aligned} \right.$$

Es hindert nichts $r^2 = \epsilon$ und ebenso $\rho^2 = \epsilon$ zu setzen, so dass

$$r = \rho = \sqrt[6]{K^2 + L^2} \text{ ist,}$$

dann kann $u = \cos \frac{z}{3}$
 $v = \sin \frac{z}{3}$ vorstellen, wenn nur $\left\{ \begin{aligned} \cos z &= \frac{K}{r^3} \\ \sin z &= \frac{L}{r^3} \end{aligned} \right.$ gesetzt werden darf. Und dies kann geschehen, weil sowohl $r^3 > K$, wie auch $r^3 > L$ ist.

Es ist aber $\frac{K^3}{r^6} + \frac{L^3}{r^6} = 1$, also ist auch $\cos^2 z + \sin^2 z = 1$, daher $z = z$.

$$\text{Demnach ist } m = \sqrt[6]{K^2 + L^2} \cdot \cos\left(\frac{z}{3}\right), \quad n = \sqrt[6]{K^2 + L^2} \cdot \sin\left(\frac{z}{3}\right)$$

Wenn aber $\cos z$ und $\sin z$, wie hier, gegeben sind, so kann (nach § 6, f und g) sowohl $\cos\left(\frac{z}{3}\right)$ als auch $\sin\left(\frac{z}{3}\right)$ einen dreifachen Werth haben. Dem zu Folge ist:

$$(h.) \sqrt[3]{K \pm iL} = \left\{ \begin{aligned} &= \sqrt[6]{K^2 + L^2} \left[\cos\left(\frac{z}{3}\right) \pm i \sin\left(\frac{z}{3}\right) \right] \\ &= \sqrt[6]{K^2 + L^2} \left[-\cos\left(60 + \frac{z}{3}\right) \mp i \cdot \sin\left(60 + \frac{z}{3}\right) \right] \\ &= \sqrt[6]{K^2 + L^2} \left[-\cos\left(60 + \frac{z}{3}\right) \pm i \cdot \sin\left(60 + \frac{z}{3}\right) \right] \end{aligned} \right\}$$

wobei $\cos z = \frac{K}{\sqrt{K^2 + L^2}}$ ist.

Die übrigen 6 Combinationen von ungleichen Winkeln oder Sektoren sind auszuschliessen, weil nur $\left[\cos \left(\frac{v}{3} \right) + i \cdot \sin \left(\frac{v}{3} \right) \right]^3 = \cos v + i \sin v$ giebt.

Man kann zu den Gleichungen (h) auch auf folgende Weise kommen:

Wenn $\sqrt[3]{a} = \alpha$ ist, so ist bekanntlich auch

$$\sqrt[3]{a} = \alpha \left(-\cos 60^\circ + i \sin 60^\circ \right) = \alpha \left(-\frac{1}{2} + i \frac{\sqrt{3}}{2} \right) = \alpha \cdot J$$

$$\sqrt[3]{a} = \alpha \left(-\cos 60^\circ - i \sin 60^\circ \right) = \alpha \left(-\frac{1}{2} - i \frac{\sqrt{3}}{2} \right) = \alpha \cdot J^2$$

So auch kann:

$$\left. \begin{aligned} \sqrt[3]{K + iL} \\ \sqrt[3]{K + iL} \end{aligned} \right\} 1) = \begin{cases} m + in \\ m - in \end{cases} \quad 2) = \begin{cases} (m + in)J \\ (m - in)J^2 \end{cases} \quad 3) = \begin{cases} (m + in)J^2 \\ (m - in)J \end{cases} \text{ sein.}$$

Die andern sechs möglichen Verbindungen sind auszuschliessen, weil sie nicht der Nebenbedingung Genüge leisten, dass $\sqrt[3]{K^2 + L^2} = m^2 + n^2$ sein muss. Die eben gemachten und erlaubten drei Verbindungen lassen sich auf folgende Form bringen:

$$\begin{aligned} \sqrt[3]{K \pm iL} &= \sqrt[6]{K^2 + L^2} \left[\cos \left(\frac{\varphi}{3} \right) \pm i \sin \left(\frac{\varphi}{3} \right) \right] \\ \sqrt[3]{K \pm iL} &= \sqrt[6]{K^2 + L^2} \left[-\frac{1}{2} \cos \left(\frac{\varphi}{3} \right) - \frac{\sqrt{3}}{2} \sin \left(\frac{\varphi}{3} \right) \pm i \left(-\frac{1}{2} \sin \left(\frac{\varphi}{3} \right) + \frac{\sqrt{3}}{2} \cos \left(\frac{\varphi}{3} \right) \right) \right] \quad (i.) \\ &= \sqrt[6]{K^2 + L^2} \left[-\frac{1}{2} \cos \left(\frac{\varphi}{3} \right) + \frac{\sqrt{3}}{2} \sin \left(\frac{\varphi}{3} \right) \mp i \left(\frac{1}{2} \sin \left(\frac{\varphi}{3} \right) + \frac{\sqrt{3}}{2} \cos \left(\frac{\varphi}{3} \right) \right) \right] \end{aligned}$$

Man sieht aber sogleich, dass die Gleichungen (i) mit den Gleichungen (h) identisch sind.

B. Kubikwurzelausziehung aus compositen Zahlen.

§ 13. Unter einer compositen Zahl verstehe ich ein Binomium, dessen zwei Theile (K, L) reell sind, von denen aber meistens der eine (L) irrational ist. Nun sei $\sqrt[3]{K + L} = m + n$, wo ich mir m und n zunächst reell denke, so ist

$$K + L = m^3 + 3 m^2 n + 3 m n^2 + n^3.$$

Und da ich für eine unbekannte Grösse ($\sqrt[3]{K + L}$) zwei (m und n) eingeführt habe, so darf ich noch annehmen, dass

$$K = m^3 + 3 m n^2 \text{ ist, dann ist}$$

$$L = 3 m^2 n + n^3.$$

Ich mache gerade diese Annahme, weil es sich häufig trifft, dass, wenn nur L eine irrationale Quadratwurzel ist, auch nur n eine irrationale Quadratwurzel ist.

Aus den letzten beiden Gleichungen ergibt sich

$$K - L = m^3 - 3 m^2 n + 3 m n^2 - n^3 \text{ und } \sqrt[3]{K - L} = m - n.$$

$$\text{Es ist aber } \sqrt[3]{K^2 - L^2} = m^2 - n^2 = \varepsilon.$$

$$\text{Also hat man } \left. \begin{aligned} K &= 4 m - 3 \varepsilon \cdot m \\ L &= 3 \varepsilon \cdot n + 4 \cdot n^3 \end{aligned} \right\}$$

Da bei der gleichseitigen Hyperbel (§ 7. C):

$$\left. \begin{aligned} \cos z &= 4 \cdot \cos\left(\frac{z}{3}\right)^3 - 4 \cdot \cos\left(\frac{z}{3}\right) \\ \sin z &= 3 \cdot \sin\left(\frac{z}{3}\right) + 4 \cdot \sin\left(\frac{z}{3}\right)^3 \end{aligned} \right\} \text{ ist,}$$

so setze man $m = r \cdot u$ und $n = \varrho \cdot v$.

$$\left. \begin{aligned} \text{Dann erhält man: } \frac{K}{r^3} &= 4 \cdot u^3 - \frac{\varepsilon}{r^3} \cdot u \\ \frac{L}{\varrho^3} &= 3 \cdot \frac{\varepsilon}{r^3} \cdot v + 4 \cdot v^3 \end{aligned} \right\}$$

Um diese beiden Gleichungen für u und v mit den beiden für $\cos\left(\frac{z}{3}\right)$ und $\sin\left(\frac{z}{3}\right)$ in Vergleich bringen zu können, muss vor Allem $r^3 = \varepsilon$, $\varrho^3 = \varepsilon$, also $r = \varrho = \sqrt[3]{\varepsilon} = \sqrt[3]{K^2 - L^2}$ sein.

Und zwar wird es vorthailhaft sein, wenn r und ϱ reell ausfallen, weil sonst von vorne herein auch u und v imaginär sein müssten. Also haben wir anzunehmen, dass $K^2 > L^2$ ist.

$$\left. \begin{aligned} \text{Nun würde } u &= \cos\left(\frac{z}{3}\right) \\ v &= \sin\left(\frac{z}{3}\right) \end{aligned} \right\} \text{ vorstellen können, wenn es erlaubt wäre,}$$

$$\left. \begin{aligned} \cos z &= \frac{K}{\sqrt{K^2 - L^2}} \\ \sin z &= \frac{L}{\sqrt{K^2 - L^2}} \end{aligned} \right\} \text{ zu setzen. Dies ist aber erlaubt, denn bei der Hyperbel ist}$$

$\cos z > 1$ und $\sin z \geq 1$. Da übrigens $\cos z^2 - \sin z^2 = 1$ ist, so kann nur $z = z$ sein.

$$\text{Folglich haben wir: } m = \sqrt[3]{K^2 - L^2} \cdot \cos\left(\frac{z}{3}\right) \text{ und } n = \sqrt[3]{K^2 - L^2} \cdot \sin\left(\frac{z}{3}\right).$$

Weil aber bei gegebenen $\cos z$ und $\sin z$ nach § 8 $\sin\left(\frac{z}{3}\right)$ und $\cos\left(\frac{z}{3}\right)$ drei verschiedene Werthe haben können, so ist, wenn wir der Kürze wegen wieder $\sqrt[3]{K^2 - L^2} = r$ setzen, $\sqrt[3]{K + L} =$

$$\left. \begin{aligned} & r \left(\cos \frac{z}{3} + \sin \frac{z}{3} \right) \\ & r \left[-\cos \left(i \cdot 60^\circ + \frac{z}{3} \right) - \sin \left(i \cdot 60^\circ + \frac{z}{3} \right) \right] \\ & r \left[-\cos \left(i \cdot 60^\circ - \frac{z}{3} \right) + \sin \left(i \cdot 60^\circ - \frac{z}{3} \right) \right] \end{aligned} \right\} = r \left[-\cos \left(\frac{z}{3} \pm i \cdot 60^\circ \right) - \sin \left(\frac{z}{3} \pm i \cdot 60^\circ \right) \right]$$

und ebenso ist $\sqrt[3]{K-L} =$

$$\left. \begin{aligned} & r \left(\cos \left(\frac{z}{3} \right) - \sin \left(\frac{z}{3} \right) \right) \\ & r \left[-\cos \left(i \cdot 60^\circ + \frac{z}{3} \right) + \sin \left(i \cdot 60^\circ + \frac{z}{3} \right) \right] \\ & r \left[-\cos \left(i \cdot 60^\circ - \frac{z}{3} \right) - \sin \left(i \cdot 60^\circ - \frac{z}{3} \right) \right] \end{aligned} \right\} = r \left[-\cos \left(\frac{z}{3} \pm i \cdot 60^\circ \right) + \sin \left(\frac{z}{3} \pm i \cdot 60^\circ \right) \right] \quad (H.)$$

wobei $\cos z = \frac{K}{\sqrt{K^2 - L^2}}$ ist.

Auch hier kommen die andern sechs Combinationen von ungleichen Sektoren nicht in Betracht, weil wieder nur $\left(\cos \frac{r}{3} \pm \sin \frac{r}{3} \right)^3 = \cos r \pm \sin r$ giebt, worauf es bei der Probe wesentlich ankommt.

Die Gleichungen (H.) können auch folgende praktischere Gestalt annehmen:

$$\sqrt[3]{K \pm L} = \left\{ \begin{aligned} & r \left(\cos \left(\frac{z}{3} \right) \pm \sin \left(\frac{z}{3} \right) \right), \text{ oder} \\ & r \left[-\frac{1}{2} \cos \left(\frac{z}{3} \right) - i \cdot \frac{\sqrt{3}}{2} \cdot \sin \left(\frac{z}{3} \right) \pm \left(-\frac{1}{2} \sin \left(\frac{z}{3} \right) - i \cdot \frac{\sqrt{3}}{2} \cdot \cos \left(\frac{z}{3} \right) \right), \text{ oder} \right. \\ & \left. r \left[-\frac{1}{2} \cos \left(\frac{z}{3} \right) + i \cdot \frac{\sqrt{3}}{2} \cdot \sin \left(\frac{z}{3} \right) \mp \left(\frac{1}{2} \sin \left(\frac{z}{3} \right) - i \cdot \frac{\sqrt{3}}{2} \cdot \cos \left(\frac{z}{3} \right) \right) \right] \right\} \quad (I.)$$

Den Satz, dass $\left[\cos \left(\frac{z}{3} \right) \pm \sin \left(\frac{z}{3} \right) \right]^3 = \cos z \pm \sin z$ ist, beweise ich so:

In $\cos \left(\frac{z}{3} \right)^3 \pm 3 \cdot \cos \left(\frac{z}{3} \right)^2 \cdot \sin \left(\frac{z}{3} \right) + 3 \cdot \cos \left(\frac{z}{3} \right) \cdot \sin \left(\frac{z}{3} \right)^2 \pm \sin \left(\frac{z}{3} \right)^3$ setze man $\cos \left(\frac{z}{3} \right)^2 = 1 + \sin \left(\frac{z}{3} \right)^2$ und $\sin \left(\frac{z}{3} \right)^2 = \cos \left(\frac{z}{3} \right)^2 - 1$.

Dann erhält man:

$$\left(4 \cdot \cos \frac{z^3}{3} - 3 \cdot \cos \frac{z}{3} \right) \pm \left(3 \cdot \sin \frac{z}{3} + \sin \frac{z^3}{3} \right) = \cos z \pm \sin z.$$

§ 14. Für den Fall, dass $L^2 > K^2$ ist, wollen wir einen andern Weg einschlagen:

Man setze: $\sqrt[3]{K \pm L} = R \cdot \left(\sin \left(\frac{z}{3} \right) \pm \cos \left(\frac{z}{3} \right) \right)$

Weil nun, wie wieder leicht zu zeigen wäre $\left(\sin \left(\frac{z}{3} \right) \pm \cos \left(\frac{z}{3} \right) \right)^3 = \sin z \pm \cos z$ ist, so müsste dann: $K \pm L = R^3 \cdot \sin z \pm R^3 \cdot \cos z$ sein.

Und da wir für eine Unbekannte ($\sqrt[3]{K \pm L}$) zwei Unbekannte (R und $\frac{z}{3}$) eingeführt haben, so dürfen wir noch annehmen: $K = R^3 \cdot \sin z$, dann ist $L = R^3 \cos z$.

Hieraus ergibt sich: $\sin z = \frac{K}{R^3}$, $\cos z = \frac{L}{R^3}$.

Weil aber $\cos z^2 - \sin z^2 = 1$ ist, so haben wir $\frac{L^2 - K^2}{R^6} = 1$, also

$$R = \sqrt[6]{L^2 - K^2}, \quad R^3 = \sqrt{L^2 - K^2} \text{ und} \\ \sqrt[3]{K \pm L} = \sqrt[6]{L^2 - K^2} \left(\sin \frac{z}{3} \pm \cos \left(\frac{z}{3} \right) \right).$$

Demnach erhalten wir wegen der drei verschiedenen Werthe, welche $\sin \frac{z}{3}$ und $\cos \frac{z}{3}$ für einen gegebenen $\sin z$ annehmen können, wenn wir der Kürze wegen statt

$$\sqrt[6]{L^2 - K^2} \text{ noch einige Male } R \text{ schreiben: } \sqrt[3]{K + L} = \\ \text{(H')} \left\{ \begin{aligned} &R \left(\sin \frac{z}{3} + \cos \frac{z}{3} \right) \\ &R \left[\sin \left(i \cdot 60^\circ - \frac{z}{3} \right) - \cos \left(i \cdot 60^\circ - \frac{z}{3} \right) \right] \\ &R \left[-\sin \left(i \cdot 60^\circ + \frac{z}{3} \right) - \cos \left(i \cdot 60^\circ + \frac{z}{3} \right) \right] \end{aligned} \right\} = R \left[-\sin \left(\frac{z}{3} \mp i \cdot 60^\circ \right) - \cos \left(\frac{z}{3} \mp i \cdot 60^\circ \right) \right] \\ \text{und ebenso } \sqrt[3]{K - L} = \\ \text{(H'')} \left\{ \begin{aligned} &R \left(\sin \frac{z}{3} - \cos \frac{z}{3} \right) \\ &R \left[\sin \left(i \cdot 60^\circ - \frac{z}{3} \right) + \cos \left(i \cdot 60^\circ - \frac{z}{3} \right) \right] \\ &R \left[-\sin \left(i \cdot 60^\circ + \frac{z}{3} \right) + \cos \left(i \cdot 60^\circ + \frac{z}{3} \right) \right] \end{aligned} \right\} = R \left[-\sin \left(\frac{z}{3} \mp i \cdot 60^\circ \right) + \cos \left(\frac{z}{3} \mp i \cdot 60^\circ \right) \right]$$

Praktischer aber wird es sein, wenn wir den Gleichungen (H') folgende Gestalt geben:

$$\text{(I')} \left\{ \begin{aligned} &\sqrt[3]{K \pm L} = R \left(\sin \left(\frac{z}{3} \right) \pm \cos \left(\frac{z}{3} \right) \right) \\ &= R \left[-\frac{1}{2} \sin \left(\frac{z}{3} \right) + i \cdot \frac{\sqrt{3}}{2} \cdot \cos \left(\frac{z}{3} \right) \mp \left(\frac{1}{2} \cos \left(\frac{z}{3} \right) - i \cdot \frac{\sqrt{3}}{2} \cdot \sin \left(\frac{z}{3} \right) \right) \right] \\ &= R \left[-\frac{1}{2} \sin \left(\frac{z}{3} \right) - i \cdot \frac{\sqrt{3}}{2} \cdot \cos \left(\frac{z}{3} \right) \pm \left(-\frac{1}{2} \cos \left(\frac{z}{3} \right) - i \cdot \frac{\sqrt{3}}{2} \cdot \sin \left(\frac{z}{3} \right) \right) \right] \end{aligned} \right\} \\ \text{wobei } \sin z = \frac{K}{\sqrt{L^2 - K^2}} \text{ ist.}$$

Anmerkung. Dass wir die Kubikwurzelausziehung auch durch die in § 10 und § 11 behandelten Functionen der Ellipse und ungleichseitigen Hyperbel hätten vollziehen können, leuchtet von selbst ein; wir dürften ja in den Formeln (h) und

(i) und in den Formeln (H), (I) und (H'), (I') nur die Wörter Sinus und Cosinus mit griechischen Buchstaben statt mit lateinischen schreiben. Doch unterlassen wir das aus praktischen Gründen.

Dritter Theil.

Auflösung der kubischen Gleichungen.

Von der Form $x^3 = 3fx + 2g$.

A. Erste Methode, durch die cardanische Formel.

§ 15. Wenn man von der Gleichung ausgeht:

$$x^3 = 3abx + (a^3 + b^3),$$

so ist nicht bloss $x = a + b$, sondern es können a und b auch noch mit gewissen Faktoren M und N multiplicirt werden, wenn nur $(aM)^3 = a^3$, $(bN)^3 = b^3$ und $(aM) \cdot (bN) = ab$ ist. Es darf also nicht gerade $M = N = 1$ sein, es kann auch $M = J = \frac{-1+i\sqrt{3}}{2}$, $N = J' = \frac{-1-i\sqrt{3}}{2}$, und umgekehrt $M = J'$ und $N = J$ sein, weil $J^3 = 1$, $J'^3 = 1$ und $J \cdot J' = 1$ ist.

Ebenso, hat man die Gleichung aufzulösen: $x^3 = 3fx + 2g$,

so ist wieder $x \ 1) = a + b$, $2) = a \cdot J + b \cdot J'$, $3) = a \cdot J' + b \cdot J$, wenn nur $a = \sqrt[3]{g + \sqrt{g^2 - f^2}}$, $b = \sqrt[3]{g - \sqrt{g^2 - f^2}}$ (k.)

Oder, man nehme zunächst nur an, dass $x = a + b$ ist, weil aber a einen der drei Werthe α , αJ , $\alpha J'$ und b einen der drei Werthe β , βJ , $\beta J'$ annehmen kann, so könnte es zunächst scheinen, als ob unsere Gleichung neun Auflösungen zuliesse. Indessen, wenn man festhält, dass nicht nur $a^3 + b^3 = 2g$, sondern auch $a \cdot b = f$ sein muss, so überzeugt man sich, dass wirklich nur sein kann:

$$x \ 1) = \alpha + \beta, \ 2) = \alpha J + \beta J', \ 3) = \alpha J' + \beta J.$$

Durch die übrigen sechs Verbindungen werden aufgelöst die Gleichungen:

$$x^3 = 3f \cdot J \cdot x + 2g, \text{ wo } x = \alpha + \beta J, \alpha J + \beta, \alpha J' + \beta J', \text{ und}$$

$$x^3 = 3f \cdot J' \cdot x + 2g, \text{ wo } x = \alpha + \beta J', \alpha J' + \beta, \alpha J + \beta J \text{ ist,}$$

welche uns fern stehen.

Man kann den Gleichungen (k) auch folgende Gestalt geben:

$$\left. \begin{aligned} x &= a + b, = -\frac{a+b}{2} \pm \frac{a-b}{2} \cdot i \cdot \sqrt{3}, \\ \text{wo } a &= \sqrt[3]{g + \sqrt{g^2 - f^2}}, \ b = \sqrt[3]{g - \sqrt{g^2 - f^2}} \end{aligned} \right\} \dots\dots\dots (l.)$$

I. Der irreducible Fall.

§ 16. Ist nun $f^3 > g^2$, so ist $a = \sqrt[3]{g + i \sqrt{f^3 - g^2}} = \sqrt[3]{K + i L}$

$$b = \sqrt[3]{g - i \sqrt{f^3 - g^2}} = \sqrt[3]{K - i L}, \text{ wo } K = g, L = \sqrt{f^3 - g^2}.$$

Legen wir jetzt die Formeln (h) aus § 12 zum Grunde und bedenken, dass

$$\sqrt{K^2 + L^2} = \sqrt{f^3} \text{ und } \sqrt[6]{K^2 + L^2} = \sqrt[3]{f} \text{ ist, so erhalten wir}$$

$$(m.) \dots \dots \dots \left\{ \begin{array}{l} x = 2 \sqrt[3]{f} \cdot \cos\left(\frac{z}{3}\right) \\ x = -2 \sqrt[3]{f} \cdot \cos\left(60^\circ \pm \frac{z}{3}\right) \end{array} \right\} \text{ wobei } \cos z = \frac{g}{\sqrt{f^3}}$$

Bedienen wir uns aber der Formeln (i.) aus dem nämlichen §, so kommen wir natürlich zu demselben Resultate, es ist dann:

$$(n.) \dots \left\{ \begin{array}{l} x = 2 \cdot \sqrt[3]{f} \cdot \cos\left(\frac{z}{3}\right) \\ x = \sqrt[3]{f} \cdot \left[-\cos\left(\frac{z}{3}\right) \pm \sqrt[3]{3} \sin\left(\frac{z}{3}\right) \right] \end{array} \right\} \text{ wobei wieder } \cos z = \frac{g}{\sqrt{f^3}} \text{ ist.}$$

II. Der reducible Fall.

§ 17. Es sei $g^2 > f^3$, dann bleibt $a = \sqrt[3]{g + \sqrt{g^2 - f^3}} = \sqrt[3]{K + L}$

$$b = \sqrt[3]{g - \sqrt{g^2 - f^3}} = \sqrt[3]{K - L}, \text{ wo } K = g, L = \sqrt{g^2 - f^3}.$$

Nun kommt noch in Betracht, ob $K^2 > L^2$ oder $L^2 > K^2$ ist.

1) Wir fangen mit dem ersten Falle an, der damit zusammenhängt, dass f positiv ist. Da nun $\sqrt{K^2 - L^2} = \sqrt{f^3}$, $\sqrt[6]{K^2 - L^2} = \sqrt[3]{f}$, so ergibt sich aus den Formeln (H.) des § 13:

$$(M.) \left\{ \begin{array}{l} x = 2 \sqrt[3]{f} \cos \frac{z}{3} \\ x = -2 \sqrt[3]{f} \cdot \cos\left(\frac{z}{3} \pm i \cdot 60^\circ\right) \text{ oder } -2 \sqrt[3]{f} \cos\left(i \cdot 60^\circ \pm \frac{z}{3}\right) \end{array} \right\} \text{ wobei } \cos z = \frac{g}{\sqrt{f^3}} \text{ ist.}$$

Hier werden aber die Formeln (J.) vorzuziehen sein, aus denen dasselbe unter anderer Gestalt folgt:

$$(N.) \left\{ \begin{array}{l} x = 2 \sqrt[3]{f} \cdot \cos\left(\frac{z}{3}\right) \\ x = \sqrt[3]{f} \left[-\cos\left(\frac{z}{3}\right) \pm i \cdot \sqrt[3]{3} \sin\left(\frac{z}{3}\right) \right] \end{array} \right\} \text{ wobei wieder } \cos z = \frac{g}{\sqrt{f^3}} \text{ ist.}$$

2) Ist aber f negativ, dann wird $L^2 > K^2$, und weil nun $\sqrt{L^2 - K^2} = \sqrt{-f^3}$ und $\sqrt[3]{L^2 - K^2} = \sqrt{-f}$ ist, so hat unsere Gleichung mit Zugrundelegung der Formeln (H.) aus § 14 jetzt folgende Wurzeln:

$$(O.) \dots \left\{ \begin{array}{l} x = 2 \sqrt{-f} \cdot \sin \frac{z}{3} \\ x = 2 \sqrt{-f} \cdot \sin \left(i \cdot 60^\circ - \frac{z}{3} \right) \\ x = -2 \sqrt{-f} \cdot \sin \left(i \cdot 60^\circ + \frac{z}{3} \right) \end{array} \right\} \text{ wobei } \sin z = \frac{g}{\sqrt{-f^3}}$$

Durch Benutzung der Formeln (J.) erhalten die Wurzeln folgenden verständlicheren Ausdruck:

$$(N.) \left\{ \begin{array}{l} x = 2 \sqrt{-f} \cdot \sin \frac{z}{3} \\ x = \sqrt{-f} \left[-\sin \frac{z}{3} \pm i \cdot \sqrt{3} \cos \frac{z}{3} \right] \end{array} \right\} \text{ wobei wieder } \sin z = \frac{g}{\sqrt{-f^3}} \text{ ist.}$$

Anmerkung 1. In den §§ 16 und 17 wurde nur der erste Werth der in § 15 (I.) befindlichen Wurzeln der Gleichung benutzt ($x = a + b$), aber dafür sämtliche Kubikwurzeln von a und b herangezogen; man hätte auch sämtliche in (I.) angegebenen Wurzeln unserer Gleichung mit einer beliebigen Kubikwurzel von a und der entsprechenden von b anwenden können und hätte natürlich dieselben Resultate gewonnen.

Anmerkung 2. Sollte man in der vorgelegten Gleichung $x^3 = 3fx + 2g$ unter g etwas Negatives zu verstehen haben, so dass etwa $g = -\gamma$ wäre, so würde es in beiden §§ vortheilhaft sein, $x = -X$ zu setzen und lieber die Gleichung aufzulösen $X^3 = 3fX + 2\gamma$.

B. Zweite Methode, ohne cardanische Formel.

I. Der irreducible Fall.

§ 18. Hat man $\sin \frac{z}{3} = \frac{1}{4} \sin \frac{z}{3} - \frac{\sin z}{4}$ so ist nach § 6 f:

$$\sin \frac{z}{3} = 1) = \sin \frac{z}{3}, 2) = \sin \left(60 - \frac{z}{3} \right), 3) = -\sin \left(60 + \frac{z}{3} \right).$$

Ist aber die Gleichung aufzulösen: $x^3 = 3fx + 2g$, so setze man $x = \mu \cdot y$. Dies führt auf: $y^3 = \frac{3f}{\mu^3} \cdot y + \frac{2g}{\mu^3}$.

Bestimme ich nun z so, dass $\sin z = -\frac{8g}{\mu^3}$ wird, und das μ so, dass $\frac{f}{\mu^3} = \frac{1}{4}$

wird, so ist $y = \sin \frac{z}{3}$ als gefunden zu betrachten und also auch x . Es ergibt sich dann $\mu = 2\sqrt{f}$, $\sin z = -\frac{g}{\sqrt{f}}$, und

$$(o.). \dots\dots\dots \begin{cases} x_1 = 2\sqrt{f} \cdot \sin \frac{z}{3} \\ x_2 = 2\sqrt{f} \cdot \sin \left(60^\circ - \frac{z}{3}\right) \\ x_3 = -2\sqrt{f} \cdot \sin \left(60^\circ + \frac{z}{3}\right). \end{cases}$$

Ebenso, hat man $\cos \frac{z}{3} = \frac{1}{3} \cos \frac{z}{3} + \frac{\cos z}{4}$, so ist nach § 6, g:

$$\cos \frac{z}{3} \cdot 1 = \cos \frac{z}{3} \cdot 2 = -\cos \left(60^\circ + \frac{z}{3}\right), 3) = -\cos \left(60^\circ - \frac{z}{3}\right).$$

Legt man aber die Gleichung vor: $x^3 = 3fx + 2g$, so setze ich wieder $x = \mu \cdot y$, dies giebt $y^3 = \frac{3f}{\mu^2} \cdot y + \frac{2g}{\mu^3}$.

Bestimme ich nun das willkürlich angenommene μ so, dass $\frac{f}{\mu^2} = 1$, und z so, dass $\frac{\cos z}{4} = \frac{2g}{\mu^3}$ werde, so kann ich $y = \cos \frac{z}{3}$ als bekannt ansehen. Die Rechnung giebt: $\mu = 2\sqrt{f}$, $\cos z = -\frac{g}{\sqrt{f}}$,

$$(m.). \dots\dots\dots \begin{cases} x_4 = 2\sqrt{f} \cdot \cos \frac{z}{3} \\ x_5 = -2\sqrt{f} \cdot \cos \left(60^\circ - \frac{z}{3}\right) \\ x_6 = -2\sqrt{f} \cdot \cos \left(60^\circ + \frac{z}{3}\right). \end{cases}$$

Hierbei zeigt sich, dass $x_6 = x_1$, $x_5 = x_2$, $x_4 = x_3$ ist.

§ 19. Man könnte auch die beiden andern Werthe von y dadurch finden, dass man die Gleichung: $y^3 - \frac{1}{3}y + \frac{\sin z}{4}$ durch $y - \sin \frac{z}{3}$ und

$$y^3 - \frac{1}{3}y - \frac{\cos z}{4} \text{ durch } y - \cos \frac{z}{3}$$

dividirt, die Quotienten gleich Null setzt,

$$\text{nämlich } y^2 + \sin \frac{z}{3} \cdot y + \left(\sin \frac{z}{3} - \frac{1}{3}\right) = 0, \text{ und}$$

$$y^2 + \cos \frac{z}{3} \cdot y + \left(\cos \frac{z}{3} - \frac{1}{3}\right) = 0$$

und diese quadratischen Gleichungen nach y auflöst. Man würde dann erhalten,

$$\text{im ersten Falle: } y = -\frac{1}{3} \sin \frac{z}{3} \pm \frac{1}{3} \cos \frac{z}{3} \cdot \sqrt{3},$$

$$\text{im andern Falle: } y = -\frac{1}{3} \cos \frac{z}{3} \pm \frac{1}{3} \sin \frac{z}{3} \cdot \sqrt{3}.$$

Daraus würden die Resultate von § 18 noch einmal, aber in etwas anderer Form gefunden werden, nämlich:

$$\left. \begin{aligned} x &= 2 \sqrt{f} \cdot \sin \frac{z}{3} \\ x &= \sqrt{f} \cdot \left[-\sin \frac{z}{3} \pm \sqrt{3} \cos \frac{z}{3} \right] \end{aligned} \right\} \text{wobei } \sin z = -\frac{g}{\sqrt{f^2}} \text{ ist.} \dots\dots\dots (p.)$$

im andern Fall:

$$\left. \begin{aligned} x &= 2 \sqrt{f} \cdot \cos \frac{z}{3} \\ x &= \sqrt{f} \cdot \left[-\cos \frac{z}{3} \pm \sqrt{3} \cdot \sin \frac{z}{3} \right] \end{aligned} \right\} \text{wobei } \cos z = \frac{g}{\sqrt{f^2}} \text{ ist.} \dots\dots\dots (n.)$$

II. Der reducible Fall.

§ 20. In Beziehung auf die Sektoren der gleichseitigen Hyperbel gelten nach § 7 E. folgende Gleichungen:

$$\sin \frac{z}{3} = -\frac{1}{4} \sin \frac{z}{3} + \frac{\sin z}{4},$$

$$\cos \frac{z}{3} = \frac{1}{4} \cos \frac{z}{3} + \frac{\cos z}{4}.$$

1) Hat man nun $Y^3 = -\frac{1}{4} Y + \frac{\sin z}{4}$, so ist zunächst $Y = \sin \frac{z}{3}$.

Da nun $(Y^3 + \frac{1}{4} Y - \frac{\sin z}{4}) : (Y - \sin \frac{z}{3}) = Y^2 + \sin \frac{z}{3} \cdot Y + (\sin \frac{z}{3}^2 + \frac{1}{4}) = 0$ ist, so ist auch $Y = -\frac{1}{2} \sin \frac{z}{3} \pm i \cdot \frac{\sqrt{3}}{2} \cdot \cos \frac{z}{3}$.

Liegt aber die Gleichung vor:

$$x^3 = 3fx + 2g,$$

so wird sie in jeder Beziehung den Vergleich mit jener für Y^3 aushalten, wenn f negativ ist. Denn man setze $x = \mu \cdot Y$, so geht sie in folgende über:

$Y^3 = \frac{3f}{\mu^3} Y + \frac{2g}{\mu^3}$. Da nun ganz gut $\frac{3f}{\mu^3} = -\frac{1}{4}$, und $\frac{2g}{\mu^3} = \frac{\sin z}{4}$ sein kann, wobei

$$\mu = 2 \sqrt{-f} \text{ und } \sin z = \frac{g}{\sqrt{-f^2}} \text{ ist,}$$

so hat das Y dieser Gleichung einen der drei oben angegebenen Werthe und folglich ist

$$\left. \begin{aligned} x &= 2 \sqrt{-f} \cdot \sin \frac{z}{3} \\ x &= \sqrt{-f} \left[-\sin \frac{z}{3} \pm i \sqrt{3} \cos \frac{z}{3} \right] \end{aligned} \right\} \dots\dots\dots (P).$$

2) Ist aber f positiv, so stelle man unsere Gleichung $x^3 = 3fx + 2g$ mit folgender zusammen: $Y^3 = \frac{1}{4}Y + \frac{\cos \frac{x}{3}}{4}$, in welcher zunächst $Y = \cos \frac{x}{3}$ ist.

Da aber $\left(Y^3 - \frac{1}{4}Y - \frac{\cos \frac{x}{3}}{4}\right) : \left(Y - \cos \frac{x}{3}\right) = Y^2 + \cos \frac{x}{3} \cdot Y + \left(\cos \frac{x}{3} - \frac{1}{4}\right) = 0$ ist, so kann auch $Y = -\frac{1}{4}\cos \frac{x}{3} \pm i \cdot \frac{\sqrt{3}}{2} \cdot \sin \frac{x}{3}$ sein.

Setzt man nun $x = \mu \cdot Y$, so kann dieses Y einen der drei oben erhaltenen Werthe bedeuten, wenn nur $\mu = 2\sqrt{f}$ und $\cos x = \frac{g}{\sqrt{f^3}}$ ist.

Da diesen Annahmen hier aber nichts im Wege steht, so ist

$$(N.) \dots\dots\dots \left\{ \begin{array}{l} x = 2\sqrt{f} \cdot \cos \frac{x}{3} \\ x = \sqrt{f} \cdot \left(-\cos \frac{x}{3} \pm i \cdot \sqrt{3} \cdot \sin \frac{x}{3}\right) \end{array} \right\}$$

§ 21. Man kann auch zu dem nämlichen Resultate und, wenn man will, unter etwas anderer Form gelangen, ohne die oben gemachten Divisionen und was damit in Zusammenhang steht, zu vollziehen, indem man alle drei Werthe von Y , wie sie in § 8 F. und G. angegeben sind, benutzt. Man erhält dann 1) für den Fall, dass f negativ ist:

$$(O.) \dots\dots \left\{ \begin{array}{l} x = 2\sqrt{-f} \cdot \sin \frac{x}{3} \\ x = 2\sqrt{-f} \cdot \sin \left(i \cdot 60^\circ - \frac{x}{3}\right) \\ x = -2\sqrt{-f} \cdot \sin \left(i \cdot 60^\circ - \frac{x}{3}\right) \end{array} \right\} \text{ wobei } \sin x = \frac{g}{\sqrt{-f^3}} \text{ ist.}$$

2) für den Fall, dass f positiv ist:

$$(M.) \dots\dots \left\{ \begin{array}{l} x = 2\sqrt{f} \cdot \cos \frac{x}{3} \\ x = -2\sqrt{f} \cdot \cos \left(i \cdot 60^\circ + \frac{x}{3}\right) \\ x = -2\sqrt{f} \cdot \cos \left(i \cdot 60^\circ - \frac{x}{3}\right) \end{array} \right\} \text{ wobei } \cos x = \frac{g}{\sqrt{f^3}} \text{ ist.}$$

§ 22. Somit glaube ich dargethan zu haben, (§ 15 — 17), dass einerseits durch die bei manchen Mathematikern noch immer in Misscredit stehende cardanische Formel: $x = \sqrt[3]{g + \sqrt{g^2 - f^3}} + \sqrt[3]{g - \sqrt{g^2 - f^3}}$ eine vollständige Lösung der kubischen Gleichungen von der uns beschäftigenden Form herbeigeführt werden kann, andererseits (§ 18 — 21), dass auch ohne die cardanische Formel zu demselben

Ziele zu gelangen ist. Der bessern Uebersicht wegen gebe ich noch folgende Zusammenstellung:

$$\text{Gleichung } x^3 = 3fx + 2g.$$

Ist f negativ, so genügen die Formeln (O) oder (P) des reducibeln Falles:

$$(O.) \left\{ \begin{array}{l} x = 2\sqrt{-f} \cdot \sin \frac{\pi}{3} \\ x_1 = 2\sqrt{-f} \cdot \sin \left(i \cdot 60^\circ - \frac{\pi}{3} \right) \\ x_{II} = -2\sqrt{-f} \cdot \sin \left(i \cdot 60^\circ - \frac{\pi}{3} \right) \end{array} \right\} \sin z = \frac{g}{\sqrt{-f}^3} \left\{ \begin{array}{l} x = 2\sqrt{-f} \cdot \sin \frac{\pi}{3} \\ x_1 = \sqrt{-f} \left[-\sin \frac{\pi}{3} + i \cdot \sqrt{3} \cdot \cos \frac{\pi}{3} \right] \\ x_{II} = \sqrt{-f} \left[-\sin \frac{\pi}{3} - i \cdot \sqrt{3} \cdot \cos \frac{\pi}{3} \right] \end{array} \right\} (P.)$$

Ist aber f positiv, so hat man für den reducibeln Fall die Formeln (M) und (N):

$$(M.) \left\{ \begin{array}{l} x = 2\sqrt{f} \cdot \cos \frac{\pi}{3} \\ x_1 = -2\sqrt{f} \cdot \cos \left(i \cdot 60^\circ + \frac{\pi}{3} \right) \\ x_{II} = -2\sqrt{f} \cdot \cos \left(i \cdot 60^\circ - \frac{\pi}{3} \right) \end{array} \right\} \cos z = \frac{g}{\sqrt{f}^3} \left\{ \begin{array}{l} x = 2\sqrt{f} \cdot \cos \frac{\pi}{3} \\ x_1 = \sqrt{f} \cdot \left[-\cos \frac{\pi}{3} - i \cdot \sqrt{3} \cdot \sin \frac{\pi}{3} \right] \\ x_{II} = \sqrt{f} \cdot \left[-\cos \frac{\pi}{3} + i \cdot \sqrt{3} \cdot \sin \frac{\pi}{3} \right] \end{array} \right\} (N.)$$

und für den irreducibeln Fall kann man sich nach Belieben der Formeln (o) und (p)

$$(o.) \left\{ \begin{array}{l} x = 2\sqrt{f} \cdot \sin \frac{\pi}{3} \\ x_1 = 2\sqrt{f} \cdot \sin \left(60^\circ - \frac{\pi}{3} \right) \\ x_{II} = -2\sqrt{f} \cdot \sin \left(60^\circ + \frac{\pi}{3} \right) \end{array} \right\} \sin z = -\frac{g}{\sqrt{f}^3} \left\{ \begin{array}{l} x = 2\sqrt{f} \cdot \sin \frac{\pi}{3} \\ x_1 = \sqrt{f} \cdot \left[-\sin \frac{\pi}{3} + i \cdot \sqrt{3} \cdot \cos \frac{\pi}{3} \right] \\ x_{II} = \sqrt{f} \cdot \left[-\sin \frac{\pi}{3} - i \cdot \sqrt{3} \cdot \cos \frac{\pi}{3} \right] \end{array} \right\} (p.)$$

oder der Formeln (m) und (n) bedienen:

$$(m.) \left\{ \begin{array}{l} x = 2\sqrt{f} \cdot \cos \frac{\pi}{3} \\ x_1 = -2\sqrt{f} \cdot \cos \left(60^\circ - \frac{\pi}{3} \right) \\ x_{II} = -2\sqrt{f} \cdot \cos \left(60^\circ + \frac{\pi}{3} \right) \end{array} \right\} \cos z = \frac{g}{\sqrt{f}^3} \left\{ \begin{array}{l} x = 2\sqrt{f} \cdot \cos \frac{\pi}{3} \\ x_1 = \sqrt{f} \cdot \left[-\cos \frac{\pi}{3} - i \cdot \sqrt{3} \cdot \sin \frac{\pi}{3} \right] \\ x_{II} = \sqrt{f} \cdot \left[-\cos \frac{\pi}{3} + i \cdot \sqrt{3} \cdot \sin \frac{\pi}{3} \right] \end{array} \right\} (n.)$$

Man sieht, die acht Formeln m, n, o, p; M, N, O, P sind nur praktische Auslegungen der einen cardanischen Formel.

Anmerkung. Dass man die kubischen Gleichungen auch durch die in § 10 und 11 entwickelten Formeln, welche sich auf die Dreitheilung der Sektoren bei der Ellipse und ungleichseitigen Hyperbel beziehen, hätte lösen können, darf wohl nur angedeutet werden.

Auflösung der kubischen Gleichungen von der Form

$$x^3 + 3 \beta x^2 + \delta = 0.$$

§ 23. Je ausführlicher wir uns mit den Gleichungen von der Form $x^3 = 3fx + 2g$ beschäftigen haben, desto kürzer können wir uns bei den kubischen Gleichungen von anderer Form fassen.

Legt man uns die Gleichung vor: $y^3 + 3 \varphi y + d = 0$, so ist nach dem Früheren:

$$y = \left\{ \sqrt[3]{-\frac{d}{2} + \sqrt{\left(\frac{d}{2}\right)^2 + \varphi^3}} + \sqrt[3]{-\frac{d}{2} - \sqrt{\left(\frac{d}{2}\right)^2 + \varphi^3}} \right\}, = p + q,$$

$$\left\{ -\frac{p+q}{2} \pm \frac{p-q}{2} i \sqrt{3} \right\},$$

welche Ausdrücke nach Umständen folgende Deutungen zulassen:

$$y = \left\{ \begin{array}{l} 2 \sqrt{-\varphi} \cdot \cos \frac{z}{3} \\ \sqrt{-\varphi} \left[-\cos \frac{z}{3} \pm \sqrt{3} \cdot \sin \frac{z}{3} \right] \end{array} \right\} \text{ wobei } \cos z = \frac{-\frac{d}{2}}{\sqrt{-\varphi^3}},$$

$$y = \left\{ \begin{array}{l} 2 \sqrt{-\varphi} \cdot \cos \frac{z}{3} \\ \sqrt{-\varphi} \cdot \left(-\cos \frac{z}{3} \pm i \sqrt{3} \cdot \sin \frac{z}{3} \right) \end{array} \right\} \text{ wobei } \cos z = \frac{-\frac{d}{2}}{\sqrt{-\varphi^3}},$$

$$y = \left\{ \begin{array}{l} 2 \sqrt{\varphi} \cdot \sin \frac{z}{3} \\ \sqrt{\varphi} \left(-\sin \frac{z}{3} \pm i \sqrt{3} \cdot \cos \frac{z}{3} \right) \end{array} \right\} \text{ wobei } \sin z = \frac{-\frac{d}{2}}{\sqrt{-\varphi^3}}.$$

Hat man es aber mit einer Gleichung von der Form $x^3 + 3 \beta x^2 + \delta = 0$ zu thun, so muss man sie bekanntlich dadurch auf die vorige Form reduciren, dass man $x = y - \beta$ setzt. Dadurch erhält man $\varphi = -\beta^2$, $d = \delta + 2 \beta^3$; folglich ist im Allgemeinen

$$x = \left\{ \begin{array}{l} -\beta + \sqrt[3]{-\left(\frac{\delta}{2} + \beta^3\right) + \sqrt{\left(\frac{\delta}{2}\right)^2 + \delta \cdot \beta^3}} + \sqrt[3]{-\left(\frac{\delta}{2} + \beta^3\right) - \sqrt{\left(\frac{\delta}{2}\right)^2 + \delta \cdot \beta^3}} \\ -\beta - \frac{p+q}{2} \pm \frac{p-q}{2} i \sqrt{3} \end{array} \right\} = -\beta + p + q$$

Für den irreducibeln Fall, in welchem $-\delta \cdot \beta^3 > \left(\frac{\delta}{2}\right)^2$ ist, hat man dann:

$$(q.) \dots x = \left\{ \begin{array}{l} -\beta + 2 \beta \cos \frac{z}{3} \\ -\beta + \beta \left(-\cos \frac{z}{3} \pm i \sqrt{3} \sin \frac{z}{3} \right) = -\beta - 2 \beta \cdot \cos \left(60^\circ \pm \frac{z}{3} \right), \end{array} \right\}$$

wobei $\cos z = -1 - \frac{\left(\frac{\delta}{2}\right)}{\beta^3}.$

Für den reducibeln Fall, in welchem $-\beta^3 < \frac{\delta}{4}$ ist, genügen hier folgende Gleichungen:

$$(Q.) \dots x = \left\{ \begin{array}{l} -\beta + 2\beta \cdot \cos \frac{z}{3} \\ -\beta + \beta \left(-\cos \frac{z}{3} \pm i \sqrt{3} \sin \frac{z}{3} \right) \end{array} \right\}, \text{ wobei } \cos z = -1 - \left(\frac{\delta}{\beta^3} \right) \text{ ist.}$$

Denn da $K = -\left(\frac{\delta}{2} + \beta^3\right)$ und $L = \sqrt{\left(\frac{\delta}{2}\right)^2 + \delta \cdot \beta^3}$ ist, so ist stets $K^2 > L^2$, man darf daher nie seine Zuflucht zu den andern Formeln für y nehmen, bei denen $\sin z$ eine Rolle spielt. (vergl. § 14.)

Wenn die Zeichen von β und δ gleich sind, so erscheint hiebei $\cos z$ negativ. Obgleich dies an und für sich nichts zu sagen hat, da man dann nur den entgegengesetzten Zweig der Hyperbel zur Anwendung bringen darf, so thut man doch besser, wenn man vor $\sqrt{-q^3}$ das Minuszeichen schreibt, wodurch man erhält:

$$\cos z = 1 + \left(\frac{\delta}{2} \right) \frac{1}{\beta^3}$$

Auflösung der kubischen Gleichungen von der Form

$$\alpha x^3 + 3\beta x^2 + 3\gamma x + \delta = 0.$$

§ 24. Um diese Gleichung zu reduciren, setze man $x = y - \frac{\beta}{\alpha}$, dann ist $y = \frac{\alpha\gamma - \beta^2}{\alpha^2}$, $d = \frac{2\beta^3 - 3\alpha\beta\gamma + \alpha^2\delta}{\alpha^3}$ und

$$x = -\frac{\beta}{\alpha} + p + q, \text{ aber auch} = -\frac{\beta}{\alpha} - \frac{p+q}{2} \pm \frac{p-q}{2} i \sqrt{3},$$

$$\text{wo } p = \sqrt[3]{-\frac{d}{2} \pm i \left(\frac{d}{2} \right)^2 + q^3} \text{ ist.}$$

Für den irreducibeln Fall ist bekanntlich $(-q)^3 > \left(\frac{d}{2}\right)^2$, d. h. vor Allem muss 1) $\beta^2 - \alpha\gamma$ positiv und dann 2) $\left(\frac{\beta^2 - \alpha\gamma}{2}\right)^3 > \left(\frac{2\beta^3 - 3\alpha\beta\gamma + \alpha^2\delta}{2\alpha^3}\right)^2$ sein.

Den Ausdrücken für p und q hat Dr. Müller in Wiesbaden (Grunerts' Archiv, 22, pag. 18) folgende symmetrische Gestalt gegeben:

$$p = \sqrt[3]{-\frac{\alpha(\alpha\delta - \beta\gamma) - 2\beta(\alpha\gamma - \beta^2)}{2 \cdot \alpha^3} + \sqrt{\frac{(\alpha\delta - \beta\gamma)^2 - 4(\alpha\gamma - \beta^2) \cdot (\beta\delta - \gamma^2)}{4 \cdot \alpha^4}}},$$

Hiernach lässt sich die Bedingung der Irreducibilität auch in folgender Weise aussprechen: $4(\alpha\gamma - \beta^2) \cdot (\beta\delta - \gamma^2) > (\alpha\delta - \beta\gamma)^2$. Weil wir nun schon wissen, dass in diesem Falle $\beta^2 - \alpha\gamma$ positiv sein muss, so ist es auch nöthig, dass $\gamma^2 - \beta\delta$ positiv ist, d. h. die zwei massgebenden Bedingungen für den reducibeln Fall involviren folgende zwei Bedingungen: $\beta^2 > \alpha\gamma$ und $\gamma^2 > \beta\delta$.

Aus der von Newton (*Arithmetica universalis*, pag. 184.) zur Entdeckung imaginärer Wurzeln aufgestellten Regel würde schon folgen, dass, wenn diese beiden letzten involvirten Bedingungen allein zutreffen, auf keine imaginären Wurzeln zu schliessen wäre. Freilich fügt er selbst zu seiner Regel hinzu: *Atque haec ita se habent, ubi non sunt plures impossibiles radices quam per regulam allatam deteguntur; possunt enim plures esse, licet id perraro eveniat.* Auch Campbell (*ibid.* pag. 342) sieht sich genöthigt, zu der von ihm verbesserten Newton'schen Regel den Zusatz zu machen: *Tot ad minimum erunt radices impossibiles.*

Müller giebt für den irreducibeln Fall auch die trigonometrische Lösung. Indem wir unsrer frühern Bezeichnung gemäss setzen:

$$K = -\frac{\alpha(\alpha\delta - \beta\gamma) - 2\beta \cdot (\alpha\gamma - \beta^2)}{2 \cdot \alpha^3}, \quad L = \sqrt{\frac{4 \cdot (\alpha\gamma - \beta^2) \cdot (\beta\delta - \gamma^2) - (\alpha\delta - \beta\gamma)^2}{4 \cdot \alpha^4}},$$

kommt er durch die Annahme $K + iL = r^3(\cos z + i \cdot \sin z)$,

$$K - iL = r^3(\cos z - i \cdot \sin z)$$

leicht zu den Resultaten: $p = r\left(\cos \frac{z}{3} + i \sin \frac{z}{3}\right)$, $q = r\left(\cos \frac{z}{3} - i \sin \frac{z}{3}\right)$,

$$r^3 = \sqrt{K^2 + L^2}, \quad \operatorname{tg} z = \frac{L}{K}, \quad x = -\frac{\beta}{\alpha} + 2r \cos \frac{z}{3}, \quad x = -\frac{\beta}{\alpha} - 2r \cos\left(60 \pm \frac{z}{3}\right).$$

Wir können aber noch einen Schritt weiter gehen. Da nämlich $K = -\frac{d}{2}$,

$$L = \sqrt{\left(\frac{d}{2}\right)^2 - \varphi^2} \text{ ist, so ist } K^2 + L^2 = -\varphi^3 = \left(\frac{\beta^3 - \alpha\gamma}{\alpha^3}\right)^3, \text{ und}$$

$$(r.) \quad x = \left\{ \begin{array}{l} -\frac{\beta}{\alpha} + 2 \sqrt{\frac{\beta^3 - \alpha\gamma}{\alpha^3}} \cdot \cos \frac{z}{3} \\ -\frac{\beta}{\alpha} + \sqrt{\frac{\beta^3 - \alpha\gamma}{\alpha^3}} \left(-\cos \frac{z}{3} \pm \sqrt[3]{3} \cdot \sin \frac{z}{3} \right) = -\frac{\beta}{\alpha} - 2 \sqrt{\frac{\beta^3 - \alpha\gamma}{\alpha^3}} \cdot \cos\left(60 \pm \frac{z}{3}\right) \end{array} \right\}$$

$$\text{wobei } \cos z = \frac{-\frac{\alpha}{2} \cdot \alpha\delta - \beta\gamma - \beta \cdot (\beta^3 - \alpha\gamma)}{\sqrt{(\beta^3 - \alpha\gamma)^3}} \text{ ist.}$$

Aus der oben für den irreducibeln Fall gemachten zweiten Annahme ergibt sich, dass dieser Ausdruck für $\cos z$ stets als ein echter Bruch wird befunden werden.

§ 25. Wir gehen nun zum reducibeln Fall über, nehmen also an, dass jetzt

$$4 \cdot (\alpha \gamma - \beta^2) \cdot (\beta \delta - \gamma^2) < (\alpha \delta - \beta \gamma)^2 \text{ sei.}$$

Es bleibt dann $K = -\frac{\alpha(\alpha\delta - \beta\gamma) - 2\beta(\alpha\gamma - \beta^2)}{2\alpha^2}$, aber es ist nun

$$L = \sqrt{(\alpha\delta - \beta\gamma)^2 - 4 \cdot (\alpha\gamma - \beta^2) \cdot (\beta\delta - \gamma^2)}.$$

I. Es sei $K^2 > L^2$,

zunächst ist dann $y = \sqrt[3]{K+L} + \sqrt[3]{K-L}$ d. h. (nach § 13 und § 17. 1)

$$y = \left\{ \begin{array}{l} 2 \sqrt[6]{K^2 - L^2} \cdot \cos \frac{z}{3} \\ \sqrt[6]{K^2 - L^2} \left(-\cos \frac{z}{3} \pm i \sqrt{3} \sin \frac{z}{3} \right) \end{array} \right\}, \text{ wobei } \cos z = \frac{K}{\sqrt{K^2 - L^2}}.$$

Weil nun auch $K = -\frac{d}{2}$, $L = \sqrt{\left(\frac{d}{2}\right)^2 + \varphi^3}$, also $K^2 - L^2 = -\varphi^3$
 $= \left(\frac{\beta^2 - \alpha\gamma}{\alpha^2}\right)^3$ ist, so haben wir:

$$x = \left\{ \begin{array}{l} -\frac{\beta}{\alpha} + 2 \frac{\sqrt{\beta^2 - \alpha\gamma}}{\alpha} \cdot \cos \frac{z}{3} \\ -\frac{\beta}{\alpha} + \frac{\sqrt{\beta^2 - \alpha\gamma}}{\alpha} \left(-\cos \frac{z}{3} \pm i \sqrt{3} \sin \frac{z}{3} \right) \end{array} \right\} \text{ wobei } \cos z = \frac{-\frac{\alpha}{2} (d\delta - \beta\gamma) - \beta(\beta^2 - \alpha\gamma)}{\sqrt{(\beta^2 - \alpha\gamma)^3}} \quad (\text{R.})$$

II. Ist aber $L^2 > K^2$, so hat man (nach § 14 und § 17. 2) vorerst zu schreiben:

$$y = \left\{ \begin{array}{l} 2 \sqrt[6]{L^2 - K^2} \sin \frac{z}{3} \\ \sqrt[6]{L^2 - K^2} \left(-\sin \frac{z}{3} \pm i \sqrt{3} \cos \frac{z}{3} \right) \end{array} \right\} \text{ wobei } \sin z = \frac{K}{\sqrt{L^2 - K^2}}.$$

Da aber $L^2 - K^2 = \varphi^3 = \left(\frac{\alpha\gamma - \beta^2}{\alpha^2}\right)^3$ ist, so findet sich:

$$x = \left\{ \begin{array}{l} -\frac{\beta}{\alpha} + 2 \frac{\sqrt{\alpha\gamma - \beta^2}}{\alpha} \sin \frac{z}{3} \\ -\frac{\beta}{\alpha} + \frac{\sqrt{\alpha\gamma - \beta^2}}{\alpha} \left(-\sin \frac{z}{3} \pm i \sqrt{3} \cos \frac{z}{3} \right) \end{array} \right\} \text{ wobei } \sin z = \frac{-\frac{\alpha}{2} (\alpha\delta - \beta\gamma) + \beta(\alpha\gamma - \beta^2)}{\sqrt{(\alpha\gamma - \beta^2)^3}} \quad (\text{R.})$$

§ 26. Ich halte es für zweckmässig, noch eine Zusammenstellung der zur trigonometrischen Auflösung sämtlicher kubischer Gleichungen nothwendigen Formeln zu geben:

$$\text{A) } x^3 + \delta = 0.$$

$$x = \sqrt[3]{-\delta}, \text{ auch } = \sqrt[3]{-\delta} (-\cos 60^\circ \pm i \sin 60^\circ).$$

$$B) x^3 + 3 \gamma x + \delta = 0.$$

Für den irreducibeln Fall, wenn nämlich $-\gamma^3 > \left(\frac{\delta}{2}\right)^2$ ist:

$$x = \left\{ \begin{array}{l} 2 \cdot \sqrt{-\gamma} \cos \frac{z}{3} \\ \sqrt{-\gamma} \left(-\cos \frac{z}{3} \pm \sqrt{3} \cdot \sin \frac{z}{3} \right) = -2 \sqrt{-\gamma} \cdot \cos \left(60^\circ \pm \frac{z}{2} \right) \end{array} \right\} \quad \text{wobei} \quad \cos z = \frac{-\frac{\delta}{2}}{\sqrt{-\gamma^3}}.$$

Für den reducibeln Fall:

$$x = \left\{ \begin{array}{l} 2 \sqrt{-\gamma} \cdot \cos \frac{z}{3} \\ \sqrt{-\gamma} \cdot \left(-\cos \frac{z}{3} \pm i \sqrt{3} \sin \frac{z}{3} \right) \end{array} \right\} \quad \left| \quad x = \left\{ \begin{array}{l} 2 \sqrt{\gamma} \cdot \sin \frac{z}{3} \\ \sqrt{\gamma} \left(-\sin \frac{z}{3} \pm i \sqrt{3} \cos \frac{z}{3} \right) \end{array} \right\} \right.$$

wobei $\cos z = \frac{-\frac{\delta}{2}}{\sqrt{-\gamma^3}} \quad \left| \quad \text{wobei} \quad \sin z = \frac{-\frac{\delta}{2}}{\sqrt{\gamma^3}}.$

$$C) x^3 + 3 \beta x^2 + \delta = 0.$$

Für den irreducibeln Fall, wenn nämlich $-\beta^3 \delta > \left(\frac{\delta}{2}\right)^2$ ist:

$$x = \left\{ \begin{array}{l} -\beta + 2\beta \cdot \cos \frac{z}{3} \\ -\beta + \beta \left(-\cos \frac{z}{3} \pm i \sqrt{3} \sin \frac{z}{3} \right) = -\beta - 2\beta \cos \left(60^\circ \pm \frac{z}{3} \right) \end{array} \right\},$$

wobei $\cos z = -1 - \frac{\frac{\delta}{2}}{\beta^3}.$

Für den reducibeln Fall:

$$x = \left\{ \begin{array}{l} -\beta + 2\beta \cos \frac{z}{3} \\ -\beta + \beta \left(-\cos \frac{z}{3} \pm i \sqrt{3} \sin \frac{z}{3} \right) \end{array} \right\}, \quad \text{wobei} \quad \cos z = -1 - \frac{\frac{\delta}{2}}{\beta^3}.$$

$$D) \alpha x^3 + 3 \beta x^2 + 3 \gamma x + \delta = 0.$$

Für den irreducibeln Fall: $4 \cdot (\alpha \gamma - \beta^2) \cdot (\beta \delta - \gamma^2) > (\alpha \delta - \beta \gamma)^2$; $\beta^2 > \alpha \gamma$.

$$x = \left\{ \begin{array}{l} -\frac{\beta}{\alpha} + \frac{2 \sqrt{\beta^2 - \alpha \gamma}}{\alpha} \cdot \cos \frac{z}{3} \\ -\frac{\beta}{\alpha} + \frac{\sqrt{\beta^2 - \alpha \gamma}}{\alpha} \left(-\cos \frac{z}{3} \pm i \sqrt{3} \sin \frac{z}{3} \right) = -\frac{\beta}{\alpha} - 2 \frac{\sqrt{\beta^2 - \alpha \gamma}}{\alpha} \cdot \cos \left(60^\circ \pm \frac{z}{3} \right) \end{array} \right\}$$

wobei $\cos z = \frac{-\frac{\alpha}{2} \cdot (\alpha \delta - \beta \gamma) - \beta \cdot (\beta^2 - \alpha \gamma)}{\sqrt{(\beta^2 - \alpha \gamma)^3}}.$

Für den reducibeln Fall:

$$x = \left\{ \begin{array}{l} -\frac{\beta}{\alpha} + \frac{2 \sqrt{\beta^2 - \alpha \gamma}}{\alpha} \cdot \cos \frac{z}{3} \\ -\frac{\beta}{\alpha} + \frac{\sqrt{\beta^2 - \alpha \gamma}}{\alpha} \left(-\cos \frac{z}{3} \pm i \sqrt{3} \sin \frac{z}{3} \right) \end{array} \right\} \quad \left| \quad x = \left\{ \begin{array}{l} -\frac{\beta}{\alpha} + \frac{2 \sqrt{\alpha \gamma - \beta^2}}{\alpha} \cdot \sin \frac{z}{3} \\ -\frac{\beta}{\alpha} + \frac{\sqrt{\alpha \gamma - \beta^2}}{\alpha} \cdot \left(-\sin \frac{z}{3} \pm i \sqrt{3} \cos \frac{z}{3} \right) \end{array} \right\}$$

wobei $\cos z = \frac{-\frac{\alpha}{2} (\alpha \delta - \beta \gamma) - \beta \cdot (\beta^2 - \alpha \gamma)}{\sqrt{(\beta^2 - \alpha \gamma)^3}} \quad \left| \quad \text{wobei} \quad \sin z = \frac{-\frac{\alpha}{2} (\alpha \delta - \beta \gamma) + \beta \cdot (\alpha \gamma - \beta^2)}{\sqrt{(\alpha \gamma - \beta^2)^3}}.$

Beispiele zum reducibeln Falle.

§ 27. *Beispiel 1.* $x^3 + x = 10$; ($f = -\frac{1}{3}$, $g = 5$.)

Hier ist $\log \sin z = 1,41465$.

Da nun nach den Differenzen in den Tafeln 328: $328 = 244$: p , also $p = 244$ ist,

so ist $z = 1,71584$: Modul, $\frac{z}{3} = 0,57195$: M.

und ohne Weiteres: $\log \sin \frac{z}{3} = 0,23856$
 $= \frac{0,47712}{2}$ $\left. \vphantom{\log \sin \frac{z}{3}} \right\} \log \cos \frac{z}{3} = 0,30103,$

d. h. $\sin \frac{z}{3} = \sqrt[3]{3}$, $\cos \frac{z}{3} = 2$. Also $x = 2$ und $x = -1 \pm 2 \cdot i$.

Beispiel 2. $x^3 + 3x = 76$; ($f = -1$, $g = 38$.)

$\log \sin z = 1,57978$; $81 : 26 = 80 : p$; also $p = 26$.

$z = 1,88089$, $\frac{z}{3} = 0,62696$.

$28 : 2 = 32 : p$, $p = 2$; $\log \sin \frac{z}{3} = 0,30102$.

$28 : 2 = 25 : p$, $p = 2$; $\log \cos \frac{z}{3} = 0,34948 = \frac{0,69896}{2}$.

Also $\sin \frac{z}{3} = 2$, $\cos \frac{z}{3} = \sqrt[3]{5}$. — Demnach $x = 4$ und $x = -2 \pm i \sqrt[3]{15}$.

Beispiel 3. $x^3 + \frac{223}{64}x + \frac{119}{32} = 0$. Hier ist f und g negativ. Man setze $x = -X$.

Dies giebt $X^3 + \frac{223}{64}X = \frac{119}{32}$. Da nun $\log(-g) = 0,26937$, und $\log(-f) = 0,06500$,

so ist $\log \sin z = 0,17187$; $27 : 4 = 23 : p$, $p = 3$; $z = 0,51537$; $\frac{z}{3} = 0,17179$.

$14 : 10 = 36 : p$, $p = 26$; $\log \sin \frac{z}{3} = 9,60849$,

$14 : 10 = 5 : p$, $p = 4$; $\log \cos \frac{z}{3} = 0,03313$,

$X = 0,87502$

$X = -0,43751 \pm 2,0146 \cdot i$

$$\left| \begin{array}{l} x = -\frac{7}{8} \\ x = \frac{7 \mp \sqrt{1039}}{16} \cdot i \end{array} \right.$$

Beispiel 4. $x^3 = 12x + 28$. ($f = 4$, $g = 14$.)

$\log \cos z = 0,24304$. — Sofort: $z = 0,50326$; $\frac{z}{3} = 0,16775$.

Sofort $\log \cos \frac{z}{3} = 0,03162$ und $\log \sin \frac{z}{3} = 9,59762$.

Demnach $x = 4,0321$ und $x = -2,1511 \pm 1,3715 \cdot i$.

Beispiel 5. $x^3 = 13,3592 \cdot x + 24,6377$; ($f = 4,4531$, $g = 12,3189$.)

Auf diese Gleichung kam Klügel (*Astronomisches Jahrbuch*, Berlin 1782, pag. 197), als er aus zwei geocentrischen Oertern des Uranus dessen Entfernung von der Sonne ($y = x^2$), in Halbmessern der Erdbahn ausgedrückt, suchte. Er fand damals $x = 4,3599$. Später in seinem Wörterbuch (II. pag. 392.) findet er durch die cardanische Formel $x = 4,36004$, also beiläufig $y = 19,009949$.

Auch löst Klügel (II. 600) dieselbe Gleichung nach den nur von Grad zu Grad fortschreitenden Lambert'schen Tafeln und findet die reelle Wurzel $x = 4,368$; die beiden imaginären Wurzeln würden sich nach denselben Tafeln ergeben: $x = -2,184 \pm 0,568 \cdot \sqrt[3]{3} \cdot i$ oder $= -2,184 \pm 0,983 \cdot i$.

Wir wollen nun dasselbe Beispiel nach unsern Tafeln berechnen:

Es ist $\log g = 1,0905703$; $\log \sqrt[3]{f^3} = 0,9729888$.

Also $\log \cos z = 0,1175815$; $1071 : 243 = 1657 : p$; $p = 376$.

$$z = 0,3341744; \frac{z}{3} = 0,1113915.$$

$$1306 : 301 = 328 : p; p = 76; \text{ also } \log \cos \frac{z}{3} = 0,0141314,$$

$$1306 : 301 = 5198 : p; p = 1198; \text{ also } \log \sin \frac{z}{3} = 9,4138191.$$

$$\text{Folglich } x = 4,360045 \text{ und } x = \begin{cases} -2,180023 \pm i \cdot 0,9477842. \text{ oder} \\ -2,180023 \pm i \cdot 0,5472028 \cdot \sqrt[3]{3}. \end{cases}$$

§ 28. *Beispiel 6.* Um bei der vorläufigen Hypothese, dass ein Comet sich in einer Parabel bewegt, aus seinem kleinsten Abstände von der Sonne (q) und der Zeit (t), welche seit seinem Durchgange durchs Perihelium verflossen ist, die wahre Anomalie (v) zu finden, dazu dient bekanntlich folgende Gleichung:

$$\operatorname{tg} \frac{1}{2} v^3 + 3 \cdot \operatorname{tg} \frac{1}{2} v = \frac{M}{2q}, = 2 \cdot g.$$

$$\text{wo } M = m \cdot t, m = \frac{C}{q^3}, \log C = 9,9601277 \text{ ist.}$$

Da nun die von Luther in Bilk verbesserten Barker'schen Tafeln für jedes M sofort das entsprechende v „bis auf einige Hunderttheile der Sekunde genau“ angeben, so kann es mir nicht einfallen, etwas Besseres an die Stelle setzen zu wollen; auch verlangt das gewiss Niemand, weil diese Gleichung, in welcher stets $f = -1$ ist, nur ein specieller Fall unsrer allgemeiner kubischen Gleichung ist. Dennoch scheint es mir zweckmässig, ein Paar auf verschiedene Stellen dieser Tafeln bezügliche Beispiele zu berechnen. Zu dem Ende entnehmen wir aus der neuen Ausgabe von Olber's Abhandlung über die Cometenbahnen die nöthigen Data.

Comet 156. Es ist $\log q = 9,7913017$. Wie gross ist r für $t = 4$ Tage?

Hier ist $\log m = 0,2731752$, $\log M = 0,8752352$, $M = 7,503005$ und folglich nach den Barker'schen Tafeln $v = 11^\circ 23' 17''$, 65.

Die in § 22 aufgestellten Formeln O und die in § 9 entwickelten Formeln $\sin z = \operatorname{tg} w$, $z = \log. \operatorname{tg}. \left(45^\circ + \frac{w}{2}\right)$ ergeben:

$$\log \sin z = \log \frac{M}{50} = \log g = 9,1762652, \text{ also } w = 8^\circ 32' 2'', 88,$$

$$z = 0,0649281, \frac{z}{3} = 0,0216427, \dots w^1 = 2^\circ 51' 14'', 76,$$

$\log \sin \frac{z}{3} = 8,6977059$, $\log \operatorname{tg} \frac{1}{2} v = 8,9987359$, $v = 11^\circ 23' 17''$, 54. Mithin ist die Abweichung von den Barker'schen Tafeln $\Delta = 0''$ 11.

Rechnet man dieses Beispiel nach den neuen Tafeln, so erhält man, wenn dieselben nur auf sieben Stellen berechnet werden, $\log \sin \frac{z}{3} = 8,6977051$ und $v = 11^\circ 23' 17''$, 48, also ist die Abweichung jetzt noch grösser, nämlich $\Delta = 0''$, 17. Dies liegt vorzugsweise daran, dass in dieser Gegend die z 's wegen der voranstehenden 0 eigentlich nur sechsstellig sind. (S. dritten Anhang § 42.)

Beispiel 7. Comet 133. Hier ist $\log q = 8,9629523$. Es sei $t = 10,45694$ Tage. Also ist $\log M = 2,5351028$ und nach den Barker'schen Tafeln $v = 126^\circ 25' 34''$, 04.

Durch unsre Formeln ergibt sich: $\log \sin z = 0,8361338$, $w = 81^\circ 42' 9''$, 629, $z = 1,1394546$, $\frac{z}{3} = 0,3798182$, $w^1 = 44^\circ 43' 24''$, 374,

$$\log \sin \frac{z}{3} = 9,9958073, \log \operatorname{tg} \frac{v}{2} = 0,2968373. \text{ } v = 126^\circ 25' 33''$$
, 98; $\Delta = 0''$, 06.

Siebenstellige Tafeln liefern dasselbe Resultat, wie die unmittelbare Benutzung der Formeln.

Beispiel 8. Der grosse Comet von 1843. Nr. 161. (Santini's Parabel.) (Vergl. vierten Anhang § 45.) Es ist $\log q = 7,90272$. Man sucht v für $t = 92$ Tage.

Da $\log M = 5,0698355$, so ist nach den Barker'schen Tafeln mit Benutzung der zweiten Differenzen: $v = 173^\circ 8' 29'', 95$.

Dasselbe Resultat erhält man auch durch Bessel's Hilfstafel zu der Barker'schen Tafel. Nämlich aus dem dortigen $\sin w = \sqrt{\frac{200}{M}}$ folgt $w = 173^\circ 8' 29'', 63$ und dann aus der Hilfstafel $\delta = 0'', 32$, folglich $v = 173^\circ 8' 29'', 95$.

Bevor ich dieses Beispiel nach den neuen hyperbolischen Tafeln berechne, will ich erst die älteren Methoden daran prüfen.

1) Bessel in seinen Vorlesungen über Algebra, 1823, löste die Gleichung $x^3 = 3fx + 2g$ im reducibeln Falle, wenn f negativ ist, durch Hilfswinkel folgendermassen:*)

$$x = 2\sqrt{-f} \cdot \cotg 2u, \text{ wo } \tg h = \frac{\sqrt{-f^3}}{g} \text{ und } \tg u = \sqrt[3]{\tg \frac{1}{2} h} \text{ ist.}$$

Diese Gleichungen sind in die Lehren der Algebra von Baltrusch, 1847, pag. 99 übergegangen und durch Grunert 1852 in die astronomischen Nachrichten Nr. 805, pag. 210.

Aus $\log g = 3,3708655$ folgt mit Vernachlässigung der zweiten Differenzen $h = 0^\circ 1' 27'', 81404$, $u = 3^\circ 25' 1'', 162$,

$$\log x = \log \tg \frac{h}{2} = 1,2224126, v = 173^\circ 8' 29'', 86, \text{ also } \Delta = 0'', 09.$$

2) Marth (astronomische Nachrichten 1856, Nr. 1016, pag. 118) giebt diesen Gleichungen eine etwas andere Gestalt, nämlich

$$x = 2\sqrt{-f} \cdot \frac{\cos \psi^3}{\sin \psi}, \text{ wo } \tg h = \frac{\sqrt{-f^3}}{g} \text{ und } \sin \psi = \sqrt[3]{\tg \frac{1}{2} h} \text{ ist.}$$

Von diesen Gleichungen sagt Marth, dass ihre Anwendung „wohl nur in solchen Fällen nicht unvorteilhaft sei, in welchen die Benutzung der Barker'schen Tafel weitläufig wird, also nur bei grossem $\frac{g}{f}$.“ Da in unserm Beispiel $\frac{g}{f}$ sehr gross ist, so wird eine Berechnung desselben nach diesen etwas abgeänderten Formeln nicht uninteressant sein:

Es ergibt sich $\log \sin \psi = 8,7760363$, $\psi = 3^\circ 25' 23'', 35$; $2 \log \cos \psi = 9,9984490$; $\log x = 1,2224127$, $v = 173^\circ 8' 29'', 87$, also doch wie vorhin $\Delta = 0'', 09$.

*) Ist f positiv, so ist beiläufig $x = 2\sqrt{f} \cdot \operatorname{cosec} 2u$, wo $\sin h = \frac{\sqrt{f^3}}{g}$ und $\tg u = \sqrt[3]{\tg \frac{1}{2} h}$ ist

3) Marth's Absicht an der bezeichneten Stelle ist aber eigentlich, durch neue Hilfstafeln in Verbindung mit den Zech'schen Additionstafeln, wie ich schon in der Einleitung erwähnt habe, die kubischen Gleichungen im reducibeln Falle indirect zu lösen. Er bringt die Gleichung $x^3 + ax = b$ für den vorliegenden Fall, dass $\frac{b}{a^{\frac{1}{3}}} > 2$ ist, auf die Form:*)

$$\left(1 + \frac{1}{x^3}\right) \cdot \left(\frac{x^3}{a}\right)^{\frac{1}{3}} = \frac{b}{a^{\frac{1}{3}}}, \text{ oder } \left\{\frac{x^3}{a}\right\} \cdot \left(\frac{x^3}{a}\right)^{\frac{1}{3}} = \frac{b}{a^{\frac{1}{3}}}$$

Da $a = -3f$, $b = 2g$ ist, so ist für unser Beispiel $\log\left(\frac{b}{a^{\frac{1}{3}}}\right) = 2,9562135,5,^{**}$

Dafür giebt seine Hilfstafel zunächst $\log\left(\frac{x^3}{a}\right)$ zwischen 1,96 und 1,98 an, durch eine einfache Proportion findet er dann $\log\left(\frac{x^3}{a}\right)$ genauer zwischen 1,9677 und 1,9678. Für jeden dieser Werthe geben ihm die Zech'schen Additionstafeln das entsprechende $\log\left\{\frac{x^3}{a}\right\}$. Dadurch erhält er für $\log\left(\frac{b}{a^{\frac{1}{3}}}\right)$ folgende zwei Werthe, die den obigen wahren Werth einschliessen: 2,9562032 und 2,9563522.

Endlich giebt die Proportion $1490 : 103,5 = 1000 : \underline{69,4}$
 $\log\left(\frac{x^3}{a}\right) = 1,9677069,4$, daher $\log x = \log \operatorname{tg} \frac{v}{2} = 1,2224141$,
 $v = 173^{\circ} 8' 29'',94$; also ist nur $A = 0'',01$.

4) Ich gehe nun dazu, über das vorliegende Beispiel nach den Formeln in § 9 zu berechnen.

Aus $\log g = \log \operatorname{Sin} z = \log \operatorname{tg} w = 3,3708655$ würde durch die Hülse'schen Tafeln, die an dieser Stelle von 10 zu 10 Sekunden fortschreiten, und mit blosser Benutzung der hier sehr grossen ersten Differenzen folgen: $w = 89^{\circ} 58' 32'',08845$. Dies würde geben: $z = 3,6740297$, $\frac{z}{3} = 1,2246766$, $w' = 83^{\circ} 10' 37'',934$, $\log \operatorname{Sin} \frac{z}{3} = 0,9221011$, $\log \operatorname{tg} \frac{1}{2} v = 1,2231311$, $v = 173^{\circ} 9' 10'',58$, also $A = 40'',63$.

Um aber den Anfang der Hülse'schen Tafeln, wo die Winkel von Sekunde zu Sekunde wachsen, benutzen zu können, beachte man, dass

$$\log \cot g w = -\log \operatorname{tg} w = 6,6291345 - 10 = \log \operatorname{tg} (90^{\circ} - w) \text{ ist.}$$

*) Ist $\frac{b}{a^{\frac{1}{3}}} < 2$, so giebt er der kubischen Gleichung folgende Gestalt:

$$\left\{\frac{a}{x^3}\right\} \cdot \left(\frac{a}{x^3}\right)^{-\frac{1}{3}} = \frac{b}{a^{\frac{1}{3}}}, \text{ wo } 1 + \frac{1}{x^3} = \left\{\frac{a}{x^3}\right\} \text{ gesetzt ist.}$$

**) Der Punkt zwischen den letzten Ziffern (5,5) soll hier und in der Folge bei ähnlichen Gelegenheiten angeben, dass hinter demselben eine neue Reihe von Decimalstellen beginnt.

Dann findet man bei blosser Benutzung der ersten Differenzen:

$$\begin{aligned} 90^\circ - w &= 0^\circ 1' 27'', 81404, w = 89^\circ 58' 32'', 18596, \\ z &= \log \operatorname{tg} (90^\circ - 43'', 90702) = -\log \operatorname{tg} 43'', 90702 = 3,6718912, \\ \frac{z}{3} &= 1,2239637, w' = 83^\circ 9' 57'', 677, \log \operatorname{Sin} \frac{z}{3} = 0,9213826, \\ \log \operatorname{tg} \frac{r}{2} &= 1,2224126, r = 173^\circ 8' 29'', 86, \text{ also doch noch } A = 0'', 09. \end{aligned}$$

Bedenkt man aber, dass bei sehr kleinen Winkeln die entsprechenden Tangenten in geometrischem Verhältnisse wachsen, so erhält man folgende Resultate:

$$\begin{aligned} 90^\circ - w &= 0^\circ 1' 27'', 81318, z = 3,6718953, w' = 83^\circ 9' 57'', 752, \\ \log \operatorname{Sin} \frac{z}{3} &= 0,9213840, r = 173^\circ 8' 29'', 94, \text{ also nur } A = 0'', 01. \end{aligned}$$

5) Endlich wollen wir das Beispiel nach unsern neuen Tafeln berechnen.

Aus $\log \operatorname{Sin} z = 3,3708655$ findet man durch diese Tafeln und durch die Proportion: $511526 : 511525 = 106829 : p$, wo also $p = 106829$ ist,
 $z = 3,6612126 + 106829 = 3,6718955$. Und wiederum aus $\frac{z}{3} = 1,2239652$ ergibt sich durch die Proportion $10605 : 10209 = 10681 : p$, wo $p = 10282$ ist, dass
 $\log \operatorname{Sin} \frac{z}{3} = 0,9023559 + 10282 = 0,9213841$ und dass folglich
 $\log \operatorname{tg} \frac{r}{2} = 1,2224141, r = 173^\circ 8' 29'', 94, \text{ also auch nur } A = 0'', 01 \text{ ist.}$

Beispiel 9. Comet 177. $\log q = 8,6233972, t = 0,05$ Tage.

Aus $M = 5,296657$ folgt nach den Barker'schen Tafeln $v = 8^\circ 3' 57'', 47$.

Die Lambert'schen Formeln in § 9 ergeben aus $\log \operatorname{Sin} z = 9,0250319$ zunächst
 $w = 6^\circ 2' 49'', 094$, dann $z = 0,0459206, w' = 2^\circ 1' 8'', 392, \log \operatorname{Sin} \frac{z}{3} = 8,5471930$,
 $v = 8^\circ 3' 57'', 56$, also $A = 0'', 09$.

Nach den neuen Tafeln, wenn sie durchweg nur auf sieben Stellen berechnet sind, ergibt sich: $z = 0,0459206, \log \operatorname{Sin} \frac{z}{3} = 8,5471928, v = 8^\circ 3' 57'', 54$, also
 $A = 0'', 07$. (S. vierten Anhang, § 43.)

Beispiel 10. Bei demselben Cometen, den Hind schon am Tage seines Durchgangs durch das Perihel beobachtete, sucht man die wahre Anomalie für $t = 0,0007$ Tage.

Aus $M = 0,0741532$ folgt nach Barker's Tafeln $v = 0^\circ 6' 47'', 87$.

Durch die Lambert'schen Formeln ergibt sich aus $\log \operatorname{Sin} z = 7,1711599$

bei blosser Benutzung der ersten Differenzen nach einander $\omega = 0^0 5' 5'' 94327$, $z = 0,0006441$, $\omega' = 0^0 1' 41'' 970$, $\log \sin \frac{z}{3} = 6,6937293$, $r = 0^0 6' 47'' 58$, also $A = 0'' 29$. Lässt man aber nicht ausser Acht, dass hier die ω so klein sind, dass die ihnen entsprechenden hyperbolischen Sinus mit ihnen im gleichen geometrischen Verhältnisse wachsen, so findet man $\omega = 0^0 5' 5'' 9036$, z und ω' wie vorher, $\log \sin \frac{z}{3} = 6,6940473$, $r = 0^0 6' 47'' 88$, also nur $A = 0'' 01$.

Nach den neuen Tafeln, wenn sie durchweg nur auf sieben Stellen berechnet sind und wenn man nur die ersten hier sehr grossen Differenzen bei $\log \sin$ in Betracht zieht, folgt $z = 0,0006441$, $\log \sin \frac{z}{3} = 6,6936563$, $r = 0^0 6' 47'' 51$, also gar $A = 0'' 36$. Beachtet man aber auch hier, dass bei kleinen hyperbolischen Sektoren und den zugehörigen Sinus das geometrische Verhältniss massgebend ist, so erhält man $z = 0,0006441.313$, $\log \sin \frac{z}{3} = 6,6939696$, $r = 0^0 6' 47'' 81$, also $A = 0'' 06$. (S. dritten Anhang § 42 und vierten Anhang § 43.)

§ 29. *Beispiel II.* Ein prismatisches Haarröhrchen, dessen Querschnitt ein gleichschenkliges Dreieck ist, und ein cylindrisches Haarröhrchen, bei welchem der gegebene Radius des Querschnitts r ist, haben in diesen Querschnitten gleichen Umfang. Die Steighöhe soll beim prismatischen Röhrchen m mal grösser sein, als beim andern. Wie gross hat man die Seite (x) des gleichschenkligen Dreiecks und wie gross seine Basis (y) zu nehmen?

Auflösung. Wegen der gleichen Umfänge müssen die Volumina der über das Nivean gehobenen Flüssigkeiten gleich sein; also ist der Querschnitt beim Prisma $\frac{1}{m}$ des Querschnitts beim Cylinder. Wir haben daher die Gleichungen: $2 r \pi = 2 x + y$, $r^2 \pi = m \cdot \frac{y}{2} \cdot \sqrt{x^2 - \left(\frac{y}{2}\right)^2}$; aus ihnen folgt: $y^3 - r \pi \cdot y^2 + \frac{4 r^3 \pi}{m^2} = 0$. — Hat man die Gleichung $y^3 + 3 \beta y^2 + \delta = 0$, so findet der für uns passende reducible Fall statt, wenn $-\beta^3 < \frac{\delta}{4}$ ist: es müsste also $m < \frac{3 \sqrt[3]{3}}{\pi}$ d. h. $< 1,6540$, oder es müsste $\frac{1}{m} > 0,60461$ sein*). Dieses ist aber nicht möglich, denn da unter den Dreiecken

*) Man vergleiche, was Euler in seiner Differenzial-Rechnung § 306 über die Grenzen von δ im reducibeln Falle sagt.

mit gleichem Umfang das gleichseitige an Inhalt ein Maximum ist, und da selbst der Inhalt eines gleichseitigen Dreiecks, das mit einem Kreise gleichen Umfang hat, nur $\frac{\pi}{3\sqrt{3}} = 0,60461$ des Kreises ist, so ist der Inhalt eines gleichschenkligen Dreiecks, das mit einem Kreise gleichen Umfang hat, nothwendig weniger als 0,60461 des Kreises. Daher wird die Steighöhe beim Prisma stets mehr als 1,6540 mal grösser sein wie beim Cylinder mit gleichem Umfang. Die Praxis verlangt also, dass $m > \frac{3\sqrt{3}}{\pi}$ ist. Dann aber tritt der irreducible Fall ein, und weil unsere Gleichung die Beschaffenheit hat, dass die Summe der drei Wurzeln positiv und ihr Produkt negativ ist, so wird man zwei Wurzeln positiv und eine negativ finden, es werden sich also gewiss zwei verschiedene für die Praxis brauchbare Auflösungen ergeben. Setzen wir z. B. $m = 2$ und $r = 1$, so folgt aus der Gleichung

$$y^3 - \pi y^2 + \pi = 0, \text{ für welche } \beta = -\frac{\pi}{3}, \delta = \pi \text{ ist,}$$

$$y = \left\{ \begin{array}{l} \frac{\pi}{3} - \frac{2\pi}{3} \cdot \cos \frac{z}{3} \\ \frac{\pi}{3} + \frac{2\pi}{3} \cdot \cos \left(60 \pm \frac{z}{3} \right) \end{array} \right\} \text{ wobei } \cos z = -1 + \frac{27}{2\pi^2} \text{ ist.}$$

$$\begin{array}{l} \text{Demnach ist } z = 68^\circ 25' 6'' \text{ und } y = -0,88345 \quad \left| \begin{array}{l} = 1,30938 \\ = 2,71563, \end{array} \right. \\ x = 3,58331 \quad \left| \begin{array}{l} = 2,48690 \\ = 1,78388. \end{array} \right. \end{array}$$

Die Deutung der negativen Wurzel gehört in den zweiten Theil der Schrift: Ueber die allgemeine Gültigkeit mathematischer Formeln.

Da wir uns aber vorgenommen haben, nur solche Beispiele zu wählen, die auf den reducibeln Fall führen, so wollen wir, unbekümmert um den Erfolg, $m = 1$ setzen. Wir erhalten dann $\beta = -\frac{r\pi}{3}, \delta = 4 \cdot r^3 \pi$,

$$y = \left\{ \begin{array}{l} \frac{r\pi}{3} - \frac{2r\pi}{3} \cdot \cos \frac{z}{3} \\ \frac{r\pi}{3} - \frac{r\pi}{3} \left(-\cos \frac{z}{3} \pm i\sqrt{3} \cdot \sin \frac{z}{3} \right) \end{array} \right\} \text{ wobei } \cos z = -1 + \frac{54}{\pi \cdot \pi}.$$

$$\text{Es ist also } \log \cos z = 0,65044, z = 0,94593,$$

$$\log \cos \frac{z}{3} = 0,10563, \log \sin \frac{z}{3} = 9,89847, \text{ und für } r = 1 \text{ hat man:}$$

$$y = -1,6239, \text{ auch } = 2,3828 \pm i \cdot 1,4357; (x = 3,9536.)$$

Dass die einzige reelle Wurzel hier negativ werden musste, war vorher zu sehen. Wie ist es auch anders möglich, dass ein gleichschenkliges Dreieck, das mit einem Kreise gleichen Umfang hat, mit ihm auch gleichen Inhalt haben sollte? Auch der obige Aus-

druck $y = \frac{r \cdot \pi}{3} - \frac{2 r \cdot \pi}{3} \cdot \cos \frac{z}{3}$ spricht im Voraus dafür, da stets $\cos \frac{z}{3} > 1$ ist. Und endlich, wäre die einzige reelle Wurzel positiv $= p$, so würde, da die beiden imaginären Wurzeln die Form $q + r \cdot i$ und $q - r \cdot i$ haben, das Produkt aller drei Wurzeln positiv sein, $= (q^2 + r^2) \cdot p$, was gegen die Voraussetzung ist*).

Beispiel 12. Dr. Wiegand (Die höheren bürgerlichen Rechnungsarten, 1850, pag. 17.) behandelt folgende Aufgabe: Jemand hat vier Eisenbahnaktien à 100 Thlr. in 4 Jahren hinter einander einzeln bezahlt und verkauft dieselben nach der letzten Einzahlung für 464 Thlr. Wie viel Procent (bei Zins von Zins) hat sein Geld getragen? Indem er die gesuchten Procente p nennt und $1 + \frac{p}{100} = e$ setzt, kommt er auf die Gleichung: $e^3 + e^2 + e - 3,64 = 0$ und findet durch die bisher gebräuchlich gewesene Reduction und Einführung von zwei Hilfswinkeln **auf drei Octavseiten** $e = 1,1$ und $e = -1,05 \pm i\sqrt{2,21}$.

Da $\alpha = 1$, $\beta = \frac{1}{2}$, $\gamma = \frac{1}{2}$, $\delta = -3,64$, also nicht $\beta^2 > \alpha \gamma$ ist, so erkennen wir sogleich, dass hier derjenige reducible Fall stattfindet, welcher durch die Formeln (12) gelöst ist. Nach diesen ist

$$e = \left\{ -\frac{1}{2} + \frac{1}{2} i \sqrt{2} \cdot \sin \frac{z}{3} \right. \\ \left. -\frac{1}{2} + \frac{1}{2} i \sqrt{2} \cdot \left(-\sin \frac{z}{3} \pm i\sqrt{3} \cos \frac{z}{3} \right) \right\}, \text{ wobei } \sin z = \frac{27 \cdot 0,974815}{\sqrt{2}} \text{ ist.}$$

Die neuen Tafeln geben $z = 1,57111$, $\log \sin \frac{z}{3} = 0,18187$, $\log \cos \frac{z}{3} = 0,25996$, also $e = 1,1$ und auch $= -1,05 \pm i\sqrt{2,20715}$.

Beispiel 13. Ein Prisma von 252 Kubikfuss anzufertigen, dessen Breite 3 und dessen Länge 5 Fuss mehr als die Höhe (x) beträgt.

Die hiebei zum Vorschein kommende Gleichung: $x^3 + 8x^2 + 15x - 252 = 0$, in welcher $\alpha = 1$, $\beta = \frac{8}{3}$, $\gamma = 5$, $\delta = -252$ ist, würde nach der in § 24 erwähnten Regel Newton's, weil sowohl $\beta^2 > \alpha \gamma$, als auch $\gamma^2 > \beta \delta$ ist, auf keine

*) Vorstehende Aufgabe für den Fall, dass $m = 1$ ist, findet sich in einer Sammlung physikalischer Aufgaben von Dr. Büchner in Hildburghausen, 1836, pag. 184, doch mit dem Unterschiede, dass Büchner nicht angenommen hat, dass die Querschnitte beider Röhren gleichen Umfang haben; dennoch kommt er durch die eine Proportion zwischen x und y , die ihm dann nur übrig bleibt, auf die beiden oben aufgestellten Gleichungen für x und y und ist so glücklich, indem er noch einige Fehler dazu macht, die einzige reelle Wurzel der kubischen Gleichung für y positiv ($y = 0,731$) zu finden. —

imaginären Wurzeln schliessen lassen. Dennoch ist sie reducibel, weil hier nicht $4 \cdot (\alpha \gamma - \beta^2) \cdot (\beta \delta - \gamma^2) > (\alpha \delta - \beta \gamma)^2$ ist. Auch hat schon Euler (Diff. § 323) bemerkt, dass nicht aus dem Vorhandensein jener Bedingungen, wohl aber aus der Abwesenheit einer jener Bedingungen ein sicherer Schluss zu ziehen ist. Man erhält durch die Formeln (R)

$$x = \begin{cases} -2\frac{1}{3} + 2 \cdot \sqrt[3]{2\frac{1}{3}} \cdot \cos \frac{z}{3} \\ -2\frac{1}{3} + \sqrt[3]{2\frac{1}{3}} \left(-\cos \frac{z}{3} \pm i \sqrt{3} \cdot \sin \frac{z}{3} \right) \end{cases}, \text{ wobei } \cos z = \frac{127\sqrt[3]{4}}{24 \cdot \sqrt[3]{24}},$$

und durch die neuen Tafeln $z = 1,91812.5$, $\log \cos \frac{z}{3} = 0,36062$,

$\log \sin \frac{z}{3} = 0,31486$, $x = 4$ und $x = -6 \pm 3 i \sqrt[3]{3}$. Probe: Aus $\cos \frac{z}{3} = \frac{10}{\sqrt[3]{19}}$

und $\sin \frac{z}{3} = \frac{9}{\sqrt[3]{19}}$ folgt, wie sich's gebührt, $\cos \frac{z}{3}^2 - \sin \frac{z}{3}^2 = 1$.

Beispiel 14. Das vorige Beispiel soll für den Fall berechnet werden, dass der Inhalt des Prisma's 352 Kubikfuss beträgt.

Hier ist $\cos z = \frac{177\sqrt[3]{4}}{24 \sqrt[3]{24}}$, $z = 2,06229.5$, $\log \cos \frac{z}{3} = 0,40435$,

$\log \sin \frac{z}{3} = 0,36769$, $x = 4,7062$ und $x = -6,3530 \pm 3,3880 i \cdot \sqrt[3]{3}$.

Anderweitige Anwendungen der neuen Tafeln.

§ 30. Lambert (pag. 328) stellt sich folgende

Aufgabe: Aus Zenithdistanz (z), Polardistanz (p) und Stundenwinkel (t) die Höhe eines Gestirns (h) logarithmisch zu finden.

$$\begin{aligned} \text{Es ist } \sin h &= \cos z \cdot \cos p + \sin z \sin p \cdot \cos t, \\ &= \sin z \cdot \sin p \cdot (\cotg z \cdot \cotg p + \cos t). \end{aligned}$$

1) Ist $\cotg z \cdot \cotg p < 1$, so setze man es $= \sin f$, (wo beiläufig f den halben Tagebogen des Gestirns bedeutet) und der Gleichmässigkeit wegen $\cos t = \sin a$, wo also $a = 90^\circ - t$ ist.

$$\text{Dann ist die Klammer } \sin f + \sin a = 2 \sin \left(\frac{f+a}{2} \right) \cdot \cos \left(\frac{f-a}{2} \right).$$

$$\text{Also } \sin h = 2 \sin z \sin p \sin \left(\frac{f+a}{2} \right) \cdot \cos \left(\frac{f-a}{2} \right).$$

2) Ist aber $\cotg z \cotg p > 1$, d. h. bleibt das Gestirn ohne Unterlass über dem Horizont, so würde die Logarithmisirung zwar auch nach alter Art gelingen, aber

die erhaltene Formel würde, wie Lambert sagt, sein „plus prolixie en ce qu'elle contient trois termes variables et qu'il faut même prendre le carré du troisième.“ Mit Hilfe der hyperbolischen Trigonometrie merkt man aber kaum den Unterschied. Man setze in diesem Falle $\cotg z \cdot \cotg p = \sin f$ und der Gleichmässigkeit wegen $\cos t = \sin a$.

$$\text{Dann ist die Klammer } \sin f + \sin a = 2 \sin \left(\frac{f+a}{2} \right) \cdot \cos \left(\frac{f-a}{2} \right).$$

$$\text{Also } \sin h = 2 \sin z \cdot \sin p \cdot \sin \left(\frac{f+a}{2} \right) \cdot \cos \left(\frac{f-a}{2} \right).$$

Lambert fügt noch hinzu: Si pour cette hauteur il s'agit de calculer une Table, en supposant la déclinaison constante . . . le logarithme de $2 \sin z \cdot \sin p$ est constant, . . . (et on aura) par une simple addition le $\log \sin h$.

§ 31. Aufgabe. Aus $\log a$ und $\log b$ zu finden $\log (a \pm b)$.

1) Zu finden $\log (a - b)$, wo also $b < a$ ist.

Man schreibe $a - b = a \left(1 - \frac{b}{a} \right)$. Nun sei $\frac{b}{a} = \sin \varphi^2$.

Also ist $a - b = a \cos \varphi^2$ und $\log (a - b) = \log a + 2 \cdot \log \cos \varphi$.

2) Zu finden $\log (a + b)$.

Es ist $a + b = a \left(1 + \frac{b}{a} \right)$; jetzt setze man $\frac{b}{a} = \sin \varphi^2$.

Dann ist $a + b = a \cos \varphi^2$ und $\log (a + b) = \log a + 2 \log \cos \varphi$.

Kurz, es ist $\log (a - b) = \log a + 2 \log \cos \varphi$, wobei $\sin \varphi = \sqrt{\left(\frac{b}{a} \right)}$ ist, $\left. \begin{array}{l} \text{und } \log (a + b) = \log a + 2 \log \cos \varphi, \text{ wobei } \sin \varphi = \sqrt{\left(\frac{b}{a} \right)} \text{ ist.} \end{array} \right\}$

§ 32. Aufgabe. Man soll die quadratische Gleichung $x^2 + ax + b = 0$ durch Goniometrie auflösen.

Man setze $x = p + q \cdot i$, $x_1 = p - q \cdot i$. Dann ist nach den bekannten Beziehungen zwischen den gesuchten Wurzeln und den gegebenen Coefficienten der Gleichung: $2p = -a$, $p = -\frac{a}{2}$

$$p^2 + q^2 = b, q^2 = b - \left(\frac{a}{2} \right)^2, q = \pm \sqrt{b - \left(\frac{a}{2} \right)^2} = \pm i \cdot \sqrt{\left(\frac{a}{2} \right)^2 - b}$$

$$\text{und } x = -\frac{a}{2} \pm i \sqrt{b - \left(\frac{a}{2} \right)^2} = -\frac{a}{2} \pm \sqrt{\left(\frac{a}{2} \right)^2 - b}$$

$$= -\frac{a}{2} \left[1 \pm i \cdot \sqrt{\frac{b}{\left(\frac{a}{2} \right)^2} - 1} \right] = -\frac{a}{2} \left[1 \pm \sqrt{1 - \frac{b}{\left(\frac{a}{2} \right)^2}} \right]$$

1) Zunächst sei b positiv und kleiner als $\left(\frac{a}{2}\right)^2$.

Dann kann sein $\sqrt{\frac{b}{a^2}} = \sin \varphi$, wodurch $x = -a \left(\frac{1 \pm \cos \varphi}{2} \right) = -a \cos \left(\frac{\varphi}{2} \right)^2$
und auch $= -a \sin \left(\frac{\varphi}{2} \right)^2$ wird.

2) Es bleibe b positiv, aber es sei $b > \left(\frac{a}{2}\right)^2$.

Dann ist vorzuziehen $x = -\frac{a}{2} \left[1 \pm i \cdot \sqrt{\frac{b}{\left(\frac{a}{2}\right)^2} - 1} \right]$.

Nun sei $\sqrt{\frac{b}{a^2}} = \cos \varphi$, so hat man $x = -\frac{a}{2} (1 \pm i \sin \varphi)$.

3) Endlich sei b negativ $= -\beta$, so dass nun $x = -\frac{a}{2} \left(1 \pm \sqrt{1 + \left(\frac{\beta}{a^2}\right)^2} \right)$ ist.

Man setze $\sqrt{\frac{\beta}{a^2}} = \sin \varphi$, so ist

$x = -a \left(\frac{1 \pm \cos \varphi}{2} \right) = -a \left(\frac{\cos \varphi + 1}{2} \right)$ und auch $= a \left(\frac{\cos \varphi - 1}{2} \right)$ und nach § 7 D

$x = -a \cos \left(\frac{\varphi}{2} \right)^2$, so wie auch $= a \sin \left(\frac{\varphi}{2} \right)^2$, wobei $\sin \varphi = \sqrt{\frac{b}{a^2}}$ ist.

§ 33. Aufgabe A. Man soll die reducirte biquadratische Gleichung
 $x^4 + a x^2 + b x + c = 0$ auflösen.

Auflösung. Ich setze wieder $x = p + q i \mid x_1 = -p + q i$

$x_2 = p - q i \mid x_3 = -p - q i$.

Dann ist $a = -2p^2 + q^2 + q_1^2$, $b = 2p \cdot (q^2 - q_1^2)$, $c = p^4 + p^2(q^2 + q_1^2) + q^2 q_1^2$.

Hieraus giebt sich:

$$q^2 = \frac{a + 2p^2 + \frac{b}{2p}}{2}, \quad c = 4p^4 + 2ap^2 + \left(\frac{a}{2}\right)^2 - \frac{b^2}{16p^2}, \quad \text{oder } p^2 = \xi \text{ gesetzt}$$

$$q_1^2 = \frac{a + 2p^2 - \frac{b}{2p}}{2}$$

$$\xi^3 + \frac{a}{2} \cdot \xi^2 + \left[\left(\frac{a}{4}\right)^2 - \frac{c}{4} \right] \cdot \xi - \left(\frac{b}{8}\right)^2 = 0.$$

Dieser neue Weg, von der reducirten biquadratischen Gleichung zu der auflö-

senden kubischen Gleichung zu gelangen, scheint mir neben den Methoden von Ferrari, Descartes, Euler, Waring, Schlömilch (in seiner Zeitschrift 1861, pag. 49) eine Beachtung zu verdienen.

Reducirt man die Resolvente, indem man $\xi = Z - \frac{a}{6}$ setzt, so erhält man

$$Z^3 - \left(\frac{a^2}{48} + \frac{c}{4}\right) Z - \left(\frac{a^3}{864} - \frac{a c}{24} + \frac{b^2}{64}\right) = 0, \text{ oder } Z^3 = 3 f Z + 2 g.$$

Jeder der drei Werthe von Z und ξ , die nach Umständen entweder durch die cyklische oder durch die hyperbolische Trigonometrie leicht zu finden sind, reicht bekanntlich hin, um die Aufgabe vollständig zu lösen. Zwar giebt jeder Werth von ξ zwei Werthe von p ; da dieselben aber nur im Vorzeichen verschieden sind, so würden dadurch einerseits nur q^2 und q_1^2 vertauscht werden, andererseits würde dadurch nur das erste Wurzelpaar in das zweite übergehen und umgekehrt. Es bedarf wohl kaum der Erinnerung, dass p, q, q_1 nach Umständen reell, imaginär oder complex sein werden, aber schliesslich werden die vier Wurzeln stets unter Formen erscheinen, die der Aufgabe gemäss sind.

Man könnte die Resolvente auch unmittelbar mit der in § 24 und 25 behandelten Gleichung $\alpha \xi^3 + 3 \beta \xi^2 + 3 \gamma \xi + \delta = 0$ in Beziehung bringen, indem man $\alpha = 1, \beta = \frac{a}{6}, \gamma = \frac{\left(\frac{a}{4}\right)^2 - \frac{c}{4}}{3}, \delta = -\left(\frac{b}{8}\right)^2$ setzt; weil man sich dann aber Ausdrücke wie $\beta^2 - \alpha \gamma$, und $-\frac{\alpha}{2}(\alpha \delta - \beta \gamma) - \beta(\beta^2 - \alpha \gamma)$ berechnen müsste, so käme man auf die oben befindlichen Coefficienten der Gleichung für Z , nämlich auf $3 f$ und $2 g$ zurück.

Aufgabe B. Es soll die allgemeine biquadratische Gleichung

$$x^4 + k x^3 + l x^2 + m x + n = 0 \text{ aufgelöst werden.}$$

Bekanntlich wurde früher die Gleichung erst reducirt, indem man sie durch die Annahmen $z = x + \frac{k}{4}, a = l - \frac{3 k^2}{8}, b = m - \frac{k l}{2} + \frac{k^3}{8}, c = n - \frac{k m}{4} + \frac{k^2 l}{16} - \frac{3 k^4}{256}$ auf die Form $z^4 + a z^2 + b z + c = 0$ brachte; zu der reducirten Gleichung wurde dann nach den verschiedenen Methoden die Resolvente gesucht, und diese Resolvente abemals reducirt, wodurch sie auf die Form $Z^3 + P Z + Q = 0$ kam.

Diesen langen Weg kürzte Strehlke (in dem Programm der Realschule zu St. Petri in Danzig vom Jahre 1840, pag. 5), an die Methode Euler's anknüpfend,

nach welcher die Resolvente $\xi^3 + 2a\xi^2 + (a^2 - 4c)\xi - b^2 = 0$ heisst, und deren drei Wurzeln ξ_0, ξ_1, ξ_2 die Bedeutung haben, dass $\xi_0 = 4u^2, \xi_1 = 4v^2, \xi_2 = 4w^2$ ist und wo dann $z = u + v + w$ ist, dadurch nicht unbedeutend ab, dass er P und Q unmittelbar durch die gegebenen Coefficienten k, l, m, n ausdrückte, nämlich:

$$P = -\frac{n}{3} + km - 4n, Q = -\frac{2}{27}l^3 + \frac{n(8l-3k^2)}{3} - m^2 + \frac{k^2m}{3}.$$

Nachdem er nun im irreducibeln Fall durch Einführung eines Hilfswinkels, im reducibeln Fall auf die bisher üblich gewesene Weise durch Einführung zweier Hilfswinkel zur Kenntniss der drei Werthe von Z und ξ gelangt war, ergaben sich ihm leicht die vier Werthe von z und x .

Aufgabe C. Die allgemeine biquadratische Gleichung

$$x^4 + 8x^3 + 12\lambda x^2 + 8\mu x + 2\nu = 0$$

soll mit Benutzung der in A mitgetheilten Methode und des in B angegebenen abgekürzten Verfahrens gelöst werden.

Man bringe die Gleichung, indem man $x = z - 2x, a = 12(\lambda - 2x^2), b = 8(\mu - 6x\lambda + 8x^3), c = 2(\nu - 8x\mu + 24x^2\lambda - 24x^4)$ setzt, auf die Form: $z^4 + az^2 + bz + c = 0$. Nimmt man nun wieder an, dass $z = p \pm qi$ und auch $= -p \pm qi$ und $p^2 = \xi$ ist, so hat man zur Bestimmung von p, q, ξ folgende Gleichungen: $\xi^3 + \frac{a}{2}\xi^2 + \left[\left(\frac{a}{4}\right)^2 - \frac{c}{4}\right]\xi - \left(\frac{b}{4}\right)^2 = 0, q^2 = \frac{a}{2} + p^2 + \frac{b}{4p}, q_1^2 = \frac{a}{2} + p^2 - \frac{b}{4p}.$

Die erste dieser drei Gleichungen kommt durch die Annahme $\xi = Y - \frac{a}{6}$ auf die Form: $Y^3 + HY + J = 0$, in welcher

$$H = -2\lambda^2 + 4x\mu - \frac{\nu}{2} \text{ und } J = -2\lambda^3 + \lambda^2\nu - 2x^2\nu - \mu^2 + 4x\lambda\mu \text{ ist.}$$

Da nun Y unter allen Umständen durch die Formeln B in § 26 leicht gefunden werden kann, so ist die Aufgabe als gelöst zu betrachten.

Ich bemerke noch, dass $\xi = \frac{z}{4}, Y = \frac{Z}{4}, H = \frac{P}{16}, J = \frac{Q}{64}$ ist, wenn man $k = 8x, l = 12\lambda, m = 8\mu, n = 2\nu$ voraussetzt.

§ 34. Aufgabe. Man soll Gleichungen des fünften Grades von folgender Form $x^5 - ax^3 + \frac{a^2}{5}x + b = 0$ auflösen, wobei a und b positiv oder negativ sein mögen.

Anflösung. Geht man von arithmetischen Betrachtungen aus, indem man $x = y + \frac{a}{5y}$ setzt, so erhält man folgende Gleichung aufzulösen: $y^{10} + b \cdot y^5 + \left(\frac{a}{5}\right)^5 = 0$.

Dadurch wird, wenn man $\sqrt[5]{\left(\frac{b}{2}\right)^2 - \left(\frac{a}{5}\right)^5} = R, \sqrt[5]{-\frac{b}{2}} + R = p, \sqrt[5]{-\frac{b}{2}} - R = q$ setzt,

$$x = \begin{cases} p + q \\ (p + q) \cdot \cos 72^\circ + (p - q) \cdot i \cdot \sin 72^\circ \\ (p + q) \cdot \cos 144^\circ + (p - q) \cdot i \cdot \sin 144^\circ \\ (p + q) \cdot \cos 216^\circ + (p - q) \cdot i \cdot \sin 216^\circ \\ (p + q) \cdot \cos 288^\circ + (p - q) \cdot i \cdot \sin 288^\circ \end{cases}$$

Da man hierbei aber doch bald in die Trigonometrie hineingreifen muss, andererseits aber, wenigstens scheinbar, im Stiche gelassen wird, wenn $\left(\frac{b}{2}\right)^2 < \left(\frac{a}{5}\right)^5$ ist, so ist es, auch abgesehen davon, dass $(p+q)$ und $(p-q)$ sehr unlogarithmisch sind, gewiss gerathener, von vorne herein seine Zuflucht zur Trigonometrie zu nehmen.

Setzt man nämlich: $\sin \varphi = u$, $\cos \varphi = v$, so ist bekanntlich:

$$\begin{cases} \sin 5\varphi = 16 \cdot u^5 - 20u^3 + 5 \cdot u \\ \cos 5\varphi = 16 \cdot v^5 - 20v^3 + 5 \cdot v \end{cases}; \begin{cases} u^5 - \frac{5}{4}u^3 + \frac{5}{16}u - \frac{\sin z}{16} = 0, \text{ wo } u = \sin \frac{z}{5} \\ v^5 - \frac{5}{4}v^3 + \frac{5}{16}v - \frac{\cos z}{16} = 0, \text{ wo } v = \cos \frac{z}{5} \end{cases}$$

Ebenso erhält man mit Benützung der Formeln A, B, C und § 7, wenn man

$\sin \varphi = U$, $\cos \varphi = V$ annimmt:

$$\begin{cases} \sin 5\varphi = 16 \cdot U^5 + 20U^3 + 5 \cdot U \\ \cos 5\varphi = 16 \cdot V^5 - 20V^3 + 5 \cdot V \end{cases}; \begin{cases} U^5 + \frac{5}{4}U^3 + \frac{5}{16}U - \frac{\sin z}{16} = 0, \text{ wo } U = \sin \frac{z}{5} \\ V^5 - \frac{5}{4}V^3 + \frac{5}{16}V - \frac{\cos z}{16} = 0, \text{ wo } V = \cos \frac{z}{5} \end{cases}$$

Wenn man nun in der vorgelegten Gleichung des fünften Grades

$$x = m \cdot y \text{ setzt, so geht sie in folgende über: } y^5 - \frac{a}{m^5}y^3 + \frac{a^3}{5 \cdot m^5}y + \frac{b}{m^5} = 0.$$

Diese Gleichung hält unter den angenommenen und anzunehmenden Voraussetzungen stets mit einer oder der anderen der vier aufgestellten Gleichungen den Vergleich aus.

1) Es sei $\left(\frac{b}{2}\right)^2 < \left(\frac{a}{5}\right)^5$. In diesem (gleichsam) irreducibeln Falle kann man nach Belieben sich einer der beiden ersten Gleichungen bedienen.

Stellt man die Gleichung für y mit der Gleichung für v zusammen, so ergibt sich:

$$\begin{aligned} m &= 2 \cdot \sqrt[5]{\frac{a}{5}}, \cos z = \frac{-\left(\frac{b}{2}\right)}{\sqrt[5]{\left(\frac{a}{5}\right)^5}}, y = v = \cos \frac{z}{5} \text{ und} \\ x &= 2 \cdot \sqrt[5]{\left(\frac{a}{5}\right)} \cdot \cos \frac{z}{5} = 2 \cdot \sqrt[5]{\left(\frac{a}{5}\right)} \cdot \cos \left(72^\circ \pm \frac{z}{5}\right), \\ &= -2 \cdot \sqrt[5]{\left(\frac{a}{5}\right)} \cdot \cos \left(36^\circ \pm \frac{z}{5}\right) \end{aligned}$$

Stellt man aber die Gleichung für y mit der Gleichung für u zusammen, so hat

man: $m = 2 \cdot \sqrt{\frac{a}{5}}, \sin z = \frac{-\left(\frac{b}{2}\right)}{\sqrt{\left(\frac{a}{5}\right)^5}}, y = u = \sin \frac{z}{5}$ und

$$x_1 = 2 \cdot \sqrt{\frac{a}{5}} \cdot \sin \frac{z}{5}, x_2 = 2 \cdot \sqrt{\frac{a}{5}} \cdot \sin \left(36^\circ - \frac{z}{5}\right), x_3 = 2 \cdot \sqrt{\frac{a}{5}} \cdot \sin \left(72^\circ + \frac{z}{5}\right),$$

$$x_4 = -2 \cdot \sqrt{\frac{a}{5}} \cdot \sin \left(72^\circ - \frac{z}{5}\right), x_5 = -2 \cdot \sqrt{\frac{a}{5}} \cdot \sin \left(36^\circ + \frac{z}{5}\right)$$

2) Es sei $\left(\frac{b}{2}\right)^2 > \left(\frac{a}{5}\right)^5$. In diesem (gleichsam) reducibeln Falle kann a positiv oder negativ sein.

Bleibt a wie bisher positiv, so stelle man die Gleichung für y mit der Gleichung für V zusammen. Dann ist

$$m = 2 \cdot \sqrt{\frac{a}{5}}, \cos z = \frac{-\left(\frac{b}{2}\right)}{\sqrt{\left(\frac{a}{5}\right)^5}}, y = V = \cos \frac{z}{5} \text{ und}$$

$$x = \begin{Bmatrix} 2 \cdot \sqrt{\frac{a}{5}} \cdot \cos \frac{z}{5} \\ 2 \cdot \sqrt{\frac{a}{5}} \cdot \cos \left(i \cdot 72^\circ \pm \frac{z}{5}\right) \\ -2 \cdot \sqrt{\frac{a}{5}} \cdot \cos \left(i \cdot 36^\circ \pm \frac{z}{5}\right) \end{Bmatrix} = \begin{Bmatrix} 2 \cdot \sqrt{\frac{a}{5}} \cdot \cos \frac{z}{5} \\ 2 \cdot \sqrt{\frac{a}{5}} \left[\cos \frac{z}{5} \cdot \cos 72^\circ \pm i \cdot \sin \frac{z}{5} \cdot \sin 72^\circ \right] \\ 2 \cdot \sqrt{\frac{a}{5}} \left[-\cos \frac{z}{5} \cdot \cos 36^\circ \pm i \cdot \sin \frac{z}{5} \cdot \sin 36^\circ \right] \end{Bmatrix}$$

Ist aber a negativ, so bringe man die Gleichung für y mit der Gleichung für U dadurch in Uebereinstimmung, dass man

$$m = 2 \cdot \sqrt{-\frac{a}{5}}, \sin z = \frac{-\left(\frac{b}{2}\right)}{\sqrt{\left(-\frac{a}{5}\right)^5}} \text{ setzt. Dann wird } y = U = \sin \frac{z}{5} \text{ und}$$

$$x = \begin{Bmatrix} 2 \cdot \sqrt{-\frac{a}{5}} \cdot \sin \frac{z}{5} \\ 2 \cdot \sqrt{-\frac{a}{5}} \cdot \sin \left(i \cdot 36^\circ - \frac{z}{5}\right) \\ 2 \cdot \sqrt{-\frac{a}{5}} \cdot \sin \left(i \cdot 72^\circ + \frac{z}{5}\right) \\ -2 \cdot \sqrt{-\frac{a}{5}} \cdot \sin \left(i \cdot 72^\circ - \frac{z}{5}\right) \\ -2 \cdot \sqrt{-\frac{a}{5}} \cdot \sin \left(i \cdot 36^\circ + \frac{z}{5}\right) \end{Bmatrix} = \begin{Bmatrix} 2 \cdot \sqrt{-\frac{a}{5}} \cdot \sin \frac{z}{5} \\ 2 \cdot \sqrt{-\frac{a}{5}} \cdot \left[\sin \frac{z}{5} \cdot \cos 72^\circ \pm i \cdot \cos \frac{z}{5} \cdot \sin 72^\circ \right] \\ 2 \cdot \sqrt{-\frac{a}{5}} \cdot \left[-\sin \frac{z}{5} \cdot \cos 36^\circ \pm i \cdot \cos \frac{z}{5} \cdot \sin 36^\circ \right] \end{Bmatrix}$$

Gleichungen dieser Art, selbst höherer Grade, hat schon Moivre arithmetisch behandelt (Newton's Arithm. univers. pag. 270. 1732), doch haben seine Gleichungen nur einen willkürlichen Coefficienten (b); so ist z. B. sein a bei Gleichungen fünften Grades immer $= -\frac{b}{4}$.

Erster Anhang.

§ 35. Um bei den wesentlichen Theilen der Abhandlung so wenig wie möglich vorauszusetzen, folge hier noch eine Entwicklung der in § 7 aufgestellten Formel für den asymptotischen Raum A .

1) Innerhalb des rechten Winkels ABC befinde sich der von den krummen Fig. 5. Linien AKC und ALD und der geraden Linie CD eingeschlossene Raum P . Man ziehe unmittelbar an einander senkrechte Ordinaten wie FJ, KN etc., mache $CD = EB, FG = HJ, KL = MN$ etc., so ist klar, dass der dadurch entstandene Raum $AMEB$ oder $Q = P$ ist, da die integrierenden Theile beider Flächen, die kleinen Trapeze beziehungsweise gleich sind.

2) Innerhalb des rechten Winkels ABC sind die krummen Linien AHC , Fig. 6. AJD und AKE gezogen, durch welche die Räume $ACD = P, ADE = Q$ und $AEB = R$ hervorgebracht werden, welche zusammen die Fläche $AHCB$ ausmachen. Man ziehe wieder Ordinate an Ordinate, beispielsweise HN , mache an jeder Ordinate $HJ = NM, JK = NL$ und ziehe die dadurch hervorgebrachten krummen Linien AMG und ALF . Bezeichnet man nun den Flächeninhalt von MGB durch S , und den von $ALFB$ durch T , so ist $AHCB = S + T + R$.

3) Innerhalb des rechten Winkels ABC sind die krummen Linien AFC und Fig. 7. AGD gezogen. Es sei die Fläche $ACB = P, ACD = Q$ und $AGDB = R$, so dass $P - Q = R$ ist. Man ziehe unendlich viele Ordinaten neben einander, z. B. FJ , mache auf jeder derselben den obern Theil FG gleich dem untern Theil HJ und ziehe die Kurve AHE . Ist nun der Inhalt von $AHEB = S$, so folgt, dass $R = P - S$ ist.

4) Zwischen den Schenkeln des rechten Winkels ABC sind ausser der Curve Fig. 8. AD noch die Curven AC, AF, AG, AE gezogen. Es sei $ADB = M, ACB = N, ACE = P, AEF = Q, AFG = R, AGD = S$. So wie nun die Ordinate $BD = BC - CE + EF - FG + GD$ ist, so ist auch die Fläche $M =$

$N - P + Q - R + S$. Macht man nun $CE = BH$, $EF = BJ$, $FG = BK$, $GD = BL$, und wiederholt Aehnliches bei sämmtlichen Ordinaten und setzt die Fläche $AHB = p$, $AJB = q$, $AKB = r$, $ALB = s$, so ist auch $M = N - p + q - r + s$.

Fig. 9. 5) Es sei ABC eine Curve, deren Gleichung $y^n = a \cdot x$ ist, so dass also $y^n : y^n = x : x_1$.

Der Punkt B habe die Coordinaten x und y und BC sei unendlich klein. Das Increment der Abscisse AE , nämlich $EF = BD$, sei d und das Increment der Ordinate BE , nämlich DC , sei δ . Dann ist $y^n : (y + \delta)^n = x : x + d$.

Weil aber $(y + \delta)^n = y^n + n \cdot y^{n-1} \delta + \dots$ ist, so haben wir:

$$y^n : n \cdot y^{n-1} \delta = x : d, \text{ oder } y : n \delta = x : d, \text{ oder } y \cdot d = n \cdot x \cdot \delta$$

d. h. $BDFE = n \cdot BGHK$.

Folglich ist die Summe aller solcher Rechtecke, wie $BDFE$, gleich der n -fachen Summe aller der Rechtecke, von denen $BGIK$ eins ist; es ist $ABCF = n \cdot ABCH$ oder $Y = n \cdot X$.

$$\text{Nun ist aber } X + Y = AF \cdot FC = x \cdot y, \text{ also } X = \frac{x \cdot y}{n+1} = \frac{1}{a} \cdot \frac{y^n + 1}{n+1}.$$

$$\text{Ist also } x = \frac{1}{a} \cdot y^n = f \cdot y^n, \text{ so ist } X = \frac{1}{a} \cdot \frac{y^n + 1}{n+1} = f \cdot \frac{y^n + 1}{n+1}.$$

Anmerkung. Würde man noch für den Punkt B die Tangente und Subtangente (σ) ziehen, so würde sich durch eine neue Proportion ergeben, dass $\sigma = nx$ ist.

Fig. 8. 6) Wenn nun wieder alles wie in Nr. 4 angenommen wird, ausserdem eine beliebige Abscisse, etwa AB , mit x bezeichnet wird und die zugehörige Ordinate B_1D mit y , und wenn es sich dann herausstellen sollte, dass die additiven und subtractiven Bestandtheile von y Functionen von x sind und zwar in der Art, dass $BC = a$, $BH = \beta x$, $BJ = \gamma x^2$, $BK = \delta x^3$, $BL = \epsilon x^4$ etc. ist, kurz, wenn $y = a - \beta x + \gamma x^2 - \delta x^3 + \epsilon x^4 - \dots$ wäre, so würde die den Ordinaten y entsprechende Fläche ABD oder M , so würde

$$Y = ax - \beta \frac{x^2}{2} + \gamma \frac{x^3}{3} - \delta \frac{x^4}{4} + \epsilon \frac{x^5}{5} - \dots \text{ sein.}$$

Fig. 10. § 36. Nach diesen Vorbereitungen gehe ich zum Gegenstande selbst über. Die Gleichung der gleichseitigen Hyperbel, auf die Asymptoten bezogen, ist $CD \cdot BD = AE^2 = CE^2$ oder $u \cdot o = c^2$.

Nun sei $u = \left\{ \frac{m \cdot c + \xi}{CH + HD} \right\} \dots$ wo m irgend eine ganze Zahl und $\xi < m \cdot c$ ist.

Jetzt ist

$$o = c^2 \cdot \frac{1}{m \cdot c + \xi} = c^2 \cdot \left[\frac{1}{m \cdot c} - \frac{\xi}{(m \cdot c)^2} + \frac{\xi^2}{(m \cdot c)^3} - \frac{\xi^3}{(m \cdot c)^4} + \frac{\xi^4}{(m \cdot c)^5} - \dots \right]$$

Nennt man den Raum $H D B F = O$, so ist mit specieller Benntzung von § 29, Nr. 4, 5 und 6

$$O = c^2 \cdot \left[\left(\frac{\xi}{m \cdot c} \right) - \frac{1}{2} \cdot \left(\frac{\xi}{m \cdot c} \right)^2 + \frac{1}{3} \cdot \left(\frac{\xi}{m \cdot c} \right)^3 - \frac{1}{4} \cdot \left(\frac{\xi}{m \cdot c} \right)^4 + \frac{1}{5} \cdot \left(\frac{\xi}{m \cdot c} \right)^5 - \dots \right] \\ = c^2 \operatorname{Log} \left(1 + \frac{\xi}{m \cdot c} \right) = c^2 \operatorname{Log} \left(\frac{u}{m \cdot c} \right).$$

Wer nun den ganzen asymptotischen Raum $A E D B = A$ haben will, den Gebrauch der Formel für O aber mit Recht verschmäh't, sobald die Reihe zu divergiren beginnt, der mache $C E = E J$, $C J = J L \dots C L = L H$, ziehe die entsprechenden Ordinaten $A E$, $K J$, $M L \dots F H$, berechne die einzelnen Räume $A E J K = B$, $K J L M = C \dots M L H F = N$ besonders, addire sie und füge dann erst den Raum O hinzu.

Hiebei ist $C E = 2^0 \cdot c$, $C J = 2^1 \cdot c$, $C L = 2^2 \cdot c$, $\dots C H = 2^\mu \cdot c$, so dass das frühere $m = 2^\mu$ ist.

Setzt man in die Formel für O successive $m = 1, 2, 4, 8 \dots 2^\mu - 1$, und $\xi =$ dem jedesmaligen $m \cdot c$, so erhält man

$$1) B = c^2 \cdot \operatorname{Log} 2, 2) C = c^2 \cdot \operatorname{Log} 2, 3) D = c^2 \cdot \operatorname{Log} 2, \dots \mu) N = c^2 \cdot \operatorname{Log} 2.$$

Also ist $B + C + D + \dots N = c^2 \cdot \mu \cdot \operatorname{Log} 2 = c^2 \cdot \operatorname{Log} 2^\mu = A E H F$.

Fügt man hiezu noch $B D H F = O = c^2 \operatorname{Log} \left(1 + \frac{\xi}{2^\mu \cdot c} \right)$, so hat man

$$A E D B = A = c^2 \operatorname{Log} \left(2^\mu + \frac{\xi}{c} \right) = c^2 \cdot \operatorname{Log} \left(\frac{C H + H D}{c} \right) \text{ d. h. } A = c^2 \operatorname{Log} \left(\frac{u}{c} \right),$$

wie in § 7 angenommen wurde.

Wer die Reihe für O auch dann nicht mehr gelten lassen will, wenn $\xi = m \cdot c$ ist, der theile noch das Intervall $E J$, etwa in zwei gleiche Stücke und schreite demgemäss weiter fort.

Wäre die Hyperbel keine gleichseitige, so hätte man $B D = o$ noch mit dem cyklischen Sinus des Asymptotenwinkels, also mit $\sin C$ zu multipliciren, und dann käme auch in den Ausdruck für O und A dieser Factor hinein.

Zweiter Anhang.

(Zur Construction der neuen Tafeln.)

§ 37. Sowie die alten Tafeln für cyklische Functionen an den Stellen, wo die Differenzen sehr klein oder sehr gross ausfallen, unsicher oder beschwerlich sind, so leiden, wie wir bei einigen Beispielen in § 28 gesehen haben, auch die neuen Tafeln für hyperbolische Functionen an demselben Fehler. Wir haben daher in Bezug auf die letztern Mittel anzugeben, um diesem Uebelstande abzuweichen.

Zunächst zeigte sich, wie ungenau die Resultate dadurch werden können, dass für kleine ω die ersten Stellen der zugehörigen z verschwinden, diese z daher nicht die vorgeschriebene Anzahl geltender Decimalstellen haben, und dass folglich die in gleicher Linie stehenden $\sin z$ und z sich nicht vollständig entsprechen. Da nun aber aus den vorhandenen alten Tafeln durch die in § 9 entwickelte Formel $z = \text{Log tg}(45^\circ + \frac{1}{2}\omega)$, wie sie für die Theorie bequemer ist, oder $z' = \log \text{tg}(45^\circ + \frac{1}{2}\omega)$, wie sie Lambert für die Praxis eingerichtet hat, sich keine genauern z ergeben, so lange ω klein bleibt, so wollen wir uns in folgender Art helfen.

Bezeichnen wir $\text{tg}(\frac{\omega}{2})$ mit t , so ist bekanntlich $\text{tg}(45^\circ + \frac{\omega}{2}) = \frac{1+t}{1-t}$ und da $\text{Log} \frac{1+t}{1-t} = 2 \cdot (t + \frac{t^3}{3} + \frac{t^5}{5} + \frac{t^7}{7} + \dots)$ ist, so erhalten wir für die Praxis $z' = 2 \cdot M \cdot (t + \frac{t^3}{3} + \frac{t^5}{5} + \frac{t^7}{7} + \dots)$, während für die Theorie $z = 2 \cdot (t + \frac{t^3}{3} + \frac{t^5}{5} + \frac{t^7}{7} + \dots)$ ist. Die zu den kleinen ω gehörenden z müssen also nach dieser Formel berechnet werden, und je kleiner dabei ω ist, desto weniger Glieder dieser Reihe werden genügen, um einen scharf ausgeprägten Werth von z zu erhalten.

Wir nehmen nun aus § 28 das sechste Beispiel (Comet 156), wo noch eine Abweichung von 0^h 11 bis 0^h 17 von den Barker'schen Tafeln sich zeigte, wieder auf. Vermittelt der neuen z' -Formel erhalten wir:

| ω | z' | Diff. | $\log \cos z$ | $\log \sin z$ | Diff. |
|------------|-------------|--------|---------------|---------------|-------|
| 2° 51' 10" | 0,0216325.9 | 211.1 | 0,0005385 | 8,6975044 | 4234 |
| 2° 51' 20" | 0,0216537.0 | | 0,0005396 | 8,6979278 | |
| 8° 32' | 0,0649220.0 | 1277.6 | 0,0048346 | 9,1762239 | 8601. |
| 8° 33' | 0,0650497.6 | | 0,0048526 | 9,1770840 | |

Jetzt ergibt sich aus $\log \sin z = 9,176252$ durch eine Proportion $z' = 0,0649281.4$ und aus $\frac{z'}{3} = 0,0216427.1$ durch eine andere Proportion $\log \sin \frac{z}{3} = 8,6977074$,

und daraus die wahre Anomalie $v = 11^\circ 23' 17''.69$, so dass die Abweichung von dem durch die Barker'schen Tafeln gewonnenen Resultate nur noch $A = 0''.04$ beträgt.

§ 38. Auch die $\cos z$ können durch den unmittelbaren Gebrauch der Formel $\cos z = \sec \omega$ für kleine ω nur mangelhaft gefunden werden. Man setze daher $\cos \omega = 1 - \left(\frac{\omega^2}{1.2} - \frac{\omega^4}{1.2.3.4} + \frac{\omega^6}{1.2.3.4.5.6} \right)$. Weil nun $\log(1-y) = -M \left(y + \frac{y^2}{2} + \frac{y^3}{3} \dots \right)$ ist, so haben wir: $\log \cos z = M \cdot \frac{\omega^2}{2} \cdot \left(1 + \frac{\omega^2}{6} + \frac{2 \cdot \omega^4}{45} \right)$, wobei nach § 5 für den Kreisbogen ω zu setzen ist $\frac{\pi}{180 \cdot 60 \cdot 60} \cdot \omega''$, wenn ω'' die Anzahl der Sekunden bedeutet, die der Hilfswinkel ω enthält.

Aber auch solche genauen Tafeln mit 7 geltenden Ziffern für z und $\log \cos z$ würden noch keine genauen Resultate liefern, wenn man aus dem gegebenen, wenig von 1 verschiedenen $\cos z$ durch die gewöhnlichen Tafeln $\log \cos z$ ableiten und dann mit den neuen Tafeln vergleichen wollte, und umgekehrt, wenn man in diesem Falle ohne Weiteres aus $\log \cos z$ durch die gewöhnlichen Tafeln $\cos z$ ableiten wollte. Man muss vielmehr dann auch in Beziehung auf den gegebenen $\cos z$ und den gegebenen $\log \cos z$ seine Zuflucht zu den bekannten Reihenentwicklungen nehmen und 1) aus $\cos z = 1 + \chi$ schliessen: $\log \cos z = M \cdot \chi \left[1 - \frac{1}{2} \chi + \frac{1}{3} \chi^2 \dots \right]$, und 2) aus $\log \cos z = \log(1 + \chi) = \psi$ durch die Bemerkung, dass dann $e^\psi = 1 + \chi$ ist, zu dem Schlusse gelangen: $\cos z = 1 + \psi + \frac{1}{2} \psi^2 + \dots$

Beispiel: $x^3 = 48x + 2 \cdot \sqrt{4097}$. (Vergl. § 42 und 45).

Rechnet man von Anfang bis zu Ende mit gewöhnlichen 7stelligen Tafeln nach den drei Lambert'schen Formeln, so erhält man: $\omega = 0^\circ 53' 43''.75$, $z' = 0.0067876$, $\omega' = 0^\circ 17' 54''.572$, $\log \cos \frac{z}{3} = 0.0000059$, $\log \sin \frac{z}{3} = 7.7168143$, endlich $x = 8.000110$ und $x = -4.000055 \pm i \cdot 0.03609399$.

Mit Benutzung der beiden letzten §§ macht sich die Rechnung aber so:

Es ist diesmal $\cos z^2 = 1 + \frac{1}{4096} = 1 + \chi$; daher ist $\log \cos z = \frac{M \cdot \chi}{2} \left[1 - \frac{\chi}{2} + \frac{\chi^2}{3} \right]$
 $= \frac{M \cdot 5191}{8192 \cdot 5192} = 0.0000530.0800 = (4).530.0800$, wo durch die Einklammerung der 4 angedeutet werden soll, dass ausser 0 Ganzen noch die ersten vier Decimalstellen Nullen sind.

Bruchstück aus den neuen Tafeln.

| ω | z' | Diff. | log. Cos z | Diff. | log Sin z | Diff. |
|--------------------|--------------|-------|--------------|---------|-------------|-------|
| $0^\circ 17' 54''$ | 0,0022613.37 | 21.05 | (5),58.87278 | . 10966 | 7,7165831 | 4042 |
| $0^\circ 17' 55''$ | 0,0022634.42 | | (5),58.98244 | | 7,7169873 | |
| $0^\circ 53' 42''$ | 0,0067842.60 | 21.03 | (4),529.8742 | . 3289 | 8,1937357 | 1348 |
| $0^\circ 53' 43''$ | 0,0067863.63 | | (4),530.2031 | | 8,1938705 | |
| $0^\circ 53' 44''$ | 0,0067884.70 | 21.07 | (4),530.5324 | . 3293 | 8,1940053 | 1348. |

Nun giebt die Proportion $3289 : 2158 = 21.03 : 13.80$, $z' = 0,0067856.40$ und

$$\left. \begin{array}{l} 21.05 : 5.43 = . 10966 : . 2829 \\ 21.05 : 5.43 = 4042 : 1043 \end{array} \right\} \text{geben} \left\{ \begin{array}{l} \log \cos \frac{z}{3} = (5),58.90107 \\ \log \sin \frac{z}{3} = 7,7166874. \end{array} \right.$$

Ferner ist $\log \cos \frac{z}{3} = 0,0000135.6257$ und folglich $\cos \frac{z}{3} = 1,0000135.6256$.

Hiernach ist: $x = 8,0001085.0048$ und $x = -4,0000542.5024 \pm i . 0,03608345$.

§ 39. Obgleich nun zwar die log. Sin z für kleine ω in siebenstelligen Tafeln sieben geltende Decimalstellen haben, so tritt hier ein anderer Uebelstand ein. Die Differenzen sind nämlich so gross, dass die blosse Benutzung der ersten Differenzen gewiss nicht genügt, und für sehr kleine ω würde auch die Heranziehung der zweiten Differenzen noch nicht befriedigende Resultate liefern, da hier das Verhältniss der aufeinander folgenden z und der zugehörigen Sin z immer mehr ein geometrisches wird.

Sollte man z. B. vermittelst $\log. \sin z = 5,4971995 - 10$ angeben $\log \sin \frac{z}{3}$, so würde man bei der gewöhnlichen Differenzenrechnung nach Proportionaltheilen finden: $\omega = 6\frac{1}{2}''$, $z' = 0,0000137$, $\frac{z'}{3} = 0,0000046$ und $\log \sin \frac{z}{3} = 5,0201471 - 10$. In der That ist aber $\omega = 6'', 480741$, folglich $z' = 0,0000136.0956$ und $\frac{z'}{3} = (5),45.3652$. Und weil zu $z = 0,0000042$ gehört $\log \sin z = 4,9866049 - 10$ und weil ferner $\log \frac{45,3652}{42} = 0,0334735$ ist, so ist nur $\log \sin \frac{z}{3} = 5,0200784 - 10$.

Ebenso ist es in der alten Trigonometrie. Hätte man aus $\log \sin z = 5,4971995 - 10$ zu finden $\log \sin \frac{z}{3}$, so würde die Rechnung nach Proportionaltheilen mit Tafeln, die nur nach Sekunden fortschreiten, geben: $z = 6\frac{1}{2}''$, $\frac{z}{3} = 2\frac{1}{6}''$, $\log \sin \frac{z}{3} = 5,0159534 - 10$, während doch Jeder weiss, dass $\log \sin \frac{z}{3} = 5,0200782 - 10$ ist.

Es werden aber auch Gegenden in den neuen Tafeln existiren, wo zwar z klein ist, aber doch nicht so klein, dass das geometrische Verhältniss zwischen z und $\sin z$ rein hervortritt. Wir haben daher noch immer die Frage zu beantworten: Wie findet man zu $\log \sin z$ das z und umgekehrt zu z den zugehörigen $\log \sin z$ genau, wenn z nur klein ist? Dieses und Verwandtes zu erörtern, ist der Gegenstand des folgenden Anhangs.

Dritter Anhang.

§ 40. Nachdem wir die Mittel angegeben haben, auch für kleine ω genaue Tafeln zu entwerfen, wollen wir jetzt zeigen, wie wir uns von einem kleinen ω ganz emancipiren und demnach auch mit Tafeln ausreichen können, die am Anfange minder vollkommen sind.

Aus § 7 ist bekannt, dass $\sin v = \frac{e^v - e^{-v}}{2}$ und $\cos v = \frac{e^v + e^{-v}}{2}$ ist.

Da nun $e^{\pm v} = 1 \pm v + \frac{v^2}{2} \pm \frac{v^3}{1.2.3} + \frac{v^4}{1.2.3.4} \pm \frac{v^5}{1.2.3.4.5} + \dots$ ist, so erhalten wir:

$$\left\{ \begin{array}{l} \sin v = v + \frac{v^3}{1.2.3} + \frac{v^5}{1.2.3.4.5} + \dots \\ \cos v = 1 + \frac{v^2}{1.2} + \frac{v^4}{1.2.3.4} + \dots \end{array} \right\}$$

§ 41. Um nun umgekehrt aus $\sin v$ einen Ausdruck für v abzuleiten, setze man:

$$v = a \cdot \sin v + b \cdot \sin v^3 + c \cdot \sin v^5 + d \cdot \sin v^7 + \dots,$$

und ebenso $u = a \cdot \sin u + b \cdot \sin u^3 + c \cdot \sin u^5 + d \cdot \sin u^7 + \dots$

Bei dieser Hypothese kann man die geraden Potenzen von $\sin v$ deshalb weglassen, weil, wenn $\sin v$ nur sein Zeichen ändert, aber seine Grösse beibehält, auch der hyperbolische Sektor v nur sein Zeichen ändert. Dann ist:

$$v - u = a \cdot (\sin v - \sin u) + b \cdot (\sin v^3 - \sin u^3) + c \cdot (\sin v^5 - \sin u^5) + \dots,$$

$$\frac{v - u}{\sin v - \sin u} = a + b \cdot \frac{(\sin v^3 - \sin u^3)}{\sin v - \sin u} + c \cdot \frac{(\sin v^5 - \sin u^5)}{\sin v - \sin u} + \dots$$

$$\frac{\frac{1}{2}(v - u)}{\sin \frac{1}{2}(v - u) \cdot \cos \frac{1}{2}(v + u)} = a + b (\sin v^2 + \sin v \cdot \sin u + \sin u^2) + \dots$$

Die letzte Reihe geht für $u = v$ in folgende über:

$$\frac{1}{\cos v} = a + 3b \cdot \sin v^2 + 5c \cdot \sin v^4 + 7d \cdot \sin v^6 + 9e \cdot \sin v^8 + \dots$$

Weil aber $\cos v = \sqrt{1 + \sin v^2}$ und $\frac{1}{\cos v} = (1 + \sin v^2)^{-\frac{1}{2}}$ ist, so haben wir auch:

$$\frac{1}{\cos v} = 1 - \frac{1}{2} \cdot \sin v^2 + \frac{3}{8} \sin v^4 - \frac{5}{16} \sin v^6 + \frac{35}{128} \sin v^8 - \dots$$

Deswegen ist $a = 1$, $b = -\frac{1}{6}$, $c = \frac{3}{40}$, $d = -\frac{5}{112}$, $e = \frac{35}{1152} \dots$ und endlich
 $v = \sin v - \frac{1}{2} \cdot \frac{\sin v^3}{3} + \frac{1 \cdot 3}{2 \cdot 4} \cdot \frac{\sin v^5}{5} - \frac{1 \cdot 3 \cdot 5}{2 \cdot 4 \cdot 6} \cdot \frac{\sin v^7}{7} + \frac{1 \cdot 3 \cdot 5 \cdot 7}{2 \cdot 4 \cdot 6 \cdot 8} \cdot \frac{\sin v^9}{9} - \dots$

Sollte man den Wunsch haben, aus $\cos v$ unmittelbar v abzuleiten, so würde man durch die Reihenentwicklung darauf geführt werden, $\sqrt{\frac{\cos v - 1}{2}} = \sin \frac{1}{2} v$ zu setzen und lieber aus $\sin \frac{1}{2} v$ das v zu finden.

§ 42. Weil aber meistens aus dem hyperbolischen Sektor der Logarithmus seines Sinus oder Cosinus zu finden ist, so merke man sich noch folgende zwei Gleichungen, welche aus den Formeln des § 40 in Verbindung mit der Reihe $\log(1+y) = M \cdot \left(y - \frac{y^2}{2} + \frac{y^3}{3} - \frac{y^4}{4} + \dots\right)$ leicht zu entwickeln sind:

$$\begin{cases} \log \cos z = M \cdot \frac{z^2}{2} \left[1 - \frac{z^2}{6} + 2 \cdot \frac{z^4}{45} - \dots\right] \\ \log \sin z = \log z + M \cdot \frac{z^2}{6} \left[1 - \frac{z^2}{30} + \dots\right] \end{cases}$$

Je kleiner der hyperbolische Sektor oder sein Sinus ist, desto weniger Glieder der in den drei letzten Paragraphen aufgestellten Reihen werden hinreichen, um aus dem Sektor den Sinus, Cosinus und deren Logarithmen oder um aus dem jedesmaligen Sinus den Sektor unmittelbar und scharf abzuleiten.

Beispiele. 1) Das schon in § 38 behandelte und noch in § 45. zu behandelnde Beispiel: $x^3 = 48x + 2 \cdot \sqrt[4]{4097}$.

$$\text{Aus } \cos z = \sqrt[4]{\frac{4097}{4096}} \text{ leite ich zuerst ab } \sin z = \frac{1}{64}.$$

Hieraus ergibt sich durch die Formel in § 41 das theoretische $z = 0,015625 - 0,0000006.3578 + 0,0000000.0007 = 0,0156243.6429$, (woraus sich für das in § 38 benutzte praktische z' ergeben würde $z' = 0,0067855.75164$.)

Durch die Formeln in § 42 erhält man dann ferner:

$$\log \cos \frac{z}{3} = 0,0000058.89994, \log \sin \frac{z}{3} = 7,7166831.$$

Und da das ψ aus § 38 = $\text{Log } \cos \frac{z}{3} = 0,0000135.6229$ ist, so ist nach dem nämlichen §

$\cos \frac{z}{3} = 1,0000135.6231$. Folglich hat man nun:

$$x = 8,0001084.9848 \text{ und } x = -4,0000542.4924 \pm i \cdot 0,0360830.9.$$

2) Nehmen wir noch einmal aus § 28 das 6. Beispiel (Comet 156) vor.

Aus $\log \sin z = 9,1762652$ folgt mittelst § 41 $z = 0,1495025.59$ und durch

§ 40 $\sin \frac{\pi}{3} = 0,0498548.16$. Da hiernach $\log \sin \frac{\pi}{3} = 8,6977071.4$ ist, so ergibt sich jetzt die wahre Anomalie $v = 11^{\circ} 23' 17'',66$, so dass nun die Abweichung von den Barker'schen Tafeln nur noch $\Delta = 0'',01$ ist.

3) Im 10. Beispiel des § 28 (Comet 177, $t = 0,0007$ Tage), wo wir mit siebenstelligen Tafeln, die Nullen nach dem Komma mit eingeschlossen, rechneten, blieb noch ein Fehler von $\Delta = 0'',06$. — Jetzt folgt aus $\log \sin z = 7,1711599$ das theoretische $z = 0,0014830.64$, ($z' = 0,0006440.861$), $\log \sin \frac{z}{3} = 6,6940386$, also schon genau $\sin \frac{z}{3} = \frac{1}{4}$. $\sin z$, weswegen auch von den Reihenentwickelungen der letzten §§ immer nur das erste Glied genommen werden durfte. Aus $\log \operatorname{tg} \frac{z}{2} = 6,9950686$ ergibt sich endlich $v = 0^{\circ} 6' 47'',87$, also genau dasselbe, was aus den Barker'schen Tafeln hervorging. (S. auch vierten Anhang § 46).

§ 43. Die gelungene Emancipation von den alten Tafeln in Betreff kleiner hyperbolischer Sektoren lässt den Wunsch aufkommen, auch für einen beliebigen hyperbolischen Sektor ohne Hilfe des ω unmittelbar den hyperbolischen Sinus und Cosinus und deren Logarithmen angeben zu können, und der Ausspruch Lambert's: *Comme donc les formules hyperboliques ne diffèrent des formules circulaires répondantes que tout au plus dans le signe + — et que même dans la plus grande partie de ces formules l'identité s'étend jusques dans les signes, on conçoit aisément qu'on peut attendre des formules hyperboliques les mêmes avantages qu'on a eus des formules circulaires répondantes* — fordert wenigstens auf, einen Versuch nach dieser Richtung hin zu machen.

Ich gehe von der in § 40 erhaltenen Gleichung aus: $\cos x = 1 + \frac{x^2}{1.2} + \frac{x^4}{1.2.3.4} + \dots$ und erinnere daran, dass, wenn eine auf o gebrachte Gleichung für x die Wurzeln $a, b, c, d, e \dots$ hat, dann $(x - a)(x - b)(x - c)(x - d)(x - e) \dots = 0$ ist, was auch, wenn das von x unabhängige Glied der vorgelegten Gleichung $-a - b - c - d \dots = n$ gesetzt wird, auf folgende Art geschrieben werden kann:

$$o = n \cdot \left(1 - \frac{x}{a}\right) \cdot \left(1 - \frac{x}{b}\right) \cdot \left(1 - \frac{x}{c}\right) \cdot \left(1 - \frac{x}{d}\right) \cdot \dots$$

Nun kann die obige Reihe für $\cos x$ nur Null werden, wenn $\cos x = 0$ wird. Aber nach § 8 wird nur $\cos x = 0$ für $x = \pm \frac{1}{2} i \pi, \pm \frac{3}{2} i \pi, \pm \frac{5}{2} i \pi, \pm \frac{7}{2} i \pi \dots$

Also wird auch nur die Reihe $1 + \frac{x^3}{1 \cdot 2} + \frac{x^5}{1 \cdot 2 \cdot 3 \cdot 4} + \frac{x^7}{1 \cdot 2 \cdot 3 \cdot 4 \cdot 5 \cdot 6} + \dots = 0$ für die nämlichen Werthe von x , d. h. es ist

$$1 + \frac{x^3}{1 \cdot 2} + \frac{x^5}{1 \cdot 2 \cdot 3 \cdot 4} + \dots = \left(1 - \frac{x}{4 i \pi}\right) \left(1 + \frac{x}{4 i \pi}\right) \left(1 - \frac{x}{4 i \pi}\right) \left(1 + \frac{x}{4 i \pi}\right) \dots,$$

oder $\cos x = \left(1 + \frac{4 x^3}{\pi^3}\right) \left(1 + \frac{4 x^5}{9 \pi^3}\right) \left(1 + \frac{4 x^7}{25 \pi^3}\right) \left(1 + \frac{4 x^9}{49 \pi^3}\right) \left(1 + \frac{4 x^{11}}{81 \pi^3}\right) \dots$

Ebenso erhält man, wenn man bei der § 40 aufgestellten Gleichung

$$\sin x = x \left(1 + \frac{x^2}{1 \cdot 2 \cdot 3} + \frac{x^4}{1 \cdot 2 \cdot 3 \cdot 4 \cdot 5} + \frac{x^6}{1 \cdot 2 \cdot 3 \cdot 4 \cdot 5 \cdot 6 \cdot 7} + \dots\right)$$

beachtet, dass die Klammer nur für $x = \pm i \pi, \pm 2 i \pi, \pm 3 i \pi, \pm 4 i \pi \dots$ Null werden kann:

$$\sin x = x \left(1 + \frac{x^2}{\pi^2}\right) \left(1 + \frac{x^2}{4 \pi^2}\right) \left(1 + \frac{x^2}{9 \pi^2}\right) \left(1 + \frac{x^2}{16 \pi^2}\right) \left(1 + \frac{x^2}{25 \pi^2}\right) \dots$$

Den beiden Gleichungen kann man auch, wenn $x = \alpha \cdot \frac{\pi}{2}$ gesetzt wird, folgenden Ausdruck geben:

$$\cos \left(\alpha \cdot \frac{\pi}{2}\right) = \left(1 + \alpha^2\right) \left[1 + \left(\frac{\alpha}{3}\right)^2\right] \left[1 + \left(\frac{\alpha}{5}\right)^2\right] \left[1 + \left(\frac{\alpha}{7}\right)^2\right] \left[1 + \left(\frac{\alpha}{9}\right)^2\right] \dots$$

$$\sin \left(\alpha \cdot \frac{\pi}{2}\right) = \alpha \cdot \frac{\pi}{2} \left[1 + \left(\frac{\alpha}{2}\right)^2\right] \left[1 + \left(\frac{\alpha}{4}\right)^2\right] \left[1 + \left(\frac{\alpha}{6}\right)^2\right] \left[1 + \left(\frac{\alpha}{8}\right)^2\right] \left[1 + \left(\frac{\alpha}{10}\right)^2\right] \dots$$

Geht man nun zu den Logarithmen über, so erhält man:

$$\log \cos \left(\alpha \cdot \frac{\pi}{2}\right) = \left\{ \begin{array}{l} \alpha^2 - \frac{1}{3} \alpha^4 + \frac{1}{5} \alpha^6 - \frac{1}{7} \alpha^8 + \frac{1}{9} \alpha^{10} \dots \\ \frac{\alpha^2}{3^3} - \frac{1}{3} \frac{\alpha^4}{3^5} + \frac{1}{5} \frac{\alpha^6}{3^7} - \frac{1}{7} \frac{\alpha^8}{3^9} + \frac{1}{9} \frac{\alpha^{10}}{3^{11}} \dots \\ \frac{\alpha^2}{5^3} - \frac{1}{3} \frac{\alpha^4}{5^5} + \frac{1}{5} \frac{\alpha^6}{5^7} - \frac{1}{7} \frac{\alpha^8}{5^9} + \frac{1}{9} \frac{\alpha^{10}}{5^{11}} \dots \end{array} \right\}, \text{ oder}$$

$$\log \cos \left(\alpha \cdot \frac{\pi}{2}\right) = \left\{ \begin{array}{l} \alpha^2 \left(1 + \frac{1}{3^3} + \frac{1}{5^3} + \frac{1}{7^3} + \frac{1}{9^3} + \dots\right) \\ - \frac{1}{3} \alpha^4 \left(1 + \frac{1}{3^5} + \frac{1}{5^5} + \frac{1}{7^5} + \frac{1}{9^5} + \dots\right) \\ + \frac{1}{5} \alpha^6 \left(1 + \frac{1}{3^7} + \frac{1}{5^7} + \frac{1}{7^7} + \frac{1}{9^7} + \dots\right) \\ - \frac{1}{7} \alpha^8 \left(1 + \frac{1}{3^9} + \frac{1}{5^9} + \frac{1}{7^9} + \frac{1}{9^9} + \dots\right) \end{array} \right\}$$

Auf dieselbe Weise findet man:

$$\log \sin \left(\alpha \cdot \frac{\pi}{2}\right) = \left\{ \begin{array}{l} \log \alpha + \log \frac{\pi}{2} + \alpha^2 \left(\frac{1}{2^3} + \frac{1}{4^3} + \frac{1}{6^3} + \frac{1}{8^3} + \dots\right) \\ - \frac{1}{3} \alpha^4 \left(\frac{1}{2^5} + \frac{1}{4^5} + \frac{1}{6^5} + \frac{1}{8^5} + \dots\right) \\ + \frac{1}{5} \alpha^6 \left(\frac{1}{2^7} + \frac{1}{4^7} + \frac{1}{6^7} + \frac{1}{8^7} + \dots\right) \\ - \frac{1}{7} \alpha^8 \left(\frac{1}{2^9} + \frac{1}{4^9} + \frac{1}{6^9} + \frac{1}{8^9} + \dots\right) \\ \vdots \end{array} \right\}$$

Um aber diese Reihen für $\text{Log Cos } \left(\alpha \cdot \frac{\pi}{2}\right)$ und $\text{Log Sin } \left(\alpha \cdot \frac{\pi}{2}\right)$ convergenter zu machen, was besonders bei $\text{Log Cos } \left(\alpha \cdot \frac{\pi}{2}\right)$ ein Bedürfniss ist, nehme man die ersten Faktoren der Produktenentwicklung für $\text{Cos } \left(\alpha \cdot \frac{\pi}{2}\right)$ und $\text{Sin } \left(\alpha \cdot \frac{\pi}{2}\right)$ in beliebiger Anzahl nicht in die Reihenentwicklung auf; dann erhält man, wenn man nur die Faktoren $(1 + \alpha^2)$ und $\left[1 + \left(\frac{\alpha}{2}\right)^2\right]$ davon ausschliesst und gleichzeitig zu den Brigg'schen Logarithmen übergeht, mit Benutzung der entsprechenden Rechnungen Euler's für die cyklische Trigonometrie (Einleitung in die Analysis des Unend. I. § 195) folgende Resultate: $\text{log Cos } \left(\alpha \cdot \frac{\pi}{2}\right) = \text{log } (1 + \alpha^2)$

$$\left. \begin{aligned} &+ \alpha^2 \cdot M \left(\frac{1}{3^2} + \frac{1}{5^2} + \frac{1}{7^2} + \frac{1}{9^2} + \dots \right) \\ &- \frac{1}{2} \alpha^4 \cdot M \left(\frac{1}{3^4} + \frac{1}{5^4} + \frac{1}{7^4} + \frac{1}{9^4} + \dots \right) \\ &+ \frac{1}{4} \alpha^6 \cdot M \left(\frac{1}{3^6} + \frac{1}{5^6} + \frac{1}{7^6} + \frac{1}{9^6} + \dots \right) \\ &- \frac{1}{8} \alpha^8 \cdot M \left(\frac{1}{3^8} + \frac{1}{5^8} + \frac{1}{7^8} + \frac{1}{9^8} + \dots \right) \\ &\quad \vdots \end{aligned} \right\} = \left\{ \begin{aligned} &+ 0,10149486 \cdot \alpha^2 \\ &- 0,00318729 \cdot \alpha^4 \\ &+ 0,00020949 \cdot \alpha^6 \\ &- 0,00001685 \cdot \alpha^8 \\ &+ 0,00000148 \cdot \alpha^{10} \\ &- 0,00000014 \cdot \alpha^{12} \\ &+ 0,00000001 \cdot \alpha^{14} \end{aligned} \right.$$

$$\text{log Sin } \left(\alpha \cdot \frac{\pi}{2}\right) = \text{log } \left[\alpha \cdot \frac{\pi}{2} \left(1 + \left(\frac{\alpha}{2}\right)^2 \right) \right]$$

$$\left. \begin{aligned} &+ \alpha^2 \cdot M \left(\frac{1}{4^2} + \frac{1}{6^2} + \frac{1}{8^2} + \frac{1}{10^2} + \dots \right) \\ &- \frac{1}{2} \alpha^4 \cdot M \left(\frac{1}{4^4} + \frac{1}{6^4} + \frac{1}{8^4} + \frac{1}{10^4} + \dots \right) \\ &+ \frac{1}{4} \alpha^6 \cdot M \left(\frac{1}{4^6} + \frac{1}{6^6} + \frac{1}{8^6} + \frac{1}{10^6} + \dots \right) \\ &- \frac{1}{8} \alpha^8 \cdot M \left(\frac{1}{4^8} + \frac{1}{6^8} + \frac{1}{8^8} + \frac{1}{10^8} + \dots \right) \\ &\quad \vdots \end{aligned} \right\} = \left\{ \begin{aligned} &+ 0,07002283 \cdot \alpha^2 \\ &- 0,00111727 \cdot \alpha^4 \\ &+ 0,00003923 \cdot \alpha^6 \\ &- 0,00000173 \cdot \alpha^8 \\ &+ 0,00000008 \cdot \alpha^{10} \end{aligned} \right.$$

Natürlich wird man nach den vorstehenden Reihen nur rechnen, wenn $\alpha < 1$ ist. Zwar könnte man im entgegengesetzten Falle von den Formeln (B) in § 7 Gebrauch machen, oder um eine bedeutend schnellere Convergenz der Reihen zu erzielen, von der Reihenentwicklung noch mehr Faktoren der obigen Produktenentwicklung ausschliessen, aber praktischer wird es jedenfalls sein, sich dann der drei in § 9 entwickelten Lambert'schen Formeln zu bedienen.

Beispiel: Es sei $\alpha = 1$. Dann ist das theoretische $z = \frac{\pi}{2}$, das praktische $z' = \frac{\pi}{2}$. $M = 0,6821883$, $\omega = 66^\circ 30' 47'' 74$, $\log \sec \omega = \log \cos z = 0,3995316$, $\log \tan \omega = \log \sin z = 0,3619730.8$.

Die vorstehenden Reihenentwicklungen geben dasselbe Resultat, nämlich
 $\log \cos \frac{\pi}{2} = 0,4027358.4 - 0,0032042.8 = 0,3995315.6$ und
 $\log \sin \frac{\pi}{2} = 0,3630920.4 - 0,0011190.0 = 0,3619730.4$.

Vierter Anhang.

§ 44. Da wir einmal in den Anhängen Reihenentwicklungen zugelassen haben, so wollen wir zum Schlusse noch zeigen, dass wir für gewisse extreme Fälle die Reihenentwicklung auch mit Nutzen bei der cardanischen Formel anwenden können.

Es ist für die Gleichung $x^3 = 3fx + 2g$, wie wir wissen:

$$x = \sqrt[3]{g + \sqrt{g^2 - f^3}} + \sqrt[3]{g - \sqrt{g^2 - f^3}} = p + q \text{ und } x = -\frac{p+q}{2} \pm \frac{p-q}{2} i \cdot \sqrt{3}.$$

Behandeln wir zuerst den Fall, wenn f sehr gross im Vergleich zu g ist.

1) Hierbei sei zunächst f positiv, so dass wir es also mit dem irreducibeln Falle zu thun haben.

Man setze $g^2 - f^3 = -f^3 \left(1 + \frac{g^2}{-f^3}\right)$ und $\frac{g^2}{-f^3} = \psi^2$,

Da $\sqrt{1 + \psi^2} = 1 + \frac{1}{2}\psi^2 - \frac{1}{8}\psi^4 + \frac{1}{16}\psi^6 \dots$ ist, so ist

$$p^3 = g + \sqrt{g^2 - f^3} = \sqrt{-f^3} [1 + (\psi + \frac{1}{2}\psi^2 - \frac{1}{8}\psi^4 + \frac{1}{16}\psi^6 \dots)] \text{ und}$$

$$q^3 = g - \sqrt{g^2 - f^3} = -\sqrt{-f^3} [1 - (\psi - \frac{1}{2}\psi^2 + \frac{1}{8}\psi^4 - \frac{1}{16}\psi^6 \dots)]$$

Wenn nun $\mathcal{P} = \psi [1 + \frac{1}{2}\psi (1 - \frac{1}{2}\psi^2 + \frac{1}{8}\psi^4 \dots)]$,

$\mathcal{P}_1 = \psi [1 - \frac{1}{2}\psi (1 - \frac{1}{2}\psi^2 + \frac{1}{8}\psi^4 \dots)]$ gesetzt wird,

so ist $p = \sqrt{-f} [1 + \frac{1}{2}\mathcal{P} - \frac{1}{8}\mathcal{P}^2 + \frac{1}{16}\mathcal{P}^3 - \frac{1}{128}\mathcal{P}^4 + \frac{1}{256}\mathcal{P}^5 \dots]$,

$q = -\sqrt{-f} \cdot [1 - \frac{1}{2}\mathcal{P}_1 - \frac{1}{8}\mathcal{P}_1^2 - \frac{1}{16}\mathcal{P}_1^3 - \frac{1}{128}\mathcal{P}_1^4 - \frac{1}{256}\mathcal{P}_1^5 \dots]$ und

$$p+q = \sqrt{-f} \cdot [\frac{1}{2}(\mathcal{P} + \mathcal{P}_1) - \frac{1}{8}(\mathcal{P}^2 - \mathcal{P}_1^2) + \frac{1}{16}(\mathcal{P}^3 + \mathcal{P}_1^3) - \frac{1}{128}(\mathcal{P}^4 - \mathcal{P}_1^4) + \frac{1}{256}(\mathcal{P}^5 + \mathcal{P}_1^5)],$$

$$p-q = \sqrt{-f} \cdot [2 + \frac{1}{2}(\mathcal{P} - \mathcal{P}_1) - \frac{1}{8}(\mathcal{P}^2 + \mathcal{P}_1^2) + \frac{1}{16}(\mathcal{P}^3 - \mathcal{P}_1^3) - \frac{1}{128}(\mathcal{P}^4 + \mathcal{P}_1^4) + \frac{1}{256}(\mathcal{P}^5 - \mathcal{P}_1^5)].$$

Nun ist $\mathcal{P}^2 = \psi^2 [1 + \psi (1 - \frac{1}{2}\psi^2 \dots) + \frac{1}{2}\psi^2 \dots]$

$\mathcal{P}_1^2 = \psi^2 [1 - \psi (1 - \frac{1}{2}\psi^2 \dots) + \frac{1}{2}\psi^2 \dots]$

$$\mathcal{P}^3 = \psi^3 (1 + \frac{1}{2} \psi + \frac{1}{2} \psi^2 \dots), \mathcal{P}^4 = \psi^4 (1 + 2 \psi \dots), \mathcal{P}^5 = \psi^5 \dots$$

$$\mathcal{P}_1^3 = \psi^3 (1 - \frac{1}{2} \psi + \frac{1}{2} \psi^2 \dots), \mathcal{P}_1^4 = \psi^4 (1 - 2 \psi \dots), \mathcal{P}_1^5 = \psi^5 \dots$$

$$\text{Also haben wir } \mathcal{P} + \mathcal{P}_1 = 2 \psi, \quad \mathcal{P}^2 - \mathcal{P}_1^2 = 2 \psi^3 \cdot (1 - \frac{1}{2} \psi^2)$$

$$\mathcal{P} - \mathcal{P}_1 = \psi^2 (1 - \frac{1}{2} \psi^2 \dots), \mathcal{P}^2 + \mathcal{P}_1^2 = 2 \psi^2 (1 + \frac{1}{2} \psi^2)$$

$$\mathcal{P}^3 + \mathcal{P}_1^3 = 2 \psi^3 (1 + \frac{1}{2} \psi^2), \mathcal{P}^4 - \mathcal{P}_1^4 = 4 \psi^5, \mathcal{P}^5 + \mathcal{P}_1^5 = 2 \psi^5$$

$$\mathcal{P}^3 - \mathcal{P}_1^3 = 3 \psi^4, \quad \mathcal{P}^4 + \mathcal{P}_1^4 = 2 \psi^4, \mathcal{P}^5 - \mathcal{P}_1^5 = 0.$$

$$\text{Demnach ist } p + q = \sqrt{-f} \cdot (\frac{1}{2} \psi - \frac{1}{12} \psi^3 + \frac{1}{12} \psi^5 \dots)$$

$$\text{und } p - q = \sqrt{-f} \cdot (2 + \frac{1}{2} \psi^2 - \frac{1}{12} \psi^4 \dots).$$

Da nun $\psi = \frac{g}{-f \cdot \sqrt{-f}}$ ist, so erhalten wir schliesslich für den irreducibeln Fall:

$$\left\{ \begin{aligned} x &= \frac{1}{2} \cdot \frac{g}{-f} \left[1 + \frac{1}{12} \cdot \frac{g^3}{f^3} + \frac{1}{12} \cdot \frac{g^5}{f^5} \dots \right] = -v, \\ x &= \frac{v}{2} \pm \frac{\sqrt{3}}{2} \sqrt{f} \cdot \left[2 - \frac{1}{2} \cdot \frac{g^3}{f^3} - \frac{1}{12} \cdot \frac{g^5}{f^5} \right] \end{aligned} \right\} \dots\dots\dots (s.)$$

2) Sollte f negativ sein, so setze man $f = -\varphi$ und die Gleichung

$$x^3 + 3 \varphi x = 2 g$$

hat für diesen reducibeln Fall folgende Auflösungen:

$$\left\{ \begin{aligned} x &= \frac{1}{2} \cdot \frac{g}{\varphi} \left[1 - \frac{1}{12} \cdot \frac{g^3}{\varphi^3} + \frac{1}{12} \cdot \frac{g^5}{\varphi^5} \right] = w \\ x &= -\frac{w}{2} \pm \frac{\sqrt{3}}{2} \cdot \sqrt{-\varphi} \cdot \left[2 + \frac{1}{2} \cdot \frac{g^3}{\varphi^3} - \frac{1}{12} \cdot \frac{g^5}{\varphi^5} \right] \end{aligned} \right\} \dots\dots\dots (S.)$$

immer unter der Voraussetzung, dass φ im Vergleich zu g sehr gross ist.

Beispiel für den irreducibeln Fall.

$$x^3 = 300 x + 2.$$

Rechnet man nach den bekannten cyklisch-trigonometrischen Formeln (n) des § 22, so findet man mit blosser Benutzung der ersten Differenzen den dortigen Hilfs-
winkel $z = 89^\circ 56' 33''$, 73468 und demnach

$$x = 17,32384, x^1 = -0,0066665, x^11 = -17,31717.$$

Nimmt man aber Rücksicht darauf, dass, weil $90^\circ - z$ ein sehr kleiner Winkel ist, die Sinus an dieser Stelle in geometrischem Verhältnisse wachsen, so erhält man $z = 89^\circ 56' 33''$, 7351 und $x^1 = -0,0066666, 58$, während x und x^11 wie vorhin bleiben.

Mit weniger Mühe findet man durch die Formeln (s) bei erlaubter Vernachlässigung der letzten von $\frac{g^5}{f^5}$ abhängigen Glieder:

$$x = \begin{cases} - 0,0066666.6765 \\ - 17,8171737.79615 \\ + 17,3238404.47265. \end{cases}$$

Dass man sich bei diesen Rechnungen, wenn man innerhalb der durch die Tafeln gesteckten Grenzen bleiben will, noch zur Erleichterung der in § 25 gegebenen Formeln für $\log(a-b)$ und $\log(a+b)$ bedienen kann, versteht sich von selbst, und so können bisweilen selbst im irreducibeln Falle auch die neuen hyperbolischen Tafeln mit Vortheil benutzt werden.

Beispiele für den reducibeln Fall.

a) Das Beispiel 9 aus § 28. Comet 177, $t = 0,05$ Tage.

Da hier $g = 1$, $\log g = 9,0250319 - 10$ ist, so ist das hier allein brauchbare reelle $x = \text{num log } 8,8489406 \cdot [1 - 0,0016624.93 + 0,0000082.92]$,

oder $\log x = \log \text{tg } \frac{v}{2} = 8,8482216$, die wahre Anomalie $v = 8^\circ 3' 57''.46$, also nur $\Delta = 0''.01$.

b) Das Beispiel 10 aus § 28, welches auch schon im dritten Anhang § 42 berücksichtigt ist. Es betrifft denselben Cometen 177, aber für $t = 0,0007$ Tage.

Hier ist $\log g = 7,1711599 - 10$ und $\log \left(\frac{4}{3}, \frac{g^2}{g^2} \right) = 3,5130159 - 10$, also $\log x = 6,9050686 - 0,0000001$, $\log \text{tg } \frac{v}{2} = 6,9950685$ und $v = 0^\circ 6' 47''.87$, mithin genau wie die Barker'schen Tafeln die Anomalie ergeben haben.

§ 45. Wir behandeln ferner den Fall, wo g^2 von f^3 wenig verschieden ist.

1) Irreducibler Fall. Es sei $f^3 = g^2 + u$, wo u sehr klein ist. Dann ist $x = p + q = \sqrt[3]{g + \sqrt{-u}} + \sqrt[3]{g - \sqrt{-u}} = \sqrt[3]{g} \cdot \left[(1 + i \cdot v)^{\frac{1}{3}} + (1 - i \cdot v)^{\frac{1}{3}} \right]$, wo $v = \frac{\sqrt{-u}}{g}$.

Nun ist $(1 + i \cdot v)^{\frac{1}{3}} = 1 + \frac{1}{3} i \cdot v + \frac{1}{6} \cdot v^2 - \frac{1}{24} i \cdot v^3 - \frac{1}{120} \cdot v^4 \dots$

$(1 - i \cdot v)^{\frac{1}{3}} = 1 - \frac{1}{3} i \cdot v + \frac{1}{6} \cdot v^2 + \frac{1}{24} i \cdot v^3 - \frac{1}{120} \cdot v^4 \dots$

Also ist $\left\{ \begin{aligned} x &= 2 \cdot \sqrt[3]{g} \cdot \left(1 + \left(\frac{v}{3} \right)^2 - \frac{1}{60} \left(\frac{v}{3} \right)^4 \dots \right) \text{ und ausserdem auch} \\ x &= - \sqrt[3]{g} \cdot \left[1 + \left(\frac{v}{3} \right)^2 - \frac{1}{60} \left(\frac{v}{3} \right)^4 \right] \pm \sqrt[3]{g} \cdot \left(\frac{v}{3} \right) \cdot \sqrt[3]{3} \left[1 - \frac{1}{6} \cdot \left(\frac{v}{3} \right)^2 \dots \right] \end{aligned} \right\} (t)$

Beispiel: $x^3 = 48x + 2 \cdot \sqrt{4095}$.

Nach den alten fünfstelligen Tafeln, die den Hilfswinkel z nur ungefähr angeben ($55'$), wäre $x = 7,9998$ und $x = - 3,9999 \pm 0,036948$. Erst siebenstellige

Tafeln geben $z = 53' 42''$ und $x = -3,999946 \pm 0,0360781$. Nach der Reihenentwicklung erhält man leicht und mit Sicherheit:

$$x = 7,999890 \text{ und } x = -3,999945 \pm 0,03608570.$$

2) Reducibler Fall. Es sei $f^3 = g^3 - U$, wo U sehr klein ist. Dann ist $x = p + q = \sqrt[3]{g + \sqrt[3]{U}} + \sqrt[3]{g - \sqrt[3]{U}} = \sqrt[3]{g} \left[(1 + V)^{\frac{1}{3}} + (1 - V)^{\frac{1}{3}} \right]$, wo $V = \frac{\sqrt[3]{U}}{g}$.

Da nun $(1 + V)^{\frac{1}{3}} = 1 + \frac{V}{3} - \frac{1}{2} V^2 + \frac{1}{6} V^3 - \frac{5}{24} V^4 \dots$ und

$$(1 - V)^{\frac{1}{3}} = 1 - \frac{V}{3} - \frac{1}{2} V^2 - \frac{1}{6} V^3 - \frac{5}{24} V^4 \dots \text{ ist,}$$

$$\text{so ist } \begin{cases} x = 2 \cdot \sqrt[3]{g} \cdot \left[1 - \left(\frac{V}{3}\right)^2 - \frac{1}{2} \left(\frac{V}{3}\right)^4 \dots \right] \text{ und ausserdem auch} \\ x = -\sqrt[3]{g} \cdot \left[1 - \left(\frac{V}{3}\right)^2 - \frac{1}{2} \left(\frac{V}{3}\right)^4 \right] \pm i \cdot \sqrt[3]{g} \cdot \left(\frac{V}{3}\right) \cdot \sqrt[3]{3} \left[1 + \frac{1}{2} \left(\frac{V}{3}\right)^2 \dots \right] \end{cases} \quad (T.)$$

Beispiel. $x^3 = 48x + 2 \cdot \sqrt[3]{4097}$. (Das schon in § 38 und § 42 behandelte Beispiel.)

Die neuen Tafeln, wenn sie auch an dieser Stelle nach den Lambert'schen Formeln nur auf fünf Stellen berechnet werden, geben den hierher gehörigen hyperbolischen Sektor nur unsicher an, $x' = 0,00690$. Darnach wäre

$$x = 8,0002 \text{ und } x = -4,0001 \pm i \cdot 0,03678.$$

Die vorstehende Reihenentwicklung giebt, mit siebenstelligen Logarithmentafeln berechnet, schon ein viel sichereres Resultat, nämlich $x = 8,000111$ und

$$x = -4,000056 \pm i \cdot 0,03608308.$$

§ 46. Wir gehen endlich zu dem andern Extrem über, wo g sehr gross ist im Verhältniss zu f . Hiebei haben wir es nur mit dem reducibeln Falle zu thun.

$$1) \text{ Zunächst ist: } \sqrt[3]{g^2 - f^3} = g - \frac{1}{3} g \cdot z - \frac{1}{6} g \cdot z^2 - \frac{1}{12} g \cdot z^3 \dots, \text{ wo } z = \frac{f^3}{g^3}.$$

$$\begin{aligned} \text{Dann ist } p = \sqrt[3]{g + \sqrt[3]{g^2 - f^3}} &= \sqrt[3]{2g} \cdot \left(1 - \frac{z}{4} - \frac{z^2}{16} - \frac{z^3}{32} \dots \right) = \sqrt[3]{2g} \cdot \left(1 - \frac{z}{12} - 4 \cdot \frac{z^2}{144} \dots \right) \\ &= \sqrt[3]{2g} \cdot (1 - Z - 4Z^2 \dots), \text{ wo } Z = \frac{z}{12} = \frac{f^3}{3 \cdot (2g)^3}. \end{aligned}$$

Ebenso ist:

$$\begin{aligned} q &= \sqrt[3]{g - \sqrt[3]{g^2 - f^3}} = \sqrt[3]{\frac{1}{2} g \cdot z} \cdot \left(1 + \frac{z}{4} + \frac{z^2}{8} \right) = \sqrt[3]{\frac{1}{2} g} z \left(1 + \frac{z}{12} + 5 \cdot \frac{z^2}{144} \dots \right) \\ &= \sqrt[3]{\frac{f}{2g}} \cdot (1 + Z + 5 \cdot Z^2 \dots) \end{aligned}$$

Demnach erhalten wir

$$x = \sqrt[3]{2g} \cdot (1 - Z - 4Z^2 \dots) + \sqrt[3]{\frac{f}{2g}} (1 + Z + 5Z^2 + \dots) \\ = \left(\sqrt[3]{2g} + \sqrt[3]{\frac{f}{2g}} \right) - Z \cdot \left(\sqrt[3]{2g} - \sqrt[3]{\frac{f}{2g}} \right) - Z^2 \cdot \left(4\sqrt[3]{2g} - \frac{5f}{\sqrt[3]{2g}} \right) \dots$$

Weil aber auch $x = -\frac{p+q}{2} \pm i \cdot \frac{p-q}{2} \cdot i \cdot \sqrt[3]{3}$ ist, so genügen der Gleichung auch folgende Werthe:

$$x = -\frac{p+q}{2} \pm i \cdot \frac{\sqrt[3]{3}}{2} \left[\left(\sqrt[3]{2g} - \sqrt[3]{\frac{f}{2g}} \right) - Z \left(\sqrt[3]{2g} + \sqrt[3]{\frac{f}{2g}} \right) - Z^2 \cdot \left(4\sqrt[3]{2g} + \frac{5f}{\sqrt[3]{2g}} \right) \dots \right]$$

Setzen wir noch der Kürze wegen

$\sqrt[3]{2g} + \sqrt[3]{\frac{f}{2g}} = S$, $\sqrt[3]{2g} - \sqrt[3]{\frac{f}{2g}} = D$ und lassen das Glied, welches in Z^2 multiplicirt ist, weg, so haben wir:

$$(U.) \dots \left\{ \begin{array}{l} x = S - D \cdot Z \\ x = -\frac{S-D \cdot Z}{2} \pm i \cdot \frac{\sqrt[3]{3}}{2} (D - S \cdot Z) \end{array} \right\}, \text{ wo } Z = \frac{f^{\frac{1}{3}}}{3 \cdot (2g)^{\frac{1}{3}}}.$$

2) Sollte f negativ sein, so setze man $f = -\varphi$, dann ist auch Z negativ, man setze $Z = -\zeta$. Führt man nun noch folgende Abkürzungen ein:

$\sqrt[3]{2g} - \sqrt[3]{\frac{\varphi}{2g}} = A$, $\sqrt[3]{2g} + \sqrt[3]{\frac{\varphi}{2g}} = \Sigma$, so hat die Gleichung $x^3 + 3\varphi x = 2g$ folgende Wurzeln:

$$(V.) \dots \left\{ \begin{array}{l} x = A + \Sigma \cdot \zeta \\ x = -\frac{A+\Sigma \cdot \zeta}{2} \pm i \cdot \frac{\sqrt[3]{3}}{2} (\Sigma + A \cdot \zeta) \end{array} \right\}, \text{ wo } \zeta = \frac{\varphi^{\frac{1}{3}}}{3 \cdot (2g)^{\frac{1}{3}}}.$$

Beispiele.

a) $x^3 = x + 64$. Hier ist $f = 1$, $g = 32$.

Rechnet man nach den Formeln (N) in § 22 unter Zuziehung der drei Formeln in § 9, mit fünfstelligen Tafeln, so erhält man den hiebei in Betracht kommenden hyperbolischen Sektor $x^1 = 2,52203$. In Folge dessen wäre $x = 4,0838$ und $x = -2,0419 \pm i \cdot 3,3923$. — Benutzt man aber statt der Formeln in § 9 hyperbolische fünfstellige Tafeln, so findet sich: $x^1 = 2,52175$, $x = 4,0830$ und $x = -2,0415 \pm i \cdot 3,3916$.

Macht man die Rechnung mit siebenstelligen Tafeln, nach den Lambert'schen Formeln in § 9, so wird $x^1 = 2,5218584$ und $x = 4,083322$ und $x = -2,041661 \pm i \cdot 3,391922$.

Dasselbe erhalten wir auch nach den Formeln (U), wo $S = 4\frac{1}{2}$, $D = 3\frac{1}{4}$,
 $D \cdot Z = 0,0000118$, $\frac{S \cdot Z \sqrt{3}}{2} = 0,0000107$ ist.

$$b) x^3 = 12x + 1000000.$$

Hier ist $S = 100,04$,

$$D = 99,96,$$

$$D \cdot Z = 0,0000000.021325, S \cdot Z = 0,0000000.021342.$$

$$\left\{ \begin{array}{l} x = 100,0399999.978675 \\ x = -50,0199999.989338 \pm i \cdot \sqrt{3} \cdot 49,9799999.989329 \end{array} \right\} = \left\{ \begin{array}{l} 100,04 \\ -50,02 \pm i \cdot 86,568. \end{array} \right\}$$

Nur mit grösserer Mühe erhält man nach den Formeln 1, 2, 3 in § 9 bei blosser Benützung der ersten Differenzen folgende, nicht so genaue Resultate:

Aus $\cos z = 62500$ ergibt sich $\omega = 90^\circ - 3'',3003$.

Daraus folgt $z' = \log \cotg 1'',65015 = 5,0969016$.

Durch $\frac{z'}{3}$ findet man den neuen Hilfswinkel $\omega' = 87^\circ 42' 30'',448$.

Aus ω' folgt dann weiter:

$$\log \cos \frac{z}{3} = 1,3981106, \log \sin \frac{z}{3} = 1,3977631.$$

Demnach wäre $x = 100,0390$ und

$$x = -50,0195 \pm i \cdot \sqrt{3} \cdot 49,97963 = -50,0195 \pm i \cdot 86,56726.$$

c) $x^3 + x = 10$. Dieses schon in § 27 berechnete Beispiel giebt nach den Formeln (V) dieselben Resultate, wie dort, nämlich es ist:

$$A = 1,9997151, \quad \Sigma = 2,3091543.$$

$$\Sigma \cdot \zeta = 0,0002851, \quad A \cdot \zeta = 0,0002468.$$

Also ist $x = 2$ und $x = -1 \pm i \cdot \sqrt{3} \cdot 1,1547005 = -1 \pm 2 \cdot i$.

d) Wir nehmen noch einmal das schon in § 28 behandelte 8^{te} Beispiel (Comet 161) auf. Aus $\log g = 3,3708655$ und $\varphi = 1$ ergibt sich $A = 16,688377$, $\Sigma = 16,807793$, $\log \zeta = 2,1790877 - 10$, $\Sigma \cdot \zeta = 0,0000002.5$, also $x = \operatorname{tg} \frac{v}{2} = 16,688377 = A$ und die wahre Anomalie $v = 173^\circ 8' 29'',94$, so dass die Abweichung von dem oben durch die Barker'schen Tafeln gewonnenen Resultate nur $= 0'',01$ ist.

§ 47. Wenn man in der Gleichung $x^3 = 3fx + 2g$ die Werthe von x gefunden hat, und einer der Coefficienten ändert sich ein wenig, so findet man bekanntlich die dadurch veranlasste Aenderung des x durch die Differenzialausdrücke $dx = \frac{x \cdot df}{x^2 - f}$

und $dx = \frac{2dg}{3(x^3-f)}$. Wir können aber auch diese Aenderungen durch Reihenentwicklungen, die auf den Principien der letzten Paragraphen beruhen, finden und wir wählen den Fall, wenn f sich um ein Geringes ändert.

Zunächst sei f positiv. Weil x die Form $p + q$ und $-\frac{p+q}{2} \pm \frac{p-q}{2}i \cdot \sqrt[3]{3}$ hat, wo $p = \sqrt[3]{g + \sqrt{g^2 - f^3}}$ und $q = \sqrt[3]{g - \sqrt{g^2 - f^3}}$ ist, so setze man $f^3 = m^2 \cdot g^2 + U$, wobei U sehr klein ist.

1) Ist $m > 1$, so schreibe man für diesen irreducibeln Fall

$$p = \sqrt[3]{g + i\sqrt{f^3 - g^2}} \text{ und } q = \sqrt[3]{g - i\sqrt{f^3 - g^2}}. \text{ Dann ist } f^3 - g^2 = \delta^2 \cdot g^2 \cdot \left(1 + \frac{U}{\delta^2 \cdot g^2}\right), \text{ wo } \delta^2 = m^2 - 1 \text{ ist. Setzt man ferner } \frac{U}{\delta^2 \cdot g^2} = u, \text{ so hat man } p = \sqrt[3]{g} \cdot \sqrt[3]{1 + i\delta + \frac{i\delta}{2}u}, \quad q = \sqrt[3]{g} \cdot \sqrt[3]{1 - i\delta - \frac{i\delta}{2}u}.$$

Nun sei $\lambda = \frac{\delta}{2(1+\delta^2)}(i+\delta)$ und $\lambda' = \frac{\delta}{2(1+\delta^2)}(i-\delta)$, dann ist

$$p = \sqrt[3]{g} \cdot \sqrt[3]{1 + i\delta} \cdot (1 + \frac{1}{2}\lambda u), \quad q = \sqrt[3]{g} \cdot \sqrt[3]{1 - i\delta} \cdot (1 - \frac{1}{2}\lambda' u).$$

Dennach ist mit Benutzung von § 12, wenn $\cos z = \frac{1}{m}$ und $\zeta = \frac{\pi}{3}$ gesetzt wird,

$$p = \sqrt[3]{mg} \cdot (\cos \zeta + i \sin \zeta) \cdot (1 + \frac{1}{2}\lambda u), \quad q = \sqrt[3]{mg} \cdot (\cos \zeta - i \sin \zeta) \cdot (1 - \frac{1}{2}\lambda' u),$$

$$\text{also } p + q = \sqrt[3]{mg} \left[2 \cos \zeta + (\lambda - \lambda') \cdot \cos \zeta \cdot \frac{u}{3} + i(\lambda + \lambda') \cdot \sin \zeta \cdot \frac{u}{3} \right],$$

$$p - q = \sqrt[3]{mg} \left[2 i \sin \zeta + (\lambda + \lambda') \cdot \cos \zeta \cdot \frac{u}{3} + i(\lambda - \lambda') \cdot \sin \zeta \cdot \frac{u}{3} \right] \text{ und}$$

$$(w.) \dots x = \left\{ \begin{aligned} &2 \sqrt[3]{mg} \left[\cos \zeta + (\tau \cos \zeta - \vartheta \cdot \sin \zeta) \frac{u}{3} \right] \\ &- 2 \sqrt[3]{mg} \left[\cos(60 \pm \zeta) + [\tau \cos(60 \pm \zeta) - \vartheta \cdot \sin(\zeta \pm 60)] \frac{u}{3} \right] \end{aligned} \right\}, \text{ wo } \left\{ \begin{aligned} \tau &= \frac{m^2 - 1}{2 \cdot m^2} \\ \vartheta &= \frac{\sqrt{m^2 - 1}}{2 \cdot m^2} \end{aligned} \right\}$$

Die Aenderungen also, welche die Wurzeln erfahren, wenn f^3 um U wächst, sind

$$2 \sqrt[3]{mg} \cdot (\tau \cdot \cos \zeta - \vartheta \cdot \sin \zeta) \cdot \frac{u}{3} \text{ und } -2 \sqrt[3]{mg} \cdot [\tau \cos(60 \pm \zeta) - \vartheta \cdot \sin(\zeta \pm 60)] \frac{u}{3}.$$

2) Ist $m < 1$, so tritt der reducible Fall ein und wir erhalten durch eine Rechnung, die der vorigen analog ist, mit Benutzung von § 13

$$(W.)x = \left\{ \begin{aligned} &2 \sqrt[3]{mg} \left[\cos \zeta + (\tau \cos \zeta - \vartheta \sin \zeta) \frac{u}{3} \right] \\ &- \sqrt[3]{mg} \left[\cos \zeta + (\tau \cos \zeta - \vartheta \sin \zeta) \frac{u}{3} \right] \pm i \sqrt[3]{3} \cdot \sqrt[3]{mg} \left[\sin \zeta - (\vartheta \cdot \cos \zeta - \tau \sin \zeta) \frac{u}{3} \right] \end{aligned} \right\},$$

$$\text{wo } u = \frac{U}{(1-m^2)g^2}, \quad \tau = \frac{1-m^2}{2 \cdot m^2}, \quad \vartheta = \frac{\sqrt{1-m^2}}{2 \cdot m^2}, \quad \cos z = \frac{1}{m}, \quad \zeta = \frac{\pi}{3} \text{ ist.}$$

Wenn also f^3 um U wächst, so ist die Aenderung, welche die reelle Wurzel dadurch erleidet, $= 2 \sqrt[3]{m g} \cdot (\tau \cos \zeta - \vartheta \sin \zeta) \frac{u}{3}$ und die Aenderung, welche der imaginäre Theil der beiden andern Wurzeln erfährt,

$$= \mp i \sqrt[3]{3} \cdot \sqrt[3]{m g} (\vartheta \cdot \cos \zeta - \tau \sin \zeta) \frac{u}{3}.$$

§ 48. Sollte f negativ sein, so kann nur der reducible Fall eintreten. Man setze dann $f = -\varphi$, $U = \varphi^3 - m^2 g^2$, $u = \frac{U}{(m^2+1) \cdot g^2}$, $\tau = \frac{m^2+1}{2 \cdot m^2}$, $\vartheta = \frac{\sqrt{m^2+1}}{2 \cdot m^2}$, $\sin \zeta = \frac{1}{m}$, $\zeta = \frac{\pi}{3}$, dann ist mit Benutzung von § 14

$$x = \left\{ 2 \sqrt[3]{m g} \left[\sin \zeta + (\tau \sin \zeta - \vartheta \cdot \cos \zeta) \frac{u}{3} \right] \right. \\ \left. - \sqrt[3]{m g} \left[\sin \zeta + (\tau \sin \zeta - \vartheta \cdot \cos \zeta) \frac{u}{3} \right] \pm i \sqrt[3]{3} \cdot \sqrt[3]{m g} \left[\cos \zeta - (\vartheta \cdot \sin \zeta - \tau \cos \zeta) \frac{u}{3} \right] \right\} \quad (X.)$$

woraus die Aenderungen für x leicht zu entnehmen sind, die dadurch entstehen, dass f^3 um eine kleine Quantität U wächst, deren Quadrat schon zu vernachlässigen ist.

Beispiele.

1) Löst man die Gleichungen $x^3 = 108x + 54$ und $\xi^3 = 108,021\xi + 54$, wo $g = 27$, $f = 36$, $f^3 = 36,007$ ist, jede für sich auf, so erhält man:

$$x = \begin{Bmatrix} 10,60382 \\ -0,50117 \\ -10,13265 \end{Bmatrix}, \quad \xi = \begin{Bmatrix} 10,63478 \\ -0,50105 \\ -10,13373 \end{Bmatrix}, \quad dx = \begin{Bmatrix} 0,00096 \\ 0,00012 \\ -0,00108 \end{Bmatrix}$$

Bedient man sich aber der Formeln (w), in denen $m = 8$, $U = 27,22129$, $\log u = 6,7728406 - 10$, $\log \tau = 9,6921305$, $\log \vartheta = 8,7924603$ ist, so findet sich: $dx = 0,00096.592$, $0,00009.8153$, $-0,00106.16$.

2) Wenn man ferner die beiden Gleichungen: $x^3 + 108x = 54$ und $\xi^3 + 108,021\xi = 54$, wo $\varphi = 36$ $\varphi^3 = 36,007$ ist, einzeln auflöst und dabei den in i multiplicirten Theil der Wurzeln respective mit y und v bezeichnet, so erhält man:

$$\begin{array}{l|l} z^3 = 0,0541465 & 0,0541307 \\ \log \sin \zeta = 8,6182981 & 8,6186633 \\ \log \cos \zeta = 0,0003741 & 0,0003747 \\ x = 0,4988501 & \xi = 0,4987545 \\ y = 10,40129 & v = 10,40229 \end{array} \quad \left| \begin{array}{l} dx = -0,0009.56 \\ dy = 0,00100. \end{array} \right.$$

Wendet man aber die Gleichungen (X) an, in denen $\log u = 6,7592677$, $\log \tau = 9,7057034$, $\log \vartheta = 8,7992467$ ist, so findet man:

$$dx = -0,00009.6350, \quad dy = 0,00100.61.$$

Druckfehler.

| | | | | |
|-------|--------|--------|-----|--|
| Seite | 8 | Zeile | 16 | lies und der statt und das. |
| " | 10 | " | 5 | von unten lies giebt statt gilt. |
| " | 27 | " | 4 | von unten im Nenner lies α^2 statt 2. |
| " | 28 | " | 1 | lies die zweite Bedingung. |
| " | 28 | " | 4 | lies irreducibel Fall. |
| " | 28 | " | 3 | von unten fehlt im Zähler nach $-\frac{\alpha}{2}$ ein Klammerzeichen. |
| " | 32 | " | 2 | lies 4,3021 statt 4,0321. |
| " | 34, 35 | und 36 | ist | statt der Hilfswinkel ω und ω' zu lesen ω und ω' . |
| " | 34 | Zelle | 2 | lies § 46 statt § 45. |
| " | 36 | " | 5 | von unten lies § 44 statt § 43. |
| " | 37 | " | 13 | lies § 44 statt § 43. |
| " | 58 | " | 9 | von unten $-\frac{1}{4}\psi^2$ statt $+\frac{1}{4}\psi^2$. |
| " | 59 | " | 6 | lies $-\psi^2$ statt $-\psi^2$. |

Bruchstücke aus den neuen Tafeln

zur Berechnung

der in der Abhandlung vorkommenden Beispiele.

Der Druck der Tafeln wird in acht Wochen vollendet sein.

| α | z | Diff. | $\log \cos z$ | Diff. | $\log \sin z$ | Diff. |
|------------|--|--------------------|----------------------------|--------|----------------------------|---------|
| 0° 0' 2" | 0,0000042 | 21 | 0,0000000 | 0 | 4,9896019 | 1760912 |
| 0° 0' 3" | 0,0000063 | | 0,0000000 | | 5,1628961 | |
| 0° 0' 6" | 0,0000126 | 21 | 0,0000000 | 0 | 5,4637261 | 669468 |
| 0° 0' 7" | 0,0000147 | | 0,0000000 | | 5,5306729 | |
| 0° 1' 40" | 0,0002106 | | 0,0000001 | | 6,6855749 | |
| 0° 1' 50" | 0,0002316 | 210 | 0,0000001 | 0 | 6,7269676 | 413927 |
| 0° 5' 0" | 0,0006317 | | 0,0000005 | | 7,1628964 | |
| 0° 5' 10" | 0,0006527 | 210 | (6), 5, | 0 | 7,1769369 | 142405 |
| 0° 17' 54" | (2), 22613,37 | 21,05 | (5), 58,87278 | .10966 | 7,7165831 | 4042 |
| 0° 17' 55" | (2), 22634,42 | | (5), 58,98244 | | 7,7169873 | |
| 0° 53' 42" | (2), 67342,60 | 21,03 | (4), 529,8742 | .3289 | 8,1937357 | 1348 |
| 0° 53' 43" | (2), 67863,63 | 21,07 | (4), 530,2031 | .3293 | 8,1938705 | 1348 |
| 0° 53' 44" | (2), 67884,70 | | (4), 530,5324 | | 8,1940053 | |
| 2° 1' 0" | 0,0152892 | | 0,0002691 | | 8,5466909 | |
| 2° 1' 10" | 0,0153103 | 211 | 0,0002698 | 7 | 8,5472892 | 5983 |
| 2° 22' 40" | 0,0180284 | 211 | 0,0003741 | 9 | 8,6182981 | 5076 |
| 2° 22' 50" | 0,0180495 | 211 | 0,0003750 | 8 | 8,6188067 | 5070 |
| 2° 23' 0" | 0,0180706 | | 0,0003758 | | 8,6193127 | |
| 2° 51' 10" | { 0,0216327 0,0216325,9 0,0216538 0,0216537,0 } | { 211 211,1 } | { 0,0005385 0,0005396 } | 11 | { 8,6975044 8,6979278 } | 4234 |
| 6° 2' | 0,0458166 | | 0,0024123 | | 9,0240441 | |
| 6° 3' | 0,0459437 | 1271 | 0,0024257 | 134 | 9,0252510 | 12069 |
| 7° 7' | 0,0540826 | | 0,0033588 | | 9,0963955 | |
| 7° 8' | 0,0542100 | 1274 | 0,0033746 | 158 | 9,0974219 | 10264 |
| 8° 32' | { 0,0649220 0,0649220,0 0,0650498 0,0650497,6 } | { 1278 1277,6 } | { 0,0048336 0,0048546 } | 190 | { 9,1762239 9,1770840 } | 8601 |
| 14° 32' | 0,1113614 | | 0,0141238 | | 9,4136993 | |
| 14° 33' | 0,1114920 | 1306 | 0,0141566 | 328 | 9,4142191 | 5198 |
| 21° 35' | 0,16762 | 13 | 0,03157 | 5 | 9,59725 | 37 |
| 21° 36' | 0,16775 | 14 | 0,03162 | 5 | 9,59762 | 37 |
| 21° 37' | 0,16789 | | 0,03167 | | 9,59799 | |
| 21° 42' | 0,16856 | | 0,03192 | | 9,59983 | |
| 21° 43' | 0,16870 | 14 | 0,03197 | 5 | 9,60019 | 36 |
| 22° 5' | 0,17169 | | 0,03309 | | 9,60823 | |
| 22° 6' | 0,17183 | 14 | 0,03314 | 5 | 9,60859 | 36 |
| 38° 21' | 0,31519 | | 0,10555 | | 9,89827 | |
| 38° 22' | 0,31535 | 16 | 0,10565 | 10 | 9,89853 | 26 |
| 40° 17' | 0,3341368 | | 0,1175572 | | 9,9281713 | |
| 40° 18' | 0,3343025 | 1657 | 0,1176643 | 1071 | 9,9284274 | 2561 |

| m | z' | $Diff.$ | $\log \cos z$ | $Diff.$ | $\log \sin z$ | $Diff.$ |
|-------------|-----------|---------|---------------|---------|---------------|---------|
| 44° 43' | 0,3797160 | 1778 | 0,1483780 | 1251 | 9,9957047 | 2526 |
| 44° 44' | 0,3799238 | | 0,1485031 | | 9,9959573 | |
| 55° 8' | 0,50304 | 22 | 0,24286 | 18 | 0,15693 | 27 |
| 55° 9' | 0,50326 | 22 | 0,24304 | 18 | 0,15720 | 26 |
| 55° 10' | 0,50348 | | 0,24322 | | 0,15746 | |
| 55° 20' | 0,50570 | 23 | 0,24501 | 18 | 0,16016 | 27 |
| 55° 21' | 0,50593 | | 0,24522 | | 0,16043 | |
| 56° 3' | 0,51534 | 23 | 0,25300 | 19 | 0,17183 | 27 |
| 56° 4' | 0,51557 | | 0,25319 | | 0,17210 | |
| 56° 39' | 0,52355 | 23 | 0,25983 | 20 | 0,18169 | 28 |
| 56° 40' | 0,52378 | | 0,26003 | | 0,18197 | |
| 59° 59' | 0,57169 | 26 | 0,30681 | 22 | 0,23827 | 29 |
| 60° 0' | 0,57195 | 25 | 0,30703 | 22 | 0,23856 | 29 |
| 60° 1' | 0,57220 | | 0,30725 | | 0,23885 | |
| 63° 26' | 0,62694 | 28 | 0,34926 | 25 | 0,30100 | 32 |
| 63° 27' | 0,62722 | | 0,34971 | | 0,30132 | |
| 64° 9' | 0,63924 | 29 | 0,36050 | 26 | 0,31471 | 32 |
| 64° 10' | 0,63953 | | 0,36076 | | 0,31503 | |
| 66° 47' | 0,68735 | 32 | 0,40427 | 30 | 0,36760 | 35 |
| 66° 48' | 0,68767 | | 0,40457 | | 0,36795 | |
| 73° 34' | 0,84044 | 45 | 0,54837 | 43 | 0,53025 | 47 |
| 73° 35' | 0,84089 | | 0,54880 | | 0,53072 | |
| 74° 4' | 0,94559 | 57 | 0,65011 | 55 | 0,63895 | 58 |
| 74° 5' | 0,94616 | | 0,65066 | | 0,63953 | |
| 81° 42' | 1,1393141 | 8760 | 0,8405646 | 8668 | 0,8359917 | 8852 |
| 81° 43' | 1,1401901 | | 0,8414314 | | 0,8368769 | |
| 83° 9' | 1,2229443 | 10605 | 0,9234671 | 10530 | 0,9203559 | 10681 |
| 83° 10' | 1,2240048 | | 0,9245201 | | 0,9214240 | |
| 86° 55' 20" | 1,57081 | 39 | 1,27009 | 40 | 1,26947 | 39 |
| 86° 55' 30" | 1,57120 | | 1,27049 | | 1,26986 | |
| 87° 47' | 1,71340 | 328 | 1,41253 | 328 | 1,41221 | 328 |
| 87° 48' | 1,71668 | | 1,41581 | | 1,41549 | |
| 88° 29' 30" | 1,88063 | 80 | 1,57968 | 80 | 1,57952 | 81 |
| 88° 29' 40" | 1,88143 | | 1,58048 | | 1,58033 | |
| 88° 36' 50" | 1,91733 | 87 | 1,61637 | 87 | 1,61624 | 87 |
| 88° 37' 0" | 1,91820 | | 1,61724 | | 1,61711 | |
| 89° 0' 20" | 2,06156 | 122 | 1,76056 | 122 | 1,76050 | 121 |
| 89° 0' 30" | 2,06278 | | 1,76178 | | 1,76171 | |
| 89° 39' 10" | 2,51854 | 349 | 2,21752 | 349 | 2,21751 | 349 |
| 89° 39' 20" | 2,52203 | | 2,22101 | | 2,22100 | |
| 89° 58' 30" | 3,6612126 | 511525 | 3,3601826 | 511526 | 3,3601826 | 511525 |
| 89° 58' 40" | 3,7123651 | | 3,4113352 | | 3,4113351 | |

Final.

©

NEUESTE
SCHRIFTEN
DER
NATURFORSCHENDEN GESELLSCHAFT

IN
DANZIG. , *Russia* —

SECHSTEN BANDES VIERTES HEFT.

G.
DANZIG.

AUF KOSTEN DER NATURFORSCHENDEN GESELLSCHAFT.

1862.

~~48.26~~

1873, May 2.
Farrar Fund.

TAFELN

für die

HYPERBOLISCHEN SECTOREN

und für die

Logarithmen ihrer Sinus und Cosinus.

Zu der Abhandlung: Auflösung der kubischen Gleichungen.

Von

Johann Friedrich Wilhelm.

J. F. W. GRONAU,

Oberlehrer an der Realschule zu St. Johann in Danzig.

DANZIG.

1862.

48.26

1873, May 2.
Farrar Fund.

Vorrede.

Für Diejenigen, welchen meine Abhandlung über die kubischen Gleichungen zur Hand ist, habe ich nur wenig zu sagen. Es ist dort (pag. 50) darauf aufmerksam gemacht, dass wenn man die Resultate etwa auf fünf Stellen genau haben will, die hyperbolischen Sektoren (z) fünf geltende Ziffern enthalten müssen und demnach habe ich der Kürze wegen die Bezeichnung $z' = 0,00067.377 = (3)67.377$ eingeführt. Obgleich bei den andern Rubriken eine solche Sorgfalt nicht in demselben Masse nöthig gewesen wäre, so habe ich die Mühe nicht gescheut, auch hier stets fünf geltende Ziffern zu geben, dem Rechner überlassend, die für ihn etwa entbehrlichen letzten Ziffern sich in Gedanken abzuschneiden, wobei ich bei $\log. \sin z$ stets durch das Hinsetzen eines Punktes nach der fünften Decimalstelle zu Hilfe gekommen bin. Sollte Jemand bei dieser dritten Rubrik von $\omega = 38^\circ 28'$ ab bis $\omega = 45^\circ$, wo vorne mehrere Neunen stehen, noch eine entsprechende Anzahl von Stellen mehr brauchen, so darf er nur von den zugehörigen Hilfswinkeln (ω) die Complemente nehmen und die diesen entsprechenden $\log. \sin z$ und deren Differenz benutzen.

Da meine Tafeln mit (9)51039 anfangen, so ist ersichtlich, dass sämmtliche vorhandenen logarithmischen Hilfsmittel mir nicht genügen konnten und ich schon aus diesem Grunde, selbst unter Voraussetzung ihrer vollkommenen Richtigkeit, viele Zahlen durch die in der Abhandlung angegebenen Reihenentwicklungen selbstständig berechnen musste, um für die in den Tafeln enthaltenen fünf geltenden Ziffern überall eintreten zu können. Die pag. 51 gegebene Reihe für $\log. \cos z$ musste zu diesem Zwecke noch um ein Glied weiter berechnet werden und lautet dann also:

$$\log \cos z = \left(\frac{M}{2} N^2\right) \omega_{11}^2 + \left(\frac{M}{12} N^4\right) \omega_{11}^4 + \left(\frac{M}{45} N^6\right) \omega_{11}^6 + \left(\frac{283}{4032} M N^8\right) \omega_{11}^8 + \dots$$

wo $N = \frac{\pi}{180,3600}$, ω_{11} den Werth von ω in Sekunden ausgedrückt bedeutet, und wodie Logarithmen der vier eingeklammerten Coefficienten 8.70790.40492.84 — 20, 7.30090.25325 — 30, 6.09802.10 — 40 und 5.93682 — 50 sind.

Bei dieser Gelegenheit habe ich in Vega's Thesaurus folgende Fehler gefunden:*)

*) Die größten Fehler, auf welche Gauss (Astron. Nachrichten Nr. 756: Einige Bemerkungen zu Vega's Thesaurus Logarithmorum) aufmerksam macht, befinden sich bei $\log. \text{tg. } 15^\circ 40' 20'', 15^\circ 41' 30'', 1^\circ 20' 10'', 1^\circ 20' 15''$ und betragen ± 4 Einheiten in der zehnten Decimale. — Der Fehler in der 8. Decimale bei $\log. \cotg. 5^\circ 51' 50''$ (Astron. Nachr. Nr. 1047), welcher übrigens auch in Vlacq vorkommt, dürfte nicht zu den „sphalmatibus computationum turbulentibus“ gezählt werden, auf deren Entdeckung Vega einst einen Preis setzte, da sowohl die Differenz an dieser Stelle, als auch der betreffende $\log. \text{tg.}$ richtig angegeben ist.

| <i>log. tg.</i> | <i>Fega</i> | <i>Anstatt</i> | <i>Fehler</i> | <i>log. sec</i> | <i>Fega</i> | <i>Anstatt</i> | <i>Fehler</i> |
|------------------|---------------|------------------|---------------|-----------------|-------------|-----------------|---------------|
| 0° 21' 50" | 7.80285,20017 | 7.80285,20017,62 | + 0.62 | 0° 18' 0" | (569533 | (569532,42 | - 0.58 |
| 0° 25' 5" | 8.00884,20446 | 8.00884,20444,4 | - 1.6 | 20' 40" | (578479 | (578478,38 | - 0.62 |
| 1° 29' 30" | 8.41564,72892 | 8.41564,72889,0 | - 3.0 | 20' 50" | (579750 | (579749,28 | - 0.72 |
| 2° 58' 30" | 8.71575,48772 | 8.71575,48771,3 | - 0.7 | 21' 0" | (581031 | (581030,38 | - 0.62 |
| 45° 21' 50" | (2551,66084 | (2551,66082,96 | - 1.04 | 22' 10" | (590283 | (590283,91 | + 0.91 |
| 45° 22' 20" | (2564,29500 | (2564,29498,68 | - 1.32 | 22' 20" | (591646 | (591646,67 | + 0.67 |
| 45° 24' 40" | (2623,25501 | (2623,25503,54 | + 2.54 | 22' 30" | (593019 | (593019,64 | + 0.64 |
| 45° 32' 50" | (2829,62495 | (2829,62496,44 | + 1.44 | 22' 40" | (594402 | (594402,83 | + 0.83 |
| 46° 29' 30" | (12262,34999 | (12262,34998,1 | - 0.9 | 22' 50" | (595795 | (595796,22 | + 1.22 |
| 47° 58' 30" | (14518,14999 | (14518,14993,4 | - 5.6*) | 23' 0" | (597199 | (597199,83 | + 0.83 |
| <i>log. sec.</i> | | | | 23' 10" | (598613 | (598613,62 | + 0.62 |
| 0° | (7414 | (7413,4177 | - 0.5823 | 23' 40" | (4102915 | (4102916,3 | + 1.3 |
| 1' 40" | (7511 | (7510,3922 | - 0.6078 | 24' 0" | (4105835 | (4105835,79 | + 0.79 |
| 2' 20" | (61001 | (61000,369 | - 0.631 | 24' 20" | (4108795 | (4108796,1 | + 1.1 |
| 2' 30" | (61149 | (61148,384 | - 0.616 | 31' 40" | (4184255 | (4184254,2 | - 0.8 |
| 4' 50" | (64293 | (64292,399 | - 0.601 | 32' 0" | (4188155 | (4188153,7 | - 1.3 |
| 5' 20" | (65227 | (65226,419 | - 0.581 | 32' 20" | (4192875 | (4192894,0 | - 1.0 |
| 5' 30" | (65559 | (65558,172 | - 0.828 | 33' 40" | (4208265 | (4208263,7 | - 1.3 |
| 5' 40" | (65901 | (65900,137 | - 0.863 | 34' 20" | (4216595 | (4216593,6 | - 1.4 |
| 5' 50" | (66253 | (66252,308 | - 0.692 | 35' 20" | (4223336 | (4223337,199 | - 1.28 |
| 6' 10" | (66988 | (66987,273 | - 0.727 | 35' 30" | (4231565 | (4231561,0 | - 1.0 |
| 6' 20" | (67371 | (67370,047 | - 0.933 | 39' 20" | (4284275 | (4284274,2557 | - 0.74 |
| 6' 30" | (67764 | (67763,070 | - 0.930 | 41' 40" | (4366595 | (4366594,259 | - 0.57 |
| 6' 40" | (68167 | (68166,281 | - 0.719 | 53' 30" | (4525936 | (4525934,1818 | - 1.52 |
| 7' 0" | (69004 | (69003,325 | - 0.675 | 54' 10" | (4539125 | (4539121,0990 | - 0.91 |
| 7' 10" | (69438 | (69437,158 | - 0.812 | 56' 30" | (4586575 | (4586574,2558 | - 0.74 |
| 7' 20" | (69882 | (69881,201 | - 0.799 | 1° 0' 40" | (4596285 | (4596283,3842 | - 0.62 |
| 7' 30" | (510336 | (510335,451 | - 0.549 | 2' 50" | (4625455 | (4625453,7571 | + 0.76 |
| 8' 0" | (511760 | (511759,45 | - 0.55 | 4' 30" | (4664455 | (4664445,1826 | - 0.82 |
| 10' 30" | (520258 | (520257,49887 | - 0.5011 | 7' 40" | (4841365 | (4841364,4580 | - 0.54 |
| 12' 40" | (529481 | (529480,32 | - 0.68 | 7' 50" | (4845515 | (4845514,4840 | - 0.52 |
| 12' 50" | (530262 | (530261,22 | - 0.78 | 9' 20" | (4883325 | (4883324,2531 | - 0.75 |
| 13' 0" | (531053 | (531052,33 | - 0.67 | 13' 20" | (4988195 | (4988194,2049 | - 0.71 |
| 13' 10" | (532065 | (532065,18 | - 0.82 | 20' 0" | (31170651 | (31170649,8417 | - 1.16 |
| 13' 30" | (533488 | (533486,93 | - 1.07 | 2° 1' 40" | (32720419 | (32720418,151 | - 0.85 |
| 13' 40" | (534320 | (534318,86 | - 1.14 | 2' 20" | (32750350 | (32750349,274 | - 0.73 |
| 13' 50" | (535162 | (535161,01 | - 0.99 | 2' 30" | (32757871 | (32757870,1084 | - 0.89 |
| 14' 0" | (536014 | (536014,37 | - 0.63 | 19' 50" | (33239750 | (3323975,49,305 | - 0.80 |
| 14' 10" | (536877 | (536875,94 | - 1.06 | 38' 40" | (34627349 | (34627348,373 | - 0.63 |
| 14' 20" | (537750 | (537748,72 | - 1.28 | 43' 0" | (34828651 | (34828650,250 | - 0.75 |
| 14' 30" | (538633 | (538631,69 | - 1.31 | 50' 20" | (35333149 | (35333147,809 | - 1.19 |
| 14' 40" | (539526 | (539524,89 | - 1.11 | 50' 40" | (35451051 | (35451050,301 | - 0.80 |
| 14' 50" | (540429 | (540428,29 | - 0.71 | 2° 10' | (36100252 | (36100251,280 | - 0.71 |
| 16' 40" | (551010 | (551009,42 | - 0.58 | 22' 50" | (36363751 | (3636375,3,163 | - 0.84 |
| 16' 50" | (552066 | (552065,32 | - 0.68 | 23' 10" | (36758849 | (36758848,114 | - 0.59 |
| 17' 0" | (553102 | (553101,43 | - 0.57 | 29' 0" | (38030049 | (38030048,474 | - 0.53 |
| 17' 20" | (555205 | (555204,26 | - 0.74 | 30' 50" | (38172550 | (38172550,976 | + 0.98 |
| 17' 30" | (556272 | (556270,99 | - 1.01 | 38' 10" | (38754351 | (38754351,076 | - 0.52 |
| 17' 40" | (557349 | (557347,92 | - 1.08 | 42' 40" | (39116348 | (39116347,441 | - 0.56 |
| 17' 50" | (558436 | (558435,07 | - 0.93 | 45' 10" | (39322353 | (39322352,454 | - 0.55 |

In Betreff der Anwendung meiner Tafeln auf Integrationen habe ich noch einige Bemerkungen zu machen. So wie nämlich, abgesehen von der Constante,

$$\left. \begin{aligned} \int \frac{dv}{\sqrt{1-v^2}} &= \text{arc}(\sin = v) \\ \int -\frac{dv}{\sqrt{1-v^2}} &= \text{arc}(\cos = v) \\ \int \frac{dv}{1+v^2} &= \text{arc}(\text{tg} = v) \\ \int -\frac{dv}{1+v^2} &= \text{arc}(\text{cotg} = v) \\ \int \frac{dv}{v\sqrt{v^2-1}} &= \text{arc}(\sec = v) \\ \int -\frac{dv}{v\sqrt{v^2-1}} &= \text{arc}(\text{cosec} = v) \\ \int \frac{dv}{\sqrt{2av-v^2}} &= \text{arc}\left(\cos = \frac{a-v}{a}\right) \end{aligned} \right\} \text{so ist auch} \left\{ \begin{aligned} \int \frac{dv}{\sqrt{v^2+1}} &= \text{Arc}(\sin = v) \\ \int \frac{dv}{\sqrt{v^2-1}} &= \text{Arc}(\cos = v) \\ \int \frac{dv}{1-v^2} &= \text{Arc}(\text{Tg} = v) \\ \int -\frac{dv}{v^2-1} &= \text{Arc}(\text{Cotg} = v) \\ \int -\frac{dv}{v\sqrt{1-v^2}} &= \text{Arc}(\sec = v) \\ \int \frac{dv}{v\sqrt{1+v^2}} &= \text{Arc}(\text{Cosec} = v) \\ \int \frac{dv}{\sqrt{2av+v^2}} &= \text{Arc}\left(\cos = \frac{a+v}{a}\right) \end{aligned} \right\} \text{etc.}$$

worüber etwa Klügels Wörterbuch, Integralformel 9, 12, 50 bis 56 und vor Allem Gudermann's schon erwähnte Theorie der cyklich-hyperbolischen Functionen pag. 21 und 113 zu vergleichen ist. Man wird also in Zukunft nicht nöthig haben, die letzten Integrale durch die immer etwas unbequemen logarithmischen Functionen, oder durch Einführung von Hilfwinkeln zu berechnen, sondern man wird sich zu diesem Zwecke mit Leichtigkeit der neuen Tafeln für die hyperbolischen Functionen bedienen können.

Nun könnte es befremden, dass ich nicht die hyperbolischen Sektoren selber, die z , gegeben habe, sondern die z' , welche $= M \cdot z$ sind, wo M der bekannte Modul ist. Aber einerseits ist die Reduction auf z nicht schwieriger, als bei den alten Tafeln die Reduction der Winkel auf Bogenlängen, andererseits haben die z' bei Berechnung der Proportionaltheile vor den z einen entschiedenem Vorzug, wenn ω und also auch die Differenzen gross werden (etwa von $\omega = 75^\circ$ ab). Da nämlich dann die Differenzen der z' den entsprechenden Differenzen der andern Columnen allmählig immer mehr gleich werden, wovon der Grund in der Form der drei eine stetige Porportion bildenden Differentialen

$$d \log \cos z = \frac{M \cdot d\omega}{\cos \omega} \cdot \sin \omega, \quad d z' = \frac{M \cdot d\omega}{\cos \omega} \cdot 1, \quad d \log \sin z = \frac{M \cdot d\omega}{\cos \omega} \cdot \frac{1}{\sin \omega}$$

liegt, so macht die Interpolation bei der vorliegenden Einrichtung der neuen Tafeln allmählig immer weniger Mühe, während sie sonst, wenn die Tafeln die z enthielten, allmählig immer beschwerlicher ausfallen würde.

Ferner wäre es in Beziehung auf die Integralrechnung wünschenswerth, wenn die neuen Tafeln auch die hyperbolischen Tangenten, Cotangenten, Sekanten und Cosekanten ($\text{Tg } z = \sin \omega$, $\text{Cotg } z = \text{cosec } \omega$, $\text{Sec } z = \cos \omega$, $\text{Cosec } z = \text{cotg } \omega$) enthielten; indess vertrug sich die Herbeiziehung derselben einmal nicht mit dem speciellen Zweck der Tafeln, und dann kann man sich auch, so oft man auf diese Grössen stösst, leicht anderweitig helfen, z. B. im dritten Falle rechter Hand in folgender Weise:

Gesetzt man hätte $\int \frac{dv}{1-v^2}$ von $v = 0$ bis $v = \text{num. log. } 9,95381 - 10$ zu berechnen.

1) Die alten Tafeln geben, wenn $\log. \sin \omega = 9,95381$ ist, $\omega = 64^\circ 2' 30''$, und die neuen Tafeln für dieses ω den gesuchten hyperbolischen Sektor Arc ($\text{Tg} = v$) = $\frac{0,63735}{M}$.

2) Um während der ganzen Rechnung in den neuen Tafeln bleiben zu können, nehme man zu dem gegebenen $\log. v$ die dekadische Ergänzung $0,04619$, welche = $\log. \sec (90 - \omega)$ ist. Sucht man diese Ergänzung (1) 46190 in der Rubrik für $\log. \cos z$, so erhält man durch die Proportion $6:2:3,5 = 60'': 34''$, dass $90 - \omega = 25^\circ 57' 34''$, $\omega = 64^\circ 2' 26''$, also Arc = $\frac{0,63734}{M}$ ist.

Wenn aber einst die neuen Tafeln durch Einverleibung der Logarithmen der Kreissinus die alten Tafeln werden überflüssig gemacht haben, dann wird man durch die blosse Proportion $6:3 = 29:14$ erfahren, dass zu $\log \text{Tg} = 9,95381$, $z' = 0,63735$ gehört.

Uebrigens darf ich nicht verschweigen, dass Gudermann's Tafeln die hyperbolischen Tangenten enthalten; aber abgesehen von dem, was ich über seine mühsame Arbeit in der Abhandlung (pag. 3) gesagt habe, können leider seine Tafeln schon aus dem Grunde nicht ohne Weiteres die Bausteine zu den in Aussicht gestellten, allseitig befriedigenden Tafeln liefern, weil seine hyperbolischen Functionen sich nicht dem Lambertschen transcendentalen Winkel ω und dessen regelmässigen Wachsthum anschmiegen, sondern bei ihm die hyperbolischen Sektoren selber (von $z = 2$ bis $z = 12$) regelmässig wachsen.

Noch ist zu erwähnen, dass ein geehrter Leser der Abhandlung mir den sehr beachtenswerthen Vorschlag macht, die pag. 20 aufgestellten, die kubischen Gleichungen auflösenden Systeme von je drei Formen folgender Massen in eine Form zusammen zu ziehen:

I. Für den irreduciblen Fall:

$$x = (-1)^n 2 \sqrt{f} \cos \left(\frac{x}{3} + n 60^\circ \right), \text{ wobei } \cos z = \frac{r}{\sqrt{f^2}} \text{ und } n = 0, -1, +1.$$

II. Für den reduciblen Fall, 1) wenn $g^2 > f^3 > 0$:

$$x = (-1)^n 2 \sqrt{f} \cos \left(\frac{x}{3} + i n 60^\circ \right), \text{ wobei } \sqrt[3]{\cos z} = \frac{r}{\sqrt{f}}, \text{ und } n = 0, -1, +1.$$

2) wenn f negativ ist:

$$x = (-1)^n 2 \sqrt{-f} \sin \left(\frac{x}{3} + i n 60^\circ \right), \text{ wobei } \sin z = \frac{r}{\sqrt{-f}}, \text{ und } n = 0, -1, +1.$$

Auch will ich wegen einer Erinnerung im literarischen Centralblatt vom 30. Novbr. c. ausdrücklich hervorheben, dass von den bei Auflösung des reduciblen Falles bisher üblich gewesen zwei Hilfswinkel der eine $h = 90^\circ - \omega$ ist, worüber ich pag. 34, 25 und 10 zu vergleichen bitte.

Schliesslich bemerke ich, dass mich bei Anfertigung der Tafeln der Baucleve Herr A. F. L. Bauer unterstützt hat.

Danzig, 6. December 1861.

Der Verfasser.

$$\omega = 0 \text{ Grad.}$$

| ω | z' | Diff. | $\log \cos z$ | Diff. | $\log \sin z$ | Diff. | ω | z' | Diff. | $\log \cos z$ | Diff. | $\log \sin z$ | Diff. |
|----------|----------|--------|---------------|-------|---------------|-------|----------|----------|-------|---------------|-------|---------------|-------|
| 0 | | | | | | | 10 | (2)12633 | 2.11 | (5)18374 | 617 | 7.46373 | 718 |
| 10 | (4)21055 | 2.1055 | (9)51039 | 15312 | 5.08557 | 30103 | 10 | (2)12844 | 2.11 | (5)18992 | 637 | 7.47091 | 706 |
| 20 | (4)42110 | 2.1056 | (8)20416 | 25519 | 5.98660 | 17610 | 20 | (2)13054 | 2.10 | (5)19620 | 638 | 7.47797 | 695 |
| 30 | (4)63166 | 2.1055 | (8)45935 | 35728 | 6.16270 | 12493 | 30 | (2)13265 | 2.11 | (5)20257 | 649 | 7.48492 | 694 |
| 40 | (4)84221 | 2.106 | (8)71043 | 4594 | 6.28753 | 9691 | 40 | (2)13475 | 2.11 | (5)20906 | 658 | 7.49176 | 683 |
| 50 | (3)10528 | 2.105 | (7)12760 | 5614 | 6.38454 | 7919 | 50 | (2)13686 | 2.10 | (5)21554 | 669 | 7.49849 | 674 |
| 1 | (3)12633 | 2.106 | (7)18574 | 6635 | 6.46373 | 6694 | 11 | (2)13896 | 2.11 | (5)22233 | 679 | 7.50512 | 663 |
| 10 | (3)14739 | 2.105 | (7)25049 | 7656 | 6.53967 | 5799 | 10 | (2)14107 | 2.11 | (5)22912 | 689 | 7.51165 | 653 |
| 20 | (3)16844 | 2.106 | (7)31365 | 8677 | 6.58896 | 5166 | 20 | (2)14318 | 2.10 | (5)23601 | 699 | 7.51869 | 644 |
| 30 | (3)18950 | 2.105 | (7)37432 | 9697 | 6.63982 | 4575 | 30 | (2)14528 | 2.11 | (5)24300 | 709 | 7.52443 | 634 |
| 40 | (3)21055 | 2.106 | (7)51039 | 10718 | 6.68557 | 4140 | 40 | (2)14739 | 2.10 | (5)25009 | 720 | 7.53067 | 624 |
| 50 | (3)23161 | 2.105 | (7)61575 | 11739 | 6.72697 | 3779 | 50 | (2)14949 | 2.11 | (5)25729 | 730 | 7.53683 | 616 |
| 1 | (3)25266 | 2.106 | (7)73496 | 12760 | 6.76476 | 3476 | 12 | (2)15160 | 2.10 | (5)26459 | 740 | 7.54291 | 608 |
| 10 | (3)27372 | 2.105 | (7)86256 | 1378 | 6.79852 | 3218 | 10 | (2)15370 | 2.11 | (5)27199 | 750 | 7.54890 | 599 |
| 20 | (3)29477 | 2.106 | (6)10004 | 1480 | 6.83170 | 2997 | 20 | (2)15581 | 2.10 | (5)27949 | 761 | 7.55481 | 591 |
| 30 | (3)31583 | 2.105 | (6)11484 | 1582 | 6.86167 | 2802 | 30 | (2)15791 | 2.11 | (5)28710 | 770 | 7.56064 | 583 |
| 40 | (3)33688 | 2.106 | (6)13066 | 1684 | 6.88869 | 2633 | 40 | (2)16002 | 2.10 | (5)29480 | 781 | 7.56639 | 575 |
| 50 | (3)35794 | 2.105 | (6)14756 | 1787 | 6.91692 | 2483 | 50 | (2)16213 | 2.11 | (5)30261 | 791 | 7.57207 | 568 |
| 1 | (3)37899 | 2.106 | (6)16537 | 1888 | 6.94485 | 2348 | 13 | (2)16423 | 2.10 | (5)31052 | 802 | 7.57767 | 560 |
| 10 | (3)40005 | 2.105 | (6)18425 | 1991 | 6.96433 | 2227 | 10 | (2)16634 | 2.11 | (5)31854 | 811 | 7.58320 | 553 |
| 20 | (3)42110 | 2.106 | (6)20416 | 2092 | 6.98600 | 2119 | 20 | (2)16844 | 2.10 | (5)32667 | 822 | 7.58867 | 547 |
| 30 | (3)44216 | 2.105 | (6)22508 | 2195 | 7.00779 | 2021 | 30 | (2)17055 | 2.11 | (5)33487 | 832 | 7.59406 | 539 |
| 40 | (3)46321 | 2.106 | (6)24703 | 2297 | 7.02860 | 1930 | 40 | (2)17265 | 2.10 | (5)34319 | 842 | 7.59939 | 533 |
| 50 | (3)48427 | 2.105 | (6)27006 | 2399 | 7.04730 | 1849 | 50 | (2)17476 | 2.11 | (5)35161 | 852 | 7.60466 | 527 |
| 1 | (3)50532 | 2.106 | (6)29399 | 2501 | 7.06579 | 1773 | 14 | (2)17686 | 2.10 | (5)36013 | 863 | 7.60986 | 520 |
| 10 | (3)52638 | 2.105 | (6)31906 | 2603 | 7.08352 | 1703 | 10 | (2)17897 | 2.11 | (5)36876 | 873 | 7.61500 | 514 |
| 20 | (3)54744 | 2.106 | (6)34503 | 2705 | 7.10055 | 1639 | 20 | (2)18108 | 2.10 | (5)37749 | 883 | 7.62008 | 508 |
| 30 | (3)56849 | 2.105 | (6)37208 | 2807 | 7.11694 | 1579 | 30 | (2)18318 | 2.11 | (5)38632 | 893 | 7.62510 | 502 |
| 40 | (3)58955 | 2.106 | (6)40015 | 2909 | 7.13273 | 1524 | 40 | (2)18529 | 2.10 | (5)39525 | 903 | 7.63006 | 496 |
| 50 | (3)61060 | 2.105 | (6)42921 | 3011 | 7.14797 | 1473 | 50 | (2)18739 | 2.11 | (5)40428 | 914 | 7.63497 | 491 |
| 1 | (3)63166 | 2.106 | (6)45935 | 3114 | 7.16270 | 1424 | 13 | (2)18950 | 2.10 | (5)41342 | 924 | 7.63982 | 485 |
| 10 | (3)65271 | 2.105 | (6)49049 | 3215 | 7.17694 | 1379 | 10 | (2)19160 | 2.11 | (5)42266 | 934 | 7.64462 | 480 |
| 20 | (3)67377 | 2.106 | (6)52264 | 3318 | 7.19073 | 1336 | 20 | (2)19371 | 2.10 | (5)43200 | 944 | 7.64937 | 475 |
| 30 | (3)69482 | 2.105 | (6)55582 | 3419 | 7.20409 | 1296 | 30 | (2)19581 | 2.11 | (5)44144 | 954 | 7.65406 | 469 |
| 40 | (3)71588 | 2.106 | (6)59001 | 3522 | 7.21705 | 1259 | 40 | (2)19792 | 2.10 | (5)45098 | 965 | 7.65871 | 465 |
| 50 | (3)73693 | 2.105 | (6)62525 | 3624 | 7.22961 | 1224 | 50 | (2)20003 | 2.11 | (5)46063 | 975 | 7.66330 | 459 |
| 1 | (3)75799 | 2.106 | (6)66147 | 3726 | 7.24188 | 1190 | 16 | (2)20213 | 2.10 | (5)47038 | 985 | 7.66785 | 455 |
| 10 | (3)77904 | 2.105 | (6)69873 | 3828 | 7.25378 | 1158 | 10 | (2)20424 | 2.11 | (5)48023 | 995 | 7.67235 | 450 |
| 20 | (3)80010 | 2.106 | (6)73701 | 3930 | 7.26536 | 1128 | 20 | (2)20634 | 2.10 | (5)49018 | 1006 | 7.67680 | 445 |
| 30 | (3)82115 | 2.105 | (6)77631 | 4032 | 7.27664 | 1100 | 30 | (2)20845 | 2.11 | (5)50024 | 1015 | 7.68121 | 441 |
| 40 | (3)84221 | 2.106 | (6)81663 | 4134 | 7.28764 | 1072 | 40 | (2)21055 | 2.10 | (5)51039 | 1026 | 7.68558 | 437 |
| 50 | (3)86326 | 2.105 | (6)85799 | 4236 | 7.29836 | 1046 | 50 | (2)21266 | 2.11 | (5)52065 | 1036 | 7.68990 | 432 |
| 1 | (3)88432 | 2.106 | (6)90033 | 4339 | 7.30882 | 1022 | 17 | (2)21476 | 2.10 | (5)53101 | 1047 | 7.69418 | 428 |
| 10 | (3)90537 | 2.105 | (6)94372 | 4440 | 7.31904 | 999 | 10 | (2)21687 | 2.11 | (5)54148 | 1056 | 7.69842 | 424 |
| 20 | (3)92643 | 2.106 | (6)98812 | 454 | 7.32903 | 976 | 20 | (2)21897 | 2.10 | (5)55204 | 1067 | 7.70261 | 419 |
| 30 | (3)94748 | 2.105 | (6)10335 | 465 | 7.33879 | 954 | 30 | (2)22108 | 2.11 | (5)56271 | 1077 | 7.70677 | 416 |
| 40 | (3)96854 | 2.106 | (6)10880 | 475 | 7.34883 | 934 | 40 | (2)22319 | 2.10 | (5)57348 | 1087 | 7.71088 | 411 |
| 50 | (3)98959 | 2.105 | (6)11437 | 484 | 7.35767 | 915 | 50 | (2)22529 | 2.11 | (5)58435 | 1097 | 7.71496 | 408 |
| 1 | (2)10107 | 2.11 | (5)11759 | 496 | 7.36682 | 895 | 18 | (2)22740 | 2.10 | (5)59532 | 1108 | 7.71900 | 404 |
| 10 | (2)10317 | 2.10 | (5)12255 | 505 | 7.37577 | 878 | 10 | (2)22950 | 2.11 | (5)60640 | 1118 | 7.72301 | 401 |
| 20 | (2)10528 | 2.11 | (5)12760 | 515 | 7.38455 | 860 | 20 | (2)23161 | 2.10 | (5)61758 | 1128 | 7.72697 | 396 |
| 30 | (2)10738 | 2.10 | (5)13275 | 526 | 7.39375 | 843 | 30 | (2)23371 | 2.11 | (5)62886 | 1138 | 7.73090 | 393 |
| 40 | (2)10949 | 2.11 | (5)13801 | 536 | 7.40158 | 827 | 40 | (2)23582 | 2.10 | (5)64024 | 1148 | 7.73480 | 390 |
| 50 | (2)11159 | 2.10 | (5)14337 | 546 | 7.40985 | 812 | 50 | (2)23792 | 2.11 | (5)65172 | 1159 | 7.73866 | 386 |
| 1 | (2)11370 | 2.11 | (5)14883 | 556 | 7.41797 | 797 | 19 | (2)24003 | 2.10 | (5)66331 | 1169 | 7.74248 | 382 |
| 10 | (2)11580 | 2.10 | (5)15439 | 567 | 7.42594 | 782 | 10 | (2)24214 | 2.11 | (5)67500 | 1179 | 7.74628 | 380 |
| 20 | (2)11791 | 2.11 | (5)16006 | 577 | 7.43376 | 769 | 20 | (2)24424 | 2.10 | (5)68679 | 1189 | 7.75004 | 376 |
| 30 | (2)11901 | 2.10 | (5)16583 | 587 | 7.44145 | 755 | 30 | (2)24635 | 2.11 | (5)69868 | 1199 | 7.75377 | 373 |
| 40 | (2)12112 | 2.11 | (5)17170 | 597 | 7.44900 | 743 | 40 | (2)24845 | 2.10 | (5)71067 | 1210 | 7.75746 | 369 |
| 50 | (2)12323 | 2.10 | (5)17767 | 607 | 7.45643 | 730 | 50 | (2)25056 | 2.11 | (5)72277 | 1220 | 7.76113 | 367 |
| 10 | (2)12633 | 2.10 | (5)18374 | 617 | 7.46373 | 718 | 20 | (2)25266 | 2.10 | (5)73497 | | 7.76476 | |

$$\omega = 0 \text{ Grad.}$$

| ω | z' | Diff. | $\log \cos z$ | Diff. | $\log \sin z$ | Diff. | ω | z' | Diff. | $\log \cos z$ | Diff. | $\log \sin z$ | Diff. |
|----------|----------|-------|---------------|-------|---------------|-------|----------|----------|-------|---------------|-------|---------------|-------|
| 20 | (2)2506 | 2.11 | (5)75497 | 1230 | 7.76476 | 361 | 30 | (2)37000 | 2.10 | (1)16537 | 184 | 7.94086 | 240 |
| 10 | (2)25477 | 2.11 | (5)74727 | 1230 | 7.76837 | 357 | 10 | (2)38110 | 2.11 | (1)16721 | 185 | 7.94326 | 240 |
| 20 | (2)26087 | 2.11 | (5)75967 | 1251 | 7.77194 | 355 | 20 | (2)38321 | 2.11 | (1)16906 | 187 | 7.94566 | 240 |
| 30 | (2)26598 | 2.11 | (5)77248 | 1260 | 7.77549 | 351 | 30 | (2)38532 | 2.11 | (1)17093 | 187 | 7.94804 | 238 |
| 40 | (2)27109 | 2.10 | (5)78478 | 1271 | 7.77900 | 349 | 40 | (2)38742 | 2.11 | (1)17280 | 187 | 7.95040 | 236 |
| 50 | (2)27619 | 2.10 | (5)79749 | 1281 | 7.78249 | 346 | 50 | (2)38953 | 2.11 | (1)17468 | 188 | 7.95276 | 234 |
| 21 | (2)27530 | 2.10 | (5)81030 | 1291 | 7.78595 | 343 | 31 | (2)39163 | 2.11 | (1)17658 | 190 | 7.95510 | 234 |
| 10 | (2)27640 | 2.10 | (5)82322 | 1302 | 7.78938 | 348 | 10 | (2)39374 | 2.11 | (1)17848 | 190 | 7.95743 | 231 |
| 20 | (2)28051 | 2.10 | (5)83623 | 1303 | 7.79279 | 341 | 20 | (2)39584 | 2.11 | (1)18040 | 192 | 7.95974 | 231 |
| 30 | (2)28461 | 2.10 | (5)84935 | 1312 | 7.79617 | 338 | 30 | (2)39795 | 2.11 | (1)18232 | 192 | 7.96205 | 228 |
| 40 | (2)28872 | 2.11 | (5)86257 | 1322 | 7.79952 | 335 | 40 | (2)40005 | 2.10 | (1)18425 | 193 | 7.96431 | 229 |
| 50 | (2)29282 | 2.10 | (5)87589 | 1332 | 7.80285 | 333 | 50 | (2)40216 | 2.11 | (1)18619 | 195 | 7.96662 | 228 |
| 22 | (2)27793 | 2.11 | (5)88931 | 1353 | 7.80615 | 330 | 32 | (2)40427 | 2.11 | (1)18815 | 195 | 7.96889 | 227 |
| 10 | (2)28004 | 2.11 | (5)90284 | 1363 | 7.80943 | 326 | 10 | (2)40637 | 2.10 | (1)19012 | 197 | 7.97114 | 225 |
| 20 | (2)28214 | 2.10 | (5)91647 | 1373 | 7.81269 | 322 | 20 | (2)40848 | 2.11 | (1)19209 | 197 | 7.97339 | 225 |
| 30 | (2)28425 | 2.10 | (5)93029 | 1383 | 7.81591 | 322 | 30 | (2)41058 | 2.10 | (1)19408 | 199 | 7.97564 | 223 |
| 40 | (2)28635 | 2.11 | (5)94403 | 1393 | 7.81912 | 321 | 40 | (2)41269 | 2.11 | (1)19608 | 200 | 7.97784 | 222 |
| 50 | (2)28846 | 2.10 | (5)95796 | 1404 | 7.82230 | 318 | 50 | (2)41479 | 2.10 | (1)19808 | 202 | 7.98005 | 220 |
| 23 | (2)29056 | 2.10 | (5)97200 | 1414 | 7.82546 | 316 | 33 | (2)41690 | 2.11 | (1)20010 | 202 | 7.98225 | 219 |
| 10 | (2)29267 | 2.11 | (5)98614 | 1423 | 7.82860 | 311 | 10 | (2)41900 | 2.11 | (1)20212 | 202 | 7.98444 | 219 |
| 20 | (2)29477 | 2.10 | (1)00004 | 143 | 7.83171 | 311 | 20 | (2)42111 | 2.11 | (1)20416 | 201 | 7.98662 | 218 |
| 30 | (2)29688 | 2.10 | (1)01417 | 143 | 7.83480 | 309 | 30 | (2)42322 | 2.11 | (1)20621 | 205 | 7.98878 | 216 |
| 40 | (2)29899 | 2.11 | (1)02829 | 145 | 7.83787 | 307 | 40 | (2)42532 | 2.10 | (1)20826 | 205 | 7.99094 | 216 |
| 50 | (2)30109 | 2.10 | (1)04243 | 147 | 7.84092 | 305 | 50 | (2)42743 | 2.11 | (1)21033 | 207 | 7.99308 | 214 |
| 24 | (2)30320 | 2.11 | (1)05654 | 147 | 7.84394 | 302 | 34 | (2)42953 | 2.10 | (1)21241 | 208 | 7.99524 | 214 |
| 10 | (2)30530 | 2.10 | (1)07071 | 147 | 7.84695 | 298 | 10 | (2)43164 | 2.11 | (1)21450 | 209 | 7.99734 | 212 |
| 20 | (2)30741 | 2.10 | (1)08489 | 149 | 7.84993 | 298 | 20 | (2)43374 | 2.10 | (1)21659 | 211 | 7.99946 | 210 |
| 30 | (2)30951 | 2.11 | (1)10029 | 149 | 7.85290 | 297 | 30 | (2)43585 | 2.11 | (1)21870 | 211 | 8.00156 | 210 |
| 40 | (2)31162 | 2.11 | (1)11480 | 151 | 7.85584 | 294 | 40 | (2)43796 | 2.10 | (1)22082 | 212 | 8.00365 | 209 |
| 50 | (2)31373 | 2.10 | (1)12931 | 151 | 7.85877 | 293 | 50 | (2)44006 | 2.11 | (1)22295 | 213 | 8.00574 | 207 |
| 25 | (2)31583 | 2.10 | (1)14384 | 153 | 7.86167 | 290 | 35 | (2)44217 | 2.11 | (1)22509 | 214 | 8.00781 | 207 |
| 10 | (2)31794 | 2.10 | (1)15838 | 154 | 7.86456 | 289 | 10 | (2)44427 | 2.10 | (1)22724 | 215 | 8.00987 | 206 |
| 20 | (2)32004 | 2.11 | (1)17292 | 154 | 7.86743 | 287 | 20 | (2)44638 | 2.11 | (1)22939 | 215 | 8.01193 | 204 |
| 30 | (2)32215 | 2.10 | (1)18748 | 156 | 7.87027 | 284 | 30 | (2)44848 | 2.10 | (1)23156 | 217 | 8.01397 | 204 |
| 40 | (2)32425 | 2.11 | (1)20205 | 157 | 7.87319 | 283 | 40 | (2)45059 | 2.11 | (1)23374 | 218 | 8.01600 | 203 |
| 50 | (2)32636 | 2.10 | (1)21662 | 157 | 7.87591 | 281 | 50 | (2)45269 | 2.10 | (1)23593 | 219 | 8.01803 | 203 |
| 26 | (2)32846 | 2.11 | (1)23121 | 159 | 7.87871 | 280 | 36 | (2)45480 | 2.11 | (1)23813 | 220 | 8.02004 | 201 |
| 10 | (2)33057 | 2.10 | (1)24581 | 160 | 7.88148 | 276 | 10 | (2)45691 | 2.10 | (1)24034 | 221 | 8.02205 | 201 |
| 20 | (2)33268 | 2.10 | (1)26042 | 161 | 7.88424 | 274 | 20 | (2)45901 | 2.11 | (1)24256 | 222 | 8.02405 | 199 |
| 30 | (2)33478 | 2.11 | (1)27503 | 161 | 7.88698 | 272 | 30 | (2)46112 | 2.10 | (1)24479 | 223 | 8.02604 | 199 |
| 40 | (2)33689 | 2.10 | (1)28966 | 163 | 7.88970 | 271 | 40 | (2)46322 | 2.11 | (1)24703 | 224 | 8.02801 | 197 |
| 50 | (2)33899 | 2.10 | (1)30430 | 164 | 7.89241 | 271 | 50 | (2)46533 | 2.10 | (1)24929 | 226 | 8.02998 | 197 |
| 27 | (2)34110 | 2.11 | (1)31895 | 165 | 7.89510 | 269 | 37 | (2)46743 | 2.11 | (1)25155 | 227 | 8.03194 | 196 |
| 10 | (2)34320 | 2.10 | (1)33361 | 166 | 7.89777 | 267 | 10 | (2)46954 | 2.10 | (1)25382 | 228 | 8.03390 | 196 |
| 20 | (2)34531 | 2.10 | (1)34828 | 167 | 7.90043 | 266 | 20 | (2)47165 | 2.11 | (1)25610 | 229 | 8.03584 | 194 |
| 30 | (2)34741 | 2.11 | (1)36296 | 168 | 7.90307 | 264 | 30 | (2)47375 | 2.10 | (1)25839 | 229 | 8.03777 | 193 |
| 40 | (2)34952 | 2.11 | (1)37765 | 169 | 7.90569 | 262 | 40 | (2)47586 | 2.11 | (1)26069 | 230 | 8.03970 | 192 |
| 50 | (2)35163 | 2.10 | (1)40234 | 169 | 7.90830 | 261 | 50 | (2)47796 | 2.10 | (1)26301 | 232 | 8.04162 | 191 |
| 28 | (2)35374 | 2.11 | (1)41703 | 171 | 7.91089 | 259 | 38 | (2)48007 | 2.11 | (1)26533 | 232 | 8.04353 | 191 |
| 10 | (2)35584 | 2.10 | (1)43172 | 172 | 7.91347 | 258 | 10 | (2)48217 | 2.10 | (1)26766 | 233 | 8.04543 | 189 |
| 20 | (2)35795 | 2.10 | (1)44641 | 174 | 7.91603 | 256 | 20 | (2)48428 | 2.11 | (1)27000 | 234 | 8.04732 | 189 |
| 30 | (2)36005 | 2.11 | (1)46110 | 174 | 7.91858 | 255 | 30 | (2)48639 | 2.10 | (1)27232 | 236 | 8.04921 | 187 |
| 40 | (2)36215 | 2.10 | (1)47579 | 175 | 7.92111 | 253 | 40 | (2)48849 | 2.11 | (1)27465 | 237 | 8.05108 | 187 |
| 50 | (2)36426 | 2.10 | (1)49048 | 176 | 7.92363 | 252 | 50 | (2)49060 | 2.10 | (1)27699 | 239 | 8.05295 | 185 |
| 29 | (2)36636 | 2.11 | (1)50517 | 177 | 7.92613 | 250 | 39 | (2)49270 | 2.11 | (1)27932 | 239 | 8.05481 | 185 |
| 10 | (2)36847 | 2.10 | (1)51986 | 178 | 7.92862 | 249 | 10 | (2)49481 | 2.10 | (1)28165 | 240 | 8.05666 | 184 |
| 20 | (2)37058 | 2.10 | (1)53455 | 179 | 7.93110 | 248 | 20 | (2)49691 | 2.11 | (1)28399 | 240 | 8.05851 | 183 |
| 30 | (2)37268 | 2.11 | (1)54924 | 180 | 7.93356 | 246 | 30 | (2)49902 | 2.10 | (1)28632 | 242 | 8.06034 | 183 |
| 40 | (2)37479 | 2.10 | (1)56393 | 181 | 7.93601 | 245 | 40 | (2)50112 | 2.11 | (1)28865 | 242 | 8.06217 | 182 |
| 50 | (2)37689 | 2.10 | (1)57862 | 183 | 7.93844 | 243 | 50 | (2)50323 | 2.10 | (1)29098 | 244 | 8.06399 | 182 |
| 30 | (2)37900 | 2.11 | (1)59331 | 183 | 7.94086 | 242 | 40 | (2)50534 | 2.11 | (1)29339 | 244 | 8.06581 | 182 |

| ω | z' | Diff. | $\log \cos z$ | Diff. | $\log \sin z$ | Diff. | ω | z' | Diff. | $\log \cos z$ | Diff. | $\log \sin z$ | Diff. |
|----------|-----------|-------|---------------|-------|---------------|-------|----------|-----------|-------|---------------|-------|---------------|-------|
| 40' | (2) 50534 | 2.10 | (4) 29399 | 246 | 8.06581 | 180 | 50' | (2) 63168 | 2.10 | (4) 45937 | 307 | 8.16273 | 144 |
| 10 | (2) 50544 | 2.11 | (4) 29645 | 246 | 8.06761 | 180 | 20 | (2) 63378 | 2.11 | (4) 46244 | 307 | 8.16417 | 144 |
| 20 | (2) 50555 | 2.10 | (4) 29891 | 248 | 8.06941 | 179 | 30 | (2) 63589 | 2.11 | (4) 46551 | 309 | 8.16561 | 144 |
| 30 | (2) 51155 | 2.10 | (4) 30139 | 248 | 8.07130 | 178 | 40 | (2) 63800 | 2.10 | (4) 46860 | 310 | 8.16705 | 143 |
| 40 | (2) 51376 | 2.11 | (4) 30387 | 250 | 8.07288 | 178 | 50 | (2) 64010 | 2.11 | (4) 47170 | 311 | 8.16848 | 143 |
| 50 | (2) 51586 | 2.11 | (4) 30637 | 251 | 8.07476 | 177 | 50 | (2) 64221 | 2.10 | (4) 47481 | 312 | 8.16991 | 142 |
| 41' | (2) 51797 | 2.11 | (4) 30888 | 251 | 8.07653 | 176 | 51' | (2) 64431 | 2.11 | (4) 47793 | 313 | 8.17133 | 142 |
| 10 | (2) 52008 | 2.11 | (4) 31139 | 253 | 8.07829 | 176 | 10 | (2) 64642 | 2.11 | (4) 48106 | 314 | 8.17275 | 141 |
| 20 | (2) 52218 | 2.11 | (4) 31392 | 254 | 8.08005 | 175 | 20 | (2) 64852 | 2.10 | (4) 48420 | 315 | 8.17416 | 141 |
| 30 | (2) 52429 | 2.10 | (4) 31646 | 254 | 8.08180 | 174 | 30 | (2) 65063 | 2.11 | (4) 48735 | 316 | 8.17555 | 140 |
| 40 | (2) 52639 | 2.11 | (4) 31900 | 256 | 8.08354 | 173 | 40 | (2) 65274 | 2.10 | (4) 49051 | 317 | 8.17697 | 140 |
| 50 | (2) 52850 | 2.10 | (4) 32156 | 257 | 8.08527 | 173 | 50 | (2) 65484 | 2.11 | (4) 49368 | 318 | 8.17837 | 139 |
| 42' | (2) 53060 | 2.10 | (4) 32413 | 258 | 8.08700 | 172 | 52' | (2) 65695 | 2.10 | (4) 49686 | 319 | 8.17976 | 139 |
| 10 | (2) 53271 | 2.11 | (4) 32671 | 258 | 8.08872 | 171 | 10 | (2) 65905 | 2.11 | (4) 50005 | 320 | 8.18115 | 139 |
| 20 | (2) 53482 | 2.10 | (4) 32929 | 258 | 8.09043 | 171 | 20 | (2) 66116 | 2.10 | (4) 50325 | 321 | 8.18254 | 138 |
| 30 | (2) 53692 | 2.11 | (4) 33189 | 260 | 8.09214 | 170 | 30 | (2) 66326 | 2.11 | (4) 50646 | 322 | 8.18392 | 138 |
| 40 | (2) 53903 | 2.10 | (4) 33450 | 262 | 8.09384 | 169 | 40 | (2) 66537 | 2.10 | (4) 50968 | 323 | 8.18530 | 137 |
| 50 | (2) 54113 | 2.11 | (4) 33712 | 263 | 8.09553 | 169 | 50 | (2) 66748 | 2.11 | (4) 51291 | 324 | 8.18667 | 137 |
| 43' | (2) 54324 | 2.10 | (4) 33975 | 264 | 8.09722 | 168 | 53' | (2) 66959 | 2.11 | (4) 51615 | 325 | 8.18804 | 136 |
| 10 | (2) 54534 | 2.11 | (4) 34239 | 264 | 8.09890 | 167 | 10 | (2) 67169 | 2.10 | (4) 51940 | 326 | 8.18940 | 136 |
| 20 | (2) 54745 | 2.11 | (4) 34503 | 266 | 8.10057 | 167 | 20 | (2) 67379 | 2.11 | (4) 52266 | 327 | 8.19076 | 135 |
| 30 | (2) 54956 | 2.10 | (4) 34769 | 267 | 8.10224 | 166 | 30 | (2) 67590 | 2.10 | (4) 52593 | 329 | 8.19211 | 136 |
| 40 | (2) 55166 | 2.11 | (4) 35036 | 268 | 8.10390 | 165 | 40 | (2) 67800 | 2.11 | (4) 52922 | 329 | 8.19347 | 134 |
| 50 | (2) 55377 | 2.10 | (4) 35303 | 269 | 8.10555 | 165 | 50 | (2) 68011 | 2.10 | (4) 53251 | 329 | 8.19481 | 135 |
| 44' | (2) 55587 | 2.11 | (4) 35573 | 270 | 8.10720 | 164 | 54' | (2) 68222 | 2.11 | (4) 53581 | 331 | 8.19616 | 133 |
| 10 | (2) 55798 | 2.10 | (4) 35843 | 271 | 8.10884 | 164 | 10 | (2) 68432 | 2.10 | (4) 53912 | 331 | 8.19749 | 134 |
| 20 | (2) 56008 | 2.11 | (4) 36114 | 272 | 8.11048 | 163 | 20 | (2) 68643 | 2.11 | (4) 54245 | 333 | 8.19883 | 133 |
| 30 | (2) 56219 | 2.10 | (4) 36386 | 273 | 8.11211 | 162 | 30 | (2) 68853 | 2.10 | (4) 54578 | 334 | 8.20019 | 133 |
| 40 | (2) 56429 | 2.11 | (4) 36659 | 275 | 8.11373 | 162 | 40 | (2) 69064 | 2.11 | (4) 54912 | 336 | 8.20149 | 132 |
| 50 | (2) 56640 | 2.11 | (4) 36934 | 275 | 8.11535 | 161 | 50 | (2) 69275 | 2.10 | (4) 55248 | 336 | 8.20281 | 132 |
| 45' | (2) 56851 | 2.10 | (4) 37209 | 276 | 8.11696 | 161 | 55' | (2) 69485 | 2.11 | (4) 55584 | 337 | 8.20413 | 131 |
| 10 | (2) 57061 | 2.11 | (4) 37485 | 277 | 8.11857 | 160 | 10 | (2) 69696 | 2.10 | (4) 55921 | 339 | 8.20541 | 131 |
| 20 | (2) 57272 | 2.10 | (4) 37762 | 278 | 8.12017 | 159 | 20 | (2) 69906 | 2.11 | (4) 56260 | 339 | 8.20675 | 131 |
| 30 | (2) 57482 | 2.11 | (4) 38040 | 279 | 8.12176 | 159 | 30 | (2) 70117 | 2.10 | (4) 56600 | 341 | 8.20806 | 130 |
| 40 | (2) 57693 | 2.10 | (4) 38319 | 281 | 8.12333 | 158 | 40 | (2) 70327 | 2.11 | (4) 56940 | 341 | 8.20936 | 130 |
| 50 | (2) 57904 | 2.11 | (4) 38600 | 281 | 8.12493 | 158 | 50 | (2) 70538 | 2.10 | (4) 57281 | 343 | 8.21066 | 129 |
| 46' | (2) 58114 | 2.11 | (4) 38881 | 282 | 8.12651 | 157 | 56' | (2) 70749 | 2.11 | (4) 57624 | 343 | 8.21195 | 129 |
| 10 | (2) 58325 | 2.10 | (4) 39163 | 283 | 8.12808 | 157 | 10 | (2) 70959 | 2.10 | (4) 57967 | 345 | 8.21324 | 128 |
| 20 | (2) 58535 | 2.11 | (4) 39445 | 285 | 8.12965 | 156 | 20 | (2) 71170 | 2.11 | (4) 58312 | 345 | 8.21453 | 128 |
| 30 | (2) 58746 | 2.10 | (4) 39731 | 285 | 8.13121 | 155 | 30 | (2) 71380 | 2.10 | (4) 58657 | 347 | 8.21581 | 128 |
| 40 | (2) 58956 | 2.11 | (4) 40016 | 286 | 8.13276 | 155 | 40 | (2) 71591 | 2.11 | (4) 59004 | 347 | 8.21709 | 128 |
| 50 | (2) 59167 | 2.10 | (4) 40302 | 288 | 8.13431 | 154 | 50 | (2) 71801 | 2.10 | (4) 59352 | 348 | 8.21837 | 127 |
| 47' | (2) 59377 | 2.11 | (4) 40590 | 288 | 8.13585 | 154 | 57' | (2) 72012 | 2.11 | (4) 59700 | 348 | 8.21964 | 127 |
| 10 | (2) 59588 | 2.10 | (4) 40878 | 289 | 8.13739 | 153 | 10 | (2) 72223 | 2.10 | (4) 60050 | 350 | 8.22091 | 126 |
| 20 | (2) 59799 | 2.11 | (4) 41167 | 291 | 8.13892 | 153 | 20 | (2) 72433 | 2.11 | (4) 60401 | 351 | 8.22217 | 126 |
| 30 | (2) 60009 | 2.10 | (4) 41458 | 291 | 8.14045 | 152 | 30 | (2) 72644 | 2.10 | (4) 60752 | 351 | 8.22343 | 126 |
| 40 | (2) 60220 | 2.11 | (4) 41749 | 293 | 8.14197 | 151 | 40 | (2) 72854 | 2.11 | (4) 61105 | 353 | 8.22469 | 126 |
| 50 | (2) 60430 | 2.10 | (4) 42042 | 293 | 8.14348 | 152 | 50 | (2) 73065 | 2.10 | (4) 61459 | 354 | 8.22595 | 125 |
| 48' | (2) 60641 | 2.11 | (4) 42335 | 295 | 8.14500 | 150 | 58' | (2) 73276 | 2.11 | (4) 61813 | 354 | 8.22720 | 124 |
| 10 | (2) 60851 | 2.10 | (4) 42630 | 295 | 8.14650 | 150 | 10 | (2) 73486 | 2.10 | (4) 62167 | 356 | 8.22846 | 124 |
| 20 | (2) 61062 | 2.11 | (4) 42925 | 297 | 8.14800 | 150 | 20 | (2) 73697 | 2.11 | (4) 62526 | 357 | 8.22972 | 124 |
| 30 | (2) 61273 | 2.10 | (4) 43222 | 298 | 8.14950 | 149 | 30 | (2) 73907 | 2.10 | (4) 62884 | 358 | 8.23098 | 123 |
| 40 | (2) 61483 | 2.11 | (4) 43520 | 298 | 8.15099 | 148 | 40 | (2) 74118 | 2.11 | (4) 63243 | 359 | 8.23224 | 123 |
| 50 | (2) 61694 | 2.10 | (4) 43818 | 300 | 8.15247 | 148 | 50 | (2) 74328 | 2.10 | (4) 63603 | 360 | 8.23350 | 123 |
| 49' | (2) 61904 | 2.11 | (4) 44118 | 300 | 8.15395 | 148 | 59' | (2) 74539 | 2.11 | (4) 63963 | 362 | 8.23476 | 123 |
| 10 | (2) 62115 | 2.10 | (4) 44418 | 302 | 8.15543 | 147 | 10 | (2) 74749 | 2.10 | (4) 64323 | 363 | 8.23602 | 122 |
| 20 | (2) 62326 | 2.11 | (4) 44720 | 303 | 8.15690 | 146 | 20 | (2) 74960 | 2.11 | (4) 64683 | 364 | 8.23727 | 122 |
| 30 | (2) 62536 | 2.10 | (4) 45023 | 303 | 8.15836 | 146 | 30 | (2) 75171 | 2.10 | (4) 65043 | 365 | 8.23852 | 121 |
| 40 | (2) 62747 | 2.11 | (4) 45326 | 305 | 8.15982 | 146 | 40 | (2) 75381 | 2.11 | (4) 65403 | 366 | 8.23977 | 121 |
| 50 | (2) 62957 | 2.10 | (4) 45631 | 306 | 8.16128 | 145 | 50 | (2) 75592 | 2.10 | (4) 65763 | 367 | 8.24102 | 121 |
| 50' | (2) 63168 | 2.11 | (4) 45937 | 307 | 8.16273 | | 50' | (2) 75803 | 2.11 | (4) 66123 | 367 | | |

$$\omega = 1 \text{ Grad.}$$

| ω | z' | Diff. | $\log \cos z$ | Diff. | $\log \sin z$ | Diff. | ω | z' | Diff. | $\log \cos z$ | Diff. | $\log \sin z$ | Diff. |
|----------|-----------|----------------|---------------|----------------|---------------|----------------|----------|-----------|----------------|---------------|----------------|---------------|----------------|
| 0 | (2.75803) | 2.10 | (4.66510) | 368 | (2.84192) | 121 | 10 | (2.88438) | 2.11 | (4.90039) | 430 | (3.30888) | 104 |
| 10 | (2.76013) | 2.11 | (4.66518) | 369 | (2.84313) | 120 | 10 | (2.88469) | 2.10 | (4.90069) | 430 | (3.30992) | 103 |
| 20 | (2.76224) | 2.10 | (4.66887) | 370 | (2.84433) | 120 | 20 | (2.88859) | 2.11 | (4.90899) | 431 | (3.31095) | 103 |
| 30 | (2.76434) | 2.11 | (4.67257) | 371 | (2.84553) | 119 | 30 | (2.89070) | 2.10 | (4.91330) | 433 | (3.31198) | 102 |
| 40 | (2.76645) | 2.11 | (4.67628) | 372 | (2.84672) | 119 | 40 | (2.89280) | 2.11 | (4.91763) | 433 | (3.31300) | 102 |
| 50 | (2.76855) | 2.11 | (4.68001) | 373 | (2.84791) | 119 | 50 | (2.89491) | 2.10 | (4.92196) | 435 | (3.31403) | 102 |
| 1 | (2.77066) | 2.11 | (4.68374) | 374 | (2.84910) | 119 | 11 | (2.89701) | 2.11 | (4.92631) | 435 | (3.31505) | 101 |
| 10 | (2.77277) | 2.11 | (4.68748) | 375 | (2.85029) | 118 | 10 | (2.89912) | 2.11 | (4.93066) | 436 | (3.31606) | 102 |
| 20 | (2.77487) | 2.11 | (4.69123) | 376 | (2.85147) | 118 | 20 | (2.90123) | 2.10 | (4.93502) | 438 | (3.31708) | 101 |
| 30 | (2.77698) | 2.10 | (4.69499) | 377 | (2.85265) | 117 | 30 | (2.90333) | 2.11 | (4.93940) | 438 | (3.31809) | 102 |
| 40 | (2.77908) | 2.11 | (4.69876) | 379 | (2.85382) | 116 | 40 | (2.90544) | 2.10 | (4.94378) | 440 | (3.31911) | 101 |
| 50 | (2.78119) | 2.11 | (4.70255) | 379 | (2.85500) | 116 | 50 | (2.90754) | 2.11 | (4.94818) | 440 | (3.32012) | 100 |
| 2 | (2.78330) | 2.11 | (4.70634) | 380 | (2.85616) | 117 | 12 | (2.90965) | 2.11 | (4.95258) | 442 | (3.32112) | 101 |
| 10 | (2.78540) | 2.11 | (4.71014) | 382 | (2.85733) | 116 | 10 | (2.91176) | 2.11 | (4.95700) | 443 | (3.32213) | 100 |
| 20 | (2.78751) | 2.10 | (4.71396) | 382 | (2.85849) | 116 | 20 | (2.91386) | 2.10 | (4.96143) | 443 | (3.32313) | 100 |
| 30 | (2.78961) | 2.11 | (4.71778) | 383 | (2.85965) | 116 | 30 | (2.91597) | 2.10 | (4.96586) | 445 | (3.32413) | 100 |
| 40 | (2.79172) | 2.11 | (4.72161) | 385 | (2.86081) | 115 | 40 | (2.91807) | 2.11 | (4.97031) | 445 | (3.32513) | 99 |
| 50 | (2.79382) | 2.11 | (4.72546) | 385 | (2.86196) | 115 | 50 | (2.92018) | 2.11 | (4.97476) | 447 | (3.32612) | 99 |
| 3 | (2.79593) | 2.11 | (4.72931) | 388 | (2.86312) | 114 | 13 | (2.92229) | 2.10 | (4.97923) | 448 | (3.32711) | 99 |
| 10 | (2.79804) | 2.11 | (4.73317) | 388 | (2.86426) | 114 | 10 | (2.92439) | 2.11 | (4.98371) | 448 | (3.32810) | 99 |
| 20 | (2.80014) | 2.11 | (4.73705) | 388 | (2.86541) | 115 | 20 | (2.92650) | 2.10 | (4.98819) | 448 | (3.32909) | 99 |
| 30 | (2.80225) | 2.11 | (4.74093) | 390 | (2.86655) | 114 | 30 | (2.92860) | 2.11 | (4.99269) | 450 | (3.33008) | 98 |
| 40 | (2.80435) | 2.11 | (4.74483) | 390 | (2.86769) | 114 | 40 | (2.93071) | 2.11 | (4.99720) | 451 | (3.33106) | 99 |
| 50 | (2.80646) | 2.10 | (4.74873) | 392 | (2.86882) | 114 | 50 | (2.93282) | 2.11 | (5.00171) | 451 | (3.33205) | 97 |
| 4 | (2.80857) | 2.11 | (4.75265) | 392 | (2.86996) | 113 | 14 | (2.93492) | 2.10 | (5.00622) | 46 | (3.33302) | 98 |
| 10 | (2.81067) | 2.10 | (4.75657) | 392 | (2.87109) | 113 | 10 | (2.93703) | 2.11 | (5.01073) | 46 | (3.33400) | 98 |
| 20 | (2.81278) | 2.10 | (4.76051) | 394 | (2.87221) | 112 | 20 | (2.93913) | 2.10 | (5.01524) | 46 | (3.33498) | 97 |
| 30 | (2.81488) | 2.11 | (4.76445) | 394 | (2.87334) | 113 | 30 | (2.94124) | 2.11 | (5.01975) | 46 | (3.33595) | 97 |
| 40 | (2.81699) | 2.11 | (4.76841) | 396 | (2.87446) | 112 | 40 | (2.94335) | 2.10 | (5.02426) | 46 | (3.33692) | 97 |
| 50 | (2.81910) | 2.11 | (4.77238) | 397 | (2.87558) | 112 | 50 | (2.94545) | 2.11 | (5.02877) | 46 | (3.33789) | 97 |
| 5 | (2.82120) | 2.11 | (4.77635) | 399 | (2.87669) | 111 | 15 | (2.94756) | 2.10 | (5.03328) | 46 | (3.33886) | 97 |
| 10 | (2.82331) | 2.10 | (4.78031) | 400 | (2.87780) | 111 | 10 | (2.94966) | 2.11 | (5.03779) | 46 | (3.33982) | 96 |
| 20 | (2.82541) | 2.11 | (4.78434) | 400 | (2.87891) | 111 | 20 | (2.95177) | 2.11 | (5.04230) | 46 | (3.34078) | 96 |
| 30 | (2.82752) | 2.11 | (4.78834) | 402 | (2.88002) | 110 | 30 | (2.95388) | 2.10 | (5.04681) | 47 | (3.34174) | 96 |
| 40 | (2.82962) | 2.11 | (4.79236) | 402 | (2.88112) | 110 | 40 | (2.95598) | 2.11 | (5.05132) | 46 | (3.34270) | 96 |
| 50 | (2.83173) | 2.11 | (4.79639) | 404 | (2.88223) | 111 | 50 | (2.95809) | 2.10 | (5.05583) | 46 | (3.34366) | 95 |
| 6 | (2.83384) | 2.11 | (4.80043) | 404 | (2.88332) | 109 | 16 | (2.96019) | 2.10 | (5.06034) | 46 | (3.34461) | 95 |
| 10 | (2.83594) | 2.11 | (4.80447) | 404 | (2.88442) | 110 | 10 | (2.96230) | 2.11 | (5.06485) | 46 | (3.34556) | 95 |
| 20 | (2.83805) | 2.10 | (4.80853) | 407 | (2.88551) | 109 | 20 | (2.96441) | 2.10 | (5.06936) | 47 | (3.34651) | 95 |
| 30 | (2.84015) | 2.11 | (4.81260) | 407 | (2.88660) | 109 | 30 | (2.96651) | 2.11 | (5.07387) | 47 | (3.34746) | 94 |
| 40 | (2.84226) | 2.11 | (4.81668) | 408 | (2.88769) | 109 | 40 | (2.96862) | 2.11 | (5.07838) | 47 | (3.34840) | 95 |
| 50 | (2.84437) | 2.11 | (4.82077) | 409 | (2.88877) | 108 | 50 | (2.97073) | 2.10 | (5.08289) | 47 | (3.34935) | 94 |
| 7 | (2.84647) | 2.11 | (4.82487) | 411 | (2.88986) | 108 | 17 | (2.97283) | 2.11 | (5.08740) | 48 | (3.35029) | 94 |
| 10 | (2.84858) | 2.10 | (4.82898) | 411 | (2.89094) | 108 | 10 | (2.97494) | 2.10 | (5.09191) | 47 | (3.35123) | 94 |
| 20 | (2.85068) | 2.11 | (4.83310) | 412 | (2.89203) | 107 | 20 | (2.97704) | 2.11 | (5.09642) | 47 | (3.35217) | 93 |
| 30 | (2.85279) | 2.11 | (4.83722) | 412 | (2.89310) | 108 | 30 | (2.97915) | 2.10 | (5.10093) | 48 | (3.35310) | 94 |
| 40 | (2.85490) | 2.11 | (4.84136) | 414 | (2.89416) | 107 | 40 | (2.98126) | 2.11 | (5.10544) | 47 | (3.35403) | 93 |
| 50 | (2.85700) | 2.11 | (4.84551) | 415 | (2.89523) | 107 | 50 | (2.98336) | 2.10 | (5.10995) | 48 | (3.35497) | 94 |
| 8 | (2.85911) | 2.11 | (4.84967) | 416 | (2.89629) | 106 | 18 | (2.98547) | 2.11 | (5.11446) | 48 | (3.35590) | 92 |
| 10 | (2.86121) | 2.11 | (4.85385) | 418 | (2.89736) | 107 | 10 | (2.98757) | 2.10 | (5.11897) | 48 | (3.35682) | 93 |
| 20 | (2.86332) | 2.11 | (4.85803) | 419 | (2.89842) | 106 | 20 | (2.98968) | 2.11 | (5.12348) | 48 | (3.35775) | 92 |
| 30 | (2.86543) | 2.11 | (4.86222) | 420 | (2.89947) | 105 | 30 | (2.99179) | 2.10 | (5.12799) | 48 | (3.35867) | 93 |
| 40 | (2.86753) | 2.11 | (4.86642) | 421 | (2.90053) | 106 | 40 | (2.99389) | 2.11 | (5.13250) | 48 | (3.35959) | 92 |
| 50 | (2.86964) | 2.10 | (4.87063) | 423 | (2.90158) | 105 | 50 | (2.99600) | 2.10 | (5.13701) | 48 | (3.36051) | 92 |
| 9 | (2.87174) | 2.11 | (4.87485) | 423 | (2.90263) | 105 | 19 | (2.99810) | 2.11 | (5.14152) | 48 | (3.36143) | 92 |
| 10 | (2.87385) | 2.10 | (4.87908) | 424 | (2.90368) | 105 | 10 | (1.0002) | 2.1 | (5.14603) | 49 | (3.36235) | 91 |
| 20 | (2.87596) | 2.11 | (4.88332) | 426 | (2.90473) | 104 | 20 | (1.0023) | 2.1 | (5.15054) | 49 | (3.36326) | 91 |
| 30 | (2.87806) | 2.11 | (4.88758) | 428 | (2.90577) | 104 | 30 | (1.0044) | 2.1 | (5.15505) | 49 | (3.36417) | 92 |
| 40 | (2.88017) | 2.10 | (4.89184) | 427 | (2.90681) | 104 | 40 | (1.0065) | 2.1 | (5.15956) | 49 | (3.36508) | 91 |
| 50 | (2.88227) | 2.11 | (4.89611) | 427 | (2.90785) | 104 | 50 | (1.0086) | 2.1 | (5.16407) | 49 | (3.36599) | 90 |
| 10 | (2.88438) | 2.11 | (4.90039) | 428 | (2.90888) | 103 | 20 | (1.0107) | 2.1 | (5.16858) | 48 | (3.36689) | 90 |

$$\omega = 1 \text{ Grad.}$$

| ω | z' | Diff. | $\log \cos z$ | Diff. | $\log \sin z$ | Diff. | ω | z' | Diff. | $\log \cos z$ | Diff. | $\log \sin z$ | Diff. |
|----------|----------|-------|---------------|-------|---------------|-------|----------|----------|-------|---------------|-------|---------------|-------|
| 20 | (1.10107 | 2.1 | (3.11760 | 50 | 8.36689 | 91 | 30 | (1.11371 | 2.1 | (3.14885 | 55 | 8.41807 | 80 |
| 10 | (1.10128 | 2.2 | (3.11810 | 49 | 8.36780 | 90 | 10 | (1.11392 | 2.1 | (3.14940 | 55 | 8.41887 | 80 |
| 20 | (1.10150 | 2.1 | (3.11859 | 49 | 8.36870 | 90 | 20 | (1.11413 | 2.1 | (3.14995 | 56 | 8.41967 | 81 |
| 30 | (1.10171 | 2.1 | (3.11908 | 49 | 8.36960 | 90 | 30 | (1.11434 | 2.1 | (3.15051 | 55 | 8.42048 | 79 |
| 40 | (1.10192 | 2.1 | (3.11957 | 50 | 8.37050 | 90 | 40 | (1.11455 | 2.1 | (3.15106 | 56 | 8.42127 | 80 |
| 50 | (1.10213 | 2.1 | (3.12007 | 49 | 8.37140 | 89 | 50 | (1.11476 | 2.1 | (3.15162 | 55 | 8.42207 | 80 |
| 21 | (1.10234 | 2.1 | (3.12056 | 50 | 8.37229 | 89 | 31 | (1.11497 | 2.2 | (3.15217 | 56 | 8.42287 | 79 |
| 10 | (1.10255 | 2.1 | (3.12106 | 50 | 8.37318 | 90 | 10 | (1.11519 | 2.1 | (3.15273 | 56 | 8.42366 | 80 |
| 20 | (1.10276 | 2.1 | (3.12156 | 50 | 8.37408 | 89 | 20 | (1.11540 | 2.1 | (3.15329 | 56 | 8.42446 | 79 |
| 30 | (1.10297 | 2.1 | (3.12206 | 50 | 8.37497 | 88 | 30 | (1.11561 | 2.1 | (3.15385 | 56 | 8.42525 | 79 |
| 40 | (1.10318 | 2.1 | (3.12256 | 50 | 8.37587 | 88 | 40 | (1.11582 | 2.1 | (3.15441 | 56 | 8.42604 | 79 |
| 50 | (1.10339 | 2.1 | (3.12306 | 50 | 8.37674 | 88 | 50 | (1.11603 | 2.1 | (3.15497 | 57 | 8.42683 | 79 |
| 22 | (1.10360 | 2.1 | (3.12356 | 50 | 8.37762 | 88 | 32 | (1.11624 | 2.1 | (3.15554 | 56 | 8.42762 | 78 |
| 10 | (1.10381 | 2.1 | (3.12406 | 50 | 8.37850 | 88 | 10 | (1.11645 | 2.1 | (3.15610 | 56 | 8.42840 | 79 |
| 20 | (1.10402 | 2.1 | (3.12457 | 51 | 8.37938 | 88 | 20 | (1.11666 | 2.1 | (3.15667 | 56 | 8.42919 | 78 |
| 30 | (1.10423 | 2.1 | (3.12507 | 51 | 8.38026 | 88 | 30 | (1.11687 | 2.1 | (3.15723 | 57 | 8.42997 | 78 |
| 40 | (1.10444 | 2.1 | (3.12558 | 51 | 8.38114 | 88 | 40 | (1.11708 | 2.1 | (3.15780 | 57 | 8.43075 | 78 |
| 50 | (1.10465 | 2.2 | (3.12608 | 51 | 8.38202 | 87 | 50 | (1.11729 | 2.1 | (3.15837 | 57 | 8.43154 | 78 |
| 23 | (1.10487 | 2.1 | (3.12659 | 51 | 8.38289 | 87 | 33 | (1.11750 | 2.1 | (3.15891 | 57 | 8.43232 | 77 |
| 10 | (1.10508 | 2.1 | (3.12710 | 51 | 8.38376 | 87 | 10 | (1.11771 | 2.1 | (3.15951 | 57 | 8.43309 | 78 |
| 20 | (1.10529 | 2.1 | (3.12761 | 51 | 8.38463 | 87 | 20 | (1.11792 | 2.1 | (3.16008 | 57 | 8.43387 | 77 |
| 30 | (1.10550 | 2.1 | (3.12812 | 51 | 8.38550 | 86 | 30 | (1.11813 | 2.1 | (3.16065 | 57 | 8.43464 | 78 |
| 40 | (1.10571 | 2.1 | (3.12863 | 51 | 8.38636 | 86 | 40 | (1.11834 | 2.2 | (3.16122 | 57 | 8.43542 | 77 |
| 50 | (1.10592 | 2.1 | (3.12915 | 52 | 8.38723 | 87 | 50 | (1.11855 | 2.1 | (3.16180 | 58 | 8.43619 | 77 |
| 24 | (1.10613 | 2.1 | (3.12966 | 52 | 8.38809 | 86 | 34 | (1.11877 | 2.1 | (3.16237 | 58 | 8.43696 | 77 |
| 10 | (1.10634 | 2.1 | (3.13018 | 52 | 8.38895 | 86 | 10 | (1.11898 | 2.1 | (3.16295 | 58 | 8.43773 | 77 |
| 20 | (1.10655 | 2.1 | (3.13069 | 51 | 8.38981 | 86 | 20 | (1.11919 | 2.1 | (3.16353 | 58 | 8.43850 | 77 |
| 30 | (1.10676 | 2.1 | (3.13121 | 52 | 8.39067 | 86 | 30 | (1.11940 | 2.1 | (3.16411 | 58 | 8.43927 | 77 |
| 40 | (1.10697 | 2.1 | (3.13173 | 52 | 8.39153 | 86 | 40 | (1.11961 | 2.1 | (3.16469 | 58 | 8.44003 | 76 |
| 50 | (1.10718 | 2.1 | (3.13225 | 52 | 8.39238 | 85 | 50 | (1.11982 | 2.1 | (3.16527 | 58 | 8.44080 | 76 |
| 25 | (1.10739 | 2.1 | (3.13277 | 52 | 8.39323 | 85 | 35 | (1.11993 | 2.1 | (3.16585 | 58 | 8.44156 | 76 |
| 10 | (1.10760 | 2.1 | (3.13329 | 52 | 8.39408 | 85 | 10 | (1.12024 | 2.1 | (3.16643 | 58 | 8.44232 | 76 |
| 20 | (1.10781 | 2.1 | (3.13381 | 52 | 8.39493 | 85 | 20 | (1.12045 | 2.1 | (3.16701 | 59 | 8.44308 | 76 |
| 30 | (1.10802 | 2.1 | (3.13433 | 52 | 8.39578 | 85 | 30 | (1.12066 | 2.1 | (3.16760 | 58 | 8.44384 | 76 |
| 40 | (1.10823 | 2.1 | (3.13486 | 53 | 8.39663 | 85 | 40 | (1.12087 | 2.1 | (3.16818 | 59 | 8.44460 | 76 |
| 50 | (1.10845 | 2.2 | (3.13538 | 52 | 8.39747 | 84 | 50 | (1.12108 | 2.1 | (3.16877 | 59 | 8.44536 | 75 |
| 26 | (1.10866 | 2.1 | (3.13591 | 53 | 8.39832 | 84 | 36 | (1.12129 | 2.1 | (3.16936 | 59 | 8.44611 | 75 |
| 10 | (1.10887 | 2.1 | (3.13644 | 53 | 8.39916 | 84 | 10 | (1.12150 | 2.1 | (3.16995 | 59 | 8.44686 | 76 |
| 20 | (1.10908 | 2.1 | (3.13696 | 52 | 8.40000 | 84 | 20 | (1.12171 | 2.2 | (3.17054 | 59 | 8.44762 | 75 |
| 30 | (1.10929 | 2.1 | (3.13749 | 53 | 8.40083 | 83 | 30 | (1.12193 | 2.2 | (3.17113 | 59 | 8.44837 | 75 |
| 40 | (1.10950 | 2.1 | (3.13802 | 53 | 8.40167 | 84 | 40 | (1.12214 | 2.1 | (3.17172 | 59 | 8.44912 | 75 |
| 50 | (1.10971 | 2.1 | (3.13856 | 54 | 8.40250 | 83 | 50 | (1.12235 | 2.1 | (3.17231 | 60 | 8.44987 | 74 |
| 27 | (1.10992 | 2.1 | (3.13909 | 53 | 8.40334 | 84 | 37 | (1.12256 | 2.1 | (3.17291 | 60 | 8.45064 | 75 |
| 10 | (1.11013 | 2.1 | (3.13962 | 53 | 8.40417 | 83 | 10 | (1.12277 | 2.1 | (3.17350 | 60 | 8.45139 | 74 |
| 20 | (1.11034 | 2.1 | (3.14016 | 54 | 8.40500 | 83 | 20 | (1.12298 | 2.1 | (3.17410 | 60 | 8.45215 | 75 |
| 30 | (1.11055 | 2.1 | (3.14069 | 53 | 8.40583 | 83 | 30 | (1.12319 | 2.1 | (3.17469 | 60 | 8.45285 | 74 |
| 40 | (1.11076 | 2.1 | (3.14123 | 54 | 8.40665 | 82 | 40 | (1.12340 | 2.1 | (3.17529 | 60 | 8.45359 | 74 |
| 50 | (1.11097 | 2.1 | (3.14177 | 54 | 8.40748 | 83 | 50 | (1.12361 | 2.1 | (3.17589 | 60 | 8.45433 | 74 |
| 28 | (1.11118 | 2.1 | (3.14230 | 53 | 8.40830 | 82 | 38 | (1.12382 | 2.1 | (3.17649 | 60 | 8.45507 | 74 |
| 10 | (1.11139 | 2.1 | (3.14284 | 54 | 8.40913 | 83 | 10 | (1.12403 | 2.1 | (3.17709 | 60 | 8.45581 | 74 |
| 20 | (1.11160 | 2.2 | (3.14338 | 54 | 8.40995 | 82 | 20 | (1.12424 | 2.1 | (3.17769 | 60 | 8.45655 | 74 |
| 30 | (1.11182 | 2.1 | (3.14393 | 55 | 8.41077 | 82 | 30 | (1.12445 | 2.1 | (3.17829 | 61 | 8.45729 | 73 |
| 40 | (1.11203 | 2.1 | (3.14447 | 54 | 8.41158 | 81 | 40 | (1.12466 | 2.1 | (3.17890 | 61 | 8.45802 | 74 |
| 50 | (1.11224 | 2.1 | (3.14501 | 54 | 8.41240 | 82 | 50 | (1.12487 | 2.2 | (3.17950 | 61 | 8.45875 | 73 |
| 29 | (1.11245 | 2.1 | (3.14556 | 55 | 8.41321 | 81 | 39 | (1.12509 | 2.1 | (3.18011 | 61 | 8.45948 | 73 |
| 10 | (1.11266 | 2.1 | (3.14610 | 55 | 8.41403 | 82 | 10 | (1.12530 | 2.1 | (3.18072 | 61 | 8.46021 | 73 |
| 20 | (1.11287 | 2.1 | (3.14665 | 55 | 8.41484 | 81 | 20 | (1.12551 | 2.1 | (3.18132 | 60 | 8.46094 | 73 |
| 30 | (1.11308 | 2.1 | (3.14720 | 55 | 8.41565 | 81 | 30 | (1.12572 | 2.1 | (3.18193 | 61 | 8.46167 | 73 |
| 40 | (1.11329 | 2.1 | (3.14775 | 55 | 8.41646 | 81 | 40 | (1.12593 | 2.1 | (3.18254 | 61 | 8.46240 | 72 |
| 50 | (1.11350 | 2.1 | (3.14830 | 55 | 8.41726 | 80 | 50 | (1.12614 | 2.1 | (3.18315 | 61 | 8.46312 | 73 |
| 30 | (1.11371 | 2.1 | (3.14885 | 55 | 8.41807 | 81 | 40 | (1.12635 | 2.1 | (3.18377 | 62 | 8.46385 | 73 |

$\omega = 1 \text{ Grad.}$

| ω | ω' | Diff. | $\log \cos z$ | Diff. | $\log \sin z$ | Diff. | ω | ω' | Diff. | $\log \cos z$ | Diff. | $\log \sin z$ | Diff. |
|----------|-----------|-------|---------------|-------|---------------|-------|----------|-----------|-------|---------------|-------|---------------|-------|
| 40 | (1.12635 | 2.1 | (3.18377 | 61 | 8.46385 | 72 | 50 | (1.13899 | 2.1 | (3.22296 | 68 | 8.50527 | 66 |
| 10 | (1.12656 | 2.1 | (3.18438 | 61 | 8.46457 | 72 | 10 | (1.13920 | 2.1 | (3.22301 | 67 | 8.50593 | 65 |
| 20 | (1.12677 | 2.1 | (3.18499 | 62 | 8.46529 | 73 | 20 | (1.13941 | 2.1 | (3.22317 | 68 | 8.50658 | 66 |
| 30 | (1.12698 | 2.1 | (3.18561 | 62 | 8.46602 | 72 | 30 | (1.13962 | 2.1 | (3.22332 | 68 | 8.50724 | 65 |
| 40 | (1.12719 | 2.1 | (3.18623 | 61 | 8.46674 | 72 | 40 | (1.13983 | 2.1 | (3.22347 | 68 | 8.50789 | 66 |
| 50 | (1.12740 | 2.1 | (3.18684 | 61 | 8.46745 | 71 | 50 | (1.14004 | 2.1 | (3.22362 | 68 | 8.50855 | 65 |
| 41 | (1.12761 | 2.1 | (3.18746 | 62 | 8.46817 | 72 | 51 | (1.14025 | 2.1 | (3.22377 | 68 | 8.50920 | 65 |
| 10 | (1.12782 | 2.1 | (3.18808 | 62 | 8.46889 | 72 | 10 | (1.14046 | 2.1 | (3.22391 | 68 | 8.50985 | 65 |
| 20 | (1.12803 | 2.1 | (3.18870 | 62 | 8.46960 | 71 | 20 | (1.14067 | 2.1 | (3.22406 | 68 | 8.51050 | 65 |
| 30 | (1.12824 | 2.1 | (3.18932 | 62 | 8.47032 | 72 | 30 | (1.14088 | 2.1 | (3.22421 | 68 | 8.51115 | 65 |
| 40 | (1.12845 | 2.2 | (3.18994 | 63 | 8.47103 | 71 | 40 | (1.14109 | 2.1 | (3.22436 | 69 | 8.51180 | 65 |
| 50 | (1.12866 | 2.1 | (3.19057 | 63 | 8.47174 | 71 | 50 | (1.14131 | 2.2 | (3.22451 | 69 | 8.51245 | 65 |
| 42 | (1.12888 | 2.1 | (3.19119 | 63 | 8.47245 | 71 | 52 | (1.14152 | 2.1 | (3.22466 | 69 | 8.51310 | 65 |
| 10 | (1.12909 | 2.1 | (3.19182 | 63 | 8.47316 | 71 | 10 | (1.14173 | 2.1 | (3.22481 | 68 | 8.51374 | 64 |
| 20 | (1.12930 | 2.1 | (3.19244 | 62 | 8.47387 | 71 | 20 | (1.14194 | 2.1 | (3.22496 | 69 | 8.51439 | 65 |
| 30 | (1.12951 | 2.1 | (3.19307 | 63 | 8.47458 | 71 | 30 | (1.14215 | 2.1 | (3.22510 | 69 | 8.51503 | 64 |
| 40 | (1.12972 | 2.1 | (3.19370 | 63 | 8.47528 | 70 | 40 | (1.14236 | 2.1 | (3.22525 | 69 | 8.51568 | 65 |
| 50 | (1.12993 | 2.1 | (3.19433 | 63 | 8.47599 | 71 | 50 | (1.14257 | 2.1 | (3.22539 | 69 | 8.51632 | 64 |
| 43 | (1.13014 | 2.1 | (3.19496 | 63 | 8.47669 | 70 | 53 | (1.14278 | 2.1 | (3.22554 | 69 | 8.51696 | 64 |
| 10 | (1.13035 | 2.1 | (3.19559 | 63 | 8.47740 | 71 | 10 | (1.14299 | 2.1 | (3.22569 | 69 | 8.51761 | 64 |
| 20 | (1.13056 | 2.1 | (3.19622 | 63 | 8.47810 | 70 | 20 | (1.14320 | 2.1 | (3.22584 | 69 | 8.51825 | 64 |
| 30 | (1.13077 | 2.1 | (3.19685 | 63 | 8.47880 | 70 | 30 | (1.14341 | 2.1 | (3.22599 | 69 | 8.51889 | 64 |
| 40 | (1.13098 | 2.1 | (3.19749 | 63 | 8.47950 | 70 | 40 | (1.14362 | 2.1 | (3.22614 | 70 | 8.51953 | 64 |
| 50 | (1.13119 | 2.1 | (3.19813 | 63 | 8.48020 | 70 | 50 | (1.14383 | 2.1 | (3.22629 | 69 | 8.52017 | 63 |
| 44 | (1.13140 | 2.2 | (3.19876 | 64 | 8.48089 | 69 | 54 | (1.14404 | 2.1 | (3.22644 | 69 | 8.52081 | 63 |
| 10 | (1.13162 | 2.2 | (3.19940 | 64 | 8.48159 | 69 | 10 | (1.14425 | 2.1 | (3.22659 | 70 | 8.52145 | 63 |
| 20 | (1.13183 | 2.1 | (3.20004 | 61 | 8.48228 | 69 | 20 | (1.14446 | 2.2 | (3.22674 | 70 | 8.52209 | 63 |
| 30 | (1.13204 | 2.1 | (3.20068 | 64 | 8.48298 | 69 | 30 | (1.14467 | 2.1 | (3.22689 | 71 | 8.52273 | 63 |
| 40 | (1.13225 | 2.1 | (3.20132 | 64 | 8.48367 | 69 | 40 | (1.14488 | 2.1 | (3.22704 | 70 | 8.52337 | 64 |
| 50 | (1.13246 | 2.1 | (3.20196 | 65 | 8.48436 | 69 | 50 | (1.14509 | 2.1 | (3.22719 | 70 | 8.52401 | 63 |
| 45 | (1.13267 | 2.1 | (3.20260 | 64 | 8.48505 | 69 | 55 | (1.14530 | 2.1 | (3.22734 | 71 | 8.52465 | 63 |
| 10 | (1.13288 | 2.1 | (3.20324 | 64 | 8.48574 | 69 | 10 | (1.14551 | 2.1 | (3.22749 | 71 | 8.52529 | 62 |
| 20 | (1.13309 | 2.1 | (3.20389 | 64 | 8.48643 | 68 | 20 | (1.14572 | 2.1 | (3.22764 | 71 | 8.52593 | 62 |
| 30 | (1.13330 | 2.1 | (3.20453 | 65 | 8.48711 | 69 | 30 | (1.14593 | 2.1 | (3.22779 | 71 | 8.52657 | 62 |
| 40 | (1.13351 | 2.1 | (3.20518 | 65 | 8.48780 | 69 | 40 | (1.14614 | 2.1 | (3.22794 | 71 | 8.52721 | 63 |
| 50 | (1.13372 | 2.1 | (3.20582 | 65 | 8.48849 | 69 | 50 | (1.14635 | 2.1 | (3.22809 | 71 | 8.52785 | 62 |
| 46 | (1.13393 | 2.1 | (3.20646 | 65 | 8.48917 | 68 | 56 | (1.14656 | 2.1 | (3.22824 | 71 | 8.52849 | 62 |
| 10 | (1.13414 | 2.1 | (3.20713 | 65 | 8.48985 | 68 | 10 | (1.14678 | 2.1 | (3.22839 | 71 | 8.52913 | 62 |
| 20 | (1.13435 | 2.1 | (3.20779 | 66 | 8.49053 | 68 | 20 | (1.14699 | 2.1 | (3.22854 | 71 | 8.52977 | 62 |
| 30 | (1.13456 | 2.1 | (3.20844 | 65 | 8.49121 | 68 | 30 | (1.14720 | 2.1 | (3.22869 | 72 | 8.53041 | 62 |
| 40 | (1.13477 | 2.1 | (3.20909 | 65 | 8.49189 | 68 | 40 | (1.14741 | 2.1 | (3.22884 | 71 | 8.53105 | 62 |
| 50 | (1.13499 | 2.2 | (3.20974 | 65 | 8.49257 | 68 | 50 | (1.14763 | 2.2 | (3.22899 | 72 | 8.53169 | 62 |
| 47 | (1.13520 | 2.1 | (3.21040 | 66 | 8.49325 | 68 | 57 | (1.14784 | 2.1 | (3.22914 | 72 | 8.53233 | 62 |
| 10 | (1.13541 | 2.1 | (3.21106 | 66 | 8.49393 | 67 | 10 | (1.14805 | 2.1 | (3.22929 | 72 | 8.53297 | 62 |
| 20 | (1.13562 | 2.1 | (3.21171 | 65 | 8.49460 | 68 | 20 | (1.14826 | 2.1 | (3.22944 | 72 | 8.53361 | 61 |
| 30 | (1.13583 | 2.1 | (3.21237 | 66 | 8.49528 | 67 | 30 | (1.14847 | 2.1 | (3.22959 | 72 | 8.53425 | 61 |
| 40 | (1.13604 | 2.1 | (3.21303 | 66 | 8.49595 | 67 | 40 | (1.14868 | 2.1 | (3.22974 | 72 | 8.53489 | 62 |
| 50 | (1.13625 | 2.1 | (3.21369 | 66 | 8.49662 | 67 | 50 | (1.14889 | 2.1 | (3.22989 | 72 | 8.53553 | 61 |
| 48 | (1.13646 | 2.1 | (3.21435 | 66 | 8.49729 | 67 | 58 | (1.14910 | 2.1 | (3.22999 | 73 | 8.53617 | 61 |
| 10 | (1.13667 | 2.1 | (3.21501 | 66 | 8.49796 | 67 | 10 | (1.14931 | 2.1 | (3.23014 | 73 | 8.53681 | 61 |
| 20 | (1.13688 | 2.1 | (3.21568 | 66 | 8.49863 | 67 | 20 | (1.14952 | 2.1 | (3.23029 | 73 | 8.53745 | 61 |
| 30 | (1.13709 | 2.1 | (3.21634 | 67 | 8.49930 | 67 | 30 | (1.14973 | 2.1 | (3.23044 | 73 | 8.53809 | 61 |
| 40 | (1.13730 | 2.1 | (3.21701 | 67 | 8.49997 | 67 | 40 | (1.14994 | 2.1 | (3.23059 | 73 | 8.53873 | 61 |
| 50 | (1.13751 | 2.1 | (3.21767 | 67 | 8.50063 | 66 | 50 | (1.15015 | 2.1 | (3.23074 | 73 | 8.53937 | 61 |
| 49 | (1.13772 | 2.1 | (3.21834 | 67 | 8.50130 | 66 | 59 | (1.15036 | 2.1 | (3.23089 | 73 | 8.54001 | 61 |
| 10 | (1.13793 | 2.1 | (3.21901 | 67 | 8.50196 | 66 | 10 | (1.15057 | 2.2 | (3.23104 | 73 | 8.54065 | 61 |
| 20 | (1.13815 | 2.2 | (3.21968 | 67 | 8.50263 | 66 | 20 | (1.15079 | 2.2 | (3.23119 | 73 | 8.54129 | 61 |
| 30 | (1.13836 | 2.1 | (3.22035 | 67 | 8.50329 | 66 | 30 | (1.15100 | 2.1 | (3.23134 | 73 | 8.54193 | 60 |
| 40 | (1.13857 | 2.1 | (3.22102 | 67 | 8.50395 | 66 | 40 | (1.15121 | 2.1 | (3.23149 | 74 | 8.54257 | 60 |
| 50 | (1.13878 | 2.1 | (3.22169 | 67 | 8.50461 | 66 | 50 | (1.15142 | 2.1 | (3.23164 | 74 | 8.54321 | 60 |
| 50 | (1.13899 | 2.1 | (3.22236 | 67 | 8.50527 | 66 | 60 | (1.15163 | 2.1 | (3.23179 | 73 | 8.54385 | 60 |

$$w = 2 \text{ Grad.}$$

| ω | z' | Diff. | $\log \cos z$ | Diff. | $\log \sin z$ | Diff. | ω | z' | Diff. | $\log \cos z$ | Diff. | $\log \sin z$ | Diff. |
|----------|---------|-------|---------------|-------|---------------|-------|----------|---------|-------|---------------|-------|---------------|-------|
| 0 | (15163) | 2.1 | (3.26464) | 74 | 8.54398 | | 10 | (16427) | 2.1 | (3.31000) | 79 | 8.57788 | 55 |
| 10 | (15184) | 2.1 | (3.26538) | 74 | 8.54369 | 61 | 10 | (16448) | 2.1 | (3.31139) | 80 | 8.57813 | 56 |
| 20 | (15205) | 2.1 | (3.26611) | 73 | 8.54429 | 60 | 20 | (16469) | 2.1 | (3.31279) | 80 | 8.57890 | 56 |
| 30 | (15226) | 2.1 | (3.26685) | 74 | 8.54480 | 60 | 30 | (16490) | 2.1 | (3.31419) | 80 | 8.57955 | 56 |
| 40 | (15247) | 2.1 | (3.26759) | 74 | 8.54549 | 60 | 40 | (16511) | 2.1 | (3.31559) | 80 | 8.58010 | 55 |
| 50 | (15268) | 2.1 | (3.26833) | 74 | 8.54609 | 60 | 50 | (16532) | 2.1 | (3.31699) | 80 | 8.58065 | 55 |
| 1 | (15289) | 2.1 | (3.26907) | 74 | 8.54669 | 60 | 11 | (16553) | 2.1 | (3.31839) | 81 | 8.58121 | 56 |
| 10 | (15310) | 2.1 | (3.26981) | 74 | 8.54729 | 60 | 10 | (16574) | 2.1 | (3.31979) | 81 | 8.58176 | 55 |
| 20 | (15331) | 2.1 | (3.27056) | 75 | 8.54789 | 60 | 20 | (16596) | 2.2 | (3.32100) | 81 | 8.58231 | 55 |
| 30 | (15352) | 2.1 | (3.27130) | 74 | 8.54848 | 59 | 30 | (16617) | 2.1 | (3.32240) | 81 | 8.58286 | 55 |
| 40 | (15373) | 2.1 | (3.27204) | 74 | 8.54908 | 60 | 40 | (16638) | 2.1 | (3.32381) | 80 | 8.58341 | 55 |
| 50 | (15394) | 2.2 | (3.27279) | 75 | 8.54967 | 59 | 50 | (16659) | 2.1 | (3.32521) | 81 | 8.58396 | 55 |
| 2 | (15416) | 2.1 | (3.27354) | 75 | 8.55027 | 60 | 12 | (16680) | 2.1 | (3.32661) | 81 | 8.58451 | 55 |
| 10 | (15437) | 2.1 | (3.27429) | 75 | 8.55086 | 59 | 10 | (16701) | 2.1 | (3.32801) | 81 | 8.58506 | 55 |
| 20 | (15458) | 2.1 | (3.27503) | 74 | 8.55145 | 59 | 20 | (16722) | 2.1 | (3.32941) | 81 | 8.58561 | 55 |
| 30 | (15479) | 2.1 | (3.27579) | 75 | 8.55205 | 60 | 30 | (16743) | 2.1 | (3.33081) | 81 | 8.58616 | 55 |
| 40 | (15500) | 2.1 | (3.27654) | 75 | 8.55264 | 59 | 40 | (16764) | 2.1 | (3.33221) | 81 | 8.58671 | 54 |
| 50 | (15521) | 2.1 | (3.27729) | 75 | 8.55323 | 59 | 50 | (16785) | 2.1 | (3.33361) | 82 | 8.58725 | 55 |
| 3 | (15543) | 2.1 | (3.27804) | 75 | 8.55382 | 59 | 13 | (16806) | 2.1 | (3.33501) | 81 | 8.58780 | 54 |
| 10 | (15564) | 2.1 | (3.27880) | 76 | 8.55441 | 59 | 10 | (16827) | 2.1 | (3.33641) | 82 | 8.58834 | 55 |
| 20 | (15585) | 2.1 | (3.27955) | 75 | 8.55499 | 58 | 20 | (16848) | 2.1 | (3.33781) | 82 | 8.58888 | 55 |
| 30 | (15606) | 2.1 | (3.28031) | 76 | 8.55558 | 59 | 30 | (16869) | 2.1 | (3.33921) | 82 | 8.58943 | 54 |
| 40 | (15627) | 2.1 | (3.28106) | 75 | 8.55617 | 59 | 40 | (16890) | 2.2 | (3.34061) | 82 | 8.58997 | 54 |
| 50 | (15647) | 2.1 | (3.28182) | 76 | 8.55675 | 58 | 50 | (16911) | 2.1 | (3.34201) | 82 | 8.59051 | 54 |
| 4 | (15668) | 2.1 | (3.28258) | 76 | 8.55734 | 59 | 14 | (16932) | 2.1 | (3.34341) | 82 | 8.59105 | 54 |
| 10 | (15689) | 2.2 | (3.28334) | 76 | 8.55792 | 58 | 10 | (16953) | 2.1 | (3.34481) | 83 | 8.59159 | 54 |
| 20 | (15711) | 2.1 | (3.28410) | 76 | 8.55850 | 58 | 20 | (16974) | 2.1 | (3.34621) | 83 | 8.59213 | 51 |
| 30 | (15732) | 2.1 | (3.28487) | 77 | 8.55909 | 59 | 30 | (16995) | 2.1 | (3.34761) | 83 | 8.59267 | 54 |
| 40 | (15753) | 2.1 | (3.28563) | 76 | 8.55967 | 58 | 40 | (17016) | 2.1 | (3.34901) | 82 | 8.59321 | 54 |
| 50 | (15774) | 2.1 | (3.28639) | 76 | 8.56025 | 58 | 50 | (17037) | 2.1 | (3.35041) | 83 | 8.59375 | 54 |
| 5 | (15795) | 2.1 | (3.28716) | 77 | 8.56083 | 58 | 15 | (17059) | 2.1 | (3.35181) | 82 | 8.59428 | 53 |
| 10 | (15816) | 2.1 | (3.28793) | 77 | 8.56141 | 58 | 10 | (17080) | 2.1 | (3.35321) | 83 | 8.59482 | 54 |
| 20 | (15837) | 2.1 | (3.28869) | 76 | 8.56199 | 58 | 20 | (17101) | 2.1 | (3.35461) | 83 | 8.59536 | 51 |
| 30 | (15858) | 2.1 | (3.28946) | 77 | 8.56256 | 57 | 30 | (17122) | 2.1 | (3.35601) | 83 | 8.59589 | 53 |
| 40 | (15879) | 2.1 | (3.29023) | 77 | 8.56314 | 58 | 40 | (17143) | 2.1 | (3.35741) | 83 | 8.59643 | 53 |
| 50 | (15900) | 2.1 | (3.29100) | 77 | 8.56372 | 58 | 50 | (17164) | 2.2 | (3.35881) | 84 | 8.59696 | 54 |
| 6 | (15921) | 2.1 | (3.29177) | 78 | 8.56429 | 57 | 16 | (17185) | 2.1 | (3.36021) | 84 | 8.59749 | 53 |
| 10 | (15942) | 2.1 | (3.29255) | 78 | 8.56487 | 58 | 10 | (17206) | 2.1 | (3.36161) | 83 | 8.59802 | 53 |
| 20 | (15963) | 2.1 | (3.29332) | 77 | 8.56544 | 57 | 20 | (17227) | 2.1 | (3.36301) | 84 | 8.59856 | 54 |
| 30 | (15984) | 2.1 | (3.29409) | 78 | 8.56601 | 57 | 30 | (17248) | 2.1 | (3.36441) | 83 | 8.59909 | 53 |
| 40 | (16005) | 2.2 | (3.29487) | 78 | 8.56659 | 58 | 40 | (17269) | 2.1 | (3.36581) | 84 | 8.59962 | 53 |
| 50 | (16027) | 2.1 | (3.29565) | 78 | 8.56716 | 57 | 50 | (17290) | 2.1 | (3.36721) | 84 | 8.60015 | 53 |
| 7 | (16048) | 2.1 | (3.29642) | 78 | 8.56773 | 57 | 17 | (17312) | 2.1 | (3.36861) | 84 | 8.60068 | 53 |
| 10 | (16069) | 2.1 | (3.29720) | 78 | 8.56830 | 57 | 10 | (17333) | 2.1 | (3.37001) | 84 | 8.60121 | 52 |
| 20 | (16090) | 2.1 | (3.29798) | 78 | 8.56887 | 57 | 20 | (17354) | 2.1 | (3.37141) | 84 | 8.60173 | 53 |
| 30 | (16111) | 2.1 | (3.29876) | 78 | 8.56944 | 56 | 30 | (17375) | 2.1 | (3.37281) | 84 | 8.60226 | 53 |
| 40 | (16132) | 2.1 | (3.29954) | 78 | 8.57000 | 56 | 40 | (17396) | 2.1 | (3.37421) | 85 | 8.60279 | 52 |
| 50 | (16153) | 2.1 | (3.30033) | 79 | 8.57057 | 57 | 50 | (17417) | 2.1 | (3.37561) | 85 | 8.60331 | 53 |
| 8 | (16174) | 2.1 | (3.30111) | 79 | 8.57114 | 56 | 18 | (17438) | 2.1 | (3.37701) | 85 | 8.60384 | 52 |
| 10 | (16195) | 2.1 | (3.30190) | 78 | 8.57170 | 56 | 10 | (17459) | 2.2 | (3.37841) | 85 | 8.60437 | 53 |
| 20 | (16216) | 2.1 | (3.30268) | 79 | 8.57227 | 56 | 20 | (17481) | 2.1 | (3.37981) | 85 | 8.60490 | 52 |
| 30 | (16237) | 2.1 | (3.30347) | 79 | 8.57283 | 57 | 30 | (17502) | 2.1 | (3.38121) | 85 | 8.60543 | 52 |
| 40 | (16258) | 2.1 | (3.30426) | 79 | 8.57340 | 56 | 40 | (17523) | 2.1 | (3.38261) | 85 | 8.60596 | 53 |
| 50 | (16279) | 2.2 | (3.30505) | 79 | 8.57396 | 56 | 50 | (17544) | 2.1 | (3.38401) | 85 | 8.60649 | 52 |
| 9 | (16301) | 2.1 | (3.30584) | 79 | 8.57452 | 56 | 19 | (17565) | 2.1 | (3.38541) | 86 | 8.60702 | 52 |
| 10 | (16322) | 2.1 | (3.30663) | 79 | 8.57508 | 56 | 10 | (17586) | 2.1 | (3.38681) | 85 | 8.60755 | 52 |
| 20 | (16343) | 2.1 | (3.30742) | 79 | 8.57564 | 56 | 20 | (17607) | 2.1 | (3.38821) | 85 | 8.60808 | 52 |
| 30 | (16364) | 2.1 | (3.30821) | 80 | 8.57620 | 56 | 30 | (17628) | 2.1 | (3.38961) | 86 | 8.60861 | 52 |
| 40 | (16385) | 2.1 | (3.30900) | 79 | 8.57676 | 56 | 40 | (17649) | 2.1 | (3.39101) | 85 | 8.60914 | 52 |
| 50 | (16406) | 2.1 | (3.30980) | 79 | 8.57732 | 56 | 50 | (17670) | 2.1 | (3.39241) | 86 | 8.60967 | 51 |
| 10 | (16427) | 2.1 | (3.31060) | 80 | 8.57788 | 56 | 20 | (17691) | 2.1 | (3.39381) | 86 | 8.61020 | 51 |

$$\omega = 2 \text{ Grad.}$$

| ω | z' | Diff. | $\log \cos z$ | Diff. | $\log \sin z$ | Diff. | ω | z' | Diff. | $\log \cos z$ | Diff. | $\log \sin z$ | Diff. |
|----------|-----------|-------|---------------|-------|---------------|-------|----------|-----------|-------|---------------|-------|---------------|-------|
| 20 | (1.17691) | 2.1 | (3.36023) | 86 | 8.61009 | 52 | 30 | (1.18956) | 2.1 | (3.41355) | 92 | 8.61009 | 49 |
| 10 | (1.17712) | 2.1 | (3.36109) | 86 | 8.61061 | 52 | 10 | (1.18977) | 2.1 | (3.41447) | 92 | 8.61058 | 48 |
| 20 | (1.17733) | 2.1 | (3.36195) | 86 | 8.61113 | 51 | 20 | (1.18998) | 2.1 | (3.41539) | 92 | 8.61106 | 48 |
| 30 | (1.17754) | 2.2 | (3.36281) | 86 | 8.61164 | 51 | 30 | (1.19019) | 2.1 | (3.41631) | 92 | 8.61154 | 48 |
| 40 | (1.17776) | 2.2 | (3.36367) | 86 | 8.61216 | 52 | 40 | (1.19040) | 2.1 | (3.41723) | 92 | 8.61202 | 48 |
| 50 | (1.17797) | 2.1 | (3.36453) | 86 | 8.61267 | 51 | 50 | (1.19061) | 2.1 | (3.41816) | 93 | 8.61250 | 48 |
| 21 | (1.17818) | 2.1 | (3.36540) | 87 | 8.61319 | 52 | 31 | (1.19082) | 2.1 | (3.41908) | 92 | 8.61298 | 48 |
| 10 | (1.17839) | 2.1 | (3.36626) | 86 | 8.61370 | 51 | 10 | (1.19103) | 2.1 | (3.42001) | 93 | 8.61346 | 48 |
| 20 | (1.17860) | 2.1 | (3.36713) | 87 | 8.61422 | 52 | 20 | (1.19124) | 2.1 | (3.42094) | 92 | 8.61394 | 48 |
| 30 | (1.17881) | 2.1 | (3.36800) | 87 | 8.61473 | 51 | 30 | (1.19145) | 2.1 | (3.42186) | 92 | 8.61442 | 48 |
| 40 | (1.17902) | 2.1 | (3.36886) | 86 | 8.61524 | 51 | 40 | (1.19166) | 2.2 | (3.42279) | 93 | 8.61490 | 48 |
| 50 | (1.17923) | 2.1 | (3.36973) | 87 | 8.61575 | 51 | 50 | (1.19188) | 2.2 | (3.42372) | 93 | 8.61538 | 48 |
| 22 | (1.17944) | 2.1 | (3.37060) | 87 | 8.61626 | 51 | 32 | (1.19209) | 2.1 | (3.42465) | 93 | 8.61585 | 48 |
| 10 | (1.17965) | 2.1 | (3.37147) | 87 | 8.61677 | 51 | 10 | (1.19230) | 2.1 | (3.42558) | 94 | 8.61633 | 47 |
| 20 | (1.17986) | 2.1 | (3.37234) | 87 | 8.61728 | 51 | 20 | (1.19251) | 2.1 | (3.42652) | 94 | 8.61681 | 47 |
| 30 | (1.18007) | 2.1 | (3.37322) | 88 | 8.61779 | 51 | 30 | (1.19272) | 2.1 | (3.42745) | 94 | 8.61728 | 48 |
| 40 | (1.18028) | 2.1 | (3.37409) | 87 | 8.61830 | 51 | 40 | (1.19293) | 2.1 | (3.42839) | 94 | 8.61776 | 48 |
| 50 | (1.18049) | 2.2 | (3.37496) | 87 | 8.61881 | 51 | 50 | (1.19314) | 2.1 | (3.42932) | 94 | 8.61823 | 47 |
| 23 | (1.18071) | 2.1 | (3.37584) | 88 | 8.61931 | 50 | 33 | (1.19335) | 2.1 | (3.43026) | 94 | 8.61870 | 48 |
| 10 | (1.18092) | 2.1 | (3.37672) | 88 | 8.61982 | 51 | 10 | (1.19356) | 2.1 | (3.43120) | 94 | 8.61918 | 47 |
| 20 | (1.18113) | 2.1 | (3.37760) | 88 | 8.62033 | 51 | 20 | (1.19377) | 2.1 | (3.43214) | 94 | 8.61965 | 47 |
| 30 | (1.18134) | 2.1 | (3.37847) | 87 | 8.62083 | 50 | 30 | (1.19398) | 2.1 | (3.43308) | 91 | 8.62012 | 48 |
| 40 | (1.18155) | 2.1 | (3.37935) | 88 | 8.62134 | 51 | 40 | (1.19419) | 2.1 | (3.43402) | 91 | 8.62060 | 48 |
| 50 | (1.18176) | 2.1 | (3.38022) | 89 | 8.62184 | 50 | 50 | (1.19440) | 2.2 | (3.43496) | 95 | 8.62107 | 47 |
| 24 | (1.18197) | 2.1 | (3.38112) | 88 | 8.62234 | 51 | 34 | (1.19462) | 2.2 | (3.43591) | 94 | 8.62154 | 47 |
| 10 | (1.18218) | 2.1 | (3.38200) | 88 | 8.62285 | 50 | 10 | (1.19483) | 2.1 | (3.43685) | 94 | 8.62201 | 47 |
| 20 | (1.18239) | 2.1 | (3.38288) | 89 | 8.62335 | 50 | 20 | (1.19504) | 2.1 | (3.43780) | 91 | 8.62248 | 47 |
| 30 | (1.18260) | 2.1 | (3.38377) | 89 | 8.62385 | 50 | 30 | (1.19525) | 2.1 | (3.43874) | 95 | 8.62295 | 47 |
| 40 | (1.18281) | 2.1 | (3.38466) | 89 | 8.62435 | 50 | 40 | (1.19546) | 2.1 | (3.43969) | 95 | 8.62342 | 47 |
| 50 | (1.18302) | 2.1 | (3.38554) | 88 | 8.62485 | 50 | 50 | (1.19567) | 2.1 | (3.44064) | 95 | 8.62389 | 47 |
| 25 | (1.18323) | 2.2 | (3.38643) | 89 | 8.62535 | 50 | 35 | (1.19588) | 2.1 | (3.44159) | 95 | 8.62435 | 47 |
| 10 | (1.18345) | 2.2 | (3.38732) | 89 | 8.62585 | 50 | 10 | (1.19609) | 2.1 | (3.44254) | 95 | 8.62482 | 47 |
| 20 | (1.18366) | 2.1 | (3.38821) | 89 | 8.62635 | 50 | 20 | (1.19630) | 2.1 | (3.44349) | 95 | 8.62529 | 46 |
| 30 | (1.18387) | 2.1 | (3.38910) | 89 | 8.62685 | 50 | 30 | (1.19651) | 2.1 | (3.44444) | 96 | 8.62575 | 47 |
| 40 | (1.18408) | 2.1 | (3.38999) | 89 | 8.62735 | 50 | 40 | (1.19672) | 2.1 | (3.44540) | 96 | 8.62622 | 47 |
| 50 | (1.18429) | 2.1 | (3.39089) | 89 | 8.62784 | 49 | 50 | (1.19693) | 2.1 | (3.44635) | 95 | 8.62668 | 46 |
| 26 | (1.18450) | 2.1 | (3.39178) | 90 | 8.62834 | 50 | 36 | (1.19714) | 2.2 | (3.44731) | 95 | 8.62715 | 47 |
| 10 | (1.18471) | 2.1 | (3.39268) | 90 | 8.62884 | 50 | 10 | (1.19735) | 2.1 | (3.44826) | 96 | 8.62761 | 46 |
| 20 | (1.18492) | 2.1 | (3.39357) | 90 | 8.62933 | 49 | 20 | (1.19757) | 2.1 | (3.44922) | 96 | 8.62808 | 47 |
| 30 | (1.18513) | 2.1 | (3.39447) | 90 | 8.62983 | 49 | 30 | (1.19778) | 2.1 | (3.45018) | 96 | 8.62854 | 46 |
| 40 | (1.18534) | 2.1 | (3.39537) | 90 | 8.63032 | 49 | 40 | (1.19799) | 2.1 | (3.45114) | 96 | 8.62901 | 47 |
| 50 | (1.18555) | 2.1 | (3.39627) | 90 | 8.63081 | 49 | 50 | (1.19820) | 2.1 | (3.45210) | 96 | 8.62947 | 46 |
| 27 | (1.18576) | 2.1 | (3.39717) | 90 | 8.63131 | 49 | 37 | (1.19841) | 2.1 | (3.45306) | 96 | 8.62993 | 46 |
| 10 | (1.18597) | 2.1 | (3.39807) | 90 | 8.63180 | 49 | 10 | (1.19862) | 2.1 | (3.45402) | 97 | 8.63039 | 46 |
| 20 | (1.18618) | 2.2 | (3.39897) | 90 | 8.63229 | 49 | 20 | (1.19883) | 2.1 | (3.45499) | 96 | 8.63085 | 46 |
| 30 | (1.18640) | 2.1 | (3.39987) | 91 | 8.63278 | 50 | 30 | (1.19904) | 2.1 | (3.45595) | 97 | 8.63131 | 46 |
| 40 | (1.18661) | 2.1 | (3.40078) | 90 | 8.63328 | 50 | 40 | (1.19925) | 2.1 | (3.45692) | 97 | 8.63177 | 46 |
| 50 | (1.18682) | 2.1 | (3.40168) | 90 | 8.63377 | 49 | 50 | (1.19946) | 2.1 | (3.45789) | 96 | 8.63223 | 46 |
| 28 | (1.18703) | 2.1 | (3.40259) | 91 | 8.63426 | 49 | 38 | (1.19967) | 2.1 | (3.45885) | 97 | 8.63269 | 46 |
| 10 | (1.18724) | 2.1 | (3.40350) | 91 | 8.63475 | 49 | 10 | (1.19988) | 2.2 | (3.45982) | 97 | 8.63315 | 46 |
| 20 | (1.18745) | 2.1 | (3.40441) | 91 | 8.63523 | 48 | 20 | (1.20010) | 2.1 | (3.46079) | 97 | 8.63361 | 45 |
| 30 | (1.18766) | 2.1 | (3.40532) | 91 | 8.63572 | 49 | 30 | (1.20031) | 2.1 | (3.46176) | 97 | 8.63406 | 46 |
| 40 | (1.18787) | 2.1 | (3.40623) | 91 | 8.63621 | 49 | 40 | (1.20052) | 2.1 | (3.46273) | 98 | 8.63452 | 46 |
| 50 | (1.18808) | 2.1 | (3.40714) | 91 | 8.63670 | 48 | 50 | (1.20073) | 2.1 | (3.46371) | 97 | 8.63498 | 45 |
| 29 | (1.18829) | 2.1 | (3.40805) | 92 | 8.63718 | 49 | 39 | (1.20094) | 2.1 | (3.46468) | 98 | 8.63543 | 46 |
| 10 | (1.18850) | 2.1 | (3.40897) | 91 | 8.63767 | 49 | 10 | (1.20115) | 2.1 | (3.46566) | 97 | 8.63589 | 45 |
| 20 | (1.18871) | 2.1 | (3.40988) | 92 | 8.63816 | 48 | 20 | (1.20136) | 2.1 | (3.46663) | 98 | 8.63634 | 45 |
| 30 | (1.18892) | 2.2 | (3.41080) | 91 | 8.63864 | 49 | 30 | (1.20157) | 2.1 | (3.46761) | 98 | 8.63680 | 45 |
| 40 | (1.18914) | 2.1 | (3.41171) | 92 | 8.63913 | 48 | 40 | (1.20178) | 2.1 | (3.46859) | 98 | 8.63725 | 46 |
| 50 | (1.18935) | 2.1 | (3.41263) | 92 | 8.63961 | 48 | 50 | (1.20199) | 2.1 | (3.46957) | 98 | 8.63771 | 45 |
| 30 | (1.18956) | 2.1 | (3.41355) | 92 | 8.64009 | 48 | 40 | (1.20220) | 2.1 | (3.47055) | 98 | 8.63816 | 45 |

$$\omega = 2 \text{ Grad.}$$

| ω | z' | <i>Diff.</i> | $\log \cos z$ | <i>Diff.</i> | $\log \sin z$ | <i>Diff.</i> | ω | z' | <i>Diff.</i> | $\log \cos z$ | <i>Diff.</i> | $\log \sin z$ | <i>Diff.</i> |
|----------|-----------|--------------|---------------|--------------|---------------|--------------|----------|-----------|--------------|---------------|--------------|---------------|--------------|
| 40 | (1.20220) | | (3.47055) | | (8.60816) | | 50 | (1.21485) | | (3.53123) | | (8.69153) | |
| 10 | (1.20321) | 2.1 | (3.47153) | 98 | (8.60861) | 45 | 10 | (1.21506) | 2.1 | (3.53225) | 104 | (8.69196) | 43 |
| 20 | (1.20422) | 2.2 | (3.47251) | 98 | (8.60906) | 45 | 20 | (1.21527) | 2.1 | (3.53327) | 104 | (8.69238) | 42 |
| 30 | (1.20523) | | (3.47349) | | (8.60952) | | 30 | (1.21548) | 2.1 | (3.53430) | 105 | (8.69281) | 42 |
| 40 | (1.20624) | 2.1 | (3.47448) | 99 | (8.60997) | 45 | 40 | (1.21569) | 2.1 | (3.53531) | 105 | (8.69323) | 42 |
| 50 | (1.20725) | 2.1 | (3.47546) | 99 | (8.61042) | 45 | 50 | (1.21590) | 2.2 | (3.53635) | 105 | (8.69366) | 42 |
| 41 | (1.20317) | | (3.47645) | | (8.61087) | | 51 | (1.21612) | | (3.53730) | | (8.69408) | |
| 11 | (1.20418) | 2.1 | (3.47744) | 99 | (8.61132) | 45 | 11 | (1.21633) | 2.1 | (3.53835) | 105 | (8.69451) | 43 |
| 21 | (1.20519) | 2.1 | (3.47843) | 98 | (8.61177) | 45 | 21 | (1.21654) | 2.1 | (3.53936) | 105 | (8.69493) | 42 |
| 31 | (1.20620) | | (3.47941) | | (8.61222) | | 31 | (1.21675) | 2.1 | (3.54040) | 105 | (8.69535) | 42 |
| 41 | (1.20721) | 2.1 | (3.48040) | 100 | (8.61267) | 45 | 41 | (1.21696) | 2.1 | (3.54141) | 105 | (8.69577) | 43 |
| 51 | (1.20822) | 2.1 | (3.48138) | 100 | (8.61312) | 44 | 51 | (1.21717) | 2.1 | (3.54243) | 106 | (8.69619) | 42 |
| 42 | (1.20923) | | (3.48239) | | (8.61356) | | 52 | (1.21738) | | (3.54341) | | (8.69662) | |
| 12 | (1.21024) | 2.1 | (3.48338) | 99 | (8.61401) | 45 | 12 | (1.21759) | 2.1 | (3.54440) | 106 | (8.69704) | 42 |
| 22 | (1.21125) | 2.1 | (3.48438) | 99 | (8.61446) | 44 | 22 | (1.21780) | 2.1 | (3.54539) | 106 | (8.69746) | 42 |
| 32 | (1.21226) | | (3.48537) | | (8.61490) | | 32 | (1.21801) | 2.1 | (3.54637) | 106 | (8.69788) | 42 |
| 42 | (1.21327) | 2.2 | (3.48637) | 100 | (8.61535) | 44 | 42 | (1.21822) | 2.1 | (3.54735) | 106 | (8.69830) | 42 |
| 52 | (1.21428) | 2.1 | (3.48737) | 100 | (8.61579) | 45 | 52 | (1.21843) | 2.2 | (3.54833) | 106 | (8.69872) | 42 |
| 43 | (1.21529) | | (3.48837) | | (8.61624) | | 53 | (1.21864) | | (3.54931) | | (8.69914) | |
| 13 | (1.21630) | 2.1 | (3.48936) | 101 | (8.61668) | 45 | 13 | (1.21885) | 2.1 | (3.55029) | 106 | (8.69956) | 42 |
| 23 | (1.21731) | 2.1 | (3.49037) | 101 | (8.61713) | 44 | 23 | (1.21906) | 2.1 | (3.55127) | 106 | (8.69998) | 41 |
| 33 | (1.21832) | | (3.49137) | | (8.61757) | | 33 | (1.21927) | 2.1 | (3.55225) | 106 | (8.70040) | 42 |
| 43 | (1.21933) | 2.1 | (3.49237) | 100 | (8.61801) | 45 | 43 | (1.21948) | 2.1 | (3.55323) | 107 | (8.70082) | 42 |
| 53 | (1.22034) | 2.1 | (3.49337) | 101 | (8.61846) | 44 | 53 | (1.21969) | 2.1 | (3.55421) | 106 | (8.70124) | 42 |
| 44 | (1.22135) | | (3.49438) | | (8.61890) | | 54 | (1.21990) | | (3.55519) | | (8.70166) | |
| 14 | (1.22236) | 2.1 | (3.49538) | 101 | (8.61934) | 44 | 14 | (1.22011) | 2.1 | (3.55617) | 107 | (8.70208) | 42 |
| 24 | (1.22337) | 2.2 | (3.49639) | 101 | (8.61978) | 44 | 24 | (1.22032) | 2.1 | (3.55715) | 107 | (8.70250) | 42 |
| 34 | (1.22438) | | (3.49740) | | (8.62022) | | 34 | (1.22053) | 2.1 | (3.55813) | 107 | (8.70292) | 42 |
| 44 | (1.22539) | 2.2 | (3.49841) | 101 | (8.62066) | 44 | 44 | (1.22074) | 2.1 | (3.55911) | 107 | (8.70334) | 42 |
| 54 | (1.22640) | 2.1 | (3.49942) | 101 | (8.62110) | 44 | 54 | (1.22095) | 2.2 | (3.56009) | 108 | (8.70376) | 41 |
| 45 | (1.22741) | | (3.50043) | | (8.62154) | | 55 | (1.22116) | | (3.56107) | | (8.70418) | |
| 15 | (1.22842) | 2.1 | (3.50144) | 101 | (8.62198) | 44 | 15 | (1.22137) | 2.1 | (3.56205) | 108 | (8.70460) | 42 |
| 25 | (1.22943) | 2.1 | (3.50245) | 102 | (8.62242) | 44 | 25 | (1.22158) | 2.1 | (3.56303) | 108 | (8.70502) | 42 |
| 35 | (1.23044) | | (3.50347) | | (8.62286) | | 35 | (1.22179) | 2.1 | (3.56401) | 108 | (8.70544) | 42 |
| 45 | (1.23145) | 2.1 | (3.50448) | 102 | (8.62330) | 44 | 45 | (1.22200) | 2.1 | (3.56499) | 108 | (8.70586) | 42 |
| 55 | (1.23246) | 2.1 | (3.50550) | 101 | (8.62373) | 44 | 55 | (1.22221) | 2.1 | (3.56597) | 108 | (8.70628) | 42 |
| 46 | (1.23347) | | (3.50651) | | (8.62417) | | 56 | (1.22242) | | (3.56695) | | (8.70670) | |
| 16 | (1.23448) | 2.1 | (3.50753) | 102 | (8.62461) | 45 | 16 | (1.22263) | 2.1 | (3.56793) | 108 | (8.70712) | 42 |
| 26 | (1.23549) | 2.1 | (3.50855) | 102 | (8.62504) | 44 | 26 | (1.22284) | 2.1 | (3.56891) | 108 | (8.70754) | 42 |
| 36 | (1.23650) | | (3.50957) | | (8.62548) | | 36 | (1.22305) | 2.1 | (3.56989) | 108 | (8.70796) | 41 |
| 46 | (1.23751) | 2.2 | (3.51059) | 102 | (8.62592) | 44 | 46 | (1.22326) | 2.1 | (3.57087) | 108 | (8.70838) | 42 |
| 56 | (1.23852) | 2.1 | (3.51161) | 103 | (8.62635) | 43 | 56 | (1.22347) | 2.1 | (3.57185) | 108 | (8.70880) | 42 |
| 47 | (1.23953) | | (3.51263) | | (8.62678) | | 57 | (1.22368) | 2.2 | (3.57283) | | (8.70922) | |
| 17 | (1.24054) | 2.1 | (3.51365) | 103 | (8.62722) | 44 | 17 | (1.22389) | 2.1 | (3.57381) | 108 | (8.70964) | 41 |
| 27 | (1.24155) | 2.1 | (3.51467) | 103 | (8.62765) | 43 | 27 | (1.22410) | 2.1 | (3.57479) | 108 | (8.71006) | 41 |
| 37 | (1.24256) | | (3.51569) | | (8.62808) | | 37 | (1.22431) | 2.1 | (3.57577) | 109 | (8.71048) | 41 |
| 47 | (1.24357) | 2.1 | (3.51671) | 103 | (8.62852) | 44 | 47 | (1.22452) | 2.1 | (3.57675) | 109 | (8.71090) | 41 |
| 57 | (1.24458) | 2.1 | (3.51773) | 103 | (8.62895) | 43 | 57 | (1.22473) | 2.1 | (3.57773) | 109 | (8.71132) | 41 |
| 48 | (1.24559) | | (3.51875) | | (8.62938) | | 58 | (1.22494) | 2.1 | (3.57871) | 109 | (8.71174) | 41 |
| 18 | (1.24660) | 2.1 | (3.51977) | 103 | (8.62982) | 43 | 18 | (1.22515) | 2.1 | (3.57969) | 109 | (8.71216) | 41 |
| 28 | (1.24761) | 2.1 | (3.52079) | 103 | (8.63026) | 43 | 28 | (1.22536) | 2.1 | (3.58067) | 109 | (8.71258) | 41 |
| 38 | (1.24862) | | (3.52181) | | (8.63069) | | 38 | (1.22557) | 2.1 | (3.58165) | 109 | (8.71300) | 41 |
| 48 | (1.24963) | 2.1 | (3.52283) | 103 | (8.63113) | 43 | 48 | (1.22578) | 2.1 | (3.58263) | 109 | (8.71342) | 41 |
| 58 | (1.25064) | 2.1 | (3.52385) | 103 | (8.63157) | 43 | 58 | (1.22599) | 2.1 | (3.58361) | 109 | (8.71384) | 41 |
| 49 | (1.25165) | | (3.52487) | | (8.63200) | | 59 | (1.22620) | 2.2 | (3.58459) | | (8.71426) | |
| 19 | (1.25266) | 2.1 | (3.52589) | 104 | (8.63244) | 43 | 19 | (1.22641) | 2.1 | (3.58557) | 110 | (8.71468) | 41 |
| 29 | (1.25367) | 2.1 | (3.52691) | 104 | (8.63288) | 43 | 29 | (1.22662) | 2.1 | (3.58655) | 110 | (8.71510) | 41 |
| 39 | (1.25468) | | (3.52793) | | (8.63331) | | 39 | (1.22683) | 2.1 | (3.58753) | 110 | (8.71552) | 41 |
| 49 | (1.25569) | 2.1 | (3.52895) | 104 | (8.63375) | 43 | 49 | (1.22704) | 2.1 | (3.58851) | 110 | (8.71594) | 41 |
| 59 | (1.25670) | 2.1 | (3.52997) | 104 | (8.63419) | 42 | 59 | (1.22725) | 2.1 | (3.58949) | 110 | (8.71636) | 41 |
| 50 | (1.25771) | | (3.53099) | | (8.63463) | | 60 | (1.22746) | | (3.59047) | | (8.71678) | |
| 51 | (1.25872) | 2.1 | (3.53201) | 104 | (8.63507) | 43 | 51 | (1.22767) | 2.1 | (3.59145) | 110 | (8.71720) | 41 |
| 52 | (1.25973) | 2.1 | (3.53303) | 104 | (8.63551) | 42 | 52 | (1.22788) | 2.1 | (3.59243) | 110 | (8.71762) | 41 |
| 53 | (1.26074) | | (3.53405) | | (8.63595) | | 53 | (1.22809) | 2.1 | (3.59341) | 110 | (8.71804) | 41 |
| 54 | (1.26175) | 2.1 | (3.53507) | 104 | (8.63639) | 43 | 54 | (1.22830) | 2.1 | (3.59439) | 110 | (8.71846) | 41 |
| 55 | (1.26276) | 2.1 | (3.53609) | 104 | (8.63683) | 43 | 55 | (1.22851) | 2.1 | (3.59537) | 110 | (8.71888) | 41 |
| 56 | (1.26377) | | (3.53711) | | (8.63727) | | 56 | (1.22872) | 2.1 | (3.59635) | 110 | (8.71930) | 41 |
| 57 | (1.26478) | 2.1 | (3.53813) | 104 | (8.63771) | 43 | 57 | (1.22893) | 2.1 | (3.59733) | 110 | (8.71972) | 41 |
| 58 | (1.26579) | 2.1 | (3.53915) | 104 | (8.63815) | 43 | 58 | (1.22914) | 2.1 | (3.59831) | 110 | (8.72014) | 41 |
| 59 | (1.26680) | | (3.54017) | | (8.63859) | | 59 | (1.22935) | 2.1 | (3.59929) | 110 | (8.72056) | 41 |
| 60 | (1.26781) | 2.1 | (3.54119) | 104 | (8.63903) | 43 | 60 | (1.22956) | 2.1 | (3.60027) | 110 | (8.72098) | 41 |
| 61 | (1.26882) | 2.1 | (3.54221) | 104 | (8.63947) | 43 | 61 | (1.22977) | 2.1 | (3.60125) | 110 | (8.72140) | 41 |
| 62 | (1.26983) | | (3.54323) | | (8.63991) | | 62 | (1.22998) | 2.1 | (3.60223) | 110 | (8.72182) | 41 |
| 63 | (1.27084) | 2.1 | (3.54425) | 104 | (8.64035) | 43 | 63 | (1.23019) | 2.1 | (3.60321) | 110 | (8.72224) | 41 |
| 64 | (1.27185) | 2.1 | (3.54527) | 104 | (8.64079) | 43 | 64 | (1.23040) | 2.1 | (3.60419) | 110 | (8.72266) | 41 |
| 65 | (1.27286) | | (3.54629) | | (8.64123) | | 65 | (1.23061) | 2.1 | (3.60517) | 110 | (8.72308) | 41 |
| 66 | (1.27387) | 2.1 | (3.54731) | 104 | (8.64167) | 43 | 66 | (1.23082) | 2.1 | (3.60615) | 110 | (8.72350) | 41 |
| 67 | (1.27488) | 2.1 | (3.54833) | 104 | (8.64211) | 43 | 67 | (1.23103) | 2.1 | (3.60713) | 110 | (8.72392) | 41 |
| 68 | (1.27589) | | (3.54935) | | (8.64255) | | 68 | (1.23124) | 2.1 | (3.60811) | 110 | (8.72434) | 41 |
| 69 | (1.27690) | 2.1 | (3.55037) | 104 | (8.64299) | 43 | 69 | (1.23145) | 2.1 | (3.60909) | 110 | (8.72476) | 41 |
| 70 | (1.27791) | 2.1 | (3.55139) | 104 | (8.64343) | 43 | 70 | (1.23166) | 2.1 | (3.61007) | 110 | (8.72518) | 41 |
| 71 | (1.27892) | | (3.55241) | | (8.64387) | | 71 | (1.23187) | 2.1 | (3.61105) | 110 | (8.72560) | 41 |
| 72 | (1.27993) | 2.1 | (3.55343) | 104 | (8.64431) | 43 | 72 | (1.23208) | 2.1 | (3.61203) | 110 | (8.72602) | 41 |
| 73 | (1.28094) | 2.1 | (3.55445) | 104 | (8.64475) | 43 | 73 | (1.23229) | 2.1 | (3.61301) | 110 | (8.72644) | 41 |
| 74 | (1.28195) | | (3.55547) | | (8.64519) | | 74 | (1.23250) | 2.1 | (3.61399) | 110 | (8.72686) | 41 |
| 75 | (1.28296) | 2.1 | (3.55649) | 104 | (8.64563) | 43 | 75 | (1.23271) | 2.1 | (3.61497) | 110 | (8.72728) | 41 |
| 76 | (1.28397) | 2.1 | (3.55751) | 104 | (8.64607) | 43 | 76 | (1.23292) | 2.1 | (3.61595) | 110 | (8.72770) | 41 |
| 77 | (1.28498) | | (3.55853) | | (8.64651) | | 77 | (1.23313) | 2.1 | (3.61693) | 110 | (8.72812) | 41 |
| 78 | (1.28599) | 2.1 | (3.55955) | 104 | (8.64695) | 43 | 78 | (1.23334) | 2.1 | (3.61791) | 110 | (8.72854) | 41 |
| 79 | (1.28700) | 2.1 | (3.56057) | 104 | (8.64739) | 43 | 79 | (1.23355) | 2.1 | (3.61889) | 110 | (8.72896) | 41 |
| 80 | (1.28801) | | (3.56159) | | (8.64783) | | 80 | (1.23376) | 2.1 | (3.61987) | 110 | (8.72938) | 41 |
| 81 | (1.28902) | 2.1 | (3.56261) | 104 | (8.64827) | 43 | 81 | (1.23397) | 2.1 | (3.62085) | 110 | (8.72980) | |

$$\omega = 3 \text{ Grad.}$$

| ω | z' | Diff. | $\log \cos z$ | Diff. | $\log \sin z$ | Diff. | ω | z' | Diff. | $\log \cos z$ | Diff. | $\log \sin z$ | Diff. |
|----------|-----------|-------|---------------|-------|---------------|-------|----------|-----------|-------|---------------|-------|---------------|-------|
| 0 | (1.22750) | 2.1 | (3.59559) | 111 | 8.71940 | 40 | 10 | (1.24015) | 2.1 | (3.63364) | 117 | 8.74292 | 38 |
| 10 | (1.22771) | 2.1 | (3.59670) | 111 | 8.71980 | 40 | 10 | (1.24036) | 2.1 | (3.63481) | 117 | 8.74330 | 39 |
| 20 | (1.22792) | 2.1 | (3.59780) | 111 | 8.72020 | 40 | 20 | (1.24057) | 2.1 | (3.63598) | 116 | 8.74369 | 38 |
| 30 | (1.22813) | 2.1 | (3.59891) | 111 | 8.72060 | 40 | 30 | (1.24078) | 2.1 | (3.63714) | 117 | 8.74406 | 39 |
| 40 | (1.22834) | 2.1 | (3.60002) | 111 | 8.72100 | 41 | 40 | (1.24099) | 2.2 | (3.63831) | 117 | 8.74445 | 38 |
| 50 | (1.22855) | 2.2 | (3.60112) | 111 | 8.72141 | 40 | 50 | (1.24121) | 2.1 | (3.63948) | 117 | 8.74483 | 38 |
| 1 | (1.22877) | 2.1 | (3.60223) | 111 | 8.72181 | 40 | 11 | (1.24142) | 2.1 | (3.64065) | 117 | 8.74521 | 38 |
| 10 | (1.22898) | 2.1 | (3.60334) | 111 | 8.72221 | 40 | 10 | (1.24163) | 2.1 | (3.64182) | 117 | 8.74559 | 38 |
| 20 | (1.22919) | 2.1 | (3.60445) | 112 | 8.72261 | 40 | 20 | (1.24184) | 2.1 | (3.64300) | 118 | 8.74597 | 37 |
| 30 | (1.22940) | 2.1 | (3.60557) | 112 | 8.72301 | 40 | 30 | (1.24205) | 2.1 | (3.64417) | 117 | 8.74634 | 38 |
| 40 | (1.22961) | 2.1 | (3.60668) | 111 | 8.72341 | 40 | 40 | (1.24226) | 2.1 | (3.64534) | 117 | 8.74672 | 38 |
| 50 | (1.22982) | 2.1 | (3.60779) | 112 | 8.72380 | 39 | 50 | (1.24247) | 2.1 | (3.64652) | 118 | 8.74710 | 38 |
| 2 | (1.22993) | 2.1 | (3.60891) | 112 | 8.72420 | 40 | 12 | (1.24268) | 2.1 | (3.64769) | 117 | 8.74748 | 38 |
| 10 | (1.23014) | 2.1 | (3.61003) | 112 | 8.72460 | 40 | 10 | (1.24289) | 2.1 | (3.64887) | 118 | 8.74786 | 37 |
| 20 | (1.23035) | 2.1 | (3.61114) | 112 | 8.72500 | 40 | 20 | (1.24310) | 2.1 | (3.65005) | 118 | 8.74823 | 38 |
| 30 | (1.23056) | 2.1 | (3.61226) | 112 | 8.72540 | 40 | 30 | (1.24331) | 2.2 | (3.65123) | 118 | 8.74861 | 38 |
| 40 | (1.23077) | 2.1 | (3.61338) | 112 | 8.72579 | 39 | 40 | (1.24353) | 2.1 | (3.65241) | 118 | 8.74899 | 38 |
| 50 | (1.23108) | 2.2 | (3.61450) | 112 | 8.72619 | 40 | 50 | (1.24374) | 2.1 | (3.65359) | 119 | 8.74936 | 38 |
| 3 | (1.23119) | 2.1 | (3.61562) | 112 | 8.72659 | 39 | 13 | (1.24395) | 2.1 | (3.65478) | 118 | 8.74974 | 38 |
| 10 | (1.23131) | 2.1 | (3.61674) | 112 | 8.72698 | 39 | 10 | (1.24416) | 2.1 | (3.65596) | 118 | 8.75012 | 37 |
| 20 | (1.23152) | 2.1 | (3.61787) | 112 | 8.72738 | 40 | 20 | (1.24437) | 2.1 | (3.65715) | 118 | 8.75049 | 38 |
| 30 | (1.23173) | 2.1 | (3.61899) | 113 | 8.72777 | 40 | 30 | (1.24458) | 2.1 | (3.65833) | 119 | 8.75087 | 37 |
| 40 | (1.23194) | 2.1 | (3.62012) | 112 | 8.72817 | 40 | 40 | (1.24479) | 2.1 | (3.65952) | 119 | 8.75125 | 38 |
| 50 | (1.23215) | 2.1 | (3.62124) | 113 | 8.72856 | 40 | 50 | (1.24500) | 2.1 | (3.66071) | 119 | 8.75162 | 37 |
| 4 | (1.23226) | 2.1 | (3.62237) | 113 | 8.72896 | 39 | 14 | (1.24521) | 2.1 | (3.66190) | 119 | 8.75199 | 37 |
| 10 | (1.23247) | 2.1 | (3.62350) | 113 | 8.72935 | 40 | 10 | (1.24542) | 2.1 | (3.66309) | 119 | 8.75236 | 38 |
| 20 | (1.23268) | 2.1 | (3.62463) | 113 | 8.72975 | 39 | 20 | (1.24563) | 2.2 | (3.66428) | 119 | 8.75274 | 37 |
| 30 | (1.23289) | 2.1 | (3.62576) | 113 | 8.73014 | 39 | 30 | (1.24584) | 2.1 | (3.66547) | 119 | 8.75311 | 37 |
| 40 | (1.23310) | 2.1 | (3.62689) | 113 | 8.73053 | 40 | 40 | (1.24605) | 2.1 | (3.66666) | 120 | 8.75348 | 37 |
| 50 | (1.23331) | 2.2 | (3.62802) | 114 | 8.73093 | 39 | 50 | (1.24626) | 2.1 | (3.66785) | 119 | 8.75386 | 38 |
| 5 | (1.23353) | 2.1 | (3.62916) | 113 | 8.73132 | 39 | 15 | (1.24648) | 2.1 | (3.66905) | 120 | 8.75423 | 37 |
| 10 | (1.23374) | 2.1 | (3.63029) | 114 | 8.73171 | 39 | 10 | (1.24669) | 2.1 | (3.67025) | 120 | 8.75460 | 37 |
| 20 | (1.23395) | 2.1 | (3.63143) | 114 | 8.73210 | 39 | 20 | (1.24690) | 2.1 | (3.67144) | 120 | 8.75497 | 37 |
| 30 | (1.23416) | 2.1 | (3.63257) | 113 | 8.73249 | 39 | 30 | (1.24711) | 2.1 | (3.67264) | 120 | 8.75534 | 37 |
| 40 | (1.23437) | 2.1 | (3.63370) | 114 | 8.73288 | 39 | 40 | (1.24732) | 2.1 | (3.67384) | 120 | 8.75571 | 37 |
| 50 | (1.23458) | 2.1 | (3.63484) | 114 | 8.73327 | 39 | 50 | (1.24753) | 2.1 | (3.67504) | 120 | 8.75608 | 37 |
| 6 | (1.23479) | 2.1 | (3.63598) | 144 | 8.73366 | 39 | 16 | (1.24774) | 2.1 | (3.67624) | 120 | 8.75645 | 37 |
| 10 | (1.23500) | 2.1 | (3.63712) | 144 | 8.73405 | 39 | 10 | (1.24795) | 2.2 | (3.67744) | 121 | 8.75682 | 37 |
| 20 | (1.23521) | 2.1 | (3.63826) | 115 | 8.73444 | 39 | 20 | (1.24816) | 2.1 | (3.67865) | 121 | 8.75719 | 37 |
| 30 | (1.23542) | 2.1 | (3.63941) | 144 | 8.73483 | 39 | 30 | (1.24838) | 2.1 | (3.67985) | 121 | 8.75756 | 37 |
| 40 | (1.23563) | 2.1 | (3.64055) | 115 | 8.73522 | 39 | 40 | (1.24859) | 2.1 | (3.68106) | 121 | 8.75793 | 37 |
| 50 | (1.23584) | 2.2 | (3.64170) | 114 | 8.73561 | 39 | 50 | (1.24880) | 2.1 | (3.68226) | 121 | 8.75830 | 37 |
| 7 | (1.23605) | 2.1 | (3.64284) | 115 | 8.73600 | 38 | 17 | (1.24901) | 2.1 | (3.68347) | 121 | 8.75867 | 37 |
| 10 | (1.23627) | 2.1 | (3.64399) | 115 | 8.73638 | 38 | 10 | (1.24922) | 2.1 | (3.68468) | 121 | 8.75904 | 36 |
| 20 | (1.23648) | 2.1 | (3.64514) | 115 | 8.73677 | 39 | 20 | (1.24943) | 2.1 | (3.68589) | 121 | 8.75941 | 37 |
| 30 | (1.23669) | 2.1 | (3.64629) | 115 | 8.73716 | 38 | 30 | (1.24964) | 2.1 | (3.68710) | 121 | 8.75977 | 37 |
| 40 | (1.23690) | 2.1 | (3.64744) | 115 | 8.73754 | 38 | 40 | (1.24985) | 2.1 | (3.68831) | 121 | 8.76014 | 37 |
| 50 | (1.23711) | 2.1 | (3.64859) | 115 | 8.73793 | 39 | 50 | (1.25006) | 2.1 | (3.68952) | 122 | 8.76051 | 36 |
| 8 | (1.23732) | 2.1 | (3.64974) | 115 | 8.73832 | 38 | 18 | (1.25027) | 2.1 | (3.69073) | 121 | 8.76087 | 37 |
| 10 | (1.23753) | 2.1 | (3.65089) | 116 | 8.73870 | 39 | 10 | (1.25048) | 2.2 | (3.69194) | 122 | 8.76124 | 36 |
| 20 | (1.23774) | 2.1 | (3.65205) | 115 | 8.73909 | 38 | 20 | (1.25069) | 2.1 | (3.69315) | 121 | 8.76160 | 37 |
| 30 | (1.23795) | 2.1 | (3.65320) | 116 | 8.73947 | 39 | 30 | (1.25090) | 2.1 | (3.69436) | 122 | 8.76197 | 36 |
| 40 | (1.23816) | 2.2 | (3.65436) | 115 | 8.73986 | 38 | 40 | (1.25112) | 2.1 | (3.69557) | 122 | 8.76233 | 37 |
| 50 | (1.23837) | 2.1 | (3.65551) | 116 | 8.74024 | 39 | 50 | (1.25133) | 2.1 | (3.69678) | 122 | 8.76270 | 36 |
| 9 | (1.23858) | 2.1 | (3.65667) | 116 | 8.74063 | 38 | 19 | (1.25154) | 2.1 | (3.69799) | 122 | 8.76306 | 37 |
| 10 | (1.23879) | 2.1 | (3.65783) | 116 | 8.74101 | 38 | 10 | (1.25175) | 2.1 | (3.69920) | 122 | 8.76343 | 36 |
| 20 | (1.23900) | 2.1 | (3.65899) | 116 | 8.74139 | 39 | 20 | (1.25196) | 2.1 | (3.70041) | 123 | 8.76379 | 37 |
| 30 | (1.23921) | 2.1 | (3.66015) | 117 | 8.74178 | 38 | 30 | (1.25217) | 2.1 | (3.70162) | 122 | 8.76416 | 36 |
| 40 | (1.23942) | 2.1 | (3.66132) | 116 | 8.74216 | 38 | 40 | (1.25238) | 2.1 | (3.70283) | 122 | 8.76452 | 36 |
| 50 | (1.23963) | 2.1 | (3.66248) | 116 | 8.74254 | 38 | 50 | (1.25259) | 2.1 | (3.70404) | 123 | 8.76488 | 37 |
| 10 | (1.24015) | 2.1 | (3.66364) | 116 | 8.74292 | 38 | 20 | (1.25280) | 2.1 | (3.70525) | 123 | 8.76525 | 37 |

| ω | z' | Diff. | $\log \cos z$ | Diff. | $\log \sin z$ | Diff. | ω | z' | Diff. | $\log \cos z$ | Diff. | $\log \sin z$ | Diff. |
|----------|-----------|-------|---------------|-------|---------------|-------|----------|-----------|-------|---------------|-------|---------------|-------|
| 20 | (1.25280) | 2.2 | (3.73538) | 123 | 8.76525 | 36 | 30 | (1.26546) | 2.1 | (3.81080) | 129 | 8.78619 | 34 |
| 10 | (1.25302) | 2.1 | (3.73661) | 122 | 8.76561 | 36 | 10 | (1.26567) | 2.1 | (3.81209) | 129 | 8.78683 | 35 |
| 20 | (1.25323) | 2.1 | (3.73783) | 123 | 8.76597 | 36 | 20 | (1.26588) | 2.1 | (3.81338) | 129 | 8.78718 | 34 |
| 30 | (1.25344) | 2.1 | (3.73906) | 123 | 8.76633 | 36 | 30 | (1.26609) | 2.1 | (3.81467) | 129 | 8.78752 | 35 |
| 40 | (1.25365) | 2.1 | (3.74029) | 123 | 8.76669 | 36 | 40 | (1.26630) | 2.1 | (3.81596) | 129 | 8.78787 | 34 |
| 50 | (1.25386) | 2.1 | (3.74152) | 124 | 8.76706 | 37 | 50 | (1.26652) | 2.2 | (3.81726) | 129 | 8.78821 | 34 |
| 21 | (1.25407) | 2.1 | (3.74275) | 124 | 8.76742 | 36 | 31 | (1.26673) | 2.1 | (3.81855) | 129 | 8.78855 | 35 |
| 10 | (1.25428) | 2.1 | (3.74399) | 123 | 8.76778 | 36 | 10 | (1.26694) | 2.1 | (3.81984) | 130 | 8.78890 | 34 |
| 20 | (1.25449) | 2.1 | (3.74522) | 124 | 8.76814 | 36 | 20 | (1.26715) | 2.1 | (3.82114) | 129 | 8.78924 | 34 |
| 30 | (1.25470) | 2.1 | (3.74646) | 123 | 8.76850 | 36 | 30 | (1.26736) | 2.1 | (3.82243) | 130 | 8.78958 | 35 |
| 40 | (1.25491) | 2.1 | (3.74769) | 123 | 8.76886 | 36 | 40 | (1.26757) | 2.1 | (3.82373) | 130 | 8.79003 | 34 |
| 50 | (1.25512) | 2.1 | (3.74893) | 124 | 8.76922 | 36 | 50 | (1.26778) | 2.1 | (3.82503) | 130 | 8.79037 | 34 |
| 22 | (1.25533) | 2.2 | (3.75017) | 124 | 8.76958 | 36 | 32 | (1.26799) | 2.1 | (3.82633) | 130 | 8.79061 | 35 |
| 10 | (1.25554) | 2.1 | (3.75141) | 124 | 8.76994 | 36 | 10 | (1.26820) | 2.1 | (3.82763) | 130 | 8.79096 | 34 |
| 20 | (1.25575) | 2.1 | (3.75265) | 124 | 8.77030 | 36 | 20 | (1.26841) | 2.1 | (3.82893) | 130 | 8.79130 | 34 |
| 30 | (1.25596) | 2.1 | (3.75389) | 125 | 8.77065 | 35 | 30 | (1.26862) | 2.1 | (3.83023) | 131 | 8.79164 | 34 |
| 40 | (1.25617) | 2.1 | (3.75513) | 124 | 8.77101 | 36 | 40 | (1.26883) | 2.2 | (3.83153) | 130 | 8.79198 | 34 |
| 50 | (1.25638) | 2.1 | (3.75638) | 125 | 8.77136 | 36 | 50 | (1.26904) | 2.1 | (3.83283) | 130 | 8.79232 | 34 |
| 23 | (1.25659) | 2.1 | (3.75762) | 124 | 8.77173 | 35 | 33 | (1.26925) | 2.1 | (3.83413) | 131 | 8.79266 | 34 |
| 10 | (1.25681) | 2.1 | (3.75886) | 125 | 8.77208 | 35 | 10 | (1.26946) | 2.1 | (3.83543) | 130 | 8.79300 | 34 |
| 20 | (1.25702) | 2.1 | (3.76011) | 125 | 8.77244 | 36 | 20 | (1.26967) | 2.1 | (3.83673) | 130 | 8.79334 | 34 |
| 30 | (1.25723) | 2.1 | (3.76135) | 125 | 8.77280 | 36 | 30 | (1.26988) | 2.1 | (3.83803) | 130 | 8.79368 | 34 |
| 40 | (1.25744) | 2.2 | (3.76260) | 125 | 8.77315 | 35 | 40 | (1.27009) | 2.1 | (3.83933) | 131 | 8.79402 | 34 |
| 50 | (1.25765) | 2.1 | (3.76384) | 125 | 8.77351 | 36 | 50 | (1.27030) | 2.1 | (3.84063) | 130 | 8.79436 | 34 |
| 24 | (1.25787) | 2.1 | (3.76508) | 125 | 8.77387 | 35 | 34 | (1.27052) | 2.1 | (3.84193) | 132 | 8.79470 | 34 |
| 10 | (1.25808) | 2.1 | (3.76632) | 125 | 8.77422 | 35 | 10 | (1.27073) | 2.1 | (3.84323) | 131 | 8.79504 | 34 |
| 20 | (1.25829) | 2.1 | (3.76756) | 125 | 8.77458 | 35 | 20 | (1.27094) | 2.2 | (3.84453) | 132 | 8.79538 | 34 |
| 30 | (1.25850) | 2.1 | (3.76880) | 125 | 8.77493 | 35 | 30 | (1.27115) | 2.1 | (3.84583) | 132 | 8.79572 | 34 |
| 40 | (1.25871) | 2.1 | (3.77004) | 126 | 8.77529 | 36 | 40 | (1.27136) | 2.1 | (3.84713) | 132 | 8.79606 | 34 |
| 50 | (1.25892) | 2.1 | (3.77128) | 126 | 8.77564 | 35 | 50 | (1.27157) | 2.1 | (3.84843) | 132 | 8.79640 | 34 |
| 25 | (1.25913) | 2.1 | (3.77252) | 126 | 8.77600 | 36 | 35 | (1.27178) | 2.1 | (3.84973) | 132 | 8.79674 | 34 |
| 10 | (1.25934) | 2.1 | (3.77376) | 126 | 8.77635 | 35 | 10 | (1.27199) | 2.1 | (3.85103) | 132 | 8.79708 | 34 |
| 20 | (1.25955) | 2.1 | (3.77500) | 126 | 8.77670 | 35 | 20 | (1.27220) | 2.1 | (3.85233) | 132 | 8.79742 | 34 |
| 30 | (1.25976) | 2.2 | (3.77624) | 126 | 8.77706 | 36 | 30 | (1.27241) | 2.1 | (3.85363) | 132 | 8.79776 | 34 |
| 40 | (1.25997) | 2.1 | (3.77748) | 126 | 8.77741 | 35 | 40 | (1.27262) | 2.1 | (3.85493) | 132 | 8.79810 | 34 |
| 50 | (1.26018) | 2.1 | (3.77872) | 126 | 8.77776 | 35 | 50 | (1.27283) | 2.1 | (3.85623) | 132 | 8.79844 | 34 |
| 26 | (1.26039) | 2.1 | (3.78000) | 126 | 8.77811 | 36 | 36 | (1.27304) | 2.2 | (3.85753) | 133 | 8.79878 | 34 |
| 10 | (1.26060) | 2.1 | (3.78124) | 126 | 8.77847 | 35 | 10 | (1.27325) | 2.2 | (3.85883) | 132 | 8.79912 | 34 |
| 20 | (1.26081) | 2.1 | (3.78248) | 127 | 8.77882 | 35 | 20 | (1.27346) | 2.1 | (3.86013) | 133 | 8.79946 | 34 |
| 30 | (1.26102) | 2.1 | (3.78372) | 127 | 8.77917 | 35 | 30 | (1.27367) | 2.1 | (3.86143) | 133 | 8.79980 | 34 |
| 40 | (1.26123) | 2.1 | (3.78496) | 127 | 8.77952 | 35 | 40 | (1.27388) | 2.1 | (3.86273) | 133 | 8.80014 | 34 |
| 50 | (1.26144) | 2.1 | (3.78620) | 127 | 8.77987 | 35 | 50 | (1.27409) | 2.1 | (3.86403) | 133 | 8.80048 | 34 |
| 27 | (1.26165) | 2.1 | (3.78744) | 127 | 8.78022 | 35 | 37 | (1.27430) | 2.1 | (3.86533) | 133 | 8.80082 | 34 |
| 10 | (1.26186) | 2.1 | (3.78868) | 127 | 8.78057 | 35 | 10 | (1.27451) | 2.1 | (3.86663) | 133 | 8.80116 | 34 |
| 20 | (1.26207) | 2.2 | (3.78992) | 127 | 8.78092 | 35 | 20 | (1.27472) | 2.1 | (3.86793) | 133 | 8.80150 | 34 |
| 30 | (1.26228) | 2.1 | (3.79116) | 127 | 8.78127 | 35 | 30 | (1.27493) | 2.1 | (3.86923) | 133 | 8.80184 | 34 |
| 40 | (1.26249) | 2.1 | (3.79240) | 128 | 8.78162 | 35 | 40 | (1.27514) | 2.1 | (3.87053) | 133 | 8.80218 | 34 |
| 50 | (1.26270) | 2.1 | (3.79364) | 128 | 8.78197 | 35 | 50 | (1.27535) | 2.2 | (3.87183) | 134 | 8.80252 | 34 |
| 28 | (1.26291) | 2.1 | (3.79488) | 128 | 8.78232 | 35 | 38 | (1.27556) | 2.1 | (3.87313) | 134 | 8.80286 | 34 |
| 10 | (1.26312) | 2.1 | (3.79612) | 128 | 8.78267 | 35 | 10 | (1.27577) | 2.1 | (3.87443) | 134 | 8.80320 | 34 |
| 20 | (1.26333) | 2.1 | (3.79736) | 128 | 8.78302 | 35 | 20 | (1.27598) | 2.1 | (3.87573) | 134 | 8.80354 | 34 |
| 30 | (1.26354) | 2.1 | (3.79860) | 128 | 8.78337 | 34 | 30 | (1.27619) | 2.1 | (3.87703) | 134 | 8.80388 | 34 |
| 40 | (1.26375) | 2.1 | (3.79984) | 128 | 8.78371 | 35 | 40 | (1.27640) | 2.1 | (3.87833) | 134 | 8.80422 | 34 |
| 50 | (1.26396) | 2.1 | (3.80108) | 128 | 8.78406 | 35 | 50 | (1.27661) | 2.1 | (3.87963) | 134 | 8.80456 | 34 |
| 29 | (1.26417) | 2.2 | (3.80232) | 128 | 8.78441 | 34 | 39 | (1.27682) | 2.1 | (3.88093) | 134 | 8.80490 | 34 |
| 10 | (1.26438) | 2.1 | (3.80356) | 128 | 8.78475 | 35 | 10 | (1.27703) | 2.1 | (3.88223) | 135 | 8.80524 | 34 |
| 20 | (1.26459) | 2.1 | (3.80480) | 128 | 8.78510 | 35 | 20 | (1.27724) | 2.2 | (3.88353) | 134 | 8.80558 | 34 |
| 30 | (1.26480) | 2.1 | (3.80604) | 128 | 8.78545 | 34 | 30 | (1.27745) | 2.1 | (3.88483) | 135 | 8.80592 | 34 |
| 40 | (1.26501) | 2.1 | (3.80728) | 129 | 8.78579 | 35 | 40 | (1.27766) | 2.1 | (3.88613) | 135 | 8.80626 | 34 |
| 50 | (1.26522) | 2.1 | (3.80852) | 129 | 8.78614 | 35 | 50 | (1.27787) | 2.1 | (3.88743) | 135 | 8.80660 | 34 |
| 30 | (1.26543) | 2.1 | (3.80976) | 128 | 8.78649 | 35 | 40 | (1.27808) | 2.1 | (3.88873) | 135 | 8.80694 | 34 |

| ω | z' | Diff. | $\log \cos z$ | Diff. | $\log \sin z$ | Diff. | ω | z' | Diff. | $\log \cos z$ | Diff. | $\log \sin z$ | Diff. |
|----------|----------|-------|---------------|-------|---------------|-------|----------|----------|-------|---------------|-------|---------------|-------|
| 40 | (1.27812 | 2.1 | (3.88992 | 134 | 8.80674 | 33 | 50 | (1.29078 | 2.1 | (3.97272 | 111 | 8.82610 | 32 |
| 10 | (1.27833 | 2.1 | (3.89126 | 136 | 8.80707 | 33 | 10 | (1.29099 | 2.1 | (3.97413 | 111 | 8.82642 | 31 |
| 20 | (1.27854 | 2.1 | (3.89262 | 135 | 8.80740 | 33 | 20 | (1.29120 | 2.1 | (3.97554 | 111 | 8.82673 | 32 |
| 30 | (1.27875 | 2.1 | (3.89397 | 135 | 8.80773 | 33 | 30 | (1.29141 | 2.1 | (3.97695 | 112 | 8.82705 | 31 |
| 40 | (1.27896 | 2.1 | (3.89532 | 135 | 8.80806 | 33 | 40 | (1.29162 | 2.1 | (3.97837 | 112 | 8.82736 | 32 |
| 50 | (1.27917 | 2.1 | (3.89667 | 136 | 8.80839 | 33 | 50 | (1.29183 | 2.1 | (3.97978 | 112 | 8.82768 | 31 |
| 41 | (1.27938 | 2.2 | (3.89803 | 136 | 8.80872 | 33 | 51 | (1.29204 | 2.2 | (3.98120 | 112 | 8.82799 | 32 |
| 10 | (1.27960 | 2.1 | (3.89939 | 135 | 8.80905 | 32 | 10 | (1.29226 | 2.1 | (3.98262 | 112 | 8.82831 | 31 |
| 20 | (1.27981 | 2.1 | (3.90075 | 136 | 8.80937 | 33 | 20 | (1.29247 | 2.1 | (3.98404 | 112 | 8.82862 | 31 |
| 30 | (1.28002 | 2.1 | (3.90210 | 136 | 8.80970 | 33 | 30 | (1.29268 | 2.1 | (3.98546 | 112 | 8.82893 | 32 |
| 40 | (1.28023 | 2.1 | (3.90346 | 136 | 8.81003 | 33 | 40 | (1.29289 | 2.1 | (3.98688 | 112 | 8.82925 | 31 |
| 50 | (1.28044 | 2.1 | (3.90482 | 136 | 8.81036 | 32 | 50 | (1.29310 | 2.1 | (3.98830 | 112 | 8.82956 | 31 |
| 42 | (1.28065 | 2.1 | (3.90618 | 136 | 8.81068 | 33 | 52 | (1.29331 | 2.1 | (3.98972 | 112 | 8.82987 | 32 |
| 10 | (1.28086 | 2.1 | (3.90754 | 135 | 8.81101 | 33 | 10 | (1.29352 | 2.1 | (3.99114 | 112 | 8.83019 | 31 |
| 20 | (1.28107 | 2.1 | (3.90891 | 136 | 8.81133 | 32 | 20 | (1.29373 | 2.1 | (3.99257 | 112 | 8.83050 | 31 |
| 30 | (1.28128 | 2.1 | (3.91027 | 136 | 8.81166 | 33 | 30 | (1.29394 | 2.2 | (3.99399 | 113 | 8.83081 | 31 |
| 40 | (1.28149 | 2.2 | (3.91163 | 137 | 8.81199 | 33 | 40 | (1.29416 | 2.2 | (3.99542 | 113 | 8.83112 | 32 |
| 50 | (1.28171 | 2.1 | (3.91300 | 137 | 8.81232 | 32 | 50 | (1.29437 | 2.1 | (3.99685 | 113 | 8.83143 | 31 |
| 43 | (1.28192 | 2.1 | (3.91437 | 137 | 8.81264 | 33 | 53 | (1.29458 | 2.1 | (3.99828 | 113 | 8.83175 | 31 |
| 10 | (1.28213 | 2.1 | (3.91574 | 137 | 8.81297 | 32 | 10 | (1.29479 | 2.1 | (3.99971 | 113 | 8.83206 | 31 |
| 20 | (1.28234 | 2.1 | (3.91711 | 137 | 8.81329 | 33 | 20 | (1.29500 | 2.1 | (4.00114 | 114 | 8.83237 | 31 |
| 30 | (1.28255 | 2.1 | (3.91848 | 137 | 8.81362 | 32 | 30 | (1.29521 | 2.1 | (4.00257 | 114 | 8.83268 | 31 |
| 40 | (1.28276 | 2.1 | (3.91985 | 137 | 8.81394 | 33 | 40 | (1.29542 | 2.1 | (4.00400 | 114 | 8.83299 | 31 |
| 50 | (1.28297 | 2.1 | (3.92122 | 137 | 8.81427 | 32 | 50 | (1.29563 | 2.1 | (4.00543 | 114 | 8.83330 | 31 |
| 44 | (1.28318 | 2.1 | (3.92259 | 138 | 8.81459 | 32 | 54 | (1.29584 | 2.1 | (4.00686 | 114 | 8.83361 | 31 |
| 10 | (1.28339 | 2.1 | (3.92397 | 138 | 8.81491 | 33 | 10 | (1.29605 | 2.2 | (4.00829 | 114 | 8.83392 | 31 |
| 20 | (1.28360 | 2.1 | (3.92534 | 138 | 8.81524 | 32 | 20 | (1.29627 | 2.2 | (4.00972 | 114 | 8.83423 | 31 |
| 30 | (1.28382 | 2.1 | (3.92672 | 138 | 8.81556 | 32 | 30 | (1.29648 | 2.1 | (4.01115 | 114 | 8.83454 | 31 |
| 40 | (1.28403 | 2.1 | (3.92810 | 138 | 8.81588 | 32 | 40 | (1.29669 | 2.1 | (4.01258 | 114 | 8.83485 | 31 |
| 50 | (1.28424 | 2.1 | (3.92948 | 137 | 8.81621 | 33 | 50 | (1.29690 | 2.1 | (4.01401 | 114 | 8.83516 | 31 |
| 45 | (1.28445 | 2.1 | (3.93085 | 139 | 8.81653 | 32 | 55 | (1.29711 | 2.1 | (4.01544 | 114 | 8.83547 | 31 |
| 10 | (1.28466 | 2.1 | (3.93223 | 139 | 8.81685 | 32 | 10 | (1.29732 | 2.1 | (4.01687 | 114 | 8.83578 | 31 |
| 20 | (1.28487 | 2.1 | (3.93362 | 138 | 8.81717 | 32 | 20 | (1.29753 | 2.1 | (4.01830 | 114 | 8.83609 | 31 |
| 30 | (1.28508 | 2.1 | (3.93500 | 138 | 8.81750 | 33 | 30 | (1.29774 | 2.1 | (4.01973 | 114 | 8.83640 | 31 |
| 40 | (1.28529 | 2.1 | (3.93638 | 139 | 8.81782 | 32 | 40 | (1.29795 | 2.1 | (4.02116 | 114 | 8.83671 | 31 |
| 50 | (1.28550 | 2.1 | (3.93777 | 139 | 8.81814 | 32 | 50 | (1.29816 | 2.2 | (4.02259 | 114 | 8.83702 | 30 |
| 46 | (1.28571 | 2.2 | (3.93915 | 139 | 8.81846 | 32 | 56 | (1.29838 | 2.1 | (4.02402 | 114 | 8.83733 | 31 |
| 10 | (1.28593 | 2.1 | (3.94054 | 139 | 8.81878 | 32 | 10 | (1.29859 | 2.1 | (4.02545 | 114 | 8.83764 | 31 |
| 20 | (1.28614 | 2.1 | (3.94193 | 139 | 8.81910 | 32 | 20 | (1.29880 | 2.1 | (4.02688 | 114 | 8.83795 | 31 |
| 30 | (1.28635 | 2.1 | (3.94332 | 139 | 8.81942 | 32 | 30 | (1.29901 | 2.1 | (4.02831 | 114 | 8.83826 | 30 |
| 40 | (1.28656 | 2.1 | (3.94471 | 139 | 8.81974 | 32 | 40 | (1.29922 | 2.1 | (4.02974 | 114 | 8.83857 | 31 |
| 50 | (1.28677 | 2.1 | (3.94610 | 139 | 8.82006 | 32 | 50 | (1.29943 | 2.1 | (4.03117 | 114 | 8.83888 | 31 |
| 47 | (1.28698 | 2.1 | (3.94749 | 139 | 8.82038 | 32 | 57 | (1.29964 | 2.1 | (4.03260 | 114 | 8.83919 | 30 |
| 10 | (1.28719 | 2.1 | (3.94888 | 139 | 8.82070 | 32 | 10 | (1.29985 | 2.1 | (4.03403 | 114 | 8.83950 | 31 |
| 20 | (1.28740 | 2.1 | (3.95028 | 139 | 8.82102 | 32 | 20 | (1.30006 | 2.2 | (4.03546 | 114 | 8.83981 | 31 |
| 30 | (1.28761 | 2.1 | (3.95167 | 139 | 8.82134 | 32 | 30 | (1.30027 | 2.1 | (4.03689 | 114 | 8.84012 | 30 |
| 40 | (1.28782 | 2.1 | (3.95307 | 139 | 8.82166 | 32 | 40 | (1.30049 | 2.1 | (4.03832 | 114 | 8.84043 | 31 |
| 50 | (1.28803 | 2.2 | (3.95446 | 140 | 8.82198 | 32 | 50 | (1.30070 | 2.1 | (4.03975 | 114 | 8.84074 | 30 |
| 48 | (1.28825 | 2.1 | (3.95586 | 140 | 8.82230 | 32 | 58 | (1.30091 | 2.1 | (4.04118 | 114 | 8.84105 | 31 |
| 10 | (1.28846 | 2.1 | (3.95726 | 140 | 8.82262 | 32 | 10 | (1.30112 | 2.1 | (4.04261 | 114 | 8.84136 | 31 |
| 20 | (1.28867 | 2.1 | (3.95866 | 140 | 8.82293 | 31 | 20 | (1.30133 | 2.1 | (4.04404 | 114 | 8.84167 | 31 |
| 30 | (1.28888 | 2.1 | (3.96006 | 140 | 8.82325 | 32 | 30 | (1.30154 | 2.1 | (4.04547 | 114 | 8.84198 | 30 |
| 40 | (1.28909 | 2.1 | (3.96146 | 141 | 8.82357 | 32 | 40 | (1.30175 | 2.1 | (4.04690 | 114 | 8.84229 | 31 |
| 50 | (1.28930 | 2.1 | (3.96287 | 140 | 8.82389 | 32 | 50 | (1.30196 | 2.1 | (4.04833 | 114 | 8.84260 | 30 |
| 49 | (1.28951 | 2.1 | (3.96427 | 141 | 8.82420 | 31 | 59 | (1.30217 | 2.2 | (4.04976 | 114 | 8.84291 | 30 |
| 10 | (1.28972 | 2.1 | (3.96568 | 140 | 8.82452 | 32 | 10 | (1.30239 | 2.1 | (4.05119 | 114 | 8.84322 | 31 |
| 20 | (1.28993 | 2.2 | (3.96708 | 141 | 8.82484 | 31 | 20 | (1.30260 | 2.1 | (4.05262 | 114 | 8.84353 | 30 |
| 30 | (1.29015 | 2.1 | (3.96849 | 141 | 8.82515 | 31 | 30 | (1.30281 | 2.1 | (4.05405 | 114 | 8.84384 | 31 |
| 40 | (1.29036 | 2.1 | (3.96990 | 141 | 8.82547 | 32 | 40 | (1.30302 | 2.1 | (4.05548 | 114 | 8.84415 | 30 |
| 50 | (1.29057 | 2.1 | (3.97131 | 141 | 8.82579 | 32 | 50 | (1.30323 | 2.1 | (4.05691 | 114 | 8.84446 | 30 |
| 50 | (1.29078 | 2.1 | (3.97272 | 141 | 8.82610 | 31 | 60 | (1.30344 | 2.1 | (4.05834 | 114 | 8.84477 | 30 |

$$\omega = 4 \text{ Grad.}$$

| ω | z' | Diff. | $\log \cos z$ | Diff. | $\log \sin z$ | Diff. | ω | z' | Diff. | $\log \cos z$ | Diff. | $\log \sin z$ | Diff. |
|----------|----------|-------|---------------|-------|---------------|-------|----------|----------|-------|---------------|-------|---------------|-------|
| 0 | (1.30344 | 2.1 | (2.10592 | 15 | 8.84464 | 31 | 10 | (1.31611 | 2.1 | (2.11491 | 15 | 8.86243 | 29 |
| 10 | (1.30365 | 2.1 | (2.10607 | 15 | 8.84495 | 30 | 10 | (1.31632 | 2.1 | (2.11509 | 16 | 8.86272 | 29 |
| 20 | (1.30386 | 2.1 | (2.10622 | 14 | 8.84525 | 30 | 20 | (1.31653 | 2.1 | (2.11525 | 15 | 8.86301 | 29 |
| 30 | (1.30407 | 2.2 | (2.10636 | 15 | 8.84555 | 30 | 30 | (1.31674 | 2.1 | (2.11540 | 15 | 8.86330 | 29 |
| 40 | (1.30429 | 2.2 | (2.10651 | 15 | 8.84585 | 30 | 40 | (1.31695 | 2.1 | (2.11555 | 15 | 8.86359 | 29 |
| 50 | (1.30450 | 2.1 | (2.10666 | 15 | 8.84615 | 31 | 50 | (1.31716 | 2.1 | (2.11571 | 16 | 8.86388 | 29 |
| 1 | (1.30471 | 2.1 | (2.10681 | 15 | 8.84646 | 30 | 11 | (1.31737 | 2.1 | (2.11586 | 16 | 8.86417 | 29 |
| 10 | (1.30492 | 2.1 | (2.10695 | 14 | 8.84676 | 30 | 10 | (1.31758 | 2.1 | (2.11602 | 16 | 8.86446 | 29 |
| 20 | (1.30513 | 2.1 | (2.10710 | 15 | 8.84706 | 30 | 20 | (1.31780 | 2.2 | (2.11617 | 15 | 8.86475 | 29 |
| 30 | (1.30534 | 2.1 | (2.10725 | 15 | 8.84736 | 30 | 30 | (1.31801 | 2.1 | (2.11632 | 16 | 8.86504 | 29 |
| 40 | (1.30555 | 2.1 | (2.10740 | 15 | 8.84766 | 30 | 40 | (1.31822 | 2.1 | (2.11648 | 16 | 8.86533 | 29 |
| 50 | (1.30576 | 2.1 | (2.10755 | 15 | 8.84796 | 30 | 50 | (1.31843 | 2.1 | (2.11663 | 16 | 8.86562 | 29 |
| 2 | (1.30597 | 2.2 | (2.10770 | 14 | 8.84826 | 30 | 12 | (1.31864 | 2.1 | (2.11679 | 15 | 8.86591 | 28 |
| 10 | (1.30619 | 2.1 | (2.10784 | 15 | 8.84856 | 30 | 10 | (1.31885 | 2.1 | (2.11694 | 15 | 8.86619 | 28 |
| 20 | (1.30640 | 2.1 | (2.10799 | 15 | 8.84886 | 30 | 20 | (1.31906 | 2.1 | (2.11710 | 16 | 8.86648 | 29 |
| 30 | (1.30661 | 2.1 | (2.10814 | 15 | 8.84916 | 30 | 30 | (1.31927 | 2.1 | (2.11725 | 16 | 8.86677 | 29 |
| 40 | (1.30682 | 2.1 | (2.10829 | 15 | 8.84946 | 30 | 40 | (1.31948 | 2.1 | (2.11741 | 16 | 8.86706 | 28 |
| 50 | (1.30703 | 2.1 | (2.10844 | 15 | 8.84976 | 30 | 50 | (1.31970 | 2.2 | (2.11756 | 16 | 8.86734 | 29 |
| 3 | (1.30724 | 2.1 | (2.10859 | 15 | 8.85006 | 30 | 13 | (1.31991 | 2.1 | (2.11772 | 16 | 8.86763 | 29 |
| 10 | (1.30745 | 2.1 | (2.10874 | 15 | 8.85036 | 30 | 10 | (1.32012 | 2.1 | (2.11787 | 15 | 8.86792 | 29 |
| 20 | (1.30766 | 2.1 | (2.10889 | 15 | 8.85065 | 29 | 20 | (1.32033 | 2.1 | (2.11803 | 15 | 8.86821 | 28 |
| 30 | (1.30787 | 2.1 | (2.10904 | 15 | 8.85095 | 30 | 30 | (1.32054 | 2.1 | (2.11818 | 16 | 8.86850 | 29 |
| 40 | (1.30808 | 2.2 | (2.10919 | 14 | 8.85125 | 30 | 40 | (1.32075 | 2.1 | (2.11834 | 16 | 8.86878 | 29 |
| 50 | (1.30829 | 2.1 | (2.10933 | 15 | 8.85155 | 30 | 50 | (1.32096 | 2.1 | (2.11849 | 16 | 8.86907 | 29 |
| 4 | (1.30851 | 2.1 | (2.10948 | 15 | 8.85185 | 29 | 14 | (1.32117 | 2.1 | (2.11865 | 16 | 8.86935 | 28 |
| 10 | (1.30872 | 2.1 | (2.10963 | 15 | 8.85214 | 29 | 10 | (1.32138 | 2.1 | (2.11881 | 16 | 8.86964 | 29 |
| 20 | (1.30893 | 2.1 | (2.10978 | 15 | 8.85244 | 30 | 20 | (1.32159 | 2.2 | (2.11896 | 15 | 8.86992 | 29 |
| 30 | (1.30914 | 2.1 | (2.10993 | 15 | 8.85271 | 30 | 30 | (1.32181 | 2.1 | (2.11912 | 16 | 8.87021 | 28 |
| 40 | (1.30935 | 2.1 | (2.11008 | 15 | 8.85304 | 30 | 40 | (1.32202 | 2.1 | (2.11927 | 16 | 8.87049 | 29 |
| 50 | (1.30956 | 2.1 | (2.11023 | 15 | 8.85333 | 29 | 50 | (1.32223 | 2.1 | (2.11943 | 16 | 8.87078 | 28 |
| 5 | (1.30977 | 2.1 | (2.11038 | 15 | 8.85363 | 29 | 15 | (1.32244 | 2.1 | (2.11959 | 16 | 8.87106 | 29 |
| 10 | (1.30998 | 2.2 | (2.11053 | 15 | 8.85392 | 29 | 10 | (1.32265 | 2.1 | (2.11974 | 15 | 8.87135 | 29 |
| 20 | (1.31020 | 2.1 | (2.11068 | 16 | 8.85422 | 30 | 20 | (1.32286 | 2.1 | (2.11990 | 16 | 8.87163 | 29 |
| 30 | (1.31041 | 2.1 | (2.11084 | 15 | 8.85452 | 29 | 30 | (1.32307 | 2.1 | (2.12006 | 16 | 8.87192 | 29 |
| 40 | (1.31062 | 2.1 | (2.11099 | 15 | 8.85481 | 29 | 40 | (1.32328 | 2.1 | (2.12021 | 16 | 8.87220 | 28 |
| 50 | (1.31083 | 2.1 | (2.11114 | 15 | 8.85511 | 29 | 50 | (1.32350 | 2.2 | (2.12037 | 16 | 8.87249 | 29 |
| 6 | (1.31104 | 2.1 | (2.11129 | 15 | 8.85540 | 29 | 16 | (1.32371 | 2.1 | (2.12053 | 16 | 8.87277 | 28 |
| 10 | (1.31125 | 2.1 | (2.11144 | 15 | 8.85570 | 30 | 10 | (1.32392 | 2.1 | (2.12069 | 15 | 8.87306 | 29 |
| 20 | (1.31146 | 2.1 | (2.11159 | 15 | 8.85599 | 29 | 20 | (1.32413 | 2.1 | (2.12084 | 16 | 8.87334 | 29 |
| 30 | (1.31167 | 2.1 | (2.11174 | 15 | 8.85629 | 29 | 30 | (1.32434 | 2.1 | (2.12100 | 16 | 8.87362 | 28 |
| 40 | (1.31188 | 2.1 | (2.11189 | 15 | 8.85658 | 29 | 40 | (1.32455 | 2.1 | (2.12116 | 16 | 8.87390 | 29 |
| 50 | (1.31210 | 2.2 | (2.11204 | 16 | 8.85688 | 29 | 50 | (1.32476 | 2.1 | (2.12131 | 16 | 8.87419 | 29 |
| 7 | (1.31231 | 2.1 | (2.11220 | 15 | 8.85717 | 30 | 17 | (1.32497 | 2.2 | (2.12147 | 16 | 8.87447 | 28 |
| 10 | (1.31252 | 2.1 | (2.11235 | 15 | 8.85747 | 30 | 10 | (1.32519 | 2.2 | (2.12163 | 16 | 8.87475 | 29 |
| 20 | (1.31273 | 2.1 | (2.11250 | 15 | 8.85776 | 29 | 20 | (1.32540 | 2.1 | (2.12179 | 16 | 8.87503 | 29 |
| 30 | (1.31294 | 2.1 | (2.11265 | 15 | 8.85805 | 29 | 30 | (1.32561 | 2.1 | (2.12195 | 16 | 8.87532 | 28 |
| 40 | (1.31315 | 2.1 | (2.11280 | 15 | 8.85835 | 29 | 40 | (1.32582 | 2.1 | (2.12210 | 15 | 8.87560 | 29 |
| 50 | (1.31336 | 2.1 | (2.11295 | 16 | 8.85864 | 29 | 50 | (1.32603 | 2.1 | (2.12226 | 16 | 8.87588 | 28 |
| 8 | (1.31357 | 2.1 | (2.11311 | 15 | 8.85893 | 29 | 18 | (1.32624 | 2.1 | (2.12242 | 16 | 8.87616 | 29 |
| 10 | (1.31378 | 2.1 | (2.11326 | 15 | 8.85922 | 29 | 10 | (1.32645 | 2.1 | (2.12258 | 16 | 8.87644 | 29 |
| 20 | (1.31400 | 2.2 | (2.11341 | 15 | 8.85952 | 29 | 20 | (1.32666 | 2.1 | (2.12274 | 16 | 8.87673 | 29 |
| 30 | (1.31421 | 2.1 | (2.11356 | 16 | 8.85981 | 29 | 30 | (1.32687 | 2.2 | (2.12290 | 15 | 8.87701 | 28 |
| 40 | (1.31442 | 2.1 | (2.11372 | 15 | 8.86010 | 29 | 40 | (1.32709 | 2.1 | (2.12305 | 16 | 8.87729 | 29 |
| 50 | (1.31463 | 2.1 | (2.11387 | 15 | 8.86039 | 30 | 50 | (1.32730 | 2.1 | (2.12321 | 16 | 8.87757 | 29 |
| 9 | (1.31484 | 2.1 | (2.11402 | 15 | 8.86069 | 29 | 19 | (1.32751 | 2.1 | (2.12337 | 16 | 8.87785 | 28 |
| 10 | (1.31505 | 2.1 | (2.11417 | 15 | 8.86098 | 29 | 10 | (1.32772 | 2.1 | (2.12353 | 16 | 8.87813 | 29 |
| 20 | (1.31526 | 2.1 | (2.11433 | 15 | 8.86127 | 29 | 20 | (1.32793 | 2.1 | (2.12369 | 16 | 8.87841 | 29 |
| 30 | (1.31547 | 2.1 | (2.11448 | 15 | 8.86156 | 29 | 30 | (1.32814 | 2.1 | (2.12385 | 16 | 8.87869 | 28 |
| 40 | (1.31568 | 2.2 | (2.11463 | 16 | 8.86185 | 29 | 40 | (1.32835 | 2.1 | (2.12401 | 16 | 8.87897 | 29 |
| 50 | (1.31590 | 2.1 | (2.11479 | 15 | 8.86214 | 29 | 50 | (1.32856 | 2.1 | (2.12417 | 16 | 8.87925 | 28 |
| 10 | (1.31611 | 2.1 | (2.11494 | 15 | 8.86243 | 29 | 20 | (1.32877 | 2.1 | (2.12433 | 16 | 8.87953 | 28 |

| ω | z' | Diff. | $\log \cos z$ | Diff. | $\log \sin z$ | Diff. | ω | z' | Diff. | $\log \cos z$ | Diff. | $\log \sin z$ | Diff. |
|----------|----------|-------|---------------|-------|---------------|-------|----------|----------|-------|---------------|-------|---------------|-------|
| 20 | (1.32877 | 2.1 | (2.12133 | 16 | 8.87953 | 28 | 30 | (1.31145 | 2.1 | (2.13409 | 16 | 8.89598 | 27 |
| 10 | (1.32899 | 2.1 | (2.12149 | 16 | 8.87981 | 28 | 10 | (1.31166 | 2.1 | (2.13425 | 17 | 8.89625 | 27 |
| 20 | (1.32920 | 2.1 | (2.12165 | 16 | 8.88009 | 28 | 20 | (1.31187 | 2.1 | (2.13442 | 17 | 8.89652 | 27 |
| 30 | (1.32941 | 2.1 | (2.12181 | 16 | 8.88037 | 28 | 30 | (1.31208 | 2.1 | (2.13458 | 17 | 8.89679 | 27 |
| 40 | (1.32962 | 2.1 | (2.12197 | 16 | 8.88065 | 27 | 40 | (1.31229 | 2.1 | (2.13475 | 17 | 8.89706 | 27 |
| 50 | (1.32983 | 2.1 | (2.12213 | 16 | 8.88092 | 27 | 50 | (1.31250 | 2.1 | (2.13492 | 17 | 8.89733 | 27 |
| 21 | (1.33004 | 2.1 | (2.12229 | 16 | 8.88120 | 28 | 31 | (1.31271 | 2.1 | (2.13508 | 17 | 8.89760 | 26 |
| 10 | (1.33025 | 2.1 | (2.12245 | 16 | 8.88148 | 28 | 10 | (1.31292 | 2.1 | (2.13525 | 17 | 8.89787 | 27 |
| 20 | (1.33046 | 2.1 | (2.12261 | 16 | 8.88176 | 28 | 20 | (1.31313 | 2.1 | (2.13541 | 17 | 8.89813 | 27 |
| 30 | (1.33067 | 2.2 | (2.12277 | 16 | 8.88204 | 28 | 30 | (1.31334 | 2.1 | (2.13558 | 17 | 8.89840 | 27 |
| 40 | (1.33089 | 2.2 | (2.12293 | 16 | 8.88231 | 27 | 40 | (1.31355 | 2.1 | (2.13575 | 17 | 8.89867 | 27 |
| 50 | (1.33110 | 2.1 | (2.12309 | 16 | 8.88259 | 28 | 50 | (1.31377 | 2.1 | (2.13591 | 17 | 8.89894 | 26 |
| 22 | (1.33131 | 2.1 | (2.12325 | 16 | 8.88287 | 28 | 32 | (1.31398 | 2.1 | (2.13608 | 17 | 8.89920 | 27 |
| 10 | (1.33152 | 2.1 | (2.12341 | 16 | 8.88315 | 28 | 10 | (1.31419 | 2.1 | (2.13625 | 17 | 8.89947 | 27 |
| 20 | (1.33173 | 2.1 | (2.12357 | 16 | 8.88342 | 27 | 20 | (1.31440 | 2.1 | (2.13642 | 17 | 8.89974 | 26 |
| 30 | (1.33194 | 2.1 | (2.12373 | 16 | 8.88370 | 28 | 30 | (1.31461 | 2.1 | (2.13658 | 17 | 8.89999 | 27 |
| 40 | (1.33215 | 2.1 | (2.12389 | 16 | 8.88398 | 28 | 40 | (1.31482 | 2.2 | (2.13675 | 17 | 8.90027 | 27 |
| 50 | (1.33236 | 2.2 | (2.12405 | 16 | 8.88425 | 27 | 50 | (1.31503 | 2.1 | (2.13692 | 17 | 8.90054 | 26 |
| 23 | (1.33258 | 2.1 | (2.12422 | 16 | 8.88453 | 28 | 33 | (1.31525 | 2.1 | (2.13708 | 17 | 8.90080 | 27 |
| 10 | (1.33279 | 2.1 | (2.12438 | 16 | 8.88481 | 28 | 10 | (1.31546 | 2.1 | (2.13725 | 17 | 8.90107 | 27 |
| 20 | (1.33300 | 2.1 | (2.12454 | 16 | 8.88508 | 27 | 20 | (1.31567 | 2.1 | (2.13742 | 17 | 8.90133 | 26 |
| 30 | (1.33321 | 2.1 | (2.12470 | 16 | 8.88536 | 28 | 30 | (1.31588 | 2.1 | (2.13759 | 17 | 8.90160 | 27 |
| 40 | (1.33342 | 2.1 | (2.12486 | 16 | 8.88563 | 27 | 40 | (1.31609 | 2.1 | (2.13776 | 17 | 8.90187 | 26 |
| 50 | (1.33363 | 2.1 | (2.12502 | 16 | 8.88591 | 28 | 50 | (1.31630 | 2.1 | (2.13792 | 16 | 8.90213 | 27 |
| 24 | (1.33384 | 2.1 | (2.12519 | 17 | 8.88618 | 27 | 34 | (1.31651 | 2.2 | (2.13809 | 17 | 8.90240 | 26 |
| 10 | (1.33405 | 2.1 | (2.12535 | 16 | 8.88646 | 28 | 10 | (1.31672 | 2.2 | (2.13826 | 17 | 8.90267 | 27 |
| 20 | (1.33426 | 2.2 | (2.12551 | 16 | 8.88674 | 28 | 20 | (1.31693 | 2.1 | (2.13843 | 17 | 8.90293 | 26 |
| 30 | (1.33447 | 2.1 | (2.12567 | 16 | 8.88701 | 27 | 30 | (1.31715 | 2.1 | (2.13860 | 17 | 8.90319 | 27 |
| 40 | (1.33468 | 2.1 | (2.12584 | 17 | 8.88729 | 27 | 40 | (1.31736 | 2.1 | (2.13877 | 17 | 8.90346 | 26 |
| 50 | (1.33490 | 2.1 | (2.12600 | 16 | 8.88756 | 28 | 50 | (1.31757 | 2.1 | (2.13893 | 16 | 8.90372 | 27 |
| 25 | (1.33511 | 2.1 | (2.12616 | 16 | 8.88783 | 27 | 35 | (1.31778 | 2.1 | (2.13910 | 17 | 8.90399 | 27 |
| 10 | (1.33532 | 2.1 | (2.12632 | 16 | 8.88811 | 28 | 10 | (1.31799 | 2.1 | (2.13927 | 17 | 8.90425 | 26 |
| 20 | (1.33553 | 2.1 | (2.12649 | 17 | 8.88838 | 27 | 20 | (1.31820 | 2.2 | (2.13944 | 17 | 8.90451 | 27 |
| 30 | (1.33574 | 2.1 | (2.12665 | 16 | 8.88866 | 28 | 30 | (1.31842 | 2.1 | (2.13961 | 17 | 8.90478 | 26 |
| 40 | (1.33595 | 2.1 | (2.12681 | 16 | 8.88893 | 27 | 40 | (1.31863 | 2.1 | (2.13978 | 17 | 8.90504 | 27 |
| 50 | (1.33617 | 2.2 | (2.12697 | 16 | 8.88920 | 27 | 50 | (1.31884 | 2.1 | (2.13995 | 17 | 8.90531 | 26 |
| 26 | (1.33638 | 2.1 | (2.12713 | 17 | 8.88948 | 28 | 36 | (1.31905 | 2.1 | (2.14012 | 17 | 8.90557 | 27 |
| 10 | (1.33659 | 2.1 | (2.12730 | 16 | 8.88975 | 27 | 10 | (1.31926 | 2.1 | (2.14029 | 17 | 8.90583 | 26 |
| 20 | (1.33680 | 2.1 | (2.12746 | 16 | 8.89002 | 27 | 20 | (1.31947 | 2.1 | (2.14046 | 17 | 8.90610 | 26 |
| 30 | (1.33701 | 2.1 | (2.12763 | 17 | 8.89029 | 27 | 30 | (1.31968 | 2.1 | (2.14063 | 17 | 8.90637 | 26 |
| 40 | (1.33722 | 2.1 | (2.12779 | 16 | 8.89057 | 28 | 40 | (1.31989 | 2.2 | (2.14080 | 17 | 8.90662 | 26 |
| 50 | (1.33743 | 2.1 | (2.12796 | 16 | 8.89084 | 27 | 50 | (1.32011 | 2.2 | (2.14097 | 17 | 8.90688 | 26 |
| 27 | (1.33764 | 2.1 | (2.13112 | 16 | 8.89111 | 27 | 37 | (1.32032 | 2.1 | (2.14114 | 17 | 8.90715 | 26 |
| 10 | (1.33785 | 2.1 | (2.13128 | 16 | 8.89138 | 27 | 10 | (1.32053 | 2.1 | (2.14131 | 17 | 8.90741 | 26 |
| 20 | (1.33807 | 2.2 | (2.13145 | 17 | 8.89166 | 28 | 20 | (1.32074 | 2.1 | (2.14148 | 17 | 8.90767 | 26 |
| 30 | (1.33828 | 2.1 | (2.13161 | 16 | 8.89193 | 27 | 30 | (1.32095 | 2.1 | (2.14165 | 17 | 8.90793 | 27 |
| 40 | (1.33849 | 2.1 | (2.13178 | 17 | 8.89220 | 27 | 40 | (1.32116 | 2.1 | (2.14182 | 17 | 8.90820 | 26 |
| 50 | (1.33870 | 2.1 | (2.13194 | 16 | 8.89247 | 27 | 50 | (1.32137 | 2.1 | (2.14199 | 17 | 8.90846 | 26 |
| 28 | (1.33891 | 2.1 | (2.13210 | 17 | 8.89274 | 27 | 38 | (1.32158 | 2.1 | (2.14216 | 17 | 8.90872 | 26 |
| 10 | (1.33912 | 2.1 | (2.13227 | 17 | 8.89301 | 27 | 10 | (1.32179 | 2.1 | (2.14233 | 17 | 8.90898 | 26 |
| 20 | (1.33933 | 2.1 | (2.13243 | 17 | 8.89328 | 27 | 20 | (1.32200 | 2.1 | (2.14250 | 17 | 8.90924 | 26 |
| 30 | (1.33954 | 2.2 | (2.13260 | 17 | 8.89355 | 27 | 30 | (1.32222 | 2.1 | (2.14267 | 17 | 8.90950 | 26 |
| 40 | (1.33975 | 2.2 | (2.13276 | 16 | 8.89383 | 28 | 40 | (1.32243 | 2.1 | (2.14284 | 17 | 8.90976 | 26 |
| 50 | (1.33997 | 2.1 | (2.13293 | 17 | 8.89410 | 27 | 50 | (1.32264 | 2.1 | (2.14301 | 17 | 8.91002 | 26 |
| 29 | (1.34018 | 2.1 | (2.13310 | 16 | 8.89437 | 27 | 39 | (1.32285 | 2.1 | (2.14318 | 17 | 8.91029 | 27 |
| 10 | (1.34039 | 2.1 | (2.13326 | 17 | 8.89464 | 27 | 10 | (1.32306 | 2.1 | (2.14335 | 17 | 8.91055 | 26 |
| 20 | (1.34060 | 2.1 | (2.13342 | 16 | 8.89491 | 27 | 20 | (1.32327 | 2.2 | (2.14353 | 18 | 8.91081 | 26 |
| 30 | (1.34081 | 2.1 | (2.13359 | 17 | 8.89518 | 27 | 30 | (1.32349 | 2.1 | (2.14370 | 17 | 8.91107 | 26 |
| 40 | (1.34102 | 2.1 | (2.13375 | 16 | 8.89545 | 27 | 40 | (1.32370 | 2.1 | (2.14387 | 17 | 8.91133 | 26 |
| 50 | (1.34123 | 2.1 | (2.13392 | 17 | 8.89571 | 26 | 50 | (1.32391 | 2.1 | (2.14404 | 17 | 8.91159 | 26 |
| 30 | (1.34145 | 2.2 | (2.13409 | 17 | 8.89598 | 27 | 40 | (1.32412 | 2.1 | (2.14421 | 17 | 8.91185 | 26 |

$$\omega = 4 \text{ Grad.}$$

| ω | z' | Diff. | $\log \cos z$ | Diff. | $\log \sin z$ | Diff. | ω | z' | Diff. | $\log \cos z$ | Diff. | $\log \sin z$ | Diff. |
|----------|----------|-------|---------------|-------|---------------|-------|----------|----------|-------|---------------|-------|---------------|-------|
| 40' | (1.35412 | 2.1 | (2.14421 | 17 | 8.91185 | 26 | 50 | (1.36680 | 2.1 | (2.15471 | 18 | 8.92716 | 25 |
| 10 | (1.35433 | 2.1 | (2.14438 | 18 | 8.91211 | 25 | 10 | (1.36701 | 2.1 | (2.15489 | 18 | 8.92741 | 25 |
| 20 | (1.35454 | 2.1 | (2.14456 | 18 | 8.91236 | 26 | 20 | (1.36722 | 2.1 | (2.15507 | 17 | 8.92766 | 25 |
| 30 | (1.35475 | 2.1 | (2.14473 | 17 | 8.91262 | 26 | 30 | (1.36743 | 2.1 | (2.15524 | 18 | 8.92791 | 25 |
| 40 | (1.35496 | 2.1 | (2.14490 | 17 | 8.91288 | 26 | 40 | (1.36764 | 2.1 | (2.15542 | 18 | 8.92816 | 25 |
| 50 | (1.35518 | 2.2 | (2.14507 | 18 | 8.91314 | 26 | 50 | (1.36785 | 2.1 | (2.15560 | 18 | 8.92841 | 25 |
| 41' | (1.35539 | 2.1 | (2.14525 | 18 | 8.91340 | 26 | 51' | (1.36806 | 2.1 | (2.15578 | 18 | 8.92866 | 25 |
| 10 | (1.35560 | 2.1 | (2.14542 | 17 | 8.91366 | 26 | 10 | (1.36827 | 2.1 | (2.15596 | 18 | 8.92891 | 25 |
| 20 | (1.35581 | 2.1 | (2.14559 | 17 | 8.91392 | 26 | 20 | (1.36849 | 2.2 | (2.15614 | 18 | 8.92916 | 25 |
| 30 | (1.35602 | 2.1 | (2.14576 | 17 | 8.91418 | 26 | 30 | (1.36870 | 2.1 | (2.15632 | 18 | 8.92941 | 25 |
| 40 | (1.35623 | 2.1 | (2.14594 | 18 | 8.91443 | 25 | 40 | (1.36891 | 2.1 | (2.15650 | 17 | 8.92966 | 25 |
| 50 | (1.35644 | 2.1 | (2.14611 | 17 | 8.91469 | 26 | 50 | (1.36912 | 2.1 | (2.15667 | 18 | 8.92991 | 25 |
| 42' | (1.35665 | 2.2 | (2.14628 | 18 | 8.91495 | 26 | 52' | (1.36933 | 2.1 | (2.15685 | 18 | 8.93016 | 24 |
| 10 | (1.35687 | 2.1 | (2.14646 | 18 | 8.91521 | 26 | 10 | (1.36954 | 2.1 | (2.15703 | 18 | 8.93040 | 24 |
| 20 | (1.35708 | 2.1 | (2.14663 | 17 | 8.91547 | 25 | 20 | (1.36975 | 2.2 | (2.15721 | 18 | 8.93065 | 25 |
| 30 | (1.35729 | 2.1 | (2.14680 | 17 | 8.91572 | 25 | 30 | (1.36997 | 2.1 | (2.15739 | 18 | 8.93090 | 25 |
| 40 | (1.35750 | 2.1 | (2.14698 | 18 | 8.91598 | 26 | 40 | (1.37018 | 2.1 | (2.15757 | 18 | 8.93115 | 25 |
| 50 | (1.35771 | 2.1 | (2.14715 | 17 | 8.91624 | 26 | 50 | (1.37039 | 2.1 | (2.15775 | 18 | 8.93140 | 25 |
| 43' | (1.35792 | 2.1 | (2.14732 | 17 | 8.91650 | 26 | 53 | (1.37060 | 2.1 | (2.15793 | 18 | 8.93165 | 25 |
| 10 | (1.35813 | 2.1 | (2.14750 | 18 | 8.91675 | 25 | 10 | (1.37081 | 2.1 | (2.15811 | 18 | 8.93190 | 25 |
| 20 | (1.35834 | 2.1 | (2.14767 | 17 | 8.91701 | 26 | 20 | (1.37102 | 2.1 | (2.15829 | 18 | 8.93214 | 24 |
| 30 | (1.35856 | 2.1 | (2.14784 | 17 | 8.91727 | 26 | 30 | (1.37123 | 2.1 | (2.15847 | 18 | 8.93239 | 25 |
| 40 | (1.35877 | 2.1 | (2.14802 | 18 | 8.91752 | 25 | 40 | (1.37144 | 2.2 | (2.15865 | 18 | 8.93264 | 25 |
| 50 | (1.35898 | 2.1 | (2.14819 | 17 | 8.91778 | 25 | 50 | (1.37166 | 2.1 | (2.15883 | 18 | 8.93289 | 24 |
| 44' | (1.35919 | 2.1 | (2.14837 | 18 | 8.91803 | 26 | 54' | (1.37187 | 2.1 | (2.15901 | 18 | 8.93313 | 25 |
| 10 | (1.35940 | 2.1 | (2.14854 | 17 | 8.91829 | 26 | 10 | (1.37208 | 2.1 | (2.15919 | 18 | 8.93338 | 25 |
| 20 | (1.35961 | 2.1 | (2.14872 | 18 | 8.91855 | 25 | 20 | (1.37229 | 2.1 | (2.15937 | 18 | 8.93363 | 25 |
| 30 | (1.35982 | 2.1 | (2.14890 | 17 | 8.91881 | 25 | 30 | (1.37250 | 2.1 | (2.15955 | 18 | 8.93388 | 25 |
| 40 | (1.36003 | 2.1 | (2.14907 | 18 | 8.91906 | 26 | 40 | (1.37271 | 2.1 | (2.15973 | 18 | 8.93412 | 24 |
| 50 | (1.36025 | 2.2 | (2.14924 | 17 | 8.91931 | 25 | 50 | (1.37292 | 2.2 | (2.15992 | 18 | 8.93437 | 25 |
| 45' | (1.36046 | 2.1 | (2.14942 | 18 | 8.91957 | 25 | 53 | (1.37311 | 2.1 | (2.16010 | 18 | 8.93462 | 24 |
| 10 | (1.36067 | 2.1 | (2.14959 | 18 | 8.91982 | 25 | 10 | (1.37335 | 2.1 | (2.16028 | 18 | 8.93486 | 25 |
| 20 | (1.36088 | 2.1 | (2.14977 | 17 | 8.92008 | 25 | 20 | (1.37356 | 2.1 | (2.16046 | 18 | 8.93511 | 25 |
| 30 | (1.36109 | 2.1 | (2.14994 | 17 | 8.92033 | 26 | 30 | (1.37377 | 2.1 | (2.16064 | 18 | 8.93536 | 24 |
| 40 | (1.36130 | 2.1 | (2.15012 | 18 | 8.92059 | 26 | 40 | (1.37398 | 2.1 | (2.16082 | 18 | 8.93560 | 25 |
| 50 | (1.36151 | 2.1 | (2.15029 | 17 | 8.92084 | 25 | 50 | (1.37419 | 2.1 | (2.16100 | 19 | 8.93585 | 24 |
| 46' | (1.36172 | 2.2 | (2.15047 | 18 | 8.92110 | 25 | 56' | (1.37440 | 2.1 | (2.16119 | 19 | 8.93609 | 25 |
| 10 | (1.36194 | 2.1 | (2.15064 | 18 | 8.92135 | 25 | 10 | (1.37461 | 2.2 | (2.16137 | 18 | 8.93634 | 24 |
| 20 | (1.36215 | 2.1 | (2.15082 | 18 | 8.92160 | 25 | 20 | (1.37483 | 2.1 | (2.16155 | 18 | 8.93658 | 25 |
| 30 | (1.36236 | 2.1 | (2.15100 | 17 | 8.92186 | 26 | 30 | (1.37504 | 2.1 | (2.16173 | 18 | 8.93683 | 25 |
| 40 | (1.36257 | 2.1 | (2.15117 | 18 | 8.92211 | 25 | 40 | (1.37525 | 2.1 | (2.16191 | 19 | 8.93707 | 24 |
| 50 | (1.36278 | 2.1 | (2.15135 | 18 | 8.92237 | 25 | 50 | (1.37546 | 2.1 | (2.16210 | 19 | 8.93732 | 24 |
| 47' | (1.36299 | 2.1 | (2.15152 | 17 | 8.92262 | 25 | 57 | (1.37567 | 2.1 | (2.16228 | 18 | 8.93757 | 25 |
| 10 | (1.36320 | 2.1 | (2.15170 | 18 | 8.92287 | 26 | 10 | (1.37588 | 2.1 | (2.16246 | 18 | 8.93781 | 25 |
| 20 | (1.36341 | 2.1 | (2.15187 | 18 | 8.92313 | 26 | 20 | (1.37609 | 2.2 | (2.16264 | 19 | 8.93805 | 25 |
| 30 | (1.36363 | 2.1 | (2.15205 | 18 | 8.92338 | 25 | 30 | (1.37631 | 2.1 | (2.16283 | 18 | 8.93830 | 24 |
| 40 | (1.36384 | 2.1 | (2.15223 | 17 | 8.92363 | 25 | 40 | (1.37652 | 2.1 | (2.16301 | 18 | 8.93854 | 25 |
| 50 | (1.36405 | 2.1 | (2.15240 | 17 | 8.92388 | 26 | 50 | (1.37673 | 2.1 | (2.16319 | 18 | 8.93879 | 24 |
| 48' | (1.36426 | 2.1 | (2.15258 | 18 | 8.92414 | 25 | 58 | (1.37694 | 2.1 | (2.16337 | 19 | 8.93903 | 25 |
| 10 | (1.36447 | 2.1 | (2.15276 | 18 | 8.92439 | 25 | 10 | (1.37715 | 2.1 | (2.16356 | 19 | 8.93928 | 25 |
| 20 | (1.36468 | 2.1 | (2.15293 | 17 | 8.92464 | 25 | 20 | (1.37736 | 2.1 | (2.16374 | 18 | 8.93952 | 24 |
| 30 | (1.36489 | 2.2 | (2.15311 | 18 | 8.92489 | 26 | 30 | (1.37757 | 2.1 | (2.16392 | 18 | 8.93976 | 25 |
| 40 | (1.36511 | 2.1 | (2.15329 | 18 | 8.92515 | 25 | 40 | (1.37778 | 2.2 | (2.16411 | 19 | 8.94001 | 25 |
| 50 | (1.36532 | 2.1 | (2.15347 | 17 | 8.92540 | 25 | 50 | (1.37799 | 2.1 | (2.16429 | 18 | 8.94025 | 24 |
| 49' | (1.36553 | 2.1 | (2.15364 | 18 | 8.92565 | 25 | 59' | (1.37821 | 2.1 | (2.16447 | 19 | 8.94049 | 25 |
| 10 | (1.36574 | 2.1 | (2.15382 | 18 | 8.92590 | 25 | 10 | (1.37842 | 2.1 | (2.16466 | 18 | 8.94074 | 25 |
| 20 | (1.36595 | 2.1 | (2.15400 | 18 | 8.92615 | 25 | 20 | (1.37863 | 2.1 | (2.16484 | 18 | 8.94098 | 24 |
| 30 | (1.36616 | 2.1 | (2.15418 | 17 | 8.92640 | 25 | 30 | (1.37884 | 2.1 | (2.16503 | 18 | 8.94122 | 24 |
| 40 | (1.36637 | 2.1 | (2.15435 | 17 | 8.92665 | 26 | 40 | (1.37905 | 2.1 | (2.16521 | 18 | 8.94147 | 25 |
| 50 | (1.36658 | 2.2 | (2.15453 | 18 | 8.92691 | 25 | 50 | (1.37926 | 2.2 | (2.16539 | 19 | 8.94171 | 24 |
| 50' | (1.36680 | 2.2 | (2.15471 | 18 | 8.92716 | 25 | 60' | (1.37948 | 2.2 | (2.16558 | 19 | 8.94195 | 24 |

$$\omega = 5 \text{ Grad.}$$

| ω | z' | Diff. | $\log \cos z$ | Diff. | $\log \sin z$ | Diff. | ω | z' | Diff. | $\log \cos z$ | Diff. | $\log \sin z$ | Diff. |
|----------|-----------|-------|---------------|-------|---------------|-------|----------|-----------|-------|---------------|-------|---------------|-------|
| 0 | (1.37948) | 2.1 | (2.16558) | 18 | 8.94195 | 24 | 10 | (1.39216) | 2.1 | (2.17082) | 19 | 8.95627 | 23 |
| 10 | (1.37969) | 2.1 | (2.16576) | 19 | 8.94219 | 25 | 10 | (1.39237) | 2.1 | (2.17101) | 19 | 8.95650 | 24 |
| 20 | (1.37990) | 2.1 | (2.16595) | 18 | 8.94244 | 24 | 20 | (1.39258) | 2.1 | (2.17120) | 19 | 8.95671 | 23 |
| 30 | (1.38011) | 2.1 | (2.16613) | 19 | 8.94268 | 24 | 30 | (1.39279) | 2.1 | (2.17139) | 19 | 8.95697 | 24 |
| 40 | (1.38032) | 2.1 | (2.16632) | 18 | 8.94292 | 24 | 40 | (1.39300) | 2.2 | (2.17158) | 19 | 8.95721 | 23 |
| 50 | (1.38053) | 2.1 | (2.16650) | 18 | 8.94316 | 24 | 50 | (1.39322) | 2.1 | (2.17177) | 19 | 8.95744 | 24 |
| 1 | (1.38074) | 2.1 | (2.16668) | 19 | 8.94340 | 25 | 11 | (1.39343) | 2.1 | (2.17196) | 19 | 8.95767 | 24 |
| 10 | (1.38095) | 2.2 | (2.16687) | 18 | 8.94365 | 24 | 10 | (1.39364) | 2.1 | (2.17215) | 19 | 8.95791 | 23 |
| 20 | (1.38117) | 2.1 | (2.16705) | 19 | 8.94389 | 24 | 20 | (1.39385) | 2.1 | (2.17234) | 19 | 8.95814 | 24 |
| 30 | (1.38138) | 2.1 | (2.16721) | 18 | 8.94413 | 24 | 30 | (1.39406) | 2.1 | (2.17253) | 19 | 8.95838 | 23 |
| 40 | (1.38159) | 2.1 | (2.16742) | 19 | 8.94437 | 24 | 40 | (1.39427) | 2.1 | (2.17272) | 19 | 8.95861 | 23 |
| 50 | (1.38180) | 2.1 | (2.16761) | 19 | 8.94461 | 24 | 50 | (1.39448) | 2.2 | (2.17292) | 19 | 8.95884 | 24 |
| 2 | (1.38201) | 2.1 | (2.16780) | 19 | 8.94485 | 24 | 12 | (1.39470) | 2.1 | (2.17311) | 19 | 8.95908 | 23 |
| 10 | (1.38222) | 2.1 | (2.16798) | 18 | 8.94509 | 24 | 10 | (1.39491) | 2.1 | (2.17330) | 19 | 8.95931 | 23 |
| 20 | (1.38243) | 2.2 | (2.16817) | 19 | 8.94533 | 24 | 20 | (1.39512) | 2.1 | (2.17349) | 19 | 8.95954 | 23 |
| 30 | (1.38265) | 2.1 | (2.16835) | 19 | 8.94557 | 24 | 30 | (1.39533) | 2.1 | (2.17368) | 19 | 8.95977 | 24 |
| 40 | (1.38286) | 2.1 | (2.16854) | 19 | 8.94581 | 24 | 40 | (1.39554) | 2.1 | (2.17387) | 19 | 8.96001 | 23 |
| 50 | (1.38307) | 2.1 | (2.16872) | 18 | 8.94606 | 25 | 50 | (1.39575) | 2.1 | (2.17406) | 19 | 8.96024 | 23 |
| 3 | (1.38328) | 2.1 | (2.16891) | 19 | 8.94630 | 24 | 13 | (1.39596) | 2.1 | (2.17425) | 19 | 8.96047 | 24 |
| 10 | (1.38349) | 2.1 | (2.16910) | 19 | 8.94654 | 24 | 10 | (1.39617) | 2.2 | (2.17444) | 19 | 8.96071 | 23 |
| 20 | (1.38370) | 2.1 | (2.16928) | 18 | 8.94678 | 24 | 20 | (1.39639) | 2.1 | (2.17463) | 19 | 8.96094 | 23 |
| 30 | (1.38391) | 2.1 | (2.16947) | 19 | 8.94702 | 25 | 30 | (1.39660) | 2.1 | (2.17482) | 19 | 8.96117 | 24 |
| 40 | (1.38413) | 2.2 | (2.16965) | 18 | 8.94725 | 24 | 40 | (1.39681) | 2.1 | (2.17501) | 19 | 8.96140 | 23 |
| 50 | (1.38434) | 2.1 | (2.16984) | 19 | 8.94749 | 24 | 50 | (1.39702) | 2.1 | (2.17520) | 19 | 8.96163 | 23 |
| 4 | (1.38455) | 2.1 | (2.17003) | 19 | 8.94773 | 24 | 14 | (1.39723) | 2.1 | (2.17539) | 19 | 8.96187 | 24 |
| 10 | (1.38476) | 2.1 | (2.17021) | 18 | 8.94797 | 24 | 10 | (1.39744) | 2.1 | (2.17558) | 19 | 8.96210 | 23 |
| 20 | (1.38497) | 2.1 | (2.17040) | 19 | 8.94821 | 24 | 20 | (1.39765) | 2.2 | (2.17577) | 19 | 8.96233 | 23 |
| 30 | (1.38518) | 2.1 | (2.17059) | 19 | 8.94845 | 24 | 30 | (1.39787) | 2.1 | (2.17596) | 19 | 8.96256 | 24 |
| 40 | (1.38539) | 2.1 | (2.17078) | 19 | 8.94869 | 24 | 40 | (1.39808) | 2.1 | (2.17615) | 19 | 8.96279 | 23 |
| 50 | (1.38560) | 2.2 | (2.17096) | 18 | 8.94893 | 24 | 50 | (1.39829) | 2.1 | (2.17634) | 19 | 8.96302 | 23 |
| 5 | (1.38582) | 2.1 | (2.17115) | 19 | 8.94917 | 24 | 15 | (1.39850) | 2.1 | (2.17653) | 19 | 8.96325 | 24 |
| 10 | (1.38603) | 2.1 | (2.17134) | 19 | 8.94941 | 24 | 10 | (1.39871) | 2.1 | (2.17672) | 19 | 8.96349 | 23 |
| 20 | (1.38624) | 2.1 | (2.17152) | 18 | 8.94964 | 25 | 20 | (1.39892) | 2.1 | (2.17691) | 19 | 8.96372 | 23 |
| 30 | (1.38645) | 2.1 | (2.17171) | 19 | 8.94988 | 24 | 30 | (1.39913) | 2.2 | (2.17710) | 19 | 8.96395 | 24 |
| 40 | (1.38666) | 2.1 | (2.17190) | 19 | 8.95012 | 24 | 40 | (1.39934) | 2.1 | (2.17729) | 19 | 8.96418 | 23 |
| 50 | (1.38687) | 2.1 | (2.17209) | 19 | 8.95036 | 24 | 50 | (1.39955) | 2.1 | (2.17748) | 19 | 8.96441 | 23 |
| 6 | (1.38708) | 2.2 | (2.17228) | 19 | 8.95060 | 25 | 16 | (1.39976) | 2.1 | (2.17767) | 19 | 8.96464 | 24 |
| 10 | (1.38729) | 2.1 | (2.17246) | 18 | 8.95083 | 23 | 10 | (1.39998) | 2.1 | (2.17786) | 19 | 8.96487 | 23 |
| 20 | (1.38751) | 2.1 | (2.17265) | 19 | 8.95107 | 24 | 20 | (1.40019) | 2.1 | (2.17805) | 19 | 8.96510 | 23 |
| 30 | (1.38772) | 2.1 | (2.17284) | 19 | 8.95131 | 24 | 30 | (1.40040) | 2.2 | (2.17824) | 19 | 8.96533 | 24 |
| 40 | (1.38793) | 2.1 | (2.17303) | 19 | 8.95155 | 24 | 40 | (1.40062) | 2.1 | (2.17843) | 19 | 8.96556 | 23 |
| 50 | (1.38814) | 2.1 | (2.17322) | 18 | 8.95178 | 25 | 50 | (1.40083) | 2.1 | (2.17862) | 19 | 8.96579 | 23 |
| 7 | (1.38835) | 2.1 | (2.17340) | 19 | 8.95202 | 24 | 17 | (1.40104) | 2.1 | (2.17881) | 19 | 8.96602 | 23 |
| 10 | (1.38856) | 2.1 | (2.17359) | 19 | 8.95226 | 24 | 10 | (1.40125) | 2.1 | (2.17900) | 19 | 8.96625 | 24 |
| 20 | (1.38878) | 2.2 | (2.17378) | 19 | 8.95249 | 25 | 20 | (1.40146) | 2.1 | (2.17919) | 19 | 8.96648 | 23 |
| 30 | (1.38899) | 2.1 | (2.17397) | 19 | 8.95273 | 24 | 30 | (1.40167) | 2.1 | (2.17938) | 19 | 8.96671 | 23 |
| 40 | (1.38920) | 2.1 | (2.17416) | 19 | 8.95297 | 24 | 40 | (1.40188) | 2.1 | (2.17957) | 19 | 8.96694 | 23 |
| 50 | (1.38941) | 2.1 | (2.17435) | 19 | 8.95320 | 25 | 50 | (1.40209) | 2.2 | (2.17976) | 19 | 8.96717 | 22 |
| 8 | (1.38962) | 2.1 | (2.17454) | 19 | 8.95344 | 24 | 18 | (1.40230) | 2.1 | (2.17995) | 19 | 8.96740 | 23 |
| 10 | (1.38983) | 2.1 | (2.17473) | 19 | 8.95368 | 24 | 10 | (1.40252) | 2.1 | (2.18014) | 19 | 8.96763 | 23 |
| 20 | (1.39004) | 2.2 | (2.17492) | 19 | 8.95391 | 25 | 20 | (1.40273) | 2.1 | (2.18033) | 19 | 8.96786 | 23 |
| 30 | (1.39025) | 2.1 | (2.17511) | 19 | 8.95415 | 24 | 30 | (1.40294) | 2.1 | (2.18052) | 19 | 8.96809 | 23 |
| 40 | (1.39047) | 2.1 | (2.17530) | 19 | 8.95439 | 25 | 40 | (1.40315) | 2.1 | (2.18071) | 19 | 8.96832 | 23 |
| 50 | (1.39068) | 2.1 | (2.17548) | 18 | 8.95462 | 24 | 50 | (1.40336) | 2.2 | (2.18090) | 19 | 8.96855 | 24 |
| 9 | (1.39089) | 2.1 | (2.17567) | 19 | 8.95486 | 23 | 19 | (1.40357) | 2.1 | (2.18109) | 19 | 8.96878 | 23 |
| 10 | (1.39110) | 2.1 | (2.17586) | 19 | 8.95509 | 23 | 10 | (1.40378) | 2.1 | (2.18128) | 19 | 8.96901 | 23 |
| 20 | (1.39131) | 2.1 | (2.17605) | 19 | 8.95533 | 23 | 20 | (1.40399) | 2.1 | (2.18147) | 19 | 8.96924 | 23 |
| 30 | (1.39152) | 2.2 | (2.17624) | 19 | 8.95556 | 24 | 30 | (1.40420) | 2.1 | (2.18166) | 19 | 8.96947 | 23 |
| 40 | (1.39173) | 2.1 | (2.17643) | 19 | 8.95580 | 23 | 40 | (1.40441) | 2.1 | (2.18185) | 19 | 8.96970 | 23 |
| 50 | (1.39195) | 2.1 | (2.17662) | 19 | 8.95603 | 23 | 50 | (1.40462) | 2.1 | (2.18204) | 19 | 8.96993 | 23 |
| 10 | (1.39216) | 2.1 | (2.17682) | 20 | 8.95627 | 24 | 20 | (1.40483) | 2.1 | (2.18223) | 19 | 8.97016 | 22 |

| ω | z' | Diff. | $\log \cos z$ | Diff. | $\log \sin z$ | Diff. | ω | z' | Diff. | $\log \cos z$ | Diff. | $\log \sin z$ | Diff. |
|----------|-----------|-------|---------------|-------|---------------|-------|----------|-----------|-------|---------------|-------|---------------|-------|
| 20 | (1.40481) | 2.2 | (2.18842) | 20 | 8.97013 | 23 | 30 | (1.41753) | 2.2 | (2.20040) | 21 | 8.98358 | 22 |
| 10 | (1.40506) | 2.1 | (2.18862) | 20 | 8.97036 | 23 | 10 | (1.41775) | 2.1 | (2.20061) | 21 | 8.98380 | 22 |
| 30 | (1.40527) | 2.1 | (2.18882) | 19 | 8.97059 | 22 | 20 | (1.41796) | 2.1 | (2.20081) | 20 | 8.98402 | 22 |
| 20 | (1.40548) | 2.1 | (2.18901) | 20 | 8.97081 | 23 | 30 | (1.41817) | 2.1 | (2.20101) | 20 | 8.98421 | 22 |
| 40 | (1.40569) | 2.1 | (2.18921) | 20 | 8.97104 | 23 | 40 | (1.41838) | 2.1 | (2.20121) | 21 | 8.98446 | 22 |
| 50 | (1.40590) | 2.1 | (2.18941) | 19 | 8.97127 | 23 | 50 | (1.41859) | 2.1 | (2.20142) | 21 | 8.98468 | 22 |
| 1 | (1.40611) | 2.2 | (2.18960) | 20 | 8.97150 | 22 | 1 | (1.41880) | 2.2 | (2.20162) | 20 | 8.98490 | 22 |
| 11 | (1.40633) | 2.2 | (2.18980) | 20 | 8.97172 | 22 | 11 | (1.41902) | 2.1 | (2.20182) | 21 | 8.98512 | 22 |
| 20 | (1.40654) | 2.1 | (2.19000) | 20 | 8.97195 | 23 | 20 | (1.41923) | 2.1 | (2.20203) | 21 | 8.98534 | 22 |
| 30 | (1.40675) | 2.1 | (2.19020) | 20 | 8.97218 | 23 | 30 | (1.41944) | 2.1 | (2.20223) | 21 | 8.98556 | 22 |
| 40 | (1.40696) | 2.1 | (2.19039) | 19 | 8.97240 | 22 | 40 | (1.41965) | 2.1 | (2.20243) | 21 | 8.98578 | 22 |
| 50 | (1.40717) | 2.1 | (2.19059) | 20 | 8.97263 | 23 | 50 | (1.41986) | 2.1 | (2.20264) | 21 | 8.98600 | 22 |
| 22 | (1.40738) | 2.1 | (2.19079) | 20 | 8.97285 | 22 | 22 | (1.41907) | 2.1 | (2.20284) | 21 | 8.98622 | 22 |
| 10 | (1.40759) | 2.1 | (2.19099) | 20 | 8.97308 | 23 | 10 | (1.42028) | 2.2 | (2.20305) | 21 | 8.98644 | 22 |
| 20 | (1.40781) | 2.2 | (2.19119) | 19 | 8.97331 | 22 | 20 | (1.42040) | 2.1 | (2.20325) | 21 | 8.98666 | 22 |
| 30 | (1.40802) | 2.1 | (2.19138) | 20 | 8.97353 | 23 | 30 | (1.42061) | 2.1 | (2.20345) | 21 | 8.98687 | 22 |
| 40 | (1.40823) | 2.1 | (2.19158) | 20 | 8.97376 | 23 | 40 | (1.42082) | 2.1 | (2.20366) | 21 | 8.98709 | 22 |
| 50 | (1.40844) | 2.1 | (2.19178) | 20 | 8.97398 | 22 | 50 | (1.42103) | 2.1 | (2.20386) | 21 | 8.98731 | 22 |
| 23 | (1.40865) | 2.1 | (2.19198) | 20 | 8.97421 | 23 | 23 | (1.42124) | 2.1 | (2.20407) | 21 | 8.98753 | 22 |
| 10 | (1.40886) | 2.1 | (2.19218) | 20 | 8.97443 | 22 | 10 | (1.42145) | 2.2 | (2.20427) | 21 | 8.98775 | 22 |
| 20 | (1.40907) | 2.1 | (2.19238) | 20 | 8.97466 | 23 | 20 | (1.42167) | 2.1 | (2.20448) | 21 | 8.98797 | 22 |
| 30 | (1.40929) | 2.2 | (2.19257) | 19 | 8.97488 | 22 | 30 | (1.42188) | 2.1 | (2.20468) | 21 | 8.98819 | 22 |
| 40 | (1.40940) | 2.1 | (2.19277) | 20 | 8.97511 | 23 | 40 | (1.42209) | 2.1 | (2.20489) | 21 | 8.98841 | 22 |
| 50 | (1.40961) | 2.1 | (2.19297) | 20 | 8.97533 | 22 | 50 | (1.42230) | 2.1 | (2.20509) | 21 | 8.98862 | 22 |
| 24 | (1.40982) | 2.1 | (2.19317) | 20 | 8.97556 | 22 | 24 | (1.42251) | 2.1 | (2.20530) | 21 | 8.98884 | 22 |
| 10 | (1.41003) | 2.1 | (2.19337) | 20 | 8.97578 | 23 | 10 | (1.42272) | 2.1 | (2.20550) | 21 | 8.98906 | 22 |
| 20 | (1.41024) | 2.1 | (2.19357) | 20 | 8.97601 | 23 | 20 | (1.42293) | 2.2 | (2.20571) | 21 | 8.98928 | 22 |
| 30 | (1.41045) | 2.1 | (2.19377) | 20 | 8.97623 | 23 | 30 | (1.42314) | 2.1 | (2.20591) | 21 | 8.98950 | 22 |
| 40 | (1.41067) | 2.2 | (2.19397) | 20 | 8.97646 | 23 | 40 | (1.42335) | 2.1 | (2.20612) | 21 | 8.98971 | 22 |
| 50 | (1.41088) | 2.1 | (2.19417) | 20 | 8.97668 | 22 | 50 | (1.42356) | 2.1 | (2.20632) | 21 | 8.98993 | 22 |
| 25 | (1.41109) | 2.1 | (2.19437) | 20 | 8.97691 | 23 | 25 | (1.42377) | 2.1 | (2.20653) | 21 | 8.99015 | 22 |
| 10 | (1.41130) | 2.1 | (2.19457) | 20 | 8.97713 | 22 | 10 | (1.42398) | 2.1 | (2.20674) | 21 | 8.99037 | 22 |
| 20 | (1.41151) | 2.1 | (2.19477) | 20 | 8.97735 | 23 | 20 | (1.42419) | 2.1 | (2.20694) | 21 | 8.99058 | 22 |
| 30 | (1.41172) | 2.1 | (2.19497) | 20 | 8.97758 | 22 | 30 | (1.42440) | 2.1 | (2.20715) | 21 | 8.99080 | 22 |
| 40 | (1.41193) | 2.2 | (2.19517) | 20 | 8.97780 | 23 | 40 | (1.42461) | 2.1 | (2.20735) | 21 | 8.99102 | 22 |
| 50 | (1.41214) | 2.1 | (2.19537) | 20 | 8.97802 | 22 | 50 | (1.42482) | 2.1 | (2.20756) | 21 | 8.99123 | 22 |
| 26 | (1.41235) | 2.1 | (2.19557) | 20 | 8.97825 | 23 | 26 | (1.42503) | 2.1 | (2.20777) | 21 | 8.99145 | 22 |
| 10 | (1.41256) | 2.1 | (2.19577) | 20 | 8.97847 | 22 | 10 | (1.42524) | 2.1 | (2.20797) | 21 | 8.99167 | 22 |
| 20 | (1.41277) | 2.1 | (2.19597) | 20 | 8.97869 | 23 | 20 | (1.42545) | 2.1 | (2.20818) | 21 | 8.99188 | 22 |
| 30 | (1.41298) | 2.1 | (2.19617) | 20 | 8.97892 | 22 | 30 | (1.42566) | 2.2 | (2.20839) | 21 | 8.99210 | 22 |
| 40 | (1.41319) | 2.1 | (2.19637) | 20 | 8.97914 | 23 | 40 | (1.42587) | 2.1 | (2.20859) | 21 | 8.99232 | 22 |
| 50 | (1.41340) | 2.1 | (2.19657) | 20 | 8.97936 | 23 | 50 | (1.42608) | 2.1 | (2.20880) | 21 | 8.99253 | 22 |
| 27 | (1.41361) | 2.1 | (2.19677) | 20 | 8.97959 | 22 | 27 | (1.42629) | 2.1 | (2.20901) | 21 | 8.99275 | 22 |
| 10 | (1.41382) | 2.1 | (2.19697) | 20 | 8.97981 | 23 | 10 | (1.42650) | 2.1 | (2.20922) | 21 | 8.99297 | 22 |
| 20 | (1.41403) | 2.1 | (2.19717) | 20 | 8.98003 | 22 | 20 | (1.42671) | 2.1 | (2.20942) | 21 | 8.99318 | 22 |
| 30 | (1.41424) | 2.1 | (2.19737) | 20 | 8.98025 | 23 | 30 | (1.42692) | 2.2 | (2.20963) | 21 | 8.99340 | 22 |
| 40 | (1.41445) | 2.2 | (2.19757) | 21 | 8.98048 | 22 | 40 | (1.42713) | 2.1 | (2.20984) | 21 | 8.99361 | 22 |
| 50 | (1.41466) | 2.1 | (2.19778) | 20 | 8.98070 | 22 | 50 | (1.42734) | 2.1 | (2.21004) | 21 | 8.99383 | 22 |
| 28 | (1.41487) | 2.1 | (2.19798) | 20 | 8.98092 | 23 | 28 | (1.42755) | 2.1 | (2.21025) | 21 | 8.99405 | 22 |
| 10 | (1.41508) | 2.1 | (2.19818) | 20 | 8.98114 | 22 | 10 | (1.42776) | 2.1 | (2.21046) | 21 | 8.99426 | 22 |
| 20 | (1.41529) | 2.1 | (2.19838) | 20 | 8.98136 | 23 | 20 | (1.42797) | 2.1 | (2.21067) | 21 | 8.99448 | 22 |
| 30 | (1.41550) | 2.1 | (2.19858) | 20 | 8.98159 | 22 | 30 | (1.42818) | 2.2 | (2.21088) | 21 | 8.99469 | 22 |
| 40 | (1.41571) | 2.1 | (2.19878) | 21 | 8.98181 | 23 | 40 | (1.42839) | 2.1 | (2.21109) | 21 | 8.99491 | 22 |
| 50 | (1.41592) | 2.2 | (2.19899) | 20 | 8.98203 | 22 | 50 | (1.42860) | 2.1 | (2.21129) | 21 | 8.99512 | 22 |
| 29 | (1.41613) | 2.1 | (2.19919) | 20 | 8.98225 | 23 | 29 | (1.42881) | 2.1 | (2.21150) | 21 | 8.99534 | 22 |
| 10 | (1.41634) | 2.1 | (2.19939) | 20 | 8.98247 | 22 | 10 | (1.42902) | 2.1 | (2.21171) | 21 | 8.99556 | 22 |
| 20 | (1.41655) | 2.1 | (2.19959) | 20 | 8.98269 | 23 | 20 | (1.42923) | 2.1 | (2.21192) | 21 | 8.99577 | 22 |
| 30 | (1.41676) | 2.1 | (2.19979) | 21 | 8.98291 | 22 | 30 | (1.42944) | 2.2 | (2.21213) | 21 | 8.99598 | 22 |
| 40 | (1.41697) | 2.1 | (2.20000) | 20 | 8.98314 | 23 | 40 | (1.42965) | 2.1 | (2.21233) | 21 | 8.99620 | 22 |
| 50 | (1.41718) | 2.1 | (2.20020) | 20 | 8.98336 | 22 | 50 | (1.42986) | 2.1 | (2.21254) | 21 | 8.99641 | 22 |
| 30 | (1.41739) | 2.1 | (2.20040) | 20 | 8.98358 | 22 | 30 | (1.43007) | 2.1 | (2.21275) | 21 | 8.99662 | 22 |

$$\omega = 5 \text{ Grad.}$$

| ω | z' | Diff. | $\log \cos z$ | Diff. | $\log \sin z$ | Diff. | ω | z' | Diff. | $\log \cos z$ | Diff. | $\log \sin z$ | Diff. |
|----------|----------|-------|---------------|-------|---------------|-------|----------|----------|-------|---------------|-------|---------------|-------|
| 40 | (1.43023 | 2.1 | (2.21275 | 21 | 8.99062 | 22 | 50 | (1.44292 | 2.2 | (2.22547 | 22 | 9.00030 | 21 |
| 10 | (1.43044 | 2.1 | (2.21296 | 21 | 8.99081 | 21 | 10 | (1.44314 | 2.1 | (2.22569 | 21 | 9.00051 | 20 |
| 20 | (1.43065 | 2.1 | (2.21317 | 21 | 8.99105 | 21 | 20 | (1.44335 | 2.1 | (2.22590 | 22 | 9.00071 | 21 |
| 30 | (1.43086 | 2.1 | (2.21338 | 21 | 8.99127 | 21 | 30 | (1.44356 | 2.1 | (2.22612 | 21 | 9.00092 | 21 |
| 40 | (1.43107 | 2.2 | (2.21359 | 21 | 8.99148 | 21 | 40 | (1.44377 | 2.1 | (2.22633 | 22 | 9.00113 | 21 |
| 50 | (1.43129 | 2.2 | (2.21380 | 21 | 8.99169 | 22 | 50 | (1.44398 | 2.1 | (2.22655 | 22 | 9.00134 | 21 |
| 41 | (1.43140 | 2.1 | (2.21401 | 21 | 8.99191 | 21 | 51 | (1.44419 | 2.2 | (2.22677 | 21 | 9.00155 | 20 |
| 10 | (1.43171 | 2.1 | (2.21422 | 21 | 8.99212 | 22 | 10 | (1.44441 | 2.1 | (2.22698 | 22 | 9.00175 | 21 |
| 20 | (1.43192 | 2.1 | (2.21443 | 21 | 8.99234 | 21 | 20 | (1.44462 | 2.1 | (2.22720 | 21 | 9.00196 | 21 |
| 30 | (1.43213 | 2.1 | (2.21464 | 21 | 8.99255 | 21 | 30 | (1.44483 | 2.1 | (2.22741 | 22 | 9.00217 | 21 |
| 40 | (1.43234 | 2.1 | (2.21485 | 21 | 8.99276 | 22 | 40 | (1.44504 | 2.1 | (2.22763 | 22 | 9.00238 | 20 |
| 50 | (1.43256 | 2.1 | (2.21506 | 21 | 8.99298 | 21 | 50 | (1.44525 | 2.1 | (2.22785 | 22 | 9.00258 | 21 |
| 42 | (1.43277 | 2.1 | (2.21527 | 21 | 8.99319 | 21 | 52 | (1.44546 | 2.2 | (2.22806 | 22 | 9.00279 | 21 |
| 10 | (1.43298 | 2.1 | (2.21548 | 21 | 8.99340 | 21 | 10 | (1.44568 | 2.1 | (2.22828 | 21 | 9.00300 | 20 |
| 20 | (1.43319 | 2.1 | (2.21569 | 21 | 8.99361 | 22 | 20 | (1.44589 | 2.1 | (2.22849 | 22 | 9.00321 | 21 |
| 30 | (1.43340 | 2.1 | (2.21590 | 21 | 8.99383 | 21 | 30 | (1.44610 | 2.1 | (2.22871 | 22 | 9.00341 | 21 |
| 40 | (1.43361 | 2.1 | (2.21611 | 21 | 9.00004 | 21 | 40 | (1.44631 | 2.1 | (2.22893 | 21 | 9.00362 | 20 |
| 50 | (1.43382 | 2.2 | (2.21632 | 21 | 9.00025 | 21 | 50 | (1.44652 | 2.1 | (2.22914 | 22 | 9.00382 | 21 |
| 43 | (1.43404 | 2.1 | (2.21653 | 21 | 9.00046 | 22 | 53 | (1.44673 | 2.2 | (2.22936 | 22 | 9.00403 | 21 |
| 10 | (1.43425 | 2.1 | (2.21674 | 21 | 9.00068 | 21 | 10 | (1.44695 | 2.1 | (2.22958 | 22 | 9.00424 | 20 |
| 20 | (1.43446 | 2.1 | (2.21695 | 21 | 9.00089 | 21 | 20 | (1.44716 | 2.1 | (2.22980 | 21 | 9.00444 | 21 |
| 30 | (1.43467 | 2.1 | (2.21716 | 21 | 9.00110 | 21 | 30 | (1.44737 | 2.1 | (2.23001 | 22 | 9.00465 | 21 |
| 40 | (1.43488 | 2.1 | (2.21737 | 21 | 9.00131 | 22 | 40 | (1.44758 | 2.1 | (2.23023 | 22 | 9.00486 | 20 |
| 50 | (1.43509 | 2.2 | (2.21758 | 22 | 9.00153 | 21 | 50 | (1.44779 | 2.1 | (2.23045 | 22 | 9.00506 | 21 |
| 44 | (1.43531 | 2.2 | (2.21780 | 22 | 9.00174 | 21 | 54 | (1.44800 | 2.2 | (2.23067 | 22 | 9.00527 | 21 |
| 10 | (1.43552 | 2.1 | (2.21801 | 21 | 9.00195 | 21 | 10 | (1.44822 | 2.1 | (2.23088 | 22 | 9.00547 | 20 |
| 20 | (1.43573 | 2.1 | (2.21822 | 21 | 9.00216 | 21 | 20 | (1.44843 | 2.1 | (2.23110 | 22 | 9.00568 | 21 |
| 30 | (1.43594 | 2.1 | (2.21843 | 21 | 9.00237 | 22 | 30 | (1.44864 | 2.1 | (2.23132 | 22 | 9.00589 | 21 |
| 40 | (1.43615 | 2.1 | (2.21864 | 21 | 9.00258 | 22 | 40 | (1.44885 | 2.1 | (2.23154 | 22 | 9.00609 | 20 |
| 50 | (1.43636 | 2.2 | (2.21885 | 22 | 9.00280 | 21 | 50 | (1.44906 | 2.1 | (2.23175 | 22 | 9.00630 | 21 |
| 45 | (1.43658 | 2.1 | (2.21907 | 21 | 9.00301 | 21 | 55 | (1.44927 | 2.2 | (2.23197 | 22 | 9.00650 | 21 |
| 10 | (1.43679 | 2.1 | (2.21928 | 21 | 9.00322 | 21 | 10 | (1.44949 | 2.1 | (2.23219 | 22 | 9.00671 | 20 |
| 20 | (1.43699 | 2.1 | (2.21949 | 21 | 9.00343 | 21 | 20 | (1.44969 | 2.1 | (2.23241 | 22 | 9.00691 | 21 |
| 30 | (1.43721 | 2.1 | (2.21970 | 21 | 9.00364 | 21 | 30 | (1.44991 | 2.1 | (2.23263 | 22 | 9.00712 | 21 |
| 40 | (1.43742 | 2.1 | (2.21991 | 21 | 9.00385 | 21 | 40 | (1.45012 | 2.1 | (2.23285 | 22 | 9.00732 | 20 |
| 50 | (1.43763 | 2.2 | (2.22013 | 22 | 9.00406 | 21 | 50 | (1.45033 | 2.1 | (2.23306 | 22 | 9.00753 | 21 |
| 46 | (1.43785 | 2.1 | (2.22034 | 21 | 9.00427 | 21 | 56 | (1.45054 | 2.2 | (2.23328 | 22 | 9.00773 | 21 |
| 10 | (1.43806 | 2.1 | (2.22055 | 21 | 9.00448 | 21 | 10 | (1.45076 | 2.1 | (2.23350 | 22 | 9.00794 | 20 |
| 20 | (1.43827 | 2.1 | (2.22077 | 22 | 9.00469 | 21 | 20 | (1.45097 | 2.1 | (2.23372 | 22 | 9.00814 | 21 |
| 30 | (1.43848 | 2.1 | (2.22098 | 21 | 9.00490 | 21 | 30 | (1.45118 | 2.1 | (2.23394 | 22 | 9.00835 | 20 |
| 40 | (1.43869 | 2.1 | (2.22119 | 21 | 9.00511 | 21 | 40 | (1.45139 | 2.1 | (2.23416 | 22 | 9.00855 | 21 |
| 50 | (1.43890 | 2.2 | (2.22140 | 22 | 9.00532 | 21 | 50 | (1.45160 | 2.1 | (2.23438 | 22 | 9.00876 | 20 |
| 47 | (1.43912 | 2.1 | (2.22162 | 21 | 9.00553 | 21 | 57 | (1.45181 | 2.2 | (2.23460 | 22 | 9.00896 | 21 |
| 10 | (1.43933 | 2.1 | (2.22183 | 21 | 9.00574 | 21 | 10 | (1.45203 | 2.1 | (2.23482 | 22 | 9.00916 | 20 |
| 20 | (1.43954 | 2.1 | (2.22204 | 22 | 9.00595 | 21 | 20 | (1.45224 | 2.1 | (2.23504 | 22 | 9.00937 | 21 |
| 30 | (1.43975 | 2.1 | (2.22226 | 22 | 9.00616 | 21 | 30 | (1.45245 | 2.1 | (2.23526 | 22 | 9.00957 | 20 |
| 40 | (1.43996 | 2.1 | (2.22247 | 22 | 9.00637 | 21 | 40 | (1.45266 | 2.1 | (2.23548 | 22 | 9.00978 | 21 |
| 50 | (1.44017 | 2.2 | (2.22269 | 22 | 9.00658 | 21 | 50 | (1.45287 | 2.2 | (2.23570 | 22 | 9.00998 | 20 |
| 48 | (1.44039 | 2.1 | (2.22290 | 21 | 9.00679 | 21 | 58 | (1.45309 | 2.1 | (2.23592 | 22 | 9.01018 | 21 |
| 10 | (1.44060 | 2.1 | (2.22311 | 21 | 9.00700 | 21 | 10 | (1.45330 | 2.1 | (2.23614 | 22 | 9.01039 | 20 |
| 20 | (1.44081 | 2.1 | (2.22333 | 22 | 9.00721 | 21 | 20 | (1.45351 | 2.1 | (2.23636 | 22 | 9.01059 | 21 |
| 30 | (1.44102 | 2.1 | (2.22354 | 21 | 9.00742 | 21 | 30 | (1.45372 | 2.1 | (2.23658 | 22 | 9.01079 | 20 |
| 40 | (1.44123 | 2.1 | (2.22376 | 22 | 9.00763 | 21 | 40 | (1.45393 | 2.1 | (2.23680 | 22 | 9.01099 | 21 |
| 50 | (1.44144 | 2.1 | (2.22397 | 21 | 9.00784 | 21 | 50 | (1.45414 | 2.2 | (2.23702 | 22 | 9.01120 | 20 |
| 49 | (1.44165 | 2.2 | (2.22418 | 22 | 9.00805 | 21 | 59 | (1.45436 | 2.1 | (2.23724 | 22 | 9.01140 | 21 |
| 10 | (1.44187 | 2.1 | (2.22440 | 22 | 9.00826 | 21 | 10 | (1.45457 | 2.1 | (2.23746 | 22 | 9.01161 | 20 |
| 20 | (1.44208 | 2.1 | (2.22461 | 22 | 9.00846 | 20 | 20 | (1.45478 | 2.1 | (2.23768 | 22 | 9.01181 | 21 |
| 30 | (1.44229 | 2.1 | (2.22483 | 21 | 9.00867 | 21 | 30 | (1.45499 | 2.1 | (2.23790 | 22 | 9.01201 | 20 |
| 40 | (1.44250 | 2.1 | (2.22504 | 22 | 9.00888 | 21 | 40 | (1.45520 | 2.1 | (2.23812 | 22 | 9.01221 | 21 |
| 50 | (1.44271 | 2.1 | (2.22526 | 22 | 9.00909 | 21 | 50 | (1.45541 | 2.2 | (2.23834 | 22 | 9.01242 | 20 |
| 50 | (1.44292 | 2.1 | (2.22547 | 21 | 9.00930 | 21 | 60 | (1.45563 | 2.2 | (2.23857 | 22 | 9.01262 | 21 |

$\omega = 6 \text{ Grad.}$ $\omega = 7 \text{ Grad.}$

| ω | z' | Diff. | $\log \cos z$ | Diff. | $\log \sin z$ | Diff. | ω | z' | Diff. | $\log \cos z$ | Diff. | $\log \sin z$ | Diff. |
|----------|-----------|-------|---------------|-------|---------------|-------|----------|----------|-------|---------------|-------|---------------|-------|
| 0 | (1.45563) | 127 | (2.23857 | 132 | 9.02162 | 121 | 0 | (1.53192 | 127 | (2.32493 | 155 | 9.08914 | 105 |
| 1 | (1.45690) | 127 | (2.23859 | 134 | 9.02283 | 121 | 1 | (1.53319 | 127 | (2.32618 | 155 | 9.09019 | 104 |
| 2 | (1.45817) | 127 | (2.24123 | 134 | 9.02404 | 121 | 2 | (1.53446 | 127 | (2.32801 | 156 | 9.09123 | 104 |
| 3 | (1.45944) | 127 | (2.24257 | 134 | 9.02525 | 120 | 3 | (1.53573 | 127 | (2.32960 | 156 | 9.09227 | 103 |
| 4 | (1.46071) | 127 | (2.24391 | 134 | 9.02645 | 121 | 4 | (1.53701 | 128 | (2.33116 | 156 | 9.09330 | 103 |
| 5 | (1.46198) | 127 | (2.24525 | 135 | 9.02766 | 119 | 5 | (1.53828 | 127 | (2.33273 | 157 | 9.09434 | 103 |
| 6 | (1.46325) | 127 | (2.24660 | 135 | 9.02885 | 120 | 6 | (1.53955 | 128 | (2.33430 | 158 | 9.09537 | 103 |
| 7 | (1.46452) | 127 | (2.24795 | 135 | 9.03005 | 120 | 7 | (1.54083 | 128 | (2.33588 | 158 | 9.09640 | 102 |
| 8 | (1.46579) | 127 | (2.24931 | 136 | 9.03124 | 119 | 8 | (1.54210 | 127 | (2.33746 | 158 | 9.09742 | 103 |
| 9 | (1.46706) | 127 | (2.25067 | 137 | 9.03242 | 119 | 9 | (1.54337 | 127 | (2.33904 | 159 | 9.09845 | 102 |
| 10 | (1.46833) | 127 | (2.25203 | 137 | 9.03361 | 118 | 10 | (1.54465 | 128 | (2.34063 | 159 | 9.09947 | 102 |
| 11 | (1.46960) | 127 | (2.25340 | 137 | 9.03479 | 118 | 11 | (1.54592 | 127 | (2.34222 | 159 | 9.10049 | 101 |
| 12 | (1.47087) | 127 | (2.25477 | 137 | 9.03597 | 117 | 12 | (1.54719 | 128 | (2.34381 | 159 | 9.10150 | 102 |
| 13 | (1.47214) | 127 | (2.25614 | 138 | 9.03714 | 118 | 13 | (1.54847 | 128 | (2.34541 | 160 | 9.10252 | 101 |
| 14 | (1.47341) | 127 | (2.25752 | 138 | 9.03832 | 116 | 14 | (1.54974 | 127 | (2.34701 | 160 | 9.10353 | 101 |
| 15 | (1.47468) | 127 | (2.25890 | 139 | 9.03949 | 116 | 15 | (1.55101 | 127 | (2.34862 | 161 | 9.10454 | 101 |
| 16 | (1.47595) | 128 | (2.26029 | 139 | 9.04065 | 116 | 16 | (1.55229 | 128 | (2.35023 | 161 | 9.10555 | 101 |
| 17 | (1.47723) | 127 | (2.26167 | 140 | 9.04181 | 116 | 17 | (1.55356 | 127 | (2.35184 | 161 | 9.10656 | 100 |
| 18 | (1.47850) | 127 | (2.26307 | 140 | 9.04297 | 116 | 18 | (1.55483 | 127 | (2.35345 | 162 | 9.10757 | 100 |
| 19 | (1.47977) | 127 | (2.26446 | 140 | 9.04413 | 115 | 19 | (1.55611 | 128 | (2.35507 | 163 | 9.10858 | 100 |
| 20 | (1.48104) | 127 | (2.26586 | 141 | 9.04528 | 115 | 20 | (1.55738 | 127 | (2.35669 | 163 | 9.10959 | 100 |
| 21 | (1.48231) | 127 | (2.26727 | 141 | 9.04643 | 115 | 21 | (1.55865 | 127 | (2.35831 | 163 | 9.11060 | 99 |
| 22 | (1.48358) | 127 | (2.26868 | 141 | 9.04758 | 115 | 22 | (1.55993 | 128 | (2.35993 | 163 | 9.11155 | 99 |
| 23 | (1.48485) | 127 | (2.27009 | 141 | 9.04873 | 114 | 23 | (1.56120 | 127 | (2.36155 | 164 | 9.11256 | 99 |
| 24 | (1.48612) | 127 | (2.27150 | 142 | 9.04987 | 114 | 24 | (1.56248 | 128 | (2.36317 | 164 | 9.11357 | 99 |
| 25 | (1.48739) | 127 | (2.27292 | 142 | 9.05101 | 113 | 25 | (1.56375 | 127 | (2.36479 | 165 | 9.11458 | 99 |
| 26 | (1.48867) | 128 | (2.27434 | 143 | 9.05214 | 113 | 26 | (1.56502 | 128 | (2.36642 | 165 | 9.11559 | 98 |
| 27 | (1.48994) | 127 | (2.27577 | 143 | 9.05328 | 113 | 27 | (1.56630 | 128 | (2.36805 | 165 | 9.11660 | 98 |
| 28 | (1.49121) | 127 | (2.27720 | 143 | 9.05441 | 113 | 28 | (1.56757 | 127 | (2.36968 | 165 | 9.11761 | 98 |
| 29 | (1.49248) | 127 | (2.27863 | 143 | 9.05553 | 112 | 29 | (1.56885 | 128 | (2.37131 | 166 | 9.11862 | 98 |
| 30 | (1.49375) | 127 | (2.28007 | 144 | 9.05666 | 113 | 30 | (1.57012 | 127 | (2.37294 | 166 | 9.11963 | 97 |
| 31 | (1.49502) | 127 | (2.28151 | 144 | 9.05778 | 112 | 31 | (1.57139 | 127 | (2.37457 | 167 | 9.12064 | 97 |
| 32 | (1.49629) | 127 | (2.28296 | 145 | 9.05890 | 112 | 32 | (1.57267 | 128 | (2.37620 | 167 | 9.12165 | 98 |
| 33 | (1.49756) | 128 | (2.28441 | 145 | 9.06002 | 111 | 33 | (1.57394 | 128 | (2.37783 | 167 | 9.12266 | 97 |
| 34 | (1.49883) | 127 | (2.28586 | 145 | 9.06113 | 111 | 34 | (1.57522 | 128 | (2.37946 | 168 | 9.12367 | 97 |
| 35 | (1.50011) | 127 | (2.28732 | 146 | 9.06224 | 111 | 35 | (1.57649 | 128 | (2.38109 | 168 | 9.12468 | 96 |
| 36 | (1.50138) | 127 | (2.28877 | 146 | 9.06335 | 110 | 36 | (1.57777 | 127 | (2.38272 | 169 | 9.12569 | 97 |
| 37 | (1.50265) | 127 | (2.29024 | 146 | 9.06445 | 110 | 37 | (1.57904 | 128 | (2.38435 | 169 | 9.12670 | 96 |
| 38 | (1.50392) | 128 | (2.29171 | 147 | 9.06556 | 110 | 38 | (1.58032 | 127 | (2.38598 | 169 | 9.12771 | 96 |
| 39 | (1.50520) | 127 | (2.29318 | 147 | 9.06666 | 109 | 39 | (1.58159 | 128 | (2.38761 | 170 | 9.12872 | 96 |
| 40 | (1.50647) | 127 | (2.29465 | 147 | 9.06775 | 109 | 40 | (1.58287 | 128 | (2.38924 | 170 | 9.12973 | 95 |
| 41 | (1.50774) | 127 | (2.29613 | 148 | 9.06885 | 109 | 41 | (1.58414 | 127 | (2.39087 | 171 | 9.13074 | 95 |
| 42 | (1.50901) | 127 | (2.29761 | 148 | 9.06994 | 109 | 42 | (1.58541 | 128 | (2.39250 | 171 | 9.13175 | 95 |
| 43 | (1.51028) | 128 | (2.29910 | 149 | 9.07103 | 108 | 43 | (1.58669 | 128 | (2.39413 | 172 | 9.13276 | 94 |
| 44 | (1.51155) | 127 | (2.30059 | 149 | 9.07211 | 108 | 44 | (1.58796 | 128 | (2.39576 | 172 | 9.13377 | 95 |
| 45 | (1.51282) | 127 | (2.30208 | 150 | 9.07320 | 108 | 45 | (1.58923 | 127 | (2.39739 | 173 | 9.13478 | 94 |
| 46 | (1.51410) | 127 | (2.30358 | 150 | 9.07428 | 108 | 46 | (1.59051 | 128 | (2.40002 | 173 | 9.13579 | 94 |
| 47 | (1.51537) | 128 | (2.30509 | 150 | 9.07536 | 107 | 47 | (1.59179 | 128 | (2.40165 | 174 | 9.13680 | 93 |
| 48 | (1.51665) | 127 | (2.30659 | 150 | 9.07643 | 108 | 48 | (1.59306 | 128 | (2.40328 | 173 | 9.13781 | 93 |
| 49 | (1.51792) | 127 | (2.30809 | 151 | 9.07751 | 107 | 49 | (1.59434 | 128 | (2.40491 | 174 | 9.13882 | 93 |
| 50 | (1.51919) | 127 | (2.30960 | 151 | 9.07858 | 106 | 50 | (1.59561 | 128 | (2.40654 | 174 | 9.13983 | 93 |
| 51 | (1.52046) | 127 | (2.31112 | 152 | 9.07966 | 107 | 51 | (1.59689 | 128 | (2.40817 | 175 | 9.14084 | 93 |
| 52 | (1.52173) | 127 | (2.31264 | 152 | 9.08074 | 106 | 52 | (1.59817 | 128 | (2.40980 | 175 | 9.14185 | 92 |
| 53 | (1.52301) | 128 | (2.31416 | 153 | 9.08182 | 106 | 53 | (1.59944 | 128 | (2.41143 | 175 | 9.14286 | 92 |
| 54 | (1.52428) | 127 | (2.31569 | 153 | 9.08290 | 106 | 54 | (1.60072 | 128 | (2.41306 | 176 | 9.14387 | 92 |
| 55 | (1.52555) | 127 | (2.31722 | 153 | 9.08398 | 106 | 55 | (1.60200 | 128 | (2.41469 | 176 | 9.14488 | 92 |
| 56 | (1.52682) | 128 | (2.31875 | 154 | 9.08506 | 105 | 56 | (1.60327 | 127 | (2.41632 | 177 | 9.14589 | 91 |
| 57 | (1.52810) | 127 | (2.32029 | 154 | 9.08614 | 105 | 57 | (1.60455 | 128 | (2.41795 | 177 | 9.14690 | 91 |
| 58 | (1.52937) | 127 | (2.32183 | 155 | 9.08722 | 105 | 58 | (1.60583 | 128 | (2.41958 | 177 | 9.14791 | 91 |
| 59 | (1.53064) | 128 | (2.32337 | 155 | 9.08830 | 104 | 59 | (1.60711 | 128 | (2.42121 | 177 | 9.14892 | 91 |
| 60 | (1.53192) | 128 | (2.32493 | 155 | 9.08938 | 104 | 60 | (1.60839 | 128 | (2.42284 | 177 | 9.14993 | 91 |

$\omega = 8 \text{ Grad.}$ $\omega = 9 \text{ Grad.}$

| ω | z' | Diff. | $\log \cos z$ | Diff. | $\log \sin z$ | Diff. | ω | z' | Diff. | $\log \cos z$ | Diff. | $\log \sin z$ | Diff. |
|----------|-----------|-------|---------------|-------|---------------|-------|----------|-----------|-------|---------------|-------|---------------|-------|
| 0 | (1.08337) | 128 | (2.14172) | 178 | 9.11780 | 92 | 0 | (1.08501) | 128 | (2.15380) | 200 | 9.10971 | 82 |
| 1 | (1.08665) | 127 | (2.14250) | 178 | 9.14872 | 91 | 1 | (1.08629) | 128 | (2.15400) | 201 | 9.20053 | 81 |
| 2 | (1.09092) | 128 | (2.14288) | 179 | 9.14963 | 91 | 2 | (1.08757) | 128 | (2.15420) | 201 | 9.20134 | 81 |
| 3 | (1.09520) | 127 | (2.14307) | 178 | 9.15054 | 91 | 3 | (1.08885) | 128 | (2.15440) | 201 | 9.20216 | 81 |
| 4 | (1.09947) | 128 | (2.14385) | 178 | 9.15145 | 91 | 4 | (1.09013) | 128 | (2.15460) | 202 | 9.20297 | 81 |
| 5 | (1.09375) | 127 | (2.14365) | 179 | 9.15236 | 91 | 5 | (1.09141) | 128 | (2.15480) | 202 | 9.20378 | 81 |
| 6 | (1.09802) | 128 | (2.14344) | 180 | 9.15327 | 90 | 6 | (1.09269) | 128 | (2.15500) | 202 | 9.20459 | 81 |
| 7 | (1.09230) | 128 | (2.14324) | 181 | 9.15417 | 91 | 7 | (1.09397) | 128 | (2.15521) | 203 | 9.20540 | 81 |
| 8 | (1.09658) | 127 | (2.14303) | 180 | 9.15508 | 90 | 8 | (1.09525) | 127 | (2.15541) | 204 | 9.20621 | 81 |
| 9 | (1.09085) | 128 | (2.14282) | 181 | 9.15598 | 90 | 9 | (1.09653) | 128 | (2.15561) | 204 | 9.20702 | 80 |
| 10 | (1.09513) | 128 | (2.14261) | 182 | 9.15688 | 89 | 10 | (1.09780) | 128 | (2.15582) | 205 | 9.20782 | 81 |
| 11 | (1.09941) | 127 | (2.14240) | 182 | 9.15777 | 90 | 11 | (1.09908) | 128 | (2.15602) | 205 | 9.20862 | 80 |
| 12 | (1.09368) | 128 | (2.14219) | 183 | 9.15867 | 89 | 12 | (1.09036) | 128 | (2.15622) | 204 | 9.20942 | 80 |
| 13 | (1.09796) | 128 | (2.14198) | 183 | 9.15956 | 90 | 13 | (1.09164) | 128 | (2.15643) | 205 | 9.21022 | 80 |
| 14 | (1.09224) | 127 | (2.14177) | 183 | 9.16046 | 89 | 14 | (1.09292) | 128 | (2.15663) | 205 | 9.21102 | 80 |
| 15 | (1.09651) | 128 | (2.14156) | 183 | 9.16135 | 89 | 15 | (1.09420) | 128 | (2.15684) | 206 | 9.21182 | 79 |
| 16 | (1.09079) | 127 | (2.14135) | 184 | 9.16224 | 88 | 16 | (1.09548) | 128 | (2.15705) | 206 | 9.21261 | 79 |
| 17 | (1.09506) | 128 | (2.14114) | 184 | 9.16312 | 89 | 17 | (1.09676) | 128 | (2.15725) | 207 | 9.21341 | 80 |
| 18 | (1.09934) | 128 | (2.14093) | 184 | 9.16401 | 88 | 18 | (1.09804) | 128 | (2.15746) | 207 | 9.21420 | 79 |
| 19 | (1.09362) | 127 | (2.14072) | 185 | 9.16489 | 88 | 19 | (1.09932) | 128 | (2.15766) | 208 | 9.21500 | 79 |
| 20 | (1.09790) | 128 | (2.14051) | 185 | 9.16577 | 88 | 20 | (1.10060) | 128 | (2.15787) | 208 | 9.21579 | 78 |
| 21 | (1.09218) | 127 | (2.14030) | 186 | 9.16665 | 88 | 21 | (1.10188) | 128 | (2.15808) | 209 | 9.21657 | 79 |
| 22 | (1.09646) | 128 | (2.14009) | 186 | 9.16753 | 88 | 22 | (1.10316) | 128 | (2.15829) | 209 | 9.21736 | 78 |
| 23 | (1.09074) | 127 | (2.13988) | 186 | 9.16841 | 87 | 23 | (1.10444) | 128 | (2.15850) | 209 | 9.21815 | 78 |
| 24 | (1.09502) | 128 | (2.13967) | 187 | 9.16929 | 87 | 24 | (1.10572) | 128 | (2.15871) | 210 | 9.21894 | 79 |
| 25 | (1.09930) | 128 | (2.13946) | 187 | 9.17016 | 87 | 25 | (1.10700) | 128 | (2.15892) | 210 | 9.21973 | 78 |
| 26 | (1.09358) | 127 | (2.13925) | 188 | 9.17103 | 87 | 26 | (1.10828) | 128 | (2.15913) | 209 | 9.22052 | 78 |
| 27 | (1.09786) | 128 | (2.13904) | 188 | 9.17190 | 87 | 27 | (1.10956) | 128 | (2.15934) | 211 | 9.22131 | 78 |
| 28 | (1.09214) | 127 | (2.13883) | 188 | 9.17277 | 86 | 28 | (1.11084) | 128 | (2.15955) | 211 | 9.22210 | 78 |
| 29 | (1.09642) | 128 | (2.13862) | 188 | 9.17363 | 87 | 29 | (1.11212) | 128 | (2.15976) | 212 | 9.22289 | 78 |
| 30 | (1.09070) | 127 | (2.13841) | 189 | 9.17450 | 86 | 30 | (1.11340) | 128 | (2.15997) | 212 | 9.22368 | 77 |
| 31 | (1.09498) | 128 | (2.13820) | 190 | 9.17536 | 86 | 31 | (1.11468) | 128 | (2.16018) | 212 | 9.22447 | 78 |
| 32 | (1.09926) | 128 | (2.13799) | 190 | 9.17622 | 86 | 32 | (1.11596) | 128 | (2.16039) | 212 | 9.22526 | 77 |
| 33 | (1.09354) | 127 | (2.13778) | 190 | 9.17708 | 86 | 33 | (1.11724) | 128 | (2.16060) | 213 | 9.22605 | 77 |
| 34 | (1.09782) | 128 | (2.13757) | 191 | 9.17794 | 86 | 34 | (1.11852) | 128 | (2.16081) | 213 | 9.22684 | 77 |
| 35 | (1.09210) | 127 | (2.13736) | 191 | 9.17880 | 85 | 35 | (1.11980) | 128 | (2.16102) | 213 | 9.22763 | 77 |
| 36 | (1.09638) | 128 | (2.13715) | 191 | 9.17965 | 86 | 36 | (1.12108) | 128 | (2.16123) | 213 | 9.22842 | 77 |
| 37 | (1.09066) | 127 | (2.13694) | 192 | 9.18051 | 85 | 37 | (1.12236) | 128 | (2.16144) | 214 | 9.22921 | 77 |
| 38 | (1.09494) | 128 | (2.13673) | 192 | 9.18136 | 85 | 38 | (1.12364) | 128 | (2.16165) | 214 | 9.23000 | 76 |
| 39 | (1.08922) | 127 | (2.13652) | 192 | 9.18221 | 85 | 39 | (1.12492) | 128 | (2.16186) | 215 | 9.23079 | 77 |
| 40 | (1.09350) | 128 | (2.13631) | 192 | 9.18306 | 85 | 40 | (1.12620) | 128 | (2.16207) | 215 | 9.23158 | 76 |
| 41 | (1.08778) | 127 | (2.13610) | 193 | 9.18391 | 84 | 41 | (1.12748) | 128 | (2.16228) | 215 | 9.23237 | 76 |
| 42 | (1.09206) | 128 | (2.13589) | 193 | 9.18475 | 85 | 42 | (1.12876) | 128 | (2.16249) | 216 | 9.23316 | 77 |
| 43 | (1.08634) | 127 | (2.13568) | 194 | 9.18560 | 84 | 43 | (1.13004) | 128 | (2.16270) | 217 | 9.23395 | 76 |
| 44 | (1.09062) | 128 | (2.13547) | 194 | 9.18644 | 84 | 44 | (1.13132) | 128 | (2.16291) | 217 | 9.23474 | 75 |
| 45 | (1.08490) | 127 | (2.13526) | 194 | 9.18728 | 84 | 45 | (1.13260) | 128 | (2.16312) | 217 | 9.23553 | 75 |
| 46 | (1.08918) | 128 | (2.13505) | 195 | 9.18812 | 84 | 46 | (1.13388) | 128 | (2.16333) | 218 | 9.23632 | 76 |
| 47 | (1.08346) | 127 | (2.13484) | 195 | 9.18896 | 83 | 47 | (1.13516) | 128 | (2.16354) | 218 | 9.23711 | 75 |
| 48 | (1.08774) | 128 | (2.13463) | 196 | 9.18980 | 84 | 48 | (1.13644) | 128 | (2.16375) | 218 | 9.23790 | 76 |
| 49 | (1.08202) | 127 | (2.13442) | 196 | 9.19063 | 83 | 49 | (1.13772) | 128 | (2.16396) | 219 | 9.23869 | 75 |
| 50 | (1.08630) | 128 | (2.13421) | 196 | 9.19146 | 83 | 50 | (1.13900) | 128 | (2.16417) | 219 | 9.23948 | 75 |
| 51 | (1.08058) | 127 | (2.13400) | 197 | 9.19229 | 83 | 51 | (1.14028) | 128 | (2.16438) | 219 | 9.24027 | 75 |
| 52 | (1.08486) | 128 | (2.13379) | 197 | 9.19312 | 83 | 52 | (1.14156) | 128 | (2.16459) | 220 | 9.24106 | 75 |
| 53 | (1.07914) | 127 | (2.13358) | 198 | 9.19395 | 83 | 53 | (1.14284) | 128 | (2.16480) | 221 | 9.24185 | 74 |
| 54 | (1.08342) | 128 | (2.13337) | 198 | 9.19478 | 83 | 54 | (1.14412) | 128 | (2.16501) | 221 | 9.24264 | 75 |
| 55 | (1.07770) | 127 | (2.13316) | 198 | 9.19561 | 82 | 55 | (1.14540) | 128 | (2.16522) | 222 | 9.24343 | 74 |
| 56 | (1.08198) | 128 | (2.13295) | 199 | 9.19644 | 82 | 56 | (1.14668) | 128 | (2.16543) | 222 | 9.24422 | 75 |
| 57 | (1.07626) | 127 | (2.13274) | 199 | 9.19727 | 82 | 57 | (1.14796) | 128 | (2.16564) | 222 | 9.24501 | 74 |
| 58 | (1.08054) | 128 | (2.13253) | 199 | 9.19810 | 82 | 58 | (1.14924) | 128 | (2.16585) | 223 | 9.24580 | 75 |
| 59 | (1.07482) | 127 | (2.13232) | 200 | 9.19893 | 82 | 59 | (1.15052) | 128 | (2.16606) | 223 | 9.24659 | 74 |
| 60 | (1.07910) | 128 | (2.13211) | 200 | 9.19976 | 82 | 60 | (1.15180) | 128 | (2.16627) | 224 | 9.24738 | 74 |

$\omega = 10 \text{ Grad.}$ $\omega = 11 \text{ Grad.}$

| ω | z' | Diff. | $\log \cos z$ | Diff. | $\log \sin z$ | Diff. | ω | z' | Diff. | $\log \cos z$ | Diff. | $\log \sin z$ | Diff. |
|----------|-----------|-------|---------------|-------|---------------|-------|----------|-----------|-------|---------------|-------|---------------|-------|
| 0 | (1.76186) | 120 | (2.66485) | 223 | 9.24632 | 74 | 0 | (1.83896) | 128 | (2.86534) | 246 | 9.28565 | 68 |
| 1 | (1.76315) | 129 | (2.66708) | 224 | 9.24706 | 73 | 1 | (1.84021) | 129 | (2.86780) | 246 | 9.28833 | 67 |
| 2 | (1.76443) | 128 | (2.66932) | 223 | 9.24779 | 73 | 2 | (1.84153) | 129 | (2.87026) | 247 | 9.29000 | 67 |
| 3 | (1.76571) | 129 | (2.67155) | 224 | 9.24853 | 73 | 3 | (1.84282) | 128 | (2.87273) | 247 | 9.29267 | 67 |
| 4 | (1.76700) | 129 | (2.67379) | 225 | 9.24926 | 74 | 4 | (1.84410) | 129 | (2.87520) | 247 | 9.29534 | 67 |
| 5 | (1.76828) | 128 | (2.67604) | 225 | 9.25000 | 73 | 5 | (1.84539) | 129 | (2.87767) | 247 | 9.29801 | 67 |
| 6 | (1.76956) | 129 | (2.67829) | 225 | 9.25073 | 73 | 6 | (1.84668) | 129 | (2.88014) | 249 | 9.29868 | 67 |
| 7 | (1.77085) | 128 | (2.68054) | 226 | 9.25146 | 73 | 7 | (1.84797) | 128 | (2.88263) | 248 | 9.29935 | 67 |
| 8 | (1.77213) | 128 | (2.68280) | 226 | 9.25219 | 73 | 8 | (1.84925) | 129 | (2.88511) | 249 | 9.29992 | 66 |
| 9 | (1.77341) | 129 | (2.68506) | 226 | 9.25292 | 73 | 9 | (1.85054) | 129 | (2.88760) | 249 | 9.30168 | 67 |
| 10 | (1.77470) | 128 | (2.68732) | 227 | 9.25365 | 72 | 10 | (1.85183) | 129 | (2.89009) | 250 | 9.30335 | 67 |
| 11 | (1.77598) | 128 | (2.68959) | 227 | 9.25437 | 72 | 11 | (1.85312) | 128 | (2.89259) | 249 | 9.30501 | 66 |
| 12 | (1.77726) | 129 | (2.69186) | 227 | 9.25510 | 72 | 12 | (1.85440) | 129 | (2.89508) | 251 | 9.30668 | 67 |
| 13 | (1.77855) | 129 | (2.69413) | 228 | 9.25582 | 73 | 13 | (1.85569) | 129 | (2.89759) | 251 | 9.30834 | 66 |
| 14 | (1.77983) | 128 | (2.69641) | 228 | 9.25655 | 72 | 14 | (1.85698) | 129 | (2.84010) | 251 | 9.30800 | 66 |
| 15 | (1.78111) | 129 | (2.69869) | 229 | 9.25727 | 72 | 15 | (1.85827) | 129 | (2.84261) | 251 | 9.30866 | 66 |
| 16 | (1.78240) | 128 | (2.70098) | 229 | 9.25799 | 72 | 16 | (1.85956) | 128 | (2.84512) | 252 | 9.30932 | 66 |
| 17 | (1.78368) | 129 | (2.70327) | 229 | 9.25871 | 72 | 17 | (1.86084) | 129 | (2.84764) | 252 | 9.30998 | 66 |
| 18 | (1.78497) | 128 | (2.70556) | 230 | 9.25943 | 72 | 18 | (1.86213) | 129 | (2.85016) | 253 | 9.31064 | 66 |
| 19 | (1.78625) | 129 | (2.70785) | 230 | 9.26015 | 71 | 19 | (1.86342) | 129 | (2.85269) | 253 | 9.31130 | 66 |
| 20 | (1.78753) | 129 | (2.71016) | 231 | 9.26086 | 71 | 20 | (1.86471) | 129 | (2.85522) | 253 | 9.31195 | 65 |
| 21 | (1.78882) | 128 | (2.71247) | 231 | 9.26158 | 72 | 21 | (1.86600) | 129 | (2.85775) | 254 | 9.31261 | 66 |
| 22 | (1.79010) | 129 | (2.71478) | 231 | 9.26229 | 72 | 22 | (1.86729) | 128 | (2.86029) | 254 | 9.31326 | 65 |
| 23 | (1.79139) | 129 | (2.71709) | 232 | 9.26301 | 71 | 23 | (1.86857) | 129 | (2.86283) | 255 | 9.31391 | 65 |
| 24 | (1.79267) | 128 | (2.71941) | 232 | 9.26372 | 71 | 24 | (1.86986) | 129 | (2.86538) | 255 | 9.31457 | 65 |
| 25 | (1.79396) | 129 | (2.72173) | 232 | 9.26443 | 71 | 25 | (1.87115) | 129 | (2.86793) | 255 | 9.31522 | 65 |
| 26 | (1.79524) | 128 | (2.72405) | 233 | 9.26514 | 71 | 26 | (1.87244) | 129 | (2.87048) | 256 | 9.31587 | 65 |
| 27 | (1.79652) | 129 | (2.72638) | 233 | 9.26585 | 70 | 27 | (1.87373) | 129 | (2.87303) | 256 | 9.31652 | 65 |
| 28 | (1.79781) | 128 | (2.72871) | 234 | 9.26655 | 70 | 28 | (1.87502) | 129 | (2.87559) | 256 | 9.31717 | 65 |
| 29 | (1.79909) | 129 | (2.73105) | 234 | 9.26726 | 71 | 29 | (1.87631) | 129 | (2.87816) | 257 | 9.31782 | 65 |
| 30 | (1.80038) | 128 | (2.73339) | 234 | 9.26797 | 70 | 30 | (1.87760) | 129 | (2.88073) | 257 | 9.31846 | 64 |
| 31 | (1.80166) | 129 | (2.73573) | 234 | 9.26868 | 70 | 31 | (1.87889) | 129 | (2.88330) | 258 | 9.31911 | 65 |
| 32 | (1.80295) | 128 | (2.73808) | 235 | 9.26937 | 71 | 32 | (1.88018) | 129 | (2.88588) | 258 | 9.31975 | 65 |
| 33 | (1.80423) | 129 | (2.74043) | 235 | 9.27008 | 70 | 33 | (1.88147) | 128 | (2.88846) | 258 | 9.32040 | 64 |
| 34 | (1.80552) | 129 | (2.74278) | 236 | 9.27078 | 70 | 34 | (1.88275) | 129 | (2.89104) | 259 | 9.32104 | 64 |
| 35 | (1.80680) | 128 | (2.74514) | 236 | 9.27148 | 70 | 35 | (1.88404) | 129 | (2.89363) | 259 | 9.32168 | 64 |
| 36 | (1.80809) | 129 | (2.74750) | 237 | 9.27218 | 70 | 36 | (1.88533) | 129 | (2.89622) | 259 | 9.32233 | 64 |
| 37 | (1.80937) | 128 | (2.74987) | 237 | 9.27288 | 69 | 37 | (1.88662) | 129 | (2.89881) | 260 | 9.32297 | 64 |
| 38 | (1.81066) | 129 | (2.75224) | 237 | 9.27357 | 69 | 38 | (1.88791) | 129 | (2.90141) | 261 | 9.32361 | 64 |
| 39 | (1.81195) | 128 | (2.75461) | 238 | 9.27427 | 70 | 39 | (1.88920) | 129 | (2.90402) | 261 | 9.32425 | 64 |
| 40 | (1.81323) | 129 | (2.75699) | 238 | 9.27496 | 69 | 40 | (1.89049) | 129 | (2.90663) | 261 | 9.32489 | 63 |
| 41 | (1.81452) | 128 | (2.75937) | 239 | 9.27566 | 69 | 41 | (1.89178) | 129 | (2.90923) | 262 | 9.32553 | 63 |
| 42 | (1.81580) | 129 | (2.76176) | 239 | 9.27635 | 69 | 42 | (1.89307) | 129 | (2.91185) | 262 | 9.32616 | 64 |
| 43 | (1.81709) | 128 | (2.76415) | 239 | 9.27704 | 69 | 43 | (1.89436) | 129 | (2.91447) | 262 | 9.32679 | 63 |
| 44 | (1.81837) | 129 | (2.76654) | 239 | 9.27773 | 69 | 44 | (1.89565) | 129 | (2.91709) | 262 | 9.32743 | 63 |
| 45 | (1.81966) | 128 | (2.76893) | 240 | 9.27842 | 69 | 45 | (1.89694) | 129 | (2.91971) | 263 | 9.32806 | 63 |
| 46 | (1.82094) | 129 | (2.77134) | 240 | 9.27911 | 69 | 46 | (1.89823) | 129 | (2.92234) | 263 | 9.32870 | 64 |
| 47 | (1.82223) | 128 | (2.77374) | 241 | 9.27980 | 69 | 47 | (1.89952) | 130 | (2.92498) | 263 | 9.32933 | 63 |
| 48 | (1.82352) | 129 | (2.77615) | 241 | 9.28049 | 68 | 48 | (1.90081) | 129 | (2.92761) | 265 | 9.33000 | 63 |
| 49 | (1.82480) | 128 | (2.77856) | 242 | 9.28117 | 68 | 49 | (1.90210) | 129 | (2.93026) | 264 | 9.33063 | 63 |
| 50 | (1.82609) | 129 | (2.78098) | 242 | 9.28186 | 68 | 50 | (1.90339) | 129 | (2.93290) | 265 | 9.33127 | 63 |
| 51 | (1.82738) | 128 | (2.78340) | 242 | 9.28254 | 69 | 51 | (1.90469) | 129 | (2.93555) | 265 | 9.33185 | 63 |
| 52 | (1.82866) | 129 | (2.78582) | 243 | 9.28323 | 69 | 52 | (1.90598) | 129 | (2.93820) | 266 | 9.33248 | 63 |
| 53 | (1.82995) | 128 | (2.78825) | 243 | 9.28391 | 68 | 53 | (1.90727) | 129 | (2.94086) | 266 | 9.33311 | 63 |
| 54 | (1.83123) | 129 | (2.79068) | 243 | 9.28459 | 68 | 54 | (1.90856) | 129 | (2.94352) | 266 | 9.33373 | 63 |
| 55 | (1.83252) | 128 | (2.79311) | 244 | 9.28527 | 68 | 55 | (1.90985) | 129 | (2.94618) | 267 | 9.33436 | 63 |
| 56 | (1.83381) | 129 | (2.79555) | 244 | 9.28595 | 68 | 56 | (1.91114) | 129 | (2.94885) | 267 | 9.33498 | 62 |
| 57 | (1.83509) | 128 | (2.79799) | 245 | 9.28662 | 68 | 57 | (1.91243) | 129 | (2.95151) | 268 | 9.33561 | 63 |
| 58 | (1.83638) | 129 | (2.80044) | 245 | 9.28730 | 68 | 58 | (1.91372) | 130 | (2.95418) | 268 | 9.33623 | 62 |
| 59 | (1.83767) | 129 | (2.80289) | 245 | 9.28798 | 67 | 59 | (1.91502) | 129 | (2.95685) | 268 | 9.33685 | 62 |
| 60 | (1.83896) | 129 | (2.80534) | 245 | 9.28865 | 67 | 60 | (1.91631) | 129 | (2.95956) | 268 | 9.33747 | 62 |

$\omega = 12 \text{ Grad.}$ $\omega = 13 \text{ Grad.}$

| ω | s' | Diff. | $\log \cos z$ | Diff. | $\log \sin z$ | Diff. | ω | s' | Diff. | $\log \cos z$ | Diff. | $\log \sin z$ | Diff. |
|----------|----------|-------|---------------|-------|---------------|-------|----------|----------|-------|---------------|-------|---------------|-------|
| 0 | (1)91631 | 129 | (2)95956 | 269 | 9.32747 | 63 | 0 | (1)99395 | 129 | (1)11256 | 29 | 9.36336 | 58 |
| 1 | (1)91769 | 129 | (2)96225 | 269 | 9.32810 | 62 | 1 | (1)99524 | 130 | (1)11305 | 29 | 9.36394 | 58 |
| 2 | (1)91898 | 129 | (2)96491 | 269 | 9.32872 | 61 | 2 | (1)99654 | 130 | (1)11354 | 30 | 9.36452 | 57 |
| 3 | (1)92028 | 129 | (2)96759 | 270 | 9.32933 | 62 | 3 | (1)99781 | 129 | (1)11404 | 29 | 9.36509 | 57 |
| 4 | (1)92147 | 129 | (2)97033 | 270 | 9.32995 | 62 | 4 | (1)99913 | 13 | (1)11453 | 29 | 9.36566 | 58 |
| 5 | (1)92277 | 129 | (2)97303 | 271 | 9.33057 | 62 | 5 | 0.10004 | 13 | (1)11482 | 30 | 9.36624 | 57 |
| 6 | (1)92406 | 129 | (2)97574 | 271 | 9.33119 | 61 | 6 | 0.10017 | 13 | (1)11452 | 29 | 9.36681 | 57 |
| 7 | (1)92535 | 129 | (2)97845 | 272 | 9.33180 | 62 | 7 | 0.10030 | 13 | (1)11481 | 30 | 9.36738 | 57 |
| 8 | (1)92664 | 129 | (2)98117 | 271 | 9.33242 | 61 | 8 | 0.10043 | 13 | (1)11511 | 29 | 9.36795 | 57 |
| 9 | (1)92793 | 130 | (2)98388 | 273 | 9.33303 | 62 | 9 | 0.10056 | 13 | (1)11540 | 30 | 9.36852 | 57 |
| 10 | (1)92923 | 129 | (2)98661 | 272 | 9.33365 | 61 | 10 | 0.10069 | 13 | (1)11570 | 29 | 9.36909 | 57 |
| 11 | (1)93052 | 129 | (2)98933 | 273 | 9.33426 | 61 | 11 | 0.10082 | 13 | (1)11599 | 30 | 9.36966 | 57 |
| 12 | (1)93181 | 129 | (2)99206 | 273 | 9.33487 | 61 | 12 | 0.10095 | 13 | (1)11629 | 29 | 9.37023 | 57 |
| 13 | (1)93310 | 130 | (2)99479 | 274 | 9.33548 | 61 | 13 | 0.10108 | 13 | (1)11658 | 30 | 9.37080 | 57 |
| 14 | (1)93440 | 129 | (2)99753 | 28 | 9.33609 | 61 | 14 | 0.10121 | 13 | (1)11688 | 30 | 9.37137 | 56 |
| 15 | (1)93569 | 129 | (1)10003 | 27 | 9.33670 | 61 | 15 | 0.10134 | 13 | (1)11718 | 30 | 9.37193 | 57 |
| 16 | (1)93698 | 130 | (1)10030 | 27 | 9.33731 | 61 | 16 | 0.10147 | 13 | (1)11748 | 29 | 9.37250 | 57 |
| 17 | (1)93828 | 129 | (1)10058 | 27 | 9.33792 | 61 | 17 | 0.10160 | 13 | (1)11777 | 30 | 9.37306 | 56 |
| 18 | (1)93957 | 129 | (1)10085 | 28 | 9.33853 | 60 | 18 | 0.10173 | 13 | (1)11807 | 30 | 9.37363 | 57 |
| 19 | (1)94086 | 129 | (1)10113 | 27 | 9.33913 | 61 | 19 | 0.10186 | 13 | (1)11837 | 30 | 9.37419 | 57 |
| 20 | (1)94215 | 130 | (1)10140 | 28 | 9.33974 | 60 | 20 | 0.10199 | 13 | (1)11867 | 30 | 9.37476 | 56 |
| 21 | (1)94345 | 129 | (1)10168 | 28 | 9.34034 | 61 | 21 | 0.10212 | 13 | (1)11897 | 30 | 9.37532 | 57 |
| 22 | (1)94474 | 129 | (1)10196 | 27 | 9.34095 | 60 | 22 | 0.10225 | 13 | (1)11927 | 30 | 9.37588 | 56 |
| 23 | (1)94603 | 130 | (1)10223 | 28 | 9.34155 | 60 | 23 | 0.10238 | 13 | (1)11957 | 30 | 9.37644 | 56 |
| 24 | (1)94733 | 129 | (1)10251 | 28 | 9.34215 | 61 | 24 | 0.10251 | 13 | (1)11987 | 30 | 9.37700 | 56 |
| 25 | (1)94862 | 130 | (1)10279 | 28 | 9.34276 | 60 | 25 | 0.10264 | 13 | (1)12017 | 30 | 9.37756 | 56 |
| 26 | (1)94992 | 129 | (1)10307 | 28 | 9.34336 | 60 | 26 | 0.10277 | 13 | (1)12047 | 31 | 9.37812 | 56 |
| 27 | (1)95121 | 129 | (1)10335 | 28 | 9.34396 | 60 | 27 | 0.10290 | 13 | (1)12078 | 30 | 9.37868 | 56 |
| 28 | (1)95250 | 130 | (1)10363 | 27 | 9.34456 | 60 | 28 | 0.10303 | 13 | (1)12108 | 30 | 9.37924 | 56 |
| 29 | (1)95380 | 129 | (1)10390 | 28 | 9.34516 | 60 | 29 | 0.10316 | 13 | (1)12138 | 30 | 9.37980 | 55 |
| 30 | (1)95509 | 129 | (1)10418 | 28 | 9.34576 | 59 | 30 | 0.10329 | 13 | (1)12168 | 30 | 9.38035 | 56 |
| 31 | (1)95638 | 129 | (1)10447 | 28 | 9.34635 | 60 | 31 | 0.10342 | 13 | (1)12198 | 31 | 9.38091 | 56 |
| 32 | (1)95768 | 129 | (1)10475 | 28 | 9.34695 | 60 | 32 | 0.10355 | 13 | (1)12229 | 30 | 9.38147 | 55 |
| 33 | (1)95897 | 130 | (1)10503 | 28 | 9.34755 | 59 | 33 | 0.10368 | 13 | (1)12260 | 31 | 9.38202 | 55 |
| 34 | (1)96027 | 130 | (1)10531 | 28 | 9.34814 | 59 | 34 | 0.10381 | 13 | (1)12290 | 30 | 9.38257 | 55 |
| 35 | (1)96156 | 130 | (1)10559 | 28 | 9.34874 | 60 | 35 | 0.10394 | 13 | (1)12321 | 30 | 9.38313 | 55 |
| 36 | (1)96286 | 129 | (1)10587 | 28 | 9.34933 | 59 | 36 | 0.10407 | 13 | (1)12351 | 31 | 9.38368 | 55 |
| 37 | (1)96415 | 129 | (1)10615 | 29 | 9.34992 | 59 | 37 | 0.10420 | 13 | (1)12382 | 30 | 9.38423 | 55 |
| 38 | (1)96544 | 130 | (1)10644 | 28 | 9.35051 | 59 | 38 | 0.10433 | 13 | (1)12412 | 31 | 9.38479 | 56 |
| 39 | (1)96673 | 129 | (1)10672 | 28 | 9.35111 | 59 | 39 | 0.10446 | 13 | (1)12443 | 31 | 9.38534 | 55 |
| 40 | (1)96803 | 129 | (1)10700 | 28 | 9.35170 | 59 | 40 | 0.10459 | 13 | (1)12474 | 30 | 9.38589 | 55 |
| 41 | (1)96933 | 129 | (1)10729 | 29 | 9.35229 | 59 | 41 | 0.10472 | 13 | (1)12504 | 31 | 9.38644 | 55 |
| 42 | (1)97062 | 129 | (1)10757 | 29 | 9.35288 | 59 | 42 | 0.10485 | 13 | (1)12535 | 31 | 9.38699 | 55 |
| 43 | (1)97192 | 130 | (1)10786 | 29 | 9.35347 | 59 | 43 | 0.10498 | 13 | (1)12566 | 31 | 9.38754 | 55 |
| 44 | (1)97321 | 130 | (1)10814 | 29 | 9.35405 | 58 | 44 | 0.10511 | 13 | (1)12597 | 31 | 9.38808 | 54 |
| 45 | (1)97451 | 129 | (1)10843 | 29 | 9.35464 | 59 | 45 | 0.10524 | 13 | (1)12628 | 31 | 9.38863 | 55 |
| 46 | (1)97580 | 130 | (1)10872 | 29 | 9.35523 | 59 | 46 | 0.10537 | 13 | (1)12659 | 31 | 9.38918 | 55 |
| 47 | (1)97710 | 129 | (1)10900 | 29 | 9.35581 | 58 | 47 | 0.10550 | 13 | (1)12690 | 31 | 9.38972 | 54 |
| 48 | (1)97840 | 129 | (1)10929 | 29 | 9.35640 | 59 | 48 | 0.10563 | 13 | (1)12721 | 31 | 9.39027 | 55 |
| 49 | (1)97969 | 129 | (1)10958 | 29 | 9.35698 | 58 | 49 | 0.10576 | 13 | (1)12752 | 31 | 9.39082 | 55 |
| 50 | (1)98099 | 129 | (1)10986 | 29 | 9.35757 | 59 | 50 | 0.10589 | 13 | (1)12783 | 31 | 9.39136 | 54 |
| 51 | (1)98228 | 129 | (1)11015 | 29 | 9.35815 | 58 | 51 | 0.10602 | 13 | (1)12814 | 31 | 9.39190 | 54 |
| 52 | (1)98358 | 129 | (1)11044 | 29 | 9.35873 | 58 | 52 | 0.10615 | 13 | (1)12845 | 31 | 9.39245 | 55 |
| 53 | (1)98487 | 130 | (1)11073 | 29 | 9.35931 | 58 | 53 | 0.10628 | 13 | (1)12876 | 31 | 9.39299 | 54 |
| 54 | (1)98617 | 130 | (1)11102 | 29 | 9.35989 | 58 | 54 | 0.10641 | 13 | (1)12908 | 31 | 9.39353 | 54 |
| 55 | (1)98747 | 130 | (1)11131 | 29 | 9.36047 | 58 | 55 | 0.10654 | 13 | (1)12939 | 31 | 9.39407 | 54 |
| 56 | (1)98876 | 130 | (1)11160 | 29 | 9.36105 | 58 | 56 | 0.10667 | 13 | (1)12970 | 32 | 9.39461 | 54 |
| 57 | (1)99006 | 129 | (1)11189 | 29 | 9.36163 | 58 | 57 | 0.10680 | 13 | (1)13002 | 32 | 9.39515 | 54 |
| 58 | (1)99136 | 130 | (1)11218 | 29 | 9.36221 | 58 | 58 | 0.10693 | 13 | (1)13033 | 31 | 9.39569 | 54 |
| 59 | (1)99265 | 129 | (1)11247 | 29 | 9.36279 | 58 | 59 | 0.10706 | 13 | (1)13064 | 31 | 9.39623 | 54 |
| 60 | (1)99395 | 130 | (1)11276 | 29 | 9.36336 | 57 | 60 | 0.10719 | 13 | (1)13096 | 32 | 9.39677 | 54 |

$\omega = 14 \text{ Grad.}$ $\omega = 15 \text{ Grad.}$

| ω | z' | Diff. | $\log \cos z$ | Diff. | $\log \sin z$ | Diff. | ω | z' | Diff. | $\log \cos z$ | Diff. | $\log \sin z$ | Diff. |
|----------|---------|-------|---------------|-------|---------------|-------|----------|---------|-------|---------------|-------|---------------|-------|
| 0 | 0.10719 | 13 | (1.13666) | 31 | 9.39677 | 51 | 0 | 0.11502 | 13 | (1.15056) | 34 | 9.42805 | 51 |
| 1 | 0.10732 | 13 | (1.13127) | 32 | 9.39731 | 54 | 1 | 0.11515 | 13 | (1.15090) | 34 | 9.42856 | 50 |
| 2 | 0.10745 | 13 | (1.13159) | 32 | 9.39785 | 53 | 2 | 0.11528 | 13 | (1.15124) | 34 | 9.42906 | 51 |
| 3 | 0.10758 | 13 | (1.13191) | 31 | 9.39838 | 54 | 3 | 0.11541 | 13 | (1.15158) | 31 | 9.42957 | 50 |
| 4 | 0.10771 | 13 | (1.13222) | 32 | 9.39892 | 53 | 4 | 0.11554 | 13 | (1.15192) | 34 | 9.43007 | 50 |
| 5 | 0.10784 | 13 | (1.13254) | 32 | 9.39945 | 51 | 5 | 0.11567 | 13 | (1.15226) | 34 | 9.43057 | 51 |
| 6 | 0.10797 | 13 | (1.13286) | 31 | 9.39999 | 53 | 6 | 0.11580 | 14 | (1.15260) | 34 | 9.43108 | 50 |
| 7 | 0.10810 | 13 | (1.13317) | 32 | 9.40052 | 53 | 7 | 0.11594 | 13 | (1.15294) | 34 | 9.43158 | 50 |
| 8 | 0.10823 | 13 | (1.13349) | 32 | 9.40106 | 53 | 8 | 0.11607 | 13 | (1.15328) | 34 | 9.43208 | 50 |
| 9 | 0.10836 | 13 | (1.13381) | 32 | 9.40159 | 53 | 9 | 0.11620 | 13 | (1.15362) | 35 | 9.43258 | 50 |
| 10 | 0.10849 | 13 | (1.13413) | 32 | 9.40212 | 54 | 10 | 0.11633 | 13 | (1.15397) | 34 | 9.43308 | 50 |
| 11 | 0.10862 | 13 | (1.13445) | 32 | 9.40266 | 53 | 11 | 0.11646 | 13 | (1.15431) | 34 | 9.43358 | 50 |
| 12 | 0.10875 | 13 | (1.13477) | 32 | 9.40319 | 53 | 12 | 0.11659 | 13 | (1.15465) | 35 | 9.43408 | 50 |
| 13 | 0.10888 | 13 | (1.13509) | 32 | 9.40372 | 53 | 13 | 0.11672 | 13 | (1.15500) | 35 | 9.43458 | 50 |
| 14 | 0.10901 | 13 | (1.13541) | 32 | 9.40425 | 53 | 14 | 0.11685 | 13 | (1.15534) | 34 | 9.43508 | 50 |
| 15 | 0.10914 | 13 | (1.13573) | 32 | 9.40478 | 53 | 15 | 0.11698 | 13 | (1.15568) | 35 | 9.43558 | 49 |
| 16 | 0.10927 | 13 | (1.13605) | 32 | 9.40531 | 53 | 16 | 0.11711 | 13 | (1.15603) | 34 | 9.43607 | 50 |
| 17 | 0.10940 | 14 | (1.13637) | 32 | 9.40584 | 52 | 17 | 0.11724 | 14 | (1.15637) | 35 | 9.43657 | 50 |
| 18 | 0.10954 | 13 | (1.13669) | 32 | 9.40636 | 53 | 18 | 0.11738 | 13 | (1.15672) | 34 | 9.43707 | 49 |
| 19 | 0.10967 | 13 | (1.13701) | 33 | 9.40689 | 53 | 19 | 0.11751 | 13 | (1.15706) | 35 | 9.43756 | 50 |
| 20 | 0.10980 | 13 | (1.13734) | 32 | 9.40742 | 53 | 20 | 0.11764 | 13 | (1.15741) | 35 | 9.43806 | 49 |
| 21 | 0.10993 | 13 | (1.13766) | 32 | 9.40795 | 52 | 21 | 0.11777 | 13 | (1.15776) | 34 | 9.43855 | 50 |
| 22 | 0.11006 | 13 | (1.13798) | 33 | 9.40847 | 53 | 22 | 0.11790 | 13 | (1.15810) | 35 | 9.43905 | 49 |
| 23 | 0.11019 | 13 | (1.13831) | 32 | 9.40900 | 52 | 23 | 0.11803 | 13 | (1.15845) | 35 | 9.43954 | 49 |
| 24 | 0.11032 | 13 | (1.13863) | 33 | 9.40952 | 53 | 24 | 0.11816 | 13 | (1.15880) | 35 | 9.44004 | 49 |
| 25 | 0.11045 | 13 | (1.13896) | 32 | 9.41005 | 52 | 25 | 0.11829 | 13 | (1.15915) | 35 | 9.44053 | 49 |
| 26 | 0.11058 | 13 | (1.13928) | 33 | 9.41057 | 52 | 26 | 0.11842 | 13 | (1.15950) | 35 | 9.44102 | 49 |
| 27 | 0.11071 | 13 | (1.13961) | 32 | 9.41109 | 52 | 27 | 0.11855 | 14 | (1.15985) | 34 | 9.44151 | 40 |
| 28 | 0.11084 | 13 | (1.13993) | 33 | 9.41161 | 53 | 28 | 0.11869 | 13 | (1.16019) | 35 | 9.44201 | 49 |
| 29 | 0.11097 | 13 | (1.14026) | 32 | 9.41214 | 52 | 29 | 0.11882 | 13 | (1.16054) | 35 | 9.44250 | 49 |
| 30 | 0.11110 | 13 | (1.14058) | 33 | 9.41266 | 52 | 30 | 0.11895 | 13 | (1.16089) | 36 | 9.44299 | 49 |
| 31 | 0.11123 | 13 | (1.14091) | 33 | 9.41318 | 52 | 31 | 0.11908 | 13 | (1.16125) | 35 | 9.44348 | 49 |
| 32 | 0.11136 | 13 | (1.14124) | 33 | 9.41370 | 52 | 32 | 0.11921 | 13 | (1.16160) | 35 | 9.44397 | 49 |
| 33 | 0.11149 | 13 | (1.14157) | 32 | 9.41422 | 52 | 33 | 0.11934 | 13 | (1.16195) | 35 | 9.44446 | 49 |
| 34 | 0.11162 | 13 | (1.14189) | 33 | 9.41474 | 52 | 34 | 0.11947 | 13 | (1.16230) | 35 | 9.44495 | 49 |
| 35 | 0.11175 | 13 | (1.14222) | 33 | 9.41526 | 52 | 35 | 0.11960 | 13 | (1.16265) | 35 | 9.44544 | 48 |
| 36 | 0.11188 | 13 | (1.14255) | 33 | 9.41578 | 51 | 36 | 0.11973 | 14 | (1.16300) | 36 | 9.44592 | 49 |
| 37 | 0.11201 | 13 | (1.14288) | 33 | 9.41629 | 52 | 37 | 0.11987 | 13 | (1.16336) | 35 | 9.44641 | 49 |
| 38 | 0.11214 | 14 | (1.14321) | 33 | 9.41681 | 52 | 38 | 0.12000 | 13 | (1.16371) | 35 | 9.44690 | 48 |
| 39 | 0.11228 | 13 | (1.14354) | 33 | 9.41733 | 51 | 39 | 0.12013 | 13 | (1.16406) | 36 | 9.44738 | 49 |
| 40 | 0.11241 | 13 | (1.14387) | 33 | 9.41784 | 52 | 40 | 0.12026 | 13 | (1.16442) | 35 | 9.44787 | 49 |
| 41 | 0.11254 | 13 | (1.14420) | 33 | 9.41836 | 51 | 41 | 0.12039 | 13 | (1.16477) | 36 | 9.44836 | 49 |
| 42 | 0.11267 | 13 | (1.14453) | 33 | 9.41887 | 52 | 42 | 0.12052 | 13 | (1.16513) | 35 | 9.44884 | 49 |
| 43 | 0.11280 | 13 | (1.14486) | 34 | 9.41939 | 51 | 43 | 0.12065 | 13 | (1.16548) | 36 | 9.44933 | 48 |
| 44 | 0.11293 | 13 | (1.14520) | 33 | 9.41990 | 51 | 44 | 0.12078 | 14 | (1.16584) | 35 | 9.44981 | 48 |
| 45 | 0.11306 | 13 | (1.14553) | 33 | 9.42041 | 52 | 45 | 0.12092 | 13 | (1.16619) | 36 | 9.45029 | 49 |
| 46 | 0.11319 | 13 | (1.14586) | 33 | 9.42093 | 51 | 46 | 0.12105 | 13 | (1.16655) | 36 | 9.45078 | 48 |
| 47 | 0.11332 | 13 | (1.14619) | 34 | 9.42144 | 51 | 47 | 0.12118 | 13 | (1.16691) | 36 | 9.45126 | 48 |
| 48 | 0.11345 | 13 | (1.14653) | 33 | 9.42195 | 51 | 48 | 0.12131 | 13 | (1.16727) | 35 | 9.45174 | 48 |
| 49 | 0.11358 | 13 | (1.14686) | 34 | 9.42246 | 51 | 49 | 0.12144 | 13 | (1.16762) | 36 | 9.45222 | 49 |
| 50 | 0.11371 | 13 | (1.14720) | 33 | 9.42297 | 51 | 50 | 0.12157 | 13 | (1.16798) | 36 | 9.45271 | 48 |
| 51 | 0.11384 | 13 | (1.14753) | 34 | 9.42348 | 51 | 51 | 0.12170 | 13 | (1.16834) | 36 | 9.45319 | 48 |
| 52 | 0.11397 | 13 | (1.14787) | 34 | 9.42399 | 51 | 52 | 0.12183 | 14 | (1.16870) | 36 | 9.45367 | 48 |
| 53 | 0.11410 | 13 | (1.14820) | 34 | 9.42450 | 51 | 53 | 0.12197 | 13 | (1.16906) | 36 | 9.45415 | 48 |
| 54 | 0.11423 | 14 | (1.14854) | 33 | 9.42501 | 51 | 54 | 0.12210 | 13 | (1.16942) | 36 | 9.45463 | 48 |
| 55 | 0.11437 | 13 | (1.14887) | 34 | 9.42552 | 51 | 55 | 0.12223 | 13 | (1.16978) | 36 | 9.45511 | 48 |
| 56 | 0.11450 | 13 | (1.14921) | 34 | 9.42603 | 50 | 56 | 0.12236 | 13 | (1.17014) | 36 | 9.45559 | 47 |
| 57 | 0.11463 | 13 | (1.14955) | 34 | 9.42653 | 51 | 57 | 0.12249 | 13 | (1.17050) | 36 | 9.45606 | 48 |
| 58 | 0.11476 | 13 | (1.14989) | 34 | 9.42704 | 51 | 58 | 0.12262 | 13 | (1.17086) | 36 | 9.45654 | 48 |
| 59 | 0.11489 | 13 | (1.15022) | 34 | 9.42755 | 50 | 59 | 0.12275 | 14 | (1.17122) | 36 | 9.45702 | 48 |
| 60 | 0.11502 | 13 | (1.15056) | 34 | 9.42806 | 50 | 60 | 0.12289 | 14 | (1.17158) | 36 | 9.45750 | 48 |

$\omega = 16 \text{ Grad.}$ $\omega = 17 \text{ Grad.}$

| ω | z' | Diff. | $\log \cos z$ | Diff. | $\log \sin z$ | Diff. | ω | z' | Diff. | $\log \cos z$ | Diff. | $\log \sin z$ | Diff. |
|----------|---------|-------|---------------|-------|---------------|-------|----------|---------|-------|---------------|-------|---------------|-------|
| 0 | 0.12289 | 13 | (11.17158 | 37 | 9.45750 | 47 | 0 | 0.13079 | 13 | (11.19401 | 38 | 9.48534 | 45 |
| 1 | 0.12302 | 13 | (11.17195 | 36 | 9.45797 | 48 | 1 | 0.13092 | 14 | (11.19442 | 39 | 9.48579 | 45 |
| 2 | 0.12315 | 13 | (11.17231 | 36 | 9.45845 | 47 | 2 | 0.13106 | 13 | (11.19481 | 39 | 9.48621 | 45 |
| 3 | 0.12328 | 13 | (11.17267 | 37 | 9.45892 | 48 | 3 | 0.13119 | 13 | (11.19520 | 38 | 9.48669 | 45 |
| 4 | 0.12341 | 13 | (11.17304 | 36 | 9.45940 | 47 | 4 | 0.13132 | 13 | (11.19558 | 39 | 9.48714 | 45 |
| 5 | 0.12354 | 13 | (11.17340 | 36 | 9.45987 | 48 | 5 | 0.13145 | 13 | (11.19597 | 39 | 9.48759 | 45 |
| 6 | 0.12367 | 14 | (11.17376 | 37 | 9.46035 | 47 | 6 | 0.13158 | 14 | (11.19636 | 39 | 9.48801 | 45 |
| 7 | 0.12381 | 13 | (11.17413 | 36 | 9.46082 | 48 | 7 | 0.13172 | 13 | (11.19675 | 39 | 9.48849 | 45 |
| 8 | 0.12394 | 13 | (11.17449 | 37 | 9.46130 | 47 | 8 | 0.13185 | 13 | (11.19714 | 39 | 9.48891 | 46 |
| 9 | 0.12407 | 13 | (11.17486 | 37 | 9.46177 | 47 | 9 | 0.13198 | 13 | (11.19753 | 39 | 9.48939 | 45 |
| 10 | 0.12420 | 13 | (11.17523 | 36 | 9.46224 | 47 | 10 | 0.13211 | 13 | (11.19792 | 39 | 9.48981 | 45 |
| 11 | 0.12433 | 13 | (11.17559 | 37 | 9.46271 | 48 | 11 | 0.13224 | 14 | (11.19831 | 39 | 9.49029 | 45 |
| 12 | 0.12446 | 14 | (11.17596 | 37 | 9.46319 | 47 | 12 | 0.13238 | 13 | (11.19870 | 39 | 9.49073 | 45 |
| 13 | 0.12460 | 13 | (11.17633 | 36 | 9.46366 | 47 | 13 | 0.13251 | 13 | (11.19909 | 39 | 9.49118 | 45 |
| 14 | 0.12473 | 13 | (11.17670 | 37 | 9.46413 | 47 | 14 | 0.13264 | 13 | (11.19948 | 40 | 9.49163 | 44 |
| 15 | 0.12486 | 13 | (11.17706 | 37 | 9.46460 | 47 | 15 | 0.13277 | 14 | (11.19988 | 39 | 9.49207 | 45 |
| 16 | 0.12499 | 13 | (11.17743 | 37 | 9.46507 | 47 | 16 | 0.13291 | 13 | (12.00027 | 39 | 9.49252 | 45 |
| 17 | 0.12512 | 13 | (11.17780 | 37 | 9.46554 | 47 | 17 | 0.13304 | 13 | (12.00066 | 39 | 9.49296 | 45 |
| 18 | 0.12525 | 13 | (11.17817 | 37 | 9.46601 | 47 | 18 | 0.13317 | 13 | (12.00105 | 40 | 9.49341 | 44 |
| 19 | 0.12538 | 14 | (11.17854 | 37 | 9.46648 | 46 | 19 | 0.13330 | 14 | (12.00144 | 39 | 9.49385 | 45 |
| 20 | 0.12552 | 13 | (11.17891 | 37 | 9.46694 | 46 | 20 | 0.13343 | 13 | (12.00184 | 40 | 9.49430 | 44 |
| 21 | 0.12565 | 13 | (11.17928 | 37 | 9.46741 | 47 | 21 | 0.13357 | 13 | (12.00224 | 39 | 9.49474 | 45 |
| 22 | 0.12578 | 13 | (11.17965 | 37 | 9.46788 | 47 | 22 | 0.13370 | 14 | (12.00263 | 40 | 9.49519 | 44 |
| 23 | 0.12591 | 13 | (11.18002 | 37 | 9.46835 | 46 | 23 | 0.13384 | 13 | (12.00303 | 39 | 9.49563 | 45 |
| 24 | 0.12604 | 13 | (11.18039 | 37 | 9.46881 | 47 | 24 | 0.13397 | 13 | (12.00342 | 40 | 9.49607 | 44 |
| 25 | 0.12617 | 13 | (11.18076 | 38 | 9.46928 | 47 | 25 | 0.13410 | 13 | (12.00382 | 39 | 9.49652 | 44 |
| 26 | 0.12631 | 14 | (11.18114 | 37 | 9.46975 | 46 | 26 | 0.13423 | 13 | (12.00421 | 40 | 9.49696 | 44 |
| 27 | 0.12644 | 13 | (11.18151 | 37 | 9.47021 | 47 | 27 | 0.13436 | 13 | (12.00461 | 40 | 9.49740 | 44 |
| 28 | 0.12657 | 13 | (11.18188 | 38 | 9.47068 | 47 | 28 | 0.13449 | 14 | (12.00501 | 40 | 9.49784 | 44 |
| 29 | 0.12670 | 13 | (11.18226 | 37 | 9.47114 | 46 | 29 | 0.13463 | 13 | (12.00541 | 39 | 9.49828 | 44 |
| 30 | 0.12683 | 13 | (11.18263 | 37 | 9.47160 | 46 | 30 | 0.13476 | 13 | (12.00580 | 40 | 9.49872 | 44 |
| 31 | 0.12697 | 14 | (11.18300 | 38 | 9.47207 | 47 | 31 | 0.13489 | 13 | (12.00620 | 40 | 9.49916 | 44 |
| 32 | 0.12710 | 13 | (11.18338 | 37 | 9.47253 | 46 | 32 | 0.13502 | 14 | (12.00660 | 40 | 9.49960 | 44 |
| 33 | 0.12723 | 13 | (11.18375 | 38 | 9.47299 | 46 | 33 | 0.13516 | 13 | (12.00700 | 40 | 9.50004 | 44 |
| 34 | 0.12736 | 13 | (11.18413 | 38 | 9.47346 | 47 | 34 | 0.13529 | 13 | (12.00740 | 40 | 9.50048 | 44 |
| 35 | 0.12749 | 13 | (11.18451 | 38 | 9.47392 | 46 | 35 | 0.13542 | 13 | (12.00780 | 40 | 9.50092 | 44 |
| 36 | 0.12762 | 13 | (11.18488 | 38 | 9.47438 | 46 | 36 | 0.13555 | 14 | (12.00820 | 40 | 9.50136 | 44 |
| 37 | 0.12776 | 14 | (11.18526 | 38 | 9.47484 | 46 | 37 | 0.13569 | 14 | (12.00860 | 40 | 9.50180 | 44 |
| 38 | 0.12789 | 13 | (11.18564 | 37 | 9.47530 | 46 | 38 | 0.13582 | 13 | (12.00900 | 41 | 9.50223 | 43 |
| 39 | 0.12802 | 13 | (11.18601 | 37 | 9.47576 | 46 | 39 | 0.13595 | 13 | (12.00941 | 40 | 9.50267 | 44 |
| 40 | 0.12815 | 13 | (11.18639 | 38 | 9.47622 | 46 | 40 | 0.13608 | 11 | (12.00981 | 40 | 9.50311 | 44 |
| 41 | 0.12828 | 13 | (11.18677 | 38 | 9.47668 | 46 | 41 | 0.13622 | 13 | (12.01021 | 40 | 9.50355 | 44 |
| 42 | 0.12842 | 14 | (11.18715 | 38 | 9.47714 | 46 | 42 | 0.13635 | 13 | (12.01061 | 41 | 9.50398 | 43 |
| 43 | 0.12855 | 13 | (11.18753 | 38 | 9.47760 | 46 | 43 | 0.13649 | 11 | (12.01102 | 40 | 9.50442 | 44 |
| 44 | 0.12868 | 13 | (11.18791 | 38 | 9.47806 | 46 | 44 | 0.13662 | 13 | (12.01142 | 41 | 9.50485 | 43 |
| 45 | 0.12881 | 13 | (11.18829 | 38 | 9.47852 | 46 | 45 | 0.13675 | 13 | (12.01183 | 40 | 9.50529 | 44 |
| 46 | 0.12894 | 13 | (11.18867 | 38 | 9.47897 | 45 | 46 | 0.13688 | 13 | (12.01223 | 40 | 9.50572 | 43 |
| 47 | 0.12907 | 13 | (11.18905 | 38 | 9.47943 | 46 | 47 | 0.13701 | 13 | (12.01263 | 41 | 9.50616 | 44 |
| 48 | 0.12921 | 14 | (11.18943 | 38 | 9.47989 | 46 | 48 | 0.13715 | 14 | (12.01304 | 41 | 9.50659 | 43 |
| 49 | 0.12934 | 13 | (11.18981 | 38 | 9.48035 | 46 | 49 | 0.13728 | 13 | (12.01345 | 41 | 9.50703 | 44 |
| 50 | 0.12947 | 13 | (11.19019 | 39 | 9.48080 | 45 | 50 | 0.13741 | 13 | (12.01385 | 41 | 9.50746 | 43 |
| 51 | 0.12960 | 13 | (11.19058 | 38 | 9.48126 | 45 | 51 | 0.13754 | 13 | (12.01426 | 41 | 9.50789 | 43 |
| 52 | 0.12973 | 13 | (11.19096 | 38 | 9.48171 | 45 | 52 | 0.13768 | 14 | (12.01467 | 41 | 9.50833 | 44 |
| 53 | 0.12987 | 14 | (11.19134 | 39 | 9.48217 | 45 | 53 | 0.13781 | 13 | (12.01507 | 41 | 9.50876 | 43 |
| 54 | 0.13000 | 13 | (11.19173 | 39 | 9.48262 | 45 | 54 | 0.13794 | 13 | (12.01548 | 41 | 9.50919 | 43 |
| 55 | 0.13013 | 13 | (11.19211 | 38 | 9.48307 | 45 | 55 | 0.13808 | 13 | (12.01589 | 41 | 9.50962 | 43 |
| 56 | 0.13026 | 13 | (11.19250 | 38 | 9.48353 | 45 | 56 | 0.13821 | 13 | (12.01630 | 41 | 9.51005 | 43 |
| 57 | 0.13039 | 13 | (11.19288 | 38 | 9.48398 | 45 | 57 | 0.13834 | 13 | (12.01671 | 41 | 9.51048 | 44 |
| 58 | 0.13053 | 14 | (11.19327 | 39 | 9.48443 | 45 | 58 | 0.13847 | 13 | (12.01712 | 41 | 9.51092 | 44 |
| 59 | 0.13066 | 13 | (11.19365 | 39 | 9.48489 | 46 | 59 | 0.13861 | 14 | (12.01753 | 41 | 9.51135 | 43 |
| 60 | 0.13079 | 13 | (11.19404 | 39 | 9.48534 | 45 | 60 | 0.13874 | 13 | (12.01794 | 41 | 9.51178 | 43 |

$\omega = 18 \text{ Grad.}$ $\omega = 19 \text{ Grad.}$

| ω | z' | Diff. | $\log \cos z$ | Diff. | $\log \sin z$ | Diff. | ω | z' | Diff. | $\log \cos z$ | Diff. | $\log \sin z$ | Diff. |
|----------|---------|-------|---------------|-------|---------------|-------|----------|---------|-------|---------------|-------|---------------|-------|
| 0 | 0.13874 | 13 | (1.21791 | 41 | 9.51178 | 43 | 0 | 0.14673 | 14 | (1.24330 | 43 | 9.53607 | 41 |
| 1 | 0.13887 | 13 | (1.21835 | 41 | 9.51221 | 43 | 1 | 0.14687 | 13 | (1.24373 | 43 | 9.53738 | 41 |
| 2 | 0.13900 | 14 | (1.21876 | 41 | 9.51264 | 42 | 2 | 0.14700 | 13 | (1.24417 | 44 | 9.53779 | 41 |
| 3 | 0.13914 | 13 | (1.21917 | 41 | 9.51306 | 42 | 3 | 0.14713 | 13 | (1.24461 | 44 | 9.53820 | 41 |
| 4 | 0.13927 | 13 | (1.21958 | 41 | 9.51349 | 43 | 4 | 0.14727 | 14 | (1.24504 | 44 | 9.53861 | 41 |
| 5 | 0.13940 | 14 | (1.21999 | 42 | 9.51392 | 43 | 5 | 0.14740 | 13 | (1.24548 | 44 | 9.53902 | 41 |
| 6 | 0.13954 | 13 | (1.22041 | 41 | 9.51435 | 43 | 6 | 0.14753 | 14 | (1.24592 | 44 | 9.53943 | 41 |
| 7 | 0.13967 | 13 | (1.22082 | 41 | 9.51478 | 43 | 7 | 0.14767 | 13 | (1.24635 | 43 | 9.53984 | 41 |
| 8 | 0.13980 | 13 | (1.22123 | 41 | 9.51520 | 42 | 8 | 0.14789 | 13 | (1.24679 | 44 | 9.54025 | 40 |
| 9 | 0.13993 | 14 | (1.22165 | 42 | 9.51563 | 43 | 9 | 0.14794 | 14 | (1.24723 | 44 | 9.54065 | 41 |
| 10 | 0.14007 | 13 | (1.22206 | 42 | 9.51606 | 42 | 10 | 0.14807 | 13 | (1.24767 | 44 | 9.54106 | 41 |
| 11 | 0.14020 | 13 | (1.22248 | 42 | 9.51648 | 42 | 11 | 0.14820 | 13 | (1.24811 | 44 | 9.54147 | 41 |
| 12 | 0.14033 | 14 | (1.22289 | 42 | 9.51691 | 43 | 12 | 0.14834 | 13 | (1.24855 | 44 | 9.54187 | 41 |
| 13 | 0.14047 | 13 | (1.22331 | 41 | 9.51734 | 43 | 13 | 0.14847 | 13 | (1.24899 | 44 | 9.54228 | 41 |
| 14 | 0.14060 | 13 | (1.22372 | 42 | 9.51776 | 42 | 14 | 0.14860 | 14 | (1.24943 | 44 | 9.54269 | 40 |
| 15 | 0.14073 | 14 | (1.22414 | 42 | 9.51819 | 43 | 15 | 0.14874 | 14 | (1.24987 | 44 | 9.54309 | 40 |
| 16 | 0.14087 | 13 | (1.22456 | 42 | 9.51861 | 42 | 16 | 0.14887 | 13 | (1.25031 | 44 | 9.54350 | 41 |
| 17 | 0.14100 | 13 | (1.22497 | 41 | 9.51903 | 42 | 17 | 0.14901 | 14 | (1.25075 | 44 | 9.54390 | 41 |
| 18 | 0.14113 | 14 | (1.22539 | 42 | 9.51946 | 43 | 18 | 0.14914 | 13 | (1.25120 | 45 | 9.54431 | 41 |
| 19 | 0.14127 | 13 | (1.22581 | 42 | 9.51988 | 42 | 19 | 0.14927 | 13 | (1.25164 | 44 | 9.54471 | 40 |
| 20 | 0.14140 | 13 | (1.22623 | 42 | 9.52031 | 43 | 20 | 0.14941 | 13 | (1.25208 | 44 | 9.54512 | 41 |
| 21 | 0.14153 | 14 | (1.22665 | 42 | 9.52073 | 42 | 21 | 0.14954 | 14 | (1.25252 | 44 | 9.54552 | 41 |
| 22 | 0.14166 | 13 | (1.22707 | 42 | 9.52115 | 42 | 22 | 0.14967 | 13 | (1.25297 | 45 | 9.54593 | 41 |
| 23 | 0.14180 | 13 | (1.22749 | 42 | 9.52157 | 42 | 23 | 0.14981 | 13 | (1.25341 | 54 | 9.54633 | 40 |
| 24 | 0.14193 | 13 | (1.22791 | 42 | 9.52200 | 43 | 24 | 0.14994 | 14 | (1.25386 | 45 | 9.54673 | 41 |
| 25 | 0.14206 | 14 | (1.22833 | 42 | 9.52242 | 42 | 25 | 0.15008 | 14 | (1.25430 | 44 | 9.54714 | 40 |
| 26 | 0.14220 | 13 | (1.22875 | 42 | 9.52284 | 42 | 26 | 0.15021 | 13 | (1.25475 | 45 | 9.54754 | 40 |
| 27 | 0.14233 | 14 | (1.22917 | 42 | 9.52326 | 42 | 27 | 0.15034 | 13 | (1.25519 | 44 | 9.54794 | 41 |
| 28 | 0.14246 | 13 | (1.22959 | 42 | 9.52368 | 42 | 28 | 0.15048 | 14 | (1.25564 | 45 | 9.54835 | 41 |
| 29 | 0.14260 | 14 | (1.23001 | 42 | 9.52410 | 42 | 29 | 0.15061 | 13 | (1.25609 | 45 | 9.54875 | 40 |
| 30 | 0.14273 | 13 | (1.23043 | 42 | 9.52452 | 42 | 30 | 0.15075 | 14 | (1.25653 | 44 | 9.54915 | 40 |
| 31 | 0.14286 | 13 | (1.23086 | 43 | 9.52494 | 42 | 31 | 0.15088 | 13 | (1.25698 | 45 | 9.54955 | 40 |
| 32 | 0.14300 | 14 | (1.23128 | 42 | 9.52536 | 42 | 32 | 0.15101 | 14 | (1.25743 | 45 | 9.54995 | 40 |
| 33 | 0.14313 | 13 | (1.23170 | 42 | 9.52578 | 42 | 33 | 0.15115 | 13 | (1.25788 | 45 | 9.55035 | 40 |
| 34 | 0.14326 | 13 | (1.23213 | 43 | 9.52620 | 42 | 34 | 0.15128 | 13 | (1.25833 | 45 | 9.55075 | 40 |
| 35 | 0.14340 | 14 | (1.23255 | 42 | 9.52661 | 41 | 35 | 0.15142 | 14 | (1.25878 | 45 | 9.55115 | 40 |
| 36 | 0.14353 | 13 | (1.23298 | 42 | 9.52703 | 42 | 36 | 0.15155 | 13 | (1.25923 | 45 | 9.55155 | 40 |
| 37 | 0.14366 | 14 | (1.23340 | 42 | 9.52745 | 42 | 37 | 0.15168 | 13 | (1.25968 | 45 | 9.55195 | 40 |
| 38 | 0.14380 | 13 | (1.23383 | 43 | 9.52787 | 42 | 38 | 0.15182 | 13 | (1.26013 | 45 | 9.55235 | 40 |
| 39 | 0.14393 | 13 | (1.23426 | 42 | 9.52829 | 42 | 39 | 0.15195 | 14 | (1.26058 | 45 | 9.55275 | 41 |
| 40 | 0.14406 | 14 | (1.23468 | 42 | 9.52870 | 41 | 40 | 0.15209 | 13 | (1.26103 | 45 | 9.55315 | 41 |
| 41 | 0.14420 | 13 | (1.23511 | 42 | 9.52912 | 42 | 41 | 0.15222 | 14 | (1.26148 | 45 | 9.55355 | 40 |
| 42 | 0.14433 | 14 | (1.23554 | 42 | 9.52953 | 42 | 42 | 0.15236 | 13 | (1.26193 | 45 | 9.55395 | 39 |
| 43 | 0.14446 | 13 | (1.23596 | 42 | 9.52995 | 42 | 43 | 0.15249 | 14 | (1.26238 | 56 | 9.55434 | 40 |
| 44 | 0.14460 | 14 | (1.23639 | 43 | 9.53037 | 41 | 44 | 0.15262 | 13 | (1.26284 | 45 | 9.55474 | 40 |
| 45 | 0.14473 | 13 | (1.23682 | 43 | 9.53078 | 42 | 45 | 0.15276 | 13 | (1.26329 | 46 | 9.55514 | 40 |
| 46 | 0.14486 | 14 | (1.23725 | 43 | 9.53120 | 41 | 46 | 0.15289 | 14 | (1.26375 | 46 | 9.55554 | 39 |
| 47 | 0.14500 | 13 | (1.23768 | 43 | 9.53161 | 41 | 47 | 0.15303 | 14 | (1.26420 | 45 | 9.55593 | 40 |
| 48 | 0.14513 | 13 | (1.23811 | 43 | 9.53202 | 42 | 48 | 0.15316 | 14 | (1.26465 | 45 | 9.55633 | 40 |
| 49 | 0.14526 | 14 | (1.23854 | 43 | 9.53244 | 41 | 49 | 0.15330 | 13 | (1.26511 | 46 | 9.55673 | 39 |
| 50 | 0.14540 | 13 | (1.23897 | 43 | 9.53285 | 42 | 50 | 0.15343 | 13 | (1.26556 | 46 | 9.55712 | 40 |
| 51 | 0.14553 | 13 | (1.23940 | 43 | 9.53327 | 41 | 51 | 0.15356 | 14 | (1.26602 | 46 | 9.55752 | 39 |
| 52 | 0.14566 | 14 | (1.23983 | 43 | 9.53368 | 41 | 52 | 0.15370 | 13 | (1.26648 | 45 | 9.55791 | 40 |
| 53 | 0.14580 | 13 | (1.24026 | 44 | 9.53409 | 41 | 53 | 0.15383 | 14 | (1.26693 | 46 | 9.55831 | 39 |
| 54 | 0.14593 | 13 | (1.24069 | 43 | 9.53450 | 42 | 54 | 0.15397 | 13 | (1.26739 | 46 | 9.55870 | 40 |
| 55 | 0.14606 | 14 | (1.24113 | 43 | 9.53492 | 41 | 55 | 0.15410 | 14 | (1.26785 | 46 | 9.55910 | 39 |
| 56 | 0.14620 | 13 | (1.24156 | 44 | 9.53533 | 41 | 56 | 0.15424 | 13 | (1.26831 | 45 | 9.55949 | 40 |
| 57 | 0.14633 | 13 | (1.24200 | 43 | 9.53574 | 41 | 57 | 0.15437 | 14 | (1.26876 | 46 | 9.55989 | 39 |
| 58 | 0.14646 | 14 | (1.24243 | 43 | 9.53615 | 41 | 58 | 0.15450 | 13 | (1.26922 | 46 | 9.56028 | 39 |
| 59 | 0.14660 | 13 | (1.24286 | 43 | 9.53656 | 41 | 59 | 0.15464 | 14 | (1.26968 | 46 | 9.56067 | 40 |
| 60 | 0.14673 | 13 | (1.24330 | 44 | 9.53697 | 41 | 60 | 0.15477 | 13 | (1.27014 | 46 | 9.56107 | 40 |

$\omega = 20 \text{ Grad.}$ $\omega = 21 \text{ Grad.}$

| ω | z' | Diff. | $\log \cos z$ | Diff. | $\log \sin z$ | Diff. | ω | z' | Diff. | $\log \cos z$ | Diff. | $\log \sin z$ | Diff. |
|----------|---------|-------|---------------|-------|---------------|-------|----------|---------|-------|---------------|-------|---------------|-------|
| 0 | 0.15477 | 14 | (1.27014) | 46 | 9.56107 | 39 | 0 | 0.16287 | 13 | (1.28148) | 49 | 9.58418 | 37 |
| 1 | 0.15491 | 13 | (1.27000) | 46 | 9.56146 | 39 | 1 | 0.16300 | 13 | (1.28167) | 49 | 9.58455 | 37 |
| 2 | 0.15504 | 14 | (1.27106) | 46 | 9.56185 | 39 | 2 | 0.16314 | 14 | (1.28185) | 48 | 9.58493 | 38 |
| 3 | 0.15518 | 13 | (1.27152) | 46 | 9.56221 | 39 | 3 | 0.16327 | 13 | (1.28199) | 49 | 9.58531 | 38 |
| 4 | 0.15531 | 14 | (1.27185) | 46 | 9.56244 | 40 | 4 | 0.16341 | 14 | (1.30043) | 49 | 9.58569 | 38 |
| 5 | 0.15545 | 14 | (1.27245 | 47 | 9.56303 | 39 | 5 | 0.16354 | 13 | (1.30061) | 48 | 9.58606 | 37 |
| 6 | 0.15558 | 13 | (1.27291 | 46 | 9.56342 | 39 | 6 | 0.16368 | 14 | (1.30149) | 49 | 9.58644 | 38 |
| 7 | 0.15571 | 13 | (1.27337 | 46 | 9.56381 | 39 | 7 | 0.16381 | 13 | (1.30189) | 49 | 9.58681 | 37 |
| 8 | 0.15585 | 14 | (1.27383 | 47 | 9.56420 | 39 | 8 | 0.16395 | 13 | (1.30248 | 48 | 9.58719 | 38 |
| 9 | 0.15598 | 13 | (1.27430 | 46 | 9.56459 | 39 | 9 | 0.16408 | 14 | (1.30286 | 48 | 9.58757 | 38 |
| 10 | 0.15612 | 14 | (1.27476 | 46 | 9.56498 | 39 | 10 | 0.16422 | 14 | (1.30335 | 48 | 9.58794 | 37 |
| 11 | 0.15625 | 14 | (1.27522 | 46 | 9.56537 | 39 | 11 | 0.16436 | 13 | (1.30381 | 49 | 9.58832 | 37 |
| 12 | 0.15639 | 13 | (1.27569 | 46 | 9.56576 | 39 | 12 | 0.16449 | 14 | (1.30433 | 49 | 9.58869 | 38 |
| 13 | 0.15652 | 14 | (1.27615 | 46 | 9.56615 | 39 | 13 | 0.16463 | 13 | (1.30482 | 49 | 9.58907 | 37 |
| 14 | 0.15666 | 14 | (1.27662 | 47 | 9.56654 | 39 | 14 | 0.16476 | 14 | (1.30531 | 49 | 9.58944 | 37 |
| 15 | 0.15679 | 14 | (1.27709 | 46 | 9.56693 | 39 | 15 | 0.16490 | 13 | (1.30580 | 49 | 9.58981 | 38 |
| 16 | 0.15693 | 13 | (1.27755 | 46 | 9.56732 | 39 | 16 | 0.16503 | 14 | (1.30630 | 50 | 9.59019 | 37 |
| 17 | 0.15706 | 14 | (1.27802 | 47 | 9.56771 | 39 | 17 | 0.16517 | 13 | (1.30679 | 49 | 9.59056 | 37 |
| 18 | 0.15720 | 13 | (1.27849 | 46 | 9.56810 | 39 | 18 | 0.16530 | 14 | (1.30728 | 49 | 9.59094 | 37 |
| 19 | 0.15733 | 13 | (1.27895 | 47 | 9.56849 | 38 | 19 | 0.16544 | 13 | (1.30777 | 50 | 9.59131 | 37 |
| 20 | 0.15746 | 14 | (1.27942 | 47 | 9.56887 | 39 | 20 | 0.16558 | 14 | (1.30827 | 50 | 9.59168 | 37 |
| 21 | 0.15760 | 13 | (1.27989 | 47 | 9.56926 | 39 | 21 | 0.16571 | 13 | (1.30876 | 49 | 9.59205 | 37 |
| 22 | 0.15773 | 14 | (1.28036 | 47 | 9.56965 | 39 | 22 | 0.16585 | 14 | (1.30925 | 50 | 9.59243 | 37 |
| 23 | 0.15787 | 13 | (1.28083 | 47 | 9.57004 | 38 | 23 | 0.16598 | 11 | (1.30975 | 49 | 9.59280 | 37 |
| 24 | 0.15800 | 14 | (1.28130 | 47 | 9.57042 | 39 | 24 | 0.16612 | 13 | (1.31024 | 50 | 9.59317 | 37 |
| 25 | 0.15814 | 13 | (1.28177 | 47 | 9.57081 | 39 | 25 | 0.16625 | 14 | (1.31074 | 49 | 9.59354 | 37 |
| 26 | 0.15827 | 14 | (1.28224 | 47 | 9.57120 | 38 | 26 | 0.16639 | 13 | (1.31123 | 50 | 9.59391 | 38 |
| 27 | 0.15841 | 13 | (1.28271 | 47 | 9.57158 | 39 | 27 | 0.16652 | 14 | (1.31173 | 50 | 9.59429 | 37 |
| 28 | 0.15854 | 14 | (1.28318 | 47 | 9.57197 | 38 | 28 | 0.16666 | 13 | (1.31223 | 49 | 9.59466 | 37 |
| 29 | 0.15868 | 13 | (1.28365 | 47 | 9.57235 | 39 | 29 | 0.16680 | 13 | (1.31272 | 50 | 9.59503 | 37 |
| 30 | 0.15881 | 14 | (1.28412 | 48 | 9.57274 | 38 | 30 | 0.16693 | 14 | (1.31322 | 50 | 9.59540 | 37 |
| 31 | 0.15895 | 13 | (1.28460 | 47 | 9.57312 | 39 | 31 | 0.16707 | 13 | (1.31372 | 50 | 9.59577 | 37 |
| 32 | 0.15908 | 14 | (1.28507 | 47 | 9.57351 | 38 | 32 | 0.16720 | 14 | (1.31422 | 50 | 9.59614 | 37 |
| 33 | 0.15922 | 13 | (1.28554 | 48 | 9.57389 | 39 | 33 | 0.16734 | 14 | (1.31472 | 49 | 9.59651 | 37 |
| 34 | 0.15935 | 14 | (1.28602 | 47 | 9.57428 | 38 | 34 | 0.16748 | 13 | (1.31521 | 50 | 9.59688 | 37 |
| 35 | 0.15949 | 13 | (1.28649 | 48 | 9.57466 | 38 | 35 | 0.16761 | 14 | (1.31571 | 50 | 9.59725 | 37 |
| 36 | 0.15962 | 14 | (1.28697 | 47 | 9.57504 | 39 | 36 | 0.16775 | 13 | (1.31621 | 50 | 9.59762 | 37 |
| 37 | 0.15976 | 13 | (1.28744 | 48 | 9.57543 | 38 | 37 | 0.16788 | 14 | (1.31671 | 51 | 9.59799 | 36 |
| 38 | 0.15989 | 14 | (1.28792 | 47 | 9.57581 | 38 | 38 | 0.16802 | 13 | (1.31722 | 50 | 9.59835 | 37 |
| 39 | 0.16003 | 13 | (1.28839 | 48 | 9.57619 | 39 | 39 | 0.16815 | 14 | (1.31772 | 50 | 9.59872 | 37 |
| 40 | 0.16016 | 14 | (1.28887 | 47 | 9.57658 | 38 | 40 | 0.16829 | 14 | (1.31822 | 50 | 9.59909 | 37 |
| 41 | 0.16030 | 13 | (1.28934 | 48 | 9.57696 | 38 | 41 | 0.16843 | 13 | (1.31872 | 50 | 9.59946 | 37 |
| 42 | 0.16043 | 14 | (1.28982 | 48 | 9.57734 | 38 | 42 | 0.16856 | 14 | (1.31922 | 51 | 9.59983 | 36 |
| 43 | 0.16057 | 13 | (1.29030 | 48 | 9.57772 | 38 | 43 | 0.16870 | 13 | (1.31973 | 50 | 9.60019 | 37 |
| 44 | 0.16070 | 14 | (1.29078 | 48 | 9.57810 | 39 | 44 | 0.16883 | 14 | (1.32023 | 50 | 9.60056 | 37 |
| 45 | 0.16084 | 13 | (1.29126 | 47 | 9.57849 | 38 | 45 | 0.16897 | 14 | (1.32073 | 51 | 9.60093 | 37 |
| 46 | 0.16097 | 14 | (1.29173 | 48 | 9.57887 | 38 | 46 | 0.16911 | 13 | (1.32124 | 50 | 9.60130 | 36 |
| 47 | 0.16111 | 13 | (1.29221 | 48 | 9.57925 | 38 | 47 | 0.16924 | 14 | (1.32174 | 51 | 9.60166 | 37 |
| 48 | 0.16124 | 14 | (1.29269 | 48 | 9.57963 | 38 | 48 | 0.16938 | 13 | (1.32225 | 50 | 9.60203 | 37 |
| 49 | 0.16138 | 13 | (1.29317 | 48 | 9.58001 | 38 | 49 | 0.16951 | 14 | (1.32275 | 50 | 9.60240 | 36 |
| 50 | 0.16151 | 14 | (1.29365 | 49 | 9.58039 | 38 | 50 | 0.16965 | 14 | (1.32326 | 50 | 9.60276 | 37 |
| 51 | 0.16165 | 13 | (1.29414 | 48 | 9.58077 | 38 | 51 | 0.16979 | 13 | (1.32376 | 51 | 9.60313 | 36 |
| 52 | 0.16178 | 14 | (1.29462 | 48 | 9.58115 | 38 | 52 | 0.16992 | 14 | (1.32427 | 51 | 9.60349 | 37 |
| 53 | 0.16192 | 13 | (1.29510 | 48 | 9.58153 | 38 | 53 | 0.17006 | 14 | (1.32478 | 51 | 9.60386 | 36 |
| 54 | 0.16205 | 14 | (1.29558 | 48 | 9.58191 | 38 | 54 | 0.17020 | 13 | (1.32529 | 50 | 9.60422 | 37 |
| 55 | 0.16219 | 13 | (1.29606 | 49 | 9.58229 | 38 | 55 | 0.17033 | 14 | (1.32579 | 51 | 9.60459 | 36 |
| 56 | 0.16232 | 14 | (1.29655 | 48 | 9.58267 | 37 | 56 | 0.17047 | 13 | (1.32630 | 51 | 9.60495 | 37 |
| 57 | 0.16246 | 14 | (1.29703 | 48 | 9.58305 | 38 | 57 | 0.17060 | 14 | (1.32681 | 51 | 9.60532 | 36 |
| 58 | 0.16260 | 13 | (1.29751 | 49 | 9.58342 | 38 | 58 | 0.17074 | 14 | (1.32732 | 51 | 9.60568 | 37 |
| 59 | 0.16273 | 14 | (1.29800 | 48 | 9.58380 | 38 | 59 | 0.17088 | 13 | (1.32783 | 51 | 9.60605 | 36 |
| 60 | 0.16287 | | (1.29848 | 48 | 9.58418 | 38 | 60 | 0.17101 | | (1.32834 | | 9.60641 | 36 |

$\omega = 22 \text{ Grad.}$ $\omega = 23 \text{ Grad.}$

| ω | z' | Diff. | $\log \cos z$ | Diff. | $\log \sin z$ | Diff. | ω | z' | Diff. | $\log \cos z$ | Diff. | $\log \sin z$ | Diff. |
|----------|---------|-------|---------------|-------|---------------|-------|----------|---------|-------|---------------|-------|---------------|-------|
| 0 | 0.17101 | | (1.32834) | | 0.60641 | | 0 | 0.17922 | | (1.35974) | | 0.62785 | |
| 1 | 0.17115 | 14 | (1.32855) | 51 | 0.60677 | 36 | 1 | 0.17935 | 13 | (1.36028) | 54 | 0.62820 | 35 |
| 2 | 0.17129 | 14 | (1.32896) | 51 | 0.60714 | 37 | 2 | 0.17949 | 14 | (1.36081) | 54 | 0.62855 | 35 |
| 3 | 0.17142 | 13 | (1.32937) | 52 | 0.60750 | 36 | 3 | 0.17963 | 14 | (1.36135) | 54 | 0.62890 | 36 |
| 4 | 0.17156 | 14 | (1.32980) | 52 | 0.60786 | 36 | 4 | 0.17977 | 14 | (1.36189) | 54 | 0.62926 | 36 |
| 5 | 0.17169 | 13 | (1.33000) | 51 | 0.60823 | 37 | 5 | 0.17990 | 13 | (1.36243) | 53 | 0.62961 | 35 |
| 6 | 0.17183 | 14 | (1.33111) | 51 | 0.60859 | 36 | 6 | 0.18004 | 14 | (1.36296) | 54 | 0.62996 | 35 |
| 7 | 0.17197 | 13 | (1.33192) | 52 | 0.60895 | 36 | 7 | 0.18018 | 14 | (1.36350) | 54 | 0.63031 | 35 |
| 8 | 0.17210 | 14 | (1.33244) | 51 | 0.60931 | 36 | 8 | 0.18032 | 13 | (1.36404) | 54 | 0.63066 | 35 |
| 9 | 0.17224 | 14 | (1.33295) | 52 | 0.60967 | 37 | 9 | 0.18045 | 14 | (1.36457) | 54 | 0.63101 | 34 |
| 10 | 0.17238 | 13 | (1.33347) | 51 | 0.61004 | 36 | 10 | 0.18059 | 14 | (1.36512) | 54 | 0.63135 | 34 |
| 11 | 0.17251 | 14 | (1.33398) | 52 | 0.61040 | 36 | 11 | 0.18073 | 14 | (1.36566) | 55 | 0.63170 | 35 |
| 12 | 0.17265 | 14 | (1.33450) | 52 | 0.61076 | 36 | 12 | 0.18087 | 14 | (1.36621) | 54 | 0.63205 | 35 |
| 13 | 0.17279 | 13 | (1.33491) | 51 | 0.61112 | 36 | 13 | 0.18101 | 13 | (1.36675) | 54 | 0.63240 | 35 |
| 14 | 0.17292 | 14 | (1.33533) | 52 | 0.61148 | 36 | 14 | 0.18114 | 14 | (1.36729) | 54 | 0.63275 | 35 |
| 15 | 0.17306 | 13 | (1.33595) | 52 | 0.61184 | 26 | 15 | 0.18128 | 14 | (1.36783) | 54 | 0.63310 | 35 |
| 16 | 0.17319 | 14 | (1.33656) | 52 | 0.61220 | 36 | 16 | 0.18142 | 14 | (1.36837) | 55 | 0.63345 | 35 |
| 17 | 0.17333 | 14 | (1.33708) | 52 | 0.61256 | 36 | 17 | 0.18155 | 14 | (1.36892) | 54 | 0.63379 | 35 |
| 18 | 0.17347 | 13 | (1.33760) | 52 | 0.61292 | 36 | 18 | 0.18169 | 14 | (1.36946) | 54 | 0.63414 | 35 |
| 19 | 0.17360 | 14 | (1.33812) | 52 | 0.61328 | 36 | 19 | 0.18183 | 14 | (1.37001) | 55 | 0.63448 | 35 |
| 20 | 0.17374 | 14 | (1.33864) | 52 | 0.61364 | 36 | 20 | 0.18197 | 13 | (1.37055) | 55 | 0.63483 | 35 |
| 21 | 0.17388 | 13 | (1.33915) | 51 | 0.61400 | 36 | 21 | 0.18210 | 14 | (1.37110) | 54 | 0.63517 | 34 |
| 22 | 0.17401 | 14 | (1.33967) | 52 | 0.61436 | 36 | 22 | 0.18224 | 14 | (1.37164) | 55 | 0.63553 | 35 |
| 23 | 0.17415 | 14 | (1.34019) | 52 | 0.61472 | 36 | 23 | 0.18238 | 14 | (1.37219) | 54 | 0.63588 | 35 |
| 24 | 0.17429 | 13 | (1.34071) | 53 | 0.61508 | 36 | 24 | 0.18252 | 13 | (1.37273) | 55 | 0.63623 | 34 |
| 25 | 0.17442 | 14 | (1.34124) | 52 | 0.61544 | 35 | 25 | 0.18265 | 14 | (1.37328) | 55 | 0.63657 | 35 |
| 26 | 0.17456 | 14 | (1.34176) | 53 | 0.61579 | 36 | 26 | 0.18279 | 14 | (1.37383) | 55 | 0.63692 | 34 |
| 27 | 0.17470 | 13 | (1.34228) | 52 | 0.61615 | 36 | 27 | 0.18293 | 14 | (1.37438) | 54 | 0.63726 | 35 |
| 28 | 0.17483 | 14 | (1.34280) | 52 | 0.61651 | 36 | 28 | 0.18307 | 13 | (1.37492) | 55 | 0.63761 | 35 |
| 29 | 0.17497 | 14 | (1.34332) | 53 | 0.61687 | 35 | 29 | 0.18320 | 14 | (1.37547) | 55 | 0.63796 | 34 |
| 30 | 0.17511 | 13 | (1.34385) | 52 | 0.61722 | 36 | 30 | 0.18334 | 14 | (1.37602) | 55 | 0.63830 | 35 |
| 31 | 0.17524 | 14 | (1.34437) | 52 | 0.61758 | 36 | 31 | 0.18348 | 14 | (1.37657) | 55 | 0.63865 | 34 |
| 32 | 0.17538 | 14 | (1.34489) | 53 | 0.61794 | 36 | 32 | 0.18362 | 14 | (1.37712) | 55 | 0.63899 | 35 |
| 33 | 0.17552 | 14 | (1.34542) | 52 | 0.61830 | 35 | 33 | 0.18376 | 13 | (1.37767) | 55 | 0.63934 | 34 |
| 34 | 0.17565 | 14 | (1.34594) | 53 | 0.61865 | 36 | 34 | 0.18390 | 14 | (1.37822) | 55 | 0.63968 | 35 |
| 35 | 0.17579 | 14 | (1.34647) | 52 | 0.61901 | 35 | 35 | 0.18403 | 14 | (1.37877) | 56 | 0.64003 | 34 |
| 36 | 0.17593 | 13 | (1.34699) | 53 | 0.61936 | 36 | 36 | 0.18417 | 14 | (1.37933) | 55 | 0.64037 | 35 |
| 37 | 0.17606 | 14 | (1.34752) | 53 | 0.61972 | 36 | 37 | 0.18431 | 13 | (1.37988) | 55 | 0.64072 | 34 |
| 38 | 0.17620 | 14 | (1.34805) | 52 | 0.62008 | 35 | 38 | 0.18444 | 14 | (1.38043) | 55 | 0.64106 | 34 |
| 39 | 0.17634 | 14 | (1.34857) | 53 | 0.62043 | 36 | 39 | 0.18458 | 14 | (1.38098) | 56 | 0.64140 | 35 |
| 40 | 0.17648 | 13 | (1.34910) | 53 | 0.62079 | 35 | 40 | 0.18472 | 14 | (1.38154) | 55 | 0.64175 | 34 |
| 41 | 0.17661 | 14 | (1.34963) | 53 | 0.62114 | 36 | 41 | 0.18486 | 14 | (1.38209) | 56 | 0.64209 | 34 |
| 42 | 0.17675 | 14 | (1.35016) | 53 | 0.62150 | 35 | 42 | 0.18500 | 13 | (1.38265) | 55 | 0.64243 | 35 |
| 43 | 0.17689 | 13 | (1.35069) | 52 | 0.62185 | 36 | 43 | 0.18513 | 14 | (1.38320) | 56 | 0.64278 | 34 |
| 44 | 0.17702 | 14 | (1.35121) | 53 | 0.62221 | 35 | 44 | 0.18527 | 14 | (1.38375) | 55 | 0.64312 | 34 |
| 45 | 0.17716 | 14 | (1.35174) | 53 | 0.62256 | 36 | 45 | 0.18541 | 14 | (1.38431) | 56 | 0.64346 | 45 |
| 46 | 0.17730 | 13 | (1.35227) | 53 | 0.62292 | 35 | 46 | 0.18555 | 14 | (1.38487) | 55 | 0.64381 | 34 |
| 47 | 0.17743 | 14 | (1.35280) | 54 | 0.62327 | 35 | 47 | 0.18569 | 13 | (1.38542) | 56 | 0.64415 | 34 |
| 48 | 0.17757 | 14 | (1.35334) | 53 | 0.62362 | 36 | 48 | 0.18582 | 14 | (1.38598) | 56 | 0.64449 | 34 |
| 49 | 0.17771 | 14 | (1.35387) | 53 | 0.62398 | 35 | 49 | 0.18596 | 14 | (1.38654) | 56 | 0.64483 | 34 |
| 50 | 0.17785 | 13 | (1.35440) | 53 | 0.62433 | 35 | 50 | 0.18610 | 14 | (1.38710) | 55 | 0.64517 | 35 |
| 51 | 0.17798 | 14 | (1.35493) | 53 | 0.62468 | 36 | 51 | 0.18624 | 14 | (1.38765) | 56 | 0.64552 | 34 |
| 52 | 0.17812 | 14 | (1.35546) | 54 | 0.62504 | 35 | 52 | 0.18638 | 13 | (1.38821) | 56 | 0.64586 | 34 |
| 53 | 0.17826 | 13 | (1.35600) | 53 | 0.62539 | 35 | 53 | 0.18652 | 13 | (1.38877) | 56 | 0.64620 | 34 |
| 54 | 0.17839 | 14 | (1.35653) | 53 | 0.62574 | 35 | 54 | 0.18665 | 14 | (1.38933) | 56 | 0.64654 | 34 |
| 55 | 0.17853 | 14 | (1.35706) | 54 | 0.62609 | 36 | 55 | 0.18679 | 14 | (1.38989) | 56 | 0.64688 | 34 |
| 56 | 0.17867 | 14 | (1.35760) | 53 | 0.62645 | 35 | 56 | 0.18693 | 14 | (1.39045) | 56 | 0.64722 | 34 |
| 57 | 0.17881 | 13 | (1.35813) | 54 | 0.62680 | 35 | 57 | 0.18707 | 14 | (1.39101) | 56 | 0.64756 | 34 |
| 58 | 0.17894 | 11 | (1.35867) | 53 | 0.62715 | 35 | 58 | 0.18721 | 13 | (1.39157) | 57 | 0.64790 | 31 |
| 59 | 0.17908 | 14 | (1.35920) | 53 | 0.62750 | 35 | 59 | 0.18734 | 14 | (1.39214) | 56 | 0.64824 | 31 |
| 60 | 0.17922 | 14 | (1.35974) | 54 | 0.62785 | 35 | 60 | 0.18748 | 14 | (1.39270) | 56 | 0.64858 | 31 |

$\omega = 24 \text{ Grad.}$ $\omega = 25 \text{ Grad.}$

| ω | z' | Diff. | $\log \cos z$ | Diff. | $\log \sin z$ | Diff. | ω | z' | Diff. | $\log \cos z$ | Diff. | $\log \sin z$ | Diff. |
|----------|---------|-------|---------------|-------|---------------|-------|----------|---------|-------|---------------|-------|---------------|-------|
| 0 | 0.18748 | 14 | (1.39270 | 56 | 9.64858 | 34 | 0 | 0.19581 | 14 | (1.42724 | 59 | 9.66867 | 33 |
| 1 | 0.18762 | 14 | (1.39326 | 56 | 9.64892 | 34 | 1 | 0.19595 | 14 | (1.42783 | 59 | 9.66900 | 33 |
| 2 | 0.18776 | 14 | (1.39382 | 57 | 9.64926 | 34 | 2 | 0.19609 | 14 | (1.42842 | 59 | 9.66933 | 33 |
| 3 | 0.18790 | 14 | (1.39439 | 56 | 9.64960 | 34 | 3 | 0.19623 | 14 | (1.42901 | 59 | 9.66966 | 33 |
| 4 | 0.18804 | 13 | (1.39495 | 57 | 9.64994 | 34 | 4 | 0.19637 | 14 | (1.42960 | 59 | 9.66999 | 33 |
| 5 | 0.18817 | 14 | (1.39552 | 56 | 9.65028 | 34 | 5 | 0.19651 | 14 | (1.43019 | 59 | 9.67032 | 33 |
| 6 | 0.18831 | 14 | (1.39608 | 57 | 9.65062 | 34 | 6 | 0.19665 | 14 | (1.43079 | 59 | 9.67065 | 33 |
| 7 | 0.18845 | 14 | (1.39665 | 57 | 9.65096 | 34 | 7 | 0.19679 | 14 | (1.43138 | 59 | 9.67098 | 33 |
| 8 | 0.18859 | 14 | (1.39721 | 57 | 9.65130 | 34 | 8 | 0.19693 | 14 | (1.43197 | 59 | 9.67131 | 32 |
| 9 | 0.18873 | 14 | (1.39778 | 57 | 9.65164 | 33 | 9 | 0.19707 | 14 | (1.43256 | 59 | 9.67163 | 33 |
| 10 | 0.18887 | 13 | (1.39835 | 57 | 9.65197 | 34 | 10 | 0.19721 | 14 | (1.43316 | 59 | 9.67196 | 33 |
| 11 | 0.18900 | 14 | (1.39891 | 57 | 9.65231 | 34 | 11 | 0.19735 | 14 | (1.43375 | 59 | 9.67229 | 33 |
| 12 | 0.18914 | 14 | (1.39948 | 57 | 9.65265 | 34 | 12 | 0.19749 | 14 | (1.43434 | 59 | 9.67262 | 33 |
| 13 | 0.18928 | 14 | (1.40005 | 57 | 9.65299 | 34 | 13 | 0.19763 | 14 | (1.43494 | 59 | 9.67295 | 33 |
| 14 | 0.18942 | 14 | (1.40062 | 57 | 9.65333 | 34 | 14 | 0.19777 | 14 | (1.43553 | 59 | 9.67327 | 33 |
| 15 | 0.18956 | 14 | (1.40118 | 57 | 9.65366 | 33 | 15 | 0.19791 | 14 | (1.43613 | 59 | 9.67360 | 33 |
| 16 | 0.18970 | 14 | (1.40175 | 57 | 9.65400 | 34 | 16 | 0.19805 | 14 | (1.43673 | 59 | 9.67393 | 33 |
| 17 | 0.18984 | 13 | (1.40232 | 57 | 9.65434 | 33 | 17 | 0.19819 | 13 | (1.43732 | 59 | 9.67426 | 32 |
| 18 | 0.18997 | 14 | (1.40289 | 57 | 9.65467 | 34 | 18 | 0.19832 | 14 | (1.43792 | 59 | 9.67458 | 33 |
| 19 | 0.19011 | 14 | (1.40346 | 57 | 9.65501 | 34 | 19 | 0.19846 | 14 | (1.43852 | 59 | 9.67491 | 33 |
| 20 | 0.19025 | 14 | (1.40404 | 57 | 9.65535 | 33 | 20 | 0.19860 | 14 | (1.43911 | 59 | 9.67524 | 32 |
| 21 | 0.19039 | 14 | (1.40461 | 57 | 9.65568 | 33 | 21 | 0.19874 | 14 | (1.43971 | 59 | 9.67556 | 33 |
| 22 | 0.19053 | 14 | (1.40518 | 57 | 9.65602 | 34 | 22 | 0.19888 | 14 | (1.44031 | 59 | 9.67589 | 33 |
| 23 | 0.19067 | 14 | (1.40575 | 57 | 9.65636 | 33 | 23 | 0.19902 | 14 | (1.44091 | 59 | 9.67622 | 32 |
| 24 | 0.19081 | 14 | (1.40632 | 57 | 9.65669 | 34 | 24 | 0.19916 | 14 | (1.44151 | 59 | 9.67654 | 33 |
| 25 | 0.19095 | 14 | (1.40690 | 58 | 9.65703 | 34 | 25 | 0.19930 | 14 | (1.44211 | 59 | 9.67687 | 32 |
| 26 | 0.19108 | 13 | (1.40747 | 57 | 9.65736 | 34 | 26 | 0.19944 | 14 | (1.44271 | 59 | 9.67719 | 33 |
| 27 | 0.19122 | 14 | (1.40805 | 57 | 9.65770 | 34 | 27 | 0.19958 | 14 | (1.44331 | 59 | 9.67752 | 33 |
| 28 | 0.19136 | 14 | (1.40862 | 57 | 9.65803 | 33 | 28 | 0.19972 | 14 | (1.44391 | 59 | 9.67785 | 32 |
| 29 | 0.19150 | 14 | (1.40920 | 57 | 9.65837 | 33 | 29 | 0.19986 | 14 | (1.44452 | 59 | 9.67817 | 33 |
| 30 | 0.19164 | 14 | (1.40977 | 57 | 9.65870 | 33 | 30 | 0.20000 | 14 | (1.44512 | 59 | 9.67850 | 32 |
| 31 | 0.19178 | 14 | (1.41035 | 57 | 9.65904 | 34 | 31 | 0.20014 | 14 | (1.44572 | 59 | 9.67882 | 33 |
| 32 | 0.19192 | 14 | (1.41092 | 57 | 9.65937 | 34 | 32 | 0.20028 | 14 | (1.44632 | 59 | 9.67915 | 32 |
| 33 | 0.19206 | 14 | (1.41150 | 58 | 9.65971 | 33 | 33 | 0.20042 | 14 | (1.44693 | 59 | 9.67947 | 33 |
| 34 | 0.19219 | 13 | (1.41208 | 58 | 9.66004 | 34 | 34 | 0.20056 | 14 | (1.44753 | 59 | 9.67980 | 32 |
| 35 | 0.19233 | 14 | (1.41266 | 58 | 9.66038 | 34 | 35 | 0.20070 | 14 | (1.44814 | 59 | 9.68012 | 32 |
| 36 | 0.19247 | 14 | (1.41323 | 57 | 9.66071 | 33 | 36 | 0.20084 | 14 | (1.44874 | 59 | 9.68044 | 33 |
| 37 | 0.19261 | 14 | (1.41381 | 58 | 9.66104 | 33 | 37 | 0.20098 | 14 | (1.44935 | 59 | 9.68077 | 33 |
| 38 | 0.19275 | 14 | (1.41439 | 58 | 9.66138 | 33 | 38 | 0.20112 | 14 | (1.44995 | 59 | 9.68109 | 33 |
| 39 | 0.19289 | 14 | (1.41497 | 58 | 9.66171 | 33 | 39 | 0.20126 | 14 | (1.45056 | 59 | 9.68142 | 32 |
| 40 | 0.19303 | 14 | (1.41555 | 58 | 9.66204 | 34 | 40 | 0.20140 | 14 | (1.45117 | 59 | 9.68174 | 33 |
| 41 | 0.19317 | 14 | (1.41613 | 58 | 9.66238 | 34 | 41 | 0.20154 | 14 | (1.45177 | 59 | 9.68206 | 33 |
| 42 | 0.19331 | 14 | (1.41671 | 58 | 9.66271 | 33 | 42 | 0.20168 | 14 | (1.45238 | 59 | 9.68239 | 32 |
| 43 | 0.19345 | 14 | (1.41729 | 58 | 9.66304 | 33 | 43 | 0.20182 | 14 | (1.45299 | 59 | 9.68271 | 32 |
| 44 | 0.19358 | 14 | (1.41787 | 59 | 9.66337 | 34 | 44 | 0.20196 | 14 | (1.45360 | 59 | 9.68303 | 33 |
| 45 | 0.19372 | 14 | (1.41846 | 59 | 9.66371 | 34 | 45 | 0.20210 | 14 | (1.45421 | 59 | 9.68336 | 32 |
| 46 | 0.19386 | 14 | (1.41904 | 58 | 9.66404 | 33 | 46 | 0.20224 | 14 | (1.45482 | 59 | 9.68368 | 33 |
| 47 | 0.19400 | 14 | (1.41962 | 59 | 9.66437 | 33 | 47 | 0.20238 | 14 | (1.45543 | 59 | 9.68400 | 32 |
| 48 | 0.19414 | 14 | (1.42021 | 59 | 9.66470 | 34 | 48 | 0.20252 | 14 | (1.45604 | 59 | 9.68432 | 33 |
| 49 | 0.19428 | 14 | (1.42079 | 58 | 9.66503 | 33 | 49 | 0.20266 | 14 | (1.45665 | 59 | 9.68465 | 33 |
| 50 | 0.19442 | 14 | (1.42137 | 59 | 9.66537 | 33 | 50 | 0.20280 | 14 | (1.45726 | 59 | 9.68497 | 32 |
| 51 | 0.19456 | 14 | (1.42195 | 59 | 9.66570 | 33 | 51 | 0.20295 | 14 | (1.45787 | 59 | 9.68529 | 33 |
| 52 | 0.19470 | 14 | (1.42254 | 58 | 9.66603 | 33 | 52 | 0.20309 | 14 | (1.45848 | 59 | 9.68561 | 32 |
| 53 | 0.19484 | 14 | (1.42313 | 59 | 9.66636 | 33 | 53 | 0.20323 | 14 | (1.45910 | 59 | 9.68593 | 33 |
| 54 | 0.19498 | 14 | (1.42372 | 58 | 9.66669 | 34 | 54 | 0.20337 | 14 | (1.45971 | 59 | 9.68626 | 32 |
| 55 | 0.19512 | 14 | (1.42430 | 58 | 9.66702 | 33 | 55 | 0.20351 | 14 | (1.46032 | 59 | 9.68658 | 33 |
| 56 | 0.19526 | 13 | (1.42489 | 59 | 9.66735 | 33 | 56 | 0.20365 | 14 | (1.46094 | 59 | 9.68690 | 32 |
| 57 | 0.19539 | 14 | (1.42548 | 59 | 9.66768 | 33 | 57 | 0.20379 | 14 | (1.46155 | 59 | 9.68722 | 33 |
| 58 | 0.19553 | 14 | (1.42607 | 58 | 9.66801 | 33 | 58 | 0.20393 | 14 | (1.46217 | 59 | 9.68754 | 32 |
| 59 | 0.19567 | 14 | (1.42665 | 58 | 9.66834 | 33 | 59 | 0.20407 | 14 | (1.46278 | 59 | 9.68786 | 33 |
| 60 | 0.19581 | 14 | (1.42724 | 59 | 9.66867 | 33 | 60 | 0.20421 | 14 | (1.46340 | 59 | 9.68818 | 32 |

$\omega = 26 \text{ Grad.}$ $\omega = 27 \text{ Grad.}$

| ω | z' | Diff. | $\log \cos z$ | Diff. | $\log \sin z$ | Diff. | ω | z' | Diff. | $\log \cos z$ | Diff. | $\log \sin z$ | Diff. |
|----------|---------|-------|---------------|-------|---------------|-------|----------|---------|-------|---------------|-------|---------------|-------|
| 0 | 0.20421 | | (1.16340) | 61 | 9.68818 | 32 | 0 | 0.21268 | 14 | (1.50119) | 65 | 9.70717 | 31 |
| 1 | 0.20435 | 14 | (1.16401) | 61 | 9.68850 | 32 | 1 | 0.21282 | 14 | (1.50184) | 64 | 9.70748 | 31 |
| 2 | 0.20449 | 14 | (1.16463) | 62 | 9.68882 | 32 | 2 | 0.21296 | 15 | (1.50248) | 64 | 9.70779 | 31 |
| 3 | 0.20463 | 14 | (1.16525) | 62 | 9.68914 | 32 | 3 | 0.21311 | 15 | (1.50312) | 64 | 9.70810 | 31 |
| 4 | 0.20477 | 14 | (1.16587) | 61 | 9.68946 | 32 | 4 | 0.21325 | 14 | (1.50377) | 65 | 9.70841 | 31 |
| 5 | 0.20491 | 14 | (1.16648) | 62 | 9.68978 | 32 | 5 | 0.21339 | 14 | (1.50442) | 65 | 9.70873 | 31 |
| 6 | 0.20505 | 15 | (1.16710) | 62 | 9.69010 | 32 | 6 | 0.21353 | 14 | (1.50506) | 64 | 9.70904 | 31 |
| 7 | 0.20520 | 14 | (1.16772) | 62 | 9.69042 | 32 | 7 | 0.21367 | 15 | (1.50571) | 65 | 9.70935 | 31 |
| 8 | 0.20534 | 14 | (1.16834) | 62 | 9.69074 | 32 | 8 | 0.21382 | 14 | (1.50636) | 65 | 9.70966 | 31 |
| 9 | 0.20548 | 14 | (1.16896) | 62 | 9.69106 | 32 | 9 | 0.21396 | 14 | (1.50700) | 65 | 9.70997 | 31 |
| 10 | 0.20562 | 14 | (1.16958) | 62 | 9.69138 | 32 | 10 | 0.21410 | 14 | (1.50765) | 65 | 9.71028 | 31 |
| 11 | 0.20576 | 14 | (1.17020) | 62 | 9.69170 | 32 | 11 | 0.21424 | 14 | (1.50830) | 65 | 9.71059 | 31 |
| 12 | 0.20590 | 14 | (1.17082) | 62 | 9.69202 | 32 | 12 | 0.21438 | 15 | (1.50895) | 65 | 9.71090 | 31 |
| 13 | 0.20604 | 14 | (1.17144) | 63 | 9.69234 | 32 | 13 | 0.21453 | 15 | (1.50960) | 65 | 9.71121 | 31 |
| 14 | 0.20618 | 14 | (1.17207) | 62 | 9.69266 | 32 | 14 | 0.21467 | 14 | (1.51025) | 65 | 9.71153 | 32 |
| 15 | 0.20632 | 14 | (1.17269) | 62 | 9.69298 | 32 | 15 | 0.21481 | 15 | (1.51090) | 65 | 9.71184 | 31 |
| 16 | 0.20646 | 14 | (1.17331) | 63 | 9.69329 | 31 | 16 | 0.21495 | 14 | (1.51155) | 65 | 9.71215 | 31 |
| 17 | 0.20660 | 14 | (1.17394) | 63 | 9.69361 | 32 | 17 | 0.21509 | 15 | (1.51220) | 65 | 9.71246 | 31 |
| 18 | 0.20674 | 14 | (1.17456) | 63 | 9.69393 | 32 | 18 | 0.21524 | 14 | (1.51285) | 65 | 9.71277 | 31 |
| 19 | 0.20688 | 14 | (1.17519) | 63 | 9.69425 | 32 | 19 | 0.21538 | 14 | (1.51350) | 65 | 9.71308 | 31 |
| 20 | 0.20703 | 15 | (1.17581) | 63 | 9.69457 | 31 | 20 | 0.21552 | 14 | (1.51415) | 66 | 9.71339 | 31 |
| 21 | 0.20717 | 14 | (1.17644) | 63 | 9.69488 | 32 | 21 | 0.21566 | 14 | (1.51481) | 65 | 9.71370 | 31 |
| 22 | 0.20731 | 14 | (1.17706) | 63 | 9.69520 | 32 | 22 | 0.21581 | 15 | (1.51546) | 65 | 9.71401 | 31 |
| 23 | 0.20745 | 14 | (1.17769) | 63 | 9.69552 | 32 | 23 | 0.21595 | 14 | (1.51612) | 66 | 9.71431 | 30 |
| 24 | 0.20759 | 14 | (1.17832) | 62 | 9.69584 | 31 | 24 | 0.21609 | 15 | (1.51677) | 65 | 9.71462 | 31 |
| 25 | 0.20773 | 14 | (1.17894) | 62 | 9.69615 | 31 | 25 | 0.21623 | 14 | (1.51743) | 66 | 9.71493 | 31 |
| 26 | 0.20787 | 14 | (1.17957) | 63 | 9.69647 | 32 | 26 | 0.21637 | 15 | (1.51808) | 65 | 9.71524 | 31 |
| 27 | 0.20801 | 14 | (1.18020) | 63 | 9.69679 | 32 | 27 | 0.21652 | 14 | (1.51874) | 66 | 9.71555 | 31 |
| 28 | 0.20815 | 15 | (1.18083) | 63 | 9.69710 | 31 | 28 | 0.21666 | 14 | (1.51940) | 66 | 9.71586 | 31 |
| 29 | 0.20830 | 14 | (1.18146) | 63 | 9.69742 | 32 | 29 | 0.21680 | 14 | (1.52005) | 65 | 9.71617 | 31 |
| 30 | 0.20844 | 14 | (1.18209) | 63 | 9.69774 | 31 | 30 | 0.21694 | 15 | (1.52071) | 66 | 9.71648 | 31 |
| 31 | 0.20858 | 14 | (1.18272) | 63 | 9.69805 | 32 | 31 | 0.21709 | 14 | (1.52137) | 66 | 9.71679 | 30 |
| 32 | 0.20872 | 14 | (1.18335) | 63 | 9.69837 | 32 | 32 | 0.21723 | 14 | (1.52203) | 66 | 9.71709 | 31 |
| 33 | 0.20886 | 14 | (1.18398) | 63 | 9.69868 | 32 | 33 | 0.21737 | 14 | (1.52269) | 66 | 9.71740 | 31 |
| 34 | 0.20900 | 14 | (1.18461) | 63 | 9.69900 | 32 | 34 | 0.21751 | 15 | (1.52335) | 66 | 9.71771 | 31 |
| 35 | 0.20914 | 14 | (1.18524) | 64 | 9.69932 | 32 | 35 | 0.21766 | 14 | (1.52400) | 67 | 9.71802 | 31 |
| 36 | 0.20928 | 15 | (1.18588) | 63 | 9.69963 | 32 | 36 | 0.21780 | 14 | (1.52466) | 66 | 9.71833 | 30 |
| 37 | 0.20943 | 14 | (1.18651) | 63 | 9.69995 | 32 | 37 | 0.21794 | 14 | (1.52533) | 67 | 9.71863 | 31 |
| 38 | 0.20957 | 14 | (1.18714) | 64 | 9.70026 | 32 | 38 | 0.21808 | 15 | (1.52599) | 66 | 9.71894 | 31 |
| 39 | 0.20971 | 14 | (1.18777) | 63 | 9.70058 | 32 | 39 | 0.21823 | 14 | (1.52665) | 66 | 9.71925 | 30 |
| 40 | 0.20985 | 14 | (1.18841) | 63 | 9.70089 | 32 | 40 | 0.21837 | 14 | (1.52731) | 66 | 9.71956 | 31 |
| 41 | 0.20999 | 14 | (1.18904) | 64 | 9.70121 | 31 | 41 | 0.21851 | 14 | (1.52797) | 66 | 9.71986 | 31 |
| 42 | 0.21013 | 14 | (1.18968) | 64 | 9.70152 | 32 | 42 | 0.21865 | 15 | (1.52864) | 66 | 9.72017 | 31 |
| 43 | 0.21027 | 14 | (1.19032) | 63 | 9.70184 | 31 | 43 | 0.21880 | 14 | (1.52930) | 66 | 9.72048 | 30 |
| 44 | 0.21041 | 15 | (1.19095) | 64 | 9.70215 | 32 | 44 | 0.21894 | 14 | (1.52996) | 66 | 9.72078 | 31 |
| 45 | 0.21055 | 14 | (1.19159) | 63 | 9.70247 | 31 | 45 | 0.21908 | 15 | (1.53063) | 66 | 9.72109 | 31 |
| 46 | 0.21070 | 14 | (1.19222) | 64 | 9.70278 | 31 | 46 | 0.21923 | 14 | (1.53129) | 67 | 9.72140 | 31 |
| 47 | 0.21084 | 14 | (1.19286) | 64 | 9.70309 | 32 | 47 | 0.21937 | 14 | (1.53196) | 66 | 9.72170 | 31 |
| 48 | 0.21098 | 14 | (1.19350) | 64 | 9.70341 | 31 | 48 | 0.21951 | 14 | (1.53262) | 67 | 9.72201 | 30 |
| 49 | 0.21112 | 14 | (1.19414) | 64 | 9.70372 | 32 | 49 | 0.21965 | 15 | (1.53329) | 67 | 9.72231 | 31 |
| 50 | 0.21126 | 15 | (1.19478) | 64 | 9.70404 | 31 | 50 | 0.21980 | 14 | (1.53396) | 66 | 9.72262 | 31 |
| 51 | 0.21141 | 14 | (1.19542) | 64 | 9.70435 | 31 | 51 | 0.21994 | 14 | (1.53462) | 67 | 9.72293 | 30 |
| 52 | 0.21155 | 14 | (1.19606) | 64 | 9.70466 | 32 | 52 | 0.22008 | 15 | (1.53529) | 67 | 9.72323 | 31 |
| 53 | 0.21169 | 14 | (1.19670) | 64 | 9.70498 | 31 | 53 | 0.22023 | 14 | (1.53596) | 67 | 9.72354 | 30 |
| 54 | 0.21183 | 14 | (1.19734) | 64 | 9.70529 | 31 | 54 | 0.22037 | 14 | (1.53663) | 67 | 9.72384 | 31 |
| 55 | 0.21197 | 14 | (1.19798) | 64 | 9.70560 | 32 | 55 | 0.22051 | 14 | (1.53730) | 67 | 9.72415 | 30 |
| 56 | 0.21211 | 15 | (1.19862) | 64 | 9.70592 | 31 | 56 | 0.22065 | 15 | (1.53797) | 67 | 9.72445 | 31 |
| 57 | 0.21225 | 14 | (1.19926) | 64 | 9.70623 | 31 | 57 | 0.22080 | 14 | (1.53864) | 67 | 9.72476 | 30 |
| 58 | 0.21240 | 14 | (1.19990) | 65 | 9.70654 | 31 | 58 | 0.22094 | 14 | (1.53931) | 67 | 9.72506 | 31 |
| 59 | 0.21254 | 14 | (1.20055) | 64 | 9.70685 | 31 | 59 | 0.22108 | 15 | (1.53998) | 67 | 9.72537 | 30 |
| 60 | 0.21268 | 14 | (1.20119) | 64 | 9.70717 | 32 | 60 | 0.22123 | 15 | (1.54065) | 67 | 9.72567 | 30 |

$\omega = 28 \text{ Grad.}$ $\omega = 29 \text{ Grad.}$

| ω | z' | Diff. | $\log \cos z$ | Diff. | $\log \sin z$ | Diff. | ω | z' | Diff. | $\log \cos z$ | Diff. | $\log \sin z$ | Diff. |
|----------|---------|-------|---------------|-------|---------------|-------|----------|---------|-------|---------------|-------|---------------|-------|
| 0 | 0.22123 | 14 | (1.54065 | 67 | 9.72567 | 31 | 0 | 0.22985 | 15 | (1.58181 | 70 | 9.74375 | 30 |
| 1 | 0.22137 | 14 | (1.54132 | 68 | 9.72598 | 30 | 1 | 0.22990 | 14 | (1.58251 | 70 | 9.74405 | 30 |
| 2 | 0.22151 | 15 | (1.54180 | 67 | 9.72628 | 31 | 2 | 0.23014 | 14 | (1.58321 | 70 | 9.74435 | 30 |
| 3 | 0.22166 | 14 | (1.54267 | 67 | 9.72659 | 30 | 3 | 0.23028 | 15 | (1.58391 | 70 | 9.74465 | 29 |
| 4 | 0.22180 | 14 | (1.54334 | 68 | 9.72689 | 31 | 4 | 0.23043 | 14 | (1.58461 | 70 | 9.74494 | 30 |
| 5 | 0.22194 | 15 | (1.54402 | 67 | 9.72720 | 30 | 5 | 0.23057 | 15 | (1.58531 | 71 | 9.74521 | 30 |
| 6 | 0.22209 | 14 | (1.54469 | 67 | 9.72750 | 30 | 6 | 0.23072 | 14 | (1.58602 | 70 | 9.74551 | 29 |
| 7 | 0.22223 | 14 | (1.54536 | 68 | 9.72780 | 31 | 7 | 0.23086 | 15 | (1.58672 | 70 | 9.74580 | 30 |
| 8 | 0.22237 | 14 | (1.54604 | 68 | 9.72811 | 30 | 8 | 0.23101 | 14 | (1.58742 | 71 | 9.74613 | 30 |
| 9 | 0.22251 | 15 | (1.54672 | 67 | 9.72841 | 31 | 9 | 0.23115 | 15 | (1.58813 | 70 | 9.74643 | 30 |
| 10 | 0.22266 | 14 | (1.54739 | 68 | 9.72872 | 30 | 10 | 0.23130 | 14 | (1.58883 | 71 | 9.74673 | 29 |
| 11 | 0.22280 | 14 | (1.54807 | 68 | 9.72902 | 30 | 11 | 0.23144 | 15 | (1.58954 | 71 | 9.74702 | 30 |
| 12 | 0.22294 | 15 | (1.54875 | 67 | 9.72932 | 31 | 12 | 0.23159 | 14 | (1.59025 | 70 | 9.74732 | 30 |
| 13 | 0.22309 | 14 | (1.54942 | 68 | 9.72963 | 30 | 13 | 0.23173 | 15 | (1.59095 | 71 | 9.74762 | 29 |
| 14 | 0.22323 | 14 | (1.55010 | 68 | 9.72993 | 30 | 14 | 0.23188 | 14 | (1.59166 | 71 | 9.74791 | 30 |
| 15 | 0.22337 | 15 | (1.55078 | 68 | 9.73023 | 31 | 15 | 0.23202 | 15 | (1.59237 | 70 | 9.74821 | 30 |
| 16 | 0.22352 | 14 | (1.55146 | 68 | 9.73054 | 30 | 16 | 0.23217 | 14 | (1.59307 | 71 | 9.74851 | 29 |
| 17 | 0.22366 | 14 | (1.55214 | 68 | 9.73084 | 30 | 17 | 0.23231 | 15 | (1.59378 | 71 | 9.74880 | 30 |
| 18 | 0.22381 | 14 | (1.55282 | 68 | 9.73114 | 31 | 18 | 0.23246 | 14 | (1.59449 | 71 | 9.74910 | 29 |
| 19 | 0.22395 | 15 | (1.55350 | 68 | 9.73144 | 31 | 19 | 0.23260 | 15 | (1.59520 | 71 | 9.74939 | 30 |
| 20 | 0.22409 | 14 | (1.55418 | 68 | 9.73175 | 30 | 20 | 0.23275 | 14 | (1.59591 | 71 | 9.74969 | 29 |
| 21 | 0.22424 | 14 | (1.55486 | 68 | 9.73205 | 30 | 21 | 0.23289 | 14 | (1.59662 | 71 | 9.74998 | 30 |
| 22 | 0.22438 | 14 | (1.55554 | 69 | 9.73235 | 30 | 22 | 0.23303 | 15 | (1.59733 | 71 | 9.75028 | 29 |
| 23 | 0.22452 | 15 | (1.55622 | 68 | 9.73265 | 30 | 23 | 0.23318 | 14 | (1.59804 | 71 | 9.75058 | 29 |
| 24 | 0.22467 | 14 | (1.55691 | 68 | 9.73295 | 31 | 24 | 0.23332 | 15 | (1.59875 | 71 | 9.75087 | 30 |
| 25 | 0.22481 | 14 | (1.55759 | 69 | 9.73326 | 30 | 25 | 0.23347 | 14 | (1.59946 | 72 | 9.75117 | 29 |
| 26 | 0.22495 | 15 | (1.55828 | 68 | 9.73356 | 30 | 26 | 0.23361 | 15 | (1.60018 | 71 | 9.75146 | 30 |
| 27 | 0.22510 | 14 | (1.55896 | 68 | 9.73386 | 30 | 27 | 0.23376 | 15 | (1.60089 | 71 | 9.75176 | 29 |
| 28 | 0.22524 | 14 | (1.55964 | 69 | 9.73416 | 30 | 28 | 0.23391 | 14 | (1.60160 | 72 | 9.75205 | 30 |
| 29 | 0.22538 | 15 | (1.56033 | 68 | 9.73446 | 30 | 29 | 0.23405 | 15 | (1.60232 | 71 | 9.75235 | 29 |
| 30 | 0.22553 | 14 | (1.56101 | 69 | 9.73476 | 31 | 30 | 0.23420 | 14 | (1.60303 | 72 | 9.75264 | 30 |
| 31 | 0.22567 | 15 | (1.56170 | 69 | 9.73506 | 30 | 31 | 0.23434 | 15 | (1.60375 | 72 | 9.75294 | 29 |
| 32 | 0.22582 | 14 | (1.56239 | 68 | 9.73537 | 30 | 32 | 0.23449 | 14 | (1.60446 | 72 | 9.75323 | 30 |
| 33 | 0.22596 | 14 | (1.56307 | 69 | 9.73567 | 30 | 33 | 0.23463 | 15 | (1.60518 | 72 | 9.75353 | 29 |
| 34 | 0.22610 | 15 | (1.56376 | 69 | 9.73597 | 30 | 34 | 0.23478 | 14 | (1.60590 | 72 | 9.75382 | 30 |
| 35 | 0.22625 | 14 | (1.56445 | 69 | 9.73627 | 30 | 35 | 0.23492 | 15 | (1.60661 | 72 | 9.75411 | 30 |
| 36 | 0.22639 | 15 | (1.56514 | 69 | 9.73657 | 30 | 36 | 0.23506 | 14 | (1.60733 | 72 | 9.75441 | 29 |
| 37 | 0.22654 | 14 | (1.56583 | 69 | 9.73687 | 30 | 37 | 0.23521 | 15 | (1.60805 | 72 | 9.75470 | 30 |
| 38 | 0.22668 | 14 | (1.56652 | 69 | 9.73717 | 30 | 38 | 0.23536 | 14 | (1.60877 | 72 | 9.75500 | 29 |
| 39 | 0.22682 | 15 | (1.56721 | 69 | 9.73747 | 30 | 39 | 0.23550 | 15 | (1.60948 | 72 | 9.75529 | 30 |
| 40 | 0.22697 | 14 | (1.56790 | 69 | 9.73777 | 30 | 40 | 0.23565 | 14 | (1.61020 | 72 | 9.75558 | 30 |
| 41 | 0.22711 | 15 | (1.56859 | 69 | 9.73807 | 30 | 41 | 0.23579 | 15 | (1.61092 | 72 | 9.75588 | 29 |
| 42 | 0.22726 | 14 | (1.56928 | 69 | 9.73837 | 30 | 42 | 0.23594 | 14 | (1.61164 | 73 | 9.75617 | 30 |
| 43 | 0.22740 | 14 | (1.56997 | 69 | 9.73867 | 30 | 43 | 0.23608 | 15 | (1.61237 | 72 | 9.75647 | 29 |
| 44 | 0.22754 | 15 | (1.57066 | 70 | 9.73897 | 30 | 44 | 0.23623 | 15 | (1.61309 | 72 | 9.75676 | 30 |
| 45 | 0.22769 | 14 | (1.57136 | 69 | 9.73927 | 30 | 45 | 0.23637 | 14 | (1.61381 | 72 | 9.75705 | 30 |
| 46 | 0.22783 | 14 | (1.57205 | 69 | 9.73957 | 30 | 46 | 0.23652 | 15 | (1.61453 | 72 | 9.75735 | 29 |
| 47 | 0.22798 | 14 | (1.57274 | 70 | 9.73987 | 30 | 47 | 0.23667 | 14 | (1.61525 | 73 | 9.75764 | 30 |
| 48 | 0.22812 | 14 | (1.57344 | 69 | 9.74017 | 30 | 48 | 0.23681 | 15 | (1.61598 | 72 | 9.75793 | 29 |
| 49 | 0.22826 | 14 | (1.57413 | 70 | 9.74047 | 30 | 49 | 0.23696 | 14 | (1.61670 | 72 | 9.75822 | 30 |
| 50 | 0.22841 | 14 | (1.57483 | 69 | 9.74077 | 30 | 50 | 0.23710 | 15 | (1.61742 | 73 | 9.75852 | 29 |
| 51 | 0.22855 | 15 | (1.57552 | 70 | 9.74107 | 30 | 51 | 0.23725 | 14 | (1.61815 | 72 | 9.75881 | 30 |
| 52 | 0.22870 | 14 | (1.57622 | 70 | 9.74137 | 29 | 52 | 0.23739 | 15 | (1.61887 | 72 | 9.75910 | 30 |
| 53 | 0.22884 | 15 | (1.57692 | 69 | 9.74166 | 30 | 53 | 0.23754 | 15 | (1.61960 | 73 | 9.75939 | 30 |
| 54 | 0.22899 | 14 | (1.57761 | 70 | 9.74196 | 30 | 54 | 0.23769 | 14 | (1.62033 | 72 | 9.75969 | 29 |
| 55 | 0.22913 | 14 | (1.57831 | 70 | 9.74226 | 30 | 55 | 0.23783 | 15 | (1.62105 | 72 | 9.75998 | 30 |
| 56 | 0.22927 | 15 | (1.57901 | 70 | 9.74256 | 30 | 56 | 0.23798 | 14 | (1.62178 | 73 | 9.76027 | 29 |
| 57 | 0.22942 | 14 | (1.57971 | 70 | 9.74286 | 30 | 57 | 0.23812 | 15 | (1.62251 | 73 | 9.76056 | 30 |
| 58 | 0.22956 | 14 | (1.58041 | 70 | 9.74316 | 29 | 58 | 0.23827 | 14 | (1.62324 | 72 | 9.76086 | 30 |
| 59 | 0.22971 | 15 | (1.58111 | 70 | 9.74345 | 30 | 59 | 0.23841 | 15 | (1.62396 | 73 | 9.76115 | 29 |
| 60 | 0.22985 | 14 | (1.58181 | 70 | 9.74375 | 30 | 60 | 0.23856 | 14 | (1.62469 | 73 | 9.76144 | 30 |

$\omega = 30 \text{ Grad.}$ $\omega = 31 \text{ Grad.}$

| ω | z' | Diff. | $\log \cos z$ | D $\frac{1}{2}$ | $\log \sin z$ | Diff. | ω | z' | Diff. | $\log \cos z$ | D $\frac{1}{2}$ | $\log \sin z$ | Diff. |
|----------|---------|-------|---------------|-----------------|---------------|-------|----------|---------|-------|---------------|-----------------|---------------|-------|
| 0 | 0.23856 | | (1.62469 | 73 | 9.76144 | 29 | 0 | 0.24736 | | (1.66334 | 76 | 9.77877 | 29 |
| 1 | 0.23871 | 15 | (1.62542 | 73 | 9.76173 | 29 | 1 | 0.24751 | 15 | (1.67010 | 76 | 9.77906 | 29 |
| 2 | 0.23885 | 15 | (1.62615 | 73 | 9.76202 | 29 | 2 | 0.24765 | 15 | (1.67686 | 76 | 9.77935 | 29 |
| 3 | 0.23900 | 15 | (1.62688 | 73 | 9.76231 | 29 | 3 | 0.24780 | 15 | (1.67762 | 76 | 9.77963 | 29 |
| 4 | 0.23914 | 15 | (1.62762 | 74 | 9.76261 | 30 | 4 | 0.24795 | 15 | (1.67838 | 76 | 9.77992 | 29 |
| 5 | 0.23929 | 15 | (1.62835 | 73 | 9.76290 | 29 | 5 | 0.24810 | 15 | (1.67915 | 77 | 9.78020 | 29 |
| 6 | 0.23944 | 15 | (1.62908 | 73 | 9.76319 | 29 | 6 | 0.24824 | 15 | (1.67991 | 76 | 9.78049 | 29 |
| 7 | 0.23958 | 14 | (1.62981 | 73 | 9.76348 | 29 | 7 | 0.24839 | 15 | (1.67967 | 76 | 9.78077 | 29 |
| 8 | 0.23973 | 15 | (1.63054 | 74 | 9.76377 | 29 | 8 | 0.24854 | 15 | (1.67543 | 76 | 9.78106 | 29 |
| 9 | 0.23987 | 14 | (1.63128 | 73 | 9.76406 | 29 | 9 | 0.24869 | 15 | (1.67620 | 77 | 9.78135 | 29 |
| 10 | 0.24002 | 15 | (1.63201 | 73 | 9.76435 | 29 | 10 | 0.24883 | 14 | (1.67696 | 76 | 9.78163 | 29 |
| 11 | 0.24017 | 15 | (1.63275 | 74 | 9.76464 | 29 | 11 | 0.24898 | 15 | (1.67772 | 76 | 9.78192 | 29 |
| 12 | 0.24031 | 14 | (1.63348 | 73 | 9.76493 | 29 | 12 | 0.24913 | 15 | (1.67849 | 77 | 9.78220 | 29 |
| 13 | 0.24046 | 15 | (1.63422 | 74 | 9.76522 | 29 | 13 | 0.24928 | 15 | (1.67925 | 76 | 9.78249 | 29 |
| 14 | 0.24061 | 15 | (1.63495 | 73 | 9.76551 | 29 | 14 | 0.24942 | 14 | (1.68002 | 77 | 9.78277 | 29 |
| 15 | 0.24075 | 14 | (1.63569 | 74 | 9.76580 | 29 | 15 | 0.24957 | 15 | (1.68079 | 77 | 9.78306 | 29 |
| 16 | 0.24090 | 15 | (1.63643 | 74 | 9.76609 | 30 | 16 | 0.24972 | 15 | (1.68155 | 76 | 9.78334 | 29 |
| 17 | 0.24104 | 15 | (1.63716 | 74 | 9.76639 | 30 | 17 | 0.24987 | 15 | (1.68232 | 77 | 9.78363 | 29 |
| 18 | 0.24119 | 15 | (1.63790 | 74 | 9.76668 | 29 | 18 | 0.25002 | 15 | (1.68309 | 77 | 9.78391 | 29 |
| 19 | 0.24133 | 15 | (1.63864 | 74 | 9.76697 | 29 | 19 | 0.25016 | 14 | (1.68386 | 77 | 9.78419 | 29 |
| 20 | 0.24148 | 15 | (1.63938 | 74 | 9.76725 | 29 | 20 | 0.25031 | 15 | (1.68463 | 77 | 9.78448 | 29 |
| 21 | 0.24163 | 15 | (1.64012 | 74 | 9.76754 | 29 | 21 | 0.25046 | 15 | (1.68540 | 77 | 9.78476 | 29 |
| 22 | 0.24178 | 15 | (1.64086 | 74 | 9.76783 | 29 | 22 | 0.25061 | 15 | (1.68617 | 77 | 9.78505 | 29 |
| 23 | 0.24192 | 14 | (1.64160 | 74 | 9.76812 | 29 | 23 | 0.25075 | 14 | (1.68694 | 77 | 9.78533 | 29 |
| 24 | 0.24207 | 15 | (1.64234 | 74 | 9.76841 | 29 | 24 | 0.25090 | 15 | (1.68771 | 77 | 9.78562 | 29 |
| 25 | 0.24222 | 15 | (1.64308 | 74 | 9.76870 | 29 | 25 | 0.25105 | 15 | (1.68848 | 77 | 9.78590 | 29 |
| 26 | 0.24236 | 14 | (1.64382 | 74 | 9.76899 | 29 | 26 | 0.25120 | 15 | (1.68925 | 77 | 9.78618 | 29 |
| 27 | 0.24251 | 15 | (1.64457 | 75 | 9.76928 | 29 | 27 | 0.25135 | 15 | (1.69002 | 77 | 9.78647 | 29 |
| 28 | 0.24265 | 14 | (1.64531 | 74 | 9.76957 | 29 | 28 | 0.25149 | 14 | (1.69079 | 77 | 9.78675 | 29 |
| 29 | 0.24280 | 15 | (1.64605 | 75 | 9.76986 | 29 | 29 | 0.25164 | 15 | (1.69157 | 78 | 9.78704 | 29 |
| 30 | 0.24295 | 15 | (1.64680 | 74 | 9.77015 | 29 | 30 | 0.25179 | 15 | (1.69234 | 77 | 9.78732 | 29 |
| 31 | 0.24309 | 14 | (1.64754 | 75 | 9.77044 | 29 | 31 | 0.25194 | 15 | (1.69312 | 78 | 9.78760 | 29 |
| 32 | 0.24324 | 15 | (1.64829 | 74 | 9.77073 | 28 | 32 | 0.25209 | 15 | (1.69389 | 77 | 9.78789 | 29 |
| 33 | 0.24339 | 14 | (1.64903 | 75 | 9.77101 | 29 | 33 | 0.25224 | 15 | (1.69467 | 78 | 9.78817 | 29 |
| 34 | 0.24353 | 15 | (1.64978 | 75 | 9.77130 | 29 | 34 | 0.25238 | 14 | (1.69544 | 77 | 9.78845 | 29 |
| 35 | 0.24368 | 15 | (1.65052 | 75 | 9.77159 | 29 | 35 | 0.25253 | 15 | (1.69622 | 78 | 9.78874 | 29 |
| 36 | 0.24383 | 14 | (1.65127 | 75 | 9.77188 | 29 | 36 | 0.25268 | 15 | (1.69700 | 78 | 9.78902 | 29 |
| 37 | 0.24397 | 15 | (1.65202 | 75 | 9.77217 | 29 | 37 | 0.25283 | 15 | (1.69777 | 77 | 9.78930 | 29 |
| 38 | 0.24412 | 15 | (1.65277 | 74 | 9.77246 | 28 | 38 | 0.25298 | 15 | (1.69855 | 78 | 9.78959 | 29 |
| 39 | 0.24427 | 15 | (1.65351 | 75 | 9.77274 | 29 | 39 | 0.25313 | 15 | (1.69933 | 78 | 9.78987 | 29 |
| 40 | 0.24442 | 14 | (1.65426 | 75 | 9.77303 | 29 | 40 | 0.25328 | 14 | (1.70011 | 78 | 9.79015 | 29 |
| 41 | 0.24456 | 15 | (1.65501 | 75 | 9.77332 | 29 | 41 | 0.25342 | 15 | (1.70089 | 78 | 9.79043 | 29 |
| 42 | 0.24471 | 15 | (1.65576 | 75 | 9.77361 | 29 | 42 | 0.25357 | 15 | (1.70167 | 78 | 9.79072 | 29 |
| 43 | 0.24486 | 14 | (1.65651 | 75 | 9.77390 | 28 | 43 | 0.25372 | 15 | (1.70245 | 78 | 9.79100 | 29 |
| 44 | 0.24500 | 15 | (1.65726 | 75 | 9.77418 | 28 | 44 | 0.25387 | 15 | (1.70323 | 78 | 9.79128 | 29 |
| 45 | 0.24515 | 15 | (1.65801 | 76 | 9.77447 | 29 | 45 | 0.25402 | 15 | (1.70401 | 78 | 9.79156 | 29 |
| 46 | 0.24530 | 14 | (1.65877 | 75 | 9.77476 | 29 | 46 | 0.25417 | 15 | (1.70479 | 78 | 9.79185 | 29 |
| 47 | 0.24544 | 15 | (1.65952 | 75 | 9.77505 | 28 | 47 | 0.25431 | 14 | (1.70558 | 78 | 9.79213 | 29 |
| 48 | 0.24559 | 15 | (1.66027 | 75 | 9.77533 | 29 | 48 | 0.25446 | 15 | (1.70636 | 78 | 9.79241 | 29 |
| 49 | 0.24574 | 15 | (1.66102 | 76 | 9.77562 | 29 | 49 | 0.25461 | 15 | (1.70714 | 78 | 9.79269 | 29 |
| 50 | 0.24589 | 14 | (1.66178 | 75 | 9.77591 | 28 | 50 | 0.25476 | 15 | (1.70793 | 79 | 9.79297 | 29 |
| 51 | 0.24603 | 15 | (1.66253 | 76 | 9.77619 | 29 | 51 | 0.25491 | 15 | (1.70871 | 79 | 9.79326 | 29 |
| 52 | 0.24618 | 15 | (1.66329 | 75 | 9.77648 | 29 | 52 | 0.25506 | 15 | (1.70950 | 78 | 9.79354 | 29 |
| 53 | 0.24633 | 14 | (1.66404 | 76 | 9.77677 | 29 | 53 | 0.25521 | 15 | (1.71028 | 78 | 9.79382 | 29 |
| 54 | 0.24647 | 15 | (1.66480 | 75 | 9.77706 | 28 | 54 | 0.25535 | 14 | (1.71107 | 79 | 9.79410 | 29 |
| 55 | 0.24662 | 15 | (1.66555 | 76 | 9.77734 | 29 | 55 | 0.25550 | 15 | (1.71185 | 79 | 9.79438 | 29 |
| 56 | 0.24677 | 15 | (1.66631 | 76 | 9.77763 | 28 | 56 | 0.25565 | 15 | (1.71264 | 79 | 9.79466 | 29 |
| 57 | 0.24692 | 11 | (1.66707 | 76 | 9.77791 | 29 | 57 | 0.25580 | 15 | (1.71343 | 79 | 9.79495 | 29 |
| 58 | 0.24706 | 15 | (1.66783 | 76 | 9.77820 | 29 | 58 | 0.25595 | 15 | (1.71422 | 79 | 9.79523 | 29 |
| 59 | 0.24721 | 15 | (1.66859 | 76 | 9.77849 | 29 | 59 | 0.25610 | 15 | (1.71501 | 79 | 9.79551 | 29 |
| 60 | 0.24736 | 15 | (1.66934 | 75 | 9.77877 | 28 | 60 | 0.25625 | 15 | (1.71580 | 79 | 9.79579 | 29 |

$w = 32 \text{ Grad.}$ $w = 33 \text{ Grad.}$

| w | z' | Diff. | $\log \cos z$ | Diff. | $\log \sin z$ | Diff. | w | z' | Diff. | $\log \cos z$ | Diff. | $\log \sin z$ | Diff. |
|-----|---------|-------|---------------|-------|---------------|-------|-----|---------|-------|---------------|-------|---------------|-------|
| 0 | 0.25625 | 15 | (1.71580) | 78 | 9.79579 | 28 | 0 | 0.25524 | 15 | (1.76409) | 82 | 9.81252 | 27 |
| 1 | 0.25640 | 15 | (1.71658) | 79 | 9.79607 | 28 | 1 | 0.25539 | 15 | (1.76491) | 82 | 9.81279 | 28 |
| 2 | 0.25655 | 15 | (1.71737) | 80 | 9.79635 | 28 | 2 | 0.25554 | 15 | (1.76573) | 82 | 9.81307 | 28 |
| 3 | 0.25670 | 14 | (1.71817) | 79 | 9.79663 | 28 | 3 | 0.25569 | 15 | (1.76655) | 82 | 9.81335 | 27 |
| 4 | 0.25684 | 15 | (1.71896) | 79 | 9.79691 | 28 | 4 | 0.25584 | 15 | (1.76737) | 82 | 9.81362 | 28 |
| 5 | 0.25699 | 15 | (1.71975) | 79 | 9.79719 | 28 | 5 | 0.25599 | 15 | (1.76819) | 83 | 9.81390 | 28 |
| 6 | 0.25714 | 15 | (1.72054) | 79 | 9.79747 | 29 | 6 | 0.25614 | 15 | (1.76902) | 82 | 9.81418 | 28 |
| 7 | 0.25729 | 15 | (1.72133) | 80 | 9.79776 | 28 | 7 | 0.25629 | 15 | (1.76984) | 83 | 9.81445 | 27 |
| 8 | 0.25744 | 15 | (1.72213) | 79 | 9.79804 | 28 | 8 | 0.25644 | 15 | (1.77067) | 82 | 9.81473 | 27 |
| 9 | 0.25759 | 15 | (1.72292) | 79 | 9.79832 | 28 | 9 | 0.25659 | 15 | (1.77149) | 83 | 9.81500 | 28 |
| 10 | 0.25774 | 15 | (1.72371) | 80 | 9.79860 | 28 | 10 | 0.25674 | 15 | (1.77232) | 82 | 9.81528 | 28 |
| 11 | 0.25789 | 15 | (1.72451) | 79 | 9.79888 | 28 | 11 | 0.25689 | 16 | (1.77314) | 83 | 9.81556 | 27 |
| 12 | 0.25804 | 15 | (1.72530) | 80 | 9.79916 | 28 | 12 | 0.25705 | 15 | (1.77397) | 83 | 9.81583 | 28 |
| 13 | 0.25819 | 15 | (1.72610) | 80 | 9.79944 | 28 | 13 | 0.25720 | 15 | (1.77480) | 82 | 9.81611 | 28 |
| 14 | 0.25834 | 15 | (1.72690) | 79 | 9.79972 | 28 | 14 | 0.25735 | 15 | (1.77562) | 83 | 9.81638 | 28 |
| 15 | 0.25849 | 14 | (1.72769) | 80 | 9.80000 | 28 | 15 | 0.25750 | 15 | (1.77645) | 83 | 9.81666 | 28 |
| 16 | 0.25863 | 15 | (1.72849) | 80 | 9.80028 | 28 | 16 | 0.25765 | 15 | (1.77728) | 83 | 9.81693 | 27 |
| 17 | 0.25878 | 15 | (1.72929) | 80 | 9.80056 | 28 | 17 | 0.25780 | 15 | (1.77811) | 83 | 9.81721 | 28 |
| 18 | 0.25893 | 15 | (1.73009) | 80 | 9.80084 | 28 | 18 | 0.25795 | 15 | (1.77894) | 83 | 9.81748 | 28 |
| 19 | 0.25908 | 15 | (1.73089) | 80 | 9.80112 | 28 | 19 | 0.25810 | 15 | (1.77977) | 83 | 9.81776 | 28 |
| 20 | 0.25923 | 15 | (1.73169) | 80 | 9.80140 | 28 | 20 | 0.25825 | 16 | (1.78060) | 83 | 9.81803 | 28 |
| 21 | 0.25938 | 15 | (1.73249) | 80 | 9.80168 | 27 | 21 | 0.25841 | 15 | (1.78143) | 83 | 9.81831 | 28 |
| 22 | 0.25953 | 15 | (1.73329) | 80 | 9.80195 | 27 | 22 | 0.25856 | 15 | (1.78226) | 83 | 9.81858 | 27 |
| 23 | 0.25968 | 15 | (1.73409) | 80 | 9.80223 | 28 | 23 | 0.25871 | 15 | (1.78309) | 84 | 9.81886 | 28 |
| 24 | 0.25983 | 15 | (1.73489) | 80 | 9.80251 | 28 | 24 | 0.25886 | 15 | (1.78393) | 83 | 9.81913 | 28 |
| 25 | 0.25998 | 15 | (1.73569) | 80 | 9.80279 | 28 | 25 | 0.25901 | 15 | (1.78476) | 83 | 9.81941 | 28 |
| 26 | 0.26013 | 15 | (1.73649) | 81 | 9.80307 | 28 | 26 | 0.25916 | 15 | (1.78559) | 84 | 9.81968 | 27 |
| 27 | 0.26028 | 15 | (1.73729) | 80 | 9.80335 | 27 | 27 | 0.25931 | 15 | (1.78643) | 83 | 9.81996 | 28 |
| 28 | 0.26043 | 15 | (1.73810) | 80 | 9.80363 | 28 | 28 | 0.25946 | 15 | (1.78726) | 83 | 9.82023 | 28 |
| 29 | 0.26058 | 15 | (1.73890) | 81 | 9.80391 | 28 | 29 | 0.25961 | 15 | (1.78810) | 83 | 9.82051 | 28 |
| 30 | 0.26073 | 15 | (1.73971) | 80 | 9.80419 | 28 | 30 | 0.25977 | 15 | (1.78893) | 84 | 9.82078 | 27 |
| 31 | 0.26088 | 15 | (1.74051) | 81 | 9.80447 | 28 | 31 | 0.25992 | 15 | (1.78977) | 84 | 9.82106 | 28 |
| 32 | 0.26103 | 15 | (1.74132) | 81 | 9.80474 | 28 | 32 | 0.26007 | 15 | (1.79061) | 83 | 9.82133 | 28 |
| 33 | 0.26118 | 15 | (1.74212) | 81 | 9.80502 | 28 | 33 | 0.26022 | 15 | (1.79144) | 84 | 9.82161 | 28 |
| 34 | 0.26133 | 15 | (1.74293) | 81 | 9.80530 | 28 | 34 | 0.26037 | 15 | (1.79228) | 84 | 9.82188 | 27 |
| 35 | 0.26148 | 15 | (1.74374) | 81 | 9.80558 | 28 | 35 | 0.26053 | 15 | (1.79312) | 84 | 9.82215 | 27 |
| 36 | 0.26163 | 15 | (1.74455) | 81 | 9.80586 | 28 | 36 | 0.26068 | 15 | (1.79396) | 84 | 9.82243 | 27 |
| 37 | 0.26178 | 15 | (1.74535) | 81 | 9.80614 | 28 | 37 | 0.26083 | 15 | (1.79480) | 84 | 9.82270 | 27 |
| 38 | 0.26193 | 15 | (1.74616) | 81 | 9.80642 | 27 | 38 | 0.26098 | 15 | (1.79564) | 84 | 9.82298 | 28 |
| 39 | 0.26208 | 15 | (1.74697) | 81 | 9.80669 | 28 | 39 | 0.26113 | 15 | (1.79648) | 85 | 9.82325 | 27 |
| 40 | 0.26223 | 15 | (1.74778) | 81 | 9.80697 | 28 | 40 | 0.26128 | 15 | (1.79732) | 84 | 9.82352 | 27 |
| 41 | 0.26238 | 15 | (1.74859) | 81 | 9.80725 | 28 | 41 | 0.26144 | 15 | (1.79816) | 85 | 9.82380 | 28 |
| 42 | 0.26253 | 15 | (1.74940) | 81 | 9.80753 | 28 | 42 | 0.26159 | 15 | (1.79901) | 85 | 9.82407 | 27 |
| 43 | 0.26268 | 15 | (1.75021) | 81 | 9.80781 | 28 | 43 | 0.26174 | 15 | (1.79985) | 84 | 9.82435 | 28 |
| 44 | 0.26283 | 15 | (1.75103) | 81 | 9.80808 | 28 | 44 | 0.26189 | 15 | (1.80069) | 85 | 9.82462 | 27 |
| 45 | 0.26298 | 15 | (1.75184) | 81 | 9.80836 | 28 | 45 | 0.26204 | 16 | (1.80154) | 85 | 9.82489 | 28 |
| 46 | 0.26313 | 15 | (1.75265) | 81 | 9.80864 | 28 | 46 | 0.26220 | 15 | (1.80238) | 85 | 9.82517 | 27 |
| 47 | 0.26328 | 15 | (1.75346) | 82 | 9.80892 | 27 | 47 | 0.26235 | 15 | (1.80323) | 85 | 9.82544 | 27 |
| 48 | 0.26343 | 15 | (1.75428) | 81 | 9.80919 | 27 | 48 | 0.26250 | 15 | (1.80407) | 85 | 9.82571 | 27 |
| 49 | 0.26358 | 15 | (1.75509) | 81 | 9.80947 | 28 | 49 | 0.26265 | 15 | (1.80492) | 84 | 9.82599 | 28 |
| 50 | 0.26373 | 15 | (1.75591) | 81 | 9.80975 | 28 | 50 | 0.26280 | 16 | (1.80576) | 85 | 9.82626 | 27 |
| 51 | 0.26388 | 15 | (1.75672) | 82 | 9.81003 | 28 | 51 | 0.26296 | 15 | (1.80661) | 85 | 9.82653 | 27 |
| 52 | 0.26403 | 15 | (1.75754) | 82 | 9.81030 | 27 | 52 | 0.26311 | 15 | (1.80746) | 85 | 9.82681 | 28 |
| 53 | 0.26418 | 15 | (1.75836) | 81 | 9.81058 | 28 | 53 | 0.26326 | 15 | (1.80831) | 85 | 9.82708 | 27 |
| 54 | 0.26433 | 15 | (1.75917) | 82 | 9.81086 | 27 | 54 | 0.26341 | 15 | (1.80915) | 85 | 9.82735 | 27 |
| 55 | 0.26448 | 15 | (1.75999) | 82 | 9.81113 | 27 | 55 | 0.26356 | 15 | (1.81000) | 85 | 9.82762 | 27 |
| 56 | 0.26463 | 15 | (1.76081) | 82 | 9.81141 | 28 | 56 | 0.26372 | 15 | (1.81085) | 85 | 9.82790 | 27 |
| 57 | 0.26478 | 15 | (1.76163) | 82 | 9.81169 | 28 | 57 | 0.26387 | 15 | (1.81170) | 85 | 9.82817 | 27 |
| 58 | 0.26493 | 15 | (1.76245) | 82 | 9.81196 | 27 | 58 | 0.26402 | 15 | (1.81255) | 85 | 9.82844 | 27 |
| 59 | 0.26508 | 15 | (1.76327) | 82 | 9.81224 | 28 | 59 | 0.26417 | 15 | (1.81341) | 86 | 9.82871 | 27 |
| 60 | 0.26524 | 16 | (1.76409) | 82 | 9.81252 | 28 | 60 | 0.26433 | 16 | (1.81426) | 85 | 9.82899 | 28 |

$\omega = 34 \text{ Grad.}$ $\omega = 35 \text{ Grad.}$

| ω | z' | Diff. | $\log \cos z$ | Diff. | $\log \sin z$ | Diff. | ω | z' | Diff. | $\log \cos z$ | Diff. | $\log \sin z$ | Diff. |
|----------|---------|-------|---------------|-------|---------------|-------|----------|---------|-------|---------------|-------|---------------|-------|
| 0 | 0.27433 | 15 | (1.81486 | 85 | 9.82899 | 27 | 0 | 0.28352 | 16 | (1.86635 | 89 | 9.84523 | 27 |
| 1 | 0.27448 | 15 | (1.81511 | 85 | 9.82926 | 27 | 1 | 0.28368 | 15 | (1.86724 | 89 | 9.84550 | 26 |
| 2 | 0.27463 | 15 | (1.81596 | 86 | 9.82953 | 27 | 2 | 0.28383 | 16 | (1.86813 | 88 | 9.84576 | 27 |
| 3 | 0.27478 | 15 | (1.81682 | 86 | 9.82980 | 28 | 3 | 0.28399 | 15 | (1.86901 | 89 | 9.84603 | 27 |
| 4 | 0.27494 | 15 | (1.81767 | 86 | 9.83008 | 27 | 4 | 0.28414 | 15 | (1.86990 | 88 | 9.84630 | 27 |
| 5 | 0.27509 | 15 | (1.81853 | 85 | 9.83035 | 27 | 5 | 0.28429 | 16 | (1.87078 | 89 | 9.84657 | 27 |
| 6 | 0.27524 | 15 | (1.81938 | 86 | 9.83062 | 27 | 6 | 0.28445 | 15 | (1.87167 | 89 | 9.84684 | 27 |
| 7 | 0.27539 | 15 | (1.82024 | 85 | 9.83089 | 28 | 7 | 0.28460 | 16 | (1.87256 | 89 | 9.84711 | 27 |
| 8 | 0.27555 | 15 | (1.82109 | 86 | 9.83117 | 27 | 8 | 0.28476 | 15 | (1.87345 | 89 | 9.84738 | 26 |
| 9 | 0.27570 | 15 | (1.82195 | 86 | 9.83144 | 27 | 9 | 0.28491 | 16 | (1.87434 | 89 | 9.84764 | 27 |
| 10 | 0.27585 | 15 | (1.82281 | 86 | 9.83171 | 27 | 10 | 0.28507 | 15 | (1.87523 | 89 | 9.84791 | 27 |
| 11 | 0.27600 | 15 | (1.82366 | 86 | 9.83198 | 27 | 11 | 0.28522 | 16 | (1.87612 | 89 | 9.84818 | 27 |
| 12 | 0.27616 | 15 | (1.82452 | 86 | 9.83225 | 27 | 12 | 0.28538 | 15 | (1.87701 | 89 | 9.84845 | 27 |
| 13 | 0.27631 | 15 | (1.82538 | 86 | 9.83252 | 28 | 13 | 0.28553 | 16 | (1.87790 | 89 | 9.84872 | 27 |
| 14 | 0.27646 | 15 | (1.82624 | 86 | 9.83280 | 27 | 14 | 0.28569 | 15 | (1.87879 | 90 | 9.84899 | 26 |
| 15 | 0.27661 | 15 | (1.82710 | 86 | 9.83307 | 27 | 15 | 0.28584 | 15 | (1.87969 | 89 | 9.84925 | 27 |
| 16 | 0.27677 | 15 | (1.82796 | 86 | 9.83334 | 27 | 16 | 0.28599 | 16 | (1.88058 | 89 | 9.84952 | 27 |
| 17 | 0.27692 | 15 | (1.82882 | 86 | 9.83361 | 27 | 17 | 0.28615 | 15 | (1.88147 | 90 | 9.84979 | 27 |
| 18 | 0.27707 | 15 | (1.82968 | 86 | 9.83388 | 27 | 18 | 0.28630 | 16 | (1.88237 | 89 | 9.85006 | 27 |
| 19 | 0.27723 | 15 | (1.83054 | 86 | 9.83415 | 27 | 19 | 0.28646 | 15 | (1.88326 | 90 | 9.85033 | 26 |
| 20 | 0.27738 | 15 | (1.83141 | 87 | 9.83442 | 28 | 20 | 0.28661 | 16 | (1.88416 | 89 | 9.85059 | 27 |
| 21 | 0.27753 | 15 | (1.83227 | 86 | 9.83470 | 27 | 21 | 0.28677 | 15 | (1.88505 | 90 | 9.85086 | 27 |
| 22 | 0.27769 | 15 | (1.83313 | 86 | 9.83497 | 27 | 22 | 0.28692 | 16 | (1.88595 | 90 | 9.85113 | 27 |
| 23 | 0.27784 | 15 | (1.83400 | 86 | 9.83524 | 27 | 23 | 0.28708 | 15 | (1.88685 | 89 | 9.85140 | 26 |
| 24 | 0.27799 | 15 | (1.83486 | 87 | 9.83551 | 27 | 24 | 0.28723 | 16 | (1.88774 | 90 | 9.85166 | 27 |
| 25 | 0.27814 | 15 | (1.83573 | 87 | 9.83578 | 27 | 25 | 0.28739 | 15 | (1.88864 | 90 | 9.85193 | 27 |
| 26 | 0.27830 | 15 | (1.83659 | 86 | 9.83605 | 27 | 26 | 0.28754 | 16 | (1.88954 | 90 | 9.85220 | 27 |
| 27 | 0.27845 | 15 | (1.83746 | 87 | 9.83632 | 27 | 27 | 0.28770 | 15 | (1.89044 | 90 | 9.85247 | 26 |
| 28 | 0.27860 | 15 | (1.83833 | 87 | 9.83659 | 27 | 28 | 0.28785 | 16 | (1.89134 | 90 | 9.85273 | 27 |
| 29 | 0.27876 | 15 | (1.83919 | 86 | 9.83686 | 27 | 29 | 0.28801 | 15 | (1.89224 | 90 | 9.85300 | 27 |
| 30 | 0.27891 | 15 | (1.84006 | 87 | 9.83713 | 27 | 30 | 0.28816 | 16 | (1.89314 | 90 | 9.85327 | 27 |
| 31 | 0.27906 | 15 | (1.84093 | 87 | 9.83740 | 27 | 31 | 0.28832 | 15 | (1.89404 | 90 | 9.85354 | 26 |
| 32 | 0.27922 | 15 | (1.84180 | 87 | 9.83768 | 28 | 32 | 0.28847 | 16 | (1.89494 | 91 | 9.85380 | 27 |
| 33 | 0.27937 | 15 | (1.84267 | 87 | 9.83795 | 27 | 33 | 0.28863 | 15 | (1.89585 | 90 | 9.85407 | 27 |
| 34 | 0.27952 | 15 | (1.84354 | 87 | 9.83822 | 27 | 34 | 0.28879 | 16 | (1.89675 | 90 | 9.85434 | 26 |
| 35 | 0.27968 | 15 | (1.84441 | 87 | 9.83849 | 27 | 35 | 0.28894 | 15 | (1.89765 | 91 | 9.85460 | 27 |
| 36 | 0.27983 | 15 | (1.84528 | 87 | 9.83876 | 27 | 36 | 0.28910 | 16 | (1.89856 | 90 | 9.85487 | 27 |
| 37 | 0.27998 | 15 | (1.84615 | 87 | 9.83903 | 27 | 37 | 0.28925 | 15 | (1.89946 | 91 | 9.85514 | 26 |
| 38 | 0.28014 | 15 | (1.84703 | 87 | 9.83930 | 27 | 38 | 0.28941 | 16 | (1.90037 | 90 | 9.85540 | 27 |
| 39 | 0.28029 | 15 | (1.84790 | 87 | 9.83957 | 27 | 39 | 0.28956 | 15 | (1.90127 | 91 | 9.85567 | 27 |
| 40 | 0.28045 | 15 | (1.84877 | 87 | 9.83984 | 27 | 40 | 0.28972 | 16 | (1.90218 | 91 | 9.85594 | 26 |
| 41 | 0.28060 | 15 | (1.84965 | 88 | 9.84011 | 27 | 41 | 0.28987 | 15 | (1.90309 | 90 | 9.85620 | 27 |
| 42 | 0.28075 | 15 | (1.85052 | 88 | 9.84038 | 27 | 42 | 0.29003 | 16 | (1.90399 | 91 | 9.85647 | 27 |
| 43 | 0.28091 | 15 | (1.85140 | 88 | 9.84065 | 27 | 43 | 0.29018 | 15 | (1.90490 | 91 | 9.85674 | 26 |
| 44 | 0.28106 | 15 | (1.85227 | 88 | 9.84092 | 27 | 44 | 0.29034 | 16 | (1.90581 | 91 | 9.85700 | 27 |
| 45 | 0.28121 | 15 | (1.85315 | 88 | 9.84119 | 27 | 45 | 0.29050 | 15 | (1.90672 | 91 | 9.85727 | 27 |
| 46 | 0.28137 | 15 | (1.85402 | 88 | 9.84146 | 27 | 46 | 0.29065 | 16 | (1.90763 | 91 | 9.85754 | 26 |
| 47 | 0.28152 | 15 | (1.85490 | 88 | 9.84173 | 27 | 47 | 0.29081 | 15 | (1.90854 | 91 | 9.85780 | 27 |
| 48 | 0.28167 | 15 | (1.85578 | 88 | 9.84200 | 27 | 48 | 0.29096 | 16 | (1.90945 | 91 | 9.85807 | 27 |
| 49 | 0.28183 | 15 | (1.85666 | 88 | 9.84227 | 27 | 49 | 0.29112 | 15 | (1.91036 | 91 | 9.85834 | 26 |
| 50 | 0.28198 | 15 | (1.85754 | 88 | 9.84254 | 26 | 50 | 0.29127 | 16 | (1.91127 | 92 | 9.85860 | 27 |
| 51 | 0.28214 | 15 | (1.85842 | 88 | 9.84280 | 27 | 51 | 0.29143 | 15 | (1.91219 | 91 | 9.85887 | 27 |
| 52 | 0.28229 | 15 | (1.85930 | 88 | 9.84307 | 27 | 52 | 0.29159 | 16 | (1.91310 | 91 | 9.85913 | 26 |
| 53 | 0.28244 | 15 | (1.86018 | 88 | 9.84334 | 27 | 53 | 0.29174 | 15 | (1.91401 | 92 | 9.85940 | 27 |
| 54 | 0.28260 | 15 | (1.86106 | 88 | 9.84361 | 27 | 54 | 0.29190 | 16 | (1.91493 | 91 | 9.85967 | 26 |
| 55 | 0.28275 | 15 | (1.86194 | 88 | 9.84388 | 27 | 55 | 0.29205 | 15 | (1.91584 | 91 | 9.85993 | 27 |
| 56 | 0.28291 | 15 | (1.86282 | 88 | 9.84415 | 27 | 56 | 0.29221 | 16 | (1.91676 | 91 | 9.86020 | 26 |
| 57 | 0.28306 | 15 | (1.86370 | 88 | 9.84442 | 27 | 57 | 0.29237 | 15 | (1.91767 | 92 | 9.86046 | 27 |
| 58 | 0.28321 | 15 | (1.86459 | 88 | 9.84469 | 27 | 58 | 0.29252 | 16 | (1.91859 | 92 | 9.86073 | 27 |
| 59 | 0.28337 | 15 | (1.86547 | 88 | 9.84496 | 27 | 59 | 0.29268 | 15 | (1.91951 | 91 | 9.86100 | 26 |
| 60 | 0.28352 | 15 | (1.86635 | 88 | 9.84523 | 27 | 60 | 0.29283 | 15 | (1.92042 | 91 | 9.86126 | 26 |

$\omega = 36 \text{ Grad.}$ $\omega = 37 \text{ Grad.}$

| ω | z' | Diff. | $\log \cos z$ | Diff. | $\log \sin z$ | Diff. | ω | z' | Diff. | $\log \cos z$ | Diff. | $\log \sin z$ | Diff. |
|----------|---------|-------|---------------|-------|---------------|-------|----------|---------|-------|---------------|-------|---------------|-------|
| 0 | 0.28283 | 16 | (1.92042 | 92 | 9.86126 | 27 | 0 | 0.30226 | 16 | (1.97651 | 96 | 9.87711 | 27 |
| 1 | 0.28299 | 16 | (1.92134 | 92 | 9.86153 | 26 | 1 | 0.30242 | 16 | (1.97747 | 95 | 9.87738 | 26 |
| 2 | 0.28315 | 15 | (1.92226 | 92 | 9.86179 | 27 | 2 | 0.30258 | 16 | (1.97842 | 95 | 9.87764 | 26 |
| 3 | 0.28330 | 16 | (1.92318 | 92 | 9.86206 | 36 | 3 | 0.30274 | 16 | (1.97937 | 96 | 9.87790 | 27 |
| 4 | 0.28346 | 16 | (1.92410 | 92 | 9.86232 | 27 | 4 | 0.30290 | 16 | (1.98033 | 95 | 9.87817 | 26 |
| 5 | 0.28362 | 15 | (1.92502 | 92 | 9.86259 | 26 | 5 | 0.30306 | 15 | (1.98128 | 96 | 9.87843 | 26 |
| 6 | 0.28377 | 16 | (1.92594 | 92 | 9.86285 | 27 | 6 | 0.30321 | 16 | (1.98224 | 95 | 9.87869 | 26 |
| 7 | 0.28393 | 15 | (1.92686 | 92 | 9.86312 | 26 | 7 | 0.30337 | 16 | (1.98319 | 96 | 9.87895 | 27 |
| 8 | 0.28408 | 16 | (1.92778 | 93 | 9.86338 | 27 | 8 | 0.30353 | 16 | (1.98415 | 95 | 9.87922 | 26 |
| 9 | 0.28424 | 16 | (1.92871 | 92 | 9.86365 | 27 | 9 | 0.30369 | 16 | (1.98510 | 96 | 9.87948 | 26 |
| 10 | 0.28440 | 15 | (1.92963 | 92 | 9.86392 | 26 | 10 | 0.30385 | 16 | (1.98606 | 96 | 9.87974 | 26 |
| 11 | 0.28455 | 16 | (1.93055 | 93 | 9.86418 | 27 | 11 | 0.30401 | 15 | (1.98702 | 96 | 9.88000 | 27 |
| 12 | 0.28471 | 16 | (1.93148 | 92 | 9.86445 | 26 | 12 | 0.30416 | 16 | (1.98798 | 96 | 9.88027 | 26 |
| 13 | 0.28487 | 15 | (1.93240 | 93 | 9.86471 | 27 | 13 | 0.30432 | 16 | (1.98894 | 96 | 9.88053 | 26 |
| 14 | 0.28502 | 16 | (1.93333 | 92 | 9.86498 | 26 | 14 | 0.30448 | 16 | (1.98990 | 96 | 9.88079 | 26 |
| 15 | 0.28518 | 16 | (1.93425 | 93 | 9.86524 | 27 | 15 | 0.30464 | 16 | (1.99086 | 96 | 9.88105 | 26 |
| 16 | 0.28534 | 15 | (1.93518 | 93 | 9.86551 | 36 | 16 | 0.30480 | 16 | (1.99182 | 96 | 9.88131 | 27 |
| 17 | 0.28549 | 16 | (1.93611 | 93 | 9.86577 | 27 | 17 | 0.30496 | 16 | (1.99278 | 96 | 9.88158 | 26 |
| 18 | 0.28565 | 16 | (1.93704 | 92 | 9.86603 | 27 | 18 | 0.30512 | 16 | (1.99374 | 97 | 9.88184 | 26 |
| 19 | 0.28581 | 15 | (1.93796 | 93 | 9.86630 | 26 | 19 | 0.30528 | 15 | (1.99471 | 96 | 9.88210 | 26 |
| 20 | 0.28596 | 16 | (1.93889 | 93 | 9.86656 | 27 | 20 | 0.30543 | 16 | (1.99567 | 96 | 9.88236 | 26 |
| 21 | 0.28612 | 16 | (1.93982 | 93 | 9.86683 | 26 | 21 | 0.30559 | 16 | (1.99663 | 97 | 9.88262 | 27 |
| 22 | 0.28628 | 15 | (1.94075 | 93 | 9.86709 | 27 | 22 | 0.30575 | 16 | (1.99760 | 96 | 9.88289 | 26 |
| 23 | 0.28643 | 16 | (1.94168 | 93 | 9.86736 | 26 | 23 | 0.30591 | 16 | (1.99856 | 96 | 9.88315 | 26 |
| 24 | 0.28659 | 16 | (1.94261 | 94 | 9.86762 | 27 | 24 | 0.30607 | 16 | (1.99953 | 10 | 9.88341 | 26 |
| 25 | 0.28675 | 16 | (1.94353 | 93 | 9.86789 | 27 | 25 | 0.30623 | 16 | (1.99953 | 96 | 9.88367 | 26 |
| 26 | 0.28691 | 15 | (1.94448 | 93 | 9.86815 | 26 | 26 | 0.30639 | 16 | (1.99953 | 9 | 9.88393 | 27 |
| 27 | 0.28706 | 16 | (1.94541 | 93 | 9.86842 | 27 | 27 | 0.30655 | 16 | (1.99953 | 10 | 9.88419 | 26 |
| 28 | 0.28722 | 16 | (1.94634 | 94 | 9.86868 | 26 | 28 | 0.30671 | 16 | (1.99953 | 10 | 9.88446 | 26 |
| 29 | 0.28738 | 15 | (1.94728 | 93 | 9.86894 | 27 | 29 | 0.30687 | 15 | (1.99953 | 9 | 9.88472 | 26 |
| 30 | 0.28753 | 16 | (1.94821 | 94 | 9.86921 | 27 | 30 | 0.30702 | 16 | (1.99953 | 10 | 9.88498 | 26 |
| 31 | 0.28769 | 16 | (1.94915 | 93 | 9.86947 | 27 | 31 | 0.30718 | 16 | (1.99953 | 10 | 9.88524 | 26 |
| 32 | 0.28785 | 16 | (1.95008 | 94 | 9.86974 | 36 | 32 | 0.30734 | 16 | (1.99953 | 9 | 9.88550 | 27 |
| 33 | 0.28801 | 15 | (1.95102 | 94 | 9.87000 | 27 | 33 | 0.30750 | 16 | (1.99953 | 10 | 9.88577 | 26 |
| 34 | 0.28816 | 16 | (1.95196 | 33 | 9.87027 | 27 | 34 | 0.30766 | 16 | (1.99953 | 10 | 9.88603 | 26 |
| 35 | 0.28832 | 16 | (1.95289 | 94 | 9.87053 | 26 | 35 | 0.30782 | 16 | (1.99953 | 10 | 9.88629 | 26 |
| 36 | 0.28848 | 15 | (1.95383 | 94 | 9.87079 | 26 | 36 | 0.30798 | 16 | (1.99953 | 9 | 9.88655 | 26 |
| 37 | 0.28863 | 16 | (1.95477 | 94 | 9.87106 | 27 | 37 | 0.30814 | 16 | (1.99953 | 10 | 9.88681 | 26 |
| 38 | 0.28879 | 16 | (1.95571 | 94 | 9.87132 | 26 | 38 | 0.30830 | 16 | (1.99953 | 10 | 9.88707 | 26 |
| 39 | 0.28895 | 16 | (1.95665 | 94 | 9.87158 | 27 | 39 | 0.30846 | 16 | (1.99953 | 10 | 9.88733 | 26 |
| 40 | 0.28911 | 15 | (1.95759 | 94 | 9.87185 | 27 | 40 | 0.30862 | 16 | (1.99953 | 9 | 9.88759 | 27 |
| 41 | 0.28926 | 16 | (1.95853 | 94 | 9.87211 | 26 | 41 | 0.30878 | 16 | (1.99953 | 10 | 9.88786 | 26 |
| 42 | 0.28942 | 16 | (1.95947 | 94 | 9.87238 | 26 | 42 | 0.30894 | 16 | (1.99953 | 10 | 9.88812 | 26 |
| 43 | 0.28958 | 16 | (1.96041 | 95 | 9.87264 | 26 | 43 | 0.30910 | 16 | (1.99953 | 10 | 9.88838 | 26 |
| 44 | 0.28974 | 15 | (1.96136 | 94 | 9.87290 | 26 | 44 | 0.30926 | 16 | (1.99953 | 9 | 9.88864 | 26 |
| 45 | 0.28989 | 16 | (1.96230 | 94 | 9.87317 | 27 | 45 | 0.30942 | 16 | (1.99953 | 10 | 9.88890 | 26 |
| 46 | 0.30005 | 16 | (1.96324 | 95 | 9.87343 | 26 | 46 | 0.30958 | 16 | (1.99953 | 10 | 9.88916 | 26 |
| 47 | 0.30021 | 16 | (1.96419 | 94 | 9.87369 | 27 | 47 | 0.30974 | 16 | (1.99953 | 10 | 9.88942 | 26 |
| 48 | 0.30037 | 16 | (1.96513 | 95 | 9.87396 | 26 | 48 | 0.30990 | 16 | (1.99953 | 10 | 9.88968 | 26 |
| 49 | 0.30053 | 15 | (1.96608 | 94 | 9.87422 | 26 | 49 | 0.31006 | 16 | (1.99953 | 9 | 9.88994 | 26 |
| 50 | 0.30068 | 16 | (1.96702 | 95 | 9.87448 | 27 | 50 | 0.31022 | 16 | (1.99953 | 10 | 9.89020 | 26 |
| 51 | 0.30084 | 16 | (1.96797 | 95 | 9.87475 | 27 | 51 | 0.31038 | 16 | (1.99953 | 10 | 9.89046 | 26 |
| 52 | 0.30100 | 16 | (1.96892 | 95 | 9.87501 | 26 | 52 | 0.31054 | 16 | (1.99953 | 10 | 9.89072 | 27 |
| 53 | 0.30116 | 16 | (1.96986 | 95 | 9.87527 | 26 | 53 | 0.31070 | 16 | (1.99953 | 10 | 9.89098 | 26 |
| 54 | 0.30132 | 16 | (1.97081 | 95 | 9.87554 | 27 | 54 | 0.31086 | 16 | (1.99953 | 10 | 9.89124 | 26 |
| 55 | 0.30147 | 15 | (1.97176 | 95 | 9.87580 | 26 | 55 | 0.31102 | 16 | (1.99953 | 9 | 9.89150 | 26 |
| 56 | 0.30163 | 16 | (1.97271 | 95 | 9.87606 | 26 | 56 | 0.31118 | 16 | (1.99953 | 10 | 9.89176 | 26 |
| 57 | 0.30179 | 16 | (1.97366 | 95 | 9.87633 | 27 | 57 | 0.31134 | 16 | (1.99953 | 10 | 9.89202 | 26 |
| 58 | 0.30195 | 16 | (1.97461 | 95 | 9.87659 | 26 | 58 | 0.31150 | 16 | (1.99953 | 10 | 9.89228 | 26 |
| 59 | 0.30211 | 15 | (1.97556 | 95 | 9.87685 | 26 | 59 | 0.31166 | 16 | (1.99953 | 10 | 9.89254 | 26 |
| 60 | 0.30226 | 15 | (1.97651 | 95 | 9.87711 | 26 | 60 | 0.31182 | 16 | (1.99953 | 10 | 9.89281 | 26 |

$\omega = 38 \text{ Grad.}$ $\omega = 39 \text{ Grad.}$

| ω | z' | Diff. | $\log \cos z$ | Diff. | $\log \sin z$ | Diff. | ω | z' | Diff. | $\log \cos z$ | Diff. | $\log \sin z$ | Diff. |
|----------|---------|-------|---------------|-------|---------------|-------|----------|---------|-------|---------------|-------|---------------|-------|
| 0 | 0.31182 | 16 | 0.10347 | 10 | 9.89281 | 26 | 0 | 0.32150 | 17 | 0.10950 | 10 | 9.90837 | 26 |
| 1 | 0.31198 | 16 | 0.10357 | 10 | 9.89307 | 26 | 1 | 0.32167 | 16 | 0.10960 | 10 | 9.90863 | 26 |
| 2 | 0.31214 | 16 | 0.10367 | 9 | 9.89333 | 26 | 2 | 0.32183 | 16 | 0.10970 | 10 | 9.90889 | 25 |
| 3 | 0.31230 | 16 | 0.10376 | 10 | 9.89359 | 26 | 3 | 0.32199 | 16 | 0.10980 | 11 | 9.90914 | 26 |
| 4 | 0.31246 | 16 | 0.10386 | 10 | 9.89385 | 26 | 4 | 0.32215 | 16 | 0.10991 | 11 | 9.90940 | 26 |
| 5 | 0.31262 | 16 | 0.10396 | 10 | 9.89411 | 26 | 5 | 0.32232 | 17 | 0.11001 | 10 | 9.90966 | 26 |
| 6 | 0.31278 | 16 | 0.10406 | 10 | 9.89437 | 26 | 6 | 0.32248 | 16 | 0.11011 | 11 | 9.90992 | 26 |
| 7 | 0.31294 | 16 | 0.10416 | 10 | 9.89463 | 26 | 7 | 0.32264 | 17 | 0.11022 | 11 | 9.91018 | 26 |
| 8 | 0.31310 | 16 | 0.10426 | 10 | 9.89489 | 26 | 8 | 0.32281 | 17 | 0.11032 | 10 | 9.91043 | 25 |
| 9 | 0.31326 | 16 | 0.10436 | 10 | 9.89515 | 26 | 9 | 0.32297 | 16 | 0.11042 | 10 | 9.91069 | 26 |
| 10 | 0.31342 | 16 | 0.10446 | 10 | 9.89541 | 26 | 10 | 0.32313 | 16 | 0.11052 | 10 | 9.91095 | 26 |
| 11 | 0.31358 | 16 | 0.10456 | 10 | 9.89567 | 26 | 11 | 0.32329 | 17 | 0.11063 | 11 | 9.91121 | 26 |
| 12 | 0.31374 | 17 | 0.10466 | 10 | 9.89593 | 26 | 12 | 0.32346 | 16 | 0.11073 | 10 | 9.91147 | 25 |
| 13 | 0.31391 | 16 | 0.10476 | 10 | 9.89619 | 26 | 13 | 0.32362 | 16 | 0.11083 | 11 | 9.91172 | 25 |
| 14 | 0.31407 | 16 | 0.10486 | 10 | 9.89645 | 26 | 14 | 0.32378 | 17 | 0.11094 | 11 | 9.91198 | 26 |
| 15 | 0.31423 | 16 | 0.10496 | 9 | 9.89671 | 26 | 15 | 0.32395 | 17 | 0.11104 | 10 | 9.91224 | 26 |
| 16 | 0.31439 | 16 | 0.10505 | 9 | 9.89697 | 26 | 16 | 0.32411 | 16 | 0.11114 | 10 | 9.91250 | 26 |
| 17 | 0.31455 | 16 | 0.10515 | 10 | 9.89723 | 26 | 17 | 0.32427 | 17 | 0.11125 | 11 | 9.91276 | 25 |
| 18 | 0.31471 | 16 | 0.10525 | 10 | 9.89749 | 26 | 18 | 0.32444 | 16 | 0.11135 | 10 | 9.91301 | 26 |
| 19 | 0.31487 | 16 | 0.10535 | 10 | 9.89775 | 26 | 19 | 0.32460 | 17 | 0.11145 | 11 | 9.91327 | 26 |
| 20 | 0.31503 | 16 | 0.10545 | 10 | 9.89801 | 26 | 20 | 0.32476 | 17 | 0.11156 | 10 | 9.91353 | 26 |
| 21 | 0.31519 | 16 | 0.10555 | 10 | 9.89827 | 26 | 21 | 0.32493 | 16 | 0.11166 | 10 | 9.91379 | 26 |
| 22 | 0.31535 | 16 | 0.10565 | 10 | 9.89853 | 26 | 22 | 0.32509 | 17 | 0.11176 | 11 | 9.91404 | 25 |
| 23 | 0.31552 | 17 | 0.10575 | 10 | 9.89879 | 26 | 23 | 0.32525 | 16 | 0.11187 | 11 | 9.91430 | 26 |
| 24 | 0.31568 | 16 | 0.10585 | 10 | 9.89905 | 26 | 24 | 0.32542 | 17 | 0.11197 | 10 | 9.91456 | 26 |
| 25 | 0.31584 | 16 | 0.10595 | 10 | 9.89931 | 26 | 25 | 0.32558 | 16 | 0.11207 | 10 | 9.91482 | 26 |
| 26 | 0.31600 | 16 | 0.10605 | 10 | 9.89957 | 26 | 26 | 0.32574 | 17 | 0.11218 | 11 | 9.91507 | 25 |
| 27 | 0.31616 | 16 | 0.10615 | 10 | 9.89983 | 26 | 27 | 0.32591 | 17 | 0.11228 | 11 | 9.91533 | 26 |
| 28 | 0.31632 | 16 | 0.10625 | 11 | 9.90009 | 26 | 28 | 0.32607 | 16 | 0.11239 | 11 | 9.91559 | 26 |
| 29 | 0.31648 | 16 | 0.10636 | 11 | 9.90035 | 26 | 29 | 0.32623 | 17 | 0.11249 | 10 | 9.91585 | 25 |
| 30 | 0.31664 | 17 | 0.10646 | 10 | 9.90061 | 26 | 30 | 0.32640 | 16 | 0.11259 | 11 | 9.91610 | 26 |
| 31 | 0.31681 | 16 | 0.10656 | 10 | 9.90086 | 26 | 31 | 0.32656 | 17 | 0.11270 | 11 | 9.91636 | 26 |
| 32 | 0.31697 | 16 | 0.10666 | 10 | 9.90112 | 26 | 32 | 0.32673 | 16 | 0.11280 | 10 | 9.91662 | 26 |
| 33 | 0.31713 | 16 | 0.10676 | 10 | 9.90138 | 26 | 33 | 0.32689 | 17 | 0.11291 | 11 | 9.91688 | 26 |
| 34 | 0.31729 | 16 | 0.10686 | 10 | 9.90164 | 26 | 34 | 0.32705 | 16 | 0.11301 | 11 | 9.91713 | 25 |
| 35 | 0.31745 | 16 | 0.10696 | 10 | 9.90190 | 26 | 35 | 0.32722 | 17 | 0.11312 | 10 | 9.91739 | 26 |
| 36 | 0.31761 | 17 | 0.10706 | 10 | 9.90216 | 26 | 36 | 0.32738 | 16 | 0.11322 | 10 | 9.91765 | 26 |
| 37 | 0.31778 | 16 | 0.10716 | 10 | 9.90242 | 26 | 37 | 0.32755 | 17 | 0.11332 | 11 | 9.91791 | 26 |
| 38 | 0.31794 | 16 | 0.10726 | 10 | 9.90268 | 26 | 38 | 0.32771 | 16 | 0.11343 | 11 | 9.91816 | 25 |
| 39 | 0.31810 | 16 | 0.10736 | 10 | 9.90294 | 26 | 39 | 0.32787 | 17 | 0.11353 | 11 | 9.91842 | 26 |
| 40 | 0.31826 | 16 | 0.10746 | 10 | 9.90320 | 26 | 40 | 0.32804 | 16 | 0.11364 | 11 | 9.91868 | 26 |
| 41 | 0.31842 | 16 | 0.10756 | 11 | 9.90346 | 26 | 41 | 0.32820 | 17 | 0.11374 | 11 | 9.91893 | 25 |
| 42 | 0.31858 | 17 | 0.10767 | 10 | 9.90371 | 26 | 42 | 0.32837 | 16 | 0.11385 | 10 | 9.91919 | 26 |
| 43 | 0.31875 | 16 | 0.10777 | 10 | 9.90397 | 26 | 43 | 0.32853 | 16 | 0.11395 | 11 | 9.91945 | 26 |
| 44 | 0.31891 | 16 | 0.10787 | 10 | 9.90423 | 26 | 44 | 0.32869 | 17 | 0.11406 | 10 | 9.91971 | 25 |
| 45 | 0.31907 | 16 | 0.10797 | 10 | 9.90449 | 26 | 45 | 0.32885 | 16 | 0.11416 | 11 | 9.91996 | 26 |
| 46 | 0.31923 | 16 | 0.10807 | 10 | 9.90475 | 26 | 46 | 0.32902 | 17 | 0.11427 | 10 | 9.92022 | 26 |
| 47 | 0.31939 | 17 | 0.10817 | 10 | 9.90501 | 26 | 47 | 0.32919 | 16 | 0.11437 | 11 | 9.92048 | 25 |
| 48 | 0.31956 | 16 | 0.10827 | 11 | 9.90527 | 26 | 48 | 0.32935 | 17 | 0.11448 | 10 | 9.92073 | 26 |
| 49 | 0.31972 | 16 | 0.10838 | 10 | 9.90553 | 26 | 49 | 0.32952 | 16 | 0.11458 | 11 | 9.92099 | 26 |
| 50 | 0.31988 | 16 | 0.10848 | 10 | 9.90578 | 26 | 50 | 0.32968 | 17 | 0.11469 | 10 | 9.92125 | 25 |
| 51 | 0.32004 | 16 | 0.10858 | 10 | 9.90604 | 26 | 51 | 0.32984 | 16 | 0.11479 | 11 | 9.92150 | 26 |
| 52 | 0.32020 | 17 | 0.10868 | 10 | 9.90630 | 26 | 52 | 0.33001 | 17 | 0.11490 | 11 | 9.92176 | 26 |
| 53 | 0.32037 | 16 | 0.10878 | 10 | 9.90656 | 26 | 53 | 0.33017 | 16 | 0.11501 | 10 | 9.92202 | 25 |
| 54 | 0.32053 | 16 | 0.10888 | 11 | 9.90682 | 26 | 54 | 0.33034 | 17 | 0.11511 | 11 | 9.92227 | 26 |
| 55 | 0.32069 | 16 | 0.10899 | 10 | 9.90708 | 26 | 55 | 0.33050 | 16 | 0.11522 | 10 | 9.92253 | 26 |
| 56 | 0.32085 | 17 | 0.10909 | 10 | 9.90734 | 26 | 56 | 0.33067 | 17 | 0.11532 | 11 | 9.92279 | 25 |
| 57 | 0.32102 | 16 | 0.10919 | 10 | 9.90759 | 26 | 57 | 0.33083 | 17 | 0.11543 | 10 | 9.92304 | 26 |
| 58 | 0.32118 | 16 | 0.10929 | 11 | 9.90785 | 26 | 58 | 0.33100 | 16 | 0.11553 | 11 | 9.92330 | 26 |
| 59 | 0.32134 | 16 | 0.10940 | 10 | 9.90811 | 26 | 59 | 0.33116 | 17 | 0.11564 | 11 | 9.92356 | 26 |
| 60 | 0.32150 | 16 | 0.10950 | 10 | 9.90837 | 26 | 60 | 0.33133 | 17 | 0.11575 | 11 | 9.92381 | 25 |

$\omega = 40 \text{ Grad.}$ $\omega = 41 \text{ Grad.}$

| ω | z' | Diff. | $\log \cos z$ | Diff. | $\log \sin z$ | Diff. | ω | z' | Diff. | $\log \cos z$ | Diff. | $\log \sin z$ | Diff. |
|----------|---------|-------|---------------|-------|---------------|-------|----------|---------|-------|---------------|-------|---------------|-------|
| 0 | 0.33133 | 16 | 0.11575 | 10 | 9.93381 | 26 | 0 | 0.34130 | 16 | 0.12222 | 11 | 9.93916 | 26 |
| 1 | 0.33149 | 17 | 0.11585 | 11 | 9.93407 | 26 | 1 | 0.34146 | 17 | 0.12233 | 11 | 9.93942 | 25 |
| 2 | 0.33166 | 16 | 0.11596 | 10 | 9.93433 | 25 | 2 | 0.34163 | 17 | 0.12244 | 11 | 9.93967 | 26 |
| 3 | 0.33182 | 17 | 0.11606 | 11 | 9.93458 | 26 | 3 | 0.34180 | 17 | 0.12255 | 11 | 9.93993 | 25 |
| 4 | 0.33199 | 16 | 0.11617 | 11 | 9.93484 | 26 | 4 | 0.34197 | 16 | 0.12266 | 11 | 9.94018 | 26 |
| 5 | 0.33215 | 17 | 0.11628 | 10 | 9.93510 | 25 | 5 | 0.34213 | 17 | 0.12277 | 11 | 9.94044 | 25 |
| 6 | 0.33232 | 16 | 0.11638 | 11 | 9.93535 | 26 | 6 | 0.34230 | 17 | 0.12288 | 11 | 9.94069 | 26 |
| 7 | 0.33248 | 17 | 0.11649 | 11 | 9.93561 | 26 | 7 | 0.34247 | 17 | 0.12299 | 11 | 9.94095 | 25 |
| 8 | 0.33265 | 16 | 0.11660 | 10 | 9.93587 | 25 | 8 | 0.34264 | 16 | 0.12310 | 11 | 9.94120 | 26 |
| 9 | 0.33281 | 17 | 0.11670 | 11 | 9.93612 | 26 | 9 | 0.34280 | 17 | 0.12321 | 11 | 9.94146 | 25 |
| 10 | 0.33298 | 16 | 0.11681 | 11 | 9.93638 | 25 | 10 | 0.34297 | 17 | 0.12332 | 11 | 9.94171 | 26 |
| 11 | 0.33314 | 17 | 0.11692 | 10 | 9.93663 | 26 | 11 | 0.34314 | 17 | 0.12343 | 11 | 9.94197 | 25 |
| 12 | 0.33331 | 16 | 0.11702 | 11 | 9.93689 | 26 | 12 | 0.34331 | 17 | 0.12354 | 11 | 9.94222 | 26 |
| 13 | 0.33347 | 17 | 0.11713 | 11 | 9.93715 | 26 | 13 | 0.34348 | 16 | 0.12365 | 11 | 9.94248 | 25 |
| 14 | 2.33364 | 17 | 0.11724 | 10 | 9.93740 | 25 | 14 | 0.34364 | 17 | 0.12376 | 11 | 9.94273 | 26 |
| 15 | 0.33381 | 16 | 0.11734 | 11 | 9.93766 | 26 | 15 | 0.34381 | 17 | 0.12387 | 12 | 9.94299 | 25 |
| 16 | 0.33397 | 17 | 0.11745 | 11 | 9.93792 | 25 | 16 | 0.34398 | 17 | 0.12399 | 11 | 9.94324 | 26 |
| 17 | 0.33414 | 16 | 0.11756 | 10 | 9.93817 | 26 | 17 | 0.34415 | 17 | 0.12410 | 11 | 9.94350 | 25 |
| 18 | 0.33430 | 17 | 0.11766 | 11 | 9.93843 | 25 | 18 | 0.34432 | 16 | 0.12421 | 11 | 9.94375 | 26 |
| 19 | 0.33447 | 16 | 0.11777 | 11 | 9.93868 | 25 | 19 | 0.34448 | 17 | 0.12432 | 11 | 9.94401 | 25 |
| 20 | 0.33463 | 17 | 0.11788 | 11 | 9.93894 | 26 | 20 | 0.34465 | 17 | 0.12443 | 11 | 9.94426 | 26 |
| 21 | 0.33480 | 16 | 0.11799 | 10 | 9.93920 | 25 | 21 | 0.34482 | 17 | 0.12454 | 11 | 9.94452 | 25 |
| 22 | 0.33497 | 17 | 0.11809 | 11 | 9.93945 | 26 | 22 | 0.34499 | 17 | 0.12465 | 11 | 9.94477 | 26 |
| 23 | 0.33513 | 16 | 0.11820 | 11 | 9.93971 | 25 | 23 | 0.34516 | 17 | 0.12476 | 11 | 9.94503 | 25 |
| 24 | 0.33530 | 17 | 0.11831 | 11 | 9.93996 | 26 | 24 | 0.34533 | 16 | 0.12487 | 12 | 9.94528 | 26 |
| 25 | 0.33546 | 16 | 0.11842 | 11 | 9.94022 | 25 | 25 | 0.34550 | 17 | 0.12499 | 11 | 9.94554 | 25 |
| 26 | 0.33563 | 17 | 0.11852 | 10 | 9.94048 | 25 | 26 | 0.34566 | 17 | 0.12510 | 11 | 9.94579 | 26 |
| 27 | 0.33579 | 16 | 0.11863 | 11 | 9.94073 | 26 | 27 | 0.34583 | 17 | 0.12521 | 11 | 9.94604 | 25 |
| 28 | 0.33596 | 17 | 0.11874 | 11 | 9.94099 | 25 | 28 | 0.34600 | 17 | 0.12532 | 11 | 9.94630 | 26 |
| 29 | 0.33613 | 16 | 0.11885 | 11 | 9.94124 | 25 | 29 | 0.34617 | 17 | 0.12543 | 11 | 9.94655 | 25 |
| 30 | 0.33629 | 17 | 0.11895 | 10 | 9.94150 | 26 | 30 | 0.34634 | 17 | 0.12554 | 12 | 9.94681 | 25 |
| 31 | 0.33646 | 16 | 0.11906 | 11 | 9.94175 | 25 | 31 | 0.34651 | 16 | 0.12566 | 11 | 9.94706 | 26 |
| 32 | 0.33663 | 17 | 0.11917 | 11 | 9.94201 | 26 | 32 | 0.34667 | 17 | 0.12577 | 11 | 9.94732 | 25 |
| 33 | 0.33679 | 16 | 0.11928 | 11 | 9.94227 | 25 | 33 | 0.34684 | 17 | 0.12588 | 11 | 9.94757 | 26 |
| 34 | 0.33696 | 17 | 0.11939 | 10 | 9.94252 | 25 | 34 | 0.34701 | 17 | 0.12599 | 11 | 9.94783 | 25 |
| 35 | 0.33712 | 16 | 0.11949 | 11 | 9.94278 | 26 | 35 | 0.34718 | 17 | 0.12610 | 12 | 9.94808 | 25 |
| 36 | 0.33729 | 17 | 0.11960 | 11 | 9.94303 | 25 | 36 | 0.34735 | 17 | 0.12622 | 11 | 9.94834 | 25 |
| 37 | 0.33746 | 16 | 0.11971 | 11 | 9.94329 | 26 | 37 | 0.34752 | 17 | 0.12633 | 11 | 9.94859 | 25 |
| 38 | 0.33762 | 17 | 0.11982 | 11 | 9.94354 | 25 | 38 | 0.34769 | 17 | 0.12644 | 11 | 9.94884 | 26 |
| 39 | 0.33779 | 16 | 0.11993 | 11 | 9.94380 | 26 | 39 | 0.34786 | 17 | 0.12655 | 11 | 9.94910 | 25 |
| 40 | 0.33796 | 17 | 0.12004 | 11 | 9.94406 | 25 | 40 | 0.34803 | 16 | 0.12666 | 12 | 9.94935 | 25 |
| 41 | 0.33812 | 16 | 0.12015 | 10 | 9.94431 | 25 | 41 | 0.34819 | 17 | 0.12678 | 11 | 9.94961 | 26 |
| 42 | 0.33829 | 17 | 0.12025 | 11 | 9.94457 | 26 | 42 | 0.34836 | 17 | 0.12689 | 11 | 9.94986 | 25 |
| 43 | 0.33846 | 16 | 0.12036 | 11 | 9.94482 | 25 | 43 | 0.34853 | 17 | 0.12700 | 11 | 9.95012 | 26 |
| 44 | 0.33862 | 17 | 0.12047 | 11 | 9.94508 | 26 | 44 | 0.34870 | 17 | 0.12712 | 12 | 9.95037 | 25 |
| 45 | 0.33879 | 16 | 0.12058 | 11 | 9.94533 | 25 | 45 | 0.34887 | 17 | 0.12723 | 11 | 9.95062 | 26 |
| 46 | 0.33896 | 17 | 0.12069 | 11 | 9.94559 | 26 | 46 | 0.34904 | 17 | 0.12734 | 11 | 9.95088 | 25 |
| 47 | 0.33912 | 16 | 0.12080 | 11 | 9.94584 | 25 | 47 | 0.34921 | 17 | 0.12745 | 12 | 9.95113 | 26 |
| 48 | 0.33929 | 17 | 0.12091 | 11 | 9.94610 | 26 | 48 | 0.34938 | 17 | 0.12757 | 11 | 9.95139 | 25 |
| 49 | 0.33946 | 16 | 0.12102 | 11 | 9.94636 | 25 | 49 | 0.34955 | 17 | 0.12768 | 11 | 9.95164 | 26 |
| 50 | 0.33962 | 17 | 0.12113 | 10 | 9.94661 | 26 | 50 | 0.34972 | 17 | 0.12779 | 12 | 9.95190 | 25 |
| 51 | 0.33979 | 16 | 0.12123 | 11 | 9.94687 | 25 | 51 | 0.34989 | 17 | 0.12791 | 11 | 9.95215 | 26 |
| 52 | 0.33996 | 17 | 0.12134 | 11 | 9.94712 | 26 | 52 | 0.35006 | 17 | 0.12802 | 11 | 9.95240 | 25 |
| 53 | 0.34013 | 16 | 0.12145 | 11 | 9.94738 | 25 | 53 | 0.35023 | 17 | 0.12813 | 12 | 9.95266 | 26 |
| 54 | 0.34029 | 17 | 0.12156 | 11 | 9.94763 | 26 | 54 | 0.35040 | 17 | 0.12825 | 11 | 9.95291 | 25 |
| 55 | 0.34046 | 16 | 0.12167 | 11 | 9.94789 | 25 | 55 | 0.35057 | 17 | 0.12836 | 11 | 9.95317 | 26 |
| 56 | 0.34063 | 17 | 0.12178 | 11 | 9.94814 | 26 | 56 | 0.35074 | 17 | 0.12847 | 12 | 9.95342 | 25 |
| 57 | 0.34079 | 16 | 0.12189 | 11 | 9.94840 | 25 | 57 | 0.35091 | 17 | 0.12859 | 11 | 9.95368 | 26 |
| 58 | 0.34096 | 17 | 0.12200 | 11 | 9.94865 | 26 | 58 | 0.35108 | 17 | 0.12870 | 11 | 9.95393 | 25 |
| 59 | 0.34113 | 16 | 0.12211 | 11 | 9.94891 | 25 | 59 | 0.35125 | 17 | 0.12881 | 12 | 9.95418 | 26 |
| 60 | 0.34130 | 17 | 0.12222 | 11 | 9.94916 | 26 | 60 | 0.35142 | 17 | 0.12893 | 11 | 9.95444 | 25 |

$\omega = 42 \text{ Grad.}$ $\omega = 43 \text{ Grad.}$

| ω | z' | Diff. | $\log \cos z$ | Diff. | $\log \sin z$ | Diff. | ω | z' | Diff. | $\log \cos z$ | Diff. | $\log \sin z$ | Diff. |
|----------|---------|-------|---------------|-------|---------------|-------|----------|---------|-------|---------------|-------|---------------|-------|
| 0 | 0.35142 | 17 | 0.12893 | 11 | 9.95444 | 25 | 0 | 0.36170 | 17 | 0.13587 | 12 | 9.96960 | 25 |
| 1 | 0.35159 | 17 | 0.12904 | 11 | 9.95469 | 26 | 1 | 0.36187 | 17 | 0.13599 | 12 | 9.96991 | 25 |
| 2 | 0.35176 | 17 | 0.12915 | 12 | 9.95495 | 25 | 2 | 0.36204 | 18 | 0.13611 | 12 | 9.97016 | 26 |
| 3 | 0.35193 | 17 | 0.12927 | 12 | 9.95520 | 25 | 3 | 0.36222 | 17 | 0.13623 | 11 | 9.97042 | 25 |
| 4 | 0.35210 | 17 | 0.12938 | 12 | 9.95545 | 26 | 4 | 0.36239 | 17 | 0.13634 | 12 | 9.97067 | 25 |
| 5 | 0.35227 | 17 | 0.12950 | 11 | 9.95571 | 25 | 5 | 0.36256 | 18 | 0.13646 | 12 | 9.97092 | 26 |
| 6 | 0.35244 | 17 | 0.12961 | 11 | 9.95596 | 26 | 6 | 0.36274 | 17 | 0.13658 | 12 | 9.97118 | 25 |
| 7 | 0.35261 | 17 | 0.12972 | 12 | 9.95622 | 25 | 7 | 0.36291 | 17 | 0.13670 | 12 | 9.97143 | 25 |
| 8 | 0.35278 | 17 | 0.12984 | 11 | 9.95647 | 25 | 8 | 0.36308 | 17 | 0.13682 | 12 | 9.97168 | 25 |
| 9 | 0.35295 | 17 | 0.12995 | 12 | 9.95672 | 26 | 9 | 0.36325 | 18 | 0.13694 | 11 | 9.97193 | 26 |
| 10 | 0.35312 | 17 | 0.13007 | 11 | 9.95698 | 25 | 10 | 0.36343 | 17 | 0.13705 | 12 | 9.97219 | 25 |
| 11 | 0.35329 | 17 | 0.13018 | 12 | 9.95723 | 25 | 11 | 0.36360 | 17 | 0.13717 | 12 | 9.97244 | 25 |
| 12 | 0.35346 | 17 | 0.13030 | 11 | 9.95748 | 26 | 12 | 0.36377 | 18 | 0.13729 | 12 | 9.97269 | 26 |
| 13 | 0.35363 | 17 | 0.13041 | 12 | 9.95774 | 25 | 13 | 0.36395 | 17 | 0.13741 | 12 | 9.97295 | 25 |
| 14 | 0.35380 | 17 | 0.13053 | 11 | 9.95799 | 26 | 14 | 0.36412 | 17 | 0.13753 | 12 | 9.97320 | 25 |
| 15 | 0.35397 | 17 | 0.13064 | 12 | 9.95825 | 25 | 15 | 0.36429 | 18 | 0.13765 | 12 | 9.97345 | 26 |
| 16 | 0.35414 | 17 | 0.13076 | 11 | 9.95850 | 25 | 16 | 0.36447 | 17 | 0.13777 | 12 | 9.97371 | 25 |
| 17 | 0.35431 | 17 | 0.13087 | 11 | 9.95875 | 26 | 17 | 0.36464 | 17 | 0.13789 | 11 | 9.97396 | 25 |
| 18 | 0.35448 | 17 | 0.13098 | 12 | 9.95901 | 25 | 18 | 0.36481 | 18 | 0.13800 | 12 | 9.97421 | 26 |
| 19 | 0.35465 | 18 | 0.13110 | 11 | 9.95926 | 26 | 19 | 0.36499 | 17 | 0.13812 | 12 | 9.97447 | 25 |
| 20 | 0.35483 | 17 | 0.13121 | 12 | 9.95952 | 25 | 20 | 0.36516 | 18 | 0.13824 | 12 | 9.97472 | 25 |
| 21 | 0.35500 | 17 | 0.13133 | 12 | 9.95977 | 25 | 21 | 0.36531 | 17 | 0.13836 | 12 | 9.97497 | 26 |
| 22 | 0.35517 | 17 | 0.13145 | 12 | 9.96002 | 26 | 22 | 0.36551 | 17 | 0.13848 | 12 | 9.97523 | 25 |
| 23 | 0.35534 | 17 | 0.13156 | 12 | 9.96028 | 25 | 23 | 0.36568 | 18 | 0.13860 | 12 | 9.97548 | 25 |
| 24 | 0.35551 | 17 | 0.13168 | 11 | 9.96053 | 25 | 24 | 0.36585 | 17 | 0.13872 | 12 | 9.97573 | 25 |
| 25 | 0.35568 | 17 | 0.13179 | 12 | 9.96078 | 26 | 25 | 0.36603 | 18 | 0.13884 | 12 | 9.97598 | 26 |
| 26 | 0.35585 | 17 | 0.13191 | 11 | 9.96104 | 25 | 26 | 0.36621 | 17 | 0.13896 | 12 | 9.97624 | 25 |
| 27 | 0.35602 | 17 | 0.13192 | 12 | 9.96129 | 26 | 27 | 0.36638 | 17 | 0.13908 | 12 | 9.97649 | 25 |
| 28 | 0.35619 | 18 | 0.13214 | 11 | 9.96155 | 25 | 28 | 0.36655 | 18 | 0.13920 | 12 | 9.97674 | 26 |
| 29 | 0.35637 | 17 | 0.13225 | 12 | 9.96180 | 25 | 29 | 0.36673 | 17 | 0.13932 | 12 | 9.97700 | 25 |
| 30 | 0.35654 | 17 | 0.13237 | 11 | 9.96205 | 26 | 30 | 0.36690 | 18 | 0.13944 | 12 | 9.97725 | 25 |
| 31 | 0.35671 | 17 | 0.13248 | 12 | 9.96231 | 25 | 31 | 0.36708 | 17 | 0.13956 | 12 | 9.97750 | 26 |
| 32 | 0.35688 | 17 | 0.13260 | 12 | 9.96256 | 25 | 32 | 0.36725 | 17 | 0.13968 | 12 | 9.97776 | 25 |
| 33 | 0.35705 | 17 | 0.13272 | 11 | 9.96281 | 26 | 33 | 0.36743 | 18 | 0.13980 | 12 | 9.97801 | 25 |
| 34 | 0.35722 | 17 | 0.13283 | 12 | 9.96307 | 25 | 34 | 0.36760 | 17 | 0.13992 | 12 | 9.97826 | 25 |
| 35 | 0.35739 | 18 | 0.13295 | 11 | 9.96332 | 25 | 35 | 0.36777 | 18 | 0.14004 | 12 | 9.97851 | 26 |
| 36 | 0.35757 | 17 | 0.13306 | 12 | 9.96357 | 26 | 36 | 0.36795 | 17 | 0.14016 | 12 | 9.97877 | 25 |
| 37 | 0.35774 | 17 | 0.13318 | 12 | 9.96383 | 25 | 37 | 0.36812 | 18 | 0.14028 | 12 | 9.97902 | 25 |
| 38 | 0.35791 | 17 | 0.13330 | 11 | 9.96408 | 25 | 38 | 0.36830 | 17 | 0.14040 | 12 | 9.97927 | 26 |
| 39 | 0.35808 | 17 | 0.13341 | 12 | 9.96433 | 26 | 39 | 0.36847 | 17 | 0.14052 | 12 | 9.97953 | 25 |
| 40 | 0.35825 | 17 | 0.13353 | 12 | 9.96459 | 25 | 40 | 0.36865 | 18 | 0.14064 | 12 | 9.97978 | 25 |
| 41 | 0.35842 | 18 | 0.13365 | 11 | 9.96484 | 26 | 41 | 0.36882 | 17 | 0.14076 | 12 | 9.98003 | 26 |
| 42 | 0.35860 | 17 | 0.13376 | 12 | 9.96510 | 25 | 42 | 0.36899 | 18 | 0.14088 | 12 | 9.98029 | 25 |
| 43 | 0.35877 | 17 | 0.13388 | 12 | 9.96535 | 25 | 43 | 0.36917 | 17 | 0.14100 | 12 | 9.98054 | 25 |
| 44 | 0.35894 | 17 | 0.13400 | 11 | 9.96560 | 26 | 44 | 0.36934 | 18 | 0.14112 | 12 | 9.98079 | 25 |
| 45 | 0.35911 | 17 | 0.13411 | 12 | 9.96585 | 25 | 45 | 0.36952 | 17 | 0.14124 | 12 | 9.98104 | 26 |
| 46 | 0.35928 | 18 | 0.13423 | 11 | 9.96611 | 25 | 46 | 0.36969 | 17 | 0.14136 | 12 | 9.98130 | 25 |
| 47 | 0.35946 | 17 | 0.13435 | 11 | 9.96636 | 26 | 47 | 0.36987 | 18 | 0.14149 | 13 | 9.98155 | 25 |
| 48 | 0.35963 | 17 | 0.13446 | 12 | 9.96662 | 25 | 48 | 0.37004 | 17 | 0.14161 | 12 | 9.98180 | 26 |
| 49 | 0.35980 | 17 | 0.13458 | 12 | 9.96687 | 25 | 49 | 0.37022 | 18 | 0.14173 | 12 | 9.98206 | 25 |
| 50 | 0.36007 | 18 | 0.13470 | 12 | 9.96712 | 26 | 50 | 0.37039 | 17 | 0.14185 | 12 | 9.98231 | 25 |
| 51 | 0.36015 | 17 | 0.13482 | 11 | 9.96738 | 25 | 51 | 0.37057 | 18 | 0.14197 | 12 | 9.98256 | 25 |
| 52 | 0.36032 | 17 | 0.13493 | 12 | 9.96763 | 25 | 52 | 0.37074 | 17 | 0.14209 | 12 | 9.98281 | 26 |
| 53 | 0.36049 | 17 | 0.13505 | 12 | 9.96788 | 26 | 53 | 0.37092 | 18 | 0.14221 | 12 | 9.98307 | 25 |
| 54 | 0.36066 | 18 | 0.13517 | 11 | 9.96814 | 25 | 54 | 0.37110 | 17 | 0.14234 | 13 | 9.98332 | 25 |
| 55 | 0.36083 | 17 | 0.13528 | 12 | 9.96839 | 25 | 55 | 0.37127 | 17 | 0.14246 | 12 | 9.98357 | 26 |
| 56 | 0.36101 | 17 | 0.13540 | 12 | 9.96864 | 26 | 56 | 0.37145 | 18 | 0.14258 | 12 | 9.98383 | 25 |
| 57 | 0.36118 | 17 | 0.13552 | 11 | 9.96890 | 25 | 57 | 0.37162 | 17 | 0.14270 | 12 | 9.98408 | 26 |
| 58 | 0.36135 | 18 | 0.13564 | 12 | 9.96915 | 25 | 58 | 0.37180 | 18 | 0.14282 | 12 | 9.98433 | 25 |
| 59 | 0.36153 | 17 | 0.13575 | 11 | 9.96940 | 26 | 59 | 0.37197 | 17 | 0.14294 | 12 | 9.98458 | 25 |
| 60 | 0.36170 | 17 | 0.13587 | 12 | 9.96966 | 26 | 60 | 0.37215 | 18 | 0.14306 | 13 | 9.98484 | 26 |

$\omega = 44 \text{ Grad.}$ $\omega = 45 \text{ Grad.}$

| ω | z' | Diff. | $\log \cos z$ | Diff. | $\log \sin z$ | Diff. | ω | z' | Diff. | $\log \cos z$ | Diff. | $\log \sin z$ | Diff. |
|----------|---------|-------|---------------|-------|---------------|-------|----------|---------|-------|---------------|-------|---------------|--------|
| 0 | 0.37215 | 17 | 0.14307 | 12 | 9.98484 | 25 | 0 | 0.38278 | 17 | 0.15051 | 13 | (∞) | 25.206 |
| 1 | 0.37232 | 18 | 0.14319 | 12 | 9.98509 | 25 | 1 | 0.38295 | 18 | 0.15064 | 13 | (325.296) | 25.206 |
| 2 | 0.37250 | 18 | 0.14331 | 12 | 9.98534 | 25 | 2 | 0.38313 | 18 | 0.15077 | 12 | (350.532) | 25.207 |
| 3 | 0.37268 | 17 | 0.14343 | 12 | 9.98560 | 25 | 3 | 0.38331 | 18 | 0.15089 | 13 | (375.799) | 25.27 |
| 4 | 0.37285 | 18 | 0.14355 | 13 | 9.98585 | 25 | 4 | 0.38349 | 18 | 0.15102 | 13 | (2101.07) | 25.27 |
| 5 | 0.37303 | 17 | 0.14368 | 12 | 9.98610 | 25 | 5 | 0.38367 | 18 | 0.15115 | 12 | (31.263) | 25.26 |
| 6 | 0.37320 | 18 | 0.14380 | 12 | 9.98635 | 26 | 6 | 0.38385 | 18 | 0.15127 | 13 | (2151.60) | 25.26 |
| 7 | 0.37338 | 17 | 0.14392 | 12 | 9.98661 | 25 | 7 | 0.38403 | 18 | 0.15140 | 13 | (2176.86) | 25.26 |
| 8 | 0.37355 | 18 | 0.14404 | 13 | 9.98686 | 25 | 8 | 0.38421 | 18 | 0.15153 | 12 | (2222.13) | 25.27 |
| 9 | 0.37373 | 18 | 0.14417 | 12 | 9.98711 | 26 | 9 | 0.38439 | 17 | 0.15165 | 13 | (2227.40) | 25.26 |
| 10 | 0.37391 | 17 | 0.14429 | 12 | 9.98737 | 25 | 10 | 0.38456 | 18 | 0.15178 | 13 | (2252.66) | 25.27 |
| 11 | 0.37408 | 18 | 0.14441 | 12 | 9.98762 | 25 | 11 | 0.38474 | 18 | 0.15191 | 13 | (2277.93) | 25.27 |
| 12 | 0.37426 | 18 | 0.14453 | 13 | 9.98787 | 25 | 12 | 0.38492 | 18 | 0.15204 | 12 | (2303.20) | 25.26 |
| 13 | 0.37444 | 17 | 0.14466 | 12 | 9.98812 | 26 | 13 | 0.38510 | 18 | 0.15216 | 12 | (2328.46) | 25.27 |
| 14 | 0.37461 | 18 | 0.14478 | 12 | 9.98838 | 25 | 14 | 0.38528 | 18 | 0.15229 | 13 | (2353.73) | 25.27 |
| 15 | 0.37479 | 17 | 0.14490 | 13 | 9.98863 | 25 | 15 | 0.38546 | 18 | 0.15242 | 12 | (2379.00) | 25.27 |
| 16 | 0.37496 | 18 | 0.14503 | 12 | 9.98888 | 25 | 16 | 0.38564 | 18 | 0.15255 | 13 | (2404.27) | 25.27 |
| 17 | 0.37514 | 18 | 0.14515 | 12 | 9.98913 | 26 | 17 | 0.38582 | 18 | 0.15267 | 12 | (2429.53) | 25.27 |
| 18 | 0.37532 | 17 | 0.14527 | 12 | 9.98939 | 25 | 18 | 0.38600 | 18 | 0.15280 | 13 | (2454.80) | 25.27 |
| 19 | 0.37549 | 18 | 0.14540 | 12 | 9.98964 | 25 | 19 | 0.38618 | 18 | 0.15293 | 13 | (2480.06) | 25.27 |
| 20 | 0.37567 | 18 | 0.14552 | 12 | 9.98989 | 26 | 20 | 0.38636 | 18 | 0.15306 | 12 | (2505.34) | 25.26 |
| 21 | 0.37585 | 17 | 0.14564 | 12 | 9.99015 | 25 | 21 | 0.38654 | 18 | 0.15318 | 13 | (2530.60) | 25.27 |
| 22 | 0.37602 | 18 | 0.14577 | 13 | 9.99040 | 25 | 22 | 0.38672 | 18 | 0.15331 | 13 | (2555.87) | 25.27 |
| 23 | 0.37620 | 18 | 0.14589 | 12 | 9.99065 | 25 | 23 | 0.38690 | 18 | 0.15344 | 12 | (2581.14) | 25.27 |
| 24 | 0.37638 | 18 | 0.14601 | 12 | 9.99090 | 26 | 24 | 0.38708 | 18 | 0.15357 | 13 | (2606.41) | 25.27 |
| 25 | 0.37655 | 17 | 0.14614 | 12 | 9.99116 | 25 | 25 | 0.38726 | 18 | 0.15370 | 12 | (2631.68) | 25.27 |
| 26 | 0.37673 | 18 | 0.14626 | 12 | 9.99141 | 25 | 26 | 0.38744 | 18 | 0.15382 | 13 | (2656.95) | 25.27 |
| 27 | 0.37691 | 17 | 0.14639 | 12 | 9.99166 | 25 | 27 | 0.38762 | 18 | 0.15395 | 12 | (2682.22) | 25.27 |
| 28 | 0.37708 | 18 | 0.14651 | 12 | 9.99191 | 25 | 28 | 0.38780 | 18 | 0.15408 | 13 | (2707.49) | 25.27 |
| 29 | 0.37726 | 18 | 0.14663 | 13 | 9.99217 | 25 | 29 | 0.38798 | 18 | 0.15421 | 12 | (2732.76) | 25.27 |
| 30 | 0.37744 | 18 | 0.14676 | 12 | 9.99242 | 25 | 30 | 0.38816 | 18 | 0.15434 | 13 | (2758.03) | 25.27 |
| 31 | 0.37762 | 17 | 0.14688 | 12 | 9.99267 | 25 | 31 | 0.38834 | 18 | 0.15447 | 13 | (2783.30) | 25.27 |
| 32 | 0.37779 | 18 | 0.14701 | 13 | 9.99293 | 25 | 32 | 0.38852 | 18 | 0.15460 | 12 | (2808.57) | 25.27 |
| 33 | 0.37797 | 18 | 0.14713 | 12 | 9.99318 | 25 | 33 | 0.38870 | 18 | 0.15472 | 13 | (2833.84) | 25.27 |
| 34 | 0.37815 | 18 | 0.14726 | 13 | 9.99343 | 25 | 34 | 0.38888 | 18 | 0.15485 | 13 | (2859.11) | 25.27 |
| 35 | 0.37833 | 17 | 0.14738 | 12 | 9.99368 | 26 | 35 | 0.38906 | 18 | 0.15498 | 13 | (2884.38) | 25.27 |
| 36 | 0.37850 | 18 | 0.14750 | 12 | 9.99394 | 25 | 36 | 0.38924 | 18 | 0.15511 | 13 | (2909.65) | 25.27 |
| 37 | 0.37868 | 18 | 0.14763 | 13 | 9.99419 | 25 | 37 | 0.38942 | 18 | 0.15524 | 12 | (2934.92) | 25.27 |
| 38 | 0.37886 | 18 | 0.14775 | 13 | 9.99444 | 25 | 38 | 0.38960 | 18 | 0.15537 | 13 | (2960.19) | 25.28 |
| 39 | 0.37904 | 17 | 0.14788 | 12 | 9.99469 | 26 | 39 | 0.38978 | 18 | 0.15550 | 12 | (2985.46) | 25.27 |
| 40 | 0.37921 | 17 | 0.14800 | 12 | 9.99495 | 25 | 40 | 0.38996 | 18 | 0.15563 | 13 | (11010.07) | 25.27 |
| 41 | 0.37939 | 18 | 0.14813 | 13 | 9.99520 | 25 | 41 | 0.39014 | 19 | 0.15576 | 13 | (11036.0) | 25.2 |
| 42 | 0.37957 | 18 | 0.14825 | 12 | 9.99545 | 25 | 42 | 0.39033 | 18 | 0.15589 | 13 | (11061.3) | 25.3 |
| 43 | 0.37975 | 18 | 0.14838 | 13 | 9.99570 | 26 | 43 | 0.39051 | 18 | 0.15602 | 13 | (11086.6) | 25.3 |
| 44 | 0.37992 | 17 | 0.14850 | 13 | 9.99596 | 25 | 44 | 0.39069 | 18 | 0.15615 | 12 | (11111.8) | 25.2 |
| 45 | 0.38010 | 18 | 0.14863 | 12 | 9.99621 | 25 | 45 | 0.39087 | 18 | 0.15627 | 13 | (11137.1) | 25.3 |
| 46 | 0.38028 | 18 | 0.14875 | 12 | 9.99646 | 25 | 46 | 0.39105 | 18 | 0.15640 | 13 | (11162.4) | 25.3 |
| 47 | 0.38046 | 18 | 0.14888 | 13 | 9.99672 | 25 | 47 | 0.39123 | 18 | 0.15653 | 13 | (11187.7) | 25.2 |
| 48 | 0.38064 | 17 | 0.14900 | 12 | 9.99697 | 25 | 48 | 0.39141 | 18 | 0.15666 | 43 | (11212.9) | 25.3 |
| 49 | 0.38081 | 18 | 0.14913 | 13 | 9.99722 | 25 | 49 | 0.39159 | 18 | 0.15679 | 13 | (11238.2) | 25.3 |
| 50 | 0.38099 | 18 | 0.14926 | 12 | 9.99747 | 26 | 50 | 0.39177 | 19 | 0.15692 | 13 | (11263.5) | 25.3 |
| 51 | 0.38117 | 18 | 0.14938 | 12 | 9.99773 | 25 | 51 | 0.39195 | 18 | 0.15705 | 13 | (11288.8) | 25.2 |
| 52 | 0.38135 | 18 | 0.14951 | 12 | 9.99798 | 25 | 52 | 0.39214 | 18 | 0.15718 | 13 | (11314.0) | 25.3 |
| 53 | 0.38153 | 17 | 0.14963 | 12 | 9.99823 | 25 | 53 | 0.39232 | 18 | 0.15731 | 14 | (11339.3) | 25.3 |
| 54 | 0.38171 | 17 | 0.14976 | 12 | 9.99848 | 26 | 54 | 0.39250 | 18 | 0.15745 | 13 | (11364.6) | 25.3 |
| 55 | 0.38188 | 18 | 0.14988 | 13 | 9.99874 | 25 | 55 | 0.39268 | 18 | 0.15758 | 13 | (11389.9) | 25.3 |
| 56 | 0.38206 | 18 | 0.15001 | 13 | 9.99899 | 25 | 56 | 0.39286 | 19 | 0.15771 | 13 | (11415.2) | 25.2 |
| 57 | 0.38224 | 18 | 0.15014 | 12 | 9.99924 | 25 | 57 | 0.39305 | 18 | 0.15784 | 13 | (11440.4) | 25.3 |
| 58 | 0.38242 | 18 | 0.15026 | 13 | 9.99949 | 26 | 58 | 0.39323 | 18 | 0.15797 | 13 | (11465.7) | 25.3 |
| 59 | 0.38259 | 18 | 0.15039 | 12 | 9.99975 | 25 | 59 | 0.39341 | 18 | 0.15810 | 13 | (11491.0) | 25.3 |
| 60 | 0.38278 | 18 | 0.15051 | 12 | 0.00000 | 25 | 60 | 0.39359 | 18 | 0.15823 | 13 | (11516.3) | 25.3 |

$\omega = 46 \text{ Grad.}$ $\omega = 47 \text{ Grad.}$

| ω | z' | Diff. | $\log \cos z$ | Diff. | $\log \sin z$ | Diff. | ω | z' | Diff. | $\log \cos z$ | Diff. | $\log \sin z$ | Diff. |
|----------|---------|-------|---------------|-------|---------------|-------|----------|---------|-------|---------------|-------|---------------|-------|
| 0 | 0.39359 | 18 | 0.15823 | 13 | 0.1516.3 | 25.3 | 0 | 0.40460 | 19 | 0.16622 | 13 | 0.19034.4 | 25.3 |
| 1 | 0.39377 | 18 | 0.15836 | 13 | 0.1516.6 | 25.2 | 1 | 0.40479 | 18 | 0.16635 | 13 | 0.19039.7 | 25.4 |
| 2 | 0.39395 | 18 | 0.15849 | 13 | 0.1516.8 | 25.3 | 2 | 0.40497 | 19 | 0.16649 | 13 | 0.19051 | 25.3 |
| 3 | 0.39414 | 18 | 0.15862 | 13 | 0.1517.1 | 25.3 | 3 | 0.40516 | 18 | 0.16662 | 14 | 0.19104.2 | 25.3 |
| 4 | 0.39432 | 18 | 0.15875 | 13 | 0.1517.1 | 25.3 | 4 | 0.40534 | 19 | 0.16676 | 14 | 0.19135.7 | 25.4 |
| 5 | 0.39450 | 18 | 0.15888 | 14 | 0.1517.4 | 25.3 | 5 | 0.40553 | 18 | 0.16690 | 13 | 0.19161.1 | 25.3 |
| 6 | 0.39468 | 18 | 0.15902 | 13 | 0.1517.6 | 25.2 | 6 | 0.40571 | 19 | 0.16703 | 13 | 0.19186.4 | 25.3 |
| 7 | 0.39486 | 19 | 0.15915 | 13 | 0.1517.8 | 25.3 | 7 | 0.40590 | 19 | 0.16717 | 14 | 0.19211.7 | 25.4 |
| 8 | 0.39505 | 18 | 0.15928 | 13 | 0.1517.8 | 25.2 | 8 | 0.40609 | 18 | 0.16730 | 14 | 0.19237.1 | 25.3 |
| 9 | 0.39523 | 18 | 0.15941 | 13 | 0.1517.8 | 25.3 | 9 | 0.40627 | 19 | 0.16744 | 14 | 0.19262.4 | 25.3 |
| 10 | 0.39541 | 18 | 0.15954 | 13 | 0.1517.9 | 25.3 | 10 | 0.40646 | 18 | 0.16758 | 13 | 0.19287.7 | 25.4 |
| 11 | 0.39559 | 19 | 0.15967 | 13 | 0.1517.9 | 25.3 | 11 | 0.40664 | 19 | 0.16771 | 14 | 0.19313.1 | 25.3 |
| 12 | 0.39578 | 18 | 0.15980 | 14 | 0.1517.9 | 25.3 | 12 | 0.40683 | 19 | 0.16785 | 13 | 0.19338.4 | 25.4 |
| 13 | 0.39596 | 18 | 0.15994 | 13 | 0.1518.0 | 25.3 | 13 | 0.40702 | 18 | 0.16798 | 14 | 0.19363.8 | 25.3 |
| 14 | 0.39614 | 18 | 0.16007 | 13 | 0.1518.0 | 25.3 | 14 | 0.40720 | 19 | 0.16812 | 14 | 0.19389.1 | 25.4 |
| 15 | 0.39632 | 19 | 0.16020 | 13 | 0.1518.0 | 25.3 | 15 | 0.40739 | 18 | 0.16826 | 13 | 0.19414.5 | 25.3 |
| 16 | 0.39651 | 18 | 0.16033 | 13 | 0.1518.0 | 25.3 | 16 | 0.40757 | 19 | 0.16839 | 14 | 0.19439.8 | 25.3 |
| 17 | 0.39669 | 18 | 0.16046 | 14 | 0.1518.0 | 25.2 | 17 | 0.40776 | 19 | 0.16853 | 14 | 0.19465.1 | 25.4 |
| 18 | 0.39687 | 19 | 0.16060 | 13 | 0.1517.4 | 25.3 | 18 | 0.40795 | 18 | 0.16867 | 13 | 0.19490.5 | 25.3 |
| 19 | 0.39706 | 18 | 0.16073 | 13 | 0.1517.6 | 25.3 | 19 | 0.40813 | 19 | 0.16880 | 14 | 0.19515.8 | 25.4 |
| 20 | 0.39724 | 18 | 0.16086 | 13 | 0.1517.6 | 25.3 | 20 | 0.40832 | 19 | 0.16894 | 14 | 0.19541.2 | 25.3 |
| 21 | 0.39742 | 18 | 0.16099 | 14 | 0.1517.6 | 25.3 | 21 | 0.40851 | 18 | 0.16908 | 14 | 0.19566.5 | 25.4 |
| 22 | 0.39760 | 19 | 0.16113 | 13 | 0.1517.6 | 25.3 | 22 | 0.40869 | 19 | 0.16922 | 13 | 0.19591.9 | 25.3 |
| 23 | 0.39779 | 18 | 0.16126 | 13 | 0.1517.6 | 25.3 | 23 | 0.40888 | 18 | 0.16935 | 14 | 0.19617.2 | 25.4 |
| 24 | 0.39797 | 18 | 0.16139 | 13 | 0.1517.6 | 25.3 | 24 | 0.40906 | 19 | 0.16949 | 14 | 0.19642.6 | 25.4 |
| 25 | 0.39815 | 19 | 0.16152 | 14 | 0.1517.6 | 25.3 | 25 | 0.40925 | 19 | 0.16963 | 14 | 0.19668.0 | 25.3 |
| 26 | 0.39834 | 18 | 0.16166 | 13 | 0.1517.6 | 25.3 | 26 | 0.40944 | 19 | 0.16977 | 13 | 0.19693.3 | 25.4 |
| 27 | 0.39852 | 19 | 0.16179 | 13 | 0.1517.6 | 25.3 | 27 | 0.40963 | 18 | 0.16990 | 14 | 0.19718.7 | 25.3 |
| 28 | 0.39870 | 18 | 0.16192 | 13 | 0.1517.6 | 25.3 | 28 | 0.40981 | 19 | 0.17004 | 14 | 0.19744.0 | 25.4 |
| 29 | 0.39889 | 18 | 0.16205 | 14 | 0.1517.6 | 25.3 | 29 | 0.41000 | 19 | 0.17018 | 14 | 0.19769.4 | 25.4 |
| 30 | 0.39907 | 18 | 0.16219 | 13 | 0.1517.6 | 25.3 | 30 | 0.41019 | 18 | 0.17032 | 13 | 0.19794.8 | 25.3 |
| 31 | 0.39925 | 19 | 0.16232 | 13 | 0.1517.6 | 25.3 | 31 | 0.41037 | 19 | 0.17045 | 14 | 0.19820.1 | 25.4 |
| 32 | 0.39944 | 18 | 0.16245 | 14 | 0.1517.6 | 25.3 | 32 | 0.41056 | 19 | 0.17059 | 14 | 0.19845.5 | 25.3 |
| 33 | 0.39962 | 19 | 0.16259 | 13 | 0.1517.6 | 25.3 | 33 | 0.41075 | 18 | 0.17073 | 13 | 0.19870.8 | 25.4 |
| 34 | 0.39981 | 18 | 0.16272 | 13 | 0.1517.6 | 25.3 | 34 | 0.41093 | 19 | 0.17087 | 14 | 0.19896.2 | 25.4 |
| 35 | 0.39999 | 18 | 0.16285 | 14 | 0.1517.6 | 25.3 | 35 | 0.41112 | 19 | 0.17101 | 14 | 0.19921.6 | 25.4 |
| 36 | 0.40017 | 19 | 0.16299 | 13 | 0.1517.6 | 25.3 | 36 | 0.41131 | 19 | 0.17115 | 13 | 0.19947.0 | 25.3 |
| 37 | 0.40036 | 18 | 0.16312 | 14 | 0.1517.6 | 25.3 | 37 | 0.41150 | 18 | 0.17128 | 14 | 0.19972.3 | 25.4 |
| 38 | 0.40054 | 18 | 0.16326 | 14 | 0.1517.6 | 25.3 | 38 | 0.41168 | 19 | 0.17142 | 14 | 0.19997.7 | 25.4 |
| 39 | 0.40073 | 19 | 0.16339 | 13 | 0.1517.6 | 25.3 | 39 | 0.41187 | 19 | 0.17156 | 14 | 0.20023.1 | 25.3 |
| 40 | 0.40091 | 18 | 0.16352 | 14 | 0.1517.6 | 25.3 | 40 | 0.41206 | 19 | 0.17170 | 14 | 0.20048.4 | 25.4 |
| 41 | 0.40109 | 19 | 0.16366 | 13 | 0.1517.6 | 25.3 | 41 | 0.41225 | 18 | 0.17184 | 14 | 0.20073.8 | 25.3 |
| 42 | 0.40128 | 18 | 0.16379 | 13 | 0.1517.6 | 25.3 | 42 | 0.41243 | 19 | 0.17198 | 13 | 0.20099.2 | 25.4 |
| 43 | 0.40146 | 18 | 0.16392 | 14 | 0.1517.6 | 25.3 | 43 | 0.41262 | 19 | 0.17212 | 14 | 0.20124.6 | 25.4 |
| 44 | 0.40165 | 18 | 0.16406 | 13 | 0.1517.6 | 25.3 | 44 | 0.41281 | 19 | 0.17225 | 13 | 0.20150.0 | 25.3 |
| 45 | 0.40183 | 19 | 0.16419 | 14 | 0.1517.6 | 25.3 | 45 | 0.41300 | 18 | 0.17239 | 14 | 0.20175.3 | 25.4 |
| 46 | 0.40201 | 18 | 0.16433 | 13 | 0.1517.6 | 25.3 | 46 | 0.41319 | 19 | 0.17253 | 14 | 0.20200.7 | 25.4 |
| 47 | 0.40220 | 19 | 0.16446 | 14 | 0.1517.6 | 25.3 | 47 | 0.41337 | 19 | 0.17267 | 14 | 0.20226.1 | 25.4 |
| 48 | 0.40238 | 18 | 0.16460 | 13 | 0.1517.6 | 25.3 | 48 | 0.41356 | 19 | 0.17281 | 14 | 0.20251.5 | 25.4 |
| 49 | 0.40257 | 19 | 0.16473 | 14 | 0.1517.6 | 25.3 | 49 | 0.41375 | 19 | 0.17295 | 14 | 0.20276.9 | 25.4 |
| 50 | 0.40275 | 18 | 0.16487 | 13 | 0.1517.6 | 25.3 | 50 | 0.41394 | 19 | 0.17309 | 14 | 0.20302.3 | 25.4 |
| 51 | 0.40294 | 19 | 0.16500 | 14 | 0.1517.6 | 25.3 | 51 | 0.41413 | 18 | 0.17323 | 14 | 0.20327.7 | 25.4 |
| 52 | 0.40312 | 18 | 0.16514 | 13 | 0.1517.6 | 25.3 | 52 | 0.41431 | 19 | 0.17337 | 14 | 0.20353.1 | 25.4 |
| 53 | 0.40331 | 19 | 0.16527 | 14 | 0.1517.6 | 25.3 | 53 | 0.41450 | 19 | 0.17351 | 14 | 0.20378.5 | 25.4 |
| 54 | 0.40349 | 18 | 0.16541 | 13 | 0.1517.6 | 25.3 | 54 | 0.41469 | 19 | 0.17365 | 14 | 0.20403.9 | 25.3 |
| 55 | 0.40368 | 18 | 0.16554 | 14 | 0.1517.6 | 25.3 | 55 | 0.41488 | 19 | 0.17379 | 14 | 0.20429.2 | 25.4 |
| 56 | 0.40386 | 19 | 0.16568 | 13 | 0.1517.6 | 25.3 | 56 | 0.41507 | 19 | 0.17393 | 14 | 0.20454.6 | 25.4 |
| 57 | 0.40405 | 18 | 0.16581 | 14 | 0.1517.6 | 25.3 | 57 | 0.41526 | 19 | 0.17407 | 14 | 0.20480.0 | 25.4 |
| 58 | 0.40423 | 18 | 0.16595 | 13 | 0.1517.6 | 25.3 | 58 | 0.41545 | 19 | 0.17421 | 14 | 0.20505.4 | 25.4 |
| 59 | 0.40442 | 18 | 0.16608 | 14 | 0.1517.6 | 25.3 | 59 | 0.41563 | 18 | 0.17435 | 14 | 0.20530.9 | 25.5 |
| 60 | 0.40460 | 18 | 0.16622 | 13 | 0.1517.6 | 25.3 | 60 | 0.41582 | 19 | 0.17449 | 14 | 0.20556.3 | 25.4 |

$w = 48 \text{ Grad.}$ $w = 49 \text{ Grad.}$

| w | z' | Diff. | $\log \cos z$ | Diff. | $\log \sin z$ | Diff. | w | z' | Diff. | $\log \cos z$ | Diff. | $\log \sin z$ | Diff. |
|-----|---------|-------|---------------|-------|---------------|-------|-----|---------|-------|---------------|-------|---------------|-------|
| 0 | 0.41582 | 19 | 0.17449 | 14 | (0)1556.3 | 25.4 | 0 | 0.42736 | 19 | 0.18306 | 14 | (0)983.7 | 25.5 |
| 1 | 0.41601 | 19 | 0.17463 | 14 | (0)1581.7 | 25.4 | 1 | 0.42745 | 20 | 0.18320 | 15 | (0)102.2 | 25.5 |
| 2 | 0.41620 | 19 | 0.17477 | 14 | (0)1607.1 | 25.4 | 2 | 0.42765 | 19 | 0.18335 | 14 | (0)134.7 | 25.5 |
| 3 | 0.41639 | 19 | 0.17491 | 14 | (0)1632.5 | 25.4 | 3 | 0.42784 | 19 | 0.18349 | 15 | (0)169.2 | 25.6 |
| 4 | 0.41658 | 19 | 0.17505 | 14 | (0)1657.9 | 25.4 | 4 | 0.42803 | 19 | 0.18364 | 14 | (0)185.8 | 25.5 |
| 5 | 0.41677 | 19 | 0.17519 | 14 | (0)1683.3 | 25.4 | 5 | 0.42823 | 19 | 0.18378 | 15 | (0)211.3 | 25.5 |
| 6 | 0.41696 | 19 | 0.17533 | 14 | (0)1708.7 | 25.4 | 6 | 0.42842 | 19 | 0.18393 | 15 | (0)236.8 | 25.5 |
| 7 | 0.41715 | 18 | 0.17547 | 14 | (0)1734.1 | 25.4 | 7 | 0.42861 | 19 | 0.18408 | 14 | (0)262.3 | 25.6 |
| 8 | 0.41733 | 19 | 0.17561 | 14 | (0)1759.5 | 25.5 | 8 | 0.42880 | 20 | 0.18422 | 15 | (0)287.9 | 25.5 |
| 9 | 0.41752 | 19 | 0.17575 | 14 | (0)1785.0 | 25.4 | 9 | 0.42900 | 19 | 0.18437 | 14 | (0)313.4 | 25.5 |
| 10 | 0.41771 | 19 | 0.17590 | 14 | (0)1810.4 | 25.4 | 10 | 0.42919 | 19 | 0.18451 | 15 | (0)338.9 | 25.5 |
| 11 | 0.41790 | 19 | 0.17604 | 14 | (0)1835.8 | 25.4 | 11 | 0.42938 | 20 | 0.18466 | 15 | (0)364.5 | 25.6 |
| 12 | 0.41809 | 19 | 0.17618 | 14 | (0)1861.2 | 25.5 | 12 | 0.42958 | 19 | 0.18481 | 14 | (0)390.0 | 25.6 |
| 13 | 0.41828 | 19 | 0.17632 | 14 | (0)1886.7 | 25.4 | 13 | 0.42977 | 19 | 0.18495 | 15 | (0)415.6 | 25.5 |
| 14 | 0.41847 | 19 | 0.17646 | 14 | (0)1912.1 | 25.4 | 14 | 0.42996 | 20 | 0.18510 | 15 | (0)441.1 | 25.5 |
| 15 | 0.41866 | 19 | 0.17660 | 14 | (0)1937.5 | 25.4 | 15 | 0.43016 | 19 | 0.18525 | 14 | (0)466.7 | 25.5 |
| 16 | 0.41885 | 19 | 0.17674 | 14 | (0)1962.9 | 25.5 | 16 | 0.43035 | 20 | 0.18539 | 15 | (0)492.2 | 25.5 |
| 17 | 0.41904 | 19 | 0.17689 | 14 | (0)1988.3 | 25.4 | 17 | 0.43055 | 19 | 0.18554 | 15 | (0)517.8 | 25.6 |
| 18 | 0.41923 | 19 | 0.17703 | 14 | (0)2013.8 | 25.4 | 18 | 0.43074 | 19 | 0.18569 | 14 | (0)543.3 | 25.5 |
| 19 | 0.41942 | 19 | 0.17717 | 14 | (0)2039.2 | 25.4 | 19 | 0.43093 | 20 | 0.18583 | 15 | (0)568.9 | 25.6 |
| 20 | 0.41961 | 19 | 0.17731 | 14 | (0)2064.7 | 25.4 | 20 | 0.43113 | 19 | 0.18598 | 15 | (0)594.1 | 25.6 |
| 21 | 0.41980 | 19 | 0.17745 | 15 | (0)2090.1 | 25.4 | 21 | 0.43132 | 20 | 0.18613 | 15 | (0)620.0 | 25.5 |
| 22 | 0.41999 | 19 | 0.17760 | 15 | (0)2115.5 | 25.4 | 22 | 0.43151 | 19 | 0.18628 | 14 | (0)645.5 | 25.6 |
| 23 | 0.42018 | 19 | 0.17774 | 14 | (0)2141.0 | 25.4 | 23 | 0.43171 | 20 | 0.18642 | 15 | (0)671.1 | 25.6 |
| 24 | 0.42037 | 19 | 0.17788 | 14 | (0)2166.5 | 25.4 | 24 | 0.43190 | 20 | 0.18657 | 15 | (0)696.7 | 25.5 |
| 25 | 0.42056 | 19 | 0.17802 | 14 | (0)2191.9 | 25.4 | 25 | 0.43210 | 19 | 0.18672 | 15 | (0)722.2 | 25.5 |
| 26 | 0.42075 | 19 | 0.17816 | 15 | (0)2217.3 | 25.4 | 26 | 0.43229 | 20 | 0.18686 | 14 | (0)747.8 | 25.6 |
| 27 | 0.42094 | 19 | 0.17831 | 15 | (0)2242.8 | 25.5 | 27 | 0.43249 | 19 | 0.18701 | 15 | (0)773.4 | 25.5 |
| 28 | 0.42113 | 19 | 0.17845 | 14 | (0)2268.2 | 25.4 | 28 | 0.43268 | 19 | 0.18716 | 15 | (0)799.0 | 25.5 |
| 29 | 0.42132 | 19 | 0.17859 | 15 | (0)2293.7 | 25.5 | 29 | 0.43287 | 20 | 0.18731 | 15 | (0)824.5 | 25.6 |
| 30 | 0.42151 | 19 | 0.17873 | 14 | (0)2319.2 | 25.4 | 30 | 0.43307 | 19 | 0.18746 | 14 | (0)850.1 | 25.6 |
| 31 | 0.42170 | 19 | 0.17888 | 14 | (0)2344.6 | 25.4 | 31 | 0.43326 | 20 | 0.18760 | 15 | (0)875.7 | 25.6 |
| 32 | 0.42190 | 20 | 0.17902 | 14 | (0)2370.1 | 25.4 | 32 | 0.43346 | 19 | 0.18775 | 15 | (0)901.3 | 25.6 |
| 33 | 0.42209 | 19 | 0.17916 | 15 | (0)2395.5 | 25.5 | 33 | 0.43365 | 20 | 0.18790 | 15 | (0)926.9 | 25.6 |
| 34 | 0.42228 | 19 | 0.17931 | 15 | (0)2421.0 | 25.5 | 34 | 0.43385 | 19 | 0.18805 | 15 | (0)952.5 | 25.6 |
| 35 | 0.42247 | 19 | 0.17945 | 14 | (0)2446.5 | 25.5 | 35 | 0.43404 | 20 | 0.18820 | 14 | (0)978.0 | 25.6 |
| 36 | 0.42266 | 19 | 0.17959 | 15 | (0)2471.9 | 25.5 | 36 | 0.43424 | 19 | 0.18834 | 15 | (0)1003.6 | 25.6 |
| 37 | 0.42285 | 19 | 0.17974 | 15 | (0)2497.3 | 25.5 | 37 | 0.43443 | 20 | 0.18849 | 15 | (0)1029.2 | 25.6 |
| 38 | 0.42304 | 19 | 0.17988 | 14 | (0)2522.8 | 25.4 | 38 | 0.43463 | 19 | 0.18864 | 15 | (0)1054.8 | 25.6 |
| 39 | 0.42323 | 19 | 0.18002 | 15 | (0)2548.2 | 25.5 | 39 | 0.43482 | 20 | 0.18879 | 15 | (0)1080.4 | 25.6 |
| 40 | 0.42342 | 19 | 0.18017 | 14 | (0)2573.7 | 25.5 | 40 | 0.43502 | 19 | 0.18894 | 15 | (0)1106.0 | 25.6 |
| 41 | 0.42362 | 20 | 0.18031 | 14 | (0)2599.2 | 25.5 | 41 | 0.43522 | 20 | 0.18909 | 15 | (0)1131.6 | 25.7 |
| 42 | 0.42381 | 19 | 0.18045 | 15 | (0)2624.8 | 25.4 | 42 | 0.43541 | 19 | 0.18924 | 15 | (0)1157.3 | 25.6 |
| 43 | 0.42400 | 19 | 0.18060 | 15 | (0)2650.2 | 25.4 | 43 | 0.43560 | 20 | 0.18939 | 14 | (0)1182.9 | 25.6 |
| 44 | 0.42419 | 19 | 0.18074 | 15 | (0)2675.7 | 25.5 | 44 | 0.43580 | 19 | 0.18953 | 15 | (0)1208.5 | 25.6 |
| 45 | 0.42438 | 19 | 0.18089 | 15 | (0)2701.2 | 25.5 | 45 | 0.43599 | 20 | 0.18968 | 15 | (0)1234.1 | 25.6 |
| 46 | 0.42457 | 19 | 0.18103 | 14 | (0)2726.7 | 25.5 | 46 | 0.43619 | 19 | 0.18983 | 15 | (0)1259.7 | 25.6 |
| 47 | 0.42476 | 20 | 0.18118 | 15 | (0)2752.2 | 25.5 | 47 | 0.43638 | 20 | 0.18998 | 15 | (0)1285.3 | 25.7 |
| 48 | 0.42496 | 19 | 0.18132 | 11 | (0)2777.7 | 25.5 | 48 | 0.43658 | 19 | 0.19013 | 15 | (0)1311.0 | 25.6 |
| 49 | 0.42515 | 19 | 0.18146 | 15 | (0)2803.2 | 25.5 | 49 | 0.43678 | 20 | 0.19028 | 15 | (0)1336.6 | 25.6 |
| 50 | 0.42534 | 19 | 0.18161 | 14 | (0)2828.7 | 25.4 | 50 | 0.43697 | 19 | 0.19043 | 15 | (0)1362.2 | 25.6 |
| 51 | 0.42553 | 19 | 0.18175 | 15 | (0)2854.1 | 25.5 | 51 | 0.43717 | 20 | 0.19058 | 15 | (0)1387.8 | 25.7 |
| 52 | 0.42572 | 20 | 0.18190 | 15 | (0)2879.6 | 25.5 | 52 | 0.43736 | 19 | 0.19073 | 15 | (0)1413.5 | 25.6 |
| 53 | 0.42592 | 19 | 0.18204 | 14 | (0)2905.1 | 25.5 | 53 | 0.43756 | 20 | 0.19088 | 15 | (0)1439.1 | 25.7 |
| 54 | 0.42611 | 19 | 0.18219 | 14 | (0)2930.6 | 25.5 | 54 | 0.43776 | 19 | 0.19103 | 15 | (0)1464.8 | 25.6 |
| 55 | 0.42630 | 19 | 0.18233 | 15 | (0)2956.1 | 25.6 | 55 | 0.43795 | 20 | 0.19118 | 15 | (0)1490.4 | 25.6 |
| 56 | 0.42649 | 19 | 0.18248 | 14 | (0)2981.7 | 25.5 | 56 | 0.43815 | 19 | 0.19133 | 15 | (0)1516.0 | 25.7 |
| 57 | 0.42668 | 20 | 0.18262 | 15 | (0)3007.2 | 25.5 | 57 | 0.43834 | 20 | 0.19148 | 15 | (0)1541.7 | 25.6 |
| 58 | 0.42688 | 19 | 0.18277 | 14 | (0)3032.7 | 25.5 | 58 | 0.43854 | 19 | 0.19163 | 15 | (0)1567.3 | 25.7 |
| 59 | 0.42707 | 19 | 0.18291 | 15 | (0)3058.2 | 25.5 | 59 | 0.43874 | 20 | 0.19178 | 15 | (0)1593.0 | 25.6 |
| 60 | 0.42726 | 19 | 0.18306 | 15 | (0)3083.7 | 25.5 | 60 | 0.43893 | 19 | 0.19193 | 15 | (0)1618.6 | 25.6 |

$\omega = 50 \text{ Grad.}$ $\omega = 51 \text{ Grad.}$

| ω | z' | Diff. | $\log \cos z$ | Diff. | $\log \sin z$ | Diff. | ω | z' | Diff. | $\log \cos z$ | Diff. | $\log \sin z$ | Diff. |
|----------|---------|-------|---------------|-------|---------------|-------|----------|---------|-------|---------------|-------|---------------|-------|
| 0 | 0.43893 | | 0.19193 | | 17618.6 | 25.7 | 0 | 0.43893 | | 0.20113 | | 19163.1 | 25.8 |
| 1 | 0.43913 | 20 | 0.19208 | 15 | 17644.3 | 25.7 | 1 | 0.43913 | 20 | 0.20128 | 15 | 19188.9 | 25.8 |
| 2 | 0.43933 | 19 | 0.19223 | 15 | 17670.0 | 25.6 | 2 | 0.43933 | 20 | 0.20144 | 16 | 19214.7 | 25.9 |
| 3 | 0.43952 | | 0.19238 | | 17695.6 | 25.7 | 3 | 0.43952 | | 0.20160 | | 19240.6 | 25.8 |
| 4 | 0.43972 | 20 | 0.19254 | 16 | 17721.3 | 25.7 | 4 | 0.43972 | 20 | 0.20175 | 16 | 19266.4 | 25.9 |
| 5 | 0.43992 | 19 | 0.19269 | 15 | 17747.0 | 25.6 | 5 | 0.43992 | 21 | 0.20191 | 16 | 19292.3 | 25.8 |
| 6 | 0.44011 | | 0.19284 | | 17772.6 | 25.7 | 6 | 0.44011 | | 0.20207 | | 19318.1 | 25.9 |
| 7 | 0.44031 | 20 | 0.19299 | 15 | 17798.3 | 25.7 | 7 | 0.44031 | 20 | 0.20222 | 16 | 19344.0 | 25.8 |
| 8 | 0.44051 | 19 | 0.19314 | 15 | 17824.0 | 25.7 | 8 | 0.44051 | 20 | 0.20238 | 16 | 19369.8 | 25.9 |
| 9 | 0.44071 | | 0.19329 | | 17849.7 | 25.6 | 9 | 0.44071 | | 0.20254 | | 19395.7 | 25.8 |
| 10 | 0.44090 | 20 | 0.19344 | 15 | 17875.3 | 25.7 | 10 | 0.44090 | 20 | 0.20269 | 16 | 19421.5 | 25.9 |
| 11 | 0.44110 | 19 | 0.19359 | 16 | 17901.0 | 25.7 | 11 | 0.44110 | 21 | 0.20285 | 16 | 19447.4 | 25.9 |
| 12 | 0.44130 | | 0.19375 | | 17926.7 | 25.7 | 12 | 0.44130 | | 0.20299 | | 19473.3 | 25.9 |
| 13 | 0.44149 | 20 | 0.19390 | 15 | 17952.4 | 25.7 | 13 | 0.44149 | 20 | 0.20316 | 16 | 19499.2 | 25.8 |
| 14 | 0.44169 | 19 | 0.19405 | 15 | 17978.1 | 25.7 | 14 | 0.44169 | 20 | 0.20332 | 16 | 19525.0 | 25.9 |
| 15 | 0.44189 | | 0.19420 | | 18003.8 | 25.7 | 15 | 0.44189 | | 0.20348 | | 19550.9 | 25.9 |
| 16 | 0.44209 | 20 | 0.19435 | 15 | 18029.5 | 25.7 | 16 | 0.44209 | 20 | 0.20364 | 15 | 19576.8 | 25.9 |
| 17 | 0.44229 | 19 | 0.19450 | 16 | 18055.2 | 25.7 | 17 | 0.44229 | 21 | 0.20379 | 16 | 19602.7 | 25.9 |
| 18 | 0.44248 | | 0.19466 | | 18080.9 | 25.7 | 18 | 0.44248 | | 0.20395 | | 19628.6 | 25.8 |
| 19 | 0.44268 | 20 | 0.19481 | 15 | 18106.6 | 25.7 | 19 | 0.44268 | 20 | 0.20411 | 16 | 19654.4 | 25.9 |
| 20 | 0.44288 | 19 | 0.19496 | 15 | 18132.3 | 25.7 | 20 | 0.44288 | 20 | 0.20427 | 15 | 19680.3 | 25.9 |
| 21 | 0.44308 | | 0.19511 | | 18158.0 | 25.7 | 21 | 0.44308 | | 0.20442 | | 19706.2 | 25.9 |
| 22 | 0.44327 | 20 | 0.19527 | 15 | 18183.7 | 25.7 | 22 | 0.44327 | 20 | 0.20458 | 16 | 19732.1 | 25.9 |
| 23 | 0.44347 | 19 | 0.19542 | 15 | 18209.4 | 25.8 | 23 | 0.44347 | 21 | 0.20474 | 16 | 19758.0 | 26.0 |
| 24 | 0.44367 | | 0.19557 | | 18235.2 | 25.7 | 24 | 0.44367 | | 0.20490 | | 19783.9 | 25.9 |
| 25 | 0.44387 | 20 | 0.19572 | 16 | 18260.9 | 25.7 | 25 | 0.44387 | 21 | 0.20506 | 16 | 19809.9 | 25.9 |
| 26 | 0.44407 | 19 | 0.19588 | 15 | 18286.6 | 25.7 | 26 | 0.44407 | 20 | 0.20522 | 15 | 19835.8 | 25.9 |
| 27 | 0.44427 | | 0.19603 | | 18312.3 | 25.8 | 27 | 0.44427 | | 0.20537 | | 19861.7 | 25.9 |
| 28 | 0.44446 | 20 | 0.19618 | 16 | 18338.1 | 25.7 | 28 | 0.44446 | 20 | 0.20553 | 16 | 19887.6 | 26.0 |
| 29 | 0.44466 | 19 | 0.19634 | 15 | 18363.8 | 25.8 | 29 | 0.44466 | 21 | 0.20569 | 16 | 19913.5 | 25.9 |
| 30 | 0.44486 | | 0.19649 | | 18389.6 | 25.7 | 30 | 0.44486 | | 0.20585 | | 19939.5 | 25.9 |
| 31 | 0.44506 | 20 | 0.19664 | 16 | 18415.3 | 25.7 | 31 | 0.44506 | 20 | 0.20601 | 16 | 19965.4 | 25.9 |
| 32 | 0.44526 | 19 | 0.19680 | 15 | 18441.0 | 25.8 | 32 | 0.44526 | 21 | 0.20617 | 16 | 19991.3 | 26 |
| 33 | 0.44546 | | 0.19695 | | 18466.8 | 25.8 | 33 | 0.44546 | | 0.20633 | | 20017.2 | 26 |
| 34 | 0.44566 | 20 | 0.19710 | 16 | 18492.5 | 25.8 | 34 | 0.44566 | 20 | 0.20649 | 16 | 20043.1 | 26 |
| 35 | 0.44586 | 19 | 0.19726 | 15 | 18518.3 | 25.8 | 35 | 0.44586 | 21 | 0.20665 | 16 | 20069.0 | 26 |
| 36 | 0.44605 | | 0.19741 | | 18544.0 | 25.7 | 36 | 0.44605 | | 0.20681 | | 20095.0 | 26 |
| 37 | 0.44625 | 20 | 0.19756 | 16 | 18569.8 | 25.8 | 37 | 0.44625 | 20 | 0.20696 | 16 | 20121.0 | 26 |
| 38 | 0.44645 | 19 | 0.19772 | 15 | 18595.6 | 25.7 | 38 | 0.44645 | 21 | 0.20712 | 16 | 20147.0 | 26 |
| 39 | 0.44665 | | 0.19787 | | 18621.3 | 25.8 | 39 | 0.44665 | | 0.20728 | | 20173.0 | 26 |
| 40 | 0.44685 | 20 | 0.19803 | 15 | 18647.1 | 25.8 | 40 | 0.44685 | 20 | 0.20744 | 16 | 20199.0 | 26 |
| 41 | 0.44705 | 19 | 0.19818 | 16 | 18672.9 | 25.7 | 41 | 0.44705 | 21 | 0.20760 | 16 | 20225.0 | 26 |
| 42 | 0.44725 | | 0.19834 | | 18698.6 | 25.8 | 42 | 0.44725 | | 0.20776 | | 20251.0 | 26 |
| 43 | 0.44745 | 20 | 0.19849 | 15 | 18724.4 | 25.8 | 43 | 0.44745 | 20 | 0.20792 | 16 | 20277.0 | 26 |
| 44 | 0.44765 | 19 | 0.19864 | 16 | 18750.2 | 25.8 | 44 | 0.44765 | 21 | 0.20808 | 16 | 20303.0 | 26 |
| 45 | 0.44785 | | 0.19880 | | 18776.0 | 25.8 | 45 | 0.44785 | | 0.20824 | | 20329.0 | 26 |
| 46 | 0.44805 | 20 | 0.19895 | 15 | 18801.8 | 25.7 | 46 | 0.44805 | 21 | 0.20840 | 16 | 20355.0 | 26 |
| 47 | 0.44825 | 19 | 0.19911 | 15 | 18827.5 | 25.8 | 47 | 0.44825 | 20 | 0.20856 | 16 | 20381.0 | 26 |
| 48 | 0.44845 | | 0.19926 | | 18853.3 | 25.8 | 48 | 0.44845 | | 0.20872 | | 20407.0 | 26 |
| 49 | 0.44865 | 20 | 0.19942 | 15 | 18879.1 | 25.8 | 49 | 0.44865 | 20 | 0.20888 | 16 | 20433.0 | 26 |
| 50 | 0.44885 | 19 | 0.19957 | 16 | 18904.9 | 25.9 | 50 | 0.44885 | 21 | 0.20905 | 16 | 20459.0 | 26 |
| 51 | 0.44905 | | 0.19973 | | 18930.7 | 25.8 | 51 | 0.44905 | | 0.20921 | | 20485.0 | 26 |
| 52 | 0.44925 | 20 | 0.19988 | 15 | 18956.5 | 25.8 | 52 | 0.44925 | 20 | 0.20937 | 16 | 20511.0 | 26 |
| 53 | 0.44945 | 19 | 0.20004 | 15 | 18982.3 | 25.9 | 53 | 0.44945 | 21 | 0.20953 | 16 | 20537.0 | 26 |
| 54 | 0.44965 | | 0.20019 | | 19008.2 | 25.8 | 54 | 0.44965 | | 0.20969 | | 20563.0 | 26 |
| 55 | 0.44985 | 20 | 0.20035 | 15 | 19034.0 | 25.8 | 55 | 0.44985 | 20 | 0.20985 | 16 | 20589.0 | 26 |
| 56 | 0.45005 | 19 | 0.20050 | 16 | 19059.8 | 25.8 | 56 | 0.45005 | 21 | 0.21001 | 16 | 20615.0 | 26 |
| 57 | 0.45025 | | 0.20066 | | 19085.6 | 25.8 | 57 | 0.45025 | | 0.21017 | | 20641.0 | 26 |
| 58 | 0.45045 | 20 | 0.20082 | 15 | 19111.4 | 25.8 | 58 | 0.45045 | 20 | 0.21033 | 17 | 20667.0 | 26 |
| 59 | 0.45065 | 19 | 0.20097 | 16 | 19137.2 | 25.9 | 59 | 0.45065 | 21 | 0.21050 | 16 | 20693.0 | 26 |
| 60 | 0.45085 | | 0.20113 | | 19163.1 | 25.9 | 60 | 0.45085 | | 0.21066 | | 20719.0 | 26 |

$\omega = 52 \text{ Grad.}$ $\omega = 53 \text{ Grad.}$

| ω | z' | Diff. | $\log \cos z$ | Diff. | $\log \sin z$ | Diff. | ω | z' | Diff. | $\log \cos z$ | Diff. | $\log \sin z$ | Diff. |
|----------|---------|-------|---------------|-------|---------------|-------|----------|---------|-------|---------------|-------|---------------|-------|
| 0 | 0.46303 | | 0.21066 | | 0.10719 | | 0 | 0.47518 | | 0.22051 | | 0.12289 | |
| 1 | 0.46323 | 20 | 0.21082 | 16 | 0.10745 | 26 | 1 | 0.47569 | 21 | 0.22070 | 16 | 0.12315 | 26 |
| 2 | 0.46344 | 20 | 0.21098 | 16 | 0.10771 | 26 | 2 | 0.47590 | 21 | 0.22087 | 17 | 0.12341 | 26 |
| 3 | 0.46364 | 20 | 0.21114 | 16 | 0.10797 | 26 | 3 | 0.47611 | 21 | 0.22104 | 17 | 0.12367 | 26 |
| 4 | 0.46385 | 21 | 0.21131 | 17 | 0.10823 | 26 | 4 | 0.47632 | 21 | 0.22121 | 17 | 0.12394 | 26 |
| 5 | 0.46406 | 21 | 0.21147 | 16 | 0.10849 | 26 | 5 | 0.47653 | 21 | 0.22138 | 16 | 0.12420 | 26 |
| 6 | 0.46426 | 20 | 0.21163 | 16 | 0.10875 | 26 | 6 | 0.47674 | 21 | 0.22154 | 17 | 0.12446 | 27 |
| 7 | 0.46447 | 21 | 0.21179 | 16 | 0.10901 | 26 | 7 | 0.47695 | 21 | 0.22171 | 17 | 0.12473 | 26 |
| 8 | 0.46467 | 21 | 0.21195 | 16 | 0.10927 | 26 | 8 | 0.47716 | 21 | 0.22188 | 17 | 0.12499 | 26 |
| 9 | 0.46488 | 20 | 0.21212 | 17 | 0.10954 | 26 | 9 | 0.47737 | 21 | 0.22205 | 17 | 0.12525 | 27 |
| 10 | 0.46508 | 20 | 0.21228 | 16 | 0.10980 | 26 | 10 | 0.47758 | 21 | 0.22222 | 17 | 0.12552 | 26 |
| 11 | 0.46529 | 21 | 0.21244 | 16 | 0.11006 | 26 | 11 | 0.47779 | 21 | 0.22239 | 17 | 0.12578 | 26 |
| 12 | 0.46550 | 20 | 0.21261 | 17 | 0.11032 | 26 | 12 | 0.47800 | 22 | 0.22256 | 17 | 0.12604 | 27 |
| 13 | 0.46570 | 20 | 0.21277 | 16 | 0.11058 | 26 | 13 | 0.47822 | 21 | 0.22272 | 16 | 0.12631 | 26 |
| 14 | 0.46591 | 20 | 0.21293 | 16 | 0.11084 | 26 | 14 | 0.47843 | 21 | 0.22289 | 17 | 0.12657 | 26 |
| 15 | 0.46611 | 21 | 0.21309 | 17 | 0.11110 | 26 | 15 | 0.47864 | 21 | 0.22306 | 17 | 0.12683 | 27 |
| 16 | 0.46632 | 21 | 0.21326 | 17 | 0.11136 | 26 | 16 | 0.47885 | 21 | 0.22323 | 17 | 0.12710 | 26 |
| 17 | 0.46653 | 20 | 0.21342 | 16 | 0.11162 | 26 | 17 | 0.47906 | 21 | 0.22340 | 17 | 0.12736 | 26 |
| 18 | 0.46673 | 21 | 0.21358 | 17 | 0.11188 | 26 | 18 | 0.47927 | 21 | 0.22357 | 17 | 0.12762 | 27 |
| 19 | 0.46694 | 21 | 0.21375 | 16 | 0.11214 | 26 | 19 | 0.47948 | 21 | 0.22374 | 17 | 0.12789 | 26 |
| 20 | 0.46715 | 20 | 0.21391 | 16 | 0.11241 | 27 | 20 | 0.47969 | 22 | 0.22391 | 17 | 0.12815 | 27 |
| 21 | 0.46735 | 21 | 0.21408 | 15 | 0.11267 | 26 | 21 | 0.47981 | 21 | 0.22408 | 17 | 0.12842 | 26 |
| 22 | 0.46756 | 21 | 0.21424 | 16 | 0.11293 | 26 | 22 | 0.48012 | 21 | 0.22425 | 17 | 0.12868 | 26 |
| 23 | 0.46777 | 20 | 0.21441 | 17 | 0.11319 | 26 | 23 | 0.48033 | 21 | 0.22442 | 17 | 0.12894 | 27 |
| 24 | 0.46798 | 20 | 0.21457 | 16 | 0.11345 | 26 | 24 | 0.48054 | 22 | 0.22459 | 17 | 0.12921 | 26 |
| 25 | 0.46818 | 21 | 0.21473 | 17 | 0.11371 | 26 | 25 | 0.48076 | 21 | 0.22476 | 17 | 0.12947 | 26 |
| 26 | 0.46839 | 21 | 0.21490 | 16 | 0.11397 | 26 | 26 | 0.48097 | 21 | 0.22493 | 17 | 0.12973 | 27 |
| 27 | 0.46860 | 20 | 0.21506 | 16 | 0.11423 | 27 | 27 | 0.48118 | 21 | 0.22510 | 17 | 0.13000 | 26 |
| 28 | 0.46880 | 20 | 0.21522 | 17 | 0.11450 | 26 | 28 | 0.48139 | 21 | 0.22527 | 17 | 0.13026 | 26 |
| 29 | 0.46901 | 21 | 0.21539 | 16 | 0.11476 | 26 | 29 | 0.48160 | 21 | 0.22544 | 17 | 0.13053 | 27 |
| 30 | 0.46922 | 21 | 0.21555 | 17 | 0.11502 | 26 | 30 | 0.48181 | 22 | 0.22561 | 17 | 0.13079 | 27 |
| 31 | 0.46943 | 20 | 0.21572 | 16 | 0.11528 | 26 | 31 | 0.48203 | 21 | 0.22578 | 17 | 0.13106 | 26 |
| 32 | 0.46963 | 21 | 0.21588 | 17 | 0.11554 | 26 | 32 | 0.48224 | 21 | 0.22595 | 18 | 0.13132 | 26 |
| 33 | 0.46984 | 21 | 0.21605 | 16 | 0.11580 | 27 | 33 | 0.48245 | 21 | 0.22613 | 17 | 0.13158 | 27 |
| 34 | 0.47005 | 21 | 0.21621 | 17 | 0.11607 | 26 | 34 | 0.48266 | 22 | 0.22630 | 17 | 0.13185 | 26 |
| 35 | 0.47026 | 21 | 0.21638 | 16 | 0.11633 | 26 | 35 | 0.48288 | 21 | 0.22647 | 17 | 0.13211 | 27 |
| 36 | 0.47047 | 20 | 0.21654 | 17 | 0.11659 | 26 | 36 | 0.48309 | 21 | 0.22664 | 17 | 0.13238 | 26 |
| 37 | 0.47067 | 21 | 0.21671 | 16 | 0.11685 | 26 | 37 | 0.48330 | 22 | 0.22681 | 17 | 0.13264 | 27 |
| 38 | 0.47088 | 21 | 0.21687 | 17 | 0.11711 | 27 | 38 | 0.48352 | 22 | 0.22698 | 17 | 0.13291 | 26 |
| 39 | 0.47109 | 21 | 0.21701 | 16 | 0.11738 | 26 | 39 | 0.48373 | 21 | 0.22715 | 17 | 0.13317 | 27 |
| 40 | 0.47130 | 20 | 0.21718 | 17 | 0.11764 | 26 | 40 | 0.48394 | 22 | 0.22732 | 18 | 0.13344 | 26 |
| 41 | 0.47151 | 20 | 0.21737 | 17 | 0.11790 | 26 | 41 | 0.48416 | 21 | 0.22750 | 17 | 0.13370 | 27 |
| 42 | 0.47171 | 21 | 0.21754 | 16 | 0.11816 | 26 | 42 | 0.48437 | 21 | 0.22767 | 17 | 0.13397 | 26 |
| 43 | 0.47192 | 21 | 0.21770 | 17 | 0.11842 | 27 | 43 | 0.48458 | 22 | 0.22784 | 17 | 0.13423 | 26 |
| 44 | 0.47213 | 21 | 0.21787 | 16 | 0.11869 | 26 | 44 | 0.48480 | 21 | 0.22801 | 18 | 0.13449 | 27 |
| 45 | 0.47234 | 21 | 0.21803 | 17 | 0.11895 | 26 | 45 | 0.48501 | 21 | 0.22819 | 17 | 0.13476 | 26 |
| 46 | 0.47255 | 21 | 0.21820 | 17 | 0.11921 | 26 | 46 | 0.48522 | 22 | 0.22836 | 17 | 0.13502 | 27 |
| 47 | 0.47276 | 21 | 0.21837 | 16 | 0.11947 | 26 | 47 | 0.48544 | 21 | 0.22853 | 17 | 0.13529 | 26 |
| 48 | 0.47297 | 21 | 0.21853 | 17 | 0.11973 | 27 | 48 | 0.48565 | 22 | 0.22870 | 18 | 0.13555 | 27 |
| 49 | 0.47318 | 21 | 0.21870 | 17 | 0.12000 | 26 | 49 | 0.48587 | 21 | 0.22888 | 17 | 0.13582 | 27 |
| 50 | 0.47339 | 20 | 0.21887 | 16 | 0.12026 | 26 | 50 | 0.48608 | 21 | 0.22905 | 17 | 0.13608 | 26 |
| 51 | 0.47359 | 21 | 0.21903 | 17 | 0.12052 | 26 | 51 | 0.48629 | 22 | 0.22922 | 17 | 0.13635 | 27 |
| 52 | 0.47380 | 21 | 0.21920 | 17 | 0.12078 | 27 | 52 | 0.48651 | 21 | 0.22939 | 18 | 0.13662 | 26 |
| 53 | 0.47401 | 21 | 0.21937 | 16 | 0.12105 | 26 | 53 | 0.48672 | 22 | 0.22957 | 17 | 0.13688 | 27 |
| 54 | 0.47422 | 21 | 0.21953 | 17 | 0.12131 | 26 | 54 | 0.48694 | 21 | 0.22974 | 17 | 0.13715 | 26 |
| 55 | 0.47443 | 21 | 0.21970 | 17 | 0.12157 | 26 | 55 | 0.48715 | 21 | 0.22991 | 18 | 0.13741 | 27 |
| 56 | 0.47464 | 21 | 0.21987 | 16 | 0.12183 | 27 | 56 | 0.48736 | 22 | 0.23009 | 17 | 0.13768 | 26 |
| 57 | 0.47485 | 21 | 0.22003 | 17 | 0.12210 | 26 | 57 | 0.48757 | 21 | 0.23026 | 17 | 0.13794 | 27 |
| 58 | 0.47506 | 21 | 0.22020 | 17 | 0.12236 | 26 | 58 | 0.48779 | 22 | 0.23043 | 18 | 0.13821 | 26 |
| 59 | 0.47527 | 21 | 0.22037 | 17 | 0.12262 | 27 | 59 | 0.48801 | 21 | 0.23061 | 17 | 0.13847 | 27 |
| 60 | 0.47548 | | 0.22054 | | 0.12289 | | 60 | 0.48822 | | 0.23078 | | 0.13874 | |

$\omega = 54 \text{ Grad.}$ $\omega = 55 \text{ Grad.}$

| ω | z' | Diff. | $\log \cos z$ | Diff. | $\log \sin z$ | Diff. | ω | z' | Diff. | $\log \cos z$ | Diff. | $\log \sin z$ | Diff. |
|----------|---------|-------|---------------|-------|---------------|-------|----------|---------|-------|---------------|-------|---------------|-------|
| 0 | 0.48822 | 22 | 0.23078 | 18 | 0.13874 | 26 | 0 | 0.50128 | 22 | 0.24141 | 18 | 0.15477 | 27 |
| 1 | 0.48844 | 21 | 0.23096 | 17 | 0.13900 | 27 | 1 | 0.50150 | 22 | 0.24159 | 18 | 0.15594 | 27 |
| 2 | 0.48865 | 21 | 0.23113 | 17 | 0.13927 | 27 | 2 | 0.50172 | 22 | 0.24177 | 18 | 0.15531 | 27 |
| 3 | 0.48887 | 21 | 0.23130 | 18 | 0.13954 | 26 | 3 | 0.50194 | 22 | 0.24195 | 18 | 0.15558 | 27 |
| 4 | 0.48908 | 22 | 0.23148 | 17 | 0.13980 | 27 | 4 | 0.50216 | 22 | 0.24213 | 18 | 0.15585 | 27 |
| 5 | 0.48930 | 22 | 0.23165 | 18 | 0.14007 | 26 | 5 | 0.50238 | 22 | 0.24231 | 18 | 0.15612 | 27 |
| 6 | 0.48952 | 21 | 0.23183 | 17 | 0.14033 | 27 | 6 | 0.50260 | 22 | 0.24249 | 18 | 0.15639 | 27 |
| 7 | 0.48973 | 22 | 0.23200 | 18 | 0.14060 | 27 | 7 | 0.50282 | 22 | 0.24267 | 19 | 0.15666 | 27 |
| 8 | 0.48995 | 21 | 0.23218 | 17 | 0.14087 | 26 | 8 | 0.50304 | 22 | 0.24286 | 18 | 0.15693 | 27 |
| 9 | 0.49016 | 22 | 0.23235 | 18 | 0.14113 | 27 | 9 | 0.50326 | 22 | 0.24304 | 18 | 0.15720 | 27 |
| 10 | 0.49038 | 21 | 0.23253 | 17 | 0.14140 | 26 | 10 | 0.50348 | 23 | 0.24322 | 18 | 0.15746 | 27 |
| 11 | 0.49059 | 22 | 0.23270 | 18 | 0.14166 | 27 | 11 | 0.50371 | 22 | 0.24340 | 18 | 0.15773 | 27 |
| 12 | 0.49081 | 22 | 0.23288 | 17 | 0.14193 | 27 | 12 | 0.50393 | 22 | 0.24358 | 18 | 0.15800 | 27 |
| 13 | 0.49103 | 21 | 0.23305 | 18 | 0.14220 | 26 | 13 | 0.50415 | 22 | 0.24376 | 19 | 0.15827 | 27 |
| 14 | 0.49124 | 21 | 0.23323 | 17 | 0.14246 | 27 | 14 | 0.50437 | 22 | 0.24395 | 18 | 0.15854 | 27 |
| 15 | 0.49146 | 21 | 0.23340 | 18 | 0.14273 | 27 | 15 | 0.50459 | 22 | 0.24413 | 18 | 0.15881 | 27 |
| 16 | 0.49167 | 22 | 0.23358 | 18 | 0.14300 | 26 | 16 | 0.50481 | 23 | 0.24431 | 18 | 0.15908 | 27 |
| 17 | 0.49189 | 22 | 0.23375 | 18 | 0.14326 | 27 | 17 | 0.50504 | 22 | 0.24449 | 18 | 0.15935 | 27 |
| 18 | 0.49211 | 21 | 0.23393 | 17 | 0.14353 | 27 | 18 | 0.50526 | 22 | 0.24467 | 19 | 0.15962 | 27 |
| 19 | 0.49232 | 22 | 0.23410 | 18 | 0.14380 | 26 | 19 | 0.50548 | 22 | 0.24486 | 18 | 0.15989 | 27 |
| 20 | 0.49254 | 21 | 0.23428 | 18 | 0.14406 | 27 | 20 | 0.50570 | 22 | 0.24504 | 18 | 0.16016 | 27 |
| 21 | 0.49276 | 21 | 0.23446 | 17 | 0.14433 | 27 | 21 | 0.50592 | 23 | 0.24522 | 19 | 0.16043 | 27 |
| 22 | 0.49297 | 22 | 0.23463 | 18 | 0.14460 | 26 | 22 | 0.50615 | 22 | 0.24541 | 18 | 0.16070 | 27 |
| 23 | 0.49319 | 22 | 0.23481 | 18 | 0.14486 | 27 | 23 | 0.50637 | 22 | 0.24559 | 18 | 0.16097 | 27 |
| 24 | 0.49341 | 21 | 0.23499 | 17 | 0.14513 | 27 | 24 | 0.50659 | 22 | 0.24577 | 18 | 0.16124 | 27 |
| 25 | 0.49362 | 22 | 0.23516 | 18 | 0.14540 | 26 | 25 | 0.50681 | 23 | 0.24595 | 18 | 0.16151 | 27 |
| 26 | 0.49384 | 22 | 0.23534 | 18 | 0.14566 | 27 | 26 | 0.50704 | 22 | 0.24614 | 18 | 0.16178 | 27 |
| 27 | 0.49406 | 22 | 0.23552 | 17 | 0.14593 | 27 | 27 | 0.50726 | 22 | 0.24632 | 18 | 0.16205 | 27 |
| 28 | 0.49428 | 21 | 0.23569 | 18 | 0.14620 | 26 | 28 | 0.50748 | 22 | 0.24650 | 19 | 0.16232 | 27 |
| 29 | 0.49449 | 22 | 0.23587 | 18 | 0.14646 | 27 | 29 | 0.50770 | 23 | 0.24669 | 18 | 0.16260 | 27 |
| 30 | 0.49471 | 22 | 0.23605 | 17 | 0.14673 | 27 | 30 | 0.50793 | 22 | 0.24687 | 18 | 0.16287 | 27 |
| 31 | 0.49493 | 22 | 0.23622 | 18 | 0.14700 | 26 | 31 | 0.50815 | 22 | 0.24706 | 19 | 0.16314 | 27 |
| 32 | 0.49515 | 21 | 0.23640 | 18 | 0.14727 | 27 | 32 | 0.50837 | 23 | 0.24724 | 18 | 0.16341 | 27 |
| 33 | 0.49536 | 22 | 0.23658 | 18 | 0.14753 | 26 | 33 | 0.50860 | 22 | 0.24742 | 18 | 0.16368 | 27 |
| 34 | 0.49558 | 22 | 0.23676 | 17 | 0.14780 | 27 | 34 | 0.50882 | 22 | 0.24761 | 19 | 0.16395 | 27 |
| 35 | 0.49580 | 22 | 0.23693 | 18 | 0.14807 | 26 | 35 | 0.50904 | 23 | 0.24779 | 18 | 0.16422 | 27 |
| 36 | 0.49602 | 22 | 0.23711 | 18 | 0.14834 | 27 | 36 | 0.50927 | 22 | 0.24798 | 19 | 0.16449 | 27 |
| 37 | 0.49624 | 21 | 0.23729 | 18 | 0.14860 | 26 | 37 | 0.50949 | 22 | 0.24816 | 18 | 0.16476 | 27 |
| 38 | 0.49645 | 22 | 0.23747 | 17 | 0.14887 | 27 | 38 | 0.50971 | 23 | 0.24835 | 18 | 0.16503 | 27 |
| 39 | 0.49667 | 22 | 0.23764 | 18 | 0.14914 | 26 | 39 | 0.50994 | 22 | 0.24853 | 19 | 0.16530 | 27 |
| 40 | 0.49689 | 22 | 0.23782 | 18 | 0.14941 | 27 | 40 | 0.51016 | 23 | 0.24872 | 18 | 0.16558 | 27 |
| 41 | 0.49711 | 22 | 0.23800 | 18 | 0.14967 | 26 | 41 | 0.51039 | 22 | 0.24890 | 19 | 0.16585 | 27 |
| 42 | 0.49733 | 22 | 0.23818 | 18 | 0.14994 | 27 | 42 | 0.51061 | 22 | 0.24909 | 18 | 0.16612 | 27 |
| 43 | 0.49755 | 22 | 0.23836 | 18 | 0.15021 | 27 | 43 | 0.51083 | 23 | 0.24927 | 18 | 0.16639 | 27 |
| 44 | 0.49777 | 21 | 0.23854 | 17 | 0.15048 | 27 | 44 | 0.51106 | 22 | 0.24946 | 18 | 0.16666 | 27 |
| 45 | 0.49798 | 22 | 0.23871 | 18 | 0.15075 | 26 | 45 | 0.51128 | 23 | 0.24964 | 19 | 0.16693 | 27 |
| 46 | 0.49820 | 22 | 0.23889 | 18 | 0.15101 | 27 | 46 | 0.51151 | 22 | 0.24983 | 18 | 0.16720 | 27 |
| 47 | 0.49842 | 22 | 0.23907 | 17 | 0.15128 | 27 | 47 | 0.51173 | 23 | 0.25001 | 19 | 0.16748 | 27 |
| 48 | 0.49864 | 22 | 0.23926 | 18 | 0.15155 | 26 | 48 | 0.51196 | 22 | 0.25020 | 18 | 0.16775 | 27 |
| 49 | 0.49886 | 22 | 0.23943 | 18 | 0.15182 | 27 | 49 | 0.51218 | 23 | 0.25039 | 19 | 0.16802 | 27 |
| 50 | 0.49908 | 22 | 0.23961 | 18 | 0.15209 | 27 | 50 | 0.51241 | 22 | 0.25057 | 18 | 0.16829 | 27 |
| 51 | 0.49930 | 22 | 0.23979 | 18 | 0.15236 | 26 | 51 | 0.51263 | 23 | 0.25076 | 19 | 0.16856 | 27 |
| 52 | 0.49952 | 22 | 0.23997 | 18 | 0.15262 | 27 | 52 | 0.51286 | 22 | 0.25094 | 18 | 0.16883 | 27 |
| 53 | 0.49974 | 22 | 0.24015 | 18 | 0.15289 | 27 | 53 | 0.51308 | 23 | 0.25113 | 19 | 0.16911 | 27 |
| 54 | 0.49996 | 22 | 0.24033 | 18 | 0.15316 | 26 | 54 | 0.51331 | 22 | 0.25132 | 18 | 0.16938 | 27 |
| 55 | 0.50018 | 22 | 0.24051 | 18 | 0.15343 | 27 | 55 | 0.51353 | 23 | 0.25150 | 19 | 0.16965 | 27 |
| 56 | 0.50040 | 22 | 0.24069 | 18 | 0.15370 | 27 | 56 | 0.51376 | 22 | 0.25169 | 18 | 0.16992 | 27 |
| 57 | 0.50062 | 22 | 0.24087 | 18 | 0.15397 | 26 | 57 | 0.51398 | 23 | 0.25188 | 19 | 0.17020 | 27 |
| 58 | 0.50084 | 22 | 0.24105 | 18 | 0.15424 | 27 | 58 | 0.51421 | 22 | 0.25206 | 18 | 0.17047 | 27 |
| 59 | 0.50106 | 22 | 0.24123 | 18 | 0.15450 | 26 | 59 | 0.51444 | 23 | 0.25225 | 19 | 0.17074 | 27 |
| 60 | 0.50128 | 22 | 0.24141 | 18 | 0.15477 | 27 | 60 | 0.51466 | 22 | 0.25244 | 18 | 0.17101 | 27 |

$\omega = 56 \text{ Grad.}$ $\omega = 57 \text{ Grad.}$

| ω | z' | Diff. | $\log \cos z$ | Diff. | $\log \sin z$ | Diff. | ω | z' | Diff. | $\log \cos z$ | Diff. | $\log \sin z$ | Diff. |
|----------|---------|-------|---------------|-------|---------------|-------|----------|---------|-------|---------------|-------|---------------|-------|
| 0 | 0.51466 | 23 | 0.25244 | 19 | 0.17101 | 28 | 0 | 0.52840 | 23 | 0.26389 | 20 | 0.18748 | 28 |
| 1 | 0.51489 | 23 | 0.25263 | 18 | 0.17129 | 27 | 1 | 0.52863 | 23 | 0.26409 | 19 | 0.18776 | 28 |
| 2 | 0.51511 | 23 | 0.25281 | 19 | 0.17156 | 27 | 2 | 0.52886 | 23 | 0.26428 | 20 | 0.18804 | 27 |
| 3 | 0.51534 | 23 | 0.25300 | 19 | 0.17183 | 27 | 3 | 0.52909 | 23 | 0.26448 | 19 | 0.18831 | 28 |
| 4 | 0.51557 | 22 | 0.25319 | 19 | 0.17210 | 28 | 4 | 0.52932 | 24 | 0.26467 | 20 | 0.18859 | 28 |
| 5 | 0.51579 | 23 | 0.25338 | 18 | 0.17238 | 27 | 5 | 0.52956 | 23 | 0.26487 | 19 | 0.18887 | 27 |
| 6 | 0.51602 | 22 | 0.25356 | 19 | 0.17265 | 27 | 6 | 0.52979 | 23 | 0.26506 | 20 | 0.18914 | 28 |
| 7 | 0.51624 | 23 | 0.25375 | 19 | 0.17292 | 27 | 7 | 0.53002 | 23 | 0.26526 | 19 | 0.18942 | 28 |
| 8 | 0.51647 | 23 | 0.25394 | 19 | 0.17319 | 28 | 8 | 0.53025 | 24 | 0.26545 | 20 | 0.18970 | 27 |
| 9 | 0.51670 | 23 | 0.25413 | 19 | 0.17347 | 27 | 9 | 0.53049 | 23 | 0.26565 | 19 | 0.18997 | 28 |
| 10 | 0.51693 | 22 | 0.25432 | 19 | 0.17374 | 27 | 10 | 0.53072 | 23 | 0.26584 | 20 | 0.19025 | 28 |
| 11 | 0.51715 | 23 | 0.25451 | 18 | 0.17401 | 28 | 11 | 0.53095 | 24 | 0.26604 | 19 | 0.19053 | 28 |
| 12 | 0.51738 | 23 | 0.25469 | 19 | 0.17429 | 27 | 12 | 0.53119 | 23 | 0.26623 | 20 | 0.19081 | 27 |
| 13 | 0.51761 | 22 | 0.25488 | 19 | 0.17456 | 27 | 13 | 0.53142 | 23 | 0.26643 | 20 | 0.19108 | 28 |
| 14 | 0.51783 | 23 | 0.25507 | 19 | 0.17483 | 28 | 14 | 0.53165 | 24 | 0.26663 | 19 | 0.19136 | 28 |
| 15 | 0.51806 | 23 | 0.25526 | 19 | 0.17511 | 27 | 15 | 0.53189 | 23 | 0.26682 | 20 | 0.19164 | 28 |
| 16 | 0.51829 | 23 | 0.25545 | 19 | 0.17538 | 27 | 16 | 0.53212 | 23 | 0.26702 | 20 | 0.19192 | 27 |
| 17 | 0.51852 | 22 | 0.25564 | 19 | 0.17565 | 28 | 17 | 0.53235 | 24 | 0.26722 | 19 | 0.19219 | 28 |
| 18 | 0.51874 | 23 | 0.25583 | 19 | 0.17593 | 27 | 18 | 0.53259 | 23 | 0.26741 | 20 | 0.19247 | 28 |
| 19 | 0.51897 | 23 | 0.25602 | 19 | 0.17620 | 28 | 19 | 0.53282 | 24 | 0.26761 | 20 | 0.19275 | 28 |
| 20 | 0.51920 | 23 | 0.25621 | 19 | 0.17648 | 27 | 20 | 0.53306 | 23 | 0.26781 | 19 | 0.19303 | 27 |
| 21 | 0.51943 | 22 | 0.25640 | 19 | 0.17675 | 27 | 21 | 0.53329 | 23 | 0.26800 | 20 | 0.19331 | 27 |
| 22 | 0.51965 | 23 | 0.25659 | 19 | 0.17702 | 28 | 22 | 0.53352 | 24 | 0.26820 | 20 | 0.19358 | 28 |
| 23 | 0.51988 | 23 | 0.25678 | 19 | 0.17730 | 27 | 23 | 0.53376 | 23 | 0.26840 | 20 | 0.19386 | 28 |
| 24 | 0.52011 | 23 | 0.25697 | 19 | 0.17757 | 28 | 24 | 0.53399 | 24 | 0.26860 | 19 | 0.19414 | 28 |
| 25 | 0.52034 | 23 | 0.25716 | 19 | 0.17785 | 27 | 25 | 0.53423 | 23 | 0.26879 | 20 | 0.19442 | 28 |
| 26 | 0.52057 | 23 | 0.25735 | 19 | 0.17812 | 27 | 26 | 0.53446 | 24 | 0.26899 | 20 | 0.19470 | 28 |
| 27 | 0.52080 | 23 | 0.25754 | 19 | 0.17839 | 28 | 27 | 0.53470 | 23 | 0.26919 | 20 | 0.19498 | 28 |
| 28 | 0.52103 | 22 | 0.25773 | 19 | 0.17867 | 27 | 28 | 0.53493 | 24 | 0.26939 | 20 | 0.19526 | 27 |
| 29 | 0.52125 | 23 | 0.25792 | 19 | 0.17894 | 28 | 29 | 0.53517 | 23 | 0.26959 | 19 | 0.19553 | 28 |
| 30 | 0.52148 | 23 | 0.25811 | 19 | 0.17922 | 27 | 30 | 0.53540 | 24 | 0.26978 | 20 | 0.19581 | 28 |
| 31 | 0.52171 | 23 | 0.25830 | 19 | 0.17949 | 28 | 31 | 0.53564 | 23 | 0.26998 | 20 | 0.19609 | 28 |
| 32 | 0.52194 | 23 | 0.25849 | 19 | 0.17977 | 27 | 32 | 0.53587 | 24 | 0.27018 | 20 | 0.19637 | 28 |
| 33 | 0.52217 | 23 | 0.25868 | 19 | 0.18004 | 28 | 33 | 0.53611 | 23 | 0.27038 | 20 | 0.19665 | 28 |
| 34 | 0.52240 | 23 | 0.25887 | 20 | 0.18032 | 27 | 34 | 0.53634 | 24 | 0.27058 | 20 | 0.19693 | 28 |
| 35 | 0.52263 | 23 | 0.25907 | 19 | 0.18060 | 28 | 35 | 0.53658 | 23 | 0.27078 | 20 | 0.19721 | 28 |
| 36 | 0.52286 | 23 | 0.25926 | 19 | 0.18087 | 27 | 36 | 0.53681 | 24 | 0.27098 | 20 | 0.19749 | 28 |
| 37 | 0.52309 | 23 | 0.25945 | 19 | 0.18114 | 28 | 37 | 0.53705 | 23 | 0.27117 | 19 | 0.19777 | 28 |
| 38 | 0.52332 | 23 | 0.25964 | 19 | 0.18142 | 27 | 38 | 0.53729 | 24 | 0.27137 | 20 | 0.19805 | 27 |
| 39 | 0.52355 | 23 | 0.25983 | 20 | 0.18169 | 28 | 39 | 0.53752 | 23 | 0.27157 | 20 | 0.19832 | 28 |
| 40 | 0.52378 | 23 | 0.26003 | 19 | 0.18197 | 27 | 40 | 0.53776 | 24 | 0.27177 | 20 | 0.19860 | 28 |
| 41 | 0.52401 | 23 | 0.26022 | 19 | 0.18224 | 28 | 41 | 0.53800 | 23 | 0.27197 | 20 | 0.19888 | 28 |
| 42 | 0.52424 | 23 | 0.26041 | 19 | 0.18252 | 27 | 42 | 0.53823 | 24 | 0.27217 | 20 | 0.19916 | 28 |
| 43 | 0.52447 | 23 | 0.26060 | 19 | 0.18279 | 28 | 43 | 0.53847 | 23 | 0.27237 | 20 | 0.19944 | 28 |
| 44 | 0.52470 | 23 | 0.26079 | 20 | 0.18307 | 27 | 44 | 0.53870 | 24 | 0.27257 | 20 | 0.19972 | 28 |
| 45 | 0.52493 | 23 | 0.26099 | 19 | 0.18334 | 28 | 45 | 0.53894 | 23 | 0.27277 | 20 | 0.20000 | 28 |
| 46 | 0.52516 | 23 | 0.26118 | 19 | 0.18362 | 27 | 46 | 0.53918 | 24 | 0.27297 | 20 | 0.20028 | 28 |
| 47 | 0.52539 | 23 | 0.26137 | 20 | 0.18389 | 28 | 47 | 0.53941 | 23 | 0.27317 | 20 | 0.20056 | 28 |
| 48 | 0.52562 | 23 | 0.26157 | 19 | 0.18417 | 27 | 48 | 0.53965 | 24 | 0.27337 | 20 | 0.20084 | 28 |
| 49 | 0.52585 | 23 | 0.26176 | 19 | 0.18444 | 28 | 49 | 0.53989 | 23 | 0.27357 | 20 | 0.20112 | 28 |
| 50 | 0.52608 | 23 | 0.26195 | 20 | 0.18472 | 27 | 50 | 0.54013 | 24 | 0.27378 | 20 | 0.20140 | 28 |
| 51 | 0.52631 | 23 | 0.26215 | 19 | 0.18500 | 28 | 51 | 0.54036 | 23 | 0.27398 | 20 | 0.20168 | 28 |
| 52 | 0.52654 | 23 | 0.26234 | 19 | 0.18527 | 27 | 52 | 0.54060 | 24 | 0.27418 | 20 | 0.20196 | 28 |
| 53 | 0.52677 | 23 | 0.26253 | 20 | 0.18555 | 28 | 53 | 0.54084 | 23 | 0.27438 | 20 | 0.20224 | 28 |
| 54 | 0.52700 | 23 | 0.26273 | 19 | 0.18582 | 27 | 54 | 0.54108 | 24 | 0.27458 | 20 | 0.20253 | 28 |
| 55 | 0.52724 | 23 | 0.26292 | 19 | 0.18610 | 28 | 55 | 0.54131 | 23 | 0.27478 | 20 | 0.20281 | 28 |
| 56 | 0.52747 | 23 | 0.26311 | 19 | 0.18638 | 27 | 56 | 0.54155 | 24 | 0.27498 | 20 | 0.20309 | 28 |
| 57 | 0.52770 | 23 | 0.26331 | 19 | 0.18665 | 28 | 57 | 0.54179 | 23 | 0.27518 | 20 | 0.20337 | 28 |
| 58 | 0.52793 | 23 | 0.26350 | 19 | 0.18693 | 27 | 58 | 0.54203 | 24 | 0.27539 | 20 | 0.20365 | 28 |
| 59 | 0.52816 | 24 | 0.26370 | 19 | 0.18721 | 28 | 59 | 0.54227 | 23 | 0.27559 | 20 | 0.20393 | 28 |
| 60 | 0.52840 | | 0.26389 | | 0.18748 | 27 | 60 | 0.54250 | 24 | 0.27579 | 20 | 0.20421 | 28 |

$\omega = 58 \text{ Grad.}$ $\omega = 59 \text{ Grad.}$

| ω | z' | Diff. | $\log \cos z$ | Diff. | $\log \sin z$ | Diff. | ω | z' | Diff. | $\log \cos z$ | Diff. | $\log \sin z$ | Diff. | |
|----------|---------|-------|---------------|---------|---------------|---------|----------|---------|---------|---------------|---------|---------------|---------|----|
| 0 | 0.54250 | | 24 | 0.25559 | 20 | 0.20421 | 28 | 0 | 0.55701 | 25 | 0.28816 | 21 | 0.22123 | 28 |
| 1 | 0.54274 | 24 | 0.25599 | 20 | 0.20449 | 28 | 1 | 0.55726 | 25 | 0.28837 | 21 | 0.22151 | 28 | |
| 2 | 0.54298 | 24 | 0.25619 | 21 | 0.20477 | 28 | 2 | 0.55750 | 25 | 0.28858 | 21 | 0.22180 | 29 | |
| 3 | 0.54322 | 24 | 0.25640 | 20 | 0.20505 | 28 | 3 | 0.55775 | 24 | 0.28879 | 21 | 0.22209 | 28 | |
| 4 | 0.54346 | 24 | 0.25660 | 20 | 0.20531 | 28 | 4 | 0.55799 | 24 | 0.28900 | 21 | 0.22237 | 28 | |
| 5 | 0.54370 | 24 | 0.25680 | 21 | 0.20552 | 28 | 5 | 0.55824 | 25 | 0.28921 | 21 | 0.22266 | 28 | |
| 6 | 0.54394 | 24 | 0.25701 | 20 | 0.20580 | 28 | 6 | 0.55849 | 24 | 0.28942 | 22 | 0.22294 | 28 | |
| 7 | 0.54418 | 24 | 0.25721 | 20 | 0.20618 | 28 | 7 | 0.55873 | 24 | 0.28964 | 22 | 0.22323 | 29 | |
| 8 | 0.54441 | 23 | 0.25741 | 21 | 0.20646 | 28 | 8 | 0.55898 | 25 | 0.28985 | 21 | 0.22352 | 29 | |
| 9 | 0.54465 | 21 | 0.25762 | 20 | 0.20674 | 28 | 9 | 0.55922 | 25 | 0.29006 | 21 | 0.22381 | 29 | |
| 10 | 0.54489 | 21 | 0.25782 | 20 | 0.20703 | 28 | 10 | 0.55947 | 25 | 0.29027 | 21 | 0.22410 | 29 | |
| 11 | 0.54513 | 24 | 0.25802 | 21 | 0.20731 | 28 | 11 | 0.55972 | 25 | 0.29048 | 21 | 0.22438 | 29 | |
| 12 | 0.54537 | 24 | 0.25823 | 20 | 0.20759 | 28 | 12 | 0.55996 | 25 | 0.29069 | 21 | 0.22467 | 29 | |
| 13 | 0.54561 | 24 | 0.25843 | 20 | 0.20787 | 28 | 13 | 0.56021 | 25 | 0.29091 | 22 | 0.22495 | 28 | |
| 14 | 0.54585 | 24 | 0.25863 | 21 | 0.20815 | 28 | 14 | 0.56046 | 25 | 0.29112 | 21 | 0.22524 | 29 | |
| 15 | 0.54609 | 21 | 0.25884 | 20 | 0.20841 | 28 | 15 | 0.56070 | 25 | 0.29133 | 21 | 0.22553 | 29 | |
| 16 | 0.54633 | 21 | 0.25904 | 21 | 0.20872 | 28 | 16 | 0.56095 | 25 | 0.29154 | 21 | 0.22582 | 29 | |
| 17 | 0.54657 | 21 | 0.25925 | 20 | 0.20900 | 28 | 17 | 0.56120 | 25 | 0.29175 | 22 | 0.22610 | 29 | |
| 18 | 0.54681 | 21 | 0.25945 | 21 | 0.20928 | 28 | 18 | 0.56145 | 25 | 0.29195 | 21 | 0.22639 | 29 | |
| 19 | 0.54705 | 21 | 0.25966 | 20 | 0.20957 | 28 | 19 | 0.56169 | 25 | 0.29215 | 21 | 0.22668 | 29 | |
| 20 | 0.54729 | 21 | 0.25986 | 20 | 0.20985 | 28 | 20 | 0.56194 | 25 | 0.29239 | 22 | 0.22697 | 29 | |
| 21 | 0.54753 | 25 | 0.28006 | 21 | 0.21013 | 28 | 21 | 0.56219 | 25 | 0.29261 | 22 | 0.22726 | 29 | |
| 22 | 0.54777 | 24 | 0.28027 | 21 | 0.21041 | 28 | 22 | 0.56244 | 25 | 0.29282 | 21 | 0.22755 | 28 | |
| 23 | 0.54802 | 24 | 0.28048 | 20 | 0.21070 | 28 | 23 | 0.56268 | 25 | 0.29303 | 22 | 0.22783 | 29 | |
| 24 | 0.54826 | 24 | 0.28068 | 21 | 0.21098 | 28 | 24 | 0.56293 | 25 | 0.29325 | 22 | 0.22812 | 29 | |
| 25 | 0.54850 | 24 | 0.28089 | 20 | 0.21126 | 28 | 25 | 0.56318 | 25 | 0.29346 | 21 | 0.22841 | 29 | |
| 26 | 0.54874 | 24 | 0.28109 | 21 | 0.21155 | 28 | 26 | 0.56343 | 25 | 0.29367 | 22 | 0.22870 | 29 | |
| 27 | 0.54898 | 24 | 0.28130 | 20 | 0.21183 | 28 | 27 | 0.56368 | 25 | 0.29389 | 22 | 0.22899 | 29 | |
| 28 | 0.54922 | 24 | 0.28150 | 21 | 0.21211 | 28 | 28 | 0.56393 | 25 | 0.29410 | 21 | 0.22927 | 28 | |
| 29 | 0.54946 | 25 | 0.28171 | 20 | 0.21240 | 28 | 29 | 0.56418 | 25 | 0.29432 | 22 | 0.22956 | 29 | |
| 30 | 0.54971 | 24 | 0.28191 | 21 | 0.21268 | 28 | 30 | 0.56442 | 25 | 0.29453 | 22 | 0.22985 | 29 | |
| 31 | 0.54995 | 24 | 0.28212 | 21 | 0.21296 | 28 | 31 | 0.56467 | 25 | 0.29475 | 22 | 0.23014 | 29 | |
| 32 | 0.55019 | 24 | 0.28233 | 20 | 0.21325 | 28 | 32 | 0.56492 | 25 | 0.29496 | 22 | 0.23043 | 29 | |
| 33 | 0.55043 | 24 | 0.28253 | 21 | 0.21353 | 28 | 33 | 0.56517 | 25 | 0.29518 | 22 | 0.23072 | 29 | |
| 34 | 0.55067 | 25 | 0.28274 | 21 | 0.21382 | 28 | 34 | 0.56542 | 25 | 0.29539 | 22 | 0.23101 | 29 | |
| 35 | 0.55092 | 24 | 0.28295 | 20 | 0.21410 | 28 | 35 | 0.56567 | 25 | 0.29561 | 21 | 0.23130 | 29 | |
| 36 | 0.55116 | 24 | 0.28315 | 21 | 0.21438 | 28 | 36 | 0.56592 | 25 | 0.29582 | 22 | 0.23159 | 29 | |
| 37 | 0.55140 | 24 | 0.28336 | 21 | 0.21467 | 28 | 37 | 0.56617 | 25 | 0.29604 | 22 | 0.23188 | 29 | |
| 38 | 0.55164 | 25 | 0.28357 | 21 | 0.21495 | 28 | 38 | 0.56642 | 25 | 0.29625 | 22 | 0.23217 | 29 | |
| 39 | 0.55189 | 24 | 0.28378 | 20 | 0.21521 | 28 | 39 | 0.56667 | 25 | 0.29647 | 21 | 0.23246 | 29 | |
| 40 | 0.55213 | 24 | 0.28398 | 21 | 0.21552 | 28 | 40 | 0.56692 | 25 | 0.29668 | 22 | 0.23275 | 29 | |
| 41 | 0.55237 | 25 | 0.28419 | 21 | 0.21581 | 28 | 41 | 0.56717 | 25 | 0.29690 | 22 | 0.23303 | 29 | |
| 42 | 0.55262 | 24 | 0.28440 | 21 | 0.21609 | 28 | 42 | 0.56742 | 25 | 0.29712 | 21 | 0.23332 | 29 | |
| 43 | 0.55286 | 24 | 0.28461 | 20 | 0.21637 | 28 | 43 | 0.56767 | 25 | 0.29733 | 22 | 0.23361 | 30 | |
| 44 | 0.55310 | 25 | 0.28481 | 21 | 0.21666 | 28 | 44 | 0.56792 | 25 | 0.29755 | 21 | 0.23390 | 29 | |
| 45 | 0.55335 | 24 | 0.28502 | 21 | 0.21694 | 28 | 45 | 0.56817 | 25 | 0.29776 | 22 | 0.23419 | 29 | |
| 46 | 0.55359 | 24 | 0.28523 | 21 | 0.21723 | 28 | 46 | 0.56842 | 25 | 0.29798 | 22 | 0.23449 | 29 | |
| 47 | 0.55383 | 25 | 0.28541 | 21 | 0.21751 | 28 | 47 | 0.56867 | 25 | 0.29820 | 21 | 0.23478 | 29 | |
| 48 | 0.55408 | 24 | 0.28565 | 21 | 0.21780 | 28 | 48 | 0.56892 | 26 | 0.29841 | 22 | 0.23507 | 29 | |
| 49 | 0.55432 | 24 | 0.28586 | 21 | 0.21808 | 28 | 49 | 0.56918 | 25 | 0.29863 | 22 | 0.23536 | 29 | |
| 50 | 0.55456 | 25 | 0.28607 | 20 | 0.21837 | 28 | 50 | 0.56943 | 25 | 0.29885 | 22 | 0.23565 | 29 | |
| 51 | 0.55481 | 24 | 0.28627 | 21 | 0.21865 | 28 | 51 | 0.56968 | 25 | 0.29907 | 21 | 0.23594 | 29 | |
| 52 | 0.55505 | 25 | 0.28648 | 21 | 0.21891 | 28 | 52 | 0.56993 | 25 | 0.29928 | 22 | 0.23623 | 29 | |
| 53 | 0.55530 | 24 | 0.28669 | 21 | 0.21923 | 28 | 53 | 0.57018 | 25 | 0.29950 | 22 | 0.23652 | 29 | |
| 54 | 0.55554 | 25 | 0.28690 | 21 | 0.21951 | 28 | 54 | 0.57043 | 26 | 0.29972 | 22 | 0.23681 | 29 | |
| 55 | 0.55579 | 21 | 0.28711 | 21 | 0.21980 | 28 | 55 | 0.57068 | 25 | 0.29994 | 22 | 0.23710 | 29 | |
| 56 | 0.55603 | 25 | 0.28732 | 21 | 0.22008 | 28 | 56 | 0.57094 | 25 | 0.30016 | 21 | 0.23739 | 80 | |
| 57 | 0.55628 | 24 | 0.28753 | 21 | 0.22037 | 28 | 57 | 0.57119 | 25 | 0.30037 | 22 | 0.23769 | 29 | |
| 58 | 0.55652 | 25 | 0.28774 | 21 | 0.22065 | 28 | 58 | 0.57144 | 25 | 0.30059 | 22 | 0.23798 | 29 | |
| 59 | 0.55677 | 24 | 0.28795 | 21 | 0.22094 | 28 | 59 | 0.57169 | 26 | 0.30081 | 22 | 0.23827 | 29 | |
| 60 | 0.55701 | | 0.28816 | | 0.22123 | | 60 | 0.57195 | 26 | 0.30103 | | 0.23856 | | |

$\omega = 60 \text{ Grad.}$ $\omega = 61 \text{ Grad.}$

| ω | z' | Diff. | $\log \cos z$ | Diff. | $\log \sin z$ | Diff. | ω | z' | Diff. | $\log \cos z$ | Diff. | $\log \sin z$ | Diff. |
|----------|---------|-------|---------------|-------|---------------|-------|----------|---------|-------|---------------|-------|---------------|-------|
| 0 | 0.57195 | | 0.30103 | | 0.28856 | | 0 | 0.58734 | | 0.31443 | | 0.25625 | |
| 1 | 0.57220 | 25 | 0.30125 | 22 | 0.28885 | 29 | 1 | 0.58760 | 26 | 0.31466 | 23 | 0.25655 | 30 |
| 2 | 0.57245 | 25 | 0.30147 | 22 | 0.28911 | 30 | 2 | 0.58786 | 26 | 0.31488 | 22 | 0.25684 | 29 |
| 3 | 0.57271 | 25 | 0.30169 | 22 | 0.28944 | 29 | 3 | 0.58812 | 27 | 0.31511 | 23 | 0.25714 | 30 |
| 4 | 0.57296 | 25 | 0.30191 | 22 | 0.28973 | 29 | 4 | 0.58839 | 26 | 0.31534 | 23 | 0.25744 | 30 |
| 5 | 0.57321 | 25 | 0.30213 | 22 | 0.29002 | 29 | 5 | 0.58865 | 26 | 0.31557 | 23 | 0.25774 | 30 |
| 6 | 0.57347 | 25 | 0.30235 | 22 | 0.29031 | 30 | 6 | 0.58891 | 26 | 0.31580 | 23 | 0.25804 | 30 |
| 7 | 0.57372 | 25 | 0.30257 | 22 | 0.29061 | 30 | 7 | 0.58917 | 26 | 0.31603 | 23 | 0.25834 | 30 |
| 8 | 0.57397 | 25 | 0.30279 | 22 | 0.29090 | 29 | 8 | 0.58943 | 26 | 0.31626 | 23 | 0.25863 | 29 |
| 9 | 0.57423 | 25 | 0.30301 | 22 | 0.29119 | 29 | 9 | 0.58969 | 26 | 0.31649 | 23 | 0.25893 | 30 |
| 10 | 0.57448 | 25 | 0.30323 | 22 | 0.29148 | 29 | 10 | 0.58995 | 26 | 0.31672 | 23 | 0.25923 | 30 |
| 11 | 0.57473 | 25 | 0.30345 | 22 | 0.29178 | 30 | 11 | 0.59022 | 27 | 0.31695 | 23 | 0.25953 | 30 |
| 12 | 0.57499 | 25 | 0.30367 | 22 | 0.29207 | 29 | 12 | 0.59048 | 26 | 0.31717 | 22 | 0.25983 | 30 |
| 13 | 0.57524 | 25 | 0.30389 | 22 | 0.29236 | 29 | 13 | 0.59074 | 26 | 0.31740 | 23 | 0.26013 | 30 |
| 14 | 0.57550 | 25 | 0.30411 | 22 | 0.29265 | 30 | 14 | 0.59100 | 26 | 0.31763 | 23 | 0.26043 | 30 |
| 15 | 0.57575 | 25 | 0.30433 | 22 | 0.29295 | 29 | 15 | 0.59127 | 27 | 0.31787 | 24 | 0.26073 | 30 |
| 16 | 0.57601 | 26 | 0.30455 | 22 | 0.29324 | 29 | 16 | 0.59153 | 26 | 0.31810 | 23 | 0.26103 | 30 |
| 17 | 0.57626 | 26 | 0.30477 | 22 | 0.29353 | 30 | 17 | 0.59179 | 26 | 0.31833 | 23 | 0.26133 | 30 |
| 18 | 0.57652 | 26 | 0.30499 | 22 | 0.29383 | 30 | 18 | 0.59205 | 27 | 0.31856 | 23 | 0.26163 | 30 |
| 19 | 0.57677 | 25 | 0.30521 | 23 | 0.29412 | 29 | 19 | 0.59232 | 27 | 0.31879 | 23 | 0.26193 | 30 |
| 20 | 0.57703 | 25 | 0.30544 | 23 | 0.29442 | 30 | 20 | 0.59258 | 26 | 0.31902 | 23 | 0.26223 | 30 |
| 21 | 0.57728 | 25 | 0.30566 | 22 | 0.29471 | 29 | 21 | 0.59284 | 26 | 0.31925 | 23 | 0.26253 | 30 |
| 22 | 0.57754 | 26 | 0.30588 | 22 | 0.29500 | 29 | 22 | 0.59311 | 26 | 0.31948 | 23 | 0.26283 | 30 |
| 23 | 0.57779 | 26 | 0.30610 | 22 | 0.29530 | 30 | 23 | 0.59337 | 27 | 0.31971 | 23 | 0.26313 | 30 |
| 24 | 0.57805 | 26 | 0.30632 | 22 | 0.29559 | 29 | 24 | 0.59364 | 26 | 0.31994 | 23 | 0.26343 | 30 |
| 25 | 0.57830 | 25 | 0.30655 | 23 | 0.29589 | 30 | 25 | 0.59390 | 26 | 0.32018 | 24 | 0.26373 | 30 |
| 26 | 0.57856 | 26 | 0.30677 | 22 | 0.29618 | 29 | 26 | 0.59416 | 27 | 0.32041 | 23 | 0.26403 | 30 |
| 27 | 0.57882 | 26 | 0.30699 | 22 | 0.29647 | 30 | 27 | 0.59443 | 27 | 0.32064 | 23 | 0.26433 | 30 |
| 28 | 0.57907 | 25 | 0.30721 | 23 | 0.29677 | 29 | 28 | 0.59469 | 27 | 0.32087 | 23 | 0.26463 | 30 |
| 29 | 0.57933 | 26 | 0.30744 | 23 | 0.29706 | 30 | 29 | 0.59496 | 26 | 0.32110 | 23 | 0.26493 | 30 |
| 30 | 0.57959 | 26 | 0.30766 | 22 | 0.29736 | 29 | 30 | 0.59522 | 27 | 0.32134 | 24 | 0.26524 | 31 |
| 31 | 0.57984 | 25 | 0.30788 | 22 | 0.29765 | 29 | 31 | 0.59549 | 27 | 0.32157 | 23 | 0.26554 | 30 |
| 32 | 0.58010 | 26 | 0.30811 | 22 | 0.29795 | 29 | 32 | 0.59575 | 26 | 0.32180 | 23 | 0.26584 | 30 |
| 33 | 0.58036 | 26 | 0.30833 | 22 | 0.29824 | 30 | 33 | 0.59602 | 26 | 0.32204 | 23 | 0.26614 | 30 |
| 34 | 0.58061 | 26 | 0.30856 | 22 | 0.29854 | 30 | 34 | 0.59628 | 27 | 0.32227 | 23 | 0.26644 | 30 |
| 35 | 0.58087 | 26 | 0.30878 | 22 | 0.29883 | 29 | 35 | 0.59655 | 26 | 0.32250 | 23 | 0.26674 | 30 |
| 36 | 0.58113 | 26 | 0.30900 | 22 | 0.29913 | 30 | 36 | 0.59681 | 27 | 0.32274 | 24 | 0.26705 | 31 |
| 37 | 0.58138 | 26 | 0.30923 | 22 | 0.29942 | 29 | 37 | 0.59708 | 26 | 0.32297 | 23 | 0.26735 | 30 |
| 38 | 0.58164 | 26 | 0.30945 | 22 | 0.29972 | 30 | 38 | 0.59734 | 27 | 0.32320 | 24 | 0.26765 | 30 |
| 39 | 0.58190 | 26 | 0.30968 | 22 | 0.30002 | 29 | 39 | 0.59761 | 27 | 0.32344 | 23 | 0.26795 | 30 |
| 40 | 0.58216 | 26 | 0.30990 | 22 | 0.30031 | 30 | 40 | 0.59788 | 26 | 0.32367 | 23 | 0.26825 | 30 |
| 41 | 0.58242 | 25 | 0.31013 | 22 | 0.30061 | 29 | 41 | 0.59814 | 27 | 0.32391 | 23 | 0.26855 | 30 |
| 42 | 0.58267 | 25 | 0.31035 | 22 | 0.30090 | 42 | 42 | 0.59841 | 27 | 0.32414 | 23 | 0.26885 | 30 |
| 43 | 0.58293 | 26 | 0.31058 | 22 | 0.30120 | 30 | 43 | 0.59868 | 26 | 0.32438 | 24 | 0.26916 | 31 |
| 44 | 0.58319 | 26 | 0.31080 | 22 | 0.30149 | 29 | 44 | 0.59894 | 27 | 0.32461 | 23 | 0.26946 | 30 |
| 45 | 0.58345 | 26 | 0.31103 | 22 | 0.30179 | 30 | 45 | 0.59921 | 27 | 0.32485 | 23 | 0.26977 | 30 |
| 46 | 0.58371 | 26 | 0.31125 | 22 | 0.30209 | 29 | 46 | 0.59948 | 27 | 0.32508 | 24 | 0.27007 | 30 |
| 47 | 0.58397 | 25 | 0.31148 | 22 | 0.30238 | 29 | 47 | 0.59975 | 26 | 0.32532 | 23 | 0.27037 | 31 |
| 48 | 0.58422 | 26 | 0.31171 | 22 | 0.30268 | 30 | 48 | 0.60001 | 27 | 0.32555 | 23 | 0.27068 | 30 |
| 49 | 0.58448 | 26 | 0.31193 | 22 | 0.30298 | 29 | 49 | 0.60028 | 27 | 0.32579 | 24 | 0.27098 | 30 |
| 50 | 0.58474 | 26 | 0.31216 | 22 | 0.30327 | 30 | 50 | 0.60055 | 27 | 0.32602 | 24 | 0.27128 | 31 |
| 51 | 0.58500 | 26 | 0.31238 | 22 | 0.30357 | 30 | 51 | 0.60082 | 26 | 0.32626 | 23 | 0.27159 | 30 |
| 52 | 0.58526 | 26 | 0.31261 | 22 | 0.30387 | 30 | 52 | 0.60108 | 27 | 0.32650 | 24 | 0.27189 | 31 |
| 53 | 0.58552 | 26 | 0.31284 | 22 | 0.30417 | 30 | 53 | 0.60135 | 27 | 0.32673 | 24 | 0.27220 | 30 |
| 54 | 0.58578 | 26 | 0.31306 | 22 | 0.30446 | 29 | 54 | 0.60162 | 27 | 0.32697 | 23 | 0.27250 | 30 |
| 55 | 0.58604 | 26 | 0.31329 | 22 | 0.30476 | 30 | 55 | 0.60189 | 26 | 0.32720 | 24 | 0.27280 | 31 |
| 56 | 0.58630 | 26 | 0.31352 | 22 | 0.30506 | 29 | 56 | 0.60215 | 27 | 0.32744 | 24 | 0.27311 | 30 |
| 57 | 0.58656 | 26 | 0.31375 | 22 | 0.30535 | 30 | 57 | 0.60242 | 27 | 0.32768 | 24 | 0.27341 | 31 |
| 58 | 0.58682 | 26 | 0.31397 | 22 | 0.30565 | 29 | 58 | 0.60269 | 27 | 0.32792 | 23 | 0.27372 | 30 |
| 59 | 0.58708 | 26 | 0.31420 | 22 | 0.30595 | 30 | 59 | 0.60296 | 27 | 0.32815 | 24 | 0.27402 | 31 |
| 60 | 0.58734 | 26 | 0.31443 | 22 | 0.30625 | 30 | 60 | 0.60323 | 27 | 0.32839 | 24 | 0.27433 | 31 |

$\omega = 62 \text{ Grad.}$ $\omega = 63 \text{ Grad.}$

| ω | z' | Diff. | $\log \cos z$ | Diff. | $\log \sin z$ | Diff. | ω | z' | Diff. | $\log \cos z$ | Diff. | $\log \sin z$ | Diff. |
|----------|---------|-------|---------------|-------|---------------|-------|----------|---------|-------|---------------|-------|---------------|-------|
| 0 | 0.60323 | 27 | 0.32839 | 24 | 0.27443 | 30 | 0 | 0.61965 | 27 | 0.34255 | 25 | 0.29283 | 32 |
| 1 | 0.60350 | 27 | 0.32863 | 24 | 0.27463 | 31 | 1 | 0.61992 | 28 | 0.34320 | 25 | 0.29315 | 31 |
| 2 | 0.60377 | 27 | 0.32887 | 23 | 0.27494 | 30 | 2 | 0.62020 | 28 | 0.34345 | 25 | 0.29346 | 31 |
| 3 | 0.60404 | 27 | 0.32910 | 24 | 0.27524 | 31 | 3 | 0.62048 | 28 | 0.34370 | 25 | 0.29377 | 31 |
| 4 | 0.60431 | 27 | 0.32934 | 24 | 0.27555 | 30 | 4 | 0.62076 | 28 | 0.34395 | 25 | 0.29408 | 32 |
| 5 | 0.60458 | 27 | 0.32958 | 24 | 0.27585 | 31 | 5 | 0.62104 | 28 | 0.34420 | 24 | 0.29440 | 31 |
| 6 | 0.60485 | 27 | 0.32982 | 24 | 0.27616 | 30 | 6 | 0.62132 | 28 | 0.34444 | 25 | 0.29471 | 31 |
| 7 | 0.60512 | 27 | 0.33006 | 24 | 0.27646 | 31 | 7 | 0.62160 | 28 | 0.34469 | 25 | 0.29502 | 32 |
| 8 | 0.60539 | 27 | 0.33030 | 24 | 0.27677 | 30 | 8 | 0.62188 | 28 | 0.34494 | 25 | 0.29534 | 31 |
| 9 | 0.60566 | 27 | 0.33054 | 24 | 0.27707 | 31 | 9 | 0.62216 | 28 | 0.34519 | 25 | 0.29565 | 31 |
| 10 | 0.60593 | 27 | 0.33078 | 24 | 0.27738 | 31 | 10 | 0.62244 | 28 | 0.34541 | 25 | 0.29596 | 32 |
| 11 | 0.60620 | 27 | 0.33101 | 23 | 0.27769 | 30 | 11 | 0.62272 | 28 | 0.34569 | 25 | 0.29628 | 31 |
| 12 | 0.60647 | 27 | 0.33125 | 24 | 0.27799 | 31 | 12 | 0.62300 | 28 | 0.34594 | 25 | 0.29659 | 32 |
| 13 | 0.60674 | 27 | 0.33149 | 24 | 0.27830 | 30 | 13 | 0.62328 | 28 | 0.34619 | 25 | 0.29691 | 31 |
| 14 | 0.60701 | 27 | 0.33173 | 24 | 0.27860 | 31 | 14 | 0.62356 | 28 | 0.34641 | 25 | 0.29722 | 31 |
| 15 | 0.60728 | 27 | 0.33197 | 24 | 0.27891 | 31 | 15 | 0.62384 | 28 | 0.34669 | 25 | 0.29753 | 31 |
| 16 | 0.60755 | 27 | 0.33221 | 24 | 0.27922 | 30 | 16 | 0.62412 | 28 | 0.34694 | 25 | 0.29785 | 31 |
| 17 | 0.60782 | 28 | 0.33245 | 24 | 0.27952 | 31 | 17 | 0.62440 | 28 | 0.34719 | 25 | 0.29816 | 32 |
| 18 | 0.60810 | 27 | 0.33269 | 25 | 0.27983 | 31 | 18 | 0.62468 | 28 | 0.34745 | 25 | 0.29848 | 31 |
| 19 | 0.60837 | 27 | 0.33294 | 24 | 0.28014 | 31 | 19 | 0.62496 | 28 | 0.34770 | 25 | 0.29879 | 32 |
| 20 | 0.60864 | 27 | 0.33318 | 24 | 0.28045 | 30 | 20 | 0.62524 | 29 | 0.34795 | 25 | 0.29911 | 31 |
| 21 | 0.60891 | 27 | 0.33342 | 24 | 0.28075 | 31 | 21 | 0.62553 | 28 | 0.34820 | 25 | 0.29942 | 32 |
| 22 | 0.60918 | 28 | 0.33366 | 24 | 0.28106 | 31 | 22 | 0.62581 | 28 | 0.34845 | 25 | 0.29974 | 31 |
| 23 | 0.60946 | 28 | 0.33390 | 24 | 0.28137 | 30 | 23 | 0.62609 | 28 | 0.34870 | 25 | 0.30005 | 32 |
| 24 | 0.60973 | 27 | 0.33414 | 24 | 0.28167 | 30 | 24 | 0.62637 | 28 | 0.34896 | 26 | 0.30037 | 31 |
| 25 | 0.61000 | 27 | 0.33438 | 24 | 0.28198 | 31 | 25 | 0.62665 | 28 | 0.34921 | 25 | 0.30068 | 32 |
| 26 | 0.61028 | 27 | 0.33463 | 25 | 0.28229 | 31 | 26 | 0.62694 | 29 | 0.34946 | 25 | 0.30100 | 32 |
| 27 | 0.61055 | 27 | 0.33487 | 24 | 0.28260 | 31 | 27 | 0.62722 | 28 | 0.34971 | 26 | 0.30132 | 31 |
| 28 | 0.61082 | 28 | 0.33511 | 24 | 0.28291 | 30 | 28 | 0.62750 | 28 | 0.34997 | 26 | 0.30163 | 32 |
| 29 | 0.61110 | 27 | 0.33535 | 24 | 0.28321 | 30 | 29 | 0.62778 | 28 | 0.35022 | 25 | 0.30195 | 31 |
| 30 | 0.61137 | 27 | 0.33559 | 25 | 0.28352 | 31 | 30 | 0.62807 | 29 | 0.35047 | 25 | 0.30226 | 32 |
| 31 | 0.61164 | 28 | 0.33583 | 24 | 0.28383 | 31 | 31 | 0.62835 | 28 | 0.35073 | 25 | 0.30258 | 31 |
| 32 | 0.61192 | 28 | 0.33608 | 24 | 0.28414 | 31 | 32 | 0.62863 | 29 | 0.35098 | 25 | 0.30290 | 32 |
| 33 | 0.61219 | 27 | 0.33632 | 25 | 0.28445 | 31 | 33 | 0.62892 | 29 | 0.35123 | 26 | 0.30321 | 31 |
| 34 | 0.61246 | 28 | 0.33657 | 25 | 0.28476 | 31 | 34 | 0.62920 | 29 | 0.35149 | 26 | 0.30353 | 32 |
| 35 | 0.61274 | 28 | 0.33681 | 24 | 0.28507 | 31 | 35 | 0.62948 | 28 | 0.35174 | 25 | 0.30385 | 31 |
| 36 | 0.61301 | 27 | 0.33705 | 25 | 0.28538 | 31 | 36 | 0.62977 | 29 | 0.35200 | 26 | 0.30416 | 32 |
| 37 | 0.61329 | 28 | 0.33730 | 25 | 0.28569 | 30 | 37 | 0.63005 | 28 | 0.35225 | 26 | 0.30448 | 32 |
| 38 | 0.61356 | 28 | 0.33754 | 25 | 0.28599 | 30 | 38 | 0.63034 | 29 | 0.35251 | 26 | 0.30480 | 32 |
| 39 | 0.61384 | 27 | 0.33779 | 24 | 0.28630 | 31 | 39 | 0.63062 | 28 | 0.35276 | 25 | 0.30512 | 31 |
| 40 | 0.61411 | 28 | 0.33803 | 24 | 0.28661 | 31 | 40 | 0.63091 | 29 | 0.35302 | 26 | 0.30543 | 32 |
| 41 | 0.61439 | 27 | 0.33827 | 25 | 0.28692 | 31 | 41 | 0.63119 | 28 | 0.35327 | 25 | 0.30575 | 31 |
| 42 | 0.61466 | 28 | 0.33852 | 24 | 0.28723 | 31 | 42 | 0.63148 | 29 | 0.35353 | 26 | 0.30607 | 32 |
| 43 | 0.61494 | 28 | 0.33876 | 25 | 0.28754 | 31 | 43 | 0.63176 | 28 | 0.35378 | 25 | 0.30639 | 31 |
| 44 | 0.61521 | 28 | 0.33901 | 25 | 0.28785 | 31 | 44 | 0.63205 | 29 | 0.35404 | 26 | 0.30671 | 32 |
| 45 | 0.61549 | 28 | 0.33925 | 25 | 0.28816 | 31 | 45 | 0.63233 | 28 | 0.35429 | 26 | 0.30702 | 31 |
| 46 | 0.61577 | 27 | 0.33950 | 25 | 0.28847 | 32 | 46 | 0.63262 | 29 | 0.35455 | 26 | 0.30734 | 32 |
| 47 | 0.61604 | 28 | 0.33975 | 24 | 0.28879 | 31 | 47 | 0.63290 | 28 | 0.35481 | 26 | 0.30766 | 32 |
| 48 | 0.61632 | 27 | 0.33999 | 25 | 0.28910 | 31 | 48 | 0.63319 | 29 | 0.35506 | 26 | 0.30798 | 32 |
| 49 | 0.61659 | 28 | 0.34024 | 25 | 0.28941 | 31 | 49 | 0.63348 | 28 | 0.35532 | 25 | 0.30830 | 32 |
| 50 | 0.61687 | 28 | 0.34048 | 24 | 0.28972 | 31 | 50 | 0.63376 | 29 | 0.35558 | 26 | 0.30862 | 32 |
| 51 | 0.61715 | 28 | 0.34073 | 25 | 0.29003 | 31 | 51 | 0.63405 | 29 | 0.35583 | 26 | 0.30894 | 32 |
| 52 | 0.61743 | 27 | 0.34098 | 24 | 0.29034 | 31 | 52 | 0.63434 | 28 | 0.35609 | 26 | 0.30926 | 32 |
| 53 | 0.61770 | 28 | 0.34122 | 25 | 0.29065 | 31 | 53 | 0.63462 | 29 | 0.35635 | 26 | 0.30958 | 32 |
| 54 | 0.61798 | 28 | 0.34147 | 25 | 0.29096 | 31 | 54 | 0.63491 | 29 | 0.35661 | 26 | 0.30990 | 32 |
| 55 | 0.61826 | 27 | 0.34172 | 24 | 0.29127 | 32 | 55 | 0.63520 | 28 | 0.35687 | 26 | 0.31022 | 32 |
| 56 | 0.61853 | 28 | 0.34196 | 25 | 0.29159 | 31 | 56 | 0.63548 | 29 | 0.35712 | 26 | 0.31054 | 32 |
| 57 | 0.61881 | 28 | 0.34221 | 25 | 0.29190 | 31 | 57 | 0.63577 | 29 | 0.35738 | 26 | 0.31086 | 32 |
| 58 | 0.61909 | 28 | 0.34246 | 25 | 0.29221 | 31 | 58 | 0.63606 | 29 | 0.35764 | 26 | 0.31118 | 32 |
| 59 | 0.61937 | 28 | 0.34271 | 24 | 0.29252 | 31 | 59 | 0.63635 | 29 | 0.35790 | 26 | 0.31150 | 32 |
| 60 | 0.61965 | 28 | 0.34295 | 24 | 0.29283 | 31 | 60 | 0.63664 | 29 | 0.35816 | 26 | 0.31182 | 32 |

$\omega = 64 \text{ Grad.}$ $\omega = 65 \text{ Grad.}$

| ω | z' | Diff. | $\log \cos z$ | Diff. | $\log \sin z$ | Diff. | ω | z' | Diff. | $\log \cos z$ | Diff. | $\log \sin z$ | Diff. |
|----------|---------|-------|---------------|-------|---------------|-------|----------|---------|-------|---------------|-------|---------------|-------|
| 0 | 0.63661 | | 0.35816 | | 0.31182 | | 0 | 0.65124 | | 0.37105 | | 0.33133 | |
| 1 | 0.63692 | 28 | 0.35842 | 26 | 0.31211 | 32 | 1 | 0.65154 | 30 | 0.37132 | 27 | 0.33166 | 33 |
| 2 | 0.63721 | 29 | 0.35868 | 26 | 0.31246 | 32 | 2 | 0.65184 | 30 | 0.37159 | 28 | 0.33199 | 33 |
| 3 | 0.63750 | 29 | 0.35891 | 26 | 0.31278 | 32 | 3 | 0.65211 | 30 | 0.37187 | 28 | 0.33232 | 33 |
| 4 | 0.63779 | 29 | 0.35919 | 26 | 0.31310 | 32 | 4 | 0.65244 | 30 | 0.37214 | 27 | 0.33265 | 33 |
| 5 | 0.63808 | 29 | 0.35946 | 26 | 0.31342 | 32 | 5 | 0.65271 | 30 | 0.37241 | 27 | 0.33298 | 33 |
| 6 | 0.63837 | 29 | 0.35972 | 26 | 0.31371 | 32 | 6 | 0.65304 | 30 | 0.37268 | 27 | 0.33331 | 33 |
| 7 | 0.63866 | 29 | 0.35998 | 26 | 0.31407 | 33 | 7 | 0.65334 | 30 | 0.37295 | 27 | 0.33364 | 33 |
| 8 | 0.63895 | 29 | 0.36024 | 26 | 0.31439 | 32 | 8 | 0.65364 | 30 | 0.37323 | 28 | 0.33397 | 33 |
| 9 | 0.63924 | 29 | 0.36050 | 26 | 0.31471 | 32 | 9 | 0.65394 | 30 | 0.37350 | 27 | 0.33430 | 33 |
| 10 | 0.63953 | 29 | 0.36076 | 26 | 0.31503 | 32 | 10 | 0.65421 | 30 | 0.37377 | 27 | 0.33463 | 33 |
| 11 | 0.63982 | 29 | 0.36102 | 26 | 0.31535 | 33 | 11 | 0.65451 | 30 | 0.37404 | 28 | 0.33497 | 33 |
| 12 | 0.64011 | 29 | 0.36128 | 26 | 0.31568 | 32 | 12 | 0.65485 | 30 | 0.37432 | 27 | 0.33530 | 33 |
| 13 | 0.64040 | 29 | 0.36154 | 26 | 0.31600 | 32 | 13 | 0.65515 | 30 | 0.37459 | 27 | 0.33563 | 33 |
| 14 | 0.64069 | 29 | 0.36180 | 26 | 0.31632 | 32 | 14 | 0.65545 | 30 | 0.37486 | 28 | 0.33596 | 33 |
| 15 | 0.64098 | 29 | 0.36206 | 26 | 0.31664 | 33 | 15 | 0.65575 | 30 | 0.37514 | 27 | 0.33629 | 33 |
| 16 | 0.64127 | 29 | 0.36231 | 26 | 0.31697 | 33 | 16 | 0.65605 | 30 | 0.37541 | 28 | 0.33663 | 33 |
| 17 | 0.64156 | 29 | 0.36257 | 26 | 0.31729 | 32 | 17 | 0.65635 | 31 | 0.37569 | 28 | 0.33696 | 33 |
| 18 | 0.64185 | 29 | 0.36285 | 26 | 0.31761 | 33 | 18 | 0.65666 | 30 | 0.37596 | 28 | 0.33729 | 33 |
| 19 | 0.64214 | 29 | 0.36311 | 26 | 0.31794 | 32 | 19 | 0.65696 | 30 | 0.37624 | 27 | 0.33762 | 33 |
| 20 | 0.64243 | 30 | 0.36338 | 26 | 0.31826 | 32 | 20 | 0.65726 | 30 | 0.37651 | 28 | 0.33795 | 33 |
| 21 | 0.64272 | 29 | 0.36364 | 26 | 0.31858 | 33 | 21 | 0.65756 | 30 | 0.37679 | 27 | 0.33829 | 33 |
| 22 | 0.64302 | 29 | 0.36390 | 26 | 0.31891 | 32 | 22 | 0.65786 | 30 | 0.37706 | 28 | 0.33862 | 33 |
| 23 | 0.64331 | 29 | 0.36417 | 26 | 0.31923 | 33 | 23 | 0.65816 | 30 | 0.37734 | 27 | 0.33896 | 33 |
| 24 | 0.64360 | 29 | 0.36443 | 26 | 0.31956 | 32 | 24 | 0.65846 | 31 | 0.37761 | 28 | 0.33929 | 33 |
| 25 | 0.64389 | 30 | 0.36469 | 26 | 0.31988 | 32 | 25 | 0.65876 | 30 | 0.37789 | 27 | 0.33962 | 33 |
| 26 | 0.64419 | 29 | 0.36495 | 26 | 0.32020 | 33 | 26 | 0.65906 | 30 | 0.37817 | 28 | 0.33996 | 33 |
| 27 | 0.64448 | 29 | 0.36522 | 26 | 0.32053 | 32 | 27 | 0.65936 | 31 | 0.37844 | 27 | 0.34029 | 33 |
| 28 | 0.64477 | 30 | 0.36549 | 26 | 0.32085 | 32 | 28 | 0.65966 | 30 | 0.37872 | 28 | 0.34063 | 33 |
| 29 | 0.64507 | 29 | 0.36575 | 26 | 0.32118 | 32 | 29 | 0.65996 | 30 | 0.37900 | 27 | 0.34096 | 33 |
| 30 | 0.64536 | 29 | 0.36602 | 26 | 0.32150 | 33 | 30 | 0.66026 | 30 | 0.37927 | 28 | 0.34130 | 33 |
| 31 | 0.64565 | 30 | 0.36628 | 26 | 0.32183 | 32 | 31 | 0.66056 | 30 | 0.37955 | 27 | 0.34163 | 33 |
| 32 | 0.64595 | 29 | 0.36655 | 26 | 0.32215 | 33 | 32 | 0.66086 | 30 | 0.37983 | 28 | 0.34197 | 33 |
| 33 | 0.64624 | 29 | 0.36681 | 26 | 0.32248 | 32 | 33 | 0.66116 | 31 | 0.38011 | 27 | 0.34230 | 33 |
| 34 | 0.64653 | 30 | 0.36708 | 26 | 0.32281 | 32 | 34 | 0.66146 | 30 | 0.38039 | 28 | 0.34264 | 33 |
| 35 | 0.64683 | 29 | 0.36734 | 26 | 0.32313 | 33 | 35 | 0.66176 | 30 | 0.38067 | 27 | 0.34298 | 33 |
| 36 | 0.64712 | 29 | 0.36761 | 26 | 0.32346 | 32 | 36 | 0.66206 | 31 | 0.38095 | 28 | 0.34331 | 33 |
| 37 | 0.64742 | 29 | 0.36787 | 26 | 0.32378 | 33 | 37 | 0.66236 | 30 | 0.38123 | 27 | 0.34365 | 33 |
| 38 | 0.64771 | 30 | 0.36814 | 26 | 0.32411 | 33 | 38 | 0.66266 | 31 | 0.38151 | 28 | 0.34398 | 33 |
| 39 | 0.64801 | 29 | 0.36841 | 26 | 0.32444 | 32 | 39 | 0.66296 | 30 | 0.38179 | 27 | 0.34432 | 33 |
| 40 | 0.64830 | 30 | 0.36867 | 26 | 0.32476 | 33 | 40 | 0.66326 | 31 | 0.38207 | 28 | 0.34465 | 33 |
| 41 | 0.64860 | 29 | 0.36894 | 26 | 0.32509 | 33 | 41 | 0.66356 | 30 | 0.38235 | 27 | 0.34499 | 33 |
| 42 | 0.64889 | 30 | 0.36921 | 26 | 0.32542 | 32 | 42 | 0.66386 | 31 | 0.38263 | 28 | 0.34533 | 33 |
| 43 | 0.64919 | 29 | 0.36948 | 26 | 0.32574 | 33 | 43 | 0.66416 | 30 | 0.38291 | 27 | 0.34566 | 33 |
| 44 | 0.64949 | 29 | 0.36974 | 26 | 0.32607 | 33 | 44 | 0.66446 | 31 | 0.38319 | 28 | 0.34600 | 33 |
| 45 | 0.64978 | 30 | 0.37001 | 26 | 0.32640 | 33 | 45 | 0.66476 | 30 | 0.38347 | 27 | 0.34634 | 33 |
| 46 | 0.65008 | 29 | 0.37028 | 26 | 0.32673 | 32 | 46 | 0.66506 | 31 | 0.38375 | 28 | 0.34667 | 33 |
| 47 | 0.65037 | 30 | 0.37055 | 26 | 0.32705 | 33 | 47 | 0.66536 | 30 | 0.38403 | 27 | 0.34701 | 33 |
| 48 | 0.65067 | 30 | 0.37082 | 26 | 0.32738 | 33 | 48 | 0.66566 | 31 | 0.38431 | 28 | 0.34735 | 33 |
| 49 | 0.65097 | 29 | 0.37108 | 26 | 0.32771 | 33 | 49 | 0.66596 | 30 | 0.38459 | 27 | 0.34769 | 33 |
| 50 | 0.65126 | 30 | 0.37135 | 26 | 0.32804 | 33 | 50 | 0.66626 | 31 | 0.38487 | 28 | 0.34803 | 33 |
| 51 | 0.65156 | 30 | 0.37162 | 26 | 0.32837 | 32 | 51 | 0.66656 | 30 | 0.38515 | 27 | 0.34836 | 33 |
| 52 | 0.65186 | 30 | 0.37189 | 26 | 0.32869 | 33 | 52 | 0.66686 | 31 | 0.38543 | 28 | 0.34870 | 33 |
| 53 | 0.65216 | 29 | 0.37216 | 26 | 0.32902 | 33 | 53 | 0.66716 | 30 | 0.38571 | 27 | 0.34904 | 33 |
| 54 | 0.65245 | 30 | 0.37243 | 26 | 0.32935 | 33 | 54 | 0.66746 | 31 | 0.38600 | 28 | 0.34938 | 33 |
| 55 | 0.65275 | 30 | 0.37270 | 26 | 0.32968 | 33 | 55 | 0.66776 | 30 | 0.38628 | 27 | 0.34972 | 33 |
| 56 | 0.65305 | 30 | 0.37297 | 26 | 0.33001 | 33 | 56 | 0.66806 | 31 | 0.38656 | 28 | 0.35006 | 33 |
| 57 | 0.65335 | 30 | 0.37324 | 26 | 0.33034 | 33 | 57 | 0.66836 | 30 | 0.38684 | 27 | 0.35040 | 33 |
| 58 | 0.65365 | 30 | 0.37351 | 26 | 0.33067 | 33 | 58 | 0.66866 | 31 | 0.38712 | 28 | 0.35074 | 33 |
| 59 | 0.65395 | 29 | 0.37378 | 26 | 0.33100 | 33 | 59 | 0.66896 | 30 | 0.38740 | 27 | 0.35108 | 33 |
| 60 | 0.65424 | 29 | 0.37405 | 26 | 0.33133 | 33 | 60 | 0.66926 | 31 | 0.38768 | 28 | 0.35142 | 33 |

$\omega = 66 \text{ Grad.}$ $\omega = 67 \text{ Grad.}$

| ω | z' | Diff. | $\log \cos z$ | Diff. | $\log \sin z$ | Diff. | ω | z' | Diff. | $\log \cos z$ | Diff. | $\log \sin z$ | Diff. |
|----------|---------|-------|---------------|-------|---------------|-------|----------|---------|-------|---------------|-------|---------------|-------|
| 0 | 0.67253 | 31 | 0.39069 | 28 | 0.35142 | 34 | 0 | 0.69154 | 32 | 0.40812 | 30 | 0.37215 | 35 |
| 1 | 0.67284 | 31 | 0.39097 | 28 | 0.35176 | 34 | 1 | 0.69186 | 32 | 0.40842 | 30 | 0.37250 | 35 |
| 2 | 0.67315 | 31 | 0.39125 | 28 | 0.35210 | 34 | 2 | 0.69218 | 33 | 0.40872 | 30 | 0.37285 | 35 |
| 3 | 0.67346 | 31 | 0.39154 | 28 | 0.35244 | 34 | 3 | 0.69251 | 32 | 0.40902 | 29 | 0.37320 | 35 |
| 4 | 0.67377 | 31 | 0.39182 | 28 | 0.35278 | 34 | 4 | 0.69283 | 33 | 0.40931 | 30 | 0.37355 | 35 |
| 5 | 0.67408 | 31 | 0.39211 | 28 | 0.35312 | 34 | 5 | 0.69316 | 32 | 0.40961 | 30 | 0.37391 | 35 |
| 6 | 0.67439 | 31 | 0.39239 | 29 | 0.35346 | 34 | 6 | 0.69348 | 33 | 0.40991 | 30 | 0.37426 | 35 |
| 7 | 0.67470 | 31 | 0.39268 | 29 | 0.35380 | 34 | 7 | 0.69381 | 32 | 0.41021 | 30 | 0.37461 | 35 |
| 8 | 0.67502 | 32 | 0.39296 | 29 | 0.35414 | 34 | 8 | 0.69413 | 33 | 0.41051 | 30 | 0.37496 | 35 |
| 9 | 0.67533 | 31 | 0.39325 | 29 | 0.35448 | 35 | 9 | 0.69446 | 32 | 0.41081 | 30 | 0.37532 | 35 |
| 10 | 0.67564 | 31 | 0.39354 | 29 | 0.35483 | 34 | 10 | 0.69478 | 33 | 0.41111 | 30 | 0.37567 | 35 |
| 11 | 0.67595 | 32 | 0.39382 | 29 | 0.35517 | 34 | 11 | 0.69511 | 32 | 0.41141 | 30 | 0.37602 | 35 |
| 12 | 0.67627 | 32 | 0.39411 | 28 | 0.35551 | 34 | 12 | 0.69543 | 33 | 0.41171 | 30 | 0.37638 | 35 |
| 13 | 0.67658 | 31 | 0.39439 | 28 | 0.35585 | 34 | 13 | 0.69576 | 32 | 0.41201 | 30 | 0.37673 | 35 |
| 14 | 0.67689 | 32 | 0.39468 | 29 | 0.35619 | 35 | 14 | 0.69609 | 33 | 0.41231 | 30 | 0.37708 | 35 |
| 15 | 0.67721 | 31 | 0.39497 | 29 | 0.35654 | 34 | 15 | 0.69641 | 32 | 0.41261 | 30 | 0.37744 | 35 |
| 16 | 0.67752 | 32 | 0.39526 | 29 | 0.35688 | 34 | 16 | 0.69674 | 33 | 0.41291 | 31 | 0.37779 | 35 |
| 17 | 0.67784 | 31 | 0.39554 | 29 | 0.35722 | 35 | 17 | 0.69707 | 32 | 0.41322 | 30 | 0.37815 | 35 |
| 18 | 0.67815 | 31 | 0.39583 | 29 | 0.35757 | 34 | 18 | 0.69739 | 33 | 0.41352 | 30 | 0.37850 | 35 |
| 19 | 0.67846 | 32 | 0.39612 | 29 | 0.35791 | 34 | 19 | 0.69772 | 32 | 0.41382 | 30 | 0.37886 | 35 |
| 20 | 0.67878 | 32 | 0.39641 | 28 | 0.35825 | 35 | 20 | 0.69805 | 33 | 0.41412 | 31 | 0.37921 | 35 |
| 21 | 0.67909 | 31 | 0.39669 | 29 | 0.35860 | 34 | 21 | 0.69838 | 32 | 0.41443 | 30 | 0.37957 | 35 |
| 22 | 0.67941 | 32 | 0.39698 | 29 | 0.35894 | 34 | 22 | 0.69870 | 33 | 0.41473 | 30 | 0.37992 | 35 |
| 23 | 0.67972 | 32 | 0.39727 | 29 | 0.35928 | 35 | 23 | 0.69903 | 32 | 0.41503 | 30 | 0.38028 | 35 |
| 24 | 0.68004 | 31 | 0.39756 | 29 | 0.35963 | 34 | 24 | 0.69936 | 33 | 0.41533 | 30 | 0.38064 | 35 |
| 25 | 0.68035 | 32 | 0.39785 | 29 | 0.35997 | 35 | 25 | 0.69969 | 32 | 0.41564 | 31 | 0.38099 | 35 |
| 26 | 0.68067 | 32 | 0.39814 | 29 | 0.36032 | 34 | 26 | 0.70002 | 33 | 0.41594 | 30 | 0.38135 | 35 |
| 27 | 0.68099 | 32 | 0.39843 | 29 | 0.36066 | 35 | 27 | 0.70035 | 32 | 0.41625 | 31 | 0.38170 | 35 |
| 28 | 0.68130 | 31 | 0.39872 | 29 | 0.36101 | 34 | 28 | 0.70068 | 33 | 0.41655 | 30 | 0.38206 | 35 |
| 29 | 0.68162 | 32 | 0.39901 | 29 | 0.36135 | 35 | 29 | 0.70101 | 32 | 0.41686 | 31 | 0.38242 | 35 |
| 30 | 0.68194 | 31 | 0.39930 | 29 | 0.36170 | 34 | 30 | 0.70134 | 33 | 0.41716 | 30 | 0.38278 | 35 |
| 31 | 0.68225 | 32 | 0.39959 | 29 | 0.36204 | 35 | 31 | 0.70167 | 32 | 0.41747 | 31 | 0.38313 | 35 |
| 32 | 0.68257 | 32 | 0.39988 | 29 | 0.36239 | 35 | 32 | 0.70200 | 33 | 0.41777 | 30 | 0.38349 | 35 |
| 33 | 0.68289 | 32 | 0.40017 | 29 | 0.36274 | 34 | 33 | 0.70233 | 32 | 0.41808 | 31 | 0.38385 | 35 |
| 34 | 0.68321 | 31 | 0.40046 | 29 | 0.36308 | 35 | 34 | 0.70266 | 33 | 0.41838 | 30 | 0.38421 | 35 |
| 35 | 0.68352 | 32 | 0.40076 | 29 | 0.36343 | 34 | 35 | 0.70299 | 32 | 0.41869 | 31 | 0.38456 | 35 |
| 36 | 0.68384 | 32 | 0.40105 | 29 | 0.36377 | 35 | 36 | 0.70332 | 33 | 0.41899 | 30 | 0.38492 | 35 |
| 37 | 0.68416 | 32 | 0.40134 | 29 | 0.36412 | 35 | 37 | 0.70365 | 32 | 0.41930 | 31 | 0.38528 | 35 |
| 38 | 0.68448 | 32 | 0.40163 | 29 | 0.36447 | 34 | 38 | 0.70399 | 33 | 0.41961 | 30 | 0.38564 | 35 |
| 39 | 0.68480 | 31 | 0.40192 | 29 | 0.36481 | 35 | 39 | 0.70432 | 32 | 0.41992 | 31 | 0.38600 | 35 |
| 40 | 0.68511 | 32 | 0.40222 | 29 | 0.36516 | 35 | 40 | 0.70465 | 33 | 0.42022 | 30 | 0.38636 | 35 |
| 41 | 0.68543 | 32 | 0.40251 | 29 | 0.36551 | 35 | 41 | 0.70498 | 32 | 0.42053 | 31 | 0.38672 | 35 |
| 42 | 0.68575 | 32 | 0.40280 | 30 | 0.36586 | 35 | 42 | 0.70532 | 33 | 0.42084 | 30 | 0.38708 | 35 |
| 43 | 0.68607 | 32 | 0.40310 | 29 | 0.36621 | 35 | 43 | 0.70565 | 32 | 0.42115 | 31 | 0.38744 | 35 |
| 44 | 0.68639 | 32 | 0.40339 | 29 | 0.36655 | 34 | 44 | 0.70598 | 33 | 0.42145 | 30 | 0.38780 | 35 |
| 45 | 0.68671 | 32 | 0.40368 | 30 | 0.36690 | 35 | 45 | 0.70632 | 32 | 0.42176 | 31 | 0.38816 | 35 |
| 46 | 0.68703 | 32 | 0.40398 | 29 | 0.36725 | 35 | 46 | 0.70665 | 33 | 0.42207 | 30 | 0.38852 | 35 |
| 47 | 0.68735 | 32 | 0.40427 | 29 | 0.36760 | 35 | 47 | 0.70698 | 32 | 0.42238 | 31 | 0.38888 | 35 |
| 48 | 0.68767 | 32 | 0.40457 | 29 | 0.36795 | 35 | 48 | 0.70732 | 33 | 0.42269 | 30 | 0.38924 | 35 |
| 49 | 0.68799 | 32 | 0.40486 | 30 | 0.36830 | 35 | 49 | 0.70765 | 32 | 0.42300 | 31 | 0.38960 | 35 |
| 50 | 0.68832 | 32 | 0.40516 | 29 | 0.36865 | 35 | 50 | 0.70799 | 33 | 0.42331 | 30 | 0.38996 | 35 |
| 51 | 0.68864 | 32 | 0.40545 | 30 | 0.36899 | 35 | 51 | 0.70832 | 32 | 0.42362 | 31 | 0.39033 | 35 |
| 52 | 0.68896 | 32 | 0.40575 | 29 | 0.36934 | 35 | 52 | 0.70866 | 33 | 0.42393 | 30 | 0.39069 | 35 |
| 53 | 0.68928 | 32 | 0.40604 | 30 | 0.36969 | 35 | 53 | 0.70899 | 32 | 0.42424 | 31 | 0.39105 | 35 |
| 54 | 0.68960 | 32 | 0.40634 | 30 | 0.37004 | 35 | 54 | 0.70933 | 33 | 0.42455 | 30 | 0.39141 | 35 |
| 55 | 0.68992 | 32 | 0.40664 | 29 | 0.37039 | 35 | 55 | 0.70966 | 32 | 0.42486 | 31 | 0.39177 | 35 |
| 56 | 0.69025 | 32 | 0.40693 | 30 | 0.37074 | 36 | 56 | 0.71000 | 33 | 0.42518 | 30 | 0.39214 | 35 |
| 57 | 0.69057 | 32 | 0.40723 | 30 | 0.37110 | 35 | 57 | 0.71034 | 32 | 0.42549 | 31 | 0.39250 | 35 |
| 58 | 0.69089 | 32 | 0.40753 | 29 | 0.37145 | 35 | 58 | 0.71067 | 33 | 0.42580 | 30 | 0.39286 | 35 |
| 59 | 0.69121 | 33 | 0.40782 | 30 | 0.37180 | 35 | 59 | 0.71101 | 32 | 0.42611 | 31 | 0.39322 | 35 |
| 60 | 0.69154 | | 0.40812 | 30 | 0.37215 | 35 | 60 | 0.71135 | 34 | 0.42642 | 31 | 0.39359 | 35 |

$\omega = 68 \text{ Grad.}$ $\omega = 69 \text{ Grad.}$

| ω | z' | Diff. | $\log \cos z$ | Diff. | $\log \sin z$ | Diff. | ω | z' | Diff. | $\log \cos z$ | Diff. | $\log \sin z$ | Diff. |
|----------|---------|-------|---------------|-------|---------------|-------|----------|---------|-------|---------------|-------|---------------|-------|
| 0 | 0.71135 | 34 | 0.42642 | 32 | 0.39359 | 36 | 0 | 0.73203 | 36 | 0.44567 | 33 | 0.41582 | 38 |
| 1 | 0.71169 | 33 | 0.42674 | 31 | 0.39395 | 37 | 1 | 0.73239 | 35 | 0.44600 | 33 | 0.41620 | 38 |
| 2 | 0.71202 | 34 | 0.42705 | 31 | 0.39432 | 36 | 2 | 0.73274 | 35 | 0.44633 | 33 | 0.41658 | 38 |
| 3 | 0.71236 | 34 | 0.42736 | 32 | 0.39468 | 37 | 3 | 0.73309 | 36 | 0.44666 | 33 | 0.41696 | 37 |
| 4 | 0.71270 | 34 | 0.42768 | 31 | 0.39505 | 36 | 4 | 0.73345 | 35 | 0.44699 | 33 | 0.41733 | 38 |
| 5 | 0.71304 | 34 | 0.42799 | 32 | 0.39541 | 37 | 5 | 0.73380 | 35 | 0.44732 | 33 | 0.41771 | 38 |
| 6 | 0.71338 | 33 | 0.42831 | 31 | 0.39578 | 36 | 6 | 0.73415 | 36 | 0.44765 | 33 | 0.41809 | 38 |
| 7 | 0.71371 | 33 | 0.42862 | 31 | 0.39614 | 37 | 7 | 0.73451 | 35 | 0.44798 | 33 | 0.41847 | 38 |
| 8 | 0.71405 | 34 | 0.42893 | 32 | 0.39651 | 36 | 8 | 0.73486 | 36 | 0.44831 | 33 | 0.41885 | 38 |
| 9 | 0.71439 | 34 | 0.42925 | 31 | 0.39687 | 37 | 9 | 0.73522 | 35 | 0.44864 | 34 | 0.41923 | 38 |
| 10 | 0.71473 | 34 | 0.42956 | 32 | 0.39724 | 36 | 10 | 0.73557 | 36 | 0.44898 | 33 | 0.41961 | 38 |
| 11 | 0.71507 | 34 | 0.42988 | 32 | 0.39760 | 37 | 11 | 0.73593 | 35 | 0.44931 | 33 | 0.41999 | 38 |
| 12 | 0.71541 | 34 | 0.43020 | 31 | 0.39797 | 37 | 12 | 0.73628 | 36 | 0.44964 | 33 | 0.42037 | 38 |
| 13 | 0.71575 | 34 | 0.43051 | 32 | 0.39834 | 36 | 13 | 0.73664 | 35 | 0.44997 | 34 | 0.42075 | 38 |
| 14 | 0.71609 | 34 | 0.43083 | 31 | 0.39870 | 37 | 14 | 0.73699 | 36 | 0.45031 | 33 | 0.42113 | 38 |
| 15 | 0.71643 | 34 | 0.43114 | 32 | 0.39907 | 37 | 15 | 0.73735 | 36 | 0.45064 | 33 | 0.42151 | 39 |
| 16 | 0.71677 | 35 | 0.43146 | 32 | 0.39944 | 37 | 16 | 0.73771 | 35 | 0.45097 | 34 | 0.42190 | 38 |
| 17 | 0.71712 | 34 | 0.43178 | 32 | 0.39981 | 36 | 17 | 0.73806 | 36 | 0.45131 | 33 | 0.42228 | 38 |
| 18 | 0.71746 | 34 | 0.43210 | 31 | 0.40017 | 37 | 18 | 0.73842 | 36 | 0.45164 | 34 | 0.42266 | 38 |
| 19 | 0.71780 | 34 | 0.43241 | 32 | 0.40054 | 37 | 19 | 0.73878 | 36 | 0.45198 | 33 | 0.42304 | 38 |
| 20 | 0.71814 | 34 | 0.43273 | 32 | 0.40091 | 37 | 20 | 0.73914 | 36 | 0.45231 | 34 | 0.42342 | 39 |
| 21 | 0.71848 | 35 | 0.43305 | 32 | 0.40128 | 37 | 21 | 0.73950 | 35 | 0.45265 | 33 | 0.42381 | 38 |
| 22 | 0.71883 | 34 | 0.43337 | 32 | 0.40165 | 36 | 22 | 0.73985 | 36 | 0.45298 | 34 | 0.42419 | 38 |
| 23 | 0.71917 | 34 | 0.43369 | 32 | 0.40201 | 37 | 23 | 0.74021 | 36 | 0.45332 | 33 | 0.42457 | 39 |
| 24 | 0.71951 | 35 | 0.43401 | 31 | 0.40238 | 37 | 24 | 0.74057 | 36 | 0.45365 | 34 | 0.42496 | 38 |
| 25 | 0.71986 | 34 | 0.43432 | 32 | 0.40275 | 37 | 25 | 0.74093 | 36 | 0.45399 | 34 | 0.42534 | 38 |
| 26 | 0.72020 | 34 | 0.43464 | 32 | 0.40312 | 37 | 26 | 0.74129 | 36 | 0.45433 | 33 | 0.42572 | 39 |
| 27 | 0.72054 | 35 | 0.43496 | 32 | 0.40349 | 37 | 27 | 0.74165 | 36 | 0.45466 | 34 | 0.42611 | 38 |
| 28 | 0.72089 | 35 | 0.43528 | 32 | 0.40386 | 37 | 28 | 0.74201 | 36 | 0.45500 | 34 | 0.42649 | 39 |
| 29 | 0.72123 | 35 | 0.43560 | 32 | 0.40423 | 37 | 29 | 0.74237 | 36 | 0.45534 | 33 | 0.42688 | 38 |
| 30 | 0.72158 | 34 | 0.43592 | 33 | 0.40460 | 37 | 30 | 0.74273 | 36 | 0.45567 | 34 | 0.42726 | 39 |
| 31 | 0.72192 | 35 | 0.43625 | 33 | 0.40497 | 37 | 31 | 0.74309 | 36 | 0.45601 | 34 | 0.42765 | 38 |
| 32 | 0.72227 | 35 | 0.43657 | 32 | 0.40534 | 37 | 32 | 0.74345 | 36 | 0.45635 | 34 | 0.42803 | 39 |
| 33 | 0.72261 | 35 | 0.43689 | 32 | 0.40571 | 38 | 33 | 0.74381 | 37 | 0.45669 | 34 | 0.42842 | 38 |
| 34 | 0.72296 | 34 | 0.43721 | 32 | 0.40609 | 37 | 34 | 0.74418 | 36 | 0.45703 | 34 | 0.42880 | 39 |
| 35 | 0.72330 | 35 | 0.43753 | 32 | 0.40646 | 37 | 35 | 0.74454 | 36 | 0.45737 | 34 | 0.42919 | 39 |
| 36 | 0.72365 | 34 | 0.43785 | 33 | 0.40683 | 37 | 36 | 0.74490 | 36 | 0.45771 | 34 | 0.42958 | 38 |
| 37 | 0.72399 | 35 | 0.43818 | 33 | 0.40720 | 37 | 37 | 0.74526 | 37 | 0.45805 | 34 | 0.42996 | 39 |
| 38 | 0.72434 | 35 | 0.43850 | 32 | 0.40757 | 38 | 38 | 0.74563 | 36 | 0.45839 | 34 | 0.43035 | 39 |
| 39 | 0.72469 | 35 | 0.43882 | 32 | 0.40795 | 37 | 39 | 0.74599 | 36 | 0.45873 | 34 | 0.43074 | 39 |
| 40 | 0.72504 | 35 | 0.43915 | 33 | 0.40832 | 37 | 40 | 0.74635 | 37 | 0.45907 | 34 | 0.43113 | 39 |
| 41 | 0.72538 | 35 | 0.43947 | 32 | 0.40869 | 37 | 41 | 0.74672 | 36 | 0.45941 | 34 | 0.43151 | 38 |
| 42 | 0.72573 | 35 | 0.43979 | 33 | 0.40906 | 38 | 42 | 0.74708 | 36 | 0.45975 | 34 | 0.43190 | 39 |
| 43 | 0.72608 | 35 | 0.44012 | 33 | 0.40944 | 37 | 43 | 0.74744 | 37 | 0.46009 | 34 | 0.43229 | 39 |
| 44 | 0.72643 | 35 | 0.44044 | 33 | 0.40981 | 38 | 44 | 0.74781 | 36 | 0.46043 | 35 | 0.43268 | 39 |
| 45 | 0.72678 | 34 | 0.44077 | 32 | 0.41019 | 37 | 45 | 0.74817 | 37 | 0.46078 | 34 | 0.43307 | 39 |
| 46 | 0.72712 | 35 | 0.44109 | 32 | 0.41056 | 37 | 46 | 0.74854 | 36 | 0.46112 | 34 | 0.43346 | 39 |
| 47 | 0.72747 | 35 | 0.44142 | 32 | 0.41093 | 38 | 47 | 0.74890 | 35 | 0.46146 | 35 | 0.43385 | 39 |
| 48 | 0.72782 | 35 | 0.44174 | 32 | 0.41131 | 37 | 48 | 0.74927 | 37 | 0.46181 | 34 | 0.43424 | 39 |
| 49 | 0.72817 | 35 | 0.44207 | 33 | 0.41168 | 38 | 49 | 0.74964 | 36 | 0.46215 | 34 | 0.43463 | 39 |
| 50 | 0.72852 | 35 | 0.44239 | 33 | 0.41206 | 37 | 50 | 0.75000 | 37 | 0.46249 | 35 | 0.43502 | 39 |
| 51 | 0.72887 | 35 | 0.44272 | 33 | 0.41243 | 38 | 51 | 0.75037 | 37 | 0.46284 | 34 | 0.43541 | 39 |
| 52 | 0.72922 | 35 | 0.44305 | 33 | 0.41281 | 38 | 52 | 0.75074 | 36 | 0.46318 | 34 | 0.43580 | 39 |
| 53 | 0.72957 | 35 | 0.44337 | 33 | 0.41319 | 38 | 53 | 0.75110 | 37 | 0.46353 | 35 | 0.43619 | 39 |
| 54 | 0.72992 | 35 | 0.44370 | 33 | 0.41356 | 38 | 54 | 0.75147 | 37 | 0.46387 | 35 | 0.43658 | 39 |
| 55 | 0.73027 | 36 | 0.44403 | 33 | 0.41394 | 38 | 55 | 0.75184 | 37 | 0.46422 | 35 | 0.43697 | 39 |
| 56 | 0.73063 | 35 | 0.44436 | 32 | 0.41431 | 38 | 56 | 0.75221 | 36 | 0.46456 | 35 | 0.43736 | 40 |
| 57 | 0.73098 | 35 | 0.44468 | 33 | 0.41469 | 38 | 57 | 0.75257 | 37 | 0.46491 | 34 | 0.43776 | 39 |
| 58 | 0.73133 | 35 | 0.44501 | 33 | 0.41507 | 38 | 58 | 0.75294 | 37 | 0.46525 | 35 | 0.43815 | 39 |
| 59 | 0.73168 | 35 | 0.44534 | 33 | 0.41545 | 37 | 59 | 0.75331 | 37 | 0.46560 | 35 | 0.43854 | 39 |
| 60 | 0.73203 | 35 | 0.44567 | 33 | 0.41582 | 37 | 60 | 0.75368 | 37 | 0.46595 | 35 | 0.43893 | 39 |

$\omega = 70 \text{ Grad.}$ $\omega = 71 \text{ Grad.}$

| ω | z' | Diff. | $\log \cos z$ | Diff. | $\log \sin z$ | Diff. | ω | z' | Diff. | $\log \cos z$ | Diff. | $\log \sin z$ | Diff. |
|----------|---------|-------|---------------|-------|---------------|-------|----------|---------|-------|---------------|-------|---------------|-------|
| 0 | 0.75368 | 37 | 0.46595 | 35 | 0.43893 | 40 | 0 | 0.77639 | 39 | 0.48736 | 37 | 0.46303 | 41 |
| 1 | 0.75405 | 37 | 0.46630 | 34 | 0.43933 | 39 | 1 | 0.77678 | 39 | 0.48773 | 36 | 0.46344 | 41 |
| 2 | 0.75442 | 37 | 0.46664 | 35 | 0.43972 | 39 | 2 | 0.77717 | 39 | 0.48809 | 37 | 0.46385 | 41 |
| 3 | 0.75479 | 37 | 0.46699 | 35 | 0.44011 | 40 | 3 | 0.77756 | 39 | 0.48846 | 37 | 0.46426 | 41 |
| 4 | 0.75516 | 37 | 0.46734 | 35 | 0.44051 | 39 | 4 | 0.77795 | 39 | 0.48883 | 37 | 0.46467 | 41 |
| 5 | 0.75553 | 37 | 0.46769 | 35 | 0.44090 | 40 | 5 | 0.77834 | 39 | 0.48920 | 37 | 0.46508 | 42 |
| 6 | 0.75590 | 37 | 0.46804 | 35 | 0.44130 | 39 | 6 | 0.77873 | 39 | 0.48957 | 36 | 0.46550 | 41 |
| 7 | 0.75627 | 38 | 0.46839 | 35 | 0.44169 | 40 | 7 | 0.77912 | 39 | 0.48993 | 37 | 0.46591 | 41 |
| 8 | 0.75665 | 37 | 0.46874 | 34 | 0.44209 | 39 | 8 | 0.77951 | 39 | 0.49030 | 37 | 0.46632 | 41 |
| 9 | 0.75702 | 37 | 0.46908 | 36 | 0.44248 | 40 | 9 | 0.77990 | 39 | 0.49067 | 37 | 0.46673 | 42 |
| 10 | 0.75739 | 37 | 0.46944 | 35 | 0.44288 | 39 | 10 | 0.78029 | 39 | 0.49104 | 38 | 0.46715 | 41 |
| 11 | 0.75776 | 38 | 0.46979 | 35 | 0.44327 | 40 | 11 | 0.78068 | 39 | 0.49142 | 37 | 0.46756 | 42 |
| 12 | 0.75814 | 37 | 0.47014 | 35 | 0.44367 | 40 | 12 | 0.78107 | 40 | 0.49179 | 37 | 0.46798 | 41 |
| 13 | 0.75851 | 37 | 0.47049 | 35 | 0.44407 | 39 | 13 | 0.78147 | 40 | 0.49216 | 37 | 0.46839 | 41 |
| 14 | 0.75888 | 38 | 0.47084 | 35 | 0.44446 | 40 | 14 | 0.78186 | 39 | 0.49253 | 37 | 0.46880 | 42 |
| 15 | 0.75926 | 37 | 0.47119 | 35 | 0.44486 | 40 | 15 | 0.78225 | 39 | 0.49290 | 37 | 0.46922 | 41 |
| 16 | 0.75963 | 37 | 0.47154 | 35 | 0.44526 | 40 | 16 | 0.78264 | 40 | 0.49327 | 38 | 0.46963 | 42 |
| 17 | 0.76000 | 38 | 0.47189 | 36 | 0.44566 | 39 | 17 | 0.78304 | 39 | 0.49365 | 37 | 0.47005 | 42 |
| 18 | 0.76038 | 37 | 0.47225 | 35 | 0.44606 | 40 | 18 | 0.78343 | 40 | 0.49402 | 37 | 0.47047 | 41 |
| 19 | 0.76075 | 38 | 0.47260 | 35 | 0.44645 | 40 | 19 | 0.78383 | 39 | 0.49439 | 38 | 0.47088 | 42 |
| 20 | 0.76113 | 37 | 0.47295 | 36 | 0.44685 | 40 | 20 | 0.78422 | 40 | 0.49477 | 37 | 0.47130 | 41 |
| 21 | 0.76150 | 38 | 0.47331 | 35 | 0.44725 | 40 | 21 | 0.78462 | 39 | 0.49514 | 37 | 0.47171 | 42 |
| 22 | 0.76188 | 37 | 0.47366 | 36 | 0.44765 | 40 | 22 | 0.78501 | 40 | 0.49551 | 38 | 0.47213 | 42 |
| 23 | 0.76225 | 37 | 0.47402 | 35 | 0.44805 | 40 | 23 | 0.78541 | 49 | 0.49589 | 37 | 0.47255 | 42 |
| 24 | 0.76263 | 38 | 0.47437 | 36 | 0.44845 | 40 | 24 | 0.78580 | 40 | 0.49626 | 37 | 0.47297 | 42 |
| 25 | 0.76301 | 38 | 0.47473 | 35 | 0.44885 | 40 | 25 | 0.78620 | 39 | 0.49664 | 38 | 0.47339 | 41 |
| 26 | 0.76339 | 37 | 0.47508 | 36 | 0.44925 | 40 | 26 | 0.78659 | 40 | 0.49702 | 37 | 0.47380 | 42 |
| 27 | 0.76376 | 38 | 0.47544 | 35 | 0.44965 | 40 | 27 | 0.78699 | 40 | 0.49739 | 38 | 0.47422 | 42 |
| 28 | 0.76414 | 38 | 0.47579 | 36 | 0.45005 | 40 | 28 | 0.78739 | 40 | 0.49777 | 38 | 0.47464 | 42 |
| 29 | 0.76452 | 38 | 0.47615 | 35 | 0.45045 | 40 | 29 | 0.78779 | 39 | 0.49815 | 37 | 0.47506 | 42 |
| 30 | 0.76490 | 37 | 0.47650 | 36 | 0.45085 | 40 | 30 | 0.78818 | 40 | 0.49852 | 38 | 0.47548 | 42 |
| 31 | 0.76528 | 37 | 0.47686 | 36 | 0.45125 | 40 | 31 | 0.78858 | 40 | 0.49890 | 38 | 0.47590 | 42 |
| 32 | 0.76565 | 38 | 0.47722 | 36 | 0.45165 | 41 | 32 | 0.78898 | 40 | 0.49928 | 38 | 0.47632 | 42 |
| 33 | 0.76603 | 38 | 0.47758 | 35 | 0.45206 | 40 | 33 | 0.78938 | 40 | 0.49966 | 38 | 0.47674 | 42 |
| 34 | 0.76641 | 38 | 0.47793 | 36 | 0.45246 | 40 | 34 | 0.78978 | 40 | 0.50004 | 38 | 0.47716 | 42 |
| 35 | 0.76679 | 38 | 0.47829 | 36 | 0.45286 | 41 | 35 | 0.79018 | 40 | 0.50042 | 38 | 0.47758 | 42 |
| 36 | 0.76717 | 38 | 0.47865 | 36 | 0.45327 | 40 | 36 | 0.79058 | 40 | 0.50080 | 38 | 0.47800 | 43 |
| 37 | 0.76755 | 39 | 0.47901 | 36 | 0.45367 | 40 | 37 | 0.79098 | 40 | 0.50118 | 38 | 0.47843 | 43 |
| 38 | 0.76794 | 38 | 0.47937 | 36 | 0.45407 | 41 | 38 | 0.79138 | 40 | 0.50156 | 38 | 0.47885 | 42 |
| 39 | 0.76832 | 38 | 0.47973 | 36 | 0.45448 | 40 | 39 | 0.79178 | 40 | 0.50194 | 38 | 0.47927 | 42 |
| 40 | 0.76870 | 38 | 0.48009 | 36 | 0.45488 | 40 | 40 | 0.79218 | 41 | 0.50232 | 38 | 0.47969 | 43 |
| 41 | 0.76908 | 38 | 0.48045 | 36 | 0.45529 | 40 | 41 | 0.79259 | 40 | 0.50270 | 38 | 0.48012 | 43 |
| 42 | 0.76946 | 38 | 0.48081 | 36 | 0.45569 | 41 | 42 | 0.79299 | 40 | 0.50308 | 38 | 0.48054 | 43 |
| 43 | 0.76984 | 39 | 0.48117 | 36 | 0.45610 | 41 | 43 | 0.79339 | 40 | 0.50346 | 38 | 0.48097 | 42 |
| 44 | 0.77022 | 38 | 0.48153 | 36 | 0.45650 | 41 | 44 | 0.79379 | 41 | 0.50385 | 38 | 0.48139 | 42 |
| 45 | 0.77061 | 38 | 0.48189 | 37 | 0.45691 | 41 | 45 | 0.79420 | 40 | 0.50423 | 38 | 0.48181 | 43 |
| 46 | 0.77099 | 38 | 0.48226 | 37 | 0.45731 | 41 | 46 | 0.79460 | 40 | 0.50461 | 38 | 0.48224 | 43 |
| 47 | 0.77138 | 38 | 0.48262 | 36 | 0.45772 | 41 | 47 | 0.79500 | 41 | 0.50500 | 38 | 0.48266 | 43 |
| 48 | 0.77176 | 38 | 0.48298 | 36 | 0.45813 | 41 | 48 | 0.79541 | 41 | 0.50538 | 38 | 0.48309 | 43 |
| 49 | 0.77214 | 39 | 0.48334 | 36 | 0.45853 | 40 | 49 | 0.79581 | 41 | 0.50576 | 38 | 0.48352 | 42 |
| 50 | 0.77253 | 39 | 0.48371 | 36 | 0.45894 | 41 | 50 | 0.79622 | 41 | 0.50615 | 38 | 0.48394 | 43 |
| 51 | 0.77291 | 39 | 0.48407 | 36 | 0.45935 | 40 | 51 | 0.79662 | 41 | 0.50653 | 38 | 0.48437 | 43 |
| 52 | 0.77330 | 39 | 0.48443 | 37 | 0.45975 | 41 | 52 | 0.79703 | 41 | 0.50692 | 39 | 0.48480 | 43 |
| 53 | 0.77369 | 38 | 0.48480 | 36 | 0.46016 | 41 | 53 | 0.79743 | 41 | 0.50731 | 38 | 0.48522 | 43 |
| 54 | 0.77407 | 39 | 0.48516 | 37 | 0.46057 | 41 | 54 | 0.79784 | 41 | 0.50769 | 39 | 0.48565 | 43 |
| 55 | 0.77446 | 38 | 0.48553 | 36 | 0.46098 | 41 | 55 | 0.79825 | 41 | 0.50808 | 39 | 0.48608 | 43 |
| 56 | 0.77484 | 39 | 0.48589 | 37 | 0.46139 | 41 | 56 | 0.79866 | 40 | 0.50847 | 38 | 0.48651 | 43 |
| 57 | 0.77523 | 39 | 0.48626 | 36 | 0.46180 | 41 | 57 | 0.79906 | 41 | 0.50885 | 38 | 0.48694 | 42 |
| 58 | 0.77562 | 39 | 0.48662 | 37 | 0.46221 | 41 | 58 | 0.79947 | 41 | 0.50924 | 39 | 0.48736 | 42 |
| 59 | 0.77601 | 38 | 0.48699 | 37 | 0.46262 | 41 | 59 | 0.79988 | 41 | 0.50963 | 39 | 0.48779 | 43 |
| 60 | 0.77639 | 38 | 0.48736 | 37 | 0.46303 | 41 | 60 | 0.80029 | 41 | 0.51002 | 39 | 0.48822 | 43 |

$w = 72 \text{ Grad.}$ $w = 73 \text{ Grad.}$

| w | z' | Diff. | $\log \cos z$ | Diff. | $\log \sin z$ | Diff. | w | z' | Diff. | $\log \cos z$ | Diff. | $\log \sin z$ | Diff. |
|-----|---------|-------|---------------|-------|---------------|-------|-----|---------|-------|---------------|-------|---------------|-------|
| 0 | 0.80029 | 41 | 0.51062 | 39 | 0.48822 | 43 | 0 | 0.82550 | 43 | 0.53406 | 42 | 0.51466 | 45 |
| 1 | 0.80070 | 41 | 0.51041 | 39 | 0.48865 | 43 | 1 | 0.82593 | 44 | 0.53448 | 42 | 0.51511 | 46 |
| 2 | 0.80111 | 41 | 0.51080 | 39 | 0.48908 | 44 | 2 | 0.82637 | 43 | 0.53489 | 42 | 0.51557 | 45 |
| 3 | 0.80152 | 41 | 0.51119 | 39 | 0.48952 | 43 | 3 | 0.82680 | 43 | 0.53531 | 42 | 0.51602 | 45 |
| 4 | 0.80193 | 41 | 0.51158 | 39 | 0.48995 | 43 | 4 | 0.82723 | 44 | 0.53572 | 42 | 0.51647 | 46 |
| 5 | 0.80234 | 41 | 0.51197 | 39 | 0.49038 | 43 | 5 | 0.82767 | 43 | 0.53614 | 42 | 0.51693 | 45 |
| 6 | 0.80275 | 41 | 0.51236 | 39 | 0.49081 | 43 | 6 | 0.82810 | 44 | 0.53655 | 42 | 0.51738 | 45 |
| 7 | 0.80316 | 41 | 0.51275 | 39 | 0.49124 | 43 | 7 | 0.82854 | 43 | 0.53697 | 42 | 0.51783 | 46 |
| 8 | 0.80357 | 41 | 0.51314 | 39 | 0.49167 | 44 | 8 | 0.82897 | 44 | 0.53738 | 42 | 0.51829 | 45 |
| 9 | 0.80398 | 41 | 0.51353 | 40 | 0.49211 | 43 | 9 | 0.82941 | 43 | 0.53780 | 42 | 0.51874 | 46 |
| 10 | 0.80439 | 42 | 0.51393 | 39 | 0.49254 | 43 | 10 | 0.82984 | 44 | 0.53822 | 42 | 0.51920 | 45 |
| 11 | 0.80481 | 42 | 0.51432 | 39 | 0.49297 | 44 | 11 | 0.83028 | 44 | 0.53864 | 42 | 0.51965 | 46 |
| 12 | 0.80522 | 41 | 0.51471 | 39 | 0.49341 | 43 | 12 | 0.83072 | 43 | 0.53905 | 42 | 0.52011 | 46 |
| 13 | 0.80563 | 42 | 0.51510 | 40 | 0.49384 | 44 | 13 | 0.83115 | 44 | 0.53947 | 42 | 0.52057 | 45 |
| 14 | 0.80605 | 41 | 0.51550 | 39 | 0.49428 | 43 | 14 | 0.83159 | 44 | 0.53989 | 42 | 0.52103 | 45 |
| 15 | 0.80646 | 42 | 0.51589 | 40 | 0.49471 | 44 | 15 | 0.83203 | 44 | 0.54031 | 42 | 0.52148 | 46 |
| 16 | 0.80688 | 42 | 0.51629 | 39 | 0.49515 | 43 | 16 | 0.83247 | 44 | 0.54073 | 42 | 0.52194 | 46 |
| 17 | 0.80729 | 42 | 0.51668 | 40 | 0.49558 | 44 | 17 | 0.83291 | 44 | 0.54115 | 42 | 0.52240 | 46 |
| 18 | 0.80771 | 41 | 0.51708 | 40 | 0.49602 | 44 | 18 | 0.83335 | 44 | 0.54157 | 42 | 0.52286 | 46 |
| 19 | 0.80812 | 41 | 0.51748 | 40 | 0.49645 | 43 | 19 | 0.83379 | 44 | 0.54199 | 42 | 0.52332 | 46 |
| 20 | 0.80854 | 42 | 0.51787 | 39 | 0.49689 | 44 | 20 | 0.83423 | 44 | 0.54242 | 42 | 0.52378 | 46 |
| 21 | 0.80895 | 41 | 0.51827 | 40 | 0.49733 | 44 | 21 | 0.83467 | 44 | 0.54284 | 42 | 0.52424 | 46 |
| 22 | 0.80937 | 42 | 0.51867 | 39 | 0.49777 | 43 | 22 | 0.83511 | 44 | 0.54326 | 42 | 0.52470 | 46 |
| 23 | 0.80979 | 42 | 0.51906 | 40 | 0.49820 | 43 | 23 | 0.83555 | 44 | 0.54368 | 42 | 0.52516 | 46 |
| 24 | 0.81021 | 41 | 0.51946 | 40 | 0.49864 | 44 | 24 | 0.83599 | 44 | 0.54411 | 42 | 0.52562 | 46 |
| 25 | 0.81062 | 42 | 0.51986 | 40 | 0.49908 | 44 | 25 | 0.83643 | 45 | 0.54453 | 42 | 0.52608 | 46 |
| 26 | 0.81104 | 42 | 0.52026 | 40 | 0.49952 | 44 | 26 | 0.83688 | 44 | 0.54496 | 42 | 0.52654 | 47 |
| 27 | 0.81146 | 42 | 0.52066 | 40 | 0.49996 | 44 | 27 | 0.83732 | 44 | 0.54538 | 42 | 0.52701 | 46 |
| 28 | 0.81188 | 42 | 0.52106 | 40 | 0.50040 | 44 | 28 | 0.83776 | 45 | 0.54581 | 42 | 0.52747 | 46 |
| 29 | 0.81230 | 42 | 0.52146 | 40 | 0.50084 | 44 | 29 | 0.83821 | 44 | 0.54623 | 42 | 0.52793 | 46 |
| 30 | 0.81272 | 42 | 0.52186 | 40 | 0.50128 | 44 | 30 | 0.83865 | 45 | 0.54666 | 42 | 0.52840 | 47 |
| 31 | 0.81314 | 42 | 0.52226 | 40 | 0.50172 | 44 | 31 | 0.83910 | 44 | 0.54708 | 42 | 0.52886 | 46 |
| 32 | 0.81356 | 42 | 0.52266 | 40 | 0.50216 | 44 | 32 | 0.83954 | 44 | 0.54751 | 43 | 0.52932 | 47 |
| 33 | 0.81398 | 42 | 0.52306 | 40 | 0.50260 | 44 | 33 | 0.83999 | 45 | 0.54794 | 43 | 0.52979 | 47 |
| 34 | 0.81440 | 42 | 0.52346 | 40 | 0.50304 | 44 | 34 | 0.84044 | 44 | 0.54837 | 43 | 0.53025 | 47 |
| 35 | 0.81483 | 43 | 0.52387 | 41 | 0.50348 | 45 | 35 | 0.84088 | 45 | 0.54880 | 43 | 0.53072 | 47 |
| 36 | 0.81525 | 42 | 0.52427 | 40 | 0.50393 | 44 | 36 | 0.84133 | 45 | 0.54923 | 43 | 0.53119 | 46 |
| 37 | 0.81567 | 42 | 0.52467 | 40 | 0.50437 | 44 | 37 | 0.84178 | 45 | 0.54965 | 42 | 0.53165 | 46 |
| 38 | 0.81609 | 42 | 0.52508 | 41 | 0.50481 | 45 | 38 | 0.84223 | 44 | 0.55008 | 44 | 0.53212 | 47 |
| 39 | 0.81654 | 43 | 0.52548 | 41 | 0.50525 | 45 | 39 | 0.84268 | 45 | 0.55052 | 44 | 0.53259 | 47 |
| 40 | 0.81694 | 42 | 0.52589 | 41 | 0.50570 | 44 | 40 | 0.84313 | 45 | 0.55095 | 43 | 0.53306 | 47 |
| 41 | 0.81736 | 42 | 0.52629 | 40 | 0.50615 | 45 | 41 | 0.84357 | 45 | 0.55138 | 43 | 0.53352 | 47 |
| 42 | 0.81779 | 43 | 0.52670 | 40 | 0.50659 | 44 | 42 | 0.84402 | 45 | 0.55181 | 43 | 0.53399 | 47 |
| 43 | 0.81821 | 42 | 0.52710 | 41 | 0.50704 | 45 | 43 | 0.84447 | 45 | 0.55224 | 43 | 0.53446 | 47 |
| 44 | 0.81864 | 43 | 0.52751 | 41 | 0.50748 | 44 | 44 | 0.84492 | 45 | 0.55267 | 43 | 0.53493 | 47 |
| 45 | 0.81907 | 43 | 0.52791 | 41 | 0.50793 | 45 | 45 | 0.84537 | 45 | 0.55311 | 44 | 0.53540 | 47 |
| 46 | 0.81949 | 42 | 0.52832 | 41 | 0.50837 | 44 | 46 | 0.84583 | 46 | 0.55354 | 43 | 0.53587 | 47 |
| 47 | 0.81992 | 43 | 0.52873 | 41 | 0.50882 | 45 | 47 | 0.84628 | 45 | 0.55398 | 44 | 0.53634 | 47 |
| 48 | 0.82035 | 42 | 0.52914 | 41 | 0.50927 | 45 | 48 | 0.84673 | 45 | 0.55441 | 43 | 0.53681 | 48 |
| 49 | 0.82077 | 43 | 0.52955 | 41 | 0.50971 | 44 | 49 | 0.84718 | 46 | 0.55484 | 43 | 0.53729 | 48 |
| 50 | 0.82120 | 43 | 0.52995 | 41 | 0.51016 | 45 | 50 | 0.84764 | 45 | 0.55528 | 44 | 0.53776 | 47 |
| 51 | 0.82163 | 43 | 0.53036 | 41 | 0.51061 | 45 | 51 | 0.84809 | 46 | 0.55572 | 43 | 0.53823 | 47 |
| 52 | 0.82205 | 43 | 0.53077 | 41 | 0.51106 | 45 | 52 | 0.84855 | 45 | 0.55615 | 43 | 0.53870 | 48 |
| 53 | 0.82249 | 43 | 0.53118 | 41 | 0.51151 | 45 | 53 | 0.84900 | 46 | 0.55659 | 44 | 0.53918 | 48 |
| 54 | 0.82292 | 43 | 0.53159 | 41 | 0.51196 | 45 | 54 | 0.84946 | 45 | 0.55703 | 44 | 0.53965 | 48 |
| 55 | 0.82335 | 43 | 0.53200 | 42 | 0.51241 | 45 | 55 | 0.84991 | 46 | 0.55747 | 44 | 0.54013 | 47 |
| 56 | 0.82378 | 43 | 0.53242 | 41 | 0.51286 | 45 | 56 | 0.85037 | 45 | 0.55790 | 44 | 0.54060 | 48 |
| 57 | 0.82421 | 43 | 0.53283 | 41 | 0.51331 | 45 | 57 | 0.85082 | 46 | 0.55834 | 44 | 0.54108 | 47 |
| 58 | 0.82464 | 43 | 0.53324 | 41 | 0.51376 | 45 | 58 | 0.85128 | 46 | 0.55878 | 44 | 0.54155 | 48 |
| 59 | 0.82507 | 43 | 0.53365 | 41 | 0.51421 | 45 | 59 | 0.85174 | 46 | 0.55922 | 44 | 0.54203 | 48 |
| 60 | 0.82550 | 43 | 0.53406 | 41 | 0.51466 | 45 | 60 | 0.85220 | 46 | 0.55966 | 44 | 0.54250 | 47 |

$\omega = 74 \text{ Grad.}$ $\omega = 75 \text{ Grad.}$

| ω | z' | Diff. | $\log \cos z$ | Diff. | $\log \sin z$ | Diff. | ω | z' | Diff. | $\log \cos z$ | Diff. | $\log \sin z$ | Diff. |
|----------|---------|-------|---------------|-------|---------------|-------|----------|---------|-------|---------------|-------|---------------|-------|
| 0 | 0.85220 | 46 | 0.50906 | 44 | 0.54250 | 48 | 0 | 0.88057 | 49 | 0.58700 | 48 | 0.57195 | 50 |
| 1 | 0.85266 | 46 | 0.50910 | 44 | 0.54298 | 48 | 1 | 0.88106 | 49 | 0.58748 | 47 | 0.57245 | 51 |
| 2 | 0.85312 | 45 | 0.50954 | 45 | 0.54346 | 48 | 2 | 0.88155 | 49 | 0.58795 | 47 | 0.57296 | 51 |
| 3 | 0.85357 | 46 | 0.50999 | 44 | 0.54394 | 47 | 3 | 0.88201 | 49 | 0.58842 | 47 | 0.57347 | 50 |
| 4 | 0.85403 | 46 | 0.51043 | 44 | 0.54441 | 48 | 4 | 0.88253 | 49 | 0.58889 | 47 | 0.57397 | 51 |
| 5 | 0.85449 | 47 | 0.51087 | 44 | 0.54489 | 48 | 5 | 0.88302 | 49 | 0.58937 | 47 | 0.57448 | 51 |
| 6 | 0.85496 | 46 | 0.51231 | 45 | 0.54537 | 48 | 6 | 0.88351 | 49 | 0.58981 | 48 | 0.57499 | 51 |
| 7 | 0.85542 | 46 | 0.51276 | 44 | 0.54585 | 48 | 7 | 0.88400 | 49 | 0.59032 | 47 | 0.57550 | 51 |
| 8 | 0.85588 | 46 | 0.51320 | 15 | 0.54633 | 48 | 8 | 0.88449 | 50 | 0.59079 | 48 | 0.57601 | 51 |
| 9 | 0.85634 | 46 | 0.51365 | 44 | 0.54681 | 48 | 9 | 0.88499 | 49 | 0.59127 | 48 | 0.57652 | 51 |
| 10 | 0.85680 | 47 | 0.51409 | 45 | 0.54729 | 49 | 10 | 0.88548 | 49 | 0.59175 | 47 | 0.57703 | 51 |
| 11 | 0.85727 | 46 | 0.51454 | 44 | 0.54778 | 48 | 11 | 0.88597 | 50 | 0.59222 | 48 | 0.57754 | 51 |
| 12 | 0.85773 | 47 | 0.51498 | 45 | 0.54826 | 48 | 12 | 0.88647 | 49 | 0.59270 | 48 | 0.57805 | 51 |
| 13 | 0.85820 | 47 | 0.51543 | 45 | 0.54874 | 48 | 13 | 0.88696 | 50 | 0.59318 | 48 | 0.57856 | 51 |
| 14 | 0.85866 | 47 | 0.51588 | 45 | 0.54922 | 49 | 14 | 0.88746 | 49 | 0.59366 | 48 | 0.57907 | 52 |
| 15 | 0.85913 | 46 | 0.51633 | 44 | 0.54971 | 48 | 15 | 0.88795 | 50 | 0.59414 | 48 | 0.57959 | 51 |
| 16 | 0.85959 | 47 | 0.51677 | 45 | 0.55019 | 49 | 16 | 0.88845 | 50 | 0.59462 | 48 | 0.58010 | 51 |
| 17 | 0.86006 | 46 | 0.51722 | 45 | 0.55067 | 49 | 17 | 0.88895 | 49 | 0.59510 | 48 | 0.58061 | 52 |
| 18 | 0.86052 | 47 | 0.51767 | 45 | 0.55116 | 48 | 18 | 0.88944 | 50 | 0.59558 | 48 | 0.58113 | 51 |
| 19 | 0.86099 | 47 | 0.51812 | 45 | 0.55164 | 49 | 19 | 0.88994 | 50 | 0.59606 | 48 | 0.58164 | 52 |
| 20 | 0.86146 | 47 | 0.51857 | 45 | 0.55213 | 49 | 20 | 0.89044 | 50 | 0.59654 | 49 | 0.58216 | 51 |
| 21 | 0.86193 | 46 | 0.51902 | 45 | 0.55262 | 48 | 21 | 0.89094 | 50 | 0.59703 | 48 | 0.58267 | 52 |
| 22 | 0.86239 | 46 | 0.51947 | 45 | 0.55310 | 49 | 22 | 0.89144 | 50 | 0.59751 | 49 | 0.58319 | 52 |
| 23 | 0.86286 | 47 | 0.51992 | 45 | 0.55359 | 49 | 23 | 0.89194 | 50 | 0.59800 | 48 | 0.58371 | 51 |
| 24 | 0.86333 | 47 | 0.52038 | 45 | 0.55408 | 48 | 24 | 0.89244 | 50 | 0.59848 | 49 | 0.58422 | 52 |
| 25 | 0.86380 | 47 | 0.52083 | 45 | 0.55456 | 49 | 25 | 0.89294 | 50 | 0.59897 | 48 | 0.58474 | 52 |
| 26 | 0.86427 | 47 | 0.52128 | 46 | 0.55505 | 49 | 26 | 0.89344 | 51 | 0.59945 | 49 | 0.58526 | 52 |
| 27 | 0.86474 | 47 | 0.52174 | 45 | 0.55554 | 49 | 27 | 0.89395 | 50 | 0.59994 | 48 | 0.58578 | 52 |
| 28 | 0.86522 | 47 | 0.52219 | 45 | 0.55603 | 49 | 28 | 0.89445 | 50 | 0.60042 | 49 | 0.58630 | 52 |
| 29 | 0.86569 | 47 | 0.52265 | 45 | 0.55652 | 49 | 29 | 0.89495 | 51 | 0.60091 | 49 | 0.58682 | 52 |
| 30 | 0.86616 | 47 | 0.52310 | 46 | 0.55701 | 49 | 30 | 0.89546 | 50 | 0.60140 | 49 | 0.58734 | 52 |
| 31 | 0.86663 | 48 | 0.52356 | 45 | 0.55750 | 49 | 31 | 0.89596 | 50 | 0.60189 | 49 | 0.58786 | 53 |
| 32 | 0.86711 | 47 | 0.52401 | 46 | 0.55799 | 50 | 32 | 0.89647 | 50 | 0.60238 | 49 | 0.58839 | 52 |
| 33 | 0.86758 | 48 | 0.52447 | 46 | 0.55849 | 49 | 33 | 0.89697 | 51 | 0.60287 | 49 | 0.58891 | 52 |
| 34 | 0.86806 | 47 | 0.52493 | 46 | 0.55898 | 49 | 34 | 0.89748 | 51 | 0.60336 | 49 | 0.58943 | 52 |
| 35 | 0.86853 | 48 | 0.52539 | 45 | 0.55947 | 49 | 35 | 0.89799 | 51 | 0.60385 | 49 | 0.58995 | 53 |
| 36 | 0.86901 | 48 | 0.52584 | 46 | 0.55996 | 50 | 36 | 0.89850 | 50 | 0.60434 | 49 | 0.59048 | 52 |
| 37 | 0.86948 | 48 | 0.52630 | 46 | 0.56046 | 50 | 37 | 0.89900 | 50 | 0.60483 | 50 | 0.59100 | 53 |
| 38 | 0.86996 | 48 | 0.52676 | 46 | 0.56095 | 50 | 38 | 0.89951 | 51 | 0.60533 | 50 | 0.59153 | 52 |
| 39 | 0.87044 | 48 | 0.52722 | 46 | 0.56145 | 49 | 39 | 0.90002 | 51 | 0.60582 | 49 | 0.59205 | 53 |
| 40 | 0.87091 | 47 | 0.52768 | 46 | 0.56194 | 50 | 40 | 0.90053 | 51 | 0.60631 | 50 | 0.59258 | 53 |
| 41 | 0.87139 | 48 | 0.52814 | 46 | 0.56244 | 49 | 41 | 0.90104 | 51 | 0.60681 | 49 | 0.59311 | 53 |
| 42 | 0.87187 | 48 | 0.52860 | 46 | 0.56293 | 50 | 42 | 0.90155 | 51 | 0.60730 | 50 | 0.59364 | 52 |
| 43 | 0.87235 | 48 | 0.52907 | 46 | 0.56343 | 50 | 43 | 0.90207 | 52 | 0.60780 | 50 | 0.59416 | 53 |
| 44 | 0.87283 | 48 | 0.52953 | 46 | 0.56393 | 49 | 44 | 0.90258 | 51 | 0.60830 | 49 | 0.59469 | 53 |
| 45 | 0.87331 | 48 | 0.52999 | 47 | 0.56442 | 50 | 45 | 0.90309 | 51 | 0.60879 | 50 | 0.59522 | 53 |
| 46 | 0.87379 | 48 | 0.53046 | 47 | 0.56492 | 50 | 46 | 0.90360 | 51 | 0.60929 | 50 | 0.59575 | 53 |
| 47 | 0.87427 | 48 | 0.53092 | 47 | 0.56542 | 50 | 47 | 0.90412 | 52 | 0.60979 | 50 | 0.59628 | 53 |
| 48 | 0.87475 | 48 | 0.53139 | 46 | 0.56592 | 50 | 48 | 0.90463 | 51 | 0.61029 | 50 | 0.59681 | 53 |
| 49 | 0.87523 | 48 | 0.53185 | 46 | 0.56642 | 50 | 49 | 0.90515 | 52 | 0.61079 | 50 | 0.59734 | 54 |
| 50 | 0.87572 | 49 | 0.53232 | 46 | 0.56692 | 50 | 50 | 0.90566 | 52 | 0.61129 | 50 | 0.59788 | 53 |
| 51 | 0.87620 | 48 | 0.53278 | 47 | 0.56742 | 50 | 51 | 0.90618 | 52 | 0.61179 | 50 | 0.59841 | 54 |
| 52 | 0.87668 | 49 | 0.53325 | 47 | 0.56792 | 50 | 52 | 0.90670 | 52 | 0.61229 | 50 | 0.59894 | 53 |
| 53 | 0.87717 | 48 | 0.53372 | 47 | 0.56842 | 50 | 53 | 0.90722 | 52 | 0.61279 | 50 | 0.59948 | 54 |
| 54 | 0.87765 | 49 | 0.53418 | 46 | 0.56892 | 51 | 54 | 0.90773 | 51 | 0.61330 | 50 | 0.60001 | 53 |
| 55 | 0.87814 | 49 | 0.53465 | 47 | 0.56943 | 51 | 55 | 0.90825 | 52 | 0.61380 | 50 | 0.60055 | 54 |
| 56 | 0.87862 | 49 | 0.53512 | 47 | 0.56993 | 50 | 56 | 0.90877 | 52 | 0.61430 | 50 | 0.60108 | 53 |
| 57 | 0.87911 | 49 | 0.53559 | 47 | 0.57043 | 51 | 57 | 0.90929 | 52 | 0.61481 | 50 | 0.60162 | 54 |
| 58 | 0.87960 | 48 | 0.53606 | 47 | 0.57094 | 51 | 58 | 0.90981 | 52 | 0.61531 | 50 | 0.60215 | 53 |
| 59 | 0.88008 | 48 | 0.53653 | 47 | 0.57144 | 51 | 59 | 0.91033 | 53 | 0.61582 | 50 | 0.60269 | 54 |
| 60 | 0.88057 | 49 | 0.53700 | 47 | 0.57195 | 51 | 60 | 0.91086 | | 0.61632 | 50 | 0.60323 | 54 |

$\omega = 76 \text{ Grad.}$ $\omega = 77 \text{ Grad.}$

| ω | z' | Diff. | $\log \cos z$ | Diff. | $\log \sin z$ | Diff. | ω | z' | Diff. | $\log \cos z$ | Diff. | $\log \sin z$ | Diff. |
|----------|---------|-------|---------------|-------|---------------|-------|----------|---------|-------|---------------|-------|---------------|-------|
| 0 | 0.91086 | | 0.61632 | | 0.60323 | | 0 | 0.94334 | | 0.64791 | | 0.63664 | |
| 1 | 0.91138 | 52 | 0.61683 | 51 | 0.60377 | 54 | 1 | 0.94390 | 56 | 0.64846 | 55 | 0.63721 | 58 |
| 2 | 0.91190 | 52 | 0.61734 | 51 | 0.60431 | 54 | 2 | 0.94447 | 56 | 0.64901 | 55 | 0.63779 | 58 |
| 3 | 0.91243 | 53 | 0.61785 | 51 | 0.60485 | 54 | 3 | 0.94503 | 56 | 0.64956 | 55 | 0.63837 | 58 |
| 4 | 0.91295 | 52 | 0.61836 | 51 | 0.60539 | 54 | 4 | 0.94559 | 57 | 0.65011 | 55 | 0.63895 | 58 |
| 5 | 0.91347 | 52 | 0.61887 | 51 | 0.60593 | 54 | 5 | 0.94616 | 56 | 0.65066 | 55 | 0.63953 | 58 |
| 6 | 0.91400 | 53 | 0.61938 | 51 | 0.60647 | 54 | 6 | 0.94672 | 57 | 0.65121 | 55 | 0.64011 | 58 |
| 7 | 0.91453 | 53 | 0.61989 | 51 | 0.60701 | 54 | 7 | 0.94729 | 57 | 0.65176 | 55 | 0.64069 | 58 |
| 8 | 0.91505 | 53 | 0.62040 | 51 | 0.60755 | 54 | 8 | 0.94786 | 56 | 0.65231 | 55 | 0.64127 | 58 |
| 9 | 0.91558 | 53 | 0.62091 | 51 | 0.60810 | 54 | 9 | 0.94842 | 57 | 0.65287 | 55 | 0.64185 | 58 |
| 10 | 0.91611 | 53 | 0.62142 | 51 | 0.60864 | 54 | 10 | 0.94899 | 57 | 0.65342 | 55 | 0.64243 | 58 |
| 11 | 0.91664 | 53 | 0.62194 | 51 | 0.60918 | 54 | 11 | 0.94956 | 57 | 0.65398 | 55 | 0.64302 | 58 |
| 12 | 0.91717 | 53 | 0.62245 | 51 | 0.60973 | 55 | 12 | 0.95013 | 57 | 0.65453 | 56 | 0.64360 | 59 |
| 13 | 0.91770 | 53 | 0.62297 | 52 | 0.61028 | 55 | 13 | 0.95070 | 57 | 0.65509 | 56 | 0.64419 | 59 |
| 14 | 0.91823 | 53 | 0.62348 | 52 | 0.61082 | 55 | 14 | 0.95127 | 58 | 0.65564 | 56 | 0.64477 | 59 |
| 15 | 0.91876 | 53 | 0.62400 | 52 | 0.61137 | 55 | 15 | 0.95185 | 57 | 0.65620 | 56 | 0.64536 | 59 |
| 16 | 0.91929 | 53 | 0.62451 | 52 | 0.61192 | 55 | 16 | 0.95242 | 57 | 0.65676 | 56 | 0.64595 | 59 |
| 17 | 0.91982 | 54 | 0.62503 | 52 | 0.61246 | 55 | 17 | 0.95299 | 58 | 0.65732 | 56 | 0.64653 | 59 |
| 18 | 0.92036 | 54 | 0.62555 | 52 | 0.61301 | 55 | 18 | 0.95357 | 57 | 0.65788 | 56 | 0.64712 | 59 |
| 19 | 0.92089 | 53 | 0.62607 | 52 | 0.61356 | 55 | 19 | 0.95414 | 58 | 0.65844 | 56 | 0.64771 | 59 |
| 20 | 0.92142 | 53 | 0.62659 | 52 | 0.61411 | 55 | 20 | 0.95472 | 57 | 0.65900 | 56 | 0.64830 | 59 |
| 21 | 0.92196 | 54 | 0.62711 | 52 | 0.61466 | 55 | 21 | 0.95529 | 58 | 0.65957 | 57 | 0.64889 | 59 |
| 22 | 0.92249 | 54 | 0.62763 | 52 | 0.61521 | 55 | 22 | 0.95587 | 58 | 0.66013 | 56 | 0.64949 | 60 |
| 23 | 0.92303 | 54 | 0.62815 | 52 | 0.61577 | 55 | 23 | 0.95645 | 58 | 0.66069 | 56 | 0.65008 | 59 |
| 24 | 0.92357 | 54 | 0.62867 | 52 | 0.61632 | 55 | 24 | 0.95703 | 58 | 0.66126 | 57 | 0.65067 | 59 |
| 25 | 0.92411 | 54 | 0.62919 | 52 | 0.61687 | 55 | 25 | 0.95761 | 58 | 0.66182 | 56 | 0.65126 | 59 |
| 26 | 0.92464 | 53 | 0.62972 | 52 | 0.61743 | 55 | 26 | 0.95819 | 58 | 0.66239 | 57 | 0.65186 | 60 |
| 27 | 0.92518 | 54 | 0.63024 | 52 | 0.61798 | 55 | 27 | 0.95877 | 58 | 0.66296 | 57 | 0.65245 | 59 |
| 28 | 0.92572 | 54 | 0.63076 | 52 | 0.61853 | 55 | 28 | 0.95935 | 58 | 0.66353 | 57 | 0.65305 | 60 |
| 29 | 0.92626 | 54 | 0.63129 | 52 | 0.61909 | 56 | 29 | 0.95993 | 59 | 0.66409 | 56 | 0.65365 | 59 |
| 30 | 0.92680 | 54 | 0.63181 | 52 | 0.61965 | 56 | 30 | 0.96052 | 58 | 0.66466 | 57 | 0.65424 | 59 |
| 31 | 0.92734 | 54 | 0.63234 | 53 | 0.62020 | 56 | 31 | 0.96110 | 58 | 0.66523 | 57 | 0.65484 | 60 |
| 32 | 0.92789 | 55 | 0.63287 | 53 | 0.62076 | 56 | 32 | 0.96168 | 59 | 0.66580 | 57 | 0.65544 | 60 |
| 33 | 0.92843 | 54 | 0.63340 | 53 | 0.62132 | 56 | 33 | 0.96227 | 59 | 0.66638 | 58 | 0.65604 | 60 |
| 34 | 0.92897 | 54 | 0.63392 | 52 | 0.62188 | 56 | 34 | 0.96286 | 59 | 0.66695 | 57 | 0.65664 | 60 |
| 35 | 0.92952 | 55 | 0.63445 | 53 | 0.62244 | 56 | 35 | 0.96344 | 58 | 0.66752 | 57 | 0.65724 | 61 |
| 36 | 0.93006 | 55 | 0.63498 | 53 | 0.62300 | 56 | 36 | 0.96403 | 59 | 0.66810 | 58 | 0.65785 | 60 |
| 37 | 0.93061 | 55 | 0.63551 | 53 | 0.62356 | 56 | 37 | 0.96462 | 59 | 0.66867 | 57 | 0.65845 | 60 |
| 38 | 0.93115 | 54 | 0.63605 | 53 | 0.62412 | 56 | 38 | 0.96521 | 59 | 0.66925 | 58 | 0.65905 | 61 |
| 39 | 0.93170 | 55 | 0.63659 | 53 | 0.62468 | 56 | 39 | 0.96580 | 59 | 0.66984 | 58 | 0.65966 | 60 |
| 40 | 0.93225 | 55 | 0.63711 | 53 | 0.62524 | 57 | 40 | 0.96639 | 59 | 0.67042 | 58 | 0.66026 | 61 |
| 41 | 0.93280 | 54 | 0.63764 | 54 | 0.62581 | 56 | 41 | 0.96698 | 60 | 0.67098 | 58 | 0.66087 | 60 |
| 42 | 0.93334 | 55 | 0.63818 | 53 | 0.62637 | 57 | 42 | 0.96758 | 59 | 0.67156 | 58 | 0.66147 | 61 |
| 43 | 0.93389 | 55 | 0.63871 | 54 | 0.62694 | 56 | 43 | 0.96817 | 59 | 0.67214 | 58 | 0.66208 | 61 |
| 44 | 0.93444 | 56 | 0.63925 | 53 | 0.62750 | 57 | 44 | 0.96876 | 60 | 0.67272 | 58 | 0.66269 | 61 |
| 45 | 0.93500 | 55 | 0.63978 | 54 | 0.62807 | 56 | 45 | 0.96936 | 59 | 0.67330 | 58 | 0.66330 | 61 |
| 46 | 0.93555 | 55 | 0.64032 | 54 | 0.62863 | 57 | 46 | 0.96995 | 60 | 0.67388 | 59 | 0.66391 | 61 |
| 47 | 0.93610 | 55 | 0.64086 | 54 | 0.62920 | 57 | 47 | 0.97055 | 60 | 0.67447 | 58 | 0.66452 | 61 |
| 48 | 0.93665 | 56 | 0.64140 | 54 | 0.62977 | 57 | 48 | 0.97115 | 60 | 0.67505 | 58 | 0.66513 | 61 |
| 49 | 0.93721 | 55 | 0.64194 | 54 | 0.63034 | 57 | 49 | 0.97175 | 59 | 0.67563 | 59 | 0.66574 | 61 |
| 50 | 0.93776 | 55 | 0.64248 | 54 | 0.63091 | 57 | 50 | 0.97234 | 60 | 0.67622 | 59 | 0.66635 | 62 |
| 51 | 0.93831 | 56 | 0.64302 | 54 | 0.63148 | 57 | 51 | 0.97294 | 61 | 0.67681 | 58 | 0.66697 | 61 |
| 52 | 0.93887 | 56 | 0.64356 | 54 | 0.63205 | 57 | 52 | 0.97355 | 60 | 0.67739 | 59 | 0.66759 | 62 |
| 53 | 0.93943 | 55 | 0.64410 | 54 | 0.63262 | 57 | 53 | 0.97415 | 60 | 0.67798 | 59 | 0.66820 | 61 |
| 54 | 0.93998 | 56 | 0.64464 | 55 | 0.63319 | 57 | 54 | 0.97475 | 60 | 0.67857 | 59 | 0.66881 | 62 |
| 55 | 0.94054 | 56 | 0.64519 | 55 | 0.63376 | 58 | 55 | 0.97535 | 61 | 0.67916 | 59 | 0.66943 | 62 |
| 56 | 0.94110 | 56 | 0.64573 | 54 | 0.63434 | 57 | 56 | 0.97596 | 60 | 0.67975 | 59 | 0.67005 | 62 |
| 57 | 0.94166 | 56 | 0.64627 | 55 | 0.63491 | 57 | 57 | 0.97656 | 61 | 0.68034 | 59 | 0.67067 | 61 |
| 58 | 0.94222 | 56 | 0.64682 | 55 | 0.63548 | 58 | 58 | 0.97717 | 60 | 0.68093 | 60 | 0.67128 | 62 |
| 59 | 0.94278 | 56 | 0.64737 | 55 | 0.63606 | 58 | 59 | 0.97777 | 61 | 0.68153 | 59 | 0.67190 | 63 |
| 60 | 0.94334 | 56 | 0.64791 | 54 | 0.63664 | 58 | 60 | 0.97838 | | 0.68212 | | 0.67253 | |

$\omega = 78 \text{ Grad.}$ $\omega = 79 \text{ Grad.}$

| ω | z' | Diff. | $\log \cos z$ | Diff. | $\log \sin z$ | Diff. | ω | z' | Diff. | $\log \cos z$ | Diff. | $\log \sin z$ | Diff. |
|----------|---------|-------|---------------|-------|---------------|-------|----------|---------|-------|---------------|-------|---------------|-------|
| 0 | 0.97838 | 61 | 0.68212 | 60 | 0.67253 | 62 | 0 | 1.01642 | 67 | 0.71940 | 65 | 0.71135 | 67 |
| 1 | 0.97899 | 61 | 0.68272 | 59 | 0.67315 | 62 | 1 | 1.01709 | 66 | 0.72005 | 65 | 0.71202 | 68 |
| 2 | 0.97960 | 61 | 0.68331 | 60 | 0.67377 | 62 | 2 | 1.01775 | 66 | 0.72070 | 66 | 0.71270 | 68 |
| 3 | 0.98021 | 61 | 0.68391 | 60 | 0.67439 | 63 | 3 | 1.01841 | 67 | 0.72136 | 65 | 0.71338 | 67 |
| 4 | 0.98082 | 61 | 0.68451 | 59 | 0.67502 | 62 | 4 | 1.01908 | 67 | 0.72201 | 65 | 0.71405 | 68 |
| 5 | 0.98143 | 61 | 0.68510 | 60 | 0.67564 | 63 | 5 | 1.01975 | 66 | 0.72266 | 66 | 0.71473 | 68 |
| 6 | 0.98204 | 61 | 0.68570 | 60 | 0.67627 | 62 | 6 | 1.02041 | 67 | 0.72332 | 66 | 0.71541 | 68 |
| 7 | 0.98265 | 62 | 0.68630 | 60 | 0.67689 | 63 | 7 | 1.02108 | 67 | 0.72398 | 65 | 0.71609 | 68 |
| 8 | 0.98327 | 61 | 0.68690 | 60 | 0.67752 | 63 | 8 | 1.02175 | 67 | 0.72463 | 66 | 0.71677 | 69 |
| 9 | 0.98388 | 62 | 0.68750 | 61 | 0.67815 | 63 | 9 | 1.02242 | 67 | 0.72529 | 66 | 0.71746 | 69 |
| 10 | 0.98450 | 61 | 0.68811 | 60 | 0.67878 | 63 | 10 | 1.02309 | 68 | 0.72595 | 66 | 0.71814 | 69 |
| 11 | 0.98511 | 62 | 0.68871 | 61 | 0.67941 | 63 | 11 | 1.02377 | 67 | 0.72661 | 66 | 0.71883 | 68 |
| 12 | 0.98573 | 62 | 0.68932 | 60 | 0.68004 | 63 | 12 | 1.02444 | 68 | 0.72727 | 67 | 0.71951 | 69 |
| 13 | 0.98635 | 62 | 0.68992 | 61 | 0.68067 | 63 | 13 | 1.02512 | 67 | 0.72794 | 66 | 0.72020 | 69 |
| 14 | 0.98697 | 62 | 0.69053 | 60 | 0.68130 | 64 | 14 | 1.02579 | 68 | 0.72860 | 67 | 0.72089 | 69 |
| 15 | 0.98759 | 62 | 0.69113 | 61 | 0.68194 | 63 | 15 | 1.02647 | 68 | 0.72927 | 66 | 0.72158 | 69 |
| 16 | 0.98821 | 62 | 0.69174 | 61 | 0.68257 | 64 | 16 | 1.02715 | 67 | 0.72993 | 67 | 0.72227 | 69 |
| 17 | 0.98883 | 62 | 0.69235 | 61 | 0.68321 | 63 | 17 | 1.02782 | 68 | 0.73060 | 67 | 0.72296 | 69 |
| 18 | 0.98945 | 63 | 0.69296 | 61 | 0.68384 | 64 | 18 | 1.02850 | 69 | 0.73127 | 67 | 0.72365 | 69 |
| 19 | 0.99008 | 62 | 0.69357 | 61 | 0.68448 | 63 | 19 | 1.02919 | 68 | 0.73194 | 67 | 0.72434 | 70 |
| 20 | 0.99070 | 63 | 0.69418 | 61 | 0.68511 | 64 | 20 | 1.02987 | 68 | 0.73261 | 67 | 0.72504 | 69 |
| 21 | 0.99133 | 62 | 0.69479 | 62 | 0.68575 | 64 | 21 | 1.03055 | 68 | 0.73328 | 67 | 0.72573 | 70 |
| 22 | 0.99195 | 63 | 0.69541 | 61 | 0.68639 | 64 | 22 | 1.03123 | 69 | 0.73395 | 67 | 0.72643 | 69 |
| 23 | 0.99258 | 63 | 0.69602 | 62 | 0.68703 | 64 | 23 | 1.03192 | 69 | 0.73462 | 68 | 0.72712 | 70 |
| 24 | 0.99321 | 63 | 0.69664 | 61 | 0.68767 | 65 | 24 | 1.03261 | 68 | 0.73530 | 67 | 0.72782 | 70 |
| 25 | 0.99384 | 63 | 0.69725 | 62 | 0.68832 | 64 | 25 | 1.03329 | 69 | 0.73597 | 68 | 0.72852 | 70 |
| 26 | 0.99447 | 63 | 0.69787 | 62 | 0.68896 | 64 | 26 | 1.03398 | 69 | 0.73665 | 68 | 0.72922 | 70 |
| 27 | 0.99510 | 63 | 0.69849 | 61 | 0.68960 | 65 | 27 | 1.03467 | 69 | 0.73733 | 68 | 0.72992 | 71 |
| 28 | 0.99573 | 63 | 0.69910 | 61 | 0.69025 | 65 | 28 | 1.03536 | 69 | 0.73801 | 68 | 0.73063 | 70 |
| 29 | 0.99636 | 63 | 0.69972 | 62 | 0.69089 | 65 | 29 | 1.03605 | 69 | 0.73869 | 68 | 0.73133 | 70 |
| 30 | 0.99699 | 64 | 0.70034 | 63 | 0.69154 | 64 | 30 | 1.03675 | 69 | 0.73937 | 68 | 0.73203 | 71 |
| 31 | 0.99762 | 63 | 0.70097 | 63 | 0.69218 | 65 | 31 | 1.03744 | 69 | 0.74005 | 68 | 0.73274 | 71 |
| 32 | 0.99826 | 64 | 0.70159 | 62 | 0.69283 | 65 | 32 | 1.03813 | 70 | 0.74073 | 68 | 0.73345 | 70 |
| 33 | 0.99890 | 64 | 0.70221 | 63 | 0.69348 | 65 | 33 | 1.03883 | 70 | 0.74142 | 68 | 0.73415 | 71 |
| 34 | 0.99954 | 63 | 0.70284 | 63 | 0.69413 | 65 | 34 | 1.03953 | 70 | 0.74210 | 68 | 0.73486 | 71 |
| 35 | 1.00017 | 64 | 0.70346 | 33 | 0.69478 | 65 | 35 | 1.04023 | 69 | 0.74279 | 69 | 0.73557 | 71 |
| 36 | 1.00081 | 64 | 0.70409 | 63 | 0.69543 | 66 | 36 | 1.04092 | 70 | 0.74348 | 69 | 0.73628 | 71 |
| 37 | 1.00145 | 64 | 0.70471 | 62 | 0.69609 | 65 | 37 | 1.04162 | 61 | 0.74417 | 69 | 0.73699 | 71 |
| 38 | 1.00209 | 64 | 0.70534 | 63 | 0.69674 | 65 | 38 | 1.04233 | 70 | 0.74486 | 69 | 0.73771 | 72 |
| 39 | 1.00273 | 65 | 0.70597 | 63 | 0.69739 | 66 | 39 | 1.04303 | 70 | 0.74555 | 69 | 0.73842 | 72 |
| 40 | 1.00338 | 64 | 0.70660 | 63 | 0.69805 | 66 | 40 | 1.04373 | 70 | 0.74624 | 69 | 0.73914 | 72 |
| 41 | 1.00402 | 64 | 0.70723 | 63 | 0.69870 | 66 | 41 | 1.04444 | 71 | 0.74693 | 69 | 0.73985 | 72 |
| 42 | 1.00466 | 65 | 0.70786 | 64 | 0.69936 | 66 | 42 | 1.04514 | 71 | 0.74763 | 69 | 0.74057 | 72 |
| 43 | 1.00531 | 65 | 0.70850 | 64 | 0.70002 | 66 | 43 | 1.04585 | 71 | 0.74832 | 69 | 0.74129 | 72 |
| 44 | 1.00595 | 65 | 0.70913 | 63 | 0.70068 | 66 | 44 | 1.04656 | 71 | 0.74902 | 70 | 0.74201 | 72 |
| 45 | 1.00660 | 65 | 0.70976 | 64 | 0.70134 | 66 | 45 | 1.04727 | 71 | 0.74972 | 70 | 0.74273 | 73 |
| 46 | 1.00725 | 65 | 0.71040 | 64 | 0.70200 | 66 | 46 | 1.04798 | 71 | 0.75042 | 70 | 0.74345 | 73 |
| 47 | 1.00790 | 65 | 0.71104 | 63 | 0.70266 | 66 | 47 | 1.04869 | 71 | 0.75112 | 70 | 0.74418 | 72 |
| 48 | 1.00855 | 65 | 0.71167 | 64 | 0.70332 | 67 | 48 | 1.04940 | 72 | 0.75182 | 70 | 0.74490 | 73 |
| 49 | 1.00920 | 65 | 0.71231 | 64 | 0.70399 | 67 | 49 | 1.05012 | 72 | 0.75252 | 71 | 0.74563 | 73 |
| 50 | 1.00985 | 65 | 0.71295 | 64 | 0.70465 | 67 | 50 | 1.05083 | 72 | 0.75323 | 71 | 0.74635 | 73 |
| 51 | 1.01050 | 66 | 0.71359 | 64 | 0.70532 | 67 | 51 | 1.05155 | 72 | 0.75393 | 71 | 0.74708 | 73 |
| 52 | 1.01116 | 66 | 0.71423 | 65 | 0.70598 | 67 | 52 | 1.05227 | 72 | 0.75464 | 71 | 0.74781 | 73 |
| 53 | 1.01181 | 66 | 0.71488 | 65 | 0.70665 | 67 | 53 | 1.05298 | 72 | 0.75534 | 71 | 0.74854 | 73 |
| 54 | 1.01247 | 66 | 0.71552 | 64 | 0.70732 | 67 | 54 | 1.05370 | 72 | 0.75605 | 71 | 0.74927 | 73 |
| 55 | 1.01313 | 65 | 0.71616 | 64 | 0.70799 | 67 | 55 | 1.05443 | 73 | 0.75676 | 71 | 0.75000 | 74 |
| 56 | 1.01378 | 65 | 0.71681 | 65 | 0.70866 | 67 | 56 | 1.05515 | 72 | 0.75747 | 72 | 0.75074 | 74 |
| 57 | 1.01444 | 66 | 0.71746 | 64 | 0.70933 | 67 | 57 | 1.05587 | 72 | 0.75819 | 71 | 0.75147 | 74 |
| 58 | 1.01510 | 66 | 0.71810 | 65 | 0.71000 | 67 | 58 | 1.05660 | 72 | 0.75890 | 71 | 0.75221 | 74 |
| 59 | 1.01576 | 66 | 0.71875 | 65 | 0.71067 | 68 | 59 | 1.05732 | 73 | 0.75961 | 71 | 0.75294 | 74 |
| 60 | 1.01642 | 66 | 0.71940 | 65 | 0.71135 | 68 | 60 | 1.05805 | 73 | 0.76033 | 72 | 0.75368 | 74 |

$\omega = 80 \text{ Grad.}$ $\omega = 81 \text{ Grad.}$

| ω | z' | Diff. | $\log \cos z$ | Diff. | $\log \sin z$ | Diff. | ω | z' | Diff. | $\log \cos z$ | Diff. | $\log \sin z$ | Diff. |
|----------|---------|-------|---------------|-------|---------------|-------|----------|---------|-------|---------------|-------|---------------|-------|
| 0 | 1.05805 | 73 | 0.76033 | 72 | 0.75368 | 74 | 0 | 1.04042 | 80 | 0.80567 | 80 | 0.80029 | 82 |
| 1 | 1.05878 | 73 | 0.76105 | 72 | 0.75442 | 74 | 1 | 1.04082 | 81 | 0.80647 | 80 | 0.80111 | 82 |
| 2 | 1.05951 | 73 | 0.76177 | 71 | 0.75516 | 74 | 2 | 1.05653 | 82 | 0.80727 | 80 | 0.80193 | 82 |
| 3 | 1.06021 | 73 | 0.76248 | 73 | 0.75590 | 75 | 3 | 1.06455 | 81 | 0.80807 | 80 | 0.80275 | 82 |
| 4 | 1.06097 | 73 | 0.76321 | 72 | 0.75665 | 74 | 4 | 1.07261 | 81 | 0.80887 | 80 | 0.80357 | 82 |
| 5 | 1.06170 | 73 | 0.76393 | 72 | 0.75739 | 74 | 5 | 1.08071 | 82 | 0.80967 | 81 | 0.80439 | 83 |
| 6 | 1.06241 | 73 | 0.76465 | 73 | 0.75814 | 75 | 6 | 1.08889 | 82 | 0.81048 | 81 | 0.80522 | 83 |
| 7 | 1.06317 | 74 | 0.76538 | 72 | 0.75888 | 75 | 7 | 1.09711 | 81 | 0.81129 | 81 | 0.80605 | 83 |
| 8 | 1.06391 | 73 | 0.76610 | 73 | 0.75963 | 75 | 8 | 1.10552 | 82 | 0.81210 | 81 | 0.80688 | 83 |
| 9 | 1.06464 | 74 | 0.76683 | 73 | 0.76038 | 75 | 9 | 1.11331 | 83 | 0.81291 | 81 | 0.80771 | 83 |
| 10 | 1.06538 | 74 | 0.76756 | 73 | 0.76113 | 75 | 10 | 1.12127 | 82 | 0.81372 | 81 | 0.80854 | 83 |
| 11 | 1.06612 | 75 | 0.76829 | 73 | 0.76188 | 75 | 11 | 1.1299 | 83 | 0.81453 | 82 | 0.80937 | 84 |
| 12 | 1.06687 | 74 | 0.76902 | 73 | 0.76263 | 76 | 12 | 1.1382 | 82 | 0.81535 | 82 | 0.81021 | 83 |
| 13 | 1.06761 | 74 | 0.76975 | 73 | 0.76339 | 76 | 13 | 1.1461 | 83 | 0.81617 | 82 | 0.81104 | 83 |
| 14 | 1.06835 | 75 | 0.77048 | 74 | 0.76414 | 76 | 14 | 1.1547 | 83 | 0.81698 | 82 | 0.81188 | 84 |
| 15 | 1.06910 | 74 | 0.77122 | 73 | 0.76490 | 75 | 15 | 1.1630 | 83 | 0.81780 | 83 | 0.81272 | 84 |
| 16 | 1.06984 | 75 | 0.77195 | 74 | 0.76565 | 76 | 16 | 1.1713 | 84 | 0.81863 | 82 | 0.81356 | 84 |
| 17 | 1.07059 | 75 | 0.77269 | 74 | 0.76641 | 76 | 17 | 1.1796 | 84 | 0.81945 | 83 | 0.81440 | 85 |
| 18 | 1.07134 | 75 | 0.77343 | 74 | 0.76717 | 77 | 18 | 1.1880 | 83 | 0.82027 | 83 | 0.81525 | 84 |
| 19 | 1.07209 | 75 | 0.77417 | 74 | 0.76794 | 77 | 19 | 1.1963 | 84 | 0.82110 | 83 | 0.81609 | 85 |
| 20 | 1.07284 | 76 | 0.77491 | 74 | 0.76870 | 76 | 20 | 1.2047 | 84 | 0.82193 | 23 | 0.81694 | 85 |
| 21 | 1.07360 | 75 | 0.77565 | 74 | 0.76946 | 77 | 21 | 1.2131 | 84 | 0.82276 | 83 | 0.81779 | 85 |
| 22 | 1.07435 | 76 | 0.77640 | 74 | 0.77023 | 77 | 22 | 1.2215 | 85 | 0.82359 | 83 | 0.81864 | 85 |
| 23 | 1.07511 | 75 | 0.77714 | 75 | 0.77099 | 77 | 23 | 1.2299 | 85 | 0.82442 | 84 | 0.81949 | 86 |
| 24 | 1.07586 | 76 | 0.77789 | 74 | 0.77176 | 77 | 24 | 1.2384 | 84 | 0.82526 | 83 | 0.82035 | 85 |
| 25 | 1.07662 | 76 | 0.77863 | 75 | 0.77253 | 77 | 25 | 1.2468 | 85 | 0.82609 | 84 | 0.82120 | 86 |
| 26 | 1.07738 | 76 | 0.77938 | 75 | 0.77330 | 77 | 26 | 1.2553 | 85 | 0.82693 | 84 | 0.82206 | 86 |
| 27 | 1.07814 | 76 | 0.78013 | 75 | 0.77407 | 77 | 27 | 1.2638 | 85 | 0.82777 | 84 | 0.82292 | 86 |
| 28 | 1.07890 | 77 | 0.78088 | 75 | 0.77484 | 78 | 28 | 1.2723 | 85 | 0.82861 | 84 | 0.82378 | 86 |
| 29 | 1.07967 | 77 | 0.78164 | 76 | 0.77562 | 78 | 29 | 1.2808 | 86 | 0.82945 | 85 | 0.82464 | 87 |
| 30 | 1.08043 | 77 | 0.78239 | 76 | 0.77639 | 78 | 30 | 1.2891 | 86 | 0.83030 | 85 | 0.82550 | 87 |
| 31 | 1.08120 | 77 | 0.78315 | 76 | 0.77717 | 78 | 31 | 1.2979 | 85 | 0.83114 | 84 | 0.82637 | 87 |
| 32 | 1.08197 | 77 | 0.78390 | 76 | 0.77795 | 78 | 32 | 1.3065 | 86 | 0.83199 | 85 | 0.82723 | 87 |
| 33 | 1.08273 | 77 | 0.78466 | 76 | 0.77873 | 78 | 33 | 1.3151 | 86 | 0.83284 | 85 | 0.82810 | 87 |
| 34 | 1.08350 | 78 | 0.78542 | 76 | 0.77951 | 78 | 34 | 1.3237 | 86 | 0.83369 | 85 | 0.82897 | 87 |
| 35 | 1.08428 | 78 | 0.78618 | 76 | 0.78029 | 78 | 35 | 1.3323 | 86 | 0.83455 | 85 | 0.82984 | 88 |
| 36 | 1.08505 | 77 | 0.78694 | 77 | 0.78107 | 79 | 36 | 1.3409 | 87 | 0.83540 | 86 | 0.83072 | 88 |
| 37 | 1.08582 | 78 | 0.78771 | 77 | 0.78186 | 79 | 37 | 1.3496 | 87 | 0.83626 | 86 | 0.83159 | 88 |
| 38 | 1.08660 | 78 | 0.78847 | 77 | 0.78264 | 79 | 38 | 1.3583 | 87 | 0.83711 | 85 | 0.83247 | 88 |
| 39 | 1.08738 | 77 | 0.78923 | 77 | 0.78343 | 79 | 39 | 1.3670 | 87 | 0.83797 | 86 | 0.83335 | 88 |
| 40 | 1.08815 | 78 | 0.79001 | 77 | 0.78422 | 79 | 40 | 1.3757 | 87 | 0.83884 | 86 | 0.83423 | 88 |
| 41 | 1.08893 | 78 | 0.79078 | 77 | 0.78501 | 79 | 41 | 1.3844 | 87 | 0.83970 | 86 | 0.83511 | 88 |
| 42 | 1.08971 | 79 | 0.79155 | 77 | 0.78580 | 79 | 42 | 1.3931 | 88 | 0.84056 | 87 | 0.83599 | 89 |
| 43 | 1.09049 | 78 | 0.79232 | 78 | 0.78659 | 80 | 43 | 1.4019 | 88 | 0.84143 | 87 | 0.83688 | 89 |
| 44 | 1.09128 | 79 | 0.79309 | 78 | 0.78739 | 79 | 44 | 1.4107 | 88 | 0.84230 | 87 | 0.83776 | 89 |
| 45 | 1.09207 | 78 | 0.79387 | 78 | 0.78818 | 80 | 45 | 1.4195 | 88 | 0.84317 | 87 | 0.83865 | 89 |
| 46 | 1.09285 | 79 | 0.79465 | 77 | 0.78898 | 80 | 46 | 1.4283 | 88 | 0.84404 | 87 | 0.83954 | 90 |
| 47 | 1.09364 | 79 | 0.79542 | 78 | 0.78978 | 80 | 47 | 1.4371 | 89 | 0.84492 | 87 | 0.84044 | 89 |
| 48 | 1.09443 | 79 | 0.79620 | 78 | 0.79058 | 80 | 48 | 1.4460 | 88 | 0.84579 | 88 | 0.84133 | 90 |
| 49 | 1.09522 | 79 | 0.79698 | 78 | 0.79138 | 80 | 49 | 1.4548 | 89 | 0.84667 | 88 | 0.84222 | 89 |
| 50 | 1.09601 | 80 | 0.79777 | 79 | 0.79218 | 81 | 50 | 1.4637 | 89 | 0.84755 | 88 | 0.84312 | 90 |
| 51 | 1.09681 | 79 | 0.79855 | 78 | 0.79299 | 80 | 51 | 1.4726 | 89 | 0.84843 | 88 | 0.84402 | 90 |
| 52 | 1.09760 | 80 | 0.79933 | 79 | 0.79379 | 81 | 52 | 1.4815 | 89 | 0.84931 | 88 | 0.84492 | 91 |
| 53 | 1.09840 | 80 | 0.80012 | 79 | 0.79460 | 81 | 53 | 1.4905 | 89 | 0.85020 | 88 | 0.84583 | 90 |
| 54 | 1.09920 | 80 | 0.80091 | 79 | 0.79541 | 81 | 54 | 1.4994 | 90 | 0.85109 | 89 | 0.84673 | 91 |
| 55 | 1.10000 | 80 | 0.80170 | 79 | 0.79622 | 81 | 55 | 1.5084 | 90 | 0.85197 | 89 | 0.84764 | 91 |
| 56 | 1.10080 | 80 | 0.80249 | 79 | 0.79703 | 81 | 56 | 1.5174 | 90 | 0.85286 | 90 | 0.84855 | 91 |
| 57 | 1.10160 | 80 | 0.80328 | 80 | 0.79784 | 82 | 57 | 1.5264 | 90 | 0.85376 | 89 | 0.84946 | 91 |
| 58 | 1.10240 | 81 | 0.80408 | 79 | 0.79866 | 81 | 58 | 1.5354 | 91 | 0.85465 | 89 | 0.85037 | 91 |
| 59 | 1.10321 | 81 | 0.80487 | 80 | 0.79947 | 82 | 59 | 1.5445 | 91 | 0.85555 | 89 | 0.85128 | 92 |
| 60 | 1.10402 | | 0.80567 | | 0.80029 | | 60 | 1.5536 | | 0.85644 | | 0.85220 | |

$\omega = 82 \text{ Grad.}$ $\omega = 83 \text{ Grad.}$

| ω | z' | Diff. | $\log \cos z$ | Diff. | $\log \sin z$ | Diff. | ω | z' | Diff. | $\log \cos z$ | Diff. | $\log \sin z$ | Diff. |
|----------|---------|-------|---------------|-------|---------------|-------|----------|---------|-------|---------------|-------|---------------|-------|
| 0 | 1.15536 | 90 | 0.85644 | 90 | 0.85220 | 92 | 0 | 1.21351 | 104 | 0.91411 | 103 | 0.91086 | 104 |
| 1 | 1.15626 | 92 | 0.85734 | 91 | 0.85312 | 91 | 1 | 1.21455 | 104 | 0.91514 | 103 | 0.91190 | 105 |
| 2 | 1.15718 | 91 | 0.85825 | 90 | 0.85403 | 93 | 2 | 1.21559 | 104 | 0.91617 | 103 | 0.91295 | 105 |
| 3 | 1.15809 | 91 | 0.85915 | 91 | 0.85496 | 92 | 3 | 1.21663 | 105 | 0.91720 | 104 | 0.91400 | 105 |
| 4 | 1.15900 | 92 | 0.86006 | 90 | 0.85588 | 92 | 4 | 1.21768 | 105 | 0.91824 | 104 | 0.91505 | 106 |
| 5 | 1.15992 | 92 | 0.86096 | 91 | 0.85680 | 93 | 5 | 1.21873 | 105 | 0.91928 | 104 | 0.91611 | 106 |
| 6 | 1.16084 | 92 | 0.86187 | 91 | 0.85773 | 93 | 6 | 1.21978 | 105 | 0.92032 | 105 | 0.91717 | 106 |
| 7 | 1.16176 | 92 | 0.86278 | 92 | 0.85866 | 93 | 7 | 1.22083 | 106 | 0.92137 | 105 | 0.91823 | 106 |
| 8 | 1.16268 | 92 | 0.86370 | 91 | 0.85959 | 93 | 8 | 1.22189 | 105 | 0.92242 | 105 | 0.91929 | 107 |
| 9 | 1.16360 | 93 | 0.86461 | 92 | 0.86052 | 94 | 9 | 1.22294 | 106 | 0.92347 | 105 | 0.92036 | 107 |
| 10 | 1.16453 | 93 | 0.86553 | 92 | 0.86146 | 93 | 10 | 1.22400 | 107 | 0.92452 | 106 | 0.92142 | 107 |
| 11 | 1.16546 | 93 | 0.86645 | 92 | 0.86239 | 94 | 11 | 1.22507 | 106 | 0.92558 | 105 | 0.92249 | 108 |
| 12 | 1.16639 | 93 | 0.86737 | 92 | 0.86333 | 94 | 12 | 1.22613 | 107 | 0.92663 | 106 | 0.92357 | 107 |
| 13 | 1.16732 | 93 | 0.86829 | 93 | 0.86427 | 95 | 13 | 1.22720 | 107 | 0.92769 | 107 | 0.92464 | 108 |
| 14 | 1.16825 | 94 | 0.86922 | 93 | 0.86522 | 94 | 14 | 1.22827 | 108 | 0.92876 | 106 | 0.92572 | 108 |
| 15 | 1.16919 | 94 | 0.87015 | 93 | 0.86616 | 95 | 15 | 1.22935 | 107 | 0.92982 | 107 | 0.92680 | 109 |
| 16 | 1.17013 | 94 | 0.87108 | 93 | 0.86711 | 95 | 16 | 1.23042 | 108 | 0.93089 | 107 | 0.92787 | 108 |
| 17 | 1.17107 | 94 | 0.87201 | 93 | 0.86806 | 95 | 17 | 1.23150 | 108 | 0.93196 | 108 | 0.92895 | 109 |
| 18 | 1.17201 | 94 | 0.87294 | 94 | 0.86901 | 95 | 18 | 1.23258 | 109 | 0.93304 | 107 | 0.93005 | 109 |
| 19 | 1.17295 | 95 | 0.87388 | 93 | 0.86996 | 95 | 19 | 1.23366 | 109 | 0.93411 | 108 | 0.93115 | 110 |
| 20 | 1.17390 | 95 | 0.87481 | 94 | 0.87091 | 96 | 20 | 1.23475 | 109 | 0.93519 | 109 | 0.93225 | 109 |
| 21 | 1.17485 | 95 | 0.87575 | 94 | 0.87187 | 96 | 21 | 1.23584 | 110 | 0.93628 | 108 | 0.93334 | 110 |
| 22 | 1.17580 | 95 | 0.87669 | 95 | 0.87283 | 96 | 22 | 1.23693 | 110 | 0.93736 | 109 | 0.93444 | 111 |
| 23 | 1.17675 | 95 | 0.87764 | 94 | 0.87379 | 96 | 23 | 1.23803 | 109 | 0.93845 | 109 | 0.93555 | 110 |
| 24 | 1.17770 | 96 | 0.87858 | 95 | 0.87475 | 97 | 24 | 1.23913 | 110 | 0.93954 | 110 | 0.93665 | 111 |
| 25 | 1.17866 | 96 | 0.87953 | 95 | 0.87572 | 96 | 25 | 1.24023 | 110 | 0.94063 | 109 | 0.93776 | 111 |
| 26 | 1.17962 | 96 | 0.88048 | 95 | 0.87668 | 97 | 26 | 1.24133 | 110 | 0.94173 | 110 | 0.93887 | 112 |
| 27 | 1.18058 | 96 | 0.88143 | 96 | 0.87765 | 97 | 27 | 1.24244 | 111 | 0.94283 | 111 | 0.93995 | 112 |
| 28 | 1.18154 | 96 | 0.88239 | 95 | 0.87862 | 98 | 28 | 1.24355 | 111 | 0.94393 | 110 | 0.94110 | 112 |
| 29 | 1.18250 | 97 | 0.88334 | 96 | 0.87960 | 97 | 29 | 1.24466 | 111 | 0.94503 | 110 | 0.94222 | 112 |
| 30 | 1.18347 | 97 | 0.88430 | 96 | 0.88057 | 98 | 30 | 1.24577 | 112 | 0.94614 | 111 | 0.94334 | 113 |
| 31 | 1.18444 | 97 | 0.88526 | 97 | 0.88155 | 98 | 31 | 1.24689 | 112 | 0.94725 | 111 | 0.94447 | 112 |
| 32 | 1.18541 | 97 | 0.88623 | 96 | 0.88253 | 98 | 32 | 1.24801 | 112 | 0.94836 | 111 | 0.94559 | 113 |
| 33 | 1.18638 | 98 | 0.88719 | 97 | 0.88351 | 98 | 33 | 1.24913 | 112 | 0.94948 | 112 | 0.94672 | 114 |
| 34 | 1.18736 | 98 | 0.88816 | 97 | 0.88449 | 99 | 34 | 1.25026 | 113 | 0.95060 | 112 | 0.94786 | 113 |
| 35 | 1.18834 | 98 | 0.88913 | 97 | 0.88548 | 99 | 35 | 1.25139 | 113 | 0.95172 | 112 | 0.94899 | 114 |
| 36 | 1.18932 | 98 | 0.89010 | 97 | 0.88647 | 99 | 36 | 1.25252 | 113 | 0.95285 | 113 | 0.95013 | 114 |
| 37 | 1.19030 | 98 | 0.89107 | 98 | 0.88746 | 99 | 37 | 1.25366 | 114 | 0.95397 | 112 | 0.95127 | 115 |
| 38 | 1.19128 | 99 | 0.89205 | 98 | 0.88845 | 99 | 38 | 1.25479 | 113 | 0.95510 | 113 | 0.95242 | 115 |
| 39 | 1.19227 | 99 | 0.89303 | 98 | 0.88944 | 100 | 39 | 1.25593 | 114 | 0.95624 | 114 | 0.95357 | 115 |
| 40 | 1.19326 | 99 | 0.89401 | 98 | 0.89044 | 100 | 40 | 1.25708 | 115 | 0.95738 | 114 | 0.95472 | 115 |
| 41 | 1.19425 | 99 | 0.89499 | 99 | 0.89144 | 100 | 41 | 1.25822 | 114 | 0.95851 | 113 | 0.95587 | 116 |
| 42 | 1.19524 | 100 | 0.89598 | 98 | 0.89244 | 100 | 42 | 1.25937 | 115 | 0.95966 | 115 | 0.95703 | 116 |
| 43 | 1.19623 | 99 | 0.89696 | 99 | 0.89344 | 100 | 43 | 1.26053 | 116 | 0.96080 | 116 | 0.95819 | 116 |
| 44 | 1.19723 | 100 | 0.89795 | 99 | 0.89445 | 101 | 44 | 1.26168 | 115 | 0.96195 | 115 | 0.95935 | 117 |
| 45 | 1.19823 | 101 | 0.89894 | 100 | 0.89546 | 101 | 45 | 1.26284 | 116 | 0.96310 | 115 | 0.96052 | 116 |
| 46 | 1.19924 | 101 | 0.89994 | 99 | 0.89647 | 101 | 46 | 1.26400 | 116 | 0.96426 | 116 | 0.96168 | 117 |
| 47 | 1.20024 | 101 | 0.90093 | 99 | 0.89748 | 101 | 47 | 1.26517 | 117 | 0.96542 | 116 | 0.96286 | 118 |
| 48 | 1.20125 | 101 | 0.90193 | 100 | 0.89850 | 102 | 48 | 1.26631 | 117 | 0.96658 | 116 | 0.96403 | 118 |
| 49 | 1.20226 | 101 | 0.90293 | 100 | 0.89951 | 101 | 49 | 1.26747 | 117 | 0.96774 | 116 | 0.96521 | 118 |
| 50 | 1.20327 | 101 | 0.90394 | 100 | 0.90053 | 102 | 50 | 1.26868 | 117 | 0.96891 | 117 | 0.96639 | 119 |
| 51 | 1.20428 | 102 | 0.90494 | 100 | 0.90155 | 102 | 51 | 1.26986 | 118 | 0.97008 | 117 | 0.96758 | 119 |
| 52 | 1.20530 | 102 | 0.90595 | 101 | 0.90258 | 103 | 52 | 1.27101 | 118 | 0.97126 | 118 | 0.96876 | 119 |
| 53 | 1.20632 | 102 | 0.90696 | 101 | 0.90360 | 102 | 53 | 1.27223 | 119 | 0.97243 | 117 | 0.96995 | 120 |
| 54 | 1.20734 | 102 | 0.90798 | 102 | 0.90463 | 103 | 54 | 1.27341 | 118 | 0.97361 | 118 | 0.97115 | 120 |
| 55 | 1.20836 | 102 | 0.90899 | 101 | 0.90566 | 103 | 55 | 1.27460 | 119 | 0.97480 | 119 | 0.97234 | 119 |
| 56 | 1.20939 | 103 | 0.91001 | 102 | 0.90670 | 104 | 56 | 1.27580 | 120 | 0.97598 | 119 | 0.97355 | 120 |
| 57 | 1.21042 | 103 | 0.91103 | 102 | 0.90773 | 103 | 57 | 1.27699 | 119 | 0.97717 | 119 | 0.97475 | 121 |
| 58 | 1.21145 | 103 | 0.91205 | 102 | 0.90877 | 104 | 58 | 1.27819 | 120 | 0.97837 | 120 | 0.97596 | 121 |
| 59 | 1.21248 | 103 | 0.91308 | 103 | 0.90981 | 104 | 59 | 1.27939 | 121 | 0.97957 | 120 | 0.97717 | 121 |
| 60 | 1.21351 | 103 | 0.91411 | 103 | 0.91086 | 105 | 60 | 1.28060 | 120 | 0.98077 | 120 | 0.97838 | 121 |

| ω | z' | Diff. | $\log \cos z$ | Diff. | $\log \sin z$ | Diff. | ω | z' | Diff. | $\log \cos z$ | Diff. | $\log \sin z$ | Diff. |
|----------|---------|-------|---------------|-------|---------------|-------|----------|---------|-------|---------------|-------|---------------|-------|
| 0 | 1.28000 | 21 | 0.98077 | 20 | 0.97838 | 20 | 10 | 1.29286 | 21 | 0.99296 | 20 | 0.99070 | 21 |
| 10 | 1.28081 | 20 | 0.98097 | 20 | 0.97858 | 21 | 10 | 1.29307 | 20 | 0.99316 | 21 | 0.99091 | 21 |
| 20 | 1.28161 | 20 | 0.98117 | 20 | 0.97879 | 20 | 20 | 1.29327 | 21 | 0.99337 | 21 | 0.99112 | 21 |
| 30 | 1.28241 | 20 | 0.98137 | 20 | 0.97899 | 20 | 30 | 1.29348 | 21 | 0.99358 | 20 | 0.99133 | 21 |
| 40 | 1.28321 | 20 | 0.98157 | 20 | 0.97919 | 20 | 40 | 1.29369 | 21 | 0.99378 | 20 | 0.99154 | 20 |
| 50 | 1.28401 | 20 | 0.98177 | 20 | 0.97939 | 21 | 50 | 1.29390 | 21 | 0.99399 | 21 | 0.99174 | 21 |
| 1 | 1.28481 | 24 | 0.98197 | 20 | 0.97960 | 20 | 11 | 1.29411 | 20 | 0.99419 | 21 | 0.99195 | 21 |
| 10 | 1.28562 | 20 | 0.98217 | 20 | 0.97980 | 20 | 10 | 1.29431 | 20 | 0.99440 | 21 | 0.99216 | 21 |
| 20 | 1.28642 | 20 | 0.98237 | 20 | 0.98000 | 21 | 20 | 1.29452 | 21 | 0.99461 | 21 | 0.99237 | 21 |
| 30 | 1.28722 | 20 | 0.98257 | 20 | 0.98021 | 20 | 30 | 1.29473 | 21 | 0.99482 | 20 | 0.99258 | 21 |
| 40 | 1.28802 | 21 | 0.98277 | 20 | 0.98041 | 20 | 40 | 1.29494 | 21 | 0.99502 | 21 | 0.99279 | 21 |
| 50 | 1.28883 | 20 | 0.98297 | 21 | 0.98061 | 21 | 50 | 1.29515 | 20 | 0.99523 | 21 | 0.99300 | 21 |
| 2 | 1.28963 | 20 | 0.98318 | 20 | 0.98082 | 20 | 12 | 1.29535 | 21 | 0.99544 | 20 | 0.99321 | 21 |
| 10 | 1.29043 | 20 | 0.98338 | 20 | 0.98102 | 20 | 10 | 1.29556 | 21 | 0.99564 | 21 | 0.99342 | 21 |
| 20 | 1.29123 | 20 | 0.98358 | 20 | 0.98122 | 21 | 20 | 1.29577 | 21 | 0.99585 | 21 | 0.99363 | 21 |
| 30 | 1.29204 | 20 | 0.98378 | 20 | 0.98143 | 20 | 30 | 1.29598 | 21 | 0.99606 | 21 | 0.99384 | 21 |
| 40 | 1.29284 | 20 | 0.98398 | 20 | 0.98163 | 21 | 40 | 1.29619 | 21 | 0.99627 | 20 | 0.99405 | 21 |
| 50 | 1.29364 | 21 | 0.98418 | 21 | 0.98184 | 20 | 50 | 1.29640 | 21 | 0.99647 | 21 | 0.99426 | 21 |
| 3 | 1.29445 | 20 | 0.98439 | 20 | 0.98204 | 20 | 13 | 1.29661 | 20 | 0.99668 | 21 | 0.99447 | 21 |
| 10 | 1.29525 | 20 | 0.98459 | 20 | 0.98224 | 21 | 10 | 1.29681 | 21 | 0.99689 | 21 | 0.99468 | 21 |
| 20 | 1.29605 | 20 | 0.98479 | 20 | 0.98245 | 20 | 20 | 1.29702 | 21 | 0.99710 | 21 | 0.99489 | 21 |
| 30 | 1.29685 | 21 | 0.98499 | 21 | 0.98265 | 21 | 30 | 1.29723 | 21 | 0.99731 | 20 | 0.99510 | 21 |
| 40 | 1.29766 | 20 | 0.98520 | 20 | 0.98286 | 20 | 40 | 1.29744 | 21 | 0.99752 | 21 | 0.99531 | 21 |
| 50 | 1.29846 | 21 | 0.98540 | 20 | 0.98306 | 21 | 50 | 1.29765 | 21 | 0.99772 | 21 | 0.99552 | 21 |
| 4 | 1.29927 | 20 | 0.98560 | 20 | 0.98327 | 20 | 14 | 1.29786 | 21 | 0.99793 | 21 | 0.99573 | 21 |
| 10 | 1.29967 | 20 | 0.98580 | 21 | 0.98347 | 21 | 10 | 1.29807 | 21 | 0.99814 | 21 | 0.99594 | 21 |
| 20 | 1.29987 | 21 | 0.98601 | 20 | 0.98368 | 20 | 20 | 1.29828 | 21 | 0.99835 | 21 | 0.99615 | 21 |
| 30 | 1.29988 | 20 | 0.98621 | 20 | 0.98388 | 21 | 30 | 1.29849 | 21 | 0.99856 | 21 | 0.99636 | 21 |
| 40 | 1.29989 | 21 | 0.98641 | 20 | 0.98409 | 20 | 40 | 1.29870 | 21 | 0.99877 | 21 | 0.99657 | 21 |
| 50 | 1.29990 | 20 | 0.98661 | 21 | 0.98429 | 21 | 50 | 1.29891 | 21 | 0.99897 | 21 | 0.99678 | 21 |
| 5 | 1.29991 | 20 | 0.98682 | 20 | 0.98450 | 20 | 15 | 1.29912 | 21 | 0.99918 | 21 | 0.99699 | 21 |
| 10 | 1.29992 | 21 | 0.98702 | 20 | 0.98470 | 21 | 10 | 1.29933 | 21 | 0.99939 | 21 | 0.99720 | 22 |
| 20 | 1.29993 | 21 | 0.98722 | 21 | 0.98491 | 21 | 20 | 1.29954 | 21 | 0.99960 | 21 | 0.99741 | 21 |
| 30 | 1.29994 | 21 | 0.98743 | 21 | 0.98511 | 21 | 30 | 1.29975 | 21 | 0.99981 | 21 | 0.99762 | 21 |
| 40 | 1.29995 | 20 | 0.98763 | 20 | 0.98532 | 21 | 40 | 1.29996 | 21 | 1.00002 | 21 | 0.99783 | 21 |
| 50 | 1.29996 | 21 | 0.98783 | 21 | 0.98553 | 20 | 50 | 1.30017 | 21 | 1.00023 | 21 | 0.99804 | 21 |
| 6 | 1.29997 | 20 | 0.98804 | 21 | 0.98573 | 21 | 16 | 1.30038 | 21 | 1.00044 | 21 | 0.99825 | 21 |
| 10 | 1.29998 | 21 | 0.98824 | 21 | 0.98594 | 21 | 10 | 1.30059 | 21 | 1.00065 | 21 | 0.99846 | 22 |
| 20 | 1.29999 | 20 | 0.98845 | 20 | 0.98614 | 21 | 20 | 1.30080 | 22 | 1.00086 | 21 | 0.99867 | 21 |
| 30 | 1.29999 | 20 | 0.98865 | 20 | 0.98635 | 21 | 30 | 1.30102 | 21 | 1.00107 | 21 | 0.99889 | 21 |
| 40 | 1.29999 | 21 | 0.98885 | 21 | 0.98656 | 21 | 40 | 1.30123 | 21 | 1.00128 | 21 | 0.99911 | 21 |
| 50 | 1.29999 | 21 | 0.98906 | 21 | 0.98676 | 21 | 50 | 1.30144 | 21 | 1.00149 | 21 | 0.99932 | 22 |
| 7 | 1.29999 | 20 | 0.98926 | 21 | 0.98697 | 21 | 17 | 1.30165 | 21 | 1.00170 | 21 | 0.99954 | 21 |
| 10 | 1.29999 | 21 | 0.98947 | 21 | 0.98718 | 20 | 10 | 1.30186 | 21 | 1.00191 | 21 | 0.99975 | 21 |
| 20 | 1.29999 | 21 | 0.98967 | 21 | 0.98738 | 21 | 20 | 1.30207 | 21 | 1.00212 | 21 | 0.99996 | 21 |
| 30 | 1.29999 | 20 | 0.98988 | 20 | 0.98759 | 21 | 30 | 1.30228 | 22 | 1.00233 | 21 | 1.00017 | 22 |
| 40 | 1.29999 | 20 | 0.99008 | 21 | 0.98780 | 20 | 40 | 1.30250 | 21 | 1.00254 | 21 | 1.00039 | 21 |
| 50 | 1.29999 | 21 | 0.99029 | 21 | 0.98800 | 21 | 50 | 1.30271 | 21 | 1.00275 | 21 | 1.00060 | 21 |
| 8 | 1.29999 | 20 | 0.99049 | 21 | 0.98821 | 21 | 18 | 1.30292 | 21 | 1.00296 | 21 | 1.00081 | 21 |
| 10 | 1.29999 | 21 | 0.99070 | 21 | 0.98842 | 20 | 10 | 1.30313 | 21 | 1.00318 | 22 | 1.00102 | 22 |
| 20 | 1.29999 | 21 | 0.99090 | 21 | 0.98862 | 21 | 20 | 1.30334 | 22 | 1.00339 | 21 | 1.00124 | 21 |
| 30 | 1.29999 | 20 | 0.99111 | 20 | 0.98883 | 21 | 30 | 1.30355 | 20 | 1.00360 | 21 | 1.00145 | 21 |
| 40 | 1.29999 | 21 | 0.99131 | 20 | 0.98904 | 21 | 40 | 1.30377 | 21 | 1.00381 | 21 | 1.00166 | 22 |
| 50 | 1.29999 | 21 | 0.99152 | 20 | 0.98925 | 20 | 50 | 1.30398 | 21 | 1.00402 | 21 | 1.00188 | 21 |
| 9 | 1.29999 | 20 | 0.99172 | 21 | 0.98945 | 20 | 19 | 1.30419 | 22 | 1.00423 | 21 | 1.00209 | 22 |
| 10 | 1.29999 | 20 | 0.99193 | 21 | 0.98966 | 21 | 10 | 1.30441 | 22 | 1.00444 | 21 | 1.00231 | 21 |
| 20 | 1.29999 | 20 | 0.99213 | 21 | 0.98987 | 21 | 20 | 1.30462 | 21 | 1.00465 | 22 | 1.00252 | 21 |
| 30 | 1.29999 | 21 | 0.99234 | 20 | 0.99008 | 20 | 30 | 1.30483 | 21 | 1.00486 | 21 | 1.00273 | 22 |
| 40 | 1.29999 | 21 | 0.99254 | 21 | 0.99029 | 20 | 40 | 1.30504 | 22 | 1.00508 | 21 | 1.00295 | 22 |
| 50 | 1.29999 | 21 | 0.99275 | 21 | 0.99049 | 21 | 50 | 1.30526 | 21 | 1.00529 | 21 | 1.00316 | 22 |
| 10 | 1.29999 | 21 | 0.99296 | 21 | 0.99070 | 21 | 20 | 1.30547 | 21 | 1.00550 | 21 | 1.00338 | 22 |

| ω | z' | Diff. | $\log \cos z$ | Diff. | $\log \sin z$ | Diff. | ω | z' | Diff. | $\log \cos z$ | Diff. | $\log \sin z$ | Diff. |
|----------|---------|-------|---------------|-------|---------------|-------|----------|---------|-------|---------------|-------|---------------|-------|
| 20 | 1.30547 | 21 | 1.00550 | 22 | 1.00338 | 21 | 30 | 1.31846 | 22 | 1.01843 | 22 | 1.01643 | 22 |
| 20 | 1.30508 | 22 | 1.00572 | 21 | 1.00359 | 21 | 10 | 1.31808 | 22 | 1.01808 | 21 | 1.01604 | 22 |
| 30 | 1.30590 | 21 | 1.00593 | 21 | 1.00380 | 21 | 20 | 1.31890 | 22 | 1.01886 | 22 | 1.01686 | 23 |
| 30 | 1.30611 | 21 | 1.00614 | 21 | 1.00402 | 21 | 30 | 1.31912 | 22 | 1.01908 | 22 | 1.01709 | 22 |
| 40 | 1.30632 | 22 | 1.00635 | 22 | 1.00423 | 22 | 40 | 1.31934 | 22 | 1.01930 | 22 | 1.01731 | 22 |
| 50 | 1.30654 | 21 | 1.00657 | 21 | 1.00445 | 21 | 50 | 1.31956 | 22 | 1.01952 | 22 | 1.01753 | 22 |
| 21 | 1.30675 | 22 | 1.00678 | 21 | 1.00466 | 22 | 11 | 1.31978 | 22 | 1.01974 | 22 | 1.01775 | 22 |
| 10 | 1.30697 | 21 | 1.00699 | 21 | 1.00488 | 21 | 10 | 1.32000 | 22 | 1.01996 | 22 | 1.01797 | 22 |
| 20 | 1.30718 | 21 | 1.00720 | 22 | 1.00509 | 22 | 20 | 1.32022 | 22 | 1.02018 | 22 | 1.01819 | 22 |
| 30 | 1.30739 | 22 | 1.00742 | 21 | 1.00531 | 21 | 30 | 1.32044 | 22 | 1.02040 | 22 | 1.01841 | 23 |
| 40 | 1.30761 | 21 | 1.00763 | 21 | 1.00552 | 22 | 40 | 1.32066 | 22 | 1.02062 | 22 | 1.01864 | 22 |
| 50 | 1.30782 | 22 | 1.00784 | 22 | 1.00574 | 21 | 50 | 1.32088 | 22 | 1.02084 | 22 | 1.01886 | 22 |
| 22 | 1.30804 | 21 | 1.00806 | 21 | 1.00595 | 22 | 22 | 1.32110 | 22 | 1.02106 | 22 | 1.01908 | 22 |
| 10 | 1.30825 | 22 | 1.00827 | 21 | 1.00617 | 22 | 10 | 1.32132 | 22 | 1.02128 | 22 | 1.01930 | 22 |
| 20 | 1.30847 | 21 | 1.00848 | 22 | 1.00639 | 21 | 20 | 1.32154 | 22 | 1.02150 | 22 | 1.01952 | 23 |
| 30 | 1.30868 | 22 | 1.00870 | 21 | 1.00660 | 22 | 30 | 1.32176 | 23 | 1.02172 | 22 | 1.01975 | 22 |
| 40 | 1.30890 | 21 | 1.00891 | 21 | 1.00682 | 21 | 40 | 1.32199 | 22 | 1.02194 | 22 | 1.01997 | 22 |
| 50 | 1.30911 | 22 | 1.00913 | 21 | 1.00703 | 22 | 50 | 1.32221 | 22 | 1.02216 | 22 | 1.02019 | 22 |
| 23 | 1.30933 | 21 | 1.00934 | 21 | 1.00725 | 22 | 33 | 1.32243 | 22 | 1.02238 | 22 | 1.02041 | 23 |
| 10 | 1.30954 | 22 | 1.00955 | 22 | 1.00747 | 21 | 10 | 1.32265 | 22 | 1.02260 | 22 | 1.02064 | 22 |
| 20 | 1.30976 | 21 | 1.00977 | 21 | 1.00768 | 22 | 20 | 1.32287 | 22 | 1.02282 | 22 | 1.02086 | 22 |
| 30 | 1.30997 | 22 | 1.00998 | 22 | 1.00790 | 22 | 30 | 1.32309 | 23 | 1.02304 | 22 | 1.02108 | 22 |
| 40 | 1.31019 | 21 | 1.01020 | 21 | 1.00812 | 21 | 40 | 1.32332 | 22 | 1.02326 | 23 | 1.02131 | 22 |
| 50 | 1.31040 | 22 | 1.01041 | 22 | 1.00833 | 22 | 50 | 1.32354 | 22 | 1.02349 | 22 | 1.02153 | 22 |
| 24 | 1.31062 | 21 | 1.01063 | 21 | 1.00855 | 22 | 34 | 1.32376 | 22 | 1.02371 | 22 | 1.02175 | 22 |
| 10 | 1.31083 | 22 | 1.01084 | 22 | 1.00877 | 21 | 10 | 1.32398 | 23 | 1.02393 | 22 | 1.02198 | 22 |
| 20 | 1.31105 | 22 | 1.01106 | 21 | 1.00898 | 22 | 20 | 1.32421 | 22 | 1.02415 | 22 | 1.02220 | 22 |
| 30 | 1.31127 | 21 | 1.01127 | 22 | 1.00920 | 22 | 30 | 1.32443 | 22 | 1.02437 | 22 | 1.02242 | 22 |
| 40 | 1.31148 | 22 | 1.01149 | 21 | 1.00942 | 21 | 40 | 1.32465 | 22 | 1.02459 | 23 | 1.02265 | 22 |
| 50 | 1.31170 | 22 | 1.01170 | 22 | 1.00963 | 22 | 50 | 1.32487 | 23 | 1.02482 | 22 | 1.02287 | 22 |
| 25 | 1.31192 | 21 | 1.01192 | 21 | 1.00985 | 22 | 35 | 1.32510 | 22 | 1.02504 | 22 | 1.02309 | 23 |
| 10 | 1.31213 | 22 | 1.01213 | 22 | 1.01007 | 22 | 10 | 1.32532 | 22 | 1.02526 | 22 | 1.02332 | 22 |
| 20 | 1.31235 | 21 | 1.01235 | 21 | 1.01029 | 21 | 20 | 1.32554 | 23 | 1.02548 | 22 | 1.02354 | 23 |
| 30 | 1.31256 | 22 | 1.01256 | 22 | 1.01050 | 22 | 30 | 1.32577 | 22 | 1.02570 | 23 | 1.02377 | 22 |
| 40 | 1.31278 | 22 | 1.01278 | 21 | 1.01072 | 22 | 40 | 1.32599 | 23 | 1.02593 | 23 | 1.02399 | 23 |
| 50 | 1.31300 | 22 | 1.01299 | 22 | 1.01094 | 22 | 50 | 1.32621 | 22 | 1.02615 | 22 | 1.02422 | 22 |
| 26 | 1.31322 | 21 | 1.01321 | 21 | 1.01116 | 22 | 36 | 1.32644 | 22 | 1.02637 | 22 | 1.02444 | 23 |
| 10 | 1.31343 | 22 | 1.01343 | 21 | 1.01138 | 21 | 10 | 1.32666 | 22 | 1.02659 | 23 | 1.02467 | 22 |
| 20 | 1.31365 | 22 | 1.01364 | 22 | 1.01159 | 22 | 20 | 1.32688 | 23 | 1.02682 | 22 | 1.02489 | 22 |
| 30 | 1.31387 | 21 | 1.01386 | 22 | 1.01181 | 22 | 30 | 1.32711 | 22 | 1.02704 | 22 | 1.02512 | 22 |
| 40 | 1.31408 | 22 | 1.01408 | 21 | 1.01203 | 22 | 40 | 1.32733 | 23 | 1.02726 | 23 | 1.02534 | 22 |
| 50 | 1.31430 | 22 | 1.01429 | 22 | 1.01225 | 22 | 50 | 1.32756 | 22 | 1.02749 | 22 | 1.02557 | 22 |
| 27 | 1.31452 | 22 | 1.01451 | 22 | 1.01247 | 22 | 37 | 1.32778 | 23 | 1.02771 | 22 | 1.02579 | 23 |
| 10 | 1.31474 | 22 | 1.01473 | 21 | 1.01269 | 22 | 10 | 1.32801 | 22 | 1.02793 | 23 | 1.02602 | 22 |
| 20 | 1.31496 | 21 | 1.01494 | 22 | 1.01291 | 22 | 20 | 1.32823 | 23 | 1.02816 | 22 | 1.02624 | 22 |
| 30 | 1.31517 | 22 | 1.01516 | 22 | 1.01313 | 21 | 30 | 1.32846 | 22 | 1.02838 | 23 | 1.02647 | 22 |
| 40 | 1.31539 | 22 | 1.01538 | 21 | 1.01334 | 22 | 40 | 1.32868 | 23 | 1.02861 | 22 | 1.02669 | 23 |
| 50 | 1.31561 | 22 | 1.01559 | 22 | 1.01356 | 22 | 50 | 1.32891 | 22 | 1.02883 | 22 | 1.02692 | 23 |
| 28 | 1.31583 | 22 | 1.01581 | 22 | 1.01378 | 22 | 38 | 1.32913 | 23 | 1.02905 | 23 | 1.02715 | 22 |
| 10 | 1.31605 | 22 | 1.01603 | 22 | 1.01400 | 22 | 10 | 1.32936 | 22 | 1.02928 | 22 | 1.02737 | 23 |
| 20 | 1.31627 | 21 | 1.01625 | 21 | 1.01422 | 22 | 20 | 1.32958 | 23 | 1.02950 | 23 | 1.02760 | 22 |
| 30 | 1.31648 | 22 | 1.01646 | 22 | 1.01444 | 22 | 30 | 1.32981 | 22 | 1.02973 | 22 | 1.02782 | 22 |
| 40 | 1.31670 | 22 | 1.01668 | 22 | 1.01466 | 22 | 40 | 1.33003 | 23 | 1.02995 | 23 | 1.02805 | 23 |
| 50 | 1.31692 | 22 | 1.01690 | 22 | 1.01488 | 22 | 50 | 1.33026 | 22 | 1.03018 | 22 | 1.02828 | 22 |
| 29 | 1.31714 | 22 | 1.01712 | 22 | 1.01510 | 22 | 39 | 1.33048 | 23 | 1.03040 | 22 | 1.02850 | 23 |
| 10 | 1.31736 | 22 | 1.01734 | 21 | 1.01532 | 22 | 10 | 1.33071 | 23 | 1.03063 | 22 | 1.02873 | 23 |
| 20 | 1.31758 | 22 | 1.01755 | 22 | 1.01554 | 22 | 20 | 1.33094 | 22 | 1.03085 | 23 | 1.02896 | 23 |
| 30 | 1.31780 | 22 | 1.01777 | 22 | 1.01576 | 22 | 30 | 1.33116 | 22 | 1.03108 | 22 | 1.02919 | 22 |
| 40 | 1.31802 | 22 | 1.01799 | 22 | 1.01598 | 22 | 40 | 1.33139 | 22 | 1.03130 | 22 | 1.02941 | 22 |
| 50 | 1.31824 | 22 | 1.01821 | 22 | 1.01620 | 22 | 50 | 1.33161 | 22 | 1.03153 | 22 | 1.02964 | 22 |
| 30 | 1.31846 | 22 | 1.01843 | 22 | 1.01642 | 22 | 40 | 1.33184 | 23 | 1.03175 | 22 | 1.02987 | 22 |

| ω | z' | Diff. | $\log \cos z$ | Diff. | $\log \sin z$ | Diff. | ω | z' | Diff. | $\log \cos z$ | Diff. | $\log \sin z$ | Diff. |
|----------|---------|-------|---------------|-------|---------------|-------|----------|---------|-------|---------------|-------|---------------|-------|
| 40' | 1.33184 | 23 | 1.03175 | 23 | 1.02887 | 22 | 50' | 1.34565 | 23 | 1.04550 | 23 | 1.04373 | 24 |
| 10 | 1.33207 | 22 | 1.03198 | 22 | 1.03009 | 23 | 10 | 1.34588 | 23 | 1.04573 | 23 | 1.04397 | 24 |
| 20 | 1.33229 | 22 | 1.03220 | 22 | 1.03032 | 23 | 20 | 1.34612 | 24 | 1.04597 | 24 | 1.04420 | 23 |
| 30 | 1.33252 | 22 | 1.03243 | 22 | 1.03055 | 23 | 30 | 1.34635 | 23 | 1.04620 | 23 | 1.04444 | 24 |
| 40 | 1.33275 | 22 | 1.03265 | 22 | 1.03078 | 23 | 40 | 1.34658 | 23 | 1.04643 | 23 | 1.04467 | 23 |
| 50 | 1.33297 | 22 | 1.03288 | 23 | 1.03101 | 22 | 50 | 1.34682 | 24 | 1.04667 | 24 | 1.04491 | 24 |
| 41' | 1.33320 | 23 | 1.03311 | 23 | 1.03123 | 23 | 51' | 1.34705 | 23 | 1.04690 | 23 | 1.04514 | 24 |
| 10 | 1.33343 | 23 | 1.03333 | 22 | 1.03146 | 23 | 10 | 1.34729 | 24 | 1.04713 | 24 | 1.04538 | 23 |
| 20 | 1.33366 | 22 | 1.03356 | 23 | 1.03169 | 23 | 20 | 1.34752 | 24 | 1.04737 | 24 | 1.04561 | 23 |
| 30 | 1.33388 | 23 | 1.03379 | 23 | 1.03192 | 23 | 30 | 1.34776 | 23 | 1.04760 | 24 | 1.04585 | 24 |
| 40 | 1.33411 | 23 | 1.03401 | 22 | 1.03215 | 23 | 40 | 1.34799 | 23 | 1.04784 | 24 | 1.04609 | 24 |
| 50 | 1.33434 | 23 | 1.03424 | 23 | 1.03238 | 23 | 50 | 1.34823 | 23 | 1.04807 | 23 | 1.04632 | 24 |
| 42' | 1.33457 | 22 | 1.03447 | 22 | 1.03261 | 22 | 52 | 1.34846 | 24 | 1.04830 | 24 | 1.04656 | 24 |
| 10 | 1.33479 | 22 | 1.03469 | 22 | 1.03283 | 23 | 10 | 1.34870 | 23 | 1.04854 | 24 | 1.04680 | 24 |
| 20 | 1.33502 | 23 | 1.03492 | 23 | 1.03306 | 23 | 20 | 1.34893 | 24 | 1.04877 | 24 | 1.04703 | 23 |
| 30 | 1.33525 | 23 | 1.03515 | 23 | 1.03329 | 23 | 30 | 1.34917 | 23 | 1.04901 | 24 | 1.04727 | 24 |
| 40 | 1.33548 | 23 | 1.03538 | 23 | 1.03352 | 23 | 40 | 1.34940 | 23 | 1.04924 | 23 | 1.04751 | 24 |
| 50 | 1.33571 | 23 | 1.03560 | 22 | 1.03375 | 23 | 50 | 1.34964 | 24 | 1.04948 | 24 | 1.04774 | 24 |
| 43' | 1.33594 | 23 | 1.03583 | 23 | 1.03398 | 23 | 53' | 1.34988 | 23 | 1.04971 | 24 | 1.04798 | 24 |
| 10 | 1.33617 | 22 | 1.03606 | 23 | 1.03421 | 23 | 10 | 1.35011 | 24 | 1.04995 | 24 | 1.04822 | 24 |
| 20 | 1.33639 | 22 | 1.03629 | 22 | 1.03444 | 23 | 20 | 1.35035 | 24 | 1.05018 | 24 | 1.04845 | 23 |
| 30 | 1.33662 | 23 | 1.03651 | 23 | 1.03467 | 23 | 30 | 1.35059 | 23 | 1.05042 | 24 | 1.04869 | 24 |
| 40 | 1.33685 | 23 | 1.03674 | 23 | 1.03490 | 23 | 40 | 1.35082 | 23 | 1.05065 | 23 | 1.04893 | 24 |
| 50 | 1.33708 | 23 | 1.03697 | 23 | 1.03513 | 23 | 50 | 1.35106 | 24 | 1.05089 | 24 | 1.04917 | 24 |
| 44' | 1.33731 | 23 | 1.03720 | 23 | 1.03536 | 23 | 54' | 1.35130 | 24 | 1.05113 | 24 | 1.04940 | 23 |
| 10 | 1.33754 | 23 | 1.03743 | 23 | 1.03559 | 23 | 10 | 1.35153 | 23 | 1.05136 | 24 | 1.04964 | 24 |
| 20 | 1.33777 | 23 | 1.03766 | 22 | 1.03582 | 23 | 20 | 1.35177 | 24 | 1.05160 | 23 | 1.04988 | 24 |
| 30 | 1.33800 | 23 | 1.03788 | 23 | 1.03605 | 23 | 30 | 1.35201 | 23 | 1.05183 | 24 | 1.05012 | 24 |
| 40 | 1.33823 | 23 | 1.03811 | 23 | 1.03628 | 23 | 40 | 1.35224 | 23 | 1.05207 | 24 | 1.05036 | 24 |
| 50 | 1.33846 | 23 | 1.03834 | 23 | 1.03651 | 24 | 50 | 1.35248 | 24 | 1.05231 | 23 | 1.05059 | 23 |
| 45' | 1.33869 | 23 | 1.03857 | 23 | 1.03675 | 23 | 55' | 1.35272 | 24 | 1.05254 | 24 | 1.05083 | 24 |
| 10 | 1.33892 | 23 | 1.03880 | 23 | 1.03698 | 23 | 10 | 1.35296 | 23 | 1.05278 | 24 | 1.05107 | 24 |
| 20 | 1.33915 | 23 | 1.03903 | 23 | 1.03721 | 23 | 20 | 1.35319 | 24 | 1.05302 | 23 | 1.05131 | 24 |
| 30 | 1.33938 | 23 | 1.03926 | 23 | 1.03744 | 23 | 30 | 1.35343 | 24 | 1.05325 | 24 | 1.05155 | 24 |
| 40 | 1.33961 | 23 | 1.03949 | 23 | 1.03767 | 23 | 40 | 1.35367 | 24 | 1.05349 | 24 | 1.05179 | 24 |
| 50 | 1.33984 | 23 | 1.03972 | 23 | 1.03790 | 23 | 50 | 1.35391 | 24 | 1.05373 | 24 | 1.05203 | 24 |
| 46' | 1.34007 | 23 | 1.03995 | 23 | 1.03813 | 23 | 56' | 1.35415 | 24 | 1.05397 | 23 | 1.05227 | 24 |
| 10 | 1.34030 | 23 | 1.04018 | 23 | 1.03837 | 23 | 10 | 1.35439 | 24 | 1.05420 | 24 | 1.05251 | 24 |
| 20 | 1.34053 | 24 | 1.04041 | 23 | 1.03860 | 23 | 20 | 1.35462 | 23 | 1.05444 | 24 | 1.05275 | 24 |
| 30 | 1.34077 | 23 | 1.04064 | 23 | 1.03883 | 23 | 30 | 1.35486 | 24 | 1.05468 | 24 | 1.05298 | 23 |
| 40 | 1.34100 | 23 | 1.04087 | 23 | 1.03906 | 23 | 40 | 1.35510 | 24 | 1.05492 | 24 | 1.05322 | 24 |
| 50 | 1.34123 | 23 | 1.04110 | 23 | 1.03929 | 24 | 50 | 1.35534 | 24 | 1.05516 | 23 | 1.05346 | 24 |
| 47' | 1.34146 | 23 | 1.04133 | 23 | 1.03953 | 23 | 57 | 1.35558 | 24 | 1.05539 | 24 | 1.05370 | 24 |
| 10 | 1.34169 | 23 | 1.04156 | 23 | 1.03976 | 23 | 10 | 1.35582 | 24 | 1.05563 | 24 | 1.05394 | 24 |
| 20 | 1.34192 | 23 | 1.04179 | 23 | 1.03999 | 24 | 20 | 1.35606 | 24 | 1.05587 | 24 | 1.05419 | 25 |
| 30 | 1.34215 | 24 | 1.04202 | 23 | 1.04023 | 23 | 30 | 1.35630 | 24 | 1.05611 | 24 | 1.05443 | 24 |
| 40 | 1.34239 | 24 | 1.04225 | 23 | 1.04046 | 23 | 40 | 1.35654 | 24 | 1.05635 | 24 | 1.05467 | 24 |
| 50 | 1.34262 | 24 | 1.04248 | 24 | 1.04069 | 23 | 50 | 1.35678 | 24 | 1.05659 | 24 | 1.05491 | 24 |
| 48' | 1.34285 | 23 | 1.04272 | 23 | 1.04092 | 24 | 58 | 1.35702 | 24 | 1.05683 | 23 | 1.05515 | 24 |
| 10 | 1.34308 | 24 | 1.04295 | 23 | 1.04116 | 23 | 10 | 1.35726 | 24 | 1.05707 | 24 | 1.05539 | 24 |
| 20 | 1.34332 | 24 | 1.04318 | 23 | 1.04139 | 23 | 20 | 1.35750 | 24 | 1.05730 | 24 | 1.05563 | 24 |
| 30 | 1.34355 | 23 | 1.04341 | 23 | 1.04162 | 24 | 30 | 1.35774 | 24 | 1.05754 | 24 | 1.05587 | 24 |
| 40 | 1.34378 | 23 | 1.04364 | 23 | 1.04186 | 23 | 40 | 1.35798 | 24 | 1.05778 | 24 | 1.05611 | 24 |
| 50 | 1.34401 | 24 | 1.04387 | 24 | 1.04209 | 24 | 50 | 1.35822 | 24 | 1.05802 | 24 | 1.05635 | 24 |
| 49' | 1.34425 | 23 | 1.04411 | 23 | 1.04233 | 23 | 59 | 1.35846 | 24 | 1.05826 | 24 | 1.05660 | 25 |
| 10 | 1.34448 | 23 | 1.04434 | 23 | 1.04256 | 23 | 10 | 1.35870 | 24 | 1.05850 | 24 | 1.05684 | 24 |
| 20 | 1.34471 | 24 | 1.04457 | 23 | 1.04279 | 24 | 20 | 1.35894 | 24 | 1.05874 | 24 | 1.05708 | 24 |
| 30 | 1.34495 | 23 | 1.04480 | 24 | 1.04303 | 23 | 30 | 1.35918 | 24 | 1.05898 | 24 | 1.05732 | 24 |
| 40 | 1.34518 | 23 | 1.04504 | 23 | 1.04326 | 24 | 40 | 1.35942 | 25 | 1.05922 | 24 | 1.05756 | 24 |
| 50 | 1.34541 | 24 | 1.04527 | 23 | 1.04350 | 23 | 50 | 1.35967 | 24 | 1.05946 | 24 | 1.05781 | 25 |
| 50' | 1.34565 | 24 | 1.04550 | 23 | 1.04373 | 23 | 60 | 1.35991 | 24 | 1.05970 | 24 | 1.05805 | 25 |

| ω | δ | Diff. | $\log \cos z$ | Diff. | $\log \sin z$ | Diff. | ω | δ | Diff. | $\log \cos z$ | Diff. | $\log \sin z$ | Diff. |
|----------|----------|-------|---------------|-------|---------------|-------|----------|----------|-------|---------------|-------|---------------|-------|
| 0 | 1.35991 | 24 | 1.05970 | 24 | 1.05805 | 24 | 10 | 1.37465 | 25 | 1.07439 | 25 | 1.07284 | 25 |
| 10 | 1.36015 | 24 | 1.05994 | 24 | 1.05829 | 24 | 10 | 1.37490 | 25 | 1.07464 | 25 | 1.07309 | 26 |
| 20 | 1.36039 | 24 | 1.06019 | 24 | 1.05853 | 25 | 20 | 1.37515 | 25 | 1.07489 | 25 | 1.07335 | 25 |
| 30 | 1.36063 | 24 | 1.06043 | 24 | 1.05878 | 24 | 30 | 1.37540 | 25 | 1.07514 | 25 | 1.07360 | 25 |
| 40 | 1.36087 | 25 | 1.06067 | 24 | 1.05902 | 24 | 40 | 1.37565 | 25 | 1.07539 | 25 | 1.07385 | 25 |
| 50 | 1.36112 | 24 | 1.06091 | 24 | 1.05926 | 25 | 50 | 1.37590 | 25 | 1.07564 | 25 | 1.07410 | 25 |
| 1 | 1.36136 | 24 | 1.06115 | 24 | 1.05951 | 24 | 11 | 1.37615 | 25 | 1.07589 | 25 | 1.07435 | 25 |
| 10 | 1.36160 | 24 | 1.06139 | 24 | 1.05975 | 24 | 10 | 1.37640 | 25 | 1.07614 | 25 | 1.07460 | 25 |
| 20 | 1.36184 | 25 | 1.06163 | 25 | 1.05999 | 25 | 20 | 1.37665 | 25 | 1.07639 | 25 | 1.07485 | 26 |
| 30 | 1.36209 | 24 | 1.06188 | 24 | 1.06024 | 24 | 30 | 1.37690 | 25 | 1.07664 | 25 | 1.07511 | 25 |
| 40 | 1.36233 | 24 | 1.06212 | 24 | 1.06048 | 24 | 40 | 1.37715 | 26 | 1.07689 | 25 | 1.07536 | 25 |
| 50 | 1.36257 | 25 | 1.06236 | 24 | 1.06072 | 25 | 50 | 1.37741 | 25 | 1.07714 | 25 | 1.07561 | 25 |
| 2 | 1.36282 | 24 | 1.06260 | 24 | 1.06097 | 24 | 12 | 1.37766 | 25 | 1.07739 | 25 | 1.07586 | 26 |
| 10 | 1.36306 | 24 | 1.06284 | 25 | 1.06121 | 25 | 10 | 1.37791 | 25 | 1.07764 | 25 | 1.07612 | 25 |
| 20 | 1.36330 | 25 | 1.06309 | 24 | 1.06146 | 24 | 20 | 1.37816 | 25 | 1.07789 | 25 | 1.07637 | 25 |
| 30 | 1.36355 | 24 | 1.06333 | 24 | 1.06170 | 25 | 30 | 1.37841 | 25 | 1.07814 | 25 | 1.07662 | 25 |
| 40 | 1.36379 | 24 | 1.06357 | 24 | 1.06195 | 24 | 40 | 1.37866 | 26 | 1.07839 | 26 | 1.07687 | 26 |
| 50 | 1.36403 | 25 | 1.06381 | 25 | 1.06219 | 25 | 50 | 1.37892 | 25 | 1.07865 | 25 | 1.07713 | 25 |
| 3 | 1.36428 | 24 | 1.06406 | 24 | 1.06244 | 24 | 10 | 1.37917 | 25 | 1.07890 | 25 | 1.07738 | 25 |
| 10 | 1.36452 | 25 | 1.06430 | 24 | 1.06268 | 25 | 20 | 1.37942 | 25 | 1.07915 | 25 | 1.07763 | 26 |
| 20 | 1.36377 | 24 | 1.06454 | 25 | 1.06293 | 24 | 30 | 1.37967 | 26 | 1.07940 | 25 | 1.07788 | 25 |
| 30 | 1.36501 | 24 | 1.06479 | 24 | 1.06317 | 25 | 40 | 1.37993 | 25 | 1.07965 | 25 | 1.07814 | 26 |
| 40 | 1.36525 | 25 | 1.06503 | 25 | 1.06342 | 24 | 50 | 1.38018 | 25 | 1.07990 | 26 | 1.07840 | 25 |
| 50 | 1.36550 | 24 | 1.06528 | 24 | 1.06366 | 25 | 14 | 1.38043 | 26 | 1.08016 | 25 | 1.07865 | 25 |
| 4 | 1.36574 | 25 | 1.06552 | 24 | 1.06391 | 24 | 10 | 1.38069 | 25 | 1.08041 | 25 | 1.07890 | 26 |
| 10 | 1.36599 | 24 | 1.06576 | 25 | 1.06415 | 25 | 20 | 1.38094 | 25 | 1.08066 | 25 | 1.07916 | 25 |
| 20 | 1.36623 | 25 | 1.06601 | 24 | 1.06440 | 24 | 30 | 1.38119 | 26 | 1.08091 | 26 | 1.07941 | 26 |
| 30 | 1.36648 | 24 | 1.06625 | 25 | 1.06464 | 25 | 40 | 1.38145 | 25 | 1.08117 | 25 | 1.07967 | 25 |
| 40 | 1.36672 | 25 | 1.06650 | 24 | 1.06489 | 25 | 50 | 1.38170 | 26 | 1.08142 | 25 | 1.07992 | 26 |
| 50 | 1.36697 | 25 | 1.06674 | 25 | 1.06514 | 24 | 15 | 1.38196 | 25 | 1.08167 | 26 | 1.08018 | 26 |
| 5 | 1.36722 | 24 | 1.06699 | 24 | 1.06538 | 25 | 10 | 1.38221 | 25 | 1.08193 | 25 | 1.08043 | 26 |
| 10 | 1.36746 | 25 | 1.06723 | 24 | 1.06563 | 25 | 20 | 1.38246 | 26 | 1.08218 | 25 | 1.08069 | 25 |
| 20 | 1.36771 | 24 | 1.06747 | 25 | 1.06588 | 24 | 30 | 1.38272 | 25 | 1.08243 | 26 | 1.08094 | 26 |
| 30 | 1.36795 | 25 | 1.06772 | 25 | 1.06612 | 25 | 40 | 1.38297 | 26 | 1.08269 | 25 | 1.08120 | 25 |
| 40 | 1.36820 | 25 | 1.06797 | 24 | 1.06637 | 25 | 50 | 1.38323 | 25 | 1.08294 | 26 | 1.08145 | 26 |
| 50 | 1.36845 | 24 | 1.06821 | 25 | 1.06662 | 25 | 16 | 1.38348 | 26 | 1.08320 | 25 | 1.08171 | 26 |
| 6 | 1.36869 | 25 | 1.06846 | 24 | 1.06687 | 24 | 10 | 1.38374 | 25 | 1.08345 | 25 | 1.08197 | 25 |
| 10 | 1.36894 | 25 | 1.06870 | 25 | 1.06711 | 25 | 20 | 1.38399 | 26 | 1.08370 | 26 | 1.08222 | 26 |
| 20 | 1.36919 | 24 | 1.06895 | 24 | 1.06736 | 25 | 30 | 1.38425 | 25 | 1.08396 | 25 | 1.08248 | 25 |
| 30 | 1.36943 | 25 | 1.06919 | 25 | 1.06761 | 25 | 40 | 1.38450 | 26 | 1.08421 | 25 | 1.08273 | 26 |
| 40 | 1.36968 | 25 | 1.06944 | 25 | 1.06786 | 24 | 50 | 1.38476 | 26 | 1.08447 | 25 | 1.08299 | 26 |
| 50 | 1.36993 | 24 | 1.06969 | 24 | 1.06810 | 25 | 17 | 1.38502 | 25 | 1.08472 | 26 | 1.08325 | 25 |
| 7 | 1.37017 | 25 | 1.06993 | 25 | 1.06835 | 25 | 10 | 1.38527 | 26 | 1.08498 | 25 | 1.08350 | 26 |
| 10 | 1.37042 | 25 | 1.07018 | 25 | 1.06860 | 25 | 20 | 1.38553 | 25 | 1.08523 | 25 | 1.08376 | 26 |
| 20 | 1.37067 | 25 | 1.07043 | 24 | 1.06885 | 25 | 30 | 1.38578 | 26 | 1.08549 | 25 | 1.08402 | 26 |
| 30 | 1.37092 | 24 | 1.07067 | 25 | 1.06910 | 25 | 40 | 1.38604 | 26 | 1.08574 | 26 | 1.08428 | 25 |
| 40 | 1.37116 | 25 | 1.07092 | 25 | 1.06935 | 25 | 50 | 1.38630 | 25 | 1.08600 | 26 | 1.08453 | 25 |
| 50 | 1.37141 | 25 | 1.07117 | 24 | 1.06960 | 24 | 18 | 1.38655 | 26 | 1.08626 | 25 | 1.08479 | 26 |
| 8 | 1.37166 | 25 | 1.07141 | 24 | 1.06984 | 25 | 10 | 1.38681 | 25 | 1.08651 | 25 | 1.08505 | 26 |
| 10 | 1.37191 | 25 | 1.07166 | 25 | 1.07009 | 25 | 20 | 1.38707 | 26 | 1.08677 | 25 | 1.08531 | 26 |
| 20 | 1.37216 | 24 | 1.07191 | 25 | 1.07034 | 25 | 30 | 1.38733 | 25 | 1.08702 | 26 | 1.08557 | 25 |
| 30 | 1.37240 | 25 | 1.07216 | 24 | 1.07059 | 25 | 40 | 1.38758 | 26 | 1.08728 | 26 | 1.08582 | 26 |
| 40 | 1.37265 | 25 | 1.07240 | 24 | 1.07084 | 25 | 50 | 1.38784 | 26 | 1.08754 | 25 | 1.08608 | 26 |
| 50 | 1.37290 | 25 | 1.07265 | 25 | 1.07109 | 25 | 19 | 1.38810 | 26 | 1.08779 | 26 | 1.08634 | 26 |
| 9 | 1.37315 | 25 | 1.07290 | 25 | 1.07134 | 25 | 10 | 1.38836 | 25 | 1.08805 | 25 | 1.08660 | 26 |
| 10 | 1.37340 | 25 | 1.07315 | 25 | 1.07159 | 25 | 20 | 1.38861 | 26 | 1.08831 | 26 | 1.08686 | 26 |
| 20 | 1.37365 | 25 | 1.07340 | 24 | 1.07184 | 25 | 30 | 1.38887 | 26 | 1.08857 | 25 | 1.08712 | 26 |
| 30 | 1.37390 | 25 | 1.07364 | 24 | 1.07209 | 25 | 40 | 1.38913 | 26 | 1.08882 | 26 | 1.08738 | 25 |
| 40 | 1.37415 | 25 | 1.07389 | 25 | 1.07234 | 25 | 50 | 1.38939 | 26 | 1.08908 | 26 | 1.08764 | 26 |
| 50 | 1.37440 | 25 | 1.07414 | 25 | 1.07259 | 25 | 20 | 1.38965 | 26 | 1.08934 | 26 | 1.08789 | 26 |
| 10 | 1.37465 | 25 | 1.07439 | 25 | 1.07284 | 25 | 20 | 1.38991 | 26 | 1.08960 | 26 | 1.08815 | 26 |

| ω | z' | Diff. | $\log \cos z$ | Diff. | $\log \sin z$ | Diff. | ω | z' | Diff. | $\log \cos z$ | Diff. | $\log \sin z$ | Diff. |
|----------|---------|-------|---------------|-------|---------------|-------|----------|---------|-------|---------------|-------|---------------|-------|
| 20 | 1.38991 | 25 | 1.08960 | 25 | 1.08815 | 26 | 30 | 1.40572 | 27 | 1.10536 | 26 | 1.10402 | 27 |
| 10 | 1.39016 | 26 | 1.08985 | 26 | 1.08841 | 26 | 10 | 1.40599 | 26 | 1.10562 | 27 | 1.10429 | 26 |
| 20 | 1.39042 | 26 | 1.09011 | 26 | 1.08867 | 26 | 20 | 1.40625 | 27 | 1.10589 | 27 | 1.10455 | 27 |
| 30 | 1.39068 | 26 | 1.09037 | 26 | 1.08893 | 26 | 30 | 1.40652 | 27 | 1.10616 | 27 | 1.10482 | 27 |
| 40 | 1.39091 | 26 | 1.09063 | 26 | 1.08919 | 26 | 40 | 1.40679 | 27 | 1.10643 | 27 | 1.10509 | 27 |
| 50 | 1.39120 | 26 | 1.09089 | 26 | 1.08945 | 26 | 50 | 1.40706 | 27 | 1.10670 | 26 | 1.10536 | 27 |
| 21 | 1.39146 | 26 | 1.09115 | 26 | 1.08971 | 27 | 31 | 1.40733 | 27 | 1.10696 | 27 | 1.10563 | 27 |
| 10 | 1.39172 | 26 | 1.09141 | 25 | 1.08998 | 26 | 10 | 1.40760 | 27 | 1.10723 | 27 | 1.10590 | 27 |
| 20 | 1.39198 | 26 | 1.09166 | 26 | 1.09024 | 26 | 20 | 1.40787 | 27 | 1.10750 | 27 | 1.10617 | 28 |
| 30 | 1.39224 | 26 | 1.09192 | 26 | 1.09050 | 26 | 30 | 1.40814 | 27 | 1.10777 | 27 | 1.10645 | 27 |
| 40 | 1.39250 | 26 | 1.09218 | 26 | 1.09076 | 26 | 40 | 1.40841 | 27 | 1.10804 | 27 | 1.10672 | 27 |
| 50 | 1.39276 | 26 | 1.09244 | 26 | 1.09102 | 26 | 50 | 1.40868 | 27 | 1.10831 | 27 | 1.10699 | 27 |
| 22 | 1.39302 | 26 | 1.09270 | 26 | 1.09128 | 26 | 32 | 1.40895 | 27 | 1.10858 | 27 | 1.10726 | 27 |
| 10 | 1.39328 | 26 | 1.09296 | 26 | 1.09154 | 26 | 10 | 1.40922 | 27 | 1.10885 | 27 | 1.10753 | 27 |
| 20 | 1.39354 | 26 | 1.09322 | 26 | 1.09180 | 27 | 20 | 1.40949 | 27 | 1.10912 | 27 | 1.10780 | 27 |
| 30 | 1.39380 | 27 | 1.09348 | 26 | 1.09207 | 26 | 30 | 1.40976 | 27 | 1.10939 | 27 | 1.10807 | 27 |
| 40 | 1.39407 | 26 | 1.09374 | 26 | 1.09233 | 26 | 40 | 1.41003 | 27 | 1.10966 | 27 | 1.10834 | 28 |
| 50 | 1.39433 | 26 | 1.09400 | 26 | 1.09259 | 26 | 50 | 1.41030 | 27 | 1.10993 | 27 | 1.10862 | 27 |
| 23 | 1.39459 | 26 | 1.09426 | 26 | 1.09285 | 27 | 33 | 1.41057 | 28 | 1.11020 | 27 | 1.10889 | 27 |
| 10 | 1.39485 | 26 | 1.09452 | 27 | 1.09312 | 26 | 10 | 1.41085 | 27 | 1.11047 | 27 | 1.10916 | 27 |
| 20 | 1.39511 | 26 | 1.09479 | 26 | 1.09338 | 26 | 20 | 1.41112 | 27 | 1.11074 | 27 | 1.10943 | 28 |
| 30 | 1.39537 | 27 | 1.09505 | 26 | 1.09364 | 26 | 30 | 1.41139 | 27 | 1.11101 | 27 | 1.10971 | 27 |
| 40 | 1.39564 | 26 | 1.09531 | 26 | 1.09390 | 27 | 40 | 1.41166 | 27 | 1.11128 | 27 | 1.10998 | 27 |
| 50 | 1.39590 | 26 | 1.09557 | 26 | 1.09417 | 27 | 50 | 1.41193 | 28 | 1.11155 | 28 | 1.11025 | 27 |
| 24 | 1.39616 | 26 | 1.09583 | 26 | 1.09443 | 26 | 34 | 1.41221 | 27 | 1.11183 | 27 | 1.11052 | 28 |
| 10 | 1.39642 | 27 | 1.09609 | 27 | 1.09469 | 27 | 10 | 1.41248 | 27 | 1.11210 | 27 | 1.11080 | 27 |
| 20 | 1.39669 | 26 | 1.09636 | 26 | 1.09496 | 26 | 20 | 1.41275 | 27 | 1.11237 | 27 | 1.11107 | 27 |
| 30 | 1.39695 | 26 | 1.09662 | 26 | 1.09522 | 27 | 30 | 1.41302 | 28 | 1.11264 | 27 | 1.11134 | 28 |
| 40 | 1.39721 | 26 | 1.09688 | 26 | 1.09549 | 26 | 40 | 1.41330 | 27 | 1.11291 | 28 | 1.11162 | 27 |
| 50 | 1.39748 | 26 | 1.09714 | 26 | 1.09575 | 26 | 50 | 1.41357 | 27 | 1.11319 | 27 | 1.11189 | 28 |
| 25 | 1.39774 | 26 | 1.09740 | 27 | 1.09601 | 27 | 35 | 1.41384 | 28 | 1.11346 | 27 | 1.11217 | 27 |
| 10 | 1.39800 | 27 | 1.09767 | 26 | 1.09628 | 26 | 10 | 1.41412 | 27 | 1.11373 | 27 | 1.11244 | 27 |
| 20 | 1.39827 | 26 | 1.09793 | 26 | 1.09654 | 26 | 20 | 1.41439 | 27 | 1.11400 | 28 | 1.11272 | 27 |
| 30 | 1.39853 | 27 | 1.09819 | 27 | 1.09681 | 26 | 30 | 1.41466 | 28 | 1.11428 | 27 | 1.11299 | 27 |
| 40 | 1.39879 | 27 | 1.09846 | 26 | 1.09707 | 27 | 40 | 1.41494 | 27 | 1.11455 | 27 | 1.11326 | 28 |
| 50 | 1.39906 | 26 | 1.09872 | 26 | 1.09734 | 26 | 50 | 1.41521 | 28 | 1.11482 | 28 | 1.11354 | 28 |
| 26 | 1.39932 | 27 | 1.09898 | 27 | 1.09760 | 27 | 36 | 1.41549 | 27 | 1.11510 | 27 | 1.11382 | 27 |
| 10 | 1.39959 | 27 | 1.09925 | 26 | 1.09787 | 26 | 10 | 1.41576 | 28 | 1.11537 | 27 | 1.11409 | 28 |
| 20 | 1.39985 | 27 | 1.09951 | 26 | 1.09813 | 27 | 20 | 1.41604 | 27 | 1.11564 | 28 | 1.11437 | 27 |
| 30 | 1.40012 | 27 | 1.09977 | 27 | 1.09840 | 26 | 30 | 1.41631 | 28 | 1.11592 | 27 | 1.11464 | 28 |
| 40 | 1.40038 | 26 | 1.10004 | 27 | 1.09866 | 27 | 40 | 1.41659 | 27 | 1.11619 | 28 | 1.11492 | 27 |
| 50 | 1.40065 | 27 | 1.10030 | 27 | 1.09893 | 27 | 50 | 1.41686 | 28 | 1.11647 | 27 | 1.11519 | 28 |
| 27 | 1.40091 | 27 | 1.10057 | 26 | 1.09920 | 26 | 37 | 1.41714 | 27 | 1.11674 | 27 | 1.11547 | 28 |
| 10 | 1.40118 | 27 | 1.10083 | 26 | 1.09946 | 26 | 10 | 1.41741 | 28 | 1.11702 | 27 | 1.11575 | 27 |
| 20 | 1.40144 | 26 | 1.10110 | 26 | 1.09973 | 27 | 20 | 1.41769 | 27 | 1.11729 | 28 | 1.11602 | 28 |
| 30 | 1.40171 | 27 | 1.10136 | 27 | 1.10000 | 26 | 30 | 1.41796 | 28 | 1.11757 | 27 | 1.11630 | 28 |
| 40 | 1.40198 | 27 | 1.10163 | 27 | 1.10026 | 26 | 40 | 1.41824 | 28 | 1.11784 | 28 | 1.11658 | 28 |
| 50 | 1.40224 | 27 | 1.10189 | 26 | 1.10053 | 27 | 50 | 1.41852 | 27 | 1.11812 | 27 | 1.11685 | 28 |
| 28 | 1.40251 | 26 | 1.10216 | 26 | 1.10080 | 26 | 38 | 1.41879 | 28 | 1.11839 | 28 | 1.11713 | 28 |
| 10 | 1.40277 | 27 | 1.10242 | 26 | 1.10106 | 26 | 10 | 1.41907 | 28 | 1.11867 | 27 | 1.11741 | 28 |
| 20 | 1.40304 | 27 | 1.10269 | 27 | 1.10133 | 27 | 20 | 1.41935 | 27 | 1.11894 | 28 | 1.11769 | 27 |
| 30 | 1.40331 | 27 | 1.10296 | 26 | 1.10160 | 27 | 30 | 1.41962 | 28 | 1.11922 | 28 | 1.11796 | 28 |
| 40 | 1.40358 | 27 | 1.10322 | 26 | 1.10287 | 27 | 40 | 1.41990 | 28 | 1.11950 | 28 | 1.11824 | 28 |
| 50 | 1.40384 | 26 | 1.10349 | 27 | 1.10214 | 26 | 50 | 1.42018 | 27 | 1.11977 | 28 | 1.11852 | 28 |
| 29 | 1.40411 | 27 | 1.10375 | 26 | 1.10240 | 27 | 39 | 1.42045 | 28 | 1.12005 | 28 | 1.11880 | 28 |
| 10 | 1.40438 | 27 | 1.10402 | 27 | 1.10267 | 27 | 10 | 1.42073 | 28 | 1.12033 | 27 | 1.11908 | 27 |
| 20 | 1.40464 | 26 | 1.10429 | 26 | 1.10294 | 27 | 20 | 1.42101 | 28 | 1.12060 | 28 | 1.11935 | 27 |
| 30 | 1.40491 | 27 | 1.10455 | 26 | 1.10321 | 27 | 30 | 1.42129 | 28 | 1.12088 | 28 | 1.11963 | 28 |
| 40 | 1.40518 | 27 | 1.10482 | 27 | 1.10348 | 27 | 40 | 1.42157 | 28 | 1.12116 | 28 | 1.11991 | 28 |
| 50 | 1.40545 | 27 | 1.10509 | 27 | 1.10375 | 27 | 50 | 1.42184 | 28 | 1.12144 | 28 | 1.12019 | 28 |
| 30 | 1.40572 | 27 | 1.10536 | 27 | 1.10402 | 27 | 40 | 1.42212 | 28 | 1.12171 | 27 | 1.12047 | 28 |

| ω | z' | Diff. | $\log \cos z$ | Diff. | $\log \sin z$ | Diff. | ω | z' | Diff. | $\log \cos z$ | Diff. | $\log \sin z$ | Diff. |
|----------|---------|-------|---------------|-------|---------------|-------|----------|---------|-------|---------------|-------|---------------|-------|
| 40 | 1.4212 | 28 | 1.12171 | 28 | 1.12017 | 28 | 50 | 1.43917 | 29 | 1.13872 | 29 | 1.13757 | 29 |
| 10 | 1.4220 | 28 | 1.12199 | 28 | 1.12075 | 28 | 10 | 1.43916 | 29 | 1.13901 | 29 | 1.13786 | 29 |
| 20 | 1.42268 | 28 | 1.12227 | 28 | 1.12103 | 28 | 20 | 1.43975 | 29 | 1.13930 | 28 | 1.13815 | 29 |
| 30 | 1.42296 | 28 | 1.12255 | 28 | 1.12131 | 28 | 30 | 1.44001 | 29 | 1.13958 | 29 | 1.13844 | 29 |
| 40 | 1.42324 | 28 | 1.12283 | 28 | 1.12159 | 28 | 40 | 1.44033 | 29 | 1.13977 | 29 | 1.13873 | 29 |
| 50 | 1.42352 | 28 | 1.12311 | 28 | 1.12187 | 28 | 50 | 1.44062 | 29 | 1.14016 | 29 | 1.13902 | 29 |
| 41 | 1.42380 | 28 | 1.12339 | 27 | 1.12215 | 28 | 51 | 1.44091 | 30 | 1.14045 | 29 | 1.13931 | 30 |
| 10 | 1.42408 | 28 | 1.12366 | 28 | 1.12243 | 28 | 10 | 1.44121 | 30 | 1.14074 | 30 | 1.13961 | 30 |
| 20 | 1.42436 | 28 | 1.12394 | 28 | 1.12271 | 28 | 20 | 1.44150 | 29 | 1.14104 | 29 | 1.13990 | 29 |
| 30 | 1.42464 | 28 | 1.12422 | 28 | 1.12299 | 28 | 30 | 1.44179 | 29 | 1.14133 | 29 | 1.14019 | 29 |
| 40 | 1.42492 | 28 | 1.12450 | 28 | 1.12327 | 28 | 40 | 1.44208 | 29 | 1.14162 | 29 | 1.14048 | 30 |
| 50 | 1.42520 | 28 | 1.12478 | 28 | 1.12356 | 28 | 50 | 1.44237 | 29 | 1.14191 | 29 | 1.14078 | 30 |
| 42 | 1.42548 | 28 | 1.12506 | 28 | 1.12384 | 28 | 52 | 1.44266 | 30 | 1.14220 | 29 | 1.14107 | 29 |
| 10 | 1.42576 | 28 | 1.12534 | 28 | 1.12412 | 28 | 10 | 1.44296 | 29 | 1.14249 | 29 | 1.14136 | 29 |
| 20 | 1.42604 | 28 | 1.12562 | 28 | 1.12440 | 28 | 20 | 1.44325 | 29 | 1.14278 | 29 | 1.14165 | 30 |
| 30 | 1.42632 | 28 | 1.12590 | 28 | 1.12468 | 29 | 30 | 1.44351 | 29 | 1.14307 | 29 | 1.14195 | 29 |
| 40 | 1.42660 | 28 | 1.12618 | 28 | 1.12497 | 28 | 40 | 1.44383 | 29 | 1.14337 | 30 | 1.14224 | 29 |
| 50 | 1.42688 | 28 | 1.12646 | 29 | 1.12525 | 28 | 50 | 1.44413 | 29 | 1.14366 | 29 | 1.14253 | 30 |
| 43 | 1.42717 | 28 | 1.12675 | 28 | 1.12553 | 28 | 53 | 1.44442 | 29 | 1.14395 | 29 | 1.14283 | 29 |
| 10 | 1.42745 | 28 | 1.12703 | 28 | 1.12581 | 28 | 10 | 1.44471 | 30 | 1.14421 | 29 | 1.14312 | 30 |
| 20 | 1.42773 | 28 | 1.12731 | 28 | 1.12610 | 29 | 20 | 1.44501 | 30 | 1.14454 | 30 | 1.14342 | 29 |
| 30 | 1.42801 | 29 | 1.12759 | 28 | 1.12638 | 28 | 30 | 1.44530 | 29 | 1.14483 | 29 | 1.14371 | 30 |
| 40 | 1.42830 | 29 | 1.12787 | 28 | 1.12666 | 28 | 40 | 1.44559 | 29 | 1.14512 | 29 | 1.14401 | 30 |
| 50 | 1.42858 | 28 | 1.12815 | 29 | 1.12695 | 28 | 50 | 1.44589 | 29 | 1.14542 | 29 | 1.14430 | 30 |
| 44 | 1.42886 | 29 | 1.12844 | 28 | 1.12723 | 28 | 54 | 1.44618 | 30 | 1.14571 | 29 | 1.14460 | 29 |
| 10 | 1.42915 | 28 | 1.12872 | 28 | 1.12751 | 28 | 10 | 1.44648 | 29 | 1.14600 | 29 | 1.14489 | 30 |
| 20 | 1.42943 | 28 | 1.12900 | 28 | 1.12780 | 28 | 20 | 1.44677 | 30 | 1.14630 | 29 | 1.14519 | 29 |
| 30 | 1.42971 | 29 | 1.12928 | 28 | 1.12808 | 28 | 30 | 1.44707 | 29 | 1.14659 | 29 | 1.14548 | 30 |
| 40 | 1.43000 | 29 | 1.12957 | 29 | 1.12837 | 28 | 40 | 1.44736 | 29 | 1.14689 | 30 | 1.14578 | 30 |
| 50 | 1.43028 | 28 | 1.12985 | 28 | 1.12865 | 29 | 50 | 1.44766 | 29 | 1.14718 | 29 | 1.14608 | 29 |
| 45 | 1.43056 | 28 | 1.13013 | 28 | 1.12894 | 28 | 53 | 1.44795 | 29 | 1.14748 | 29 | 1.14637 | 30 |
| 10 | 1.43085 | 28 | 1.13042 | 28 | 1.12922 | 28 | 10 | 1.44825 | 29 | 1.14777 | 29 | 1.14667 | 29 |
| 20 | 1.43113 | 29 | 1.13070 | 28 | 1.12951 | 28 | 20 | 1.44855 | 29 | 1.14807 | 29 | 1.14696 | 30 |
| 30 | 1.43142 | 28 | 1.13098 | 28 | 1.12979 | 29 | 30 | 1.44884 | 29 | 1.14836 | 29 | 1.14726 | 30 |
| 40 | 1.43170 | 28 | 1.13127 | 29 | 1.13008 | 28 | 40 | 1.44914 | 29 | 1.14866 | 30 | 1.14756 | 30 |
| 50 | 1.43199 | 28 | 1.13155 | 29 | 1.13036 | 28 | 50 | 1.44943 | 29 | 1.14895 | 29 | 1.14786 | 30 |
| 46 | 1.43227 | 28 | 1.13184 | 28 | 1.13065 | 28 | 56 | 1.44973 | 30 | 1.14925 | 30 | 1.14815 | 30 |
| 10 | 1.43256 | 28 | 1.13212 | 28 | 1.13093 | 28 | 10 | 1.45003 | 30 | 1.14955 | 30 | 1.14845 | 30 |
| 20 | 1.43284 | 28 | 1.13240 | 28 | 1.13122 | 29 | 20 | 1.45033 | 29 | 1.14984 | 29 | 1.14875 | 30 |
| 30 | 1.43313 | 28 | 1.13269 | 28 | 1.13151 | 28 | 30 | 1.45063 | 30 | 1.15014 | 29 | 1.14905 | 30 |
| 40 | 1.43341 | 28 | 1.13297 | 28 | 1.13179 | 28 | 40 | 1.45092 | 30 | 1.15043 | 29 | 1.14935 | 29 |
| 50 | 1.43370 | 28 | 1.13326 | 29 | 1.13208 | 29 | 50 | 1.45122 | 30 | 1.15073 | 30 | 1.14964 | 30 |
| 47 | 1.43399 | 28 | 1.13355 | 28 | 1.13237 | 29 | 57 | 1.45152 | 29 | 1.15103 | 30 | 1.14994 | 30 |
| 10 | 1.43427 | 28 | 1.13383 | 28 | 1.13266 | 28 | 10 | 1.45181 | 30 | 1.15133 | 30 | 1.15024 | 30 |
| 20 | 1.43456 | 28 | 1.13412 | 28 | 1.13294 | 28 | 20 | 1.45211 | 30 | 1.15162 | 29 | 1.15054 | 30 |
| 30 | 1.43485 | 28 | 1.13440 | 29 | 1.13323 | 29 | 30 | 1.45241 | 30 | 1.15192 | 30 | 1.15084 | 30 |
| 40 | 1.43513 | 28 | 1.13469 | 29 | 1.13352 | 29 | 40 | 1.45271 | 30 | 1.15222 | 30 | 1.15114 | 30 |
| 50 | 1.43542 | 28 | 1.13498 | 28 | 1.13381 | 28 | 50 | 1.45301 | 30 | 1.15252 | 30 | 1.15144 | 30 |
| 48 | 1.43571 | 28 | 1.13526 | 28 | 1.13410 | 28 | 58 | 1.45331 | 30 | 1.15282 | 30 | 1.15174 | 30 |
| 10 | 1.43600 | 28 | 1.13555 | 28 | 1.13438 | 29 | 10 | 1.45361 | 30 | 1.15312 | 30 | 1.15204 | 30 |
| 20 | 1.43628 | 28 | 1.13584 | 28 | 1.13467 | 29 | 20 | 1.45391 | 30 | 1.15341 | 29 | 1.15234 | 30 |
| 30 | 1.43657 | 28 | 1.13612 | 29 | 1.13496 | 29 | 30 | 1.45421 | 30 | 1.15371 | 30 | 1.15264 | 30 |
| 40 | 1.43686 | 28 | 1.13641 | 29 | 1.13525 | 29 | 40 | 1.45451 | 30 | 1.15401 | 30 | 1.15294 | 30 |
| 50 | 1.43715 | 28 | 1.13670 | 29 | 1.13554 | 29 | 50 | 1.45481 | 30 | 1.15431 | 30 | 1.15324 | 30 |
| 49 | 1.43744 | 28 | 1.13699 | 28 | 1.13583 | 29 | 59 | 1.45511 | 30 | 1.15461 | 30 | 1.15354 | 31 |
| 10 | 1.43773 | 28 | 1.13727 | 28 | 1.13612 | 29 | 10 | 1.45541 | 30 | 1.15491 | 30 | 1.15385 | 30 |
| 20 | 1.43801 | 28 | 1.13756 | 29 | 1.13641 | 29 | 20 | 1.45571 | 30 | 1.15521 | 30 | 1.15415 | 30 |
| 30 | 1.43830 | 28 | 1.13785 | 29 | 1.13670 | 29 | 30 | 1.45601 | 30 | 1.15551 | 30 | 1.15445 | 30 |
| 40 | 1.43859 | 28 | 1.13814 | 29 | 1.13699 | 29 | 40 | 1.45631 | 30 | 1.15581 | 30 | 1.15475 | 30 |
| 50 | 1.43888 | 28 | 1.13843 | 29 | 1.13728 | 29 | 50 | 1.45661 | 30 | 1.15611 | 30 | 1.15505 | 30 |
| 50 | 1.43917 | 28 | 1.13872 | 29 | 1.13757 | 29 | 60 | 1.45692 | 31 | 1.15642 | 31 | 1.15536 | 31 |

| ω | z' | Diff. | $\log \cos z$ | Diff. | $\log \sin z$ | Diff. | ω | z' | Diff. | $\log \cos z$ | Diff. | $\log \sin z$ | Diff. |
|----------|---------|-------|---------------|-------|---------------|-------|----------|---------|-------|---------------|-------|---------------|-------|
| 0 | 1.45092 | 30 | 1.15642 | 30 | 1.15536 | 30 | 10 | 1.47541 | 32 | 1.17487 | 31 | 1.17390 | 31 |
| 10 | 1.45722 | 30 | 1.15672 | 30 | 1.15566 | 30 | 10 | 1.47573 | 31 | 1.17518 | 32 | 1.17421 | 32 |
| 20 | 1.45752 | 30 | 1.15702 | 30 | 1.15596 | 30 | 20 | 1.47604 | 32 | 1.17550 | 31 | 1.17453 | 32 |
| 30 | 1.45782 | 31 | 1.15732 | 30 | 1.15626 | 31 | 30 | 1.47636 | 32 | 1.17581 | 32 | 1.17485 | 31 |
| 40 | 1.45813 | 30 | 1.15762 | 30 | 1.15657 | 30 | 40 | 1.47668 | 31 | 1.17613 | 31 | 1.17516 | 32 |
| 50 | 1.45843 | 30 | 1.15792 | 31 | 1.15687 | 31 | 50 | 1.47699 | 32 | 1.17644 | 32 | 1.17548 | 32 |
| 1 | 1.45873 | 30 | 1.15823 | 30 | 1.15718 | 30 | 11 | 1.47731 | 31 | 1.17676 | 32 | 1.17580 | 31 |
| 10 | 1.45903 | 31 | 1.15853 | 30 | 1.15748 | 30 | 10 | 1.47762 | 32 | 1.17708 | 31 | 1.17611 | 32 |
| 20 | 1.45934 | 30 | 1.15883 | 30 | 1.15778 | 31 | 20 | 1.47794 | 32 | 1.17739 | 32 | 1.17643 | 32 |
| 30 | 1.45964 | 31 | 1.15913 | 31 | 1.15809 | 30 | 30 | 1.47826 | 31 | 1.17771 | 31 | 1.17675 | 32 |
| 40 | 1.45995 | 30 | 1.15944 | 30 | 1.15839 | 31 | 40 | 1.47857 | 32 | 1.17802 | 32 | 1.17707 | 31 |
| 50 | 1.46025 | 30 | 1.15974 | 30 | 1.15870 | 30 | 50 | 1.47889 | 32 | 1.17834 | 32 | 1.17738 | 32 |
| 2 | 1.46055 | 31 | 1.16004 | 31 | 1.15900 | 31 | 12 | 1.47921 | 32 | 1.17866 | 31 | 1.17770 | 32 |
| 10 | 1.46086 | 30 | 1.16035 | 30 | 1.15931 | 31 | 10 | 1.47953 | 32 | 1.17897 | 32 | 1.17802 | 32 |
| 20 | 1.46116 | 31 | 1.16065 | 31 | 1.15961 | 31 | 20 | 1.47985 | 31 | 1.17929 | 32 | 1.17834 | 32 |
| 30 | 1.46147 | 30 | 1.16096 | 30 | 1.15992 | 30 | 30 | 1.48016 | 32 | 1.17961 | 32 | 1.17866 | 32 |
| 40 | 1.46177 | 31 | 1.16126 | 30 | 1.16022 | 31 | 40 | 1.48048 | 32 | 1.17993 | 32 | 1.17898 | 32 |
| 50 | 1.46208 | 30 | 1.16156 | 31 | 1.16053 | 31 | 50 | 1.48080 | 32 | 1.18025 | 31 | 1.17930 | 32 |
| 3 | 1.46238 | 31 | 1.16187 | 30 | 1.16084 | 30 | 13 | 1.48112 | 32 | 1.18056 | 32 | 1.17962 | 32 |
| 10 | 1.46269 | 31 | 1.16217 | 31 | 1.16114 | 31 | 10 | 1.48144 | 32 | 1.18088 | 32 | 1.17994 | 32 |
| 20 | 1.46300 | 30 | 1.16248 | 31 | 1.16145 | 31 | 20 | 1.48176 | 32 | 1.18120 | 32 | 1.18026 | 32 |
| 30 | 1.46330 | 31 | 1.16279 | 30 | 1.16176 | 30 | 30 | 1.48208 | 32 | 1.18152 | 32 | 1.18058 | 32 |
| 40 | 1.46361 | 30 | 1.16309 | 31 | 1.16206 | 31 | 40 | 1.48240 | 32 | 1.18184 | 32 | 1.18090 | 32 |
| 50 | 1.46391 | 31 | 1.16340 | 30 | 1.16237 | 31 | 50 | 1.48272 | 32 | 1.18216 | 32 | 1.18122 | 32 |
| 4 | 1.46422 | 31 | 1.16370 | 31 | 1.16268 | 31 | 14 | 1.48304 | 32 | 1.18248 | 32 | 1.18154 | 32 |
| 10 | 1.46453 | 31 | 1.16401 | 31 | 1.16299 | 30 | 10 | 1.48336 | 32 | 1.18280 | 32 | 1.18186 | 32 |
| 20 | 1.46484 | 30 | 1.16432 | 30 | 1.16329 | 31 | 20 | 1.48368 | 32 | 1.18312 | 32 | 1.18218 | 32 |
| 30 | 1.46514 | 31 | 1.16462 | 31 | 1.16360 | 31 | 30 | 1.48400 | 32 | 1.18344 | 32 | 1.18250 | 33 |
| 40 | 1.46545 | 31 | 1.16493 | 31 | 1.16391 | 31 | 40 | 1.48432 | 32 | 1.18376 | 32 | 1.18282 | 32 |
| 50 | 1.46576 | 31 | 1.16524 | 30 | 1.16422 | 31 | 50 | 1.48464 | 33 | 1.18408 | 32 | 1.18315 | 32 |
| 5 | 1.46607 | 31 | 1.16554 | 31 | 1.16453 | 31 | 15 | 1.48497 | 32 | 1.18440 | 32 | 1.18347 | 32 |
| 10 | 1.46638 | 30 | 1.16585 | 31 | 1.16484 | 31 | 10 | 1.48529 | 32 | 1.18472 | 32 | 1.18379 | 33 |
| 20 | 1.46668 | 31 | 1.16616 | 31 | 1.16515 | 31 | 20 | 1.48561 | 32 | 1.18504 | 33 | 1.18412 | 32 |
| 30 | 1.46699 | 31 | 1.16647 | 31 | 1.16546 | 31 | 30 | 1.48593 | 33 | 1.18537 | 32 | 1.18444 | 32 |
| 40 | 1.46730 | 31 | 1.16678 | 31 | 1.16577 | 31 | 40 | 1.48626 | 32 | 1.18569 | 32 | 1.18476 | 33 |
| 50 | 1.46761 | 31 | 1.16708 | 31 | 1.16608 | 31 | 50 | 1.48658 | 32 | 1.18601 | 32 | 1.18509 | 33 |
| 6 | 1.46792 | 31 | 1.16739 | 31 | 1.16639 | 31 | 16 | 1.48690 | 33 | 1.18633 | 33 | 1.18541 | 32 |
| 10 | 1.46823 | 31 | 1.16770 | 31 | 1.16670 | 31 | 10 | 1.48723 | 32 | 1.18666 | 32 | 1.18573 | 33 |
| 20 | 1.46854 | 31 | 1.16801 | 31 | 1.16701 | 31 | 20 | 1.48755 | 32 | 1.18698 | 32 | 1.18606 | 32 |
| 30 | 1.46885 | 31 | 1.16832 | 31 | 1.16732 | 31 | 30 | 1.48787 | 32 | 1.18730 | 33 | 1.18638 | 33 |
| 40 | 1.46916 | 31 | 1.16863 | 31 | 1.16763 | 31 | 40 | 1.48820 | 32 | 1.18763 | 32 | 1.18671 | 32 |
| 50 | 1.46947 | 31 | 1.16894 | 31 | 1.16794 | 31 | 50 | 1.48852 | 33 | 1.18795 | 32 | 1.18703 | 33 |
| 7 | 1.46978 | 31 | 1.16925 | 31 | 1.16825 | 31 | 17 | 1.48885 | 32 | 1.18827 | 33 | 1.18736 | 32 |
| 10 | 1.47009 | 31 | 1.16956 | 31 | 1.16856 | 32 | 10 | 1.48917 | 33 | 1.18860 | 32 | 1.18768 | 33 |
| 20 | 1.47040 | 32 | 1.16987 | 31 | 1.16888 | 31 | 20 | 1.48950 | 32 | 1.18892 | 33 | 1.18801 | 33 |
| 30 | 1.47072 | 31 | 1.17018 | 31 | 1.16919 | 31 | 30 | 1.48982 | 32 | 1.18925 | 32 | 1.18834 | 32 |
| 40 | 1.47103 | 31 | 1.17049 | 31 | 1.16950 | 31 | 40 | 1.49015 | 32 | 1.18957 | 33 | 1.18866 | 33 |
| 50 | 1.47134 | 31 | 1.17080 | 32 | 1.16981 | 32 | 50 | 1.49047 | 33 | 1.18990 | 32 | 1.18899 | 33 |
| 8 | 1.47165 | 31 | 1.17112 | 31 | 1.17013 | 31 | 18 | 1.49080 | 33 | 1.19022 | 33 | 1.18932 | 32 |
| 10 | 1.47196 | 32 | 1.17143 | 31 | 1.17044 | 31 | 10 | 1.49113 | 32 | 1.19055 | 32 | 1.18964 | 33 |
| 20 | 1.47228 | 31 | 1.17174 | 31 | 1.17075 | 32 | 20 | 1.49145 | 32 | 1.19087 | 33 | 1.18997 | 33 |
| 30 | 1.47259 | 31 | 1.17205 | 31 | 1.17107 | 31 | 30 | 1.49178 | 32 | 1.19120 | 33 | 1.19030 | 33 |
| 40 | 1.47290 | 31 | 1.17236 | 32 | 1.17138 | 31 | 40 | 1.49211 | 32 | 1.19153 | 32 | 1.19063 | 33 |
| 50 | 1.47321 | 32 | 1.17268 | 31 | 1.17169 | 32 | 50 | 1.49243 | 33 | 1.19185 | 33 | 1.19095 | 33 |
| 9 | 1.47353 | 31 | 1.17299 | 31 | 1.17201 | 31 | 19 | 1.49276 | 33 | 1.19218 | 33 | 1.19128 | 33 |
| 10 | 1.47384 | 32 | 1.17330 | 31 | 1.17232 | 32 | 10 | 1.49309 | 33 | 1.19251 | 33 | 1.19161 | 33 |
| 20 | 1.47416 | 31 | 1.17361 | 32 | 1.17264 | 31 | 20 | 1.49342 | 33 | 1.19284 | 32 | 1.19194 | 33 |
| 30 | 1.47447 | 31 | 1.17393 | 31 | 1.17295 | 32 | 30 | 1.49375 | 32 | 1.19316 | 33 | 1.19227 | 33 |
| 40 | 1.47478 | 32 | 1.17424 | 32 | 1.17327 | 32 | 40 | 1.49407 | 32 | 1.19349 | 33 | 1.19260 | 33 |
| 50 | 1.47510 | 31 | 1.17456 | 31 | 1.17358 | 32 | 50 | 1.49440 | 33 | 1.19382 | 33 | 1.19293 | 33 |
| 10 | 1.47541 | 31 | 1.17487 | 31 | 1.17390 | 32 | 20 | 1.49473 | 33 | 1.19415 | 33 | 1.19326 | 33 |

| ω | z' | Diff. | $\log \cos z$ | Diff. | $\log \sin z$ | Diff. | ω | z' | Diff. | $\log \cos z$ | Diff. | $\log \sin z$ | Diff. |
|----------|---------|-------|---------------|-------|---------------|-------|----------|---------|-------|---------------|-------|---------------|-------|
| 20 | 1.49473 | 33 | 1.19415 | 33 | 1.19326 | 33 | 30 | 1.51495 | 34 | 1.21432 | 35 | 1.21351 | 35 |
| 20 | 1.49506 | 33 | 1.19448 | 33 | 1.19359 | 33 | 10 | 1.51529 | 35 | 1.21467 | 34 | 1.21386 | 35 |
| 20 | 1.49539 | 33 | 1.19481 | 32 | 1.19392 | 33 | 20 | 1.51564 | 35 | 1.21501 | 35 | 1.21421 | 34 |
| 20 | 1.49572 | 33 | 1.19513 | 33 | 1.19425 | 33 | 30 | 1.51599 | 34 | 1.21536 | 34 | 1.21455 | 35 |
| 40 | 1.49605 | 33 | 1.19546 | 33 | 1.19458 | 33 | 40 | 1.51633 | 35 | 1.21570 | 35 | 1.21490 | 35 |
| 50 | 1.49638 | 33 | 1.19579 | 33 | 1.19491 | 33 | 50 | 1.51668 | 35 | 1.21605 | 35 | 1.21525 | 34 |
| 21 | 1.49671 | 33 | 1.19612 | 33 | 1.19524 | 33 | 31 | 1.51702 | 35 | 1.21640 | 34 | 1.21559 | 35 |
| 10 | 1.49704 | 33 | 1.19645 | 33 | 1.19557 | 34 | 10 | 1.51737 | 35 | 1.21674 | 35 | 1.21594 | 35 |
| 20 | 1.49737 | 34 | 1.19678 | 33 | 1.19591 | 33 | 20 | 1.51772 | 34 | 1.21709 | 34 | 1.21629 | 34 |
| 30 | 1.49771 | 33 | 1.19711 | 34 | 1.19624 | 33 | 30 | 1.51806 | 35 | 1.21743 | 35 | 1.21663 | 35 |
| 40 | 1.49804 | 33 | 1.19745 | 33 | 1.19657 | 33 | 40 | 1.51841 | 35 | 1.21778 | 35 | 1.21698 | 35 |
| 50 | 1.49837 | 33 | 1.19778 | 33 | 1.19690 | 33 | 50 | 1.51876 | 35 | 1.21813 | 35 | 1.21733 | 35 |
| 22 | 1.49870 | 33 | 1.19811 | 33 | 1.19723 | 34 | 32 | 1.51911 | 35 | 1.21848 | 34 | 1.21768 | 35 |
| 10 | 1.49903 | 34 | 1.19844 | 33 | 1.19757 | 33 | 10 | 1.51946 | 35 | 1.21882 | 35 | 1.21803 | 35 |
| 20 | 1.49937 | 33 | 1.19877 | 33 | 1.19790 | 33 | 20 | 1.51980 | 35 | 1.21917 | 35 | 1.21838 | 35 |
| 30 | 1.49970 | 33 | 1.19910 | 34 | 1.19823 | 34 | 30 | 1.52015 | 35 | 1.21952 | 35 | 1.21873 | 35 |
| 40 | 1.50003 | 33 | 1.19944 | 33 | 1.19857 | 33 | 40 | 1.52050 | 35 | 1.21987 | 35 | 1.21908 | 35 |
| 50 | 1.50037 | 33 | 1.19967 | 33 | 1.19890 | 34 | 50 | 1.52085 | 35 | 1.22022 | 35 | 1.21943 | 35 |
| 23 | 1.50070 | 33 | 1.20010 | 34 | 1.19924 | 33 | 33 | 1.52120 | 35 | 1.22057 | 35 | 1.21978 | 35 |
| 10 | 1.50103 | 34 | 1.20044 | 33 | 1.19957 | 34 | 10 | 1.52155 | 35 | 1.22092 | 35 | 1.22013 | 35 |
| 20 | 1.50137 | 33 | 1.20077 | 33 | 1.19991 | 33 | 20 | 1.52190 | 35 | 1.22127 | 35 | 1.22048 | 35 |
| 30 | 1.50170 | 34 | 1.20110 | 34 | 1.20024 | 34 | 30 | 1.52225 | 35 | 1.22162 | 35 | 1.22083 | 35 |
| 40 | 1.50204 | 33 | 1.20144 | 33 | 1.20058 | 33 | 40 | 1.52260 | 35 | 1.22197 | 35 | 1.22118 | 35 |
| 50 | 1.50237 | 34 | 1.20177 | 34 | 1.20091 | 34 | 50 | 1.52295 | 35 | 1.22232 | 35 | 1.22153 | 36 |
| 24 | 1.50271 | 33 | 1.20211 | 33 | 1.20125 | 33 | 34 | 1.52330 | 35 | 1.22267 | 35 | 1.22188 | 35 |
| 10 | 1.50304 | 34 | 1.20244 | 34 | 1.20158 | 34 | 10 | 1.52365 | 35 | 1.22302 | 35 | 1.22223 | 35 |
| 20 | 1.50338 | 33 | 1.20278 | 33 | 1.20192 | 34 | 20 | 1.52400 | 35 | 1.22337 | 35 | 1.22258 | 35 |
| 30 | 1.50371 | 34 | 1.20311 | 34 | 1.20226 | 33 | 30 | 1.52435 | 36 | 1.22372 | 35 | 1.22293 | 36 |
| 40 | 1.50405 | 34 | 1.20345 | 33 | 1.20259 | 34 | 40 | 1.52470 | 35 | 1.22407 | 35 | 1.22328 | 35 |
| 50 | 1.50439 | 33 | 1.20378 | 34 | 1.20293 | 34 | 50 | 1.52505 | 35 | 1.22442 | 36 | 1.22363 | 35 |
| 25 | 1.50472 | 34 | 1.20412 | 33 | 1.20327 | 34 | 35 | 1.52540 | 35 | 1.22477 | 35 | 1.22398 | 36 |
| 10 | 1.50506 | 34 | 1.20445 | 34 | 1.20361 | 33 | 10 | 1.52575 | 35 | 1.22513 | 35 | 1.22433 | 35 |
| 20 | 1.50540 | 34 | 1.20479 | 34 | 1.20394 | 34 | 20 | 1.52610 | 35 | 1.22548 | 36 | 1.22468 | 36 |
| 30 | 1.50574 | 33 | 1.20513 | 34 | 1.20428 | 34 | 30 | 1.52645 | 35 | 1.22583 | 35 | 1.22503 | 35 |
| 40 | 1.50607 | 33 | 1.20547 | 35 | 1.20462 | 34 | 40 | 1.52680 | 36 | 1.22618 | 35 | 1.22538 | 35 |
| 50 | 1.50641 | 34 | 1.20580 | 34 | 1.20496 | 34 | 50 | 1.52715 | 36 | 1.22653 | 36 | 1.22573 | 35 |
| 26 | 1.50675 | 34 | 1.20614 | 34 | 1.20530 | 34 | 36 | 1.52750 | 35 | 1.22688 | 35 | 1.22608 | 36 |
| 10 | 1.50709 | 34 | 1.20648 | 34 | 1.20564 | 34 | 10 | 1.52785 | 35 | 1.22723 | 35 | 1.22643 | 36 |
| 20 | 1.50743 | 34 | 1.20682 | 34 | 1.20598 | 34 | 20 | 1.52820 | 35 | 1.22758 | 35 | 1.22678 | 36 |
| 30 | 1.50777 | 34 | 1.20716 | 35 | 1.20632 | 34 | 30 | 1.52855 | 36 | 1.22793 | 35 | 1.22713 | 36 |
| 40 | 1.50811 | 34 | 1.20749 | 33 | 1.20666 | 34 | 40 | 1.52890 | 36 | 1.22828 | 35 | 1.22748 | 36 |
| 50 | 1.50845 | 34 | 1.20783 | 34 | 1.20700 | 34 | 50 | 1.52925 | 36 | 1.22863 | 36 | 1.22783 | 36 |
| 27 | 1.50879 | 34 | 1.20817 | 34 | 1.20734 | 34 | 37 | 1.52960 | 36 | 1.22898 | 36 | 1.22818 | 36 |
| 10 | 1.50913 | 34 | 1.20851 | 34 | 1.20768 | 34 | 10 | 1.53000 | 36 | 1.22933 | 36 | 1.22853 | 36 |
| 20 | 1.50947 | 34 | 1.20885 | 34 | 1.20802 | 34 | 20 | 1.53040 | 35 | 1.22974 | 36 | 1.22894 | 36 |
| 30 | 1.50981 | 34 | 1.20919 | 34 | 1.20836 | 34 | 30 | 1.53080 | 35 | 1.23010 | 36 | 1.22935 | 36 |
| 40 | 1.51015 | 34 | 1.20953 | 34 | 1.20870 | 34 | 40 | 1.53115 | 36 | 1.23046 | 35 | 1.22976 | 36 |
| 50 | 1.51049 | 34 | 1.20987 | 34 | 1.20904 | 35 | 50 | 1.53150 | 36 | 1.23081 | 36 | 1.23017 | 36 |
| 28 | 1.51083 | 34 | 1.21021 | 34 | 1.20939 | 34 | 38 | 1.53185 | 36 | 1.23117 | 36 | 1.23052 | 36 |
| 10 | 1.51117 | 34 | 1.21055 | 34 | 1.20973 | 34 | 10 | 1.53220 | 36 | 1.23153 | 36 | 1.23087 | 36 |
| 20 | 1.51151 | 34 | 1.21090 | 35 | 1.21007 | 35 | 20 | 1.53255 | 35 | 1.23189 | 36 | 1.23122 | 36 |
| 30 | 1.51186 | 34 | 1.21124 | 34 | 1.21042 | 34 | 30 | 1.53290 | 36 | 1.23225 | 36 | 1.23157 | 36 |
| 40 | 1.51220 | 34 | 1.21158 | 34 | 1.21076 | 34 | 40 | 1.53325 | 36 | 1.23261 | 36 | 1.23192 | 36 |
| 50 | 1.51254 | 34 | 1.21192 | 34 | 1.21110 | 35 | 50 | 1.53360 | 36 | 1.23297 | 36 | 1.23227 | 36 |
| 29 | 1.51289 | 35 | 1.21226 | 34 | 1.21145 | 34 | 39 | 1.53395 | 36 | 1.23333 | 36 | 1.23262 | 36 |
| 10 | 1.51323 | 34 | 1.21261 | 35 | 1.21179 | 34 | 10 | 1.53430 | 37 | 1.23369 | 36 | 1.23297 | 36 |
| 20 | 1.51357 | 35 | 1.21295 | 34 | 1.21213 | 35 | 20 | 1.53465 | 37 | 1.23405 | 36 | 1.23332 | 36 |
| 30 | 1.51392 | 34 | 1.21329 | 35 | 1.21248 | 34 | 30 | 1.53500 | 36 | 1.23441 | 36 | 1.23367 | 36 |
| 40 | 1.51426 | 34 | 1.21364 | 35 | 1.21282 | 34 | 40 | 1.53535 | 36 | 1.23477 | 36 | 1.23402 | 36 |
| 50 | 1.51460 | 34 | 1.21398 | 34 | 1.21317 | 35 | 50 | 1.53570 | 36 | 1.23513 | 36 | 1.23437 | 36 |
| 30 | 1.51495 | 35 | 1.21432 | 34 | 1.21351 | 34 | 40 | 1.53605 | 36 | 1.23549 | 36 | 1.23472 | 36 |

| ω | z' | Diff. | $\log \cos z$ | Diff. | $\log \sin z$ | Diff. | ω | z' | Diff. | $\log \cos z$ | Diff. | $\log \sin z$ | Diff. |
|----------|---------|-------|---------------|-------|---------------|-------|----------|---------|-------|---------------|-------|---------------|-------|
| 40 | 1.53615 | | 1.23549 | | 1.23475 | | 50 | 1.55844 | | 1.25774 | | 1.25708 | |
| 10 | 1.53651 | 36 | 1.23585 | 36 | 1.23512 | 37 | 10 | 1.55882 | 38 | 1.25812 | 38 | 1.25746 | 38 |
| 20 | 1.53688 | 37 | 1.23621 | 36 | 1.23548 | 36 | 20 | 1.55920 | 38 | 1.25850 | 38 | 1.25784 | 38 |
| 30 | 1.53724 | 36 | 1.23657 | 36 | 1.23584 | 36 | 30 | 1.55958 | 38 | 1.25888 | 38 | 1.25822 | 38 |
| 40 | 1.53760 | 36 | 1.23694 | 37 | 1.23621 | 37 | 40 | 1.55997 | 39 | 1.25927 | 39 | 1.25861 | 39 |
| 50 | 1.53797 | 37 | 1.23730 | 36 | 1.23657 | 36 | 50 | 1.56035 | 38 | 1.25965 | 38 | 1.25899 | 38 |
| 41 | 1.53833 | | 1.23766 | | 1.23694 | | 51 | 1.56073 | | 1.26003 | | 1.25937 | |
| 10 | 1.53869 | 36 | 1.23803 | 37 | 1.23730 | 36 | 10 | 1.56112 | 39 | 1.26041 | 38 | 1.25976 | 38 |
| 20 | 1.53906 | 37 | 1.23839 | 36 | 1.23767 | 36 | 20 | 1.56150 | 38 | 1.26080 | 39 | 1.26014 | 39 |
| 30 | 1.53942 | 36 | 1.23875 | 35 | 1.23803 | 36 | 30 | 1.56188 | 39 | 1.26118 | 38 | 1.26053 | 39 |
| 40 | 1.53979 | 37 | 1.23912 | 37 | 1.23840 | 37 | 40 | 1.56227 | 39 | 1.26156 | 38 | 1.26091 | 38 |
| 50 | 1.54015 | 36 | 1.23948 | 36 | 1.23876 | 36 | 50 | 1.56265 | 38 | 1.26195 | 39 | 1.26130 | 39 |
| 42 | 1.54052 | | 1.23985 | | 1.23913 | | 52 | 1.56304 | | 1.26233 | | 1.26168 | |
| 10 | 1.54088 | 36 | 1.24021 | 36 | 1.23949 | 36 | 10 | 1.56342 | 38 | 1.26272 | 39 | 1.26207 | 39 |
| 20 | 1.54125 | 37 | 1.24058 | 37 | 1.23986 | 37 | 20 | 1.56381 | 39 | 1.26310 | 38 | 1.26246 | 38 |
| 30 | 1.54162 | 36 | 1.24095 | 37 | 1.24023 | 37 | 30 | 1.56419 | 39 | 1.26349 | 39 | 1.26284 | 39 |
| 40 | 1.54198 | 37 | 1.24131 | 36 | 1.24060 | 37 | 40 | 1.56458 | 39 | 1.26387 | 38 | 1.26323 | 39 |
| 50 | 1.54235 | 37 | 1.24168 | 37 | 1.24096 | 36 | 50 | 1.56497 | 39 | 1.26426 | 39 | 1.26362 | 38 |
| 43 | 1.54272 | | 1.24195 | | 1.24133 | | 53 | 1.56536 | | 1.26465 | | 1.26400 | |
| 10 | 1.54309 | 36 | 1.24231 | 36 | 1.24170 | 37 | 10 | 1.56574 | 38 | 1.26503 | 38 | 1.26439 | 39 |
| 20 | 1.54345 | 36 | 1.24268 | 37 | 1.24207 | 37 | 20 | 1.56613 | 39 | 1.26542 | 39 | 1.26478 | 39 |
| 30 | 1.54382 | 37 | 1.24315 | 37 | 1.24244 | 37 | 30 | 1.56652 | 39 | 1.26581 | 39 | 1.26517 | 39 |
| 40 | 1.54419 | 37 | 1.24352 | 37 | 1.24281 | 37 | 40 | 1.56691 | 39 | 1.26620 | 39 | 1.26556 | 39 |
| 50 | 1.54456 | 37 | 1.24388 | 36 | 1.24318 | 37 | 50 | 1.56730 | 38 | 1.26658 | 38 | 1.26595 | 39 |
| 44 | 1.54493 | | 1.24425 | | 1.24355 | | 54 | 1.56768 | | 1.26697 | | 1.26634 | |
| 10 | 1.54530 | 37 | 1.24462 | 37 | 1.24392 | 37 | 10 | 1.56807 | 39 | 1.26736 | 39 | 1.26673 | 39 |
| 20 | 1.54567 | 37 | 1.24499 | 37 | 1.24429 | 37 | 20 | 1.56846 | 39 | 1.26775 | 39 | 1.26712 | 39 |
| 30 | 1.54604 | 37 | 1.24536 | 37 | 1.24466 | 37 | 30 | 1.56885 | 39 | 1.26814 | 39 | 1.26751 | 39 |
| 40 | 1.54641 | 37 | 1.24573 | 37 | 1.24503 | 37 | 40 | 1.56925 | 39 | 1.26853 | 39 | 1.26790 | 39 |
| 50 | 1.54678 | 37 | 1.24610 | 37 | 1.24540 | 37 | 50 | 1.56964 | 39 | 1.26892 | 39 | 1.26829 | 39 |
| 45 | 1.54715 | | 1.24647 | | 1.24577 | | 55 | 1.57003 | | 1.26931 | | 1.26868 | |
| 10 | 1.54752 | 37 | 1.24685 | 37 | 1.24615 | 38 | 10 | 1.57042 | 39 | 1.26970 | 39 | 1.26907 | 40 |
| 20 | 1.54790 | 38 | 1.24721 | 38 | 1.24652 | 37 | 20 | 1.57081 | 39 | 1.27009 | 40 | 1.26947 | 39 |
| 30 | 1.54827 | 37 | 1.24759 | 37 | 1.24689 | 37 | 30 | 1.57120 | 40 | 1.27049 | 39 | 1.26986 | 39 |
| 40 | 1.54864 | 37 | 1.24795 | 37 | 1.24726 | 38 | 40 | 1.57159 | 39 | 1.27088 | 39 | 1.27025 | 40 |
| 50 | 1.54901 | 38 | 1.24833 | 37 | 1.24764 | 37 | 50 | 1.57199 | 39 | 1.27127 | 39 | 1.27065 | 39 |
| 46 | 1.54939 | | 1.24870 | | 1.24801 | | 56 | 1.57238 | | 1.27166 | | 1.27104 | |
| 10 | 1.54976 | 37 | 1.24908 | 38 | 1.24838 | 38 | 10 | 1.57278 | 39 | 1.27206 | 39 | 1.27144 | 40 |
| 20 | 1.55013 | 38 | 1.24945 | 37 | 1.24876 | 38 | 20 | 1.57317 | 39 | 1.27245 | 39 | 1.27183 | 40 |
| 30 | 1.55051 | 37 | 1.24982 | 38 | 1.24913 | 38 | 30 | 1.57356 | 40 | 1.27284 | 40 | 1.27223 | 39 |
| 40 | 1.55088 | 38 | 1.25020 | 37 | 1.24951 | 38 | 40 | 1.57396 | 39 | 1.27324 | 39 | 1.27262 | 40 |
| 50 | 1.55126 | 37 | 1.25057 | 37 | 1.24988 | 38 | 50 | 1.57435 | 40 | 1.27363 | 40 | 1.27302 | 39 |
| 47 | 1.55163 | | 1.25094 | | 1.25026 | | 57 | 1.57475 | | 1.27403 | | 1.27341 | |
| 10 | 1.55201 | 37 | 1.25132 | 37 | 1.25064 | 37 | 10 | 1.57515 | 39 | 1.27442 | 40 | 1.27381 | 40 |
| 20 | 1.55238 | 38 | 1.25169 | 38 | 1.25101 | 38 | 20 | 1.57554 | 40 | 1.27482 | 40 | 1.27421 | 39 |
| 30 | 1.55276 | 38 | 1.25207 | 38 | 1.25139 | 38 | 30 | 1.57594 | 40 | 1.27522 | 39 | 1.27460 | 40 |
| 40 | 1.55314 | 37 | 1.25245 | 37 | 1.25177 | 37 | 40 | 1.57634 | 39 | 1.27561 | 40 | 1.27500 | 40 |
| 50 | 1.55351 | 38 | 1.25282 | 38 | 1.25214 | 38 | 50 | 1.57673 | 40 | 1.27601 | 40 | 1.27540 | 40 |
| 48 | 1.55389 | | 1.25320 | | 1.25252 | | 58 | 1.57713 | | 1.27641 | | 1.27580 | |
| 10 | 1.55427 | 37 | 1.25358 | 37 | 1.25290 | 38 | 10 | 1.57753 | 40 | 1.27680 | 40 | 1.27620 | 39 |
| 20 | 1.55464 | 38 | 1.25395 | 38 | 1.25328 | 38 | 20 | 1.57793 | 40 | 1.27720 | 40 | 1.27659 | 40 |
| 30 | 1.55502 | 38 | 1.25433 | 38 | 1.25366 | 37 | 30 | 1.57833 | 40 | 1.27760 | 40 | 1.27699 | 40 |
| 40 | 1.55540 | 38 | 1.25471 | 38 | 1.25403 | 38 | 40 | 1.57873 | 40 | 1.27800 | 40 | 1.27739 | 40 |
| 50 | 1.55578 | 38 | 1.25509 | 37 | 1.25441 | 38 | 50 | 1.57913 | 39 | 1.27840 | 40 | 1.27779 | 40 |
| 49 | 1.55616 | | 1.25546 | | 1.25479 | | 59 | 1.57952 | | 1.27880 | | 1.27819 | |
| 10 | 1.55654 | 38 | 1.25584 | 38 | 1.25517 | 38 | 10 | 1.57993 | 40 | 1.27920 | 40 | 1.27859 | 41 |
| 20 | 1.55692 | 38 | 1.25622 | 38 | 1.25555 | 38 | 20 | 1.58033 | 40 | 1.27960 | 40 | 1.27900 | 40 |
| 30 | 1.55730 | 38 | 1.25660 | 38 | 1.25593 | 38 | 30 | 1.58073 | 40 | 1.28000 | 40 | 1.27940 | 40 |
| 40 | 1.55768 | 38 | 1.25698 | 38 | 1.25631 | 39 | 40 | 1.58113 | 40 | 1.28040 | 40 | 1.27980 | 40 |
| 50 | 1.55806 | 38 | 1.25736 | 38 | 1.25670 | 38 | 50 | 1.58153 | 40 | 1.28080 | 40 | 1.28020 | 40 |
| 50 | 1.55844 | | 1.25774 | | 1.25708 | | 60 | 1.58193 | | 1.28120 | | 1.28060 | |

| ω | ϵ' | <i>Diff.</i> | <i>log Cos z</i> | <i>Diff.</i> | <i>log Sin z</i> | <i>Diff.</i> | ω | ϵ' | <i>Diff.</i> | <i>log Cos z</i> | <i>Diff.</i> | <i>log Sin z</i> | <i>Diff.</i> |
|----------|-------------|--------------|------------------|--------------|------------------|--------------|----------|-------------|--------------|------------------|--------------|------------------|--------------|
| 0 | 1.58193 | 40 | 1.28120 | 40 | 1.28060 | 41 | 10 | 1.60677 | 42 | 1.30600 | 43 | 1.30547 | 43 |
| 10 | 1.58233 | 41 | 1.28160 | 40 | 1.28101 | 40 | 20 | 1.60719 | 43 | 1.30643 | 42 | 1.30590 | 42 |
| 20 | 1.58274 | 40 | 1.28200 | 41 | 1.28141 | 40 | 30 | 1.60762 | 43 | 1.30685 | 43 | 1.30632 | 43 |
| 30 | 1.58314 | 40 | 1.28241 | 40 | 1.28181 | 41 | 40 | 1.60805 | 42 | 1.30728 | 43 | 1.30675 | 43 |
| 40 | 1.58354 | 41 | 1.28281 | 40 | 1.28222 | 40 | 50 | 1.60847 | 43 | 1.30771 | 42 | 1.30718 | 43 |
| 50 | 1.58395 | 40 | 1.28321 | 40 | 1.28262 | 41 | 10 | 1.60890 | 43 | 1.30813 | 43 | 1.30761 | 43 |
| 1 | 1.58435 | 41 | 1.28362 | 40 | 1.28303 | 40 | 11 | 1.60933 | 43 | 1.30856 | 43 | 1.30804 | 43 |
| 10 | 1.58476 | 40 | 1.28402 | 41 | 1.28343 | 41 | 20 | 1.60976 | 43 | 1.30899 | 43 | 1.30847 | 43 |
| 20 | 1.58516 | 41 | 1.28443 | 40 | 1.28384 | 41 | 30 | 1.61019 | 43 | 1.30942 | 43 | 1.30890 | 43 |
| 30 | 1.58557 | 40 | 1.28483 | 41 | 1.28425 | 40 | 40 | 1.61062 | 43 | 1.30985 | 43 | 1.30933 | 43 |
| 40 | 1.58597 | 41 | 1.28524 | 40 | 1.28465 | 41 | 50 | 1.61105 | 43 | 1.31028 | 43 | 1.30976 | 43 |
| 50 | 1.58638 | 41 | 1.28564 | 41 | 1.28506 | 41 | 10 | 1.61148 | 43 | 1.31071 | 43 | 1.31019 | 43 |
| 1 | 1.58679 | 40 | 1.28605 | 40 | 1.28547 | 40 | 12 | 1.61191 | 43 | 1.31114 | 43 | 1.31062 | 43 |
| 10 | 1.58719 | 41 | 1.28645 | 41 | 1.28587 | 41 | 20 | 1.61234 | 43 | 1.31157 | 43 | 1.31105 | 43 |
| 20 | 1.58760 | 41 | 1.28686 | 41 | 1.28628 | 41 | 30 | 1.61277 | 43 | 1.31200 | 43 | 1.31148 | 43 |
| 30 | 1.58801 | 41 | 1.28727 | 41 | 1.28669 | 41 | 40 | 1.61320 | 43 | 1.31243 | 43 | 1.31192 | 43 |
| 40 | 1.58842 | 41 | 1.28768 | 40 | 1.28710 | 41 | 50 | 1.61363 | 43 | 1.31286 | 43 | 1.31235 | 43 |
| 50 | 1.58883 | 41 | 1.28808 | 41 | 1.28751 | 41 | 10 | 1.61406 | 43 | 1.31329 | 43 | 1.31278 | 43 |
| 1 | 1.58924 | 41 | 1.28849 | 41 | 1.28792 | 41 | 15 | 1.61449 | 43 | 1.31372 | 43 | 1.31321 | 43 |
| 10 | 1.58964 | 41 | 1.28890 | 41 | 1.28833 | 41 | 20 | 1.61491 | 43 | 1.31416 | 43 | 1.31364 | 43 |
| 20 | 1.59005 | 41 | 1.28931 | 41 | 1.28874 | 41 | 30 | 1.61533 | 43 | 1.31460 | 43 | 1.31408 | 43 |
| 30 | 1.59046 | 41 | 1.28972 | 41 | 1.28915 | 41 | 40 | 1.61576 | 43 | 1.31503 | 43 | 1.31452 | 43 |
| 40 | 1.59087 | 42 | 1.29013 | 41 | 1.28956 | 41 | 50 | 1.61619 | 43 | 1.31546 | 43 | 1.31495 | 43 |
| 50 | 1.59129 | 41 | 1.29054 | 41 | 1.28997 | 41 | 10 | 1.61662 | 43 | 1.31590 | 43 | 1.31539 | 43 |
| 1 | 1.59170 | 41 | 1.29095 | 41 | 1.29038 | 41 | 14 | 1.61705 | 43 | 1.31633 | 43 | 1.31583 | 43 |
| 10 | 1.59211 | 41 | 1.29136 | 41 | 1.29079 | 42 | 20 | 1.61748 | 43 | 1.31677 | 43 | 1.31627 | 43 |
| 20 | 1.59252 | 41 | 1.29177 | 42 | 1.29121 | 41 | 30 | 1.61791 | 43 | 1.31721 | 43 | 1.31670 | 43 |
| 30 | 1.59293 | 42 | 1.29219 | 41 | 1.29162 | 41 | 40 | 1.61834 | 43 | 1.31764 | 43 | 1.31714 | 43 |
| 40 | 1.59335 | 41 | 1.29260 | 41 | 1.29203 | 42 | 50 | 1.61877 | 43 | 1.31808 | 43 | 1.31758 | 43 |
| 50 | 1.59376 | 41 | 1.29301 | 41 | 1.29245 | 41 | 10 | 1.61920 | 43 | 1.31852 | 43 | 1.31802 | 43 |
| 1 | 1.59417 | 42 | 1.29342 | 42 | 1.29286 | 41 | 13 | 1.61963 | 43 | 1.31896 | 43 | 1.31846 | 43 |
| 10 | 1.59459 | 41 | 1.29384 | 42 | 1.29327 | 42 | 20 | 1.62006 | 43 | 1.31940 | 43 | 1.31890 | 43 |
| 20 | 1.59500 | 42 | 1.29425 | 41 | 1.29369 | 42 | 30 | 1.62049 | 43 | 1.31983 | 43 | 1.31933 | 43 |
| 30 | 1.59542 | 41 | 1.29466 | 42 | 1.29411 | 41 | 40 | 1.62092 | 43 | 1.32027 | 43 | 1.31978 | 43 |
| 40 | 1.59583 | 42 | 1.29508 | 42 | 1.29452 | 42 | 50 | 1.62135 | 43 | 1.32071 | 43 | 1.32022 | 43 |
| 50 | 1.59625 | 42 | 1.29549 | 42 | 1.29494 | 41 | 10 | 1.62178 | 43 | 1.32115 | 43 | 1.32066 | 43 |
| 1 | 1.59666 | 42 | 1.29591 | 42 | 1.29535 | 42 | 16 | 1.62221 | 43 | 1.32159 | 43 | 1.32110 | 43 |
| 10 | 1.59708 | 42 | 1.29633 | 41 | 1.29577 | 42 | 20 | 1.62264 | 43 | 1.32202 | 43 | 1.32154 | 43 |
| 20 | 1.59750 | 41 | 1.29674 | 42 | 1.29619 | 42 | 30 | 1.62307 | 43 | 1.32246 | 43 | 1.32199 | 43 |
| 30 | 1.59791 | 41 | 1.29716 | 42 | 1.29661 | 41 | 40 | 1.62350 | 43 | 1.32289 | 43 | 1.32243 | 43 |
| 40 | 1.59833 | 42 | 1.29758 | 41 | 1.29702 | 42 | 50 | 1.62393 | 43 | 1.32333 | 43 | 1.32287 | 43 |
| 50 | 1.59875 | 42 | 1.29799 | 41 | 1.29744 | 42 | 10 | 1.62436 | 43 | 1.32376 | 43 | 1.32332 | 43 |
| 1 | 1.59917 | 41 | 1.29841 | 42 | 1.29786 | 42 | 17 | 1.62479 | 43 | 1.32420 | 43 | 1.32376 | 43 |
| 10 | 1.59958 | 41 | 1.29883 | 42 | 1.29828 | 42 | 20 | 1.62522 | 43 | 1.32463 | 43 | 1.32421 | 43 |
| 20 | 1.60000 | 42 | 1.29925 | 42 | 1.29870 | 42 | 30 | 1.62565 | 43 | 1.32507 | 43 | 1.32465 | 43 |
| 30 | 1.60042 | 42 | 1.29967 | 42 | 1.29912 | 42 | 40 | 1.62608 | 43 | 1.32550 | 43 | 1.32510 | 43 |
| 40 | 1.60084 | 42 | 1.30009 | 42 | 1.29954 | 42 | 50 | 1.62651 | 43 | 1.32594 | 43 | 1.32554 | 43 |
| 50 | 1.60126 | 42 | 1.30051 | 42 | 1.29996 | 42 | 10 | 1.62694 | 43 | 1.32638 | 43 | 1.32599 | 43 |
| 1 | 1.60168 | 43 | 1.30093 | 42 | 1.30038 | 42 | 18 | 1.62737 | 43 | 1.32682 | 43 | 1.32643 | 43 |
| 10 | 1.60210 | 43 | 1.30135 | 42 | 1.30080 | 42 | 20 | 1.62780 | 43 | 1.32726 | 43 | 1.32687 | 43 |
| 20 | 1.60253 | 42 | 1.30177 | 42 | 1.30123 | 43 | 30 | 1.62823 | 43 | 1.32770 | 43 | 1.32731 | 43 |
| 30 | 1.60295 | 42 | 1.30219 | 42 | 1.30165 | 42 | 40 | 1.62866 | 43 | 1.32814 | 43 | 1.32775 | 43 |
| 40 | 1.60337 | 42 | 1.30261 | 42 | 1.30207 | 42 | 50 | 1.62909 | 43 | 1.32858 | 43 | 1.32819 | 43 |
| 50 | 1.60379 | 43 | 1.30303 | 43 | 1.30250 | 43 | 10 | 1.62952 | 43 | 1.32902 | 43 | 1.32863 | 43 |
| 1 | 1.60422 | 42 | 1.30346 | 42 | 1.30292 | 42 | 19 | 1.62995 | 43 | 1.32946 | 43 | 1.32907 | 43 |
| 10 | 1.60464 | 42 | 1.30388 | 42 | 1.30334 | 42 | 20 | 1.63038 | 43 | 1.32990 | 43 | 1.32951 | 43 |
| 20 | 1.60507 | 42 | 1.30430 | 42 | 1.30377 | 43 | 30 | 1.63081 | 43 | 1.33034 | 43 | 1.32995 | 43 |
| 30 | 1.60549 | 43 | 1.30473 | 42 | 1.30419 | 42 | 40 | 1.63124 | 43 | 1.33078 | 43 | 1.33039 | 43 |
| 40 | 1.60592 | 43 | 1.30515 | 42 | 1.30462 | 43 | 50 | 1.63167 | 43 | 1.33122 | 43 | 1.33083 | 43 |
| 50 | 1.60634 | 43 | 1.30558 | 43 | 1.30504 | 42 | 10 | 1.63210 | 43 | 1.33166 | 43 | 1.33127 | 43 |
| 10 | 1.60677 | 43 | 1.30600 | 43 | 1.30547 | 43 | 20 | 1.63253 | 43 | 1.33210 | 43 | 1.33171 | 43 |

| ω | z' | Diff. | $\log \cos z$ | Diff. | $\log \sin z$ | Diff. | ω | z' | Diff. | $\log \cos z$ | Diff. | $\log \sin z$ | Diff. |
|----------|---------|-------|---------------|-------|---------------|-------|----------|---------|-------|---------------|-------|---------------|-------|
| 20 | 1.63311 | 45 | 1.33231 | 45 | 1.31184 | 45 | 30 | 1.66114 | 49 | 1.39032 | 48 | 1.35991 | 48 |
| 10 | 1.63356 | 45 | 1.33276 | 45 | 1.33229 | 45 | 10 | 1.66163 | 49 | 1.39080 | 48 | 1.36039 | 48 |
| 20 | 1.63401 | 45 | 1.33322 | 46 | 1.33275 | 46 | 20 | 1.66211 | 48 | 1.39129 | 48 | 1.36087 | 49 |
| 30 | 1.63447 | 46 | 1.33367 | 45 | 1.33320 | 45 | 30 | 1.66259 | 48 | 1.39177 | 48 | 1.36136 | 48 |
| 40 | 1.63492 | 45 | 1.33412 | 45 | 1.33366 | 46 | 40 | 1.66308 | 48 | 1.39225 | 48 | 1.36184 | 48 |
| 50 | 1.63537 | 45 | 1.33458 | 46 | 1.33411 | 46 | 50 | 1.66356 | 48 | 1.39274 | 48 | 1.36233 | 49 |
| 21 | 1.63583 | 46 | 1.33503 | 45 | 1.33457 | 46 | 31 | 1.66405 | 49 | 1.39322 | 48 | 1.36282 | 48 |
| 10 | 1.63628 | 45 | 1.33549 | 46 | 1.33502 | 45 | 10 | 1.66454 | 49 | 1.39371 | 49 | 1.36330 | 48 |
| 20 | 1.63674 | 46 | 1.33594 | 45 | 1.33548 | 46 | 20 | 1.66502 | 49 | 1.39420 | 48 | 1.36379 | 49 |
| 30 | 1.63720 | 46 | 1.33640 | 46 | 1.33594 | 46 | 30 | 1.66551 | 49 | 1.39468 | 48 | 1.36428 | 48 |
| 40 | 1.63765 | 15 | 1.33686 | 46 | 1.33639 | 45 | 40 | 1.66600 | 49 | 1.39517 | 49 | 1.36477 | 48 |
| 50 | 1.63811 | 16 | 1.33731 | 45 | 1.33685 | 46 | 50 | 1.66649 | 19 | 1.39566 | 49 | 1.36525 | 49 |
| 22 | 1.63857 | 46 | 1.33777 | 46 | 1.33731 | 46 | 32 | 1.66698 | 19 | 1.39615 | 49 | 1.36574 | 49 |
| 10 | 1.63903 | 46 | 1.33823 | 46 | 1.33777 | 46 | 10 | 1.66746 | 48 | 1.39664 | 49 | 1.36623 | 49 |
| 20 | 1.63949 | 46 | 1.33869 | 46 | 1.33823 | 46 | 20 | 1.66795 | 50 | 1.39712 | 49 | 1.36672 | 50 |
| 30 | 1.63995 | 46 | 1.33915 | 46 | 1.33869 | 46 | 30 | 1.66845 | 49 | 1.39762 | 49 | 1.36722 | 49 |
| 40 | 1.64041 | 46 | 1.33960 | 45 | 1.33915 | 46 | 40 | 1.66894 | 49 | 1.39811 | 49 | 1.36771 | 49 |
| 50 | 1.64087 | 46 | 1.34006 | 46 | 1.33961 | 46 | 50 | 1.66943 | 49 | 1.39860 | 49 | 1.36820 | 49 |
| 23 | 1.64133 | 46 | 1.34053 | 47 | 1.34007 | 46 | 33 | 1.66992 | 49 | 1.39909 | 49 | 1.36869 | 50 |
| 10 | 1.64179 | 46 | 1.34099 | 46 | 1.34053 | 46 | 10 | 1.67041 | 49 | 1.39958 | 49 | 1.36919 | 50 |
| 20 | 1.64225 | 46 | 1.34145 | 46 | 1.34100 | 47 | 20 | 1.67091 | 50 | 1.37007 | 50 | 1.36968 | 49 |
| 30 | 1.64271 | 47 | 1.34191 | 46 | 1.34146 | 46 | 30 | 1.67140 | 50 | 1.37057 | 50 | 1.37017 | 49 |
| 40 | 1.64318 | 47 | 1.34237 | 46 | 1.34192 | 36 | 10 | 1.67190 | 50 | 1.37106 | 50 | 1.37067 | 50 |
| 50 | 1.64364 | 46 | 1.34283 | 46 | 1.34239 | 47 | 50 | 1.67239 | 50 | 1.37156 | 50 | 1.37116 | 50 |
| 24 | 1.64410 | 46 | 1.34330 | 47 | 1.34285 | 47 | 34 | 1.67289 | 49 | 1.37205 | 49 | 1.37166 | 50 |
| 10 | 1.64457 | 46 | 1.34376 | 46 | 1.34332 | 47 | 10 | 1.67338 | 49 | 1.37255 | 50 | 1.37216 | 50 |
| 20 | 1.64503 | 47 | 1.34423 | 46 | 1.34378 | 46 | 20 | 1.67388 | 50 | 1.37304 | 50 | 1.37265 | 50 |
| 30 | 1.64550 | 47 | 1.34469 | 47 | 1.34425 | 46 | 30 | 1.67438 | 49 | 1.37354 | 50 | 1.37315 | 50 |
| 40 | 1.64597 | 46 | 1.34516 | 46 | 1.34471 | 46 | 40 | 1.67487 | 49 | 1.37403 | 50 | 1.37365 | 50 |
| 50 | 1.64643 | 47 | 1.34562 | 47 | 1.34518 | 47 | 50 | 1.67537 | 50 | 1.37454 | 49 | 1.37415 | 50 |
| 25 | 1.64690 | 47 | 1.34609 | 47 | 1.34565 | 47 | 35 | 1.67587 | 50 | 1.37503 | 50 | 1.37465 | 50 |
| 10 | 1.64737 | 47 | 1.34656 | 46 | 1.34612 | 46 | 10 | 1.67637 | 50 | 1.37553 | 50 | 1.37515 | 50 |
| 20 | 1.64783 | 46 | 1.34702 | 47 | 1.34658 | 47 | 20 | 1.67687 | 50 | 1.37603 | 50 | 1.37565 | 50 |
| 30 | 1.64830 | 47 | 1.34749 | 47 | 1.34705 | 47 | 30 | 1.67737 | 50 | 1.37653 | 50 | 1.37615 | 50 |
| 40 | 1.64877 | 47 | 1.34796 | 47 | 1.34752 | 47 | 40 | 1.67787 | 51 | 1.37703 | 51 | 1.37665 | 50 |
| 50 | 1.64924 | 47 | 1.34843 | 47 | 1.34799 | 47 | 50 | 1.67838 | 50 | 1.37754 | 50 | 1.37715 | 51 |
| 26 | 1.64971 | 47 | 1.34890 | 47 | 1.34846 | 47 | 36 | 1.67888 | 50 | 1.37804 | 50 | 1.37766 | 50 |
| 10 | 1.65018 | 47 | 1.34937 | 47 | 1.34893 | 47 | 10 | 1.67938 | 50 | 1.37854 | 50 | 1.37816 | 50 |
| 20 | 1.65065 | 47 | 1.34984 | 47 | 1.34940 | 48 | 20 | 1.67988 | 51 | 1.37904 | 51 | 1.37866 | 51 |
| 30 | 1.65112 | 48 | 1.35031 | 47 | 1.34988 | 47 | 30 | 1.68039 | 50 | 1.37955 | 50 | 1.37917 | 50 |
| 40 | 1.65160 | 47 | 1.35078 | 47 | 1.35035 | 47 | 40 | 1.68089 | 51 | 1.38006 | 51 | 1.37967 | 50 |
| 50 | 1.65207 | 47 | 1.35125 | 48 | 1.35082 | 47 | 50 | 1.68140 | 51 | 1.38056 | 50 | 1.38018 | 50 |
| 27 | 1.65254 | 47 | 1.35173 | 47 | 1.35130 | 47 | 37 | 1.68191 | 50 | 1.38106 | 51 | 1.38069 | 50 |
| 10 | 1.65301 | 48 | 1.35220 | 47 | 1.35177 | 47 | 10 | 1.68241 | 51 | 1.38157 | 51 | 1.38119 | 51 |
| 20 | 1.65349 | 48 | 1.35267 | 48 | 1.35224 | 48 | 20 | 1.68292 | 51 | 1.38208 | 50 | 1.38170 | 51 |
| 30 | 1.65396 | 48 | 1.35315 | 47 | 1.35272 | 47 | 30 | 1.68343 | 51 | 1.38258 | 51 | 1.38221 | 51 |
| 40 | 1.65444 | 47 | 1.35362 | 48 | 1.35319 | 48 | 40 | 1.68394 | 50 | 1.38309 | 51 | 1.38272 | 51 |
| 50 | 1.65491 | 48 | 1.35410 | 47 | 1.35367 | 48 | 50 | 1.68444 | 51 | 1.38360 | 51 | 1.38323 | 51 |
| 28 | 1.65539 | 48 | 1.35457 | 48 | 1.35415 | 47 | 38 | 1.68495 | 51 | 1.38411 | 51 | 1.38374 | 51 |
| 10 | 1.65587 | 48 | 1.35505 | 47 | 1.35462 | 48 | 10 | 1.68546 | 51 | 1.38462 | 51 | 1.38425 | 51 |
| 20 | 1.65634 | 47 | 1.35552 | 48 | 1.35510 | 48 | 20 | 1.68597 | 52 | 1.38513 | 51 | 1.38476 | 51 |
| 30 | 1.65682 | 48 | 1.35600 | 48 | 1.35558 | 48 | 30 | 1.68649 | 51 | 1.38564 | 51 | 1.38527 | 51 |
| 40 | 1.65730 | 48 | 1.35648 | 48 | 1.35606 | 48 | 40 | 1.68700 | 51 | 1.38615 | 51 | 1.38578 | 52 |
| 50 | 1.65778 | 48 | 1.35696 | 48 | 1.35654 | 48 | 50 | 1.68751 | 51 | 1.38666 | 52 | 1.38630 | 51 |
| 29 | 1.65826 | 48 | 1.35744 | 48 | 1.35702 | 48 | 39 | 1.68802 | 52 | 1.38718 | 51 | 1.38681 | 52 |
| 10 | 1.65874 | 48 | 1.35792 | 48 | 1.35750 | 48 | 10 | 1.68854 | 51 | 1.38769 | 51 | 1.38733 | 51 |
| 20 | 1.65922 | 48 | 1.35840 | 48 | 1.35798 | 48 | 20 | 1.68905 | 52 | 1.38820 | 52 | 1.38784 | 52 |
| 30 | 1.65970 | 48 | 1.35888 | 48 | 1.35846 | 48 | 30 | 1.68957 | 51 | 1.38872 | 51 | 1.38836 | 51 |
| 40 | 1.66018 | 48 | 1.35936 | 48 | 1.35894 | 48 | 40 | 1.69008 | 52 | 1.38923 | 52 | 1.38887 | 52 |
| 50 | 1.66066 | 48 | 1.35984 | 48 | 1.35942 | 48 | 50 | 1.69060 | 52 | 1.38975 | 52 | 1.38939 | 52 |
| 30 | 1.66114 | 48 | 1.36032 | 48 | 1.35991 | 49 | 40 | 1.69112 | 52 | 1.39027 | 52 | 1.38991 | 52 |

| ω | z' | Diff. | $\log \cos z$ | Diff. | $\log \sin z$ | Diff. | ω | z' | Diff. | $\log \cos z$ | Diff. | $\log \sin z$ | Diff. |
|----------|---------|-------|---------------|-------|---------------|-------|----------|---------|-------|---------------|-------|---------------|-------|
| 40 | 1.69112 | | 1.39027 | | 1.38991 | | 50 | 1.72331 | | 1.42213 | | 1.42212 | |
| 10 | 1.69163 | 51 | 1.39078 | 51 | 1.39042 | 51 | 10 | 1.72387 | 56 | 1.42269 | 56 | 1.42268 | 56 |
| 20 | 1.69215 | 52 | 1.39130 | 52 | 1.39094 | 52 | 20 | 1.72442 | 55 | 1.42355 | 55 | 1.42354 | 55 |
| 30 | 1.69267 | 52 | 1.39182 | 52 | 1.39146 | 52 | 30 | 1.72498 | 56 | 1.42411 | 56 | 1.42410 | 56 |
| 40 | 1.69319 | 52 | 1.39234 | 52 | 1.39198 | 52 | 40 | 1.72554 | 56 | 1.42467 | 56 | 1.42466 | 56 |
| 50 | 1.69371 | 52 | 1.39286 | 52 | 1.39250 | 52 | 50 | 1.72610 | 56 | 1.42523 | 56 | 1.42522 | 56 |
| 41 | 1.69423 | 52 | 1.39338 | 52 | 1.39302 | 52 | 51 | 1.72666 | 56 | 1.42579 | 56 | 1.42578 | 56 |
| 10 | 1.69475 | 52 | 1.39390 | 52 | 1.39354 | 52 | 10 | 1.72722 | 56 | 1.42635 | 56 | 1.42634 | 56 |
| 20 | 1.69527 | 53 | 1.39442 | 53 | 1.39407 | 53 | 20 | 1.72779 | 57 | 1.42691 | 57 | 1.42690 | 57 |
| 30 | 1.69580 | 52 | 1.39494 | 52 | 1.39459 | 52 | 30 | 1.72835 | 56 | 1.42747 | 56 | 1.42746 | 56 |
| 40 | 1.69632 | 52 | 1.39546 | 52 | 1.39511 | 52 | 40 | 1.72891 | 56 | 1.42803 | 56 | 1.42802 | 56 |
| 50 | 1.69684 | 52 | 1.39598 | 53 | 1.39563 | 53 | 50 | 1.72948 | 57 | 1.42859 | 57 | 1.42858 | 57 |
| 42 | 1.69737 | 53 | 1.39651 | 52 | 1.39616 | 52 | 52 | 1.73004 | 56 | 1.42916 | 56 | 1.42915 | 56 |
| 10 | 1.69789 | 52 | 1.39704 | 53 | 1.39669 | 53 | 10 | 1.73061 | 57 | 1.42973 | 57 | 1.42972 | 57 |
| 20 | 1.69842 | 53 | 1.39756 | 53 | 1.39721 | 53 | 20 | 1.73118 | 56 | 1.43030 | 56 | 1.43029 | 56 |
| 30 | 1.69894 | 53 | 1.39809 | 52 | 1.39774 | 52 | 30 | 1.73174 | 56 | 1.43086 | 56 | 1.43085 | 56 |
| 40 | 1.69947 | 53 | 1.39861 | 52 | 1.39827 | 52 | 40 | 1.73231 | 57 | 1.43143 | 57 | 1.43142 | 57 |
| 50 | 1.70000 | 53 | 1.39914 | 52 | 1.39879 | 52 | 50 | 1.73288 | 57 | 1.43199 | 57 | 1.43198 | 57 |
| 43 | 1.70053 | 52 | 1.39967 | 53 | 1.39932 | 53 | 53 | 1.73345 | 57 | 1.43257 | 57 | 1.43256 | 57 |
| 10 | 1.70105 | 52 | 1.40020 | 53 | 1.39985 | 53 | 10 | 1.73402 | 57 | 1.43314 | 57 | 1.43313 | 57 |
| 20 | 1.70158 | 53 | 1.40073 | 53 | 1.40038 | 53 | 20 | 1.73459 | 57 | 1.43371 | 57 | 1.43370 | 57 |
| 30 | 1.70211 | 53 | 1.40126 | 53 | 1.40091 | 53 | 30 | 1.73516 | 57 | 1.43428 | 57 | 1.43427 | 57 |
| 40 | 1.70264 | 54 | 1.40179 | 53 | 1.40144 | 53 | 40 | 1.73574 | 58 | 1.43485 | 58 | 1.43484 | 58 |
| 50 | 1.70318 | 53 | 1.40232 | 53 | 1.40198 | 53 | 50 | 1.73631 | 57 | 1.43543 | 57 | 1.43542 | 57 |
| 44 | 1.70371 | 53 | 1.40285 | 53 | 1.40251 | 53 | 54 | 1.73688 | 58 | 1.43600 | 58 | 1.43599 | 58 |
| 10 | 1.70424 | 53 | 1.40338 | 53 | 1.40304 | 53 | 10 | 1.73746 | 58 | 1.43658 | 58 | 1.43657 | 58 |
| 20 | 1.70477 | 54 | 1.40391 | 54 | 1.40358 | 54 | 20 | 1.73804 | 59 | 1.43715 | 59 | 1.43714 | 59 |
| 30 | 1.70531 | 53 | 1.40445 | 54 | 1.40411 | 54 | 30 | 1.73861 | 58 | 1.43773 | 58 | 1.43772 | 58 |
| 40 | 1.70584 | 54 | 1.40498 | 54 | 1.40464 | 54 | 40 | 1.73919 | 58 | 1.43830 | 58 | 1.43829 | 58 |
| 50 | 1.70638 | 53 | 1.40552 | 54 | 1.40518 | 54 | 50 | 1.73977 | 58 | 1.43888 | 58 | 1.43887 | 58 |
| 45 | 1.70691 | 54 | 1.40605 | 54 | 1.40572 | 54 | 55 | 1.74035 | 58 | 1.43946 | 58 | 1.43945 | 58 |
| 10 | 1.70745 | 54 | 1.40659 | 54 | 1.40625 | 54 | 10 | 1.74093 | 58 | 1.44004 | 58 | 1.44003 | 58 |
| 20 | 1.70799 | 54 | 1.40712 | 54 | 1.40679 | 54 | 20 | 1.74151 | 58 | 1.44062 | 58 | 1.44061 | 58 |
| 30 | 1.70853 | 53 | 1.40766 | 54 | 1.40733 | 54 | 30 | 1.74209 | 58 | 1.44120 | 58 | 1.44119 | 58 |
| 40 | 1.70906 | 54 | 1.40820 | 54 | 1.40787 | 54 | 40 | 1.74267 | 58 | 1.44178 | 58 | 1.44177 | 58 |
| 50 | 1.70960 | 54 | 1.40874 | 54 | 1.40841 | 54 | 50 | 1.74325 | 59 | 1.44236 | 59 | 1.44235 | 59 |
| 46 | 1.71014 | 54 | 1.40928 | 54 | 1.40895 | 54 | 56 | 1.74384 | 58 | 1.44295 | 58 | 1.44294 | 58 |
| 10 | 1.71068 | 55 | 1.40982 | 54 | 1.40949 | 54 | 10 | 1.74442 | 58 | 1.44353 | 58 | 1.44352 | 58 |
| 20 | 1.71123 | 54 | 1.41036 | 54 | 1.41003 | 54 | 20 | 1.74500 | 59 | 1.44411 | 59 | 1.44410 | 59 |
| 30 | 1.71177 | 54 | 1.41090 | 54 | 1.41057 | 54 | 30 | 1.74559 | 59 | 1.44470 | 59 | 1.44469 | 59 |
| 40 | 1.71231 | 54 | 1.41144 | 55 | 1.41112 | 55 | 40 | 1.74618 | 58 | 1.44529 | 58 | 1.44528 | 58 |
| 50 | 1.71285 | 55 | 1.41199 | 54 | 1.41166 | 54 | 50 | 1.74676 | 59 | 1.44587 | 59 | 1.44586 | 59 |
| 47 | 1.71340 | 54 | 1.41253 | 54 | 1.41221 | 54 | 57 | 1.74735 | 59 | 1.44646 | 59 | 1.44645 | 59 |
| 10 | 1.71394 | 55 | 1.41307 | 55 | 1.41275 | 55 | 10 | 1.74794 | 59 | 1.44705 | 59 | 1.44704 | 59 |
| 20 | 1.71449 | 54 | 1.41362 | 55 | 1.41330 | 54 | 20 | 1.74853 | 59 | 1.44764 | 59 | 1.44763 | 59 |
| 30 | 1.71503 | 55 | 1.41417 | 55 | 1.41384 | 55 | 30 | 1.74912 | 59 | 1.44823 | 59 | 1.44822 | 59 |
| 40 | 1.71558 | 55 | 1.41471 | 55 | 1.41439 | 55 | 40 | 1.74971 | 60 | 1.44882 | 60 | 1.44881 | 60 |
| 50 | 1.71613 | 55 | 1.41526 | 55 | 1.41494 | 55 | 50 | 1.75031 | 59 | 1.44941 | 59 | 1.44940 | 59 |
| 48 | 1.71668 | 55 | 1.41581 | 55 | 1.41549 | 55 | 58 | 1.75090 | 59 | 1.45001 | 59 | 1.45000 | 59 |
| 10 | 1.71723 | 54 | 1.41636 | 54 | 1.41604 | 55 | 10 | 1.75149 | 60 | 1.45060 | 60 | 1.45059 | 60 |
| 20 | 1.71777 | 56 | 1.41690 | 55 | 1.41659 | 55 | 20 | 1.75209 | 59 | 1.45119 | 59 | 1.45118 | 59 |
| 30 | 1.71833 | 55 | 1.41745 | 55 | 1.41714 | 55 | 30 | 1.75268 | 60 | 1.45179 | 60 | 1.45178 | 60 |
| 40 | 1.71888 | 55 | 1.41800 | 56 | 1.41769 | 55 | 40 | 1.75328 | 60 | 1.45238 | 60 | 1.45237 | 60 |
| 50 | 1.71943 | 55 | 1.41856 | 55 | 1.41824 | 55 | 50 | 1.75388 | 59 | 1.45298 | 59 | 1.45297 | 59 |
| 49 | 1.71998 | 55 | 1.41911 | 55 | 1.41879 | 56 | 59 | 1.75447 | 60 | 1.45358 | 60 | 1.45357 | 60 |
| 10 | 1.72053 | 56 | 1.41966 | 55 | 1.41935 | 55 | 10 | 1.75507 | 60 | 1.45418 | 60 | 1.45417 | 60 |
| 20 | 1.72109 | 55 | 1.42021 | 56 | 1.41990 | 55 | 20 | 1.75567 | 60 | 1.45478 | 60 | 1.45477 | 60 |
| 30 | 1.72164 | 56 | 1.42077 | 55 | 1.42045 | 56 | 30 | 1.75627 | 60 | 1.45538 | 60 | 1.45537 | 60 |
| 40 | 1.72220 | 55 | 1.42132 | 56 | 1.42101 | 56 | 40 | 1.75687 | 61 | 1.45598 | 61 | 1.45597 | 61 |
| 50 | 1.72275 | 56 | 1.42188 | 55 | 1.42157 | 55 | 50 | 1.75748 | 60 | 1.45658 | 60 | 1.45657 | 60 |
| 50 | 1.72331 | 56 | 1.42243 | 55 | 1.42212 | 55 | 60 | 1.75808 | 60 | 1.45718 | 60 | 1.45717 | 60 |

$$\omega = 88 \text{ Grad.}$$

| ω | z' | Diff. | $\log \cos z$ | Diff. | $\log \sin z$ | Diff. | ω | z' | Diff. | $\log \cos z$ | Diff. | $\log \sin z$ | Diff. |
|----------|---------|-------|---------------|-------|---------------|-------|----------|---------|-------|---------------|-------|---------------|-------|
| 0 | 1.75808 | 60 | 1.45718 | 60 | 1.45692 | 60 | 10 | 1.79587 | 66 | 1.49196 | 65 | 1.49173 | 66 |
| 10 | 1.75808 | 61 | 1.45778 | 61 | 1.45752 | 61 | 10 | 1.79653 | 66 | 1.49261 | 66 | 1.49239 | 66 |
| 20 | 1.75929 | 60 | 1.45839 | 60 | 1.45813 | 60 | 20 | 1.79719 | 66 | 1.49327 | 66 | 1.49305 | 66 |
| 30 | 1.75989 | 61 | 1.45899 | 61 | 1.45873 | 61 | 30 | 1.79785 | 66 | 1.49393 | 66 | 1.49371 | 66 |
| 40 | 1.76050 | 61 | 1.45960 | 61 | 1.45934 | 61 | 40 | 1.79851 | 67 | 1.49459 | 67 | 1.49437 | 67 |
| 50 | 1.76111 | 61 | 1.46021 | 61 | 1.45995 | 61 | 50 | 1.79918 | 66 | 1.49525 | 66 | 1.49503 | 66 |
| 1 | 1.76171 | 61 | 1.46081 | 61 | 1.46055 | 61 | 11 | 1.79984 | 67 | 1.49592 | 66 | 1.49570 | 67 |
| 10 | 1.76232 | 61 | 1.46142 | 61 | 1.46116 | 61 | 10 | 1.80051 | 66 | 1.49658 | 67 | 1.49637 | 66 |
| 20 | 1.76293 | 61 | 1.46203 | 61 | 1.46177 | 61 | 20 | 1.80117 | 67 | 1.50025 | 67 | 1.50003 | 67 |
| 30 | 1.76354 | 61 | 1.46264 | 61 | 1.46238 | 62 | 30 | 1.80184 | 67 | 1.50092 | 66 | 1.50070 | 67 |
| 40 | 1.76415 | 62 | 1.46325 | 61 | 1.46300 | 61 | 40 | 1.80251 | 66 | 1.50158 | 67 | 1.50137 | 67 |
| 50 | 1.76477 | 61 | 1.46386 | 62 | 1.46361 | 61 | 50 | 1.80317 | 67 | 1.50225 | 67 | 1.50203 | 67 |
| 1 | 1.76538 | 61 | 1.46448 | 61 | 1.46422 | 62 | 12 | 1.80384 | 68 | 1.50292 | 67 | 1.50271 | 67 |
| 10 | 1.76599 | 62 | 1.46509 | 62 | 1.46484 | 61 | 10 | 1.80452 | 67 | 1.50359 | 67 | 1.50338 | 67 |
| 20 | 1.76661 | 61 | 1.46571 | 61 | 1.46545 | 62 | 20 | 1.80519 | 67 | 1.50426 | 68 | 1.50405 | 67 |
| 30 | 1.76722 | 62 | 1.46632 | 62 | 1.46607 | 61 | 30 | 1.80586 | 67 | 1.50494 | 67 | 1.50472 | 68 |
| 40 | 1.76784 | 62 | 1.46694 | 62 | 1.46668 | 62 | 40 | 1.80653 | 68 | 1.50561 | 67 | 1.50540 | 67 |
| 50 | 1.76846 | 62 | 1.46755 | 62 | 1.46730 | 62 | 50 | 1.80721 | 68 | 1.50628 | 68 | 1.50607 | 68 |
| 1 | 1.76908 | 62 | 1.46817 | 62 | 1.46792 | 62 | 13 | 1.80789 | 67 | 1.50696 | 68 | 1.50675 | 68 |
| 10 | 1.76970 | 62 | 1.46879 | 62 | 1.46854 | 62 | 10 | 1.80856 | 68 | 1.50764 | 67 | 1.50743 | 68 |
| 20 | 1.77032 | 62 | 1.46941 | 62 | 1.46916 | 62 | 20 | 1.80924 | 68 | 1.50831 | 68 | 1.50811 | 68 |
| 30 | 1.77094 | 62 | 1.47003 | 62 | 1.46978 | 62 | 30 | 1.80992 | 68 | 1.50899 | 68 | 1.50879 | 68 |
| 40 | 1.77156 | 62 | 1.47065 | 63 | 1.47040 | 62 | 40 | 1.81060 | 68 | 1.50967 | 68 | 1.50947 | 68 |
| 50 | 1.77218 | 62 | 1.47128 | 62 | 1.47103 | 62 | 50 | 1.81128 | 68 | 1.51035 | 69 | 1.51015 | 68 |
| 1 | 1.77280 | 63 | 1.47190 | 62 | 1.47165 | 63 | 14 | 1.81196 | 69 | 1.51103 | 69 | 1.51083 | 68 |
| 10 | 1.77343 | 62 | 1.47252 | 62 | 1.47228 | 62 | 10 | 1.81265 | 68 | 1.51172 | 68 | 1.51151 | 69 |
| 20 | 1.77405 | 63 | 1.47315 | 62 | 1.47290 | 63 | 20 | 1.81333 | 69 | 1.51240 | 69 | 1.51220 | 69 |
| 30 | 1.77468 | 63 | 1.47377 | 63 | 1.47353 | 63 | 30 | 1.81402 | 68 | 1.51309 | 69 | 1.51289 | 68 |
| 40 | 1.77531 | 63 | 1.47440 | 63 | 1.47416 | 62 | 40 | 1.81470 | 69 | 1.51378 | 69 | 1.51357 | 69 |
| 50 | 1.77594 | 63 | 1.47503 | 63 | 1.47478 | 63 | 50 | 1.81539 | 69 | 1.51446 | 69 | 1.51426 | 69 |
| 1 | 1.77657 | 63 | 1.47566 | 63 | 1.47541 | 63 | 15 | 1.81608 | 69 | 1.51515 | 69 | 1.51495 | 69 |
| 10 | 1.77720 | 63 | 1.47629 | 63 | 1.47604 | 64 | 10 | 1.81677 | 69 | 1.51584 | 69 | 1.51564 | 69 |
| 20 | 1.77783 | 63 | 1.47692 | 63 | 1.47668 | 63 | 20 | 1.81746 | 69 | 1.51653 | 69 | 1.51633 | 69 |
| 30 | 1.77846 | 63 | 1.47755 | 63 | 1.47731 | 63 | 30 | 1.81815 | 70 | 1.51722 | 70 | 1.51702 | 70 |
| 40 | 1.77909 | 63 | 1.47818 | 63 | 1.47794 | 63 | 40 | 1.81885 | 69 | 1.51792 | 69 | 1.51772 | 69 |
| 50 | 1.77972 | 64 | 1.47881 | 64 | 1.47857 | 64 | 50 | 1.81954 | 70 | 1.51861 | 70 | 1.51841 | 70 |
| 1 | 1.78036 | 64 | 1.47945 | 64 | 1.47921 | 64 | 16 | 1.82024 | 69 | 1.51931 | 69 | 1.51911 | 69 |
| 10 | 1.78099 | 64 | 1.48008 | 64 | 1.47985 | 63 | 10 | 1.82093 | 70 | 1.52000 | 70 | 1.51980 | 70 |
| 20 | 1.78163 | 64 | 1.48072 | 64 | 1.48048 | 64 | 20 | 1.82163 | 70 | 1.52070 | 70 | 1.52050 | 70 |
| 30 | 1.78227 | 64 | 1.48136 | 64 | 1.48112 | 64 | 30 | 1.82233 | 70 | 1.52140 | 70 | 1.52120 | 70 |
| 40 | 1.78291 | 64 | 1.48199 | 64 | 1.48176 | 64 | 40 | 1.82303 | 70 | 1.52210 | 70 | 1.52190 | 70 |
| 50 | 1.78355 | 64 | 1.48263 | 64 | 1.48240 | 64 | 50 | 1.82373 | 70 | 1.52280 | 70 | 1.52260 | 71 |
| 1 | 1.78419 | 64 | 1.48327 | 64 | 1.48304 | 64 | 17 | 1.82443 | 71 | 1.52350 | 70 | 1.52330 | 71 |
| 10 | 1.78483 | 64 | 1.48391 | 65 | 1.48368 | 64 | 10 | 1.82514 | 70 | 1.52420 | 71 | 1.52401 | 71 |
| 20 | 1.78547 | 64 | 1.48456 | 64 | 1.48432 | 65 | 20 | 1.82584 | 71 | 1.52491 | 70 | 1.52472 | 70 |
| 30 | 1.78611 | 65 | 1.48520 | 64 | 1.48497 | 64 | 30 | 1.82655 | 70 | 1.52561 | 71 | 1.52542 | 71 |
| 40 | 1.78676 | 64 | 1.48584 | 65 | 1.48561 | 65 | 40 | 1.82725 | 71 | 1.52632 | 71 | 1.52613 | 71 |
| 50 | 1.78740 | 65 | 1.48649 | 64 | 1.48626 | 64 | 50 | 1.82796 | 71 | 1.52703 | 71 | 1.52684 | 71 |
| 1 | 1.78805 | 64 | 1.48713 | 65 | 1.48690 | 65 | 18 | 1.82867 | 71 | 1.52774 | 71 | 1.52755 | 71 |
| 10 | 1.78869 | 65 | 1.48778 | 65 | 1.48755 | 65 | 10 | 1.82938 | 71 | 1.52845 | 71 | 1.52826 | 71 |
| 20 | 1.78934 | 65 | 1.48843 | 65 | 1.48820 | 65 | 20 | 1.83009 | 72 | 1.52916 | 71 | 1.52897 | 71 |
| 30 | 1.78999 | 65 | 1.48908 | 65 | 1.48885 | 65 | 30 | 1.83081 | 71 | 1.52987 | 71 | 1.52968 | 72 |
| 40 | 1.79064 | 65 | 1.48972 | 65 | 1.48950 | 65 | 40 | 1.83152 | 72 | 1.53058 | 72 | 1.53040 | 72 |
| 50 | 1.79129 | 65 | 1.49037 | 66 | 1.49015 | 65 | 50 | 1.83224 | 71 | 1.53130 | 71 | 1.53111 | 72 |
| 1 | 1.79194 | 66 | 1.49103 | 65 | 1.49080 | 65 | 19 | 1.83295 | 72 | 1.53201 | 72 | 1.53183 | 72 |
| 10 | 1.79260 | 65 | 1.49168 | 65 | 1.49145 | 66 | 10 | 1.83367 | 72 | 1.53272 | 72 | 1.53255 | 72 |
| 20 | 1.79325 | 65 | 1.49233 | 66 | 1.49211 | 65 | 20 | 1.83439 | 72 | 1.53343 | 72 | 1.53326 | 72 |
| 30 | 1.79390 | 66 | 1.49299 | 65 | 1.49276 | 66 | 30 | 1.83511 | 72 | 1.53414 | 72 | 1.53398 | 73 |
| 40 | 1.79456 | 66 | 1.49364 | 65 | 1.49342 | 66 | 40 | 1.83583 | 72 | 1.53489 | 72 | 1.53471 | 72 |
| 50 | 1.79522 | 65 | 1.49430 | 66 | 1.49407 | 66 | 50 | 1.83655 | 72 | 1.53561 | 73 | 1.53543 | 72 |
| 10 | 1.79587 | 65 | 1.49496 | 66 | 1.49473 | 66 | 20 | 1.83727 | 72 | 1.53634 | 73 | 1.53615 | 72 |

| ω | z' | Diff. | $\log \cos z$ | Diff. | $\log \sin z$ | Diff. | ω | z' | Diff. | $\log \cos z$ | Diff. | $\log \sin z$ | Diff. |
|----------|---------|-------|---------------|-------|---------------|-------|----------|---------|-------|---------------|-------|---------------|-------|
| 20 | 1.83727 | 73 | 1.53634 | 72 | 1.53615 | 73 | 30 | 1.88904 | 80 | 1.58808 | 81 | 1.58193 | 81 |
| 10 | 1.83800 | 72 | 1.53706 | 72 | 1.53688 | 73 | 10 | 1.88884 | 81 | 1.58829 | 81 | 1.58274 | 80 |
| 20 | 1.83872 | 73 | 1.53778 | 73 | 1.53760 | 73 | 20 | 1.88865 | 81 | 1.58869 | 81 | 1.58354 | 81 |
| 30 | 1.83951 | 73 | 1.53851 | 73 | 1.53833 | 73 | 30 | 1.88846 | 81 | 1.58910 | 81 | 1.58435 | 81 |
| 40 | 1.84018 | 73 | 1.53924 | 73 | 1.53906 | 73 | 40 | 1.88827 | 81 | 1.58951 | 81 | 1.58516 | 81 |
| 50 | 1.84091 | 73 | 1.53997 | 73 | 1.53979 | 73 | 50 | 1.88808 | 81 | 1.58992 | 81 | 1.58597 | 81 |
| 21 | 1.84164 | 73 | 1.54070 | 73 | 1.54052 | 73 | 31 | 1.88789 | 81 | 1.58933 | 81 | 1.58679 | 82 |
| 10 | 1.84237 | 73 | 1.54143 | 73 | 1.54125 | 73 | 10 | 1.88770 | 81 | 1.58975 | 82 | 1.58760 | 81 |
| 20 | 1.84310 | 74 | 1.54216 | 74 | 1.54198 | 74 | 20 | 1.88752 | 82 | 1.58956 | 82 | 1.58842 | 82 |
| 30 | 1.84384 | 74 | 1.54290 | 74 | 1.54272 | 74 | 30 | 1.88734 | 82 | 1.58938 | 82 | 1.58923 | 82 |
| 40 | 1.84457 | 73 | 1.54363 | 73 | 1.54345 | 73 | 40 | 1.88716 | 82 | 1.58920 | 82 | 1.59005 | 82 |
| 50 | 1.84531 | 74 | 1.54437 | 74 | 1.54419 | 74 | 50 | 1.88698 | 82 | 1.59002 | 82 | 1.59087 | 82 |
| 22 | 1.84605 | 74 | 1.54511 | 74 | 1.54493 | 74 | 32 | 1.88680 | 82 | 1.59084 | 82 | 1.59170 | 83 |
| 10 | 1.84679 | 74 | 1.54585 | 74 | 1.54567 | 74 | 10 | 1.88662 | 82 | 1.59166 | 82 | 1.59252 | 82 |
| 20 | 1.84753 | 74 | 1.54659 | 74 | 1.54641 | 74 | 20 | 1.88645 | 83 | 1.59148 | 83 | 1.59335 | 83 |
| 30 | 1.84827 | 74 | 1.54733 | 74 | 1.54715 | 74 | 30 | 1.88627 | 83 | 1.59131 | 83 | 1.59417 | 82 |
| 40 | 1.84901 | 75 | 1.54807 | 75 | 1.54789 | 75 | 40 | 1.88610 | 83 | 1.59113 | 83 | 1.59500 | 83 |
| 50 | 1.84976 | 75 | 1.54881 | 75 | 1.54864 | 75 | 50 | 1.88593 | 83 | 1.59095 | 83 | 1.59583 | 83 |
| 23 | 1.85050 | 75 | 1.54956 | 75 | 1.54939 | 75 | 33 | 1.88576 | 83 | 1.59078 | 83 | 1.59666 | 83 |
| 10 | 1.85124 | 75 | 1.55031 | 75 | 1.55013 | 75 | 10 | 1.88559 | 83 | 1.59061 | 83 | 1.59750 | 83 |
| 20 | 1.85200 | 75 | 1.55105 | 75 | 1.55088 | 75 | 20 | 1.88543 | 84 | 1.59044 | 84 | 1.59833 | 83 |
| 30 | 1.85275 | 75 | 1.55180 | 75 | 1.55163 | 75 | 30 | 1.88526 | 84 | 1.59027 | 84 | 1.59917 | 84 |
| 40 | 1.85350 | 75 | 1.55255 | 76 | 1.55238 | 76 | 40 | 1.88510 | 84 | 1.59010 | 84 | 1.60001 | 84 |
| 50 | 1.85425 | 75 | 1.55331 | 75 | 1.55314 | 75 | 50 | 1.88494 | 84 | 1.59008 | 84 | 1.60084 | 84 |
| 24 | 1.85500 | 76 | 1.55406 | 75 | 1.55389 | 75 | 34 | 1.88478 | 84 | 1.59082 | 84 | 1.60168 | 84 |
| 10 | 1.85575 | 76 | 1.55481 | 76 | 1.55464 | 76 | 10 | 1.88462 | 85 | 1.59066 | 84 | 1.60253 | 84 |
| 20 | 1.85650 | 76 | 1.55556 | 76 | 1.55540 | 76 | 20 | 1.88446 | 85 | 1.59051 | 85 | 1.60337 | 84 |
| 30 | 1.85727 | 76 | 1.55633 | 75 | 1.55616 | 76 | 30 | 1.88430 | 85 | 1.59035 | 85 | 1.60422 | 84 |
| 40 | 1.85803 | 76 | 1.55708 | 76 | 1.55692 | 76 | 40 | 1.88414 | 85 | 1.59020 | 85 | 1.60507 | 85 |
| 50 | 1.85879 | 76 | 1.55784 | 77 | 1.55768 | 76 | 50 | 1.88398 | 85 | 1.59005 | 85 | 1.60592 | 85 |
| 25 | 1.85955 | 77 | 1.55861 | 76 | 1.55844 | 76 | 35 | 1.88382 | 85 | 1.59000 | 85 | 1.60677 | 85 |
| 10 | 1.86032 | 76 | 1.55937 | 76 | 1.55920 | 77 | 10 | 1.88366 | 86 | 1.59075 | 86 | 1.60762 | 85 |
| 20 | 1.86108 | 76 | 1.56013 | 77 | 1.55997 | 76 | 20 | 1.88350 | 86 | 1.59061 | 86 | 1.60847 | 85 |
| 30 | 1.86184 | 77 | 1.56090 | 76 | 1.56073 | 77 | 30 | 1.88334 | 86 | 1.59046 | 86 | 1.60933 | 86 |
| 40 | 1.86261 | 77 | 1.56166 | 77 | 1.56150 | 77 | 40 | 1.88318 | 86 | 1.59032 | 86 | 1.61019 | 86 |
| 50 | 1.86338 | 77 | 1.56243 | 77 | 1.56227 | 77 | 50 | 1.88302 | 86 | 1.59018 | 86 | 1.61105 | 86 |
| 26 | 1.86415 | 77 | 1.56320 | 77 | 1.56304 | 77 | 36 | 1.88286 | 86 | 1.59004 | 86 | 1.61191 | 86 |
| 10 | 1.86492 | 77 | 1.56397 | 77 | 1.56381 | 77 | 10 | 1.88270 | 87 | 1.59020 | 86 | 1.61277 | 87 |
| 20 | 1.86569 | 78 | 1.56474 | 78 | 1.56458 | 78 | 20 | 1.88254 | 87 | 1.59036 | 87 | 1.61364 | 87 |
| 30 | 1.86647 | 77 | 1.56552 | 77 | 1.56536 | 77 | 30 | 1.88238 | 87 | 1.59053 | 87 | 1.61450 | 87 |
| 40 | 1.86724 | 78 | 1.56629 | 78 | 1.56613 | 78 | 40 | 1.88222 | 87 | 1.59069 | 87 | 1.61537 | 87 |
| 50 | 1.86802 | 77 | 1.56707 | 77 | 1.56691 | 77 | 50 | 1.88206 | 88 | 1.59085 | 87 | 1.61624 | 87 |
| 27 | 1.86879 | 78 | 1.56784 | 78 | 1.56768 | 78 | 37 | 1.88190 | 88 | 1.59124 | 87 | 1.61711 | 87 |
| 10 | 1.86957 | 78 | 1.56862 | 78 | 1.56846 | 79 | 10 | 1.88174 | 88 | 1.59163 | 87 | 1.61798 | 88 |
| 20 | 1.87035 | 79 | 1.56940 | 78 | 1.56925 | 78 | 20 | 1.88158 | 88 | 1.59189 | 88 | 1.61886 | 88 |
| 30 | 1.87114 | 78 | 1.57018 | 79 | 1.57003 | 78 | 30 | 1.88142 | 88 | 1.59196 | 88 | 1.61974 | 88 |
| 40 | 1.87192 | 78 | 1.57097 | 78 | 1.57081 | 79 | 40 | 1.88126 | 88 | 1.59212 | 88 | 1.62062 | 88 |
| 50 | 1.87270 | 79 | 1.57175 | 79 | 1.57160 | 78 | 50 | 1.88110 | 88 | 1.59229 | 88 | 1.62150 | 88 |
| 28 | 1.87349 | 79 | 1.57254 | 79 | 1.57238 | 79 | 38 | 1.88094 | 88 | 1.59250 | 88 | 1.62238 | 88 |
| 10 | 1.87428 | 79 | 1.57333 | 78 | 1.57317 | 79 | 10 | 1.88078 | 89 | 1.59271 | 89 | 1.62326 | 88 |
| 20 | 1.87507 | 79 | 1.57411 | 79 | 1.57396 | 79 | 20 | 1.88062 | 89 | 1.59292 | 89 | 1.62415 | 88 |
| 30 | 1.87586 | 79 | 1.57490 | 80 | 1.57475 | 79 | 30 | 1.88046 | 89 | 1.59313 | 89 | 1.62503 | 89 |
| 40 | 1.87665 | 79 | 1.57570 | 79 | 1.57554 | 80 | 40 | 1.88030 | 89 | 1.59334 | 89 | 1.62592 | 89 |
| 50 | 1.87744 | 80 | 1.57649 | 79 | 1.57634 | 79 | 50 | 1.88014 | 89 | 1.59355 | 89 | 1.62681 | 89 |
| 29 | 1.87824 | 79 | 1.57728 | 80 | 1.57713 | 80 | 39 | 1.88000 | 89 | 1.59376 | 89 | 1.62770 | 89 |
| 10 | 1.87903 | 80 | 1.57808 | 80 | 1.57793 | 80 | 10 | 1.87986 | 90 | 1.59397 | 90 | 1.62860 | 90 |
| 20 | 1.87983 | 80 | 1.57888 | 80 | 1.57873 | 79 | 20 | 1.87972 | 90 | 1.59418 | 90 | 1.62950 | 90 |
| 30 | 1.88063 | 80 | 1.57968 | 80 | 1.57953 | 81 | 30 | 1.87958 | 90 | 1.59439 | 90 | 1.63040 | 90 |
| 40 | 1.88143 | 80 | 1.58048 | 80 | 1.58033 | 80 | 40 | 1.87944 | 90 | 1.59460 | 90 | 1.63130 | 90 |
| 50 | 1.88223 | 81 | 1.58128 | 80 | 1.58113 | 80 | 50 | 1.87930 | 90 | 1.59481 | 90 | 1.63220 | 90 |
| 30 | 1.88304 | | 1.58208 | 80 | 1.58193 | 80 | 40 | 1.87916 | 90 | 1.59502 | 90 | 1.63311 | 91 |

$$\omega = 88 \text{ Grad.}$$

| α | z' | <i>Diff.</i> | <i>log Cos z</i> | <i>Diff.</i> | <i>log Sin z</i> | <i>Diff.</i> | α | z' | <i>Diff.</i> | <i>log Cos z</i> | <i>Diff.</i> | <i>log Sin z</i> | <i>Diff.</i> |
|----------|---------|--------------|------------------|--------------|------------------|--------------|----------|---------|--------------|------------------|--------------|------------------|--------------|
| 40 | 1.93419 | | 1.63322 | | 1.63311 | | 50 | 1.99219 | | 1.69121 | | 1.69112 | |
| 10 | 1.93510 | 91 | 1.63413 | 91 | 1.63401 | 90 | 10 | 1.99323 | 104 | 1.69224 | 103 | 1.69215 | 103 |
| 20 | 1.93601 | 91 | 1.63504 | 91 | 1.63492 | 91 | 20 | 1.99426 | 103 | 1.69328 | 104 | 1.69319 | 104 |
| 30 | 1.93692 | 91 | 1.63595 | 91 | 1.63583 | 91 | 30 | 1.99530 | 104 | 1.69432 | 104 | 1.69423 | 104 |
| 40 | 1.93783 | 91 | 1.63686 | 91 | 1.63674 | 91 | 40 | 1.99635 | 105 | 1.69536 | 104 | 1.69527 | 104 |
| 50 | 1.93874 | 91 | 1.63777 | 91 | 1.63765 | 91 | 50 | 1.99739 | 104 | 1.69641 | 105 | 1.69632 | 105 |
| | | 92 | | 92 | | 92 | | | 105 | | 105 | | 105 |
| 41 | 1.93965 | | 1.63869 | | 1.63857 | | 51 | 1.99844 | | 1.69745 | | 1.69737 | |
| 10 | 1.94056 | 91 | 1.63960 | 91 | 1.63949 | 92 | 10 | 1.99949 | 105 | 1.69850 | 104 | 1.69842 | 105 |
| 20 | 1.94149 | 92 | 1.64052 | 92 | 1.64041 | 92 | 20 | 2.00054 | 105 | 1.69955 | 106 | 1.69947 | 106 |
| 30 | 1.94242 | 93 | 1.64144 | 92 | 1.64133 | 92 | 30 | 2.00160 | 106 | 1.70061 | 105 | 1.70053 | 106 |
| 40 | 1.94334 | 92 | 1.64236 | 92 | 1.64225 | 93 | 40 | 2.00266 | 106 | 1.70167 | 106 | 1.70158 | 106 |
| 50 | 1.94426 | 93 | 1.64329 | 93 | 1.64318 | 92 | 50 | 2.00372 | 106 | 1.70273 | 106 | 1.70264 | 106 |
| | | 93 | | 93 | | 92 | | | 106 | | 106 | | 107 |
| 42 | 1.94519 | | 1.64422 | | 1.64410 | | 52 | 2.00478 | | 1.70379 | | 1.70371 | |
| 10 | 1.94610 | 93 | 1.64515 | 93 | 1.64503 | 93 | 10 | 2.00585 | 107 | 1.70486 | 107 | 1.70477 | 107 |
| 20 | 1.94705 | 93 | 1.64608 | 93 | 1.64597 | 94 | 20 | 2.00692 | 107 | 1.70593 | 107 | 1.70584 | 107 |
| 30 | 1.94798 | 94 | 1.64701 | 93 | 1.64690 | 93 | 30 | 2.00799 | 107 | 1.70700 | 107 | 1.70691 | 107 |
| 40 | 1.94892 | 94 | 1.64794 | 94 | 1.64783 | 94 | 40 | 2.00906 | 108 | 1.70807 | 108 | 1.70799 | 108 |
| 50 | 1.94986 | 93 | 1.64888 | 94 | 1.64877 | 94 | 50 | 2.01011 | 108 | 1.70915 | 108 | 1.70906 | 108 |
| | | | | | | | | | 108 | | 108 | | 108 |
| 43 | 1.95079 | | 1.64982 | | 1.64971 | | 53 | 2.01122 | | 1.71023 | | 1.71014 | |
| 10 | 1.95171 | 94 | 1.65076 | 94 | 1.65065 | 94 | 10 | 2.01230 | 108 | 1.71131 | 108 | 1.71123 | 109 |
| 20 | 1.95268 | 94 | 1.65170 | 95 | 1.65160 | 94 | 20 | 2.01338 | 109 | 1.71239 | 108 | 1.71231 | 109 |
| 30 | 1.95362 | 95 | 1.65265 | 95 | 1.65255 | 95 | 30 | 2.01447 | 109 | 1.71348 | 109 | 1.71340 | 109 |
| 40 | 1.95457 | 95 | 1.65360 | 94 | 1.65349 | 95 | 40 | 2.01556 | 109 | 1.71457 | 109 | 1.71449 | 109 |
| 50 | 1.95552 | 96 | 1.65454 | 96 | 1.65444 | 95 | 50 | 2.01665 | 110 | 1.71566 | 110 | 1.71558 | 109 |
| | | | | | | | | | 110 | | 110 | | 109 |
| 44 | 1.95647 | | 1.65550 | | 1.65539 | | 54 | 2.01775 | | 1.71676 | | 1.71668 | |
| 10 | 1.95743 | 95 | 1.65645 | 95 | 1.65634 | 96 | 10 | 2.01884 | 111 | 1.71785 | 111 | 1.71777 | 111 |
| 20 | 1.95838 | 96 | 1.65740 | 96 | 1.65730 | 96 | 20 | 2.01993 | 111 | 1.71894 | 111 | 1.71886 | 111 |
| 30 | 1.95934 | 96 | 1.65836 | 96 | 1.65826 | 96 | 30 | 2.02105 | 111 | 1.72006 | 111 | 1.72000 | 111 |
| 40 | 1.96030 | 96 | 1.65932 | 96 | 1.65922 | 96 | 40 | 2.02216 | 111 | 1.72117 | 111 | 1.72109 | 111 |
| 50 | 1.96126 | 97 | 1.66028 | 97 | 1.66018 | 96 | 50 | 2.02327 | 111 | 1.72227 | 112 | 1.72220 | 111 |
| | | | | | | | | | 111 | | 112 | | 111 |
| 45 | 1.96223 | | 1.66125 | | 1.66114 | | 55 | 2.02438 | | 1.72339 | | 1.72331 | |
| 10 | 1.96319 | 97 | 1.66221 | 96 | 1.66211 | 97 | 10 | 2.02549 | 112 | 1.72450 | 112 | 1.72442 | 112 |
| 20 | 1.96416 | 97 | 1.66318 | 97 | 1.66308 | 77 | 20 | 2.02661 | 112 | 1.72562 | 112 | 1.72554 | 112 |
| 30 | 1.96513 | 97 | 1.66415 | 97 | 1.66405 | 97 | 30 | 2.02773 | 113 | 1.72674 | 112 | 1.72666 | 113 |
| 40 | 1.96610 | 98 | 1.66512 | 98 | 1.66502 | 98 | 40 | 2.02886 | 113 | 1.72786 | 113 | 1.72779 | 112 |
| 50 | 1.96708 | 98 | 1.66610 | 98 | 1.66600 | 98 | 50 | 2.02998 | 113 | 1.72899 | 113 | 1.72891 | 113 |
| | | | | | | | | | 113 | | 113 | | 113 |
| 46 | 1.96806 | | 1.66708 | | 1.66698 | | 56 | 2.03111 | | 1.73012 | | 1.73004 | |
| 10 | 1.96903 | 99 | 1.66805 | 99 | 1.66795 | 99 | 10 | 2.03224 | 114 | 1.73125 | 113 | 1.73118 | 113 |
| 20 | 1.97002 | 99 | 1.66904 | 98 | 1.66894 | 98 | 20 | 2.03338 | 114 | 1.73239 | 114 | 1.73231 | 114 |
| 30 | 1.97100 | 99 | 1.67002 | 99 | 1.66992 | 99 | 30 | 2.03452 | 114 | 1.73352 | 114 | 1.73345 | 114 |
| 40 | 1.97199 | 99 | 1.67101 | 98 | 1.67091 | 99 | 40 | 2.03566 | 114 | 1.73467 | 115 | 1.73459 | 115 |
| 50 | 1.97297 | 99 | 1.67199 | 99 | 1.67190 | 99 | 50 | 2.03680 | 115 | 1.73581 | 115 | 1.73574 | 114 |
| | | | | | | | | | 115 | | 115 | | 114 |
| 47 | 1.97396 | | 1.67298 | | 1.67289 | | 57 | 2.03795 | | 1.73696 | | 1.73688 | |
| 10 | 1.97496 | 99 | 1.67398 | 99 | 1.67388 | 99 | 10 | 2.03910 | 116 | 1.73811 | 115 | 1.73804 | 115 |
| 20 | 1.97595 | 100 | 1.67497 | 100 | 1.67487 | 100 | 20 | 2.04026 | 116 | 1.73926 | 116 | 1.73919 | 116 |
| 30 | 1.97695 | 100 | 1.67597 | 100 | 1.67587 | 100 | 30 | 2.04141 | 116 | 1.74042 | 116 | 1.74035 | 116 |
| 40 | 1.97795 | 100 | 1.67697 | 100 | 1.67687 | 100 | 40 | 2.04257 | 116 | 1.74158 | 116 | 1.74151 | 116 |
| 50 | 1.97895 | 101 | 1.67797 | 100 | 1.67787 | 101 | 50 | 2.04373 | 117 | 1.74274 | 117 | 1.74267 | 117 |
| | | | | | | | | | 117 | | 117 | | 117 |
| 48 | 1.97996 | | 1.67897 | | 1.67888 | | 58 | 2.04490 | | 1.74391 | | 1.74384 | |
| 10 | 1.98096 | 101 | 1.67998 | 101 | 1.67988 | 101 | 10 | 2.04607 | 117 | 1.74507 | 118 | 1.74500 | 118 |
| 20 | 1.98197 | 101 | 1.68099 | 101 | 1.68089 | 102 | 20 | 2.04724 | 118 | 1.74623 | 118 | 1.74616 | 118 |
| 30 | 1.98298 | 102 | 1.68200 | 101 | 1.68191 | 101 | 30 | 2.04842 | 118 | 1.74742 | 118 | 1.74735 | 118 |
| 40 | 1.98400 | 102 | 1.68301 | 102 | 1.68292 | 102 | 40 | 2.04960 | 118 | 1.74860 | 118 | 1.74853 | 118 |
| 50 | 1.98501 | 102 | 1.68403 | 102 | 1.68394 | 102 | 50 | 2.05078 | 118 | 1.74978 | 119 | 1.74971 | 119 |
| | | | | | | | | | 118 | | 119 | | 119 |
| 49 | 1.98603 | | 1.68505 | | 1.68495 | | 59 | 2.05196 | | 1.75097 | | 1.75090 | |
| 10 | 1.98705 | 102 | 1.68607 | 102 | 1.68597 | 102 | 10 | 2.05315 | 119 | 1.75215 | 120 | 1.75209 | 119 |
| 20 | 1.98807 | 102 | 1.68709 | 102 | 1.68700 | 103 | 20 | 2.05434 | 120 | 1.75333 | 120 | 1.75326 | 119 |
| 30 | 1.98910 | 103 | 1.68812 | 103 | 1.68802 | 102 | 30 | 2.05554 | 120 | 1.75454 | 120 | 1.75447 | 120 |
| 40 | 1.99013 | 103 | 1.68914 | 103 | 1.68905 | 103 | 40 | 2.05674 | 120 | 1.75574 | 120 | 1.75567 | 120 |
| 50 | 1.99116 | 103 | 1.69017 | 103 | 1.69008 | 103 | 50 | 2.05794 | 120 | 1.75694 | 120 | 1.75687 | 120 |
| | | | | | | | | | 120 | | 120 | | 121 |
| 50 | 1.99219 | 103 | 1.69121 | 104 | 1.69112 | 104 | 60 | 2.05914 | | 1.75814 | | 1.75806 | |

| ω | z' | Diff. | $\log \cos z$ | Diff. | $\log \sin z$ | Diff. | ω | z' | Diff. | $\log \cos z$ | Diff. | $\log \sin z$ | Diff. |
|----------|---------|-------|---------------|-------|---------------|-------|----------|---------|-------|---------------|-------|---------------|-------|
| 0 | 2 05914 | 121 | 1.75814 | 121 | 1.75908 | 121 | 10 | 2 13833 | 145 | 1.83732 | 145 | 1.83727 | 145 |
| 10 | 2 06154 | 121 | 1.75935 | 121 | 1.76029 | 121 | 10 | 2 13978 | 145 | 1.83877 | 145 | 1.83872 | 146 |
| 20 | 2 06394 | 122 | 1.76056 | 122 | 1.76150 | 122 | 20 | 2 14123 | 146 | 1.84022 | 146 | 1.84018 | 146 |
| 30 | 2 06634 | 122 | 1.76178 | 122 | 1.76271 | 122 | 30 | 2 14268 | 147 | 1.84168 | 147 | 1.84164 | 146 |
| 40 | 2 06874 | 123 | 1.76300 | 123 | 1.76393 | 123 | 40 | 2 14413 | 147 | 1.84315 | 147 | 1.84310 | 147 |
| 50 | 2 07114 | 123 | 1.76422 | 123 | 1.76515 | 123 | 50 | 2 14558 | 147 | 1.84462 | 147 | 1.84457 | 148 |
| 1 | 2 07354 | 123 | 1.76544 | 123 | 1.76638 | 123 | 11 | 2 14703 | 148 | 1.84609 | 148 | 1.84605 | 148 |
| 10 | 2 07594 | 123 | 1.76666 | 123 | 1.76760 | 123 | 10 | 2 14848 | 148 | 1.84757 | 148 | 1.84753 | 148 |
| 20 | 2 07834 | 124 | 1.76788 | 124 | 1.76882 | 124 | 20 | 2 14993 | 149 | 1.84906 | 149 | 1.84901 | 149 |
| 30 | 2 08074 | 124 | 1.76910 | 124 | 1.77004 | 124 | 30 | 2 15138 | 148 | 1.85055 | 149 | 1.85050 | 150 |
| 40 | 2 08314 | 124 | 1.77032 | 124 | 1.77126 | 124 | 40 | 2 15283 | 150 | 1.85204 | 149 | 1.85200 | 150 |
| 50 | 2 08554 | 125 | 1.77154 | 125 | 1.77248 | 125 | 50 | 2 15428 | 150 | 1.85354 | 150 | 1.85350 | 150 |
| 1 | 2 08794 | 125 | 1.77276 | 125 | 1.77370 | 125 | 12 | 2 15573 | 151 | 1.85505 | 151 | 1.85500 | 152 |
| 10 | 2 09034 | 125 | 1.77398 | 125 | 1.77492 | 125 | 10 | 2 15718 | 151 | 1.85656 | 151 | 1.85652 | 151 |
| 20 | 2 09274 | 126 | 1.77520 | 126 | 1.77614 | 126 | 20 | 2 15863 | 151 | 1.85807 | 151 | 1.85803 | 152 |
| 30 | 2 09514 | 126 | 1.77642 | 126 | 1.77736 | 126 | 30 | 2 16008 | 152 | 1.85959 | 152 | 1.85955 | 153 |
| 40 | 2 09754 | 126 | 1.77764 | 126 | 1.77858 | 126 | 40 | 2 16153 | 153 | 1.86112 | 153 | 1.86108 | 153 |
| 50 | 2 09994 | 126 | 1.77886 | 126 | 1.77980 | 126 | 50 | 2 16298 | 153 | 1.86265 | 153 | 1.86261 | 154 |
| 1 | 2 10234 | 127 | 1.78008 | 127 | 1.78102 | 127 | 11 | 2 16443 | 154 | 1.86419 | 154 | 1.86415 | 154 |
| 10 | 2 10474 | 127 | 1.78130 | 127 | 1.78224 | 127 | 10 | 2 16588 | 154 | 1.86573 | 154 | 1.86569 | 155 |
| 20 | 2 10714 | 128 | 1.78252 | 128 | 1.78346 | 128 | 20 | 2 16733 | 155 | 1.86728 | 155 | 1.86724 | 155 |
| 30 | 2 10954 | 128 | 1.78374 | 128 | 1.78468 | 128 | 30 | 2 16878 | 155 | 1.86883 | 155 | 1.86879 | 156 |
| 40 | 2 11194 | 129 | 1.78496 | 129 | 1.78590 | 129 | 40 | 2 17023 | 157 | 1.87039 | 156 | 1.87035 | 157 |
| 50 | 2 11434 | 129 | 1.78618 | 129 | 1.78712 | 129 | 50 | 2 17168 | 157 | 1.87196 | 157 | 1.87192 | 157 |
| 1 | 2 11674 | 130 | 1.78740 | 130 | 1.78834 | 130 | 11 | 2 17313 | 157 | 1.87353 | 157 | 1.87349 | 158 |
| 10 | 2 11914 | 130 | 1.78862 | 130 | 1.78956 | 130 | 10 | 2 17458 | 158 | 1.87511 | 158 | 1.87507 | 158 |
| 20 | 2 12154 | 130 | 1.78984 | 130 | 1.79078 | 130 | 20 | 2 17603 | 158 | 1.87669 | 158 | 1.87665 | 159 |
| 30 | 2 12394 | 131 | 1.79106 | 131 | 1.79200 | 131 | 30 | 2 17748 | 159 | 1.87828 | 159 | 1.87824 | 159 |
| 40 | 2 12634 | 131 | 1.79228 | 131 | 1.79322 | 131 | 40 | 2 17893 | 159 | 1.87987 | 159 | 1.87983 | 159 |
| 50 | 2 12874 | 131 | 1.79350 | 131 | 1.79444 | 131 | 50 | 2 18038 | 160 | 1.88147 | 160 | 1.88143 | 161 |
| 1 | 2 13114 | 132 | 1.79472 | 132 | 1.79566 | 132 | 11 | 2 18183 | 161 | 1.88307 | 161 | 1.88303 | 161 |
| 10 | 2 13354 | 132 | 1.79594 | 132 | 1.79688 | 132 | 10 | 2 18328 | 161 | 1.88469 | 162 | 1.88465 | 162 |
| 20 | 2 13594 | 133 | 1.79716 | 133 | 1.79810 | 133 | 20 | 2 18473 | 161 | 1.88630 | 161 | 1.88627 | 162 |
| 30 | 2 13834 | 133 | 1.79838 | 133 | 1.79932 | 133 | 30 | 2 18618 | 163 | 1.88793 | 163 | 1.88789 | 163 |
| 40 | 2 14074 | 133 | 1.79960 | 133 | 1.80054 | 133 | 40 | 2 18763 | 163 | 1.88956 | 163 | 1.88952 | 163 |
| 50 | 2 14314 | 134 | 1.80082 | 134 | 1.80176 | 134 | 50 | 2 18908 | 163 | 1.89119 | 163 | 1.89116 | 164 |
| 1 | 2 14554 | 134 | 1.80204 | 134 | 1.80298 | 134 | 11 | 2 19053 | 165 | 1.89283 | 165 | 1.89279 | 165 |
| 10 | 2 14794 | 135 | 1.80326 | 135 | 1.80420 | 135 | 10 | 2 19198 | 164 | 1.89448 | 165 | 1.89445 | 165 |
| 20 | 2 15034 | 135 | 1.80448 | 135 | 1.80542 | 135 | 20 | 2 19343 | 166 | 1.89614 | 166 | 1.89610 | 166 |
| 30 | 2 15274 | 136 | 1.80570 | 136 | 1.80664 | 136 | 30 | 2 19488 | 166 | 1.89780 | 166 | 1.89776 | 166 |
| 40 | 2 15514 | 136 | 1.80692 | 136 | 1.80786 | 136 | 40 | 2 19633 | 167 | 1.89946 | 167 | 1.89943 | 167 |
| 50 | 2 15754 | 136 | 1.80814 | 136 | 1.80908 | 136 | 50 | 2 19778 | 168 | 1.90114 | 168 | 1.90110 | 168 |
| 1 | 2 15994 | 137 | 1.80936 | 137 | 1.81030 | 137 | 11 | 2 19923 | 168 | 1.90283 | 168 | 1.90279 | 168 |
| 10 | 2 16234 | 137 | 1.81058 | 137 | 1.81152 | 137 | 10 | 2 20068 | 169 | 1.90453 | 169 | 1.90449 | 169 |
| 20 | 2 16474 | 138 | 1.81180 | 138 | 1.81274 | 138 | 20 | 2 20213 | 169 | 1.90623 | 170 | 1.90619 | 170 |
| 30 | 2 16714 | 138 | 1.81302 | 138 | 1.81396 | 138 | 30 | 2 20358 | 170 | 1.90793 | 170 | 1.90789 | 171 |
| 40 | 2 16954 | 139 | 1.81424 | 139 | 1.81518 | 139 | 40 | 2 20503 | 171 | 1.90963 | 171 | 1.90959 | 171 |
| 50 | 2 17194 | 139 | 1.81546 | 139 | 1.81640 | 139 | 50 | 2 20648 | 171 | 1.91133 | 172 | 1.91129 | 172 |
| 1 | 2 17434 | 140 | 1.81668 | 140 | 1.81762 | 140 | 11 | 2 20793 | 172 | 1.91303 | 172 | 1.91300 | 172 |
| 10 | 2 17674 | 140 | 1.81790 | 140 | 1.81884 | 140 | 10 | 2 20938 | 173 | 1.91473 | 173 | 1.91470 | 173 |
| 20 | 2 17914 | 141 | 1.81912 | 141 | 1.82006 | 141 | 20 | 2 21083 | 173 | 1.91643 | 174 | 1.91640 | 174 |
| 30 | 2 18154 | 141 | 1.82034 | 141 | 1.82128 | 141 | 30 | 2 21228 | 174 | 1.91813 | 174 | 1.91810 | 174 |
| 40 | 2 18394 | 141 | 1.82156 | 141 | 1.82250 | 141 | 40 | 2 21373 | 175 | 1.91983 | 175 | 1.91980 | 175 |
| 50 | 2 18634 | 142 | 1.82278 | 142 | 1.82372 | 142 | 50 | 2 21518 | 175 | 1.92153 | 176 | 1.92150 | 176 |
| 1 | 2 18874 | 142 | 1.82400 | 142 | 1.82494 | 142 | 11 | 2 21663 | 176 | 1.92323 | 176 | 1.92320 | 176 |
| 10 | 2 19114 | 142 | 1.82522 | 142 | 1.82616 | 142 | 10 | 2 21808 | 177 | 1.92493 | 177 | 1.92490 | 177 |
| 20 | 2 19354 | 143 | 1.82644 | 143 | 1.82738 | 143 | 20 | 2 21953 | 178 | 1.92663 | 178 | 1.92660 | 178 |
| 30 | 2 19594 | 143 | 1.82766 | 143 | 1.82860 | 143 | 30 | 2 22098 | 178 | 1.92833 | 179 | 1.92830 | 179 |
| 40 | 2 19834 | 144 | 1.82888 | 144 | 1.82982 | 144 | 40 | 2 22243 | 179 | 1.93003 | 180 | 1.93000 | 180 |
| 50 | 2 20074 | 144 | 1.83010 | 144 | 1.83104 | 144 | 50 | 2 22388 | 180 | 1.93173 | 180 | 1.93170 | 180 |
| 1 | 2 20314 | 145 | 1.83132 | 145 | 1.83226 | 145 | 11 | 2 22533 | 181 | 1.93343 | 181 | 1.93340 | 181 |
| 10 | 2 20554 | 145 | 1.83254 | 145 | 1.83348 | 145 | 10 | 2 22678 | 181 | 1.93513 | 181 | 1.93510 | 181 |
| 20 | 2 20794 | 145 | 1.83376 | 145 | 1.83470 | 145 | 20 | 2 22823 | 182 | 1.93683 | 182 | 1.93680 | 182 |
| 30 | 2 21034 | 145 | 1.83498 | 145 | 1.83592 | 145 | 30 | 2 22968 | 182 | 1.93853 | 182 | 1.93850 | 182 |
| 40 | 2 21274 | 145 | 1.83620 | 145 | 1.83714 | 145 | 40 | 2 23113 | 183 | 1.94023 | 183 | 1.94020 | 183 |
| 50 | 2 21514 | 145 | 1.83742 | 145 | 1.83836 | 145 | 50 | 2 23258 | 183 | 1.94193 | 183 | 1.94190 | 183 |
| 1 | 2 21754 | 145 | 1.83864 | 145 | 1.83958 | 145 | 11 | 2 23403 | 184 | 1.94363 | 184 | 1.94360 | 184 |
| 10 | 2 21994 | 145 | 1.83986 | 145 | 1.84080 | 145 | 10 | 2 23548 | 184 | 1.94533 | 184 | 1.94530 | 184 |
| 20 | 2 22234 | 145 | 1.84108 | 145 | 1.84202 | 145 | 20 | 2 23693 | 185 | 1.94703 | 185 | 1.94700 | 185 |
| 30 | 2 22474 | 145 | 1.84230 | 145 | 1.84324 | 145 | 30 | 2 23838 | 185 | 1.94873 | 185 | 1.94870 | 185 |
| 40 | 2 22714 | 145 | 1.84352 | 145 | 1.84446 | 145 | 40 | 2 23983 | 186 | 1.95043 | 186 | 1.95040 | 186 |
| 50 | 2 22954 | 145 | 1.84474 | 145 | 1.84568 | 145 | 50 | 2 24128 | 186 | 1.95213 | 186 | 1.95210 | 186 |
| 1 | 2 23194 | 145 | 1.84596 | 145 | 1.84690 | 145 | 11 | 2 24273 | 187 | 1.95383 | 187 | 1.95380 | 187 |
| 10 | 2 23434 | 145 | 1.84718 | 145 | 1.84812 | 145 | 10 | 2 24418 | 187 | 1.95553 | 187 | 1.95550 | 187 |
| 20 | 2 23674 | 145 | 1.84840 | 145 | 1.84934 | 145 | 20 | 2 24563 | 188 | 1.95723 | 188 | 1.95720 | 188 |
| 30 | 2 23914 | 145 | 1.84962 | 145 | 1.85056 | 145 | 30 | 2 24708 | 188 | 1.95893 | 188 | 1.95890 | 188 |
| 40 | 2 24154 | 145 | 1.85084 | 145 | 1.85178 | 145 | 40 | 2 24853 | 189 | 1.96063 | 189 | 1.96060 | 189 |
| 50 | 2 24394 | 145 | 1.85206 | 145 | 1.85300 | 145 | 50 | 2 24998 | 189 | 1.96233 | 189 | 1.96230 | 189 |
| 1 | 2 24634 | 145 | 1.85328 | 145 | 1.85422 | 145 | 11 | 2 25143 | 190 | 1.96403 | 190 | 1.96400 | 190 |
| 10 | 2 24874 | 145 | 1.85450 | 145 | 1.85544 | 145 | 10 | 2 25288 | 190 | 1.96573 | 190 | 1.96570 | 190 |
| 20 | 2 25114 | 145 | 1.85572 | 145 | 1.85666 | 145 | 20 | 2 25433 | 191 | 1.96743 | 191 | 1.96740 | 191 |
| 30 | 2 25354 | 145 | 1.85694 | 145 | 1.85788 | 145 | 30 | 2 25578 | 191 | 1.96913 | 191 | 1.96910 | 191 |
| 40 | 2 25594 | 145 | 1.85816 | 145 | 1.85910 | 145 | 40 | 2 25723 | 192 | 1.97083 | 192 | 1.97080 | 192 |
| 50 | 2 25834 | 145 | 1.85938 | 145 | 1.86032 | 145 | 50 | 2 25868 | 192 | 1.97253 | 192 | 1.97250 | 192 |
| 1 | 2 26074 | 145 | 1.86060 | 145 | 1.86154 | 145 | 11 | 2 26013 | 193 | 1.97423 | 193 | 1.97420 | 193 |
| 10 | 2 26314 | 145 | 1.86182 | 145 | 1.86276 | 145 | 10 | 2 26158 | 193 | 1.97593 | 193 | 1.97590 | 193 |
| 20 | 2 26554 | 145 | 1.86304 | 145 | 1.86398 | 145 | 20 | 2 26303 | 194 | 1.97763 | 194 | 1.97760 | 194 |
| 30 | 2 26794 | 145 | 1.86426 | 145 | 1.86520 | 145 | 30 | 2 26448 | 194 | | | | |

| ω | ϵ' | Diff. | $\log \cos z$ | Diff. | $\log \sin z$ | Diff. | ω | ϵ' | Diff. | $\log \cos z$ | Diff. | $\log \sin z$ | Diff. |
|----------|-------------|-------|---------------|-------|---------------|-------|----------|-------------|-------|---------------|-------|---------------|-------|
| 20 | 2 23534 | | 1 93422 | | 1 93419 | | 30 | 2 30018 | | 2 05916 | | 2 05914 | |
| 10 | 2 23705 | 181 | 1 93701 | 182 | 1 93601 | 182 | 10 | 2 30260 | 242 | 2 06158 | 242 | 2 06156 | 242 |
| 20 | 2 23887 | 182 | 1 93786 | 182 | 1 93783 | 182 | 20 | 2 30503 | 243 | 2 06401 | 243 | 2 06399 | 243 |
| 30 | 2 24070 | 183 | 1 93869 | 183 | 1 93966 | 183 | 30 | 2 30748 | 245 | 2 06646 | 245 | 2 06644 | 245 |
| 40 | 2 24254 | 184 | 1 94159 | 183 | 1 94149 | 183 | 40 | 2 30994 | 246 | 2 06892 | 246 | 2 06890 | 246 |
| 50 | 2 24438 | 184 | 1 94337 | 185 | 1 94334 | 185 | 50 | 2 31241 | 247 | 2 07139 | 247 | 2 07138 | 248 |
| 21 | 2 24625 | 185 | 1 94529 | 185 | 1 94519 | 185 | 21 | 2 31490 | 249 | 2 07388 | 249 | 2 07387 | 249 |
| 22 | 2 24809 | 186 | 1 94708 | 186 | 1 94705 | 186 | 22 | 2 31741 | 251 | 2 07638 | 251 | 2 07637 | 250 |
| 23 | 2 24996 | 187 | 1 94895 | 187 | 1 94892 | 187 | 23 | 2 31992 | 251 | 2 07889 | 252 | 2 07889 | 252 |
| 24 | 2 25184 | 188 | 1 95082 | 187 | 1 95079 | 187 | 24 | 2 32246 | 254 | 2 08143 | 253 | 2 08142 | 253 |
| 25 | 2 25372 | 188 | 1 95270 | 189 | 1 95268 | 189 | 25 | 2 32500 | 254 | 2 08398 | 255 | 2 08397 | 255 |
| 26 | 2 25562 | 190 | 1 95460 | 189 | 1 95457 | 189 | 26 | 2 32757 | 257 | 2 08654 | 256 | 2 08653 | 256 |
| 27 | 2 25752 | 190 | 1 95650 | 190 | 1 95647 | 190 | 27 | 2 33015 | 257 | 2 08912 | 258 | 2 08911 | 258 |
| 28 | 2 25942 | 190 | 1 95841 | 191 | 1 95838 | 191 | 28 | 2 33274 | 260 | 2 09171 | 259 | 2 09170 | 259 |
| 29 | 2 26133 | 192 | 1 96033 | 192 | 1 96030 | 192 | 29 | 2 33534 | 260 | 2 09432 | 261 | 2 09431 | 261 |
| 30 | 2 26327 | 193 | 1 96225 | 193 | 1 96223 | 193 | 30 | 2 33797 | 263 | 2 09695 | 263 | 2 09693 | 262 |
| 31 | 2 26520 | 193 | 1 96410 | 194 | 1 96416 | 193 | 31 | 2 40061 | 264 | 2 09959 | 264 | 2 09957 | 264 |
| 32 | 2 26715 | 195 | 1 96593 | 194 | 1 96610 | 194 | 32 | 2 40327 | 266 | 2 10223 | 265 | 2 10222 | 265 |
| 33 | 2 26910 | 195 | 1 96808 | 195 | 1 96808 | 196 | 33 | 2 40594 | 267 | 2 10491 | 267 | 2 10490 | 267 |
| 34 | 2 27106 | 196 | 1 97034 | 196 | 1 97002 | 196 | 34 | 2 40863 | 269 | 2 10760 | 269 | 2 10759 | 269 |
| 35 | 2 27303 | 197 | 1 97261 | 197 | 1 97199 | 197 | 35 | 2 41133 | 270 | 2 11031 | 271 | 2 11030 | 271 |
| 36 | 2 27501 | 198 | 1 97490 | 198 | 1 97396 | 197 | 36 | 2 41406 | 273 | 2 11303 | 272 | 2 11302 | 272 |
| 37 | 2 27699 | 198 | 1 97728 | 199 | 1 97595 | 199 | 37 | 2 41680 | 274 | 2 11576 | 274 | 2 11576 | 274 |
| 38 | 2 27898 | 200 | 1 97977 | 201 | 1 97795 | 200 | 38 | 2 41955 | 275 | 2 11853 | 276 | 2 11852 | 276 |
| 39 | 2 28100 | 201 | 1 98236 | 201 | 1 97999 | 201 | 39 | 2 42233 | 278 | 2 12130 | 277 | 2 12127 | 277 |
| 40 | 2 28301 | 201 | 1 98497 | 203 | 1 98197 | 203 | 40 | 2 42512 | 279 | 2 12410 | 280 | 2 12409 | 280 |
| 41 | 2 28504 | 203 | 1 98762 | 203 | 1 98490 | 203 | 41 | 2 42793 | 281 | 2 12691 | 281 | 2 12690 | 281 |
| 42 | 2 28707 | 203 | 1 99030 | 203 | 1 98763 | 203 | 42 | 2 43076 | 283 | 2 12974 | 283 | 2 12973 | 283 |
| 43 | 2 28912 | 205 | 1 99301 | 205 | 1 99007 | 204 | 43 | 2 43361 | 285 | 2 13259 | 285 | 2 13257 | 284 |
| 44 | 2 29117 | 206 | 1 99575 | 206 | 1 99313 | 206 | 44 | 2 43648 | 287 | 2 13545 | 286 | 2 13544 | 287 |
| 45 | 2 29323 | 206 | 1 99852 | 206 | 1 99592 | 206 | 45 | 2 43936 | 288 | 2 13834 | 289 | 2 13833 | 289 |
| 46 | 2 29531 | 208 | 2 00132 | 208 | 1 99921 | 207 | 46 | 2 44227 | 291 | 2 14124 | 290 | 2 14123 | 290 |
| 47 | 2 29739 | 208 | 2 00416 | 208 | 2 00206 | 209 | 47 | 2 44519 | 292 | 2 14417 | 293 | 2 14416 | 293 |
| 48 | 2 29948 | 209 | 2 00705 | 209 | 2 00495 | 209 | 48 | 2 44814 | 295 | 2 14711 | 294 | 2 14710 | 294 |
| 49 | 2 30158 | 210 | 2 01000 | 211 | 2 00794 | 210 | 49 | 2 45110 | 296 | 2 15008 | 297 | 2 15007 | 297 |
| 50 | 2 30369 | 212 | 2 01298 | 212 | 2 01096 | 212 | 50 | 2 45409 | 299 | 2 15306 | 298 | 2 15305 | 298 |
| 26 | 2 30579 | 212 | 2 01598 | 212 | 2 01397 | 212 | 26 | 2 45709 | 300 | 2 15607 | 301 | 2 15606 | 301 |
| 27 | 2 30788 | 214 | 2 01899 | 214 | 2 01699 | 214 | 27 | 2 46012 | 303 | 2 15909 | 302 | 2 15908 | 302 |
| 28 | 2 31010 | 214 | 2 02203 | 214 | 2 02006 | 214 | 28 | 2 46317 | 305 | 2 16214 | 305 | 2 16213 | 305 |
| 29 | 2 31229 | 216 | 2 02510 | 216 | 2 02313 | 216 | 29 | 2 46623 | 306 | 2 16521 | 307 | 2 16520 | 307 |
| 30 | 2 31449 | 216 | 2 02818 | 216 | 2 02623 | 216 | 30 | 2 46930 | 310 | 2 16830 | 309 | 2 16829 | 309 |
| 31 | 2 31669 | 218 | 2 03128 | 218 | 2 02936 | 218 | 31 | 2 47244 | 311 | 2 17141 | 311 | 2 17140 | 311 |
| 32 | 2 31879 | 219 | 2 03440 | 219 | 2 03250 | 219 | 32 | 2 47557 | 313 | 2 17455 | 314 | 2 17454 | 314 |
| 33 | 2 32090 | 220 | 2 03754 | 220 | 2 03566 | 220 | 33 | 2 47871 | 316 | 2 17771 | 316 | 2 17770 | 316 |
| 34 | 2 32301 | 221 | 2 04070 | 221 | 2 03883 | 221 | 34 | 2 48186 | 318 | 2 18089 | 318 | 2 18088 | 318 |
| 35 | 2 32512 | 222 | 2 04388 | 222 | 2 04203 | 222 | 35 | 2 48502 | 321 | 2 18409 | 320 | 2 18409 | 321 |
| 36 | 2 32725 | 223 | 2 04708 | 223 | 2 04526 | 223 | 36 | 2 48819 | 323 | 2 18732 | 323 | 2 18731 | 323 |
| 37 | 2 32938 | 224 | 2 05028 | 224 | 2 04846 | 225 | 37 | 2 49137 | 325 | 2 19058 | 326 | 2 19057 | 326 |
| 38 | 2 33151 | 226 | 2 05350 | 226 | 2 05168 | 225 | 38 | 2 49456 | 328 | 2 19386 | 327 | 2 19385 | 328 |
| 39 | 2 33365 | 227 | 2 05674 | 227 | 2 05492 | 227 | 39 | 2 49776 | 330 | 2 19715 | 331 | 2 19715 | 330 |
| 40 | 2 33579 | 228 | 2 06000 | 228 | 2 05818 | 228 | 40 | 2 50097 | 333 | 2 20046 | 332 | 2 20045 | 333 |
| 41 | 2 33793 | 229 | 2 06327 | 229 | 2 06145 | 229 | 41 | 2 50419 | 335 | 2 20378 | 336 | 2 20378 | 335 |
| 42 | 2 34008 | 230 | 2 06656 | 230 | 2 06474 | 230 | 42 | 2 50742 | 338 | 2 20712 | 338 | 2 20712 | 338 |
| 43 | 2 34223 | 232 | 2 06987 | 232 | 2 06805 | 231 | 43 | 2 51066 | 341 | 2 21047 | 341 | 2 21047 | 341 |
| 44 | 2 34438 | 233 | 2 07320 | 233 | 2 07138 | 233 | 44 | 2 51391 | 343 | 2 21383 | 344 | 2 21383 | 344 |
| 45 | 2 34654 | 234 | 2 07655 | 234 | 2 07473 | 234 | 45 | 2 51716 | 346 | 2 21720 | 346 | 2 21720 | 346 |
| 46 | 2 34869 | 235 | 2 07992 | 235 | 2 07810 | 235 | 46 | 2 52042 | 349 | 2 22058 | 349 | 2 22058 | 349 |
| 47 | 2 35085 | 237 | 2 08330 | 237 | 2 08148 | 236 | 47 | 2 52369 | 352 | 2 22397 | 351 | 2 22397 | 351 |
| 48 | 2 35301 | 238 | 2 08670 | 238 | 2 08488 | 238 | 48 | 2 52697 | 354 | 2 22737 | 355 | 2 22737 | 355 |
| 49 | 2 35517 | 239 | 2 09012 | 239 | 2 08830 | 239 | 49 | 2 53027 | 358 | 2 23078 | 357 | 2 23078 | 357 |
| 50 | 2 35733 | 241 | 2 09356 | 241 | 2 09174 | 240 | 50 | 2 53357 | 360 | 2 23419 | 361 | 2 23419 | 361 |

$\omega = 89 \text{ Grad.}$

| ω | z' | Diff. | $\log \cos z$ | Diff. | $\log \sin z$ | Diff. | ω | z' | Diff. | $\log \cos z$ | Diff. | $\log \sin z$ | Diff. |
|----------|---------|-------|---------------|-------|---------------|-------|----------|---------|-------|---------------|-------|---------------|-------|
| 40 | 2.53697 | | 2.23525 | | 2.23524 | | 50 | 2.83730 | | 2.53697 | | 2.53697 | |
| 10 | 2.53699 | 364 | 2.23888 | 363 | 2.23887 | 363 | 10 | 2.84160 | 730 | 2.53697 | 730 | 2.53697 | 730 |
| 20 | 2.53701 | 366 | 2.24255 | 367 | 2.24254 | 367 | 20 | 2.84590 | 743 | 2.53701 | 743 | 2.53701 | 743 |
| 30 | 2.53703 | 370 | 2.24624 | 369 | 2.24623 | 369 | 30 | 2.85020 | 756 | 2.53703 | 756 | 2.53703 | 756 |
| 40 | 2.53705 | 373 | 2.24996 | 373 | 2.24996 | 373 | 40 | 2.85450 | 769 | 2.53705 | 769 | 2.53705 | 769 |
| 50 | 2.53707 | 376 | 2.25373 | 376 | 2.25372 | 376 | 50 | 2.85880 | 782 | 2.53707 | 782 | 2.53707 | 782 |
| 1 | 2.53709 | 379 | 2.25752 | 379 | 2.25751 | 380 | 1 | 2.86310 | 797 | 2.53709 | 797 | 2.53709 | 797 |
| 10 | 2.53711 | 383 | 2.26135 | 383 | 2.26134 | 382 | 10 | 2.86740 | 812 | 2.53711 | 812 | 2.53711 | 812 |
| 20 | 2.53713 | 386 | 2.26518 | 386 | 2.26517 | 386 | 20 | 2.87170 | 827 | 2.53713 | 827 | 2.53713 | 827 |
| 30 | 2.53715 | 389 | 2.26901 | 389 | 2.26900 | 390 | 30 | 2.87600 | 843 | 2.53715 | 843 | 2.53715 | 843 |
| 40 | 2.53717 | 393 | 2.27283 | 393 | 2.27282 | 393 | 40 | 2.88030 | 860 | 2.53717 | 860 | 2.53717 | 860 |
| 50 | 2.53719 | 397 | 2.27666 | 397 | 2.27665 | 396 | 50 | 2.88460 | 878 | 2.53719 | 878 | 2.53719 | 878 |
| 1 | 2.53721 | 400 | 2.28049 | 400 | 2.28048 | 401 | 1 | 2.88890 | 895 | 2.53721 | 895 | 2.53721 | 895 |
| 10 | 2.53723 | 404 | 2.28432 | 404 | 2.28431 | 404 | 10 | 2.89320 | 915 | 2.53723 | 915 | 2.53723 | 915 |
| 20 | 2.53725 | 408 | 2.28815 | 408 | 2.28814 | 408 | 20 | 2.89750 | 934 | 2.53725 | 934 | 2.53725 | 934 |
| 30 | 2.53727 | 411 | 2.29198 | 411 | 2.29197 | 411 | 30 | 2.90180 | 954 | 2.53727 | 954 | 2.53727 | 954 |
| 40 | 2.53729 | 416 | 2.29581 | 416 | 2.29580 | 416 | 40 | 2.90610 | 976 | 2.53729 | 976 | 2.53729 | 976 |
| 50 | 2.53731 | 420 | 2.29964 | 420 | 2.29963 | 419 | 50 | 2.91040 | 999 | 2.53731 | 999 | 2.53731 | 999 |
| 1 | 2.53733 | 423 | 2.30347 | 423 | 2.30346 | 424 | 1 | 2.91470 | 1022 | 2.53733 | 1022 | 2.53733 | 1022 |
| 10 | 2.53735 | 428 | 2.30730 | 428 | 2.30729 | 428 | 10 | 2.91900 | 1046 | 2.53735 | 1046 | 2.53735 | 1046 |
| 20 | 2.53737 | 432 | 2.31113 | 432 | 2.31112 | 432 | 20 | 2.92330 | 1073 | 2.53737 | 1073 | 2.53737 | 1073 |
| 30 | 2.53739 | 437 | 2.31496 | 437 | 2.31495 | 437 | 30 | 2.92760 | 1099 | 2.53739 | 1099 | 2.53739 | 1099 |
| 40 | 2.53741 | 441 | 2.31879 | 441 | 2.31878 | 441 | 40 | 2.93190 | 1128 | 2.53741 | 1128 | 2.53741 | 1128 |
| 50 | 2.53743 | 445 | 2.32262 | 445 | 2.32261 | 445 | 50 | 2.93620 | 1158 | 2.53743 | 1158 | 2.53743 | 1158 |
| 1 | 2.53745 | 450 | 2.32645 | 450 | 2.32644 | 450 | 1 | 2.94050 | 1190 | 2.53745 | 1190 | 2.53745 | 1190 |
| 10 | 2.53747 | 455 | 2.33028 | 455 | 2.33027 | 455 | 10 | 2.94480 | 1224 | 2.53747 | 1224 | 2.53747 | 1224 |
| 20 | 2.53749 | 460 | 2.33411 | 460 | 2.33410 | 459 | 20 | 2.94910 | 1259 | 2.53749 | 1259 | 2.53749 | 1259 |
| 30 | 2.53751 | 464 | 2.33794 | 464 | 2.33793 | 465 | 30 | 2.95340 | 1296 | 2.53751 | 1296 | 2.53751 | 1296 |
| 40 | 2.53753 | 470 | 2.34177 | 470 | 2.34176 | 469 | 40 | 2.95770 | 1337 | 2.53753 | 1337 | 2.53753 | 1337 |
| 50 | 2.53755 | 474 | 2.34560 | 474 | 2.34559 | 475 | 50 | 2.96200 | 1378 | 2.53755 | 1378 | 2.53755 | 1378 |
| 1 | 2.53757 | 480 | 2.34943 | 480 | 2.34942 | 480 | 1 | 2.96630 | 1424 | 2.53757 | 1424 | 2.53757 | 1424 |
| 10 | 2.53759 | 485 | 2.35326 | 485 | 2.35325 | 485 | 10 | 2.97060 | 1473 | 2.53759 | 1473 | 2.53759 | 1473 |
| 20 | 2.53761 | 491 | 2.35709 | 491 | 2.35708 | 491 | 20 | 2.97490 | 1524 | 2.53761 | 1524 | 2.53761 | 1524 |
| 30 | 2.53763 | 497 | 2.36092 | 497 | 2.36091 | 496 | 30 | 2.97920 | 1579 | 2.53763 | 1579 | 2.53763 | 1579 |
| 40 | 2.53765 | 502 | 2.36475 | 502 | 2.36474 | 502 | 40 | 2.98350 | 1639 | 2.53765 | 1639 | 2.53765 | 1639 |
| 50 | 2.53767 | 508 | 2.36858 | 508 | 2.36857 | 508 | 50 | 2.98780 | 1704 | 2.53767 | 1704 | 2.53767 | 1704 |
| 1 | 2.53769 | 514 | 2.37241 | 514 | 2.37240 | 514 | 1 | 2.99210 | 1772 | 2.53769 | 1772 | 2.53769 | 1772 |
| 10 | 2.53771 | 520 | 2.37624 | 520 | 2.37623 | 520 | 10 | 2.99640 | 1849 | 2.53771 | 1849 | 2.53771 | 1849 |
| 20 | 2.53773 | 526 | 2.38007 | 526 | 2.38006 | 527 | 20 | 3.00070 | 1930 | 2.53773 | 1930 | 2.53773 | 1930 |
| 30 | 2.53775 | 533 | 2.38390 | 533 | 2.38389 | 533 | 30 | 3.00500 | 2021 | 2.53775 | 2021 | 2.53775 | 2021 |
| 40 | 2.53777 | 539 | 2.38773 | 539 | 2.38772 | 539 | 40 | 3.00930 | 2119 | 2.53777 | 2119 | 2.53777 | 2119 |
| 50 | 2.53779 | 547 | 2.39156 | 547 | 2.39155 | 547 | 50 | 3.01360 | 2227 | 2.53779 | 2227 | 2.53779 | 2227 |
| 1 | 2.53781 | 553 | 2.39539 | 553 | 2.39538 | 553 | 1 | 3.01790 | 2348 | 2.53781 | 2348 | 2.53781 | 2348 |
| 10 | 2.53783 | 560 | 2.42223 | 560 | 2.42222 | 560 | 10 | 3.02220 | 2483 | 2.53783 | 2483 | 2.53783 | 2483 |
| 20 | 2.53785 | 567 | 2.42606 | 567 | 2.42605 | 568 | 20 | 3.02650 | 2633 | 2.53785 | 2633 | 2.53785 | 2633 |
| 30 | 2.53787 | 575 | 2.42989 | 575 | 2.42988 | 575 | 30 | 3.03080 | 2802 | 2.53787 | 2802 | 2.53787 | 2802 |
| 40 | 2.53789 | 583 | 2.43372 | 583 | 2.43371 | 583 | 40 | 3.03510 | 2997 | 2.53789 | 2997 | 2.53789 | 2997 |
| 50 | 2.53791 | 591 | 2.43755 | 591 | 2.43754 | 591 | 50 | 3.03940 | 3218 | 2.53791 | 3218 | 2.53791 | 3218 |
| 1 | 2.53793 | 599 | 2.44138 | 599 | 2.44137 | 599 | 1 | 3.04370 | 3476 | 2.53793 | 3476 | 2.53793 | 3476 |
| 10 | 2.53795 | 608 | 2.44521 | 608 | 2.44520 | 608 | 10 | 3.04800 | 3779 | 2.53795 | 3779 | 2.53795 | 3779 |
| 20 | 2.53797 | 616 | 2.44904 | 616 | 2.44903 | 616 | 20 | 3.05230 | 4140 | 2.53797 | 4140 | 2.53797 | 4140 |
| 30 | 2.53799 | 625 | 2.45287 | 625 | 2.45286 | 625 | 30 | 3.05660 | 4575 | 2.53799 | 4575 | 2.53799 | 4575 |
| 40 | 2.53801 | 634 | 2.45670 | 634 | 2.45669 | 634 | 40 | 3.06090 | 5116 | 2.53801 | 5116 | 2.53801 | 5116 |
| 50 | 2.53803 | 643 | 2.46053 | 643 | 2.46052 | 644 | 50 | 3.06520 | 5799 | 2.53803 | 5799 | 2.53803 | 5799 |
| 1 | 2.53805 | 653 | 2.46436 | 653 | 2.46435 | 653 | 1 | 3.06950 | 6694 | 2.53805 | 6694 | 2.53805 | 6694 |
| 10 | 2.53807 | 663 | 2.46819 | 663 | 2.46818 | 663 | 10 | 3.07380 | 7919 | 2.53807 | 7919 | 2.53807 | 7919 |
| 20 | 2.53809 | 673 | 2.47202 | 673 | 2.47201 | 673 | 20 | 3.07810 | 9691 | 2.53809 | 9691 | 2.53809 | 9691 |
| 30 | 2.53811 | 684 | 2.47585 | 684 | 2.47584 | 684 | 30 | 3.08240 | 12493 | 2.53811 | 12493 | 2.53811 | 12493 |
| 40 | 2.53813 | 695 | 2.47968 | 695 | 2.47967 | 695 | 40 | 3.08670 | 17610 | 2.53813 | 17610 | 2.53813 | 17610 |
| 50 | 2.53815 | 706 | 2.48351 | 706 | 2.48350 | 706 | 50 | 3.09100 | 30103 | 2.53815 | 30103 | 2.53815 | 30103 |
| 1 | 2.53817 | 718 | 2.48734 | 718 | 2.48733 | 718 | 1 | 3.09530 | | 2.53817 | | 2.53817 | |

Druckfehler in der Abhandlung.

Seite 3 Zeile 13 lies $74^{\circ} 35' 7''$ statt $74^{\circ} 36' 4''$.

Seite 4 Zeile 8 von unten lies von deren constantem statt von dem constanten.

Seite 10 Zeile 1 von unten. Es fehlt am Rande Fig. 2.

Seite 11 Zeile 4. Ueber den Punkt K ist keine Auskunft gegeben. Es ist derjenige Punkt, in welchem die in Fig. 2 noch zu ziehende Linie CF die schon vorhandene Linie BH trifft.

Seite 19 Zeile 1 von unten lies zweimal f^3 statt f^2 .

Seite 20 Zeile 11 von unten lies $\sqrt[3]{K-L}$ statt $\sqrt[3]{K+L}$.

Seite 20 Zeile 5 von unten lies $\cos z$ statt \cos .

Seite 24 Zeile 3 v. u. lies f^3 statt f^2 und ferner lies $-\sqrt{g^2-f^2}$ statt $+\sqrt{g^2-f^2}$.

Seite 33 Zeile 6 v. u. lies 2,5331038 statt 2,5331028.

Seite 33 Zeile 3 v. u. Aus log. $\lg \frac{v}{2} = 0.2968373$ folgt nach Shortrede's Tafeln von 1858, $v = 126^{\circ}$

$25' 34''$, so dass nur $A = 0^{\circ}, 04$ ist.

Seite 39. Beispiel 12. Eine etwas sorgsamere Rechnung mit den funfstelligen Tafeln giebt e nicht $= 1, 1$, sondern $e = 1,0999$.

Seite 56 Zeile 10 v. u. lies $\frac{\alpha^4}{54}$ statt $\frac{\alpha_4}{54}$.

Seite 56 Zeile 4 v. u. lies α^2 statt α^3 .

Auf den jetzt entbehrlichen Seiten 67 und 68 befanden sich auch noch ein Paar Fehler, die sich indess aus den Tafeln leicht corrigiren lassen.

Druckfehler in den Tafeln.

| 1) bei den z' | | | 2) bei Diff. z' | | | 3) bei $\log \cos z$ | | | 4) bei Diff. $\log \cos z$ | | |
|----------------------|---------|---------|-----------------------|------|-------|----------------------|---------|---------|----------------------------|------|-------|
| w | Lies | Statt | w | Lies | Statt | w | Lies | Statt | w | Lies | Statt |
| $2^{\circ} 27' 30''$ | (1)8640 | (1)8640 | $33^{\circ} 47'$ | 15 | 25 | $2^{\circ} 31' 0''$ | (34)908 | (41)908 | $9^{\circ} 13'$ | 205 | 275 |
| $3^{\circ} 5' 20''$ | (1)8425 | (1)8425 | $61^{\circ} 32'$ | 27 | 37 | $2^{\circ} 31' 10''$ | (34)901 | (41)901 | $10^{\circ} 44'$ | 240 | 230 |
| $40^{\circ} 14'$ | 0.33364 | 2.33364 | $65^{\circ} 36'$ | 30 | 20 | $2^{\circ} 31' 20''$ | (34)894 | (41)894 | $19^{\circ} 22'$ | 44 | 54 |
| $45^{\circ} 25'$ | 0.34726 | 0.31726 | $79^{\circ} 29'$ | 70 | 60 | $41^{\circ} 31'$ | 0.12566 | 0.13566 | $19^{\circ} 43'$ | 46 | 56 |
| $51^{\circ} 55'$ | 0.46200 | 0.43200 | $79^{\circ} 37'$ | 71 | 61 | $41^{\circ} 35'$ | 0.12610 | 0.15610 | $45^{\circ} 48'$ | 13 | 43 |
| $54^{\circ} 48'$ | 0.49864 | 0.47864 | $79^{\circ} 40'$ | 71 | 61 | $41^{\circ} 39'$ | 0.12655 | 0.11655 | $74^{\circ} 8'$ | 45 | 15 |
| | | | $88^{\circ} 29' 20''$ | 80 | 70 | $46^{\circ} 3'$ | 0.13862 | 0.13862 | $78^{\circ} 35'$ | 63 | 33 |
| | | | | | | $56^{\circ} 44'$ | 0.28679 | 0.23679 | $81^{\circ} 29'$ | 83 | 23 |
| | | | | | | $66^{\circ} 44''$ | 0.46339 | 0.49339 | $85^{\circ} 59' 20''$ | 30 | 20 |
| | | | | | | $66^{\circ} 45'$ | 0.46368 | 0.49368 | $87^{\circ} 32' 20''$ | 30 | 40 |
| | | | | | | $85^{\circ} 57'$ | 1.13103 | 1.14103 | | | |
| | | | | | | $86^{\circ} 1' 50''$ | 0.15974 | 1.45974 | | | |

| 5) bei $\log \sin z$ | | | 6) bei Diff. $\log \sin z$ | | |
|-----------------------|-----------|-----------|----------------------------|------|-------|
| w | Lies | Statt | w | Lies | Statt |
| $2^{\circ} 12' 50''$ | 8.88725 | 8.68725 | $12^{\circ} 44'$ | 39 | 29 |
| $2^{\circ} 13' 50''$ | 8.89051 | 8.69051 | $22^{\circ} 15'$ | 36 | 26 |
| $2^{\circ} 17' 20''$ | 8.80173 | 8.50173 | $36^{\circ} 3'$ | 20 | 36 |
| $13^{\circ} 6'$ | 9.38681 | 9.38681 | $36^{\circ} 16'$ | 26 | 36 |
| $34^{\circ} 33'$ | 9.83795 | 9.83795 | $70^{\circ} 38'$ | 36 | 66 |
| $35^{\circ} 24'$ | 9.85166 | 9.45166 | $80^{\circ} 52' 20''$ | 38 | 28 |
| $37^{\circ} 27'$ | 9.88420 | 9.80420 | $87^{\circ} 58' 20''$ | 60 | 50 |
| $47^{\circ} 57'$ | (1)4480.0 | (1)5480.0 | $88^{\circ} 38' 40''$ | 90 | 80 |
| $50^{\circ} 53'$ | (1)8982.3 | (1)8582.3 | $88^{\circ} 45' 20''$ | 97 | 77 |
| $60^{\circ} 16'$ | 0.24324 | 0.25324 | $88^{\circ} 53' 40''$ | 109 | 119 |
| $69^{\circ} 49'$ | 0.43463 | 0.42463 | $88^{\circ} 53' 50''$ | 110 | 100 |
| $86^{\circ} 35' 20''$ | 1.22471 | 1.23471 | | | |
| $86^{\circ} 36' 30''$ | 1.22720 | 1.12720 | | | |
| $86^{\circ} 48' 10''$ | 1.23290 | 1.23290 | | | |

SEP 28 1906

TUE JUN 12 1920

Philas
Dep't.

~~MAR 28 1908~~

